

UNIVERSITE AIX-MARSEILLE I - Université de Provence  
U.F.R. : Civilisations et Humanités

**THESE**

*pour obtenir le grade de*

DOCTEUR DE L'UNIVERSITE AIX-MARSEILLE I

**Formation doctorale : Espaces, Cultures, Sociétés**

présentée et soutenue publiquement

par

**Dominique BONNISSENT**

le 11 juillet 2008

**Archéologie précolombienne de l'île de Saint-Martin,  
Petites Antilles**

(3300 BC - 1600 AD)



Directeur de thèse : M. Robert CHENORKIAN

JURY

M. André D'ANNA  
M. Eric TALADOIRE  
M. Jean-Pierre GIRAUD  
M. Benoît BERARD

tome 2





**THESE**

*pour obtenir le grade de*

DOCTEUR DE L'UNIVERSITE AIX-MARSEILLE I

**Formation doctorale : Espaces, Cultures, Sociétés**

présentée et soutenue publiquement

par

**Dominique BONNISSENT**

le 11 juillet 2008

**Archéologie précolombienne de l'île de Saint-Martin,  
Petites Antilles**

(3300 BC - 1600 AD)



Directeur de thèse : M. Robert CHENORKIAN

JURY

M. André D'ANNA  
M. Eric TALADOIRE  
M. Jean-Pierre GIRAUD  
M. Benoît BERARD

tome 2



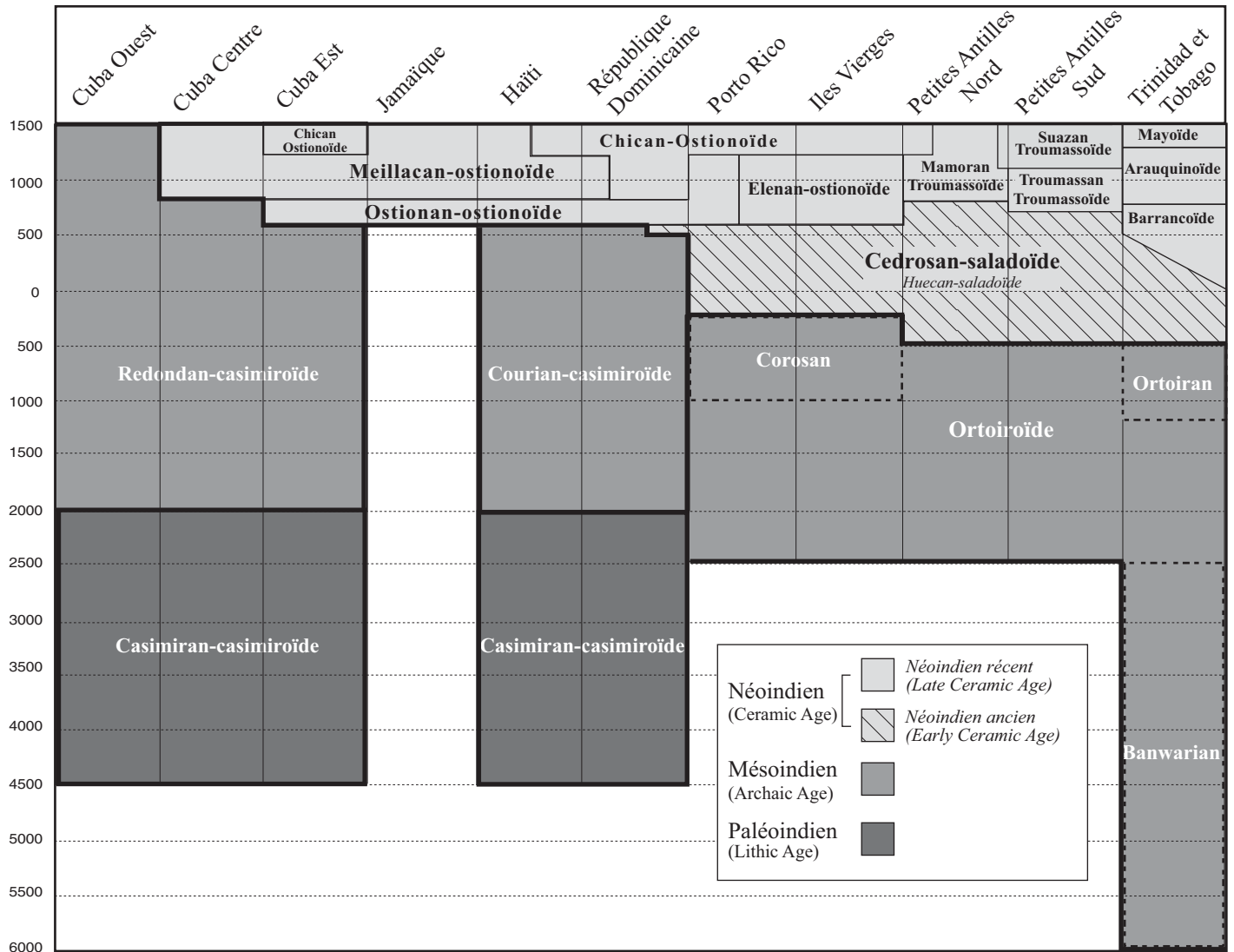


Figure 1 : Charte chronologique de la période précolombienne dans l'archipel des Antilles (D. Bonnissent, d'après Rouse 1992 : 35, 52, 53, 107, Rouse et al., 1995 : 457, Rouse, Faber Morse 1998 : 332, Boomert 2000 : 54 et 218, Delpuech 2001 : 114-115, Petersen et al. 2004 : 32).



Figure 2 : La Caraïbe insulaire, les Grandes et les Petites Antilles (D. Bonnissent).



Figure 3 : Le Nord de l'archipel des Petites Antilles (D. Bonnissent).

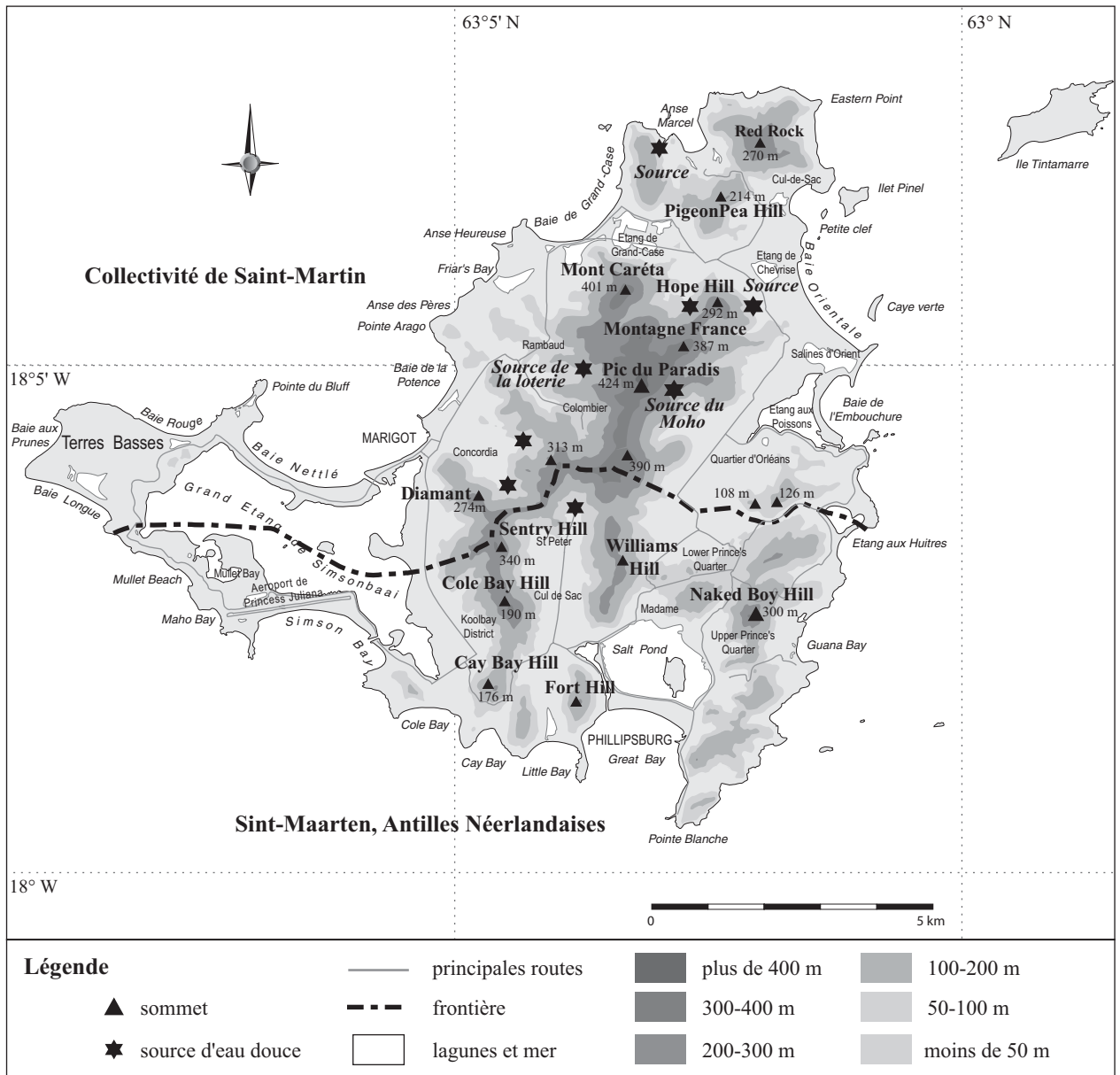


Figure 4 : L'île de Saint-Martin, reliefs, sources et toponymie (D. Bonnissent, d'après IGN 4606 GT, 2002).

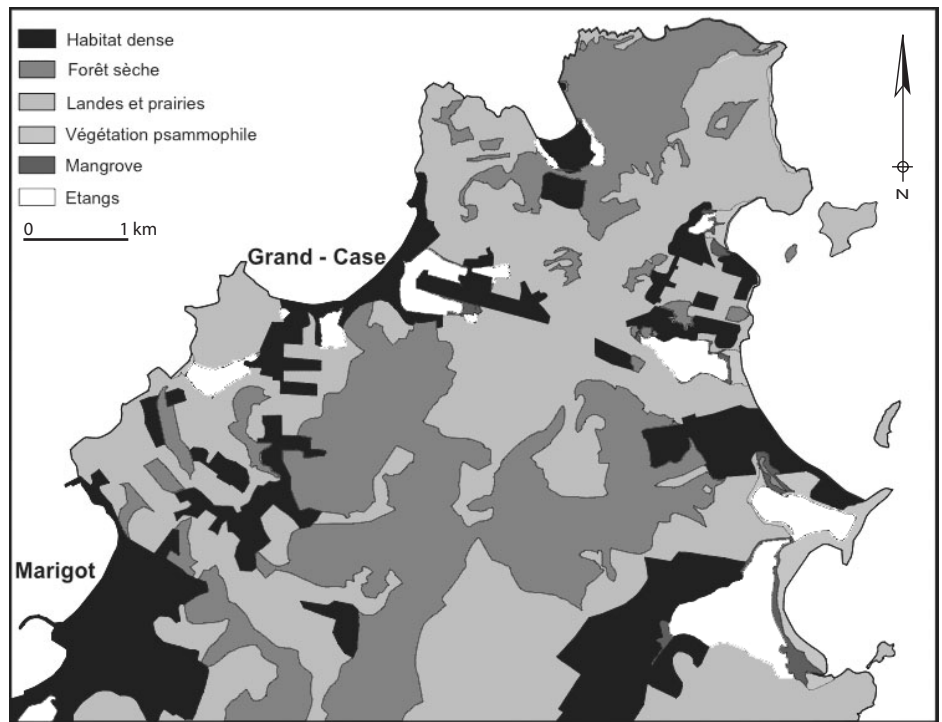


Figure 5 : Carte des unités écologiques actuelles (Imbert 2006).

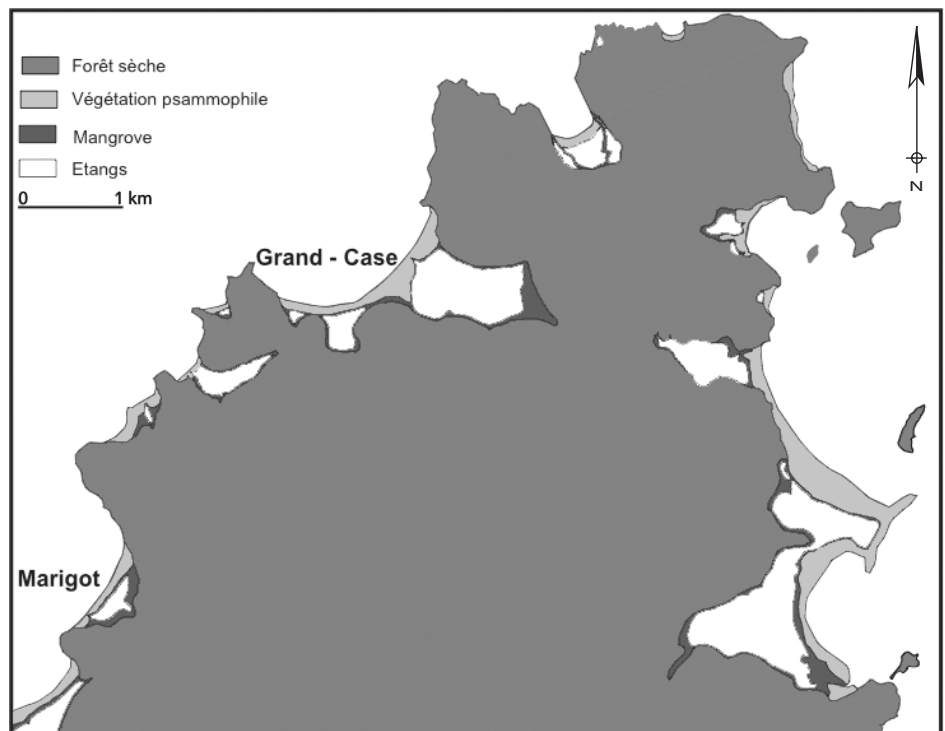


Figure 6 : Esquisse des unités écologiques à l'époque précolombienne (Imbert 2006).



Figure 7 : Le littoral de la partie nord-est de l'île de Saint-Martin, la Baie Orientale (cliché D. Bonnissent).

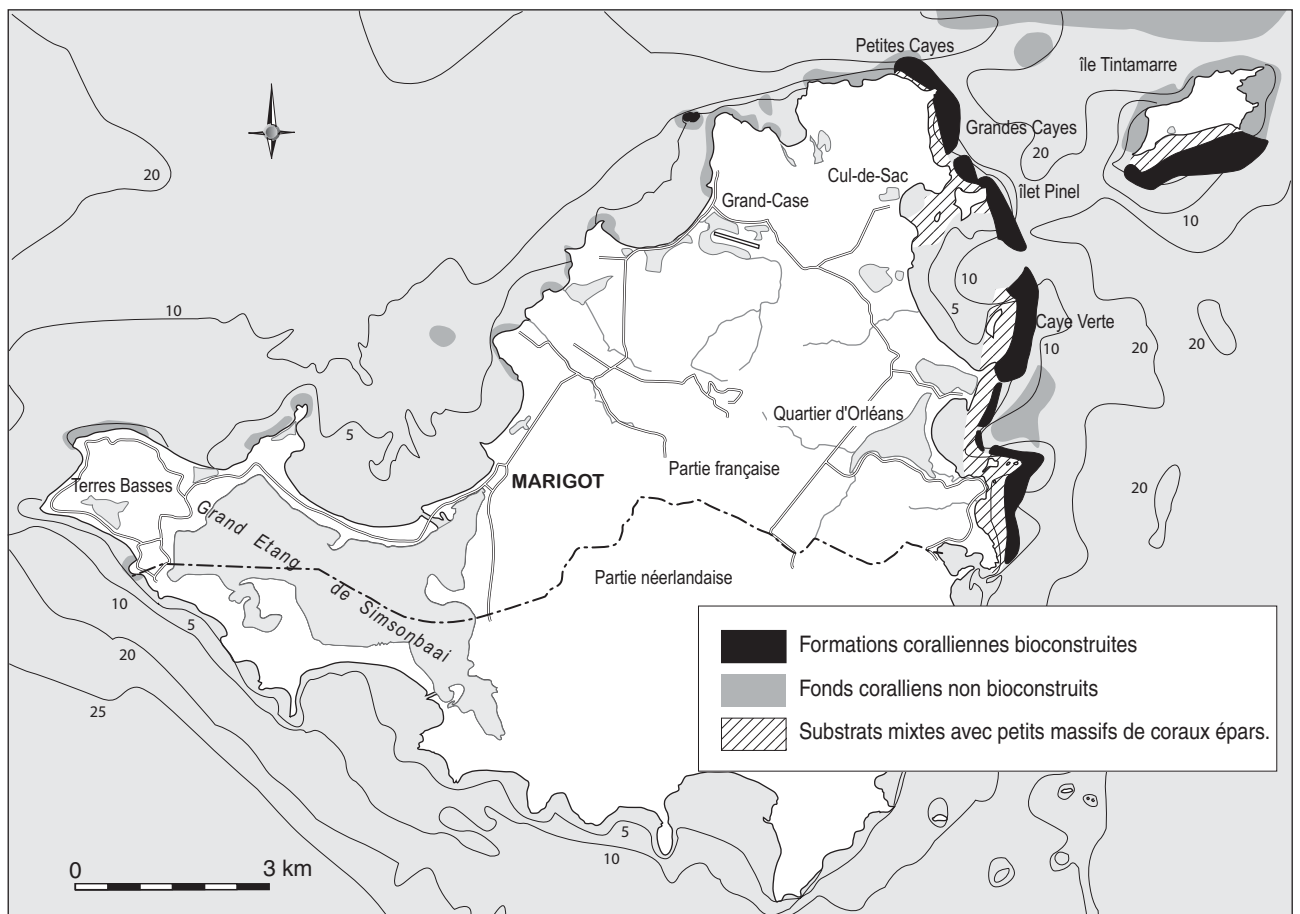


Figure 8 : Cartographie des récifs coralliens de la partie française de l'île de Saint-Martin (D. Bonnissent, d'après Porcher et al. 2001).

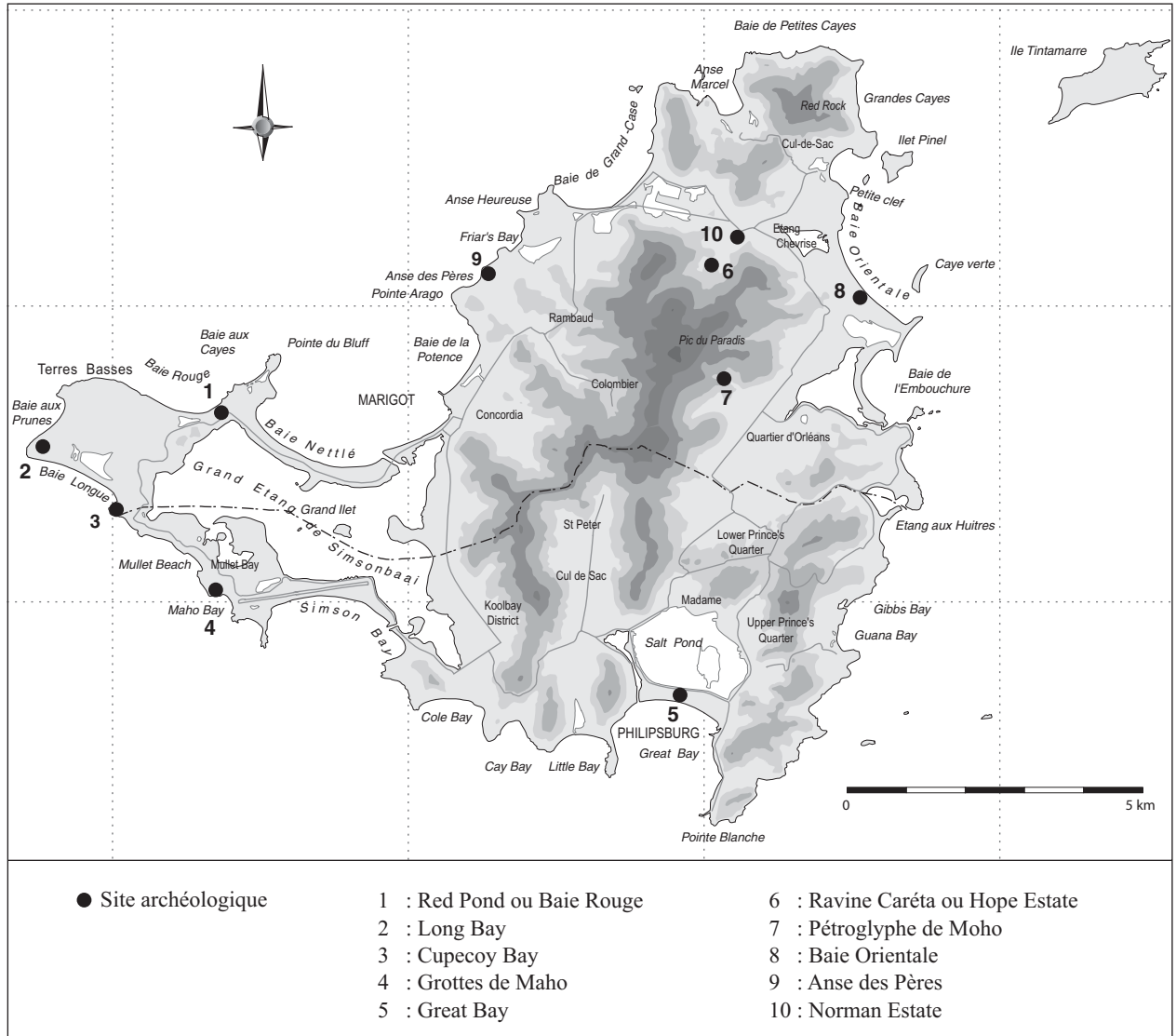
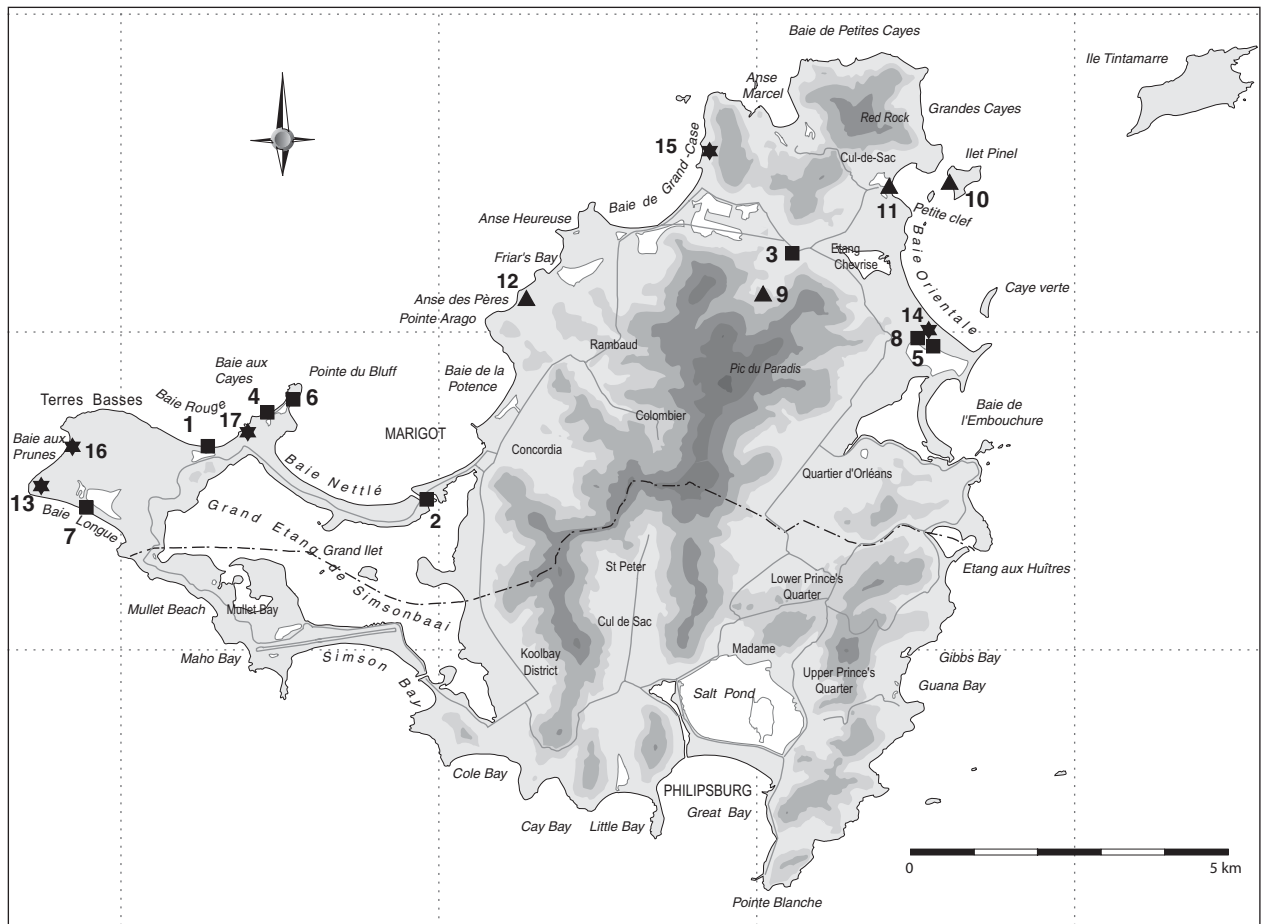


Figure 9 : Carte de répartition des principaux gisements précolombiens de l'île de Saint-Martin en 1994 (D. Bonnissent).





MESOINDIEN

- 1 : Etang Rouge 1 et 3
- 2 : Pont de Sandy Ground 1 et 2
- 3 : Norman Estate 1 et 2
- 4 : Trou David 1 et 2
- 5 : Salines d'Orient
- 6 : Pointe du Bluff
- 7 : Baie Longue 2
- 8 : Baie Orientale 1

▲ NEOINDIEN ANCIEN

- 9 : Hope Estate
- 10 : Ilet Pinel Ouest
- 11 : Cul-de-Sac
- 12 : Anse des Pères

NEOINDIEN RECENT

- ★ 13 : Pointe du Canonier
- 14 : Baie Orientale 2
- 15 : Petite Plage 1 et 2
- 16 : Baie aux Prunes
- 17 : Baie Rouge

Figure 10 : Les 17 gisements précolombiens datés par le radiocarbone exploités pour l'analyse chronologique de l'île de Saint-Martin (D. Bonnissent).

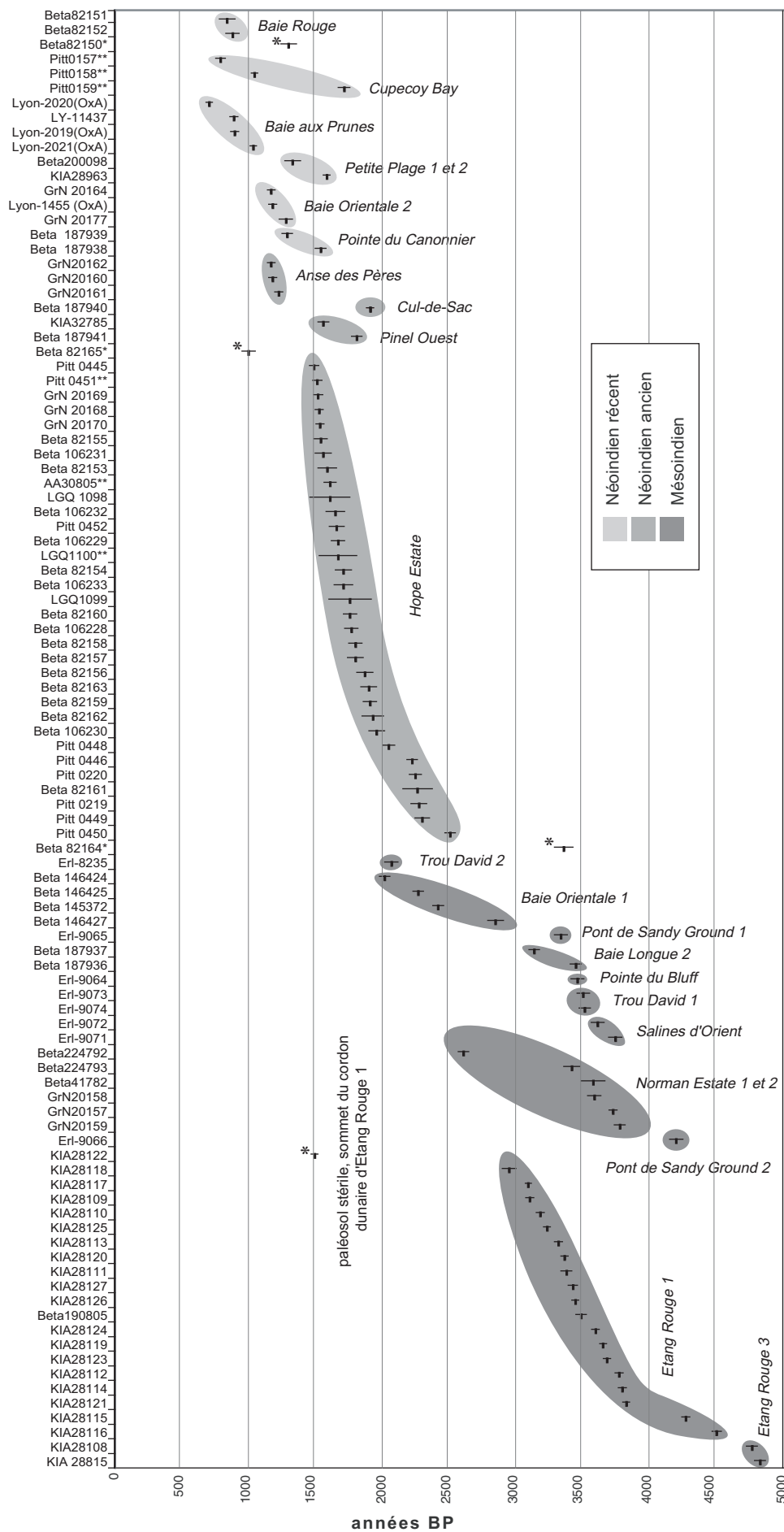
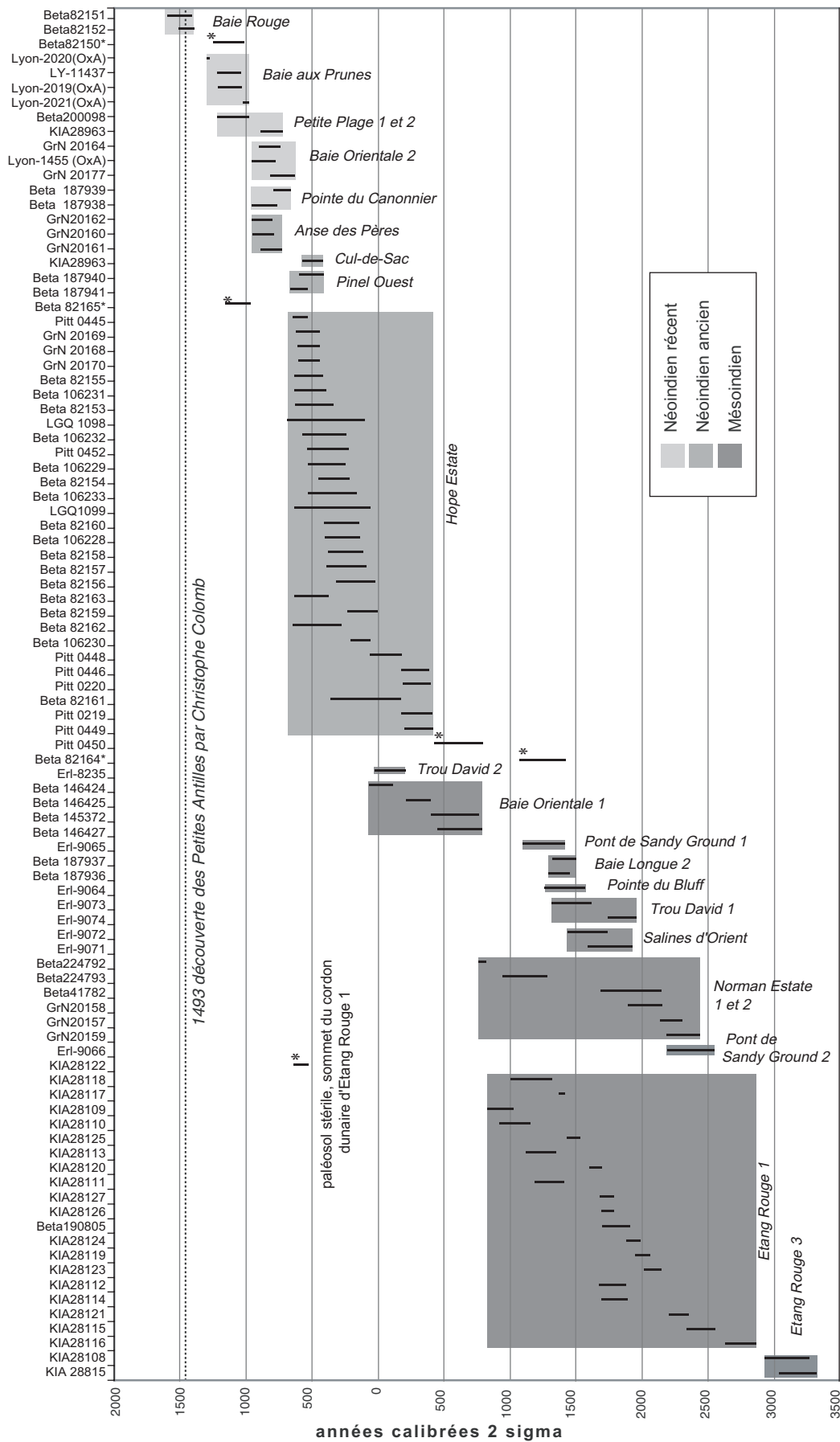


Figure 11 : Datations radiométriques en années BP des gisements précolombiens de Saint-Martin (D. Bonnissent).



**datations radiométriques n = 94**

\* Ces datations ne correspondent pas au contexte culturel des sites

Figure 12 : Datations radiométriques en années calibrées des gisements précolombiens de Saint-Martin (2 sigma, 95% de probabilité). La correction de l'effet réservoir global (400 ans) sur les coquilles marines a été effectuée pour les datations concernées (D. Bonnissent).

Laboratoire	Site	Niveau	Echantillon	Date BP	Date calibrée 2 sigma (95% de probabilité)	Référence	Calibration
KIA28122	Etang Rouge 1	ER(B)S2n30	charbon	1494±26	532-642 AD	chapitre 2.1.1	CALIB rev 4.3, OxiCal v3.9
KIA28118	Etang Rouge 1	ER1011(D)S1n26	charbon	2951±52	1316-1003 BC	chapitre 2.1.1	CALIB rev 4.3, OxiCal v3.9
KIA28117	Etang Rouge 1	ER1010(D)S1n28	charbon	3095±23	1414-1366 BC	chapitre 2.1.1	CALIB rev 4.3, OxiCal v3.9
KIA28109	Etang Rouge 1	ER1007a(D)S1n23	<i>Strombus gigas</i>	3105±30	1025-827 BC	chapitre 2.1.1	Calib REV 5.0.2, Marine 04.14c
KIA28110	Etang Rouge 1	ER1007a(D)S1n44	<i>Strombus gigas</i>	3185±30	1151-919 BC	chapitre 2.1.1	Calib REV 5.0.2, Marine 04.14c
KIA28125	Etang Rouge 1	ER6002(D)S2n29	charbon	3235±26	1530-1432 BC	chapitre 2.1.1	CALIB rev 4.3, OxiCal v3.9
KIA28113	Etang Rouge 1	ER1009(D)S1n34	<i>Strombus gigas</i>	3320±30	1342-1115 BC	chapitre 2.1.1	Calib REV 5.0.2, Marine 04.14c
KIA28120	Etang Rouge 1	ER1013b(E)S1n38	charbon	3366±27	1694-1601 BC	chapitre 2.1.1	CALIB rev 4.3, OxiCal v3.9
KIA28111	Etang Rouge 1	ER1007b(D)S1n21	<i>Strombus gigas</i>	3380±40	1409-1186 BC	chapitre 2.1.1	Calib REV 5.0.2, Marine 04.14c
KIA28127	Etang Rouge 1	ER7001(E)S3n33	charbon	3429±35	1781-1678 BC	chapitre 2.1.1	CALIB rev 4.3, OxiCal v3.9
KIA28126	Etang Rouge 1	ER6003(D)S2n31	charbon	3447±26	1780-1686 BC	chapitre 2.1.1	CALIB rev 4.3, OxiCal v3.9
Beta190805	Etang Rouge 1	971270098FE2	charbon	3490±40	1910-1700 BC	chapitre 2.1.1	Beta Analytic, IntCal 98
KIA28124	Etang Rouge 1	ER4010(E)S4n41	charbon	3598±29	1984-1881 BC	chapitre 2.1.1	CALIB rev 4.3, OxiCal v3.9
KIA28119	Etang Rouge 1	ER1012(D)S1n27	charbon	3655±25	2055-1943 BC	chapitre 2.1.1	CALIB rev 4.3, OxiCal v3.9
KIA28123	Etang Rouge 1	ER4010(E)S4n40	charbon	3684±27	2142-2008 BC	chapitre 2.1.1	CALIB rev 4.3, OxiCal v3.9
KIA28112	Etang Rouge 1	ER1007b(D)S1n45	<i>Strombus gigas</i>	3775±30	1871-1670 BC	chapitre 2.1.1	Calib REV 5.0.2, Marine 04.14c
KIA28114	Etang Rouge 1	ER6004(E)S2n32	<i>Strombus gigas</i>	3800±30	1889-1690 BC	chapitre 2.1.1	Calib REV 5.0.2, Marine 04.14c
KIA28121	Etang Rouge 1	ER1020(E)S1n39	charbon	3828±27	2351-2197 BC	chapitre 2.1.1	CALIB rev 4.3, OxiCal v3.9
KIA28115	Etang Rouge 1	ER6005(E)S2n43	Strombe, lame	4275±30	2549-2335 BC	chapitre 2.1.1	Calib REV 5.0.2, Marine 04.14c
KIA28116	Etang Rouge 1	ER7002(F)S3n35	<i>Strombus gigas</i>	4505±35	2862-2632 BC	chapitre 2.1.1	Calib REV 5.0.2, Marine 04.14c
KIA28108	Etang Rouge 3	ER3(H)1	<i>Strombus gigas</i>	4770±40	3260-2926 BC	Martias 2005	Calib REV 5.0.2, Marine 04.14c
KIA28815	Etang Rouge 3	ER3 H2	<i>Strombus gigas</i>	4830±40	3318-3033 BC	Martias 2005	Calib REV 5.0.2, Marine 04.14c

La correction de l'effet réservoir global (400 ans) sur les coquilles marines a été effectuée sur les datations concernées.

Tableau 1 : Datations radiométriques du gisement mésoindien d'Etang Rouge (D. Bonnissent).

<b>Laboratoire</b>	<b>Site</b>	<b>Niveau</b>	<b>Echantillon</b>	<b>Date BP</b>	<b>Date calibrée 2 sigma</b> (95% de probabilité)	<b>Référence</b>	<b>Calibration</b>
Erl-8235	Trou David 2	TRD2-SURF	os humain (tibia)	2070±50	204 BC-29 AD	chapitre 2.1.5	Ox(Cal v3.10, IntCal/04, Marine 04
Beta146424	Baie Orientale 1	S11L16n°2	charbon	2020±40	110 BC-70 AD	Bonnissent et al. 2001	Beta Analytic, Intcal 98
Beta146425	Baie Orientale 1	S23L20n°1	charbon	2270±40	400-340 / 320-210 BC	Bonnissent et al. 2001	Beta Analytic, Intcal 98
Beta145372	Baie Orientale 1	S39L15n°4	charbon	2420±40	760-620 / 590-400 BC	Bonnissent et al. 2001	Beta Analytic, Intcal 98
Beta146427	Baie Orientale 1	S4L24n°1	<i>Strombus gigas</i>	2850±60	790-450 BC	Bonnissent et al. 2001	Beta Analytic, Intcal 98
Erl-9065	Sandy Ground 1	SAND-GR1	Strombe, lame	3338±48	1417-1093 BC	chapitre 2.1.2	Ox(Cal v3.10, Marine 04
Beta187937	Baie Longue 2	BL2US2n°5	charbon	3140±40	1500-1360 / 1360-1320 BC	chapitre 2.1.7	Beta Analytic, Intcal 98
Beta187936	Baie Longue 2	BL2US2n°2	<i>Strombus gigas</i>	3450±40	1450-1290 BC	chapitre 2.1.7	Beta Analytic, Intcal 98, Marine 98
Erl-9064	Pointe du Bluff	PTE-BLUFF surf	<i>Strombus gigas</i>	3463±48	1567-1260 BC	chapitre 2.1.6	Ox(Cal v3.10, Marine 04
Erl-9073	Trou David 1	TD1n4	<i>Strombus gigas</i>	3507±48	1614-1315 BC	chapitre 2.1.5	Ox(Cal v3.10, Marine 04
Erl-9074	Trou David 1	TD1n1	charbon	3517±43	1954-1738 BC	chapitre 2.1.5	Ox(Cal v3.10, IntCal/04
Erl-9072	Salines d'Orient	SAOR-1004-2	<i>Strombus gigas</i>	3614±48	1735-1430 BC	chapitre 2.1.4	Ox(Cal v3.10, Marine 04
Erl-9071	Salines d'Orient	SAOR-1004-1	<i>Strombus gigas</i>	3747±50	1925-1588 BC	chapitre 2.1.4	Ox(Cal v3.10, Marine 04
Beta224792	Norman Estate 2	NE2D2	charbon	2610±40	820-760 BC	chapitre 2.1.3	Beta Analytic, IntCal/04
Beta224793	Norman Estate 2	NE2D4	<i>Strombus gigas</i>	3240±60	1280-940 BC	chapitre 2.1.3	Beta Analytic, IntCal 04, Marine 04
Beta41782	Norman Estate 1	NE92 Surf.	Strombe, lame	3580±90	2145-1685 BC	Hénocq, Petit 1998	Beta Analytic, Intcal 98
GrN20158	Norman Estate 1	NE19-2	Strombe	3590±50	2195-1895 BC	Hénocq, Petit 1998	Beta Analytic, Intcal 98
GrN20157	Norman Estate 1	NE23-D-1	Strombe	3730±30	2345-2140 BC	Hénocq, Petit 1998	Beta Analytic, Intcal 98
GrN20159	Norman Estate 1	NE6-E-3	Strombe	3780±40	2445-2180 BC	Hénocq, Petit 1998	Beta Analytic, Intcal 98
Erl-9066	Sandy Ground 2	SAND-GR2	Strombe, lame	4203±50	2544-2188 BC	chapitre 2.1.2	Ox(Cal v3.10, Marine 04

La correction de l'effet réservoir global (400 ans) sur les coquilles marines a été effectuée sur les datations concernées.

**Tableau 2 : Datations radiométriques des gisements mésoindiens de Sandy Ground 1 et 2, Norman Estate, Salines d'Orient, Trou David 1 et 2, Pointe du Bluff, Baie Longue 2 et Baie Orientale 1 (D. Bonnissent).**

Laboratoire		Site	Niveau	Echantillon	Date BP	Date calibrée 2 sigma (95% de probabilité)	Référence	Calibration
Beta82165	Hope Estate	HE 19M17	charbon	1000±50	975-1170 AD*	Hénoqc, Petit 1998	Beta Analytic Calibration 1993	
Pitt0445	Hope Estate	HE A3-2	charbon	1490±35	535-645 AD	Haviser 1991, Hénoqc, Petit 1998	Beta Analytic Calibration 1993	
Pitt0451	Hope Estate	HE A2-3	<i>Cassis</i> sp.	1515±35	**	Haviser 1991, Hénoqc, Petit 1998		
GrN 20169	Hope Estate	HE 7-B-4	crabe de terre	1520±35	445-625 AD***	Hoogland 1999	CAL 15, Groningen calibration program 93	
GrN 20168	Hope Estate	HE 10-C-3	crabe de terre	1530±30	445-610 AD	Hoogland 1999	CAL 15, Groningen calibration program 93	
GrN 20170	Hope Estate	HE 6-D-6	crabe de terre	1535±30	445-605 AD	Hoogland 1999	CAL 15, Groningen calibration program 93	
Beta82155	Hope Estate	HE 13D16	charbon	1540±50	420-635 AD	Hénoqc, Petit 1998	Beta Analytic Calibration 1993	
Beta106231	Hope Estate	HE 25-12-B	charbon	1560±60	395-635 AD	Bonmisset et al. 2002	Beta Analytic Calibration 1993	
Beta82153	Hope Estate	HE 13A14	charbon	1590±70	340-630 AD	Hénoqc, Petit 1998	Beta Analytic Calibration 1993	
AA30805	Hope Estate	HE 98 2917A	unionidé	1610±45	**	Serrand 1999		
LGQ 1098	Hope Estate	HE 16US16	charbon	1610±150	100-690 AD	Hénoqc, Petit 1998	Beta Analytic Calibration 1993	
Beta106232	Hope Estate	HE 25-12-C	charbon	1650±70	245-575 AD	Bonmisset et al. 2002	Beta Analytic Calibration 1993	
Pitt 0452	Hope Estate	HE A3-7	charbon	1660±55	225-295 / 320-540 AD	Haviser 1991, Hoogland 1999	CAL 15, Groningen calibration program 93	
Beta106229	Hope Estate	HE 22-4C/B	charbon	1670±50	250-530 AD	Bonmisset et al. 2002	Beta Analytic Calibration 1993	
LGQ 1100	Hope Estate	HE 16US19	<i>Strombus gigas</i>	1670±140	**	Hénoqc, Petit 1998		
Beta82154	Hope Estate	HE 13B16	charbon	1710±60	220-450 AD	Hénoqc, Petit 1998	Beta Analytic Calibration 1993	
Beta106233	Hope Estate	HE 26-06-C	charbon	1710±70	160-530 AD	Bonmisset et al. 2002	Beta Analytic Calibration 1993	
LGQ 1099	Hope Estate	HE 16US18	charbon	1760±160	60-635 AD	Hénoqc, Petit 1998	Beta Analytic Calibration 1993	
Beta82160	Hope Estate	HE 18-B-11	charbon	1760±50	145-410 AD	Hénoqc, Petit 1998	Beta Analytic Calibration 1993	
Beta106228	Hope Estate	HE 20-14-D	charbon	1770±50	135-405 AD	Bonmisset et al. 2002	Beta Analytic Calibration 1993	
Beta82158	Hope Estate	HE 17H10	charbon	1800±50	110-380 AD	Hénoqc, Petit 1998	Beta Analytic Calibration 1993	
Beta82157	Hope Estate	HE 17G10	charbon	1800±60	90-395 AD	Hénoqc, Petit 1998	Beta Analytic Calibration 1993	
Beta82156	Hope Estate	HE 13D21	charbon	1870±60	25-265 / 290-320 AD	Hénoqc, Petit 1998	Beta Analytic Calibration 1993	
Beta82163	Hope Estate	HE 19-F-14	coquille marine	1900±60	380-640 AD	Hénoqc, Petit 1998	Beta Analytic Calibration 1993	
Beta82159	Hope Estate	HE 18-D-9	charbon	1910±50	5-235 AD	Hénoqc, Petit 1998	Beta Analytic Calibration 1993	
Beta82162	Hope Estate	HE 19-J-10	coquille marine	1930±80	280-650 AD	Hénoqc, Petit 1998	Beta Analytic Calibration 1993	
Beta106230	Hope Estate	HE 23-5-B	charbon	1960±60	60 BC-210 AD	Bonmisset et al. 2002	Beta Analytic Calibration 1993	
Pitt 0448	Hope Estate	HE A-5-8	charbon	2050±45	175 BC-65 AD	Haviser 1991, Hénoqc, Petit 1998	Beta Analytic Calibration 1993	
Pitt 0446	Hope Estate	HE A-3-3	charbon	2225±40	385-175 BC	Haviser 1991, Hénoqc, Petit 1998	Beta Analytic Calibration 1993	
Pitt 0220	Hope Estate	HE Test 1-6	charbon	2250±45	395-185 BC	Haviser 1991, Hénoqc, Petit 1998	Beta Analytic Calibration 1993	
Beta 82161	Hope Estate	HE 19-J-6	coquille marine	2265±110	170 BC-365 AD	Hénoqc, Petit 1998	Beta Analytic Calibration 1993	
Pitt0219	Hope Estate	HE Test 1-5	charbon	2275±60	410-180 BC	Haviser 1991, Hénoqc, Petit 1998	Beta Analytic Calibration 1993	
Pitt0449	Hope Estate	HE T20-3	charbon	2300±55	415-200 BC	Haviser 1991, Hénoqc, Petit 1998	Beta Analytic Calibration 1993	
Pitt0450	Hope Estate	HE T20-3	charbon	2510±40	795-485 / 465-425 BC	Haviser 1991, Hénoqc, Petit 1998	Beta Analytic Calibration 1993	
Beta82164	Hope Estate	HE 19-O-15	coquille marine	3360±70	1420-1075 BC*	Hénoqc, Petit 1998	Beta Analytic Calibration 1993	

La correction de l'effet réservoir global (400 ans) sur les coquilles marines a été effectuée sur les datations concernées.

\*Ces datations ne correspondent pas au contexte culturel du gisement.

\*\* Les calibrations de ces dates sur coquille n'ont pas été retenues pour cette étude car on ignore la correction d'âge de l'effet réservoir.

\*\*\* datation exclue pour des problèmes de localisation.

Tableau 3 : Datations radiométriques du gisement néoindien ancien de Hope Estate (D. Bonmisset).

<b>Laboratoire</b>	<b>Site</b>	<b>Niveau</b>	<b>Echantillon</b>	<b>Date BP</b>	<b>Date calibrée 2 sigma</b> (95% de probabilité)	<b>Références</b>	<b>Calibration</b>
Beta82151	Baie Rouge	BRM1C-9	coquille marine	840±60	1410-1600 AD	Hénoqcq 1998	Beta Analytic, calibration 1993
Beta82152	Baie Rouge	BRM1C-10	coquille marine	880±50	1395-1515 AD	Hénoqcq 1998	Beta Analytic, calibration 1993
Beta82150	Baie Rouge	BRM1C-2	coquille marine	1300±60	1000-1240 AD*	Hénoqcq 1998	Beta Analytic, calibration 1993
Pitit0157	Cupecoy Bay	CB10-20cm	coquille marine	790±35	**	Haviser 1988, 1995	
Pitit0158	Cupecoy Bay	CB20-30cm	coquille marine	1045±25	**	Haviser 1988, 1995	
Pitit0159	Cupecoy Bay	CB30-40cm	coquille marine	1715±45	**	Haviser 1988, 1995	
Lyon-2020(OxA)	Baie aux Prunes	BP99S104AB	caramel	705±25	1278-1299 AD	Bonnisment, Stouvenot 2005	IntCal 98
LY-11437	Baie aux Prunes	BP99US213	<i>Gnatacum</i>	890±30	1039-1217 AD	Bonnisment, Stouvenot 2005	IntCal 98
Lyon-2019(OxA)	Baie aux Prunes	BP99SEP2525	os humain	895±30	1037-1215 AD	Bonnisment, Stouvenot 2005	IntCal 98
Lyon-2021(OxA)	Baie aux Prunes	BP99S2403D	caramel	1035±25	980-1024 AD	Bonnisment, Stouvenot 2005	IntCal 98
Beta200098	Petite Plage 2	PPO4B	<i>Strombus gigas</i>	1330±60	980-1220 AD	chapitre 2.3.3	Beta Analytic, IntCal 98, Marine 98
KIA28963	Petite Plage 1	PPO4B2	<i>Strombus gigas</i>	1585±25	722-891 AD	chapitre 2.3.3	Calib REV 5.0.2
GrN 20164	Baie Orientale 2	BO G2-4	<i>Cittarium pica</i>	1170±30	740-900 AD	Hénoqcq, Petit 1998	Beta Analytic, Calibration 1993
Lyon-1455 (OxA)	Baie Orientale 2	BO S61-10	caramel	1180±30	776-958 AD	chapitre 2.3.2	IntCal 98
GrN 20177	Baie Orientale 2	BO G2-4	ver marin	1280±50	630-815 AD	Hénoqcq, Petit 1998	Beta Analytic, Calibration 1993
Beta 187939	Pointe du Canonnier	PDC6006C4n°5	caramel	1290±40	660-790 AD	chapitre 2.3.1	Beta Analytic, IntCal 98
Beta 187938	Pointe du Canonnier	PDC6006C2n°2	<i>Strombus gigas</i>	1540±40	770-960 AD	chapitre 2.3.1	Beta Analytic, IntCal 98, Marine 98
GrN20162	Anse des Pères	AP 3-A-2	crabe de terre	1170±30	802-959 AD	Knippenberg 1999e	CAL 15, Groningen calibration program 93
GrN20160	Anse des Pères	AP 2-A-1	crabe de terre	1180±30	790-950 AD	Knippenberg 1999e	CAL 15, Groningen calibration program 93
GrN20161	Anse des Pères	AP 5-A-3	crabe de terre	1225±30	730-888 AD	Knippenberg 1999e	CAL 15, Groningen calibration program 93
KIA32785	Cul-de-Sac	Cul-de-Sac 2007	<i>Strombus gigas</i>	1900±25	429 à 585 AD	chapitre 2.2.3	Calibration data set: marine 04.14c
Beta 187940	Pinel Ouest	PO1104n°3	charbon	1560±40	410-600 AD	chapitre 2.2.2	Beta Analytic, IntCal 98
Beta 187941	Pinel Ouest	PO1706B2n°2	<i>Strombus gigas</i>	1810±40	535 à 670 AD	chapitre 2.2.2	Beta Analytic, IntCal 98, Marine 98

La correction de l'effet réservoir global (400 ans) sur les coquilles marines a été effectuée sur les datations concernées.

\*Cette datation ne correspond pas au contexte culturel du gisement.

\*\* Les calibrations de ces dates sur coquille n'ont pas été retenues pour cette étude car on ignore la correction d'âge de l'effet réservoir.

**Tableau 4 : Datations radiométriques des gisements du Néoindien ancien de Pinel Ouest, Cul-de-sac, Anse des Pères et du Néoindien récent de Pointe du Canonnier, Baie Orientale 2, Petite Plage 1 et 2, Baie aux Prunes, Cupecoy Bay et Baie Rouge (D. Bonnisment).**

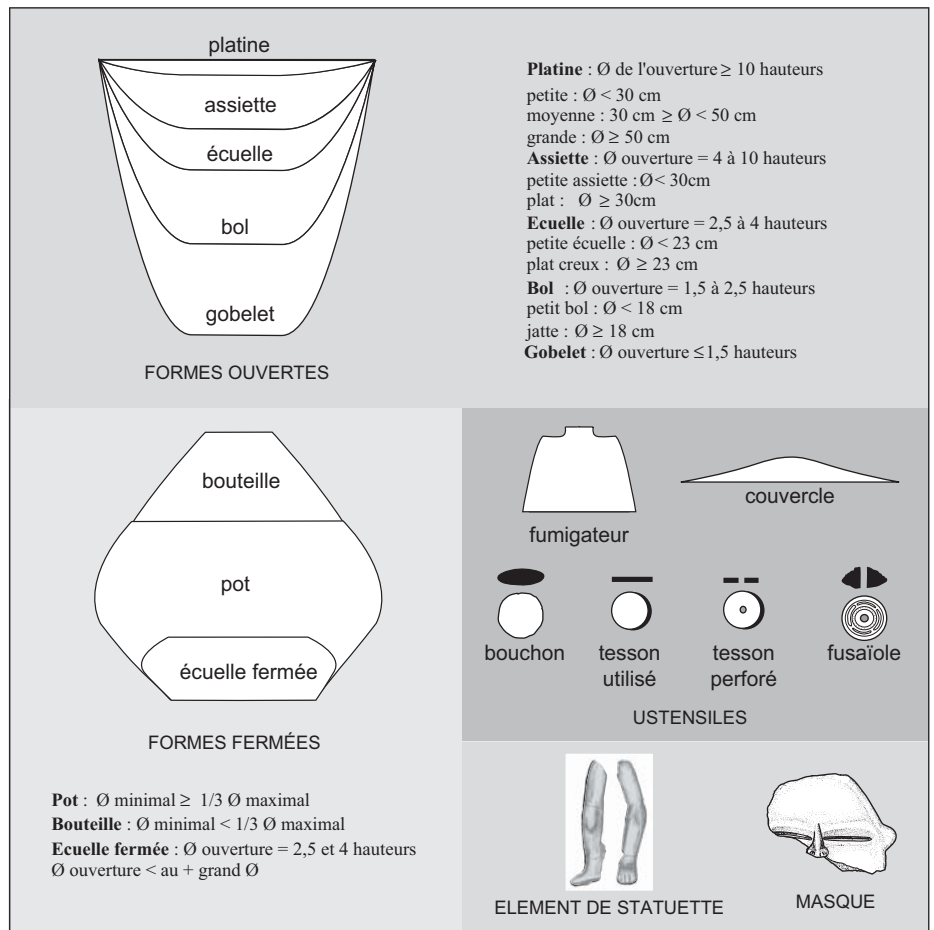


Figure 13 : Classification des récipients et ustensiles (D. Bonnissent, d'après Balfet et al. 1989).

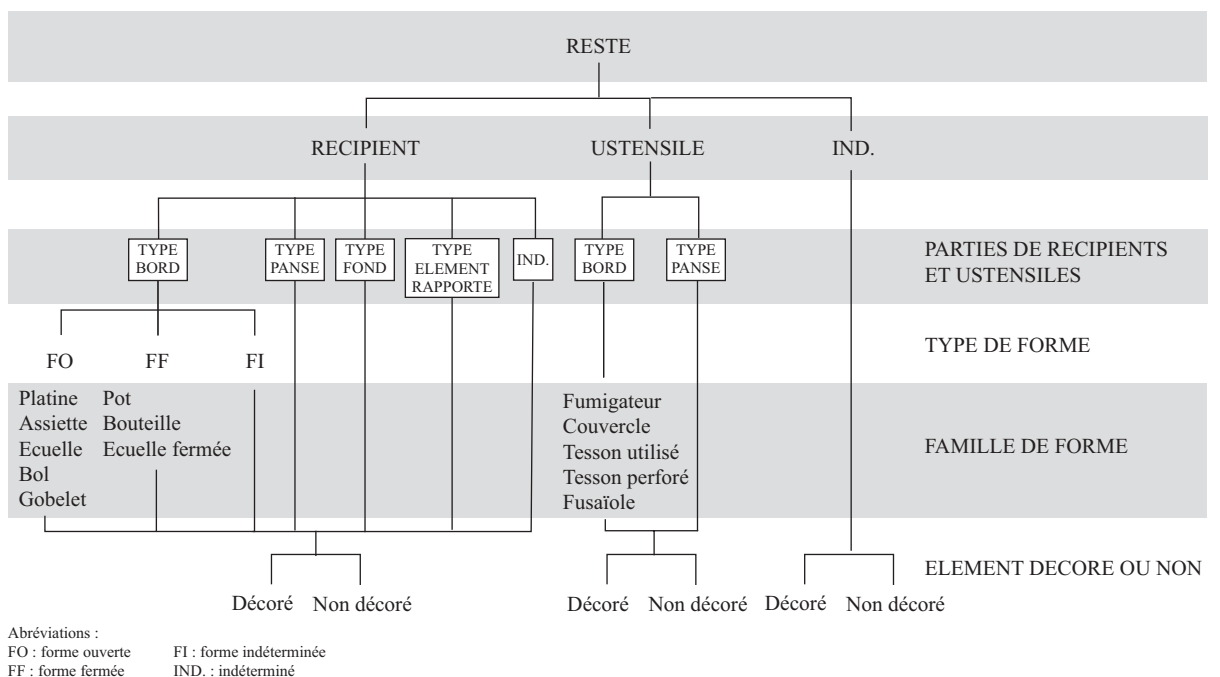


Figure 14 : Procédure de quantification de la population de récipients et d'ustensiles (D. Bonnissent).



## A. REPRESENTATION DE LA SURFACE DES CERAMIQUES

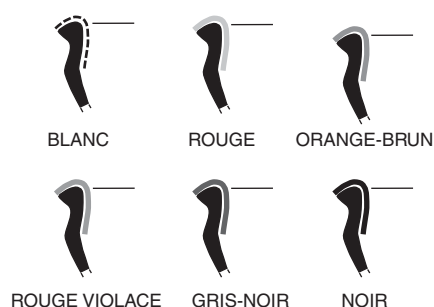
### REPRESENTATION DES COULEURS

CORRESPONDANCE CODE MUNSSELL / NIVEAUX DE GRIS

Concernant la surface des céramiques :

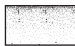


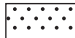
B	BLANC
R	ROUGE : 10R 4/4 weak red, 10R 4/8 red, 7,5R 4/6 weak red, 7,5R 3/8 dark red
O-B	ORANGE-BRUN : 5YR 5/6 yellowish red
R-V	ROUGE VIOLECE : 7,5R 3/4 dusky red
G-N	GRIS-NOIR : 5YR 3/1 very dark grey
N	NOIR
	NON COLORE
	Référence du code Munsell

Concernant la localisation sur les coupes :



### INFORMATIONS SUR L'ASPECT DE SURFACE

Concernant la surface des céramiques :

	RENDU DU VOLUME
	ALTERATION
	ZONE BRULEE
	RESIDU CARBONISE : CAMEL

Concernant la localisation sur les coupes :





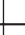

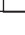
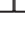
**P** : ANALYSE PETROGRAPHIQUE

## B. REPRESENTATION DE L'OUVERTURE DES CERAMIQUES ET DES ELEMENTS RAPPORTES

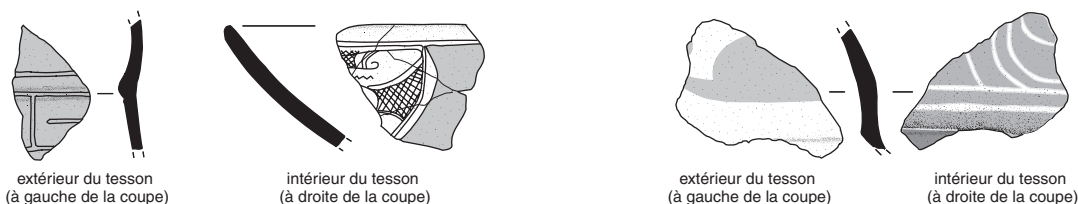
SYMBOLE DE REPRESENTATION DE L'OUVERTURE



LOCALISATION DES ELEMENTS RAPPORTES ET DES DECORS

	connu	supposé
préhension/suspension		
bec tubulaire		
décor		

## C. LOCALISATION PAR RAPPORT A LA COUPE DE L'INTERIEUR ET DE L'EXTERIEUR D'UN TESSON ISOLE



## D. INFORMATIONS CONCERNANT LES COUPES

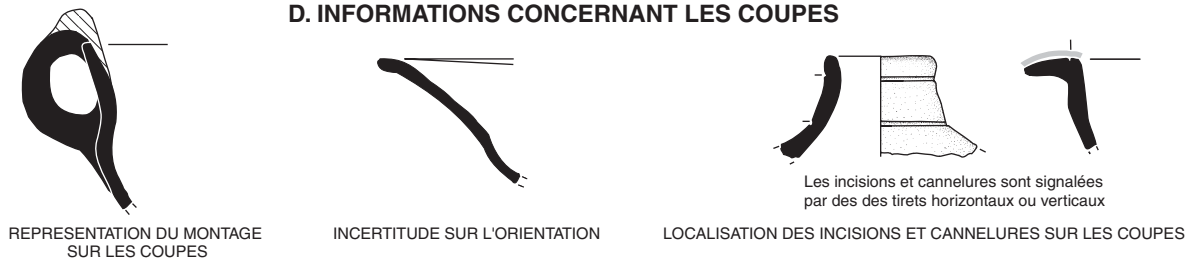


Figure 15 : Code de dessin pour la représentation des céramiques précolombiennes (D. Bonnissent).

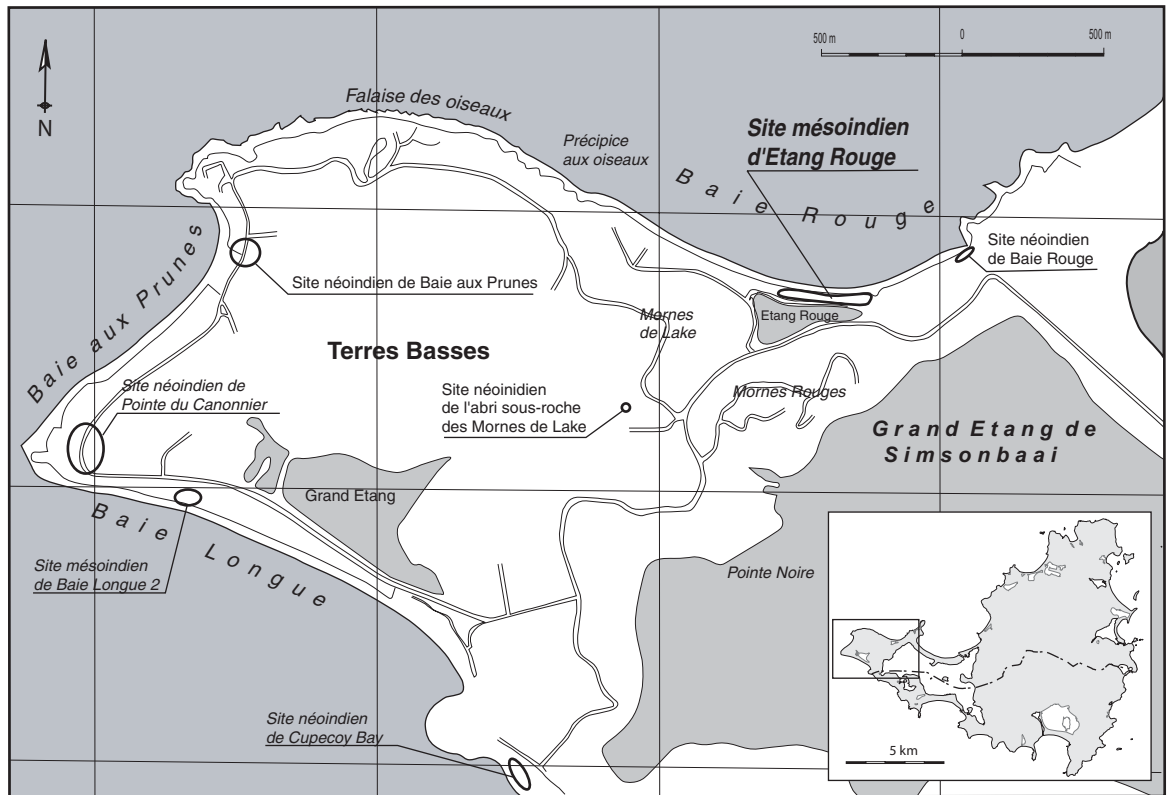


Figure 16 : Localisation du site d'Etang Rouge et des gisements précolombiens connus sur la péninsule des Terres Basses d'après IGN 1987 (R. Martias).

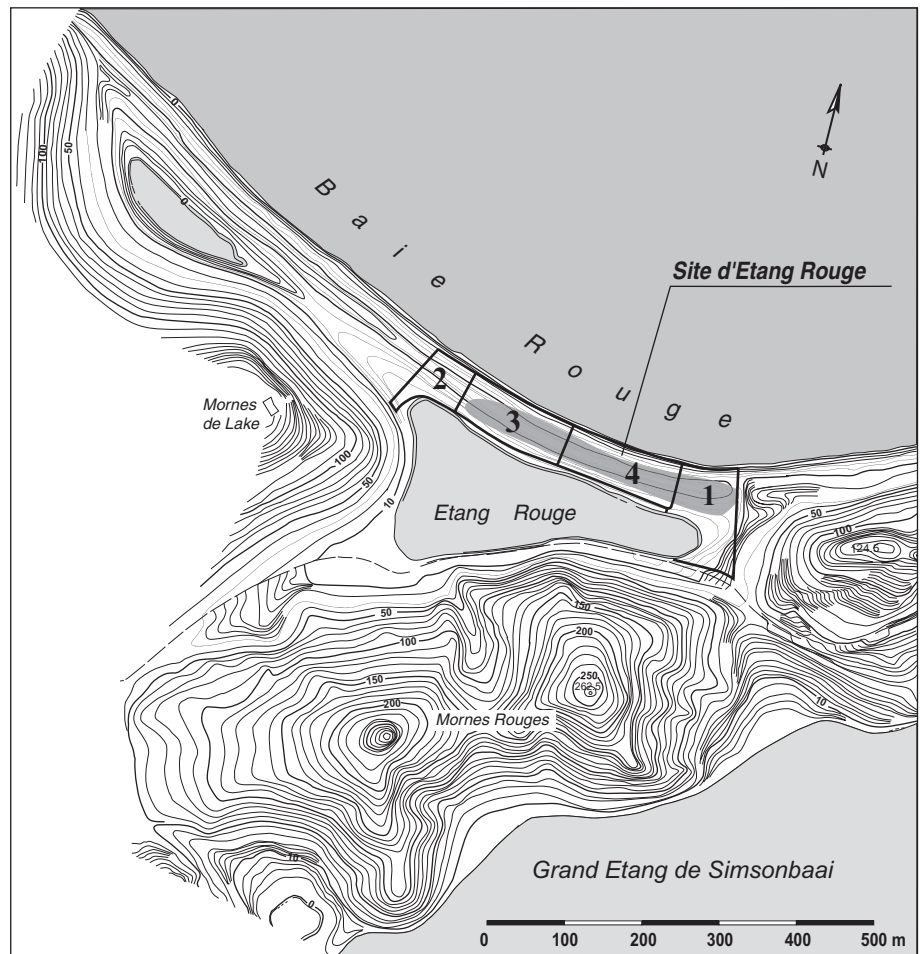


Figure 17 : Topographie du secteur d'Etang Rouge (C. Etrich, R. Martias).

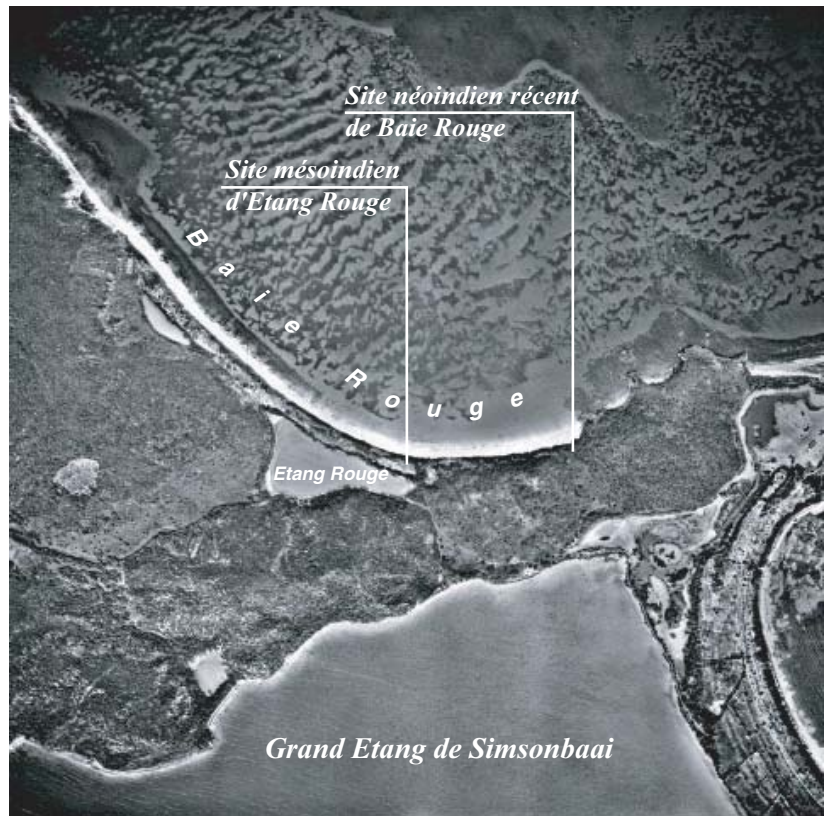


Figure 18 : Vue aérienne du secteur d'Etang Rouge (cliché IGN 1954).

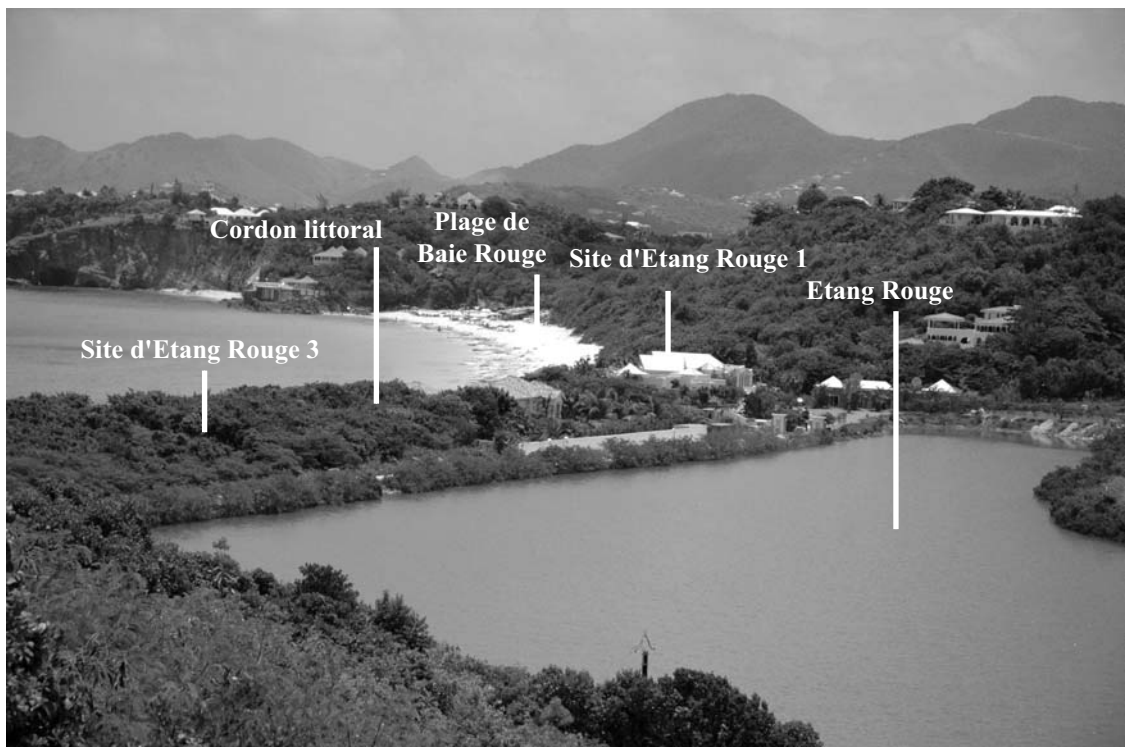


Figure 19 : Le site d'Etang Rouge vue vers l'est (cliché D. Bonnissent 2006).



Figure 20 : Etang Rouge 1, coupe du cordon littoral à l'ouest du site (cliché D. Bonnissent).

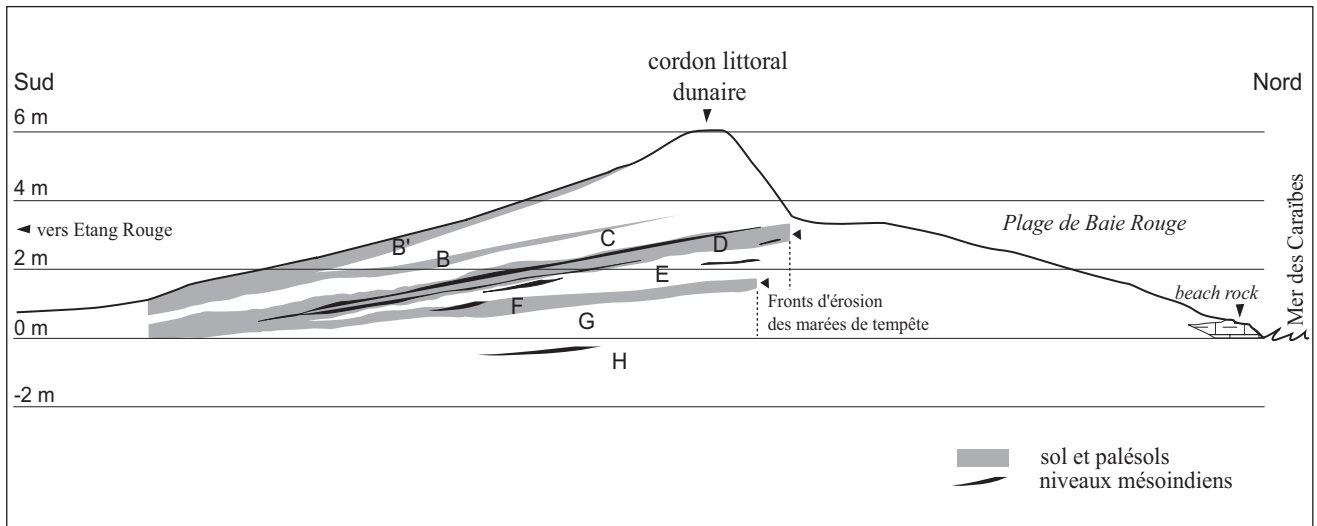


Figure 21 : Etang Rouge, schéma du profil du cordon littoral (D. Bonnissent).



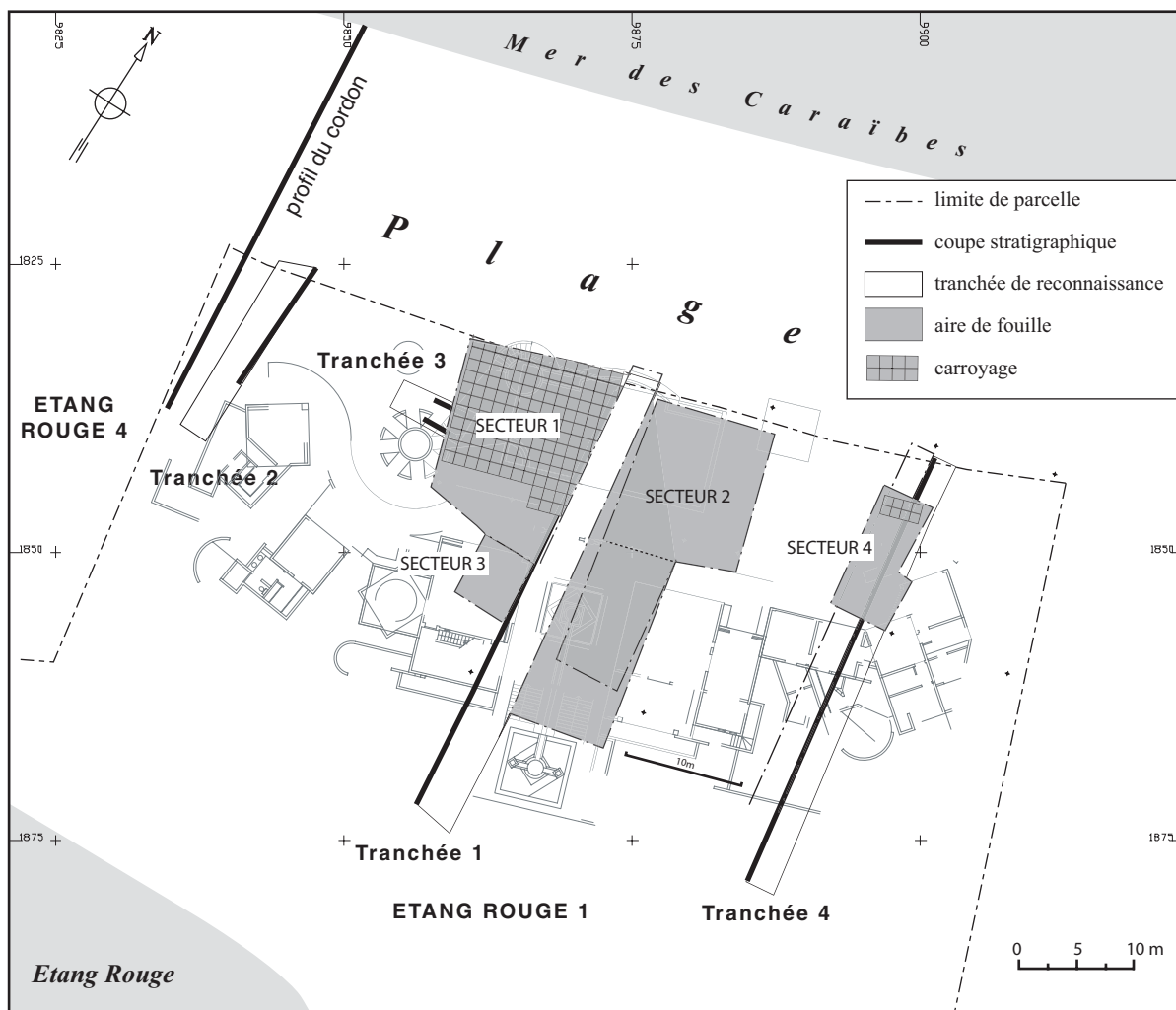


Figure 22 : Etang Rouge 1, plan du site (T. Romon, D. Bonnissent).



Figure 23 : Le site d'Etang Rouge 1 en cours de fouilles (cliché D. Bonnissent).

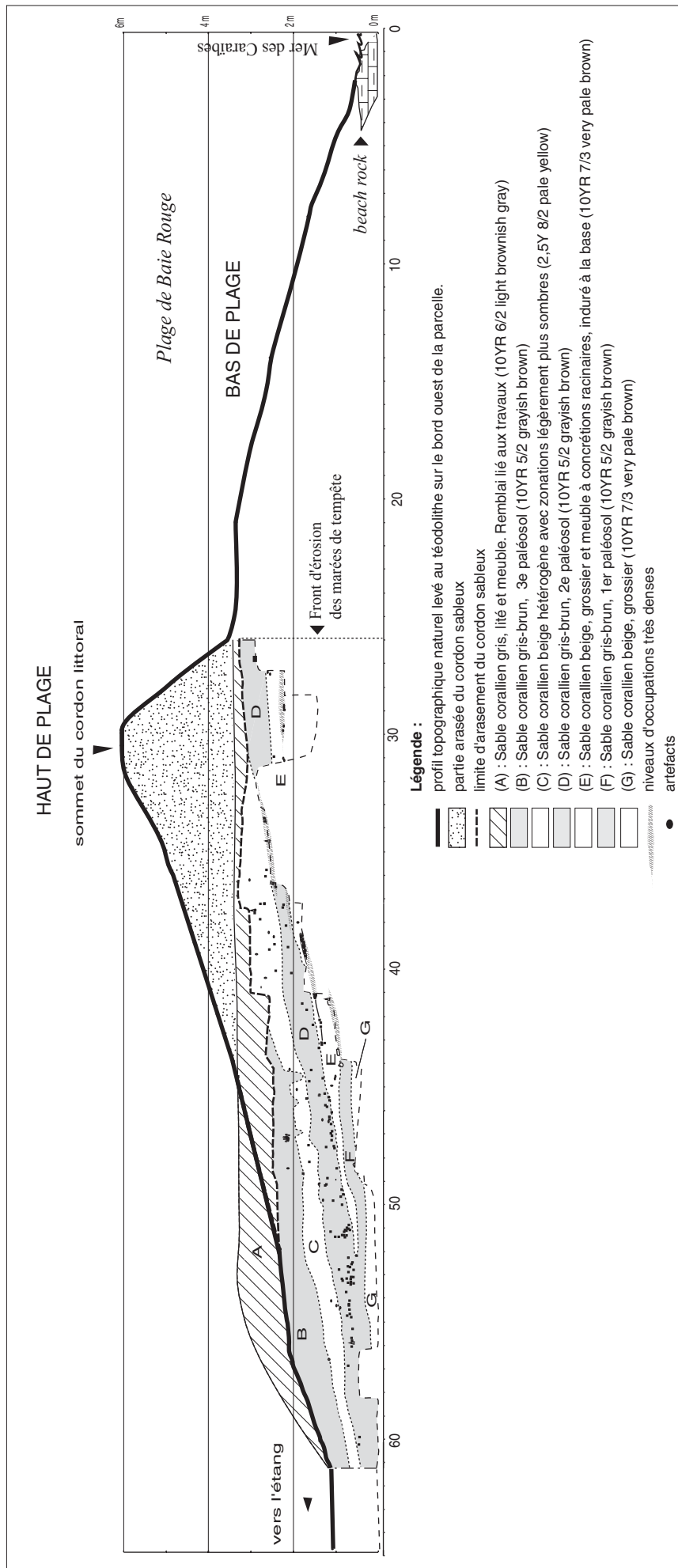
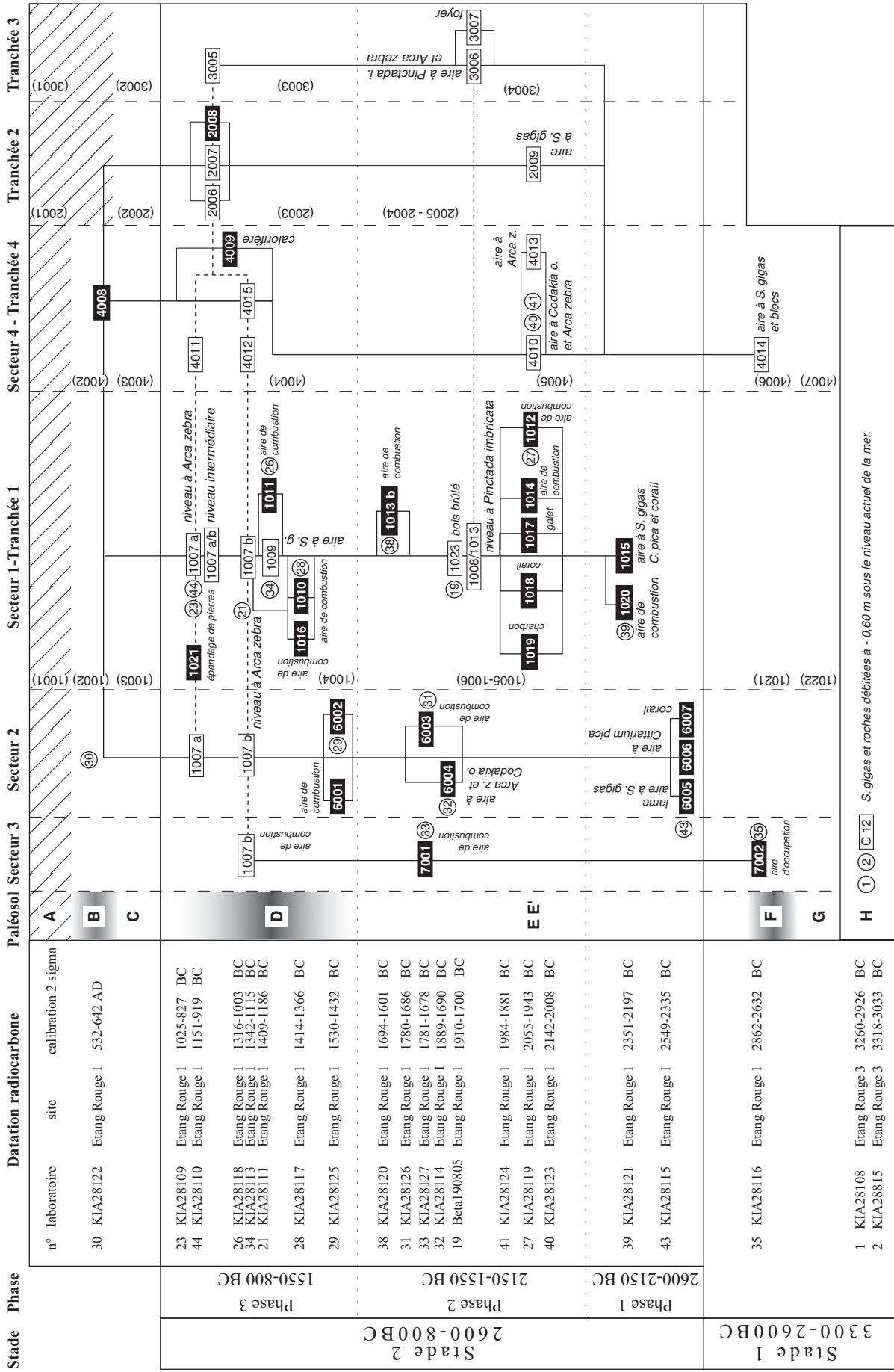


Figure 24 : Etang Rouge 1, coupe stratigraphique cumulée des dépôts du cordon littoral (D. Bonnissent).



\*Ce résultat n'est pas pris en compte dans l'analyse chronologique

Figure 25 : Diagramme chrono-stratigraphique du site d'Etang Rouge 1 et 3 (D. Bommissent).

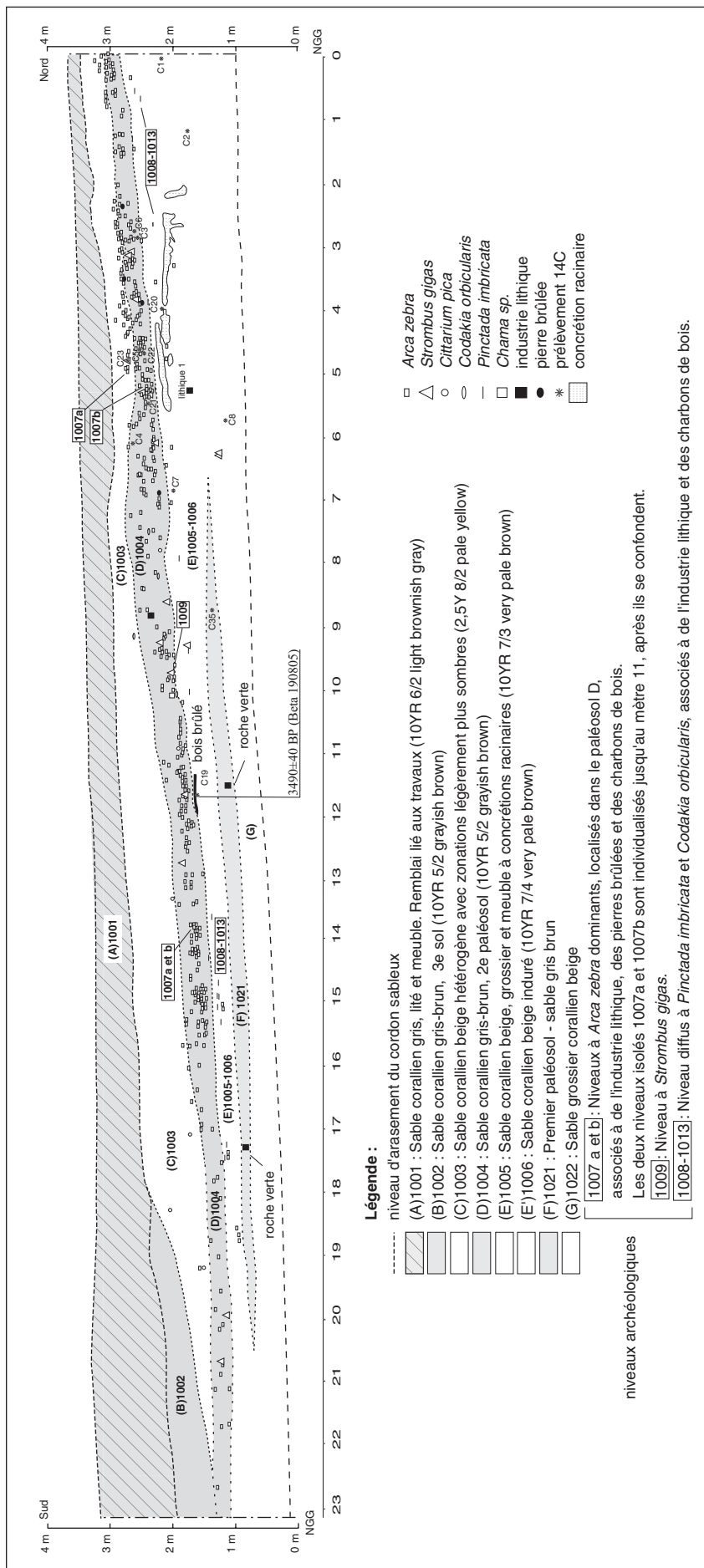


Figure 26 : Etang Rouge 1, coupe stratigraphique ouest de la tranchée 1 (D. Bonnissent).



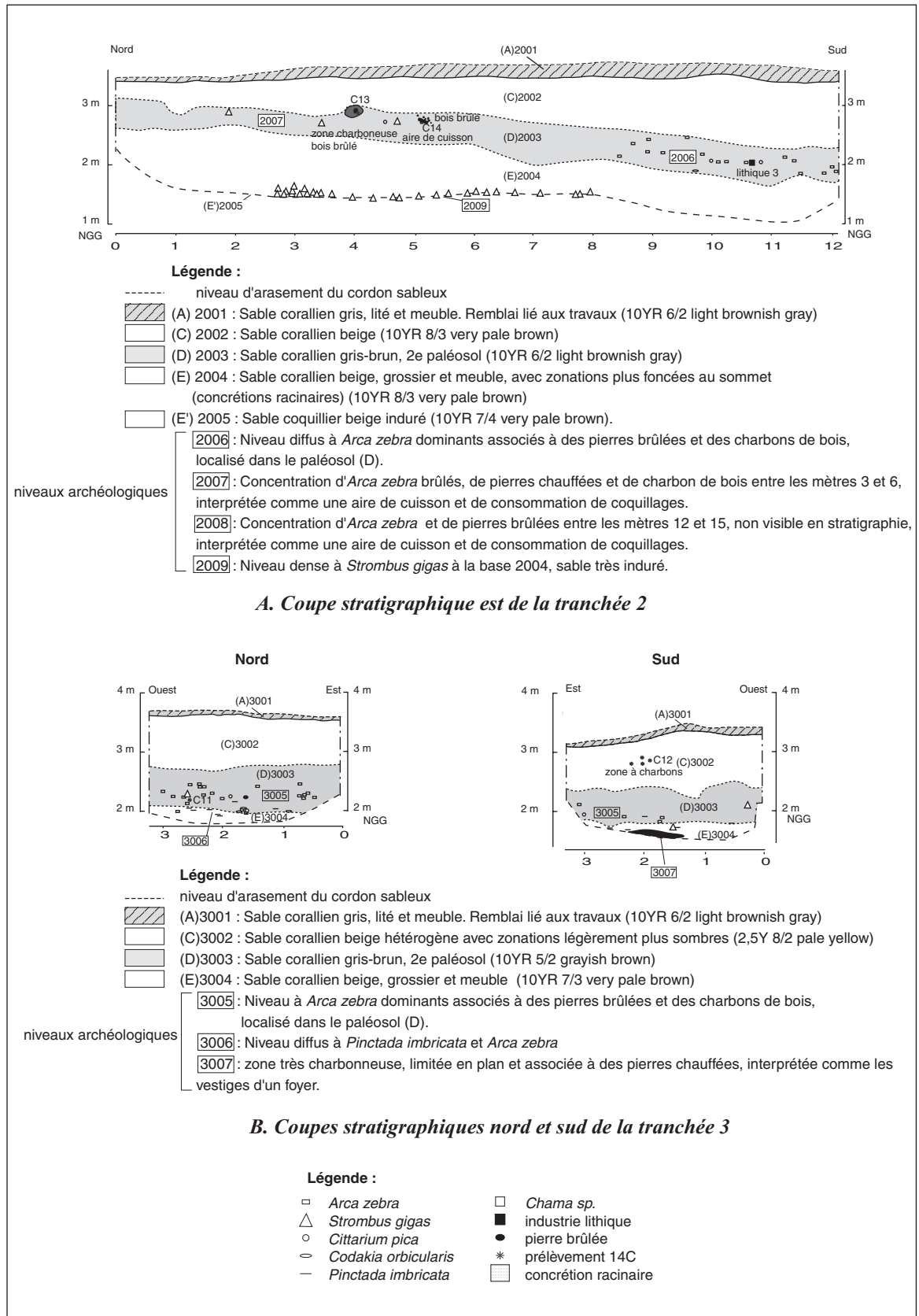


Figure 27 : Etang Rouge 1, coupes stratigraphiques des tranchées 2 et 3 (D. Bonnissent).

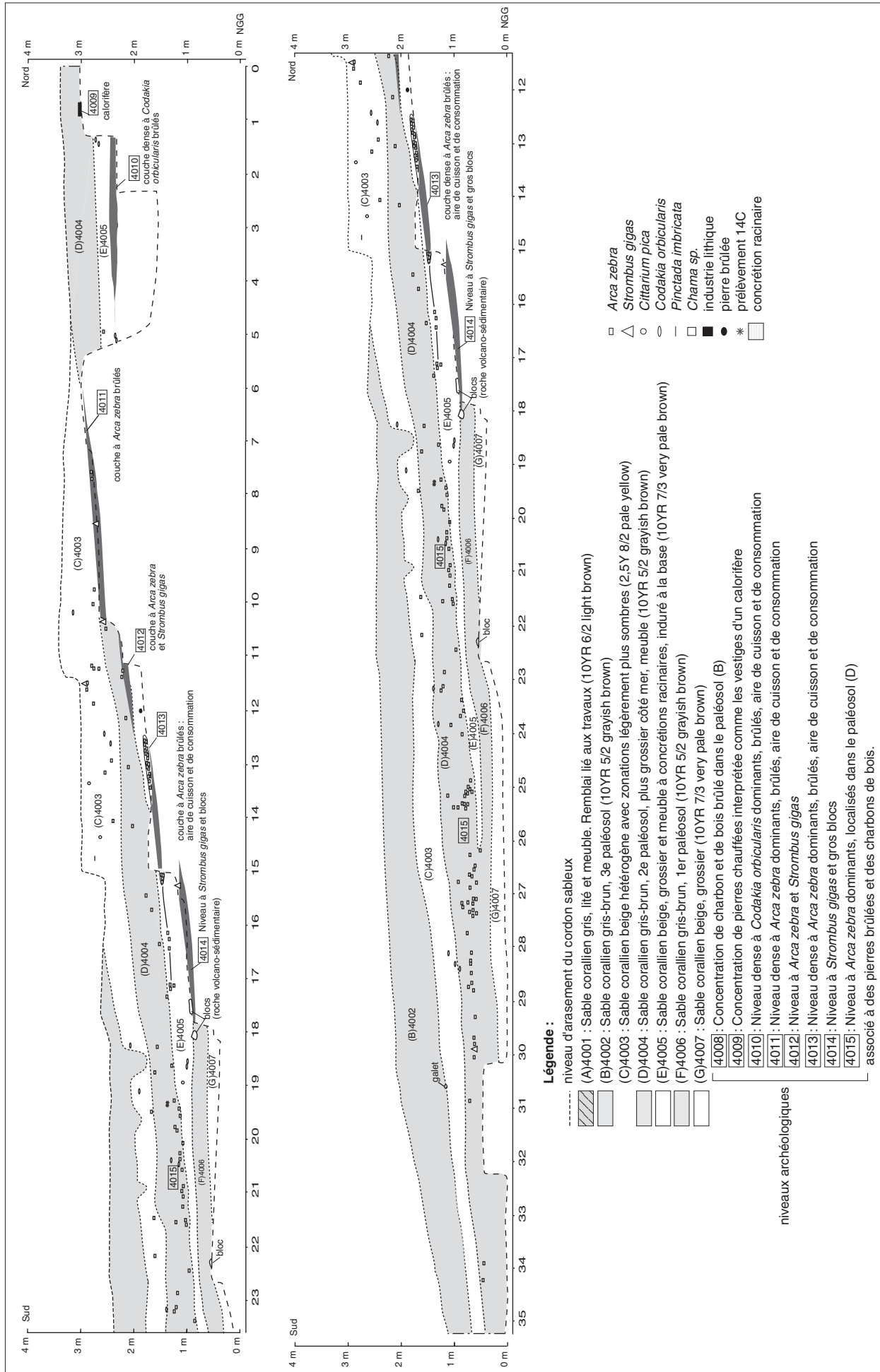


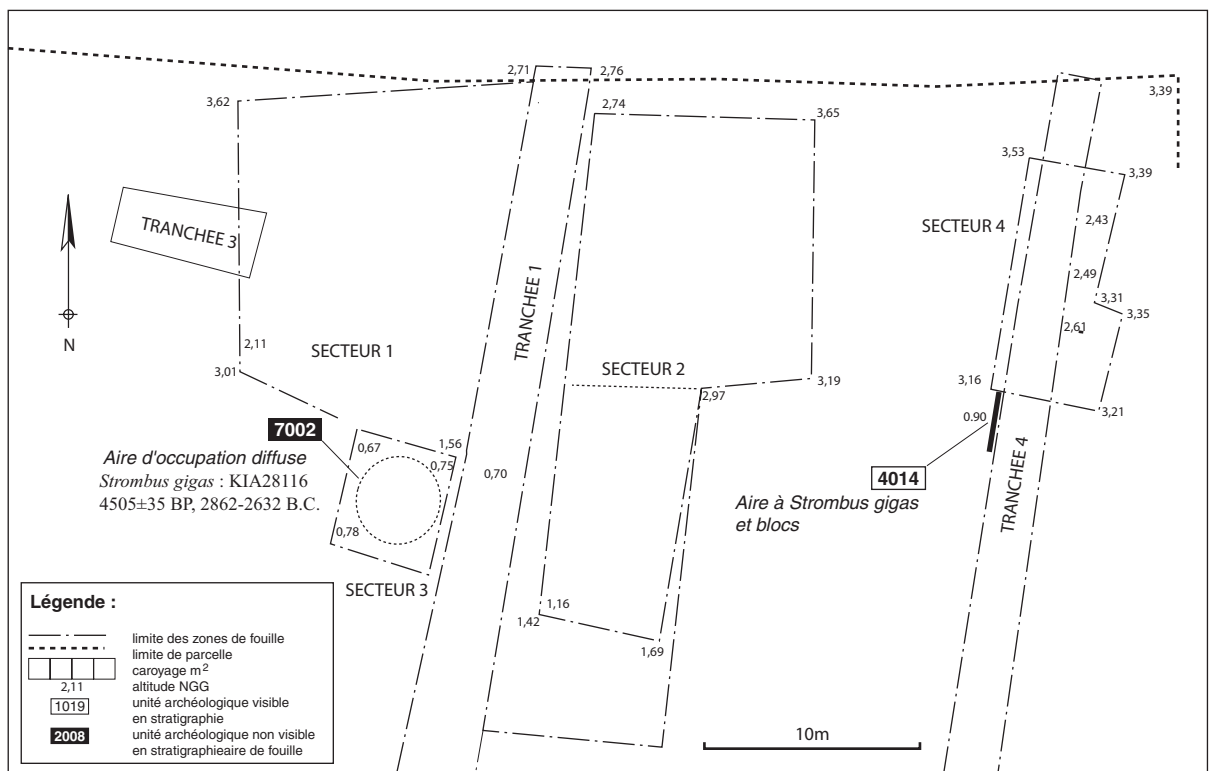
Figure 28 : Etang Rouge 1, coupe stratigraphique ouest de la tranchée 4 (D. Bonnissent).



Figure 29 : Nucléus ou chopping-tool et éclat du niveau 12 d'Etang Rouge 3 (Martias 2005).



Figure 30 : Remontage entre le nucléus ou chopping-tool et un éclat, Etang Rouge 3 (Martias 2005).



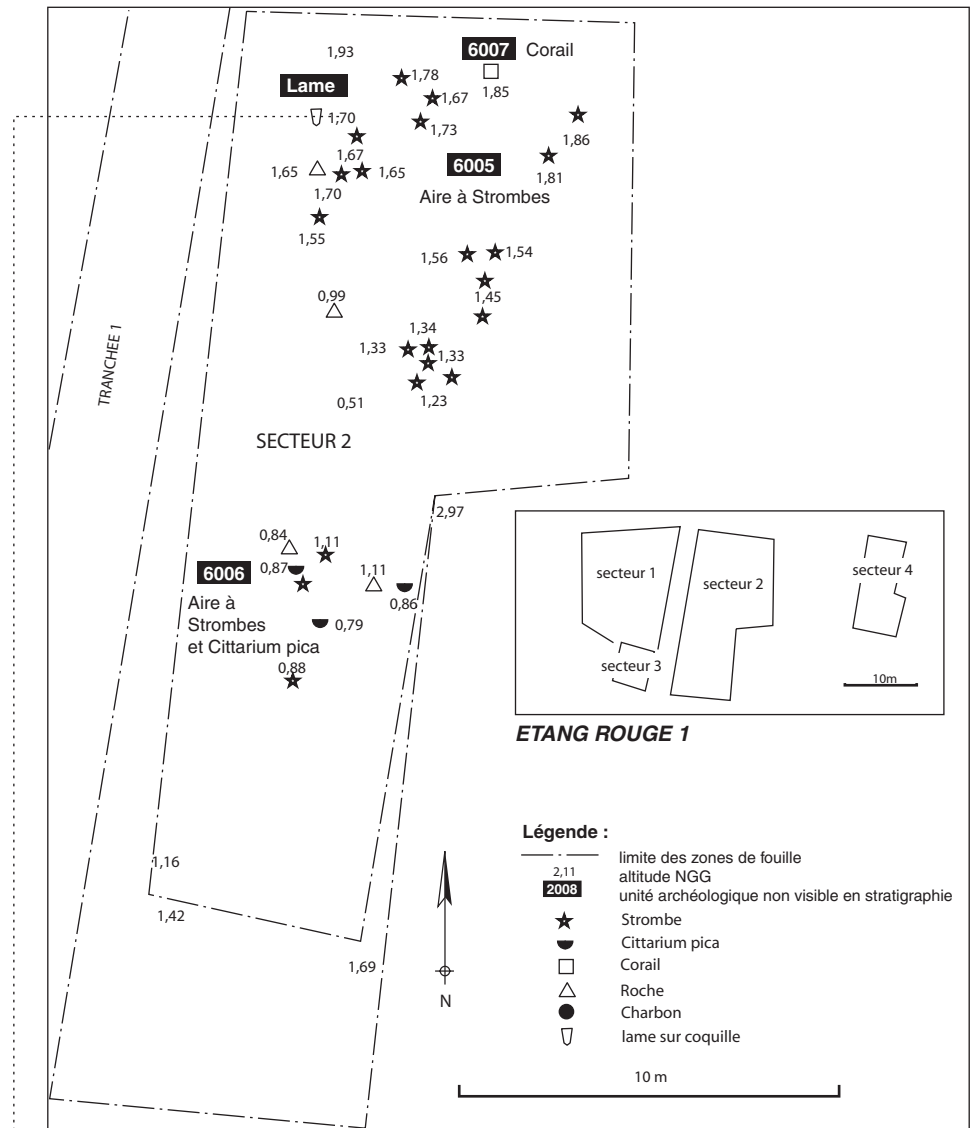


Figure 32 : Etang Rouge 1, localisation des vestiges de la première phase d'occupation du stade mésoindien 2 dans le secteur 2 (T. Romon).

lame : KIA28115 4275±30 BP  
2549-2335 BC

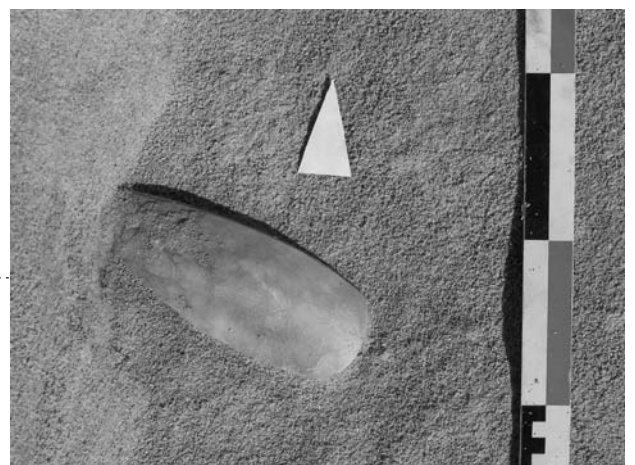


Figure 33 : Etang Rouge 1, lame sur *Strombus gigas*, unité stratigraphique 6005 (D. Bonnissent).

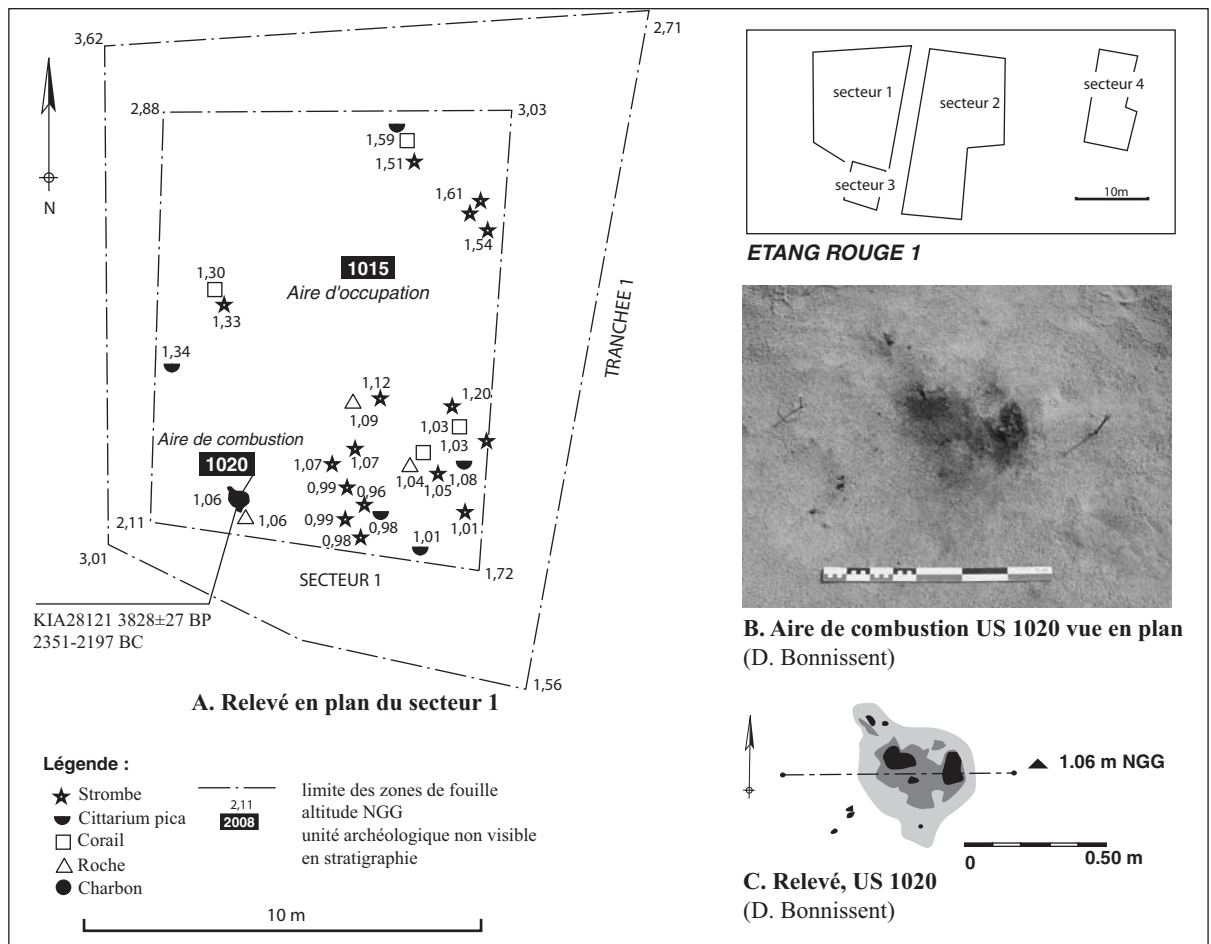


Figure 34 : Etang Rouge 1, localisation des vestiges de la première phase d'occupation du stade mésoindien 2 dans le secteur 1 (T. Romon, D. Bonnissent).

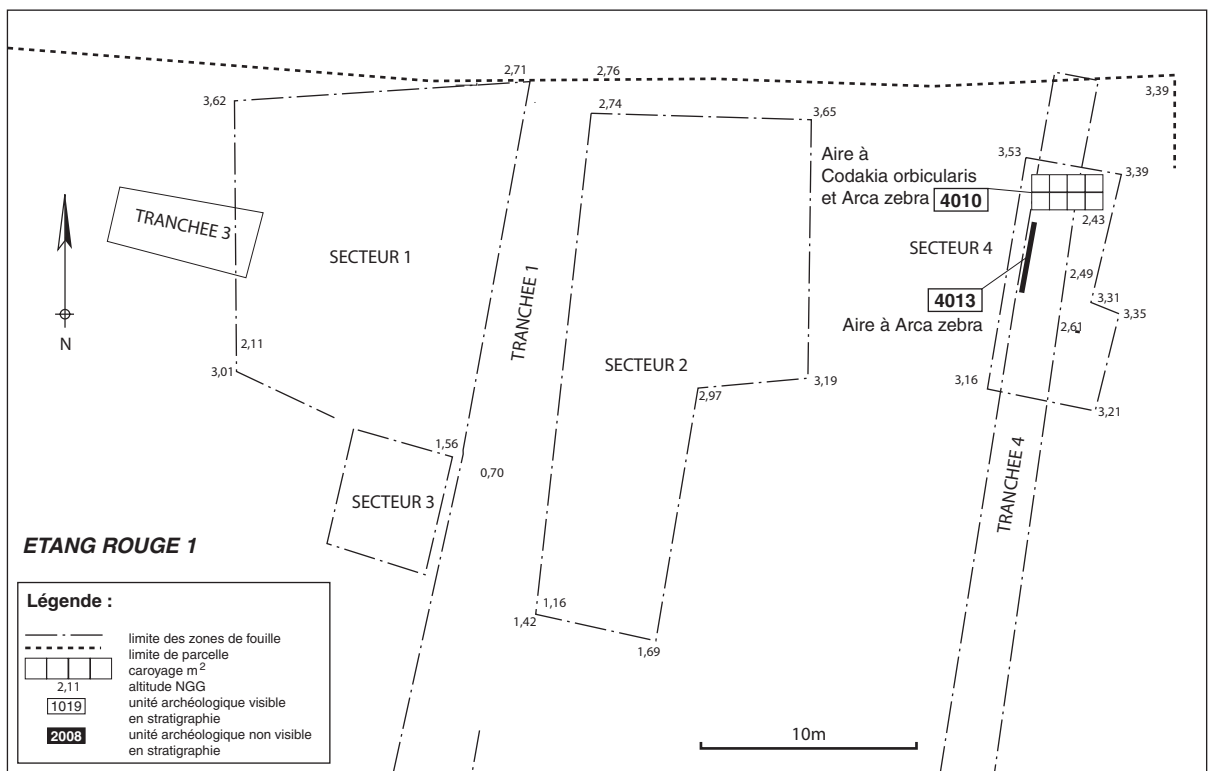


Figure 35 : Etang Rouge 1, localisation des vestiges de la seconde phase d'occupation du stade mésoindien 2 dans le secteur 4, unités stratigraphiques 4010 et 4013 (T. Romon).



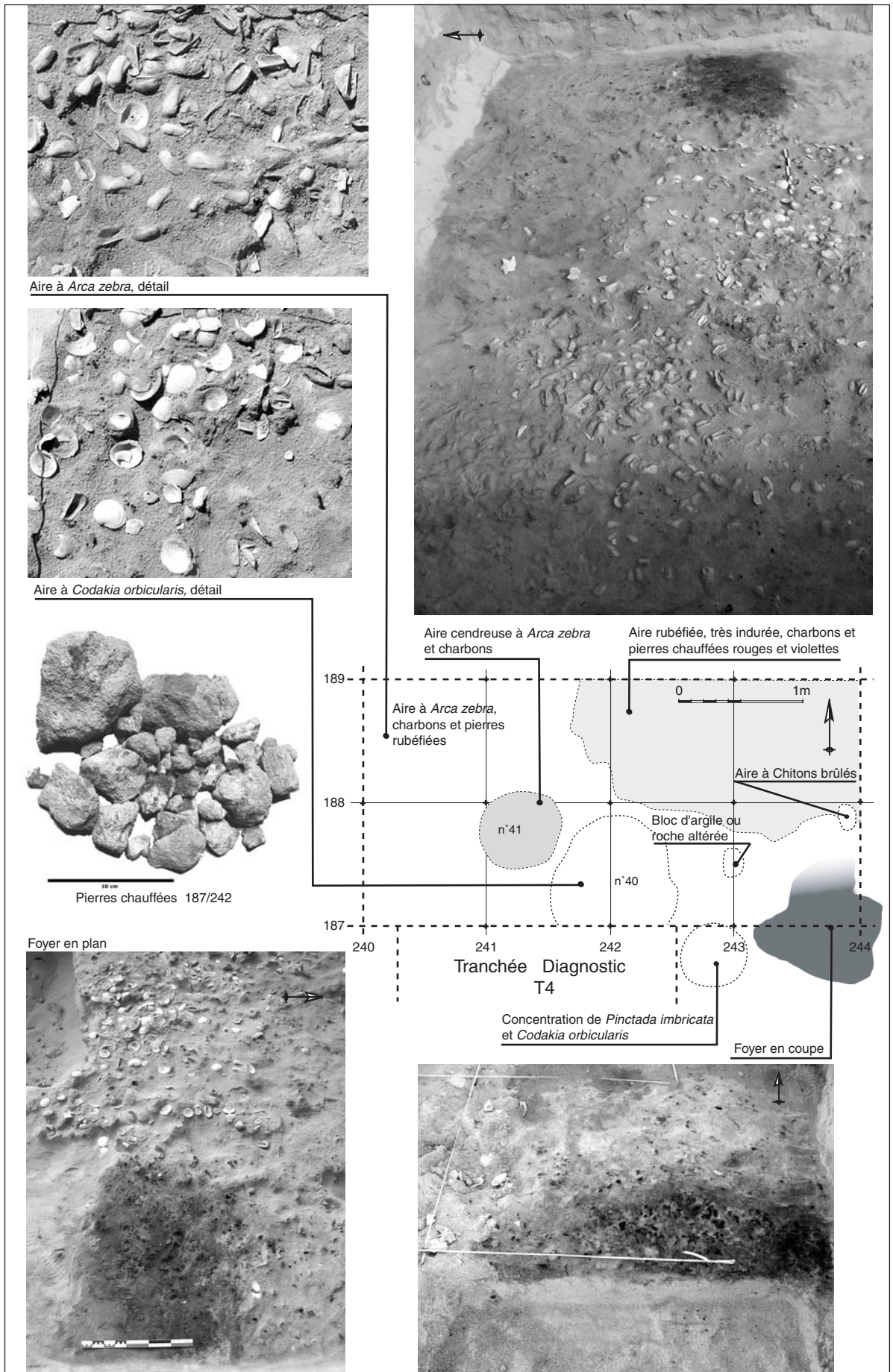


Figure 36 : Etang Rouge 1, aire de cuisson et de consommation de coquillages, unité stratigraphique 4010, secteur 4 (D. Bonnissent, R. Martias).

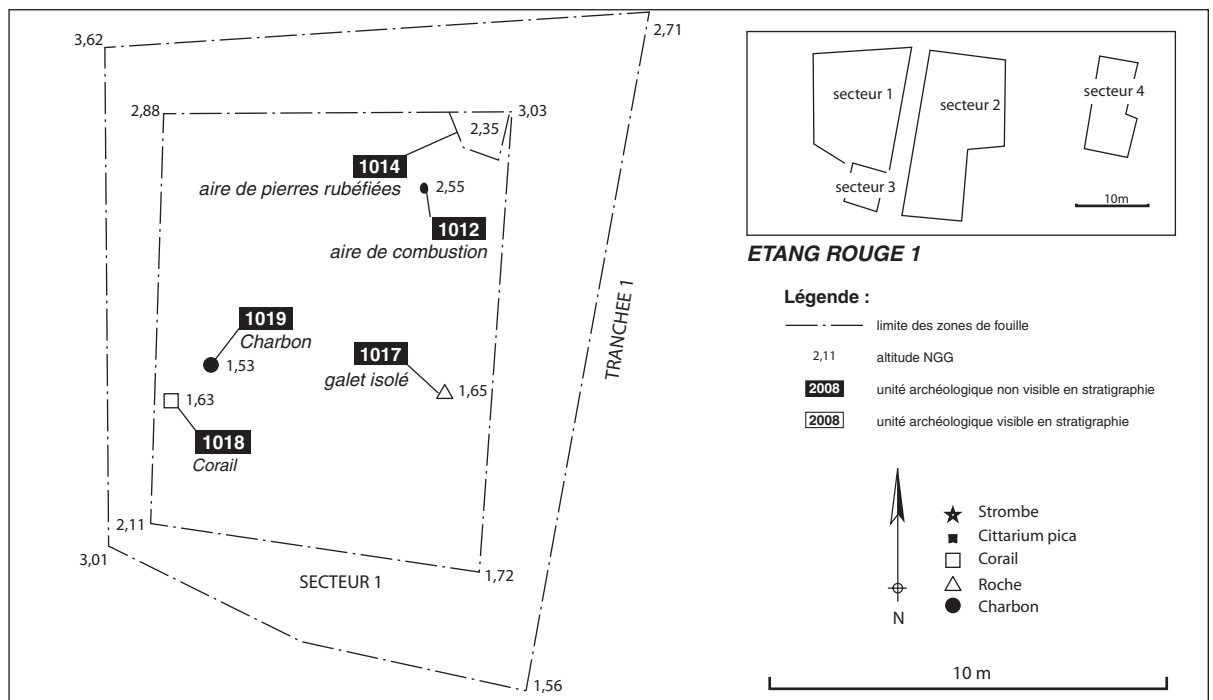


Figure 37 : Etang Rouge 1, localisation des vestiges de la seconde phase d'occupation du stade mésoindien 2 dans le secteur 1, unités stratigraphiques 1012, 1014, 1017, 1018, 1019 (T. Romon).

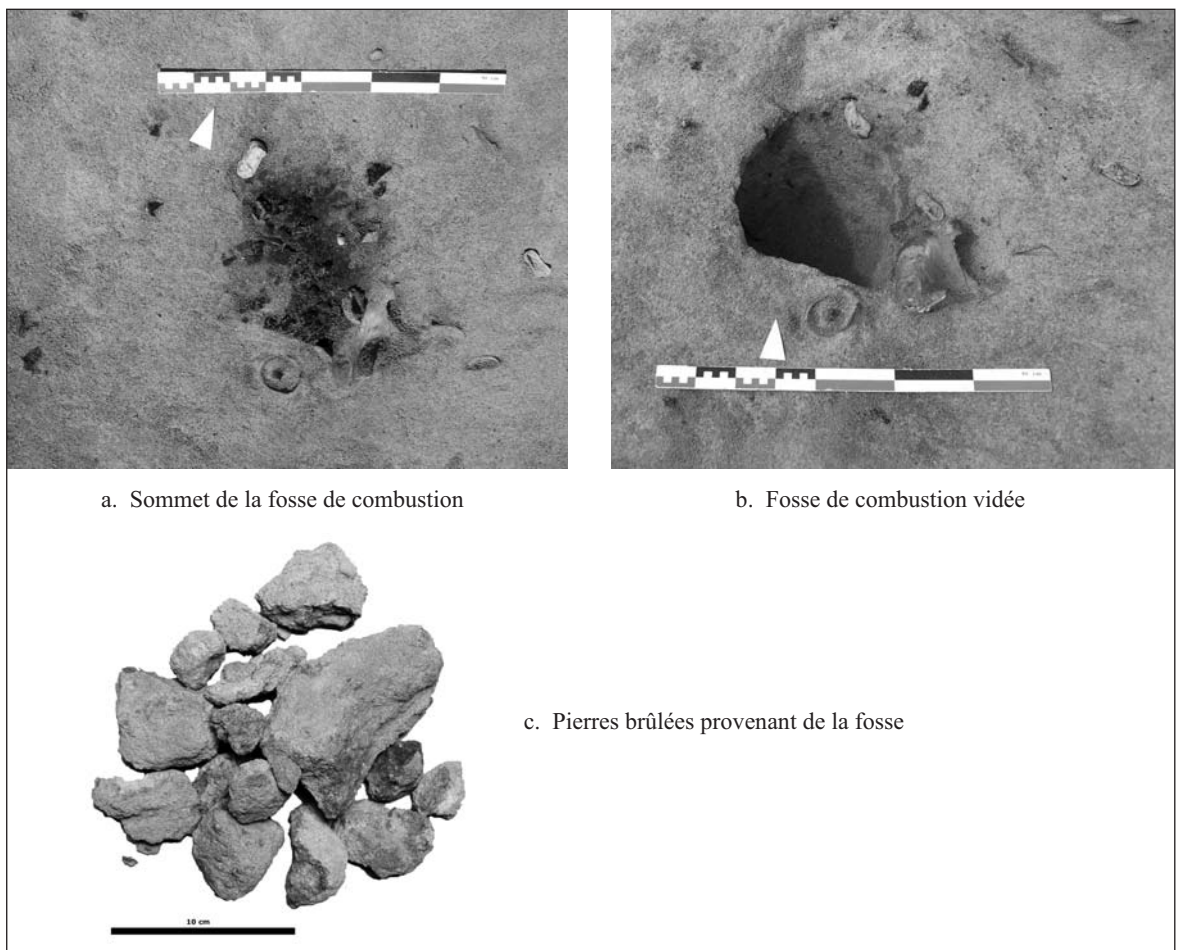


Figure 38 : Etang Rouge 1, fosse de combustion, unité stratigraphique 1012 (D. Bonnissent).

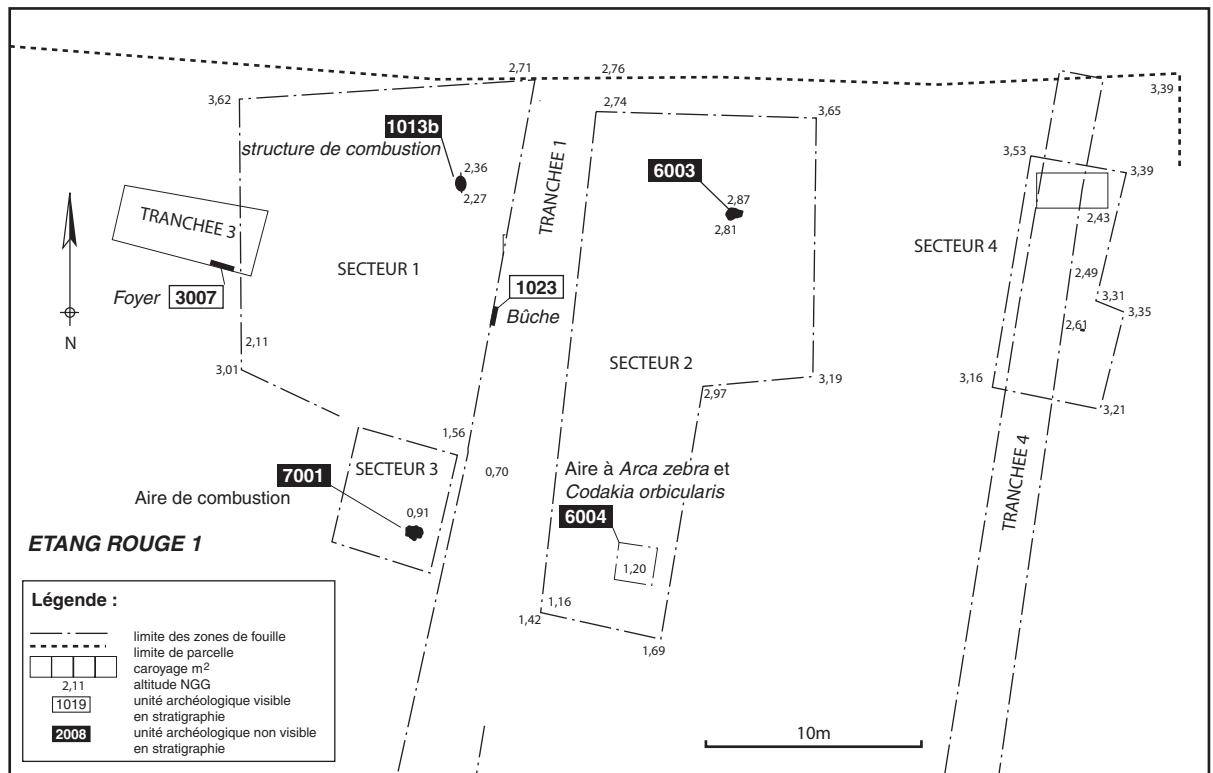


Figure 39 : Etang Rouge 1, localisation des vestiges de la seconde phase d'occupation du stade mésoindien 2, unités stratigraphiques 1013b, 1023, 3007, 6003, 6004, 7001 (T. Romon).



Figure 40 : Etang Rouge 1, foyer plat en tranchée 3, unité stratigraphique 3007 (D. Bonnissent).



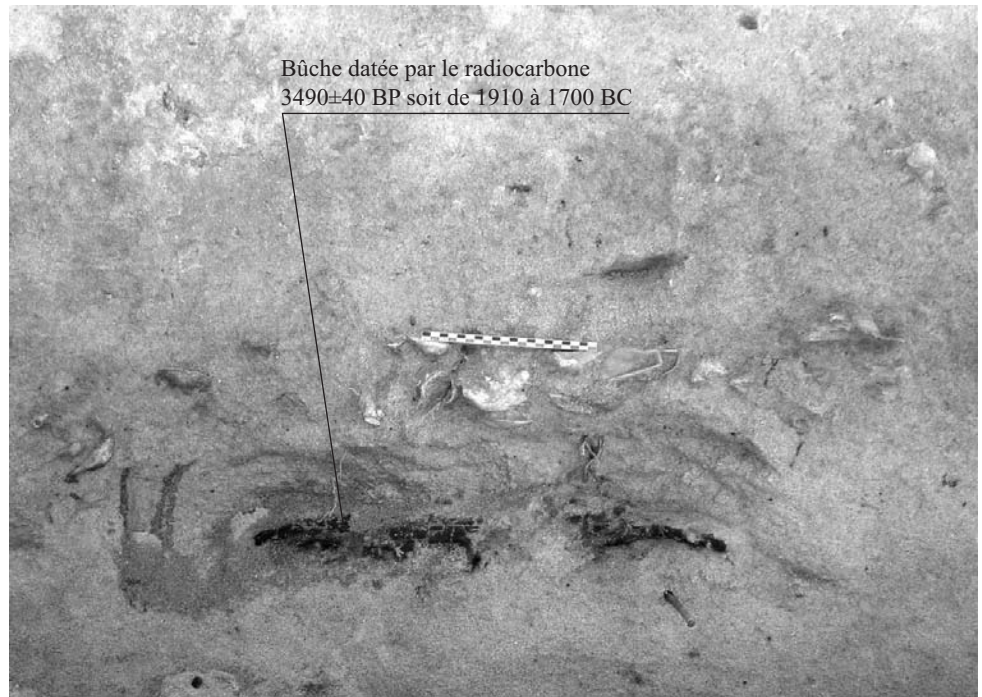


Figure 41 : Etang Rouge 1, bûche de la tranchée 1, unité stratigraphique 1023 (D. Bonnissent).

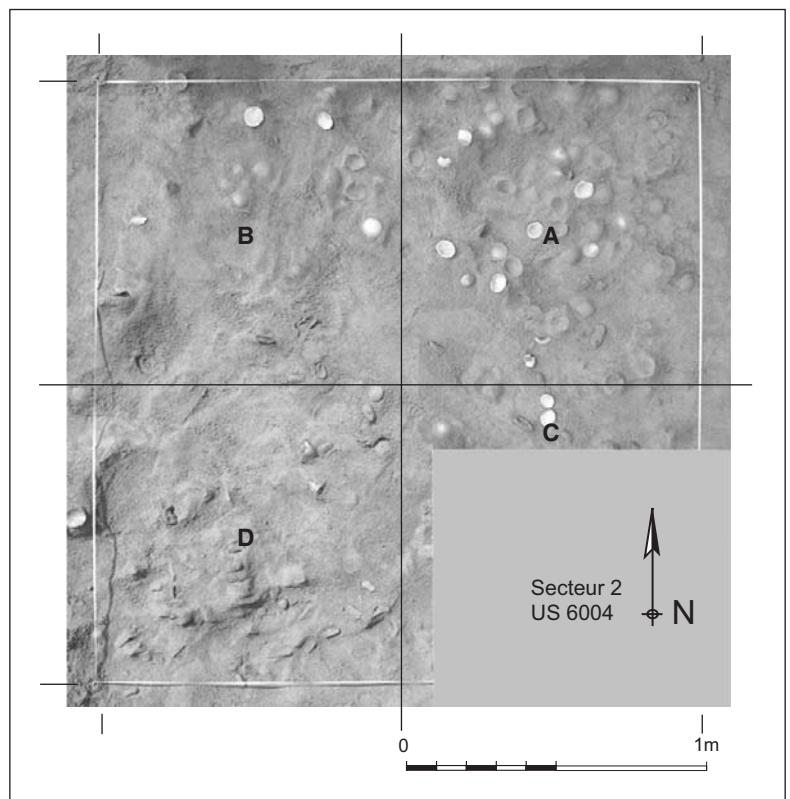


Figure 42 : Etang Rouge 1, relevé photographique d'un amas coquillier du secteur 2, unité stratigraphique 6004 (D. Bonnissent, R. Martias).

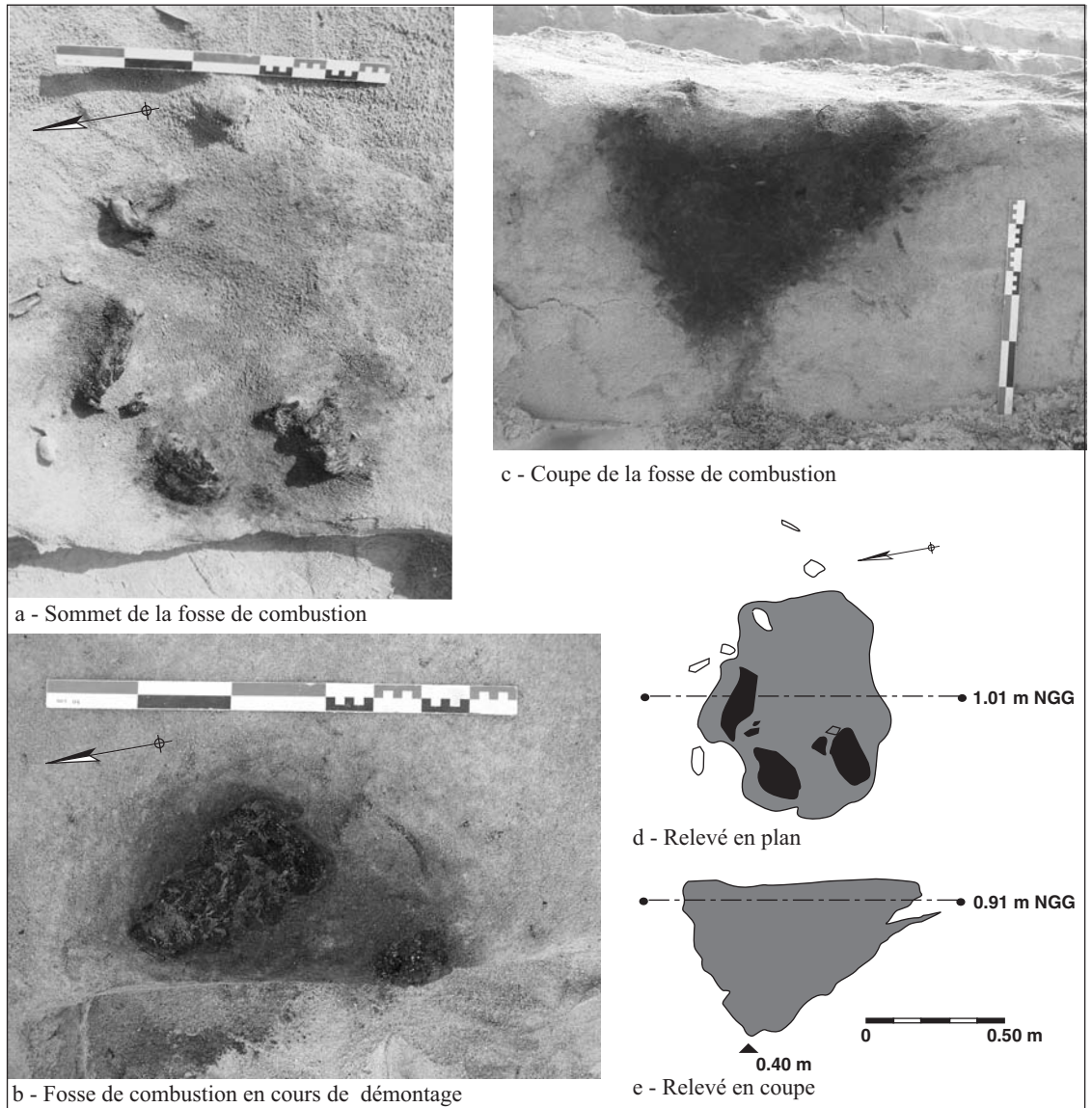


Figure 43 : Etang Rouge 1, fosse de combustion, unité stratigraphique 7001 (D. Bonnissent).



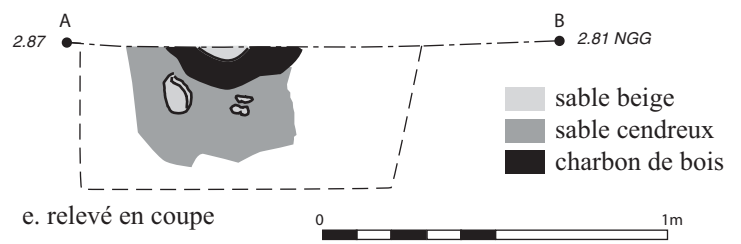
a. sommet de la fosse de combustion



c. démontage de la fosse de combustion



d. relevé en plan



e. relevé en coupe

Figure 44 : Etang Rouge 1, fosse de combustion, unité stratigraphique 6003 du secteur 2 (D. Bonnissent, C. Etrich, T. Romon)



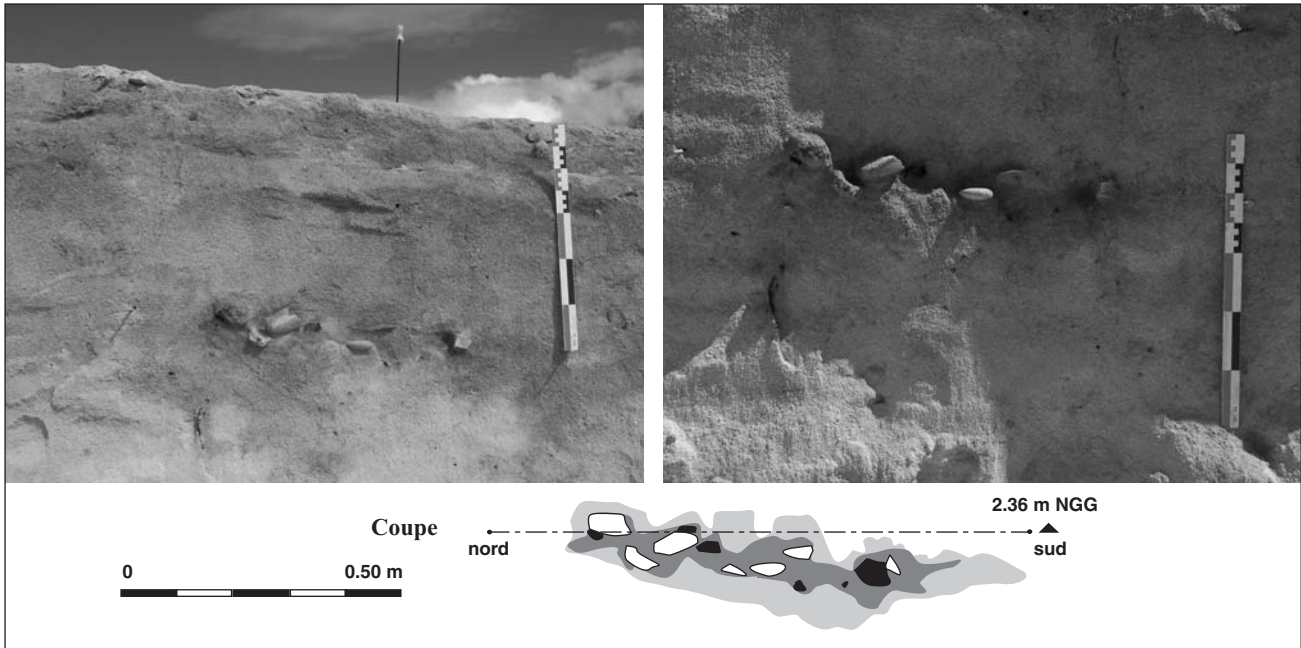


Figure 45 : Etang Rouge 1, aire de combustion, unité stratigraphique 1013b (D. Bonnissent).

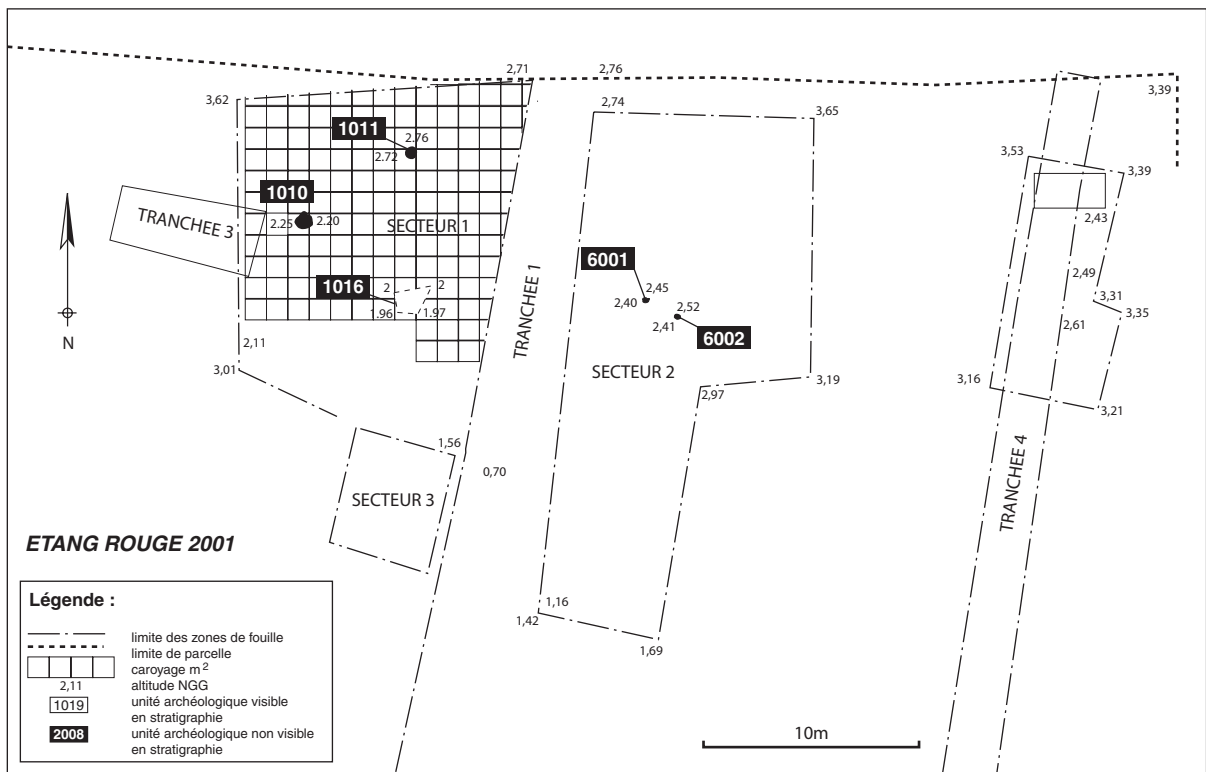
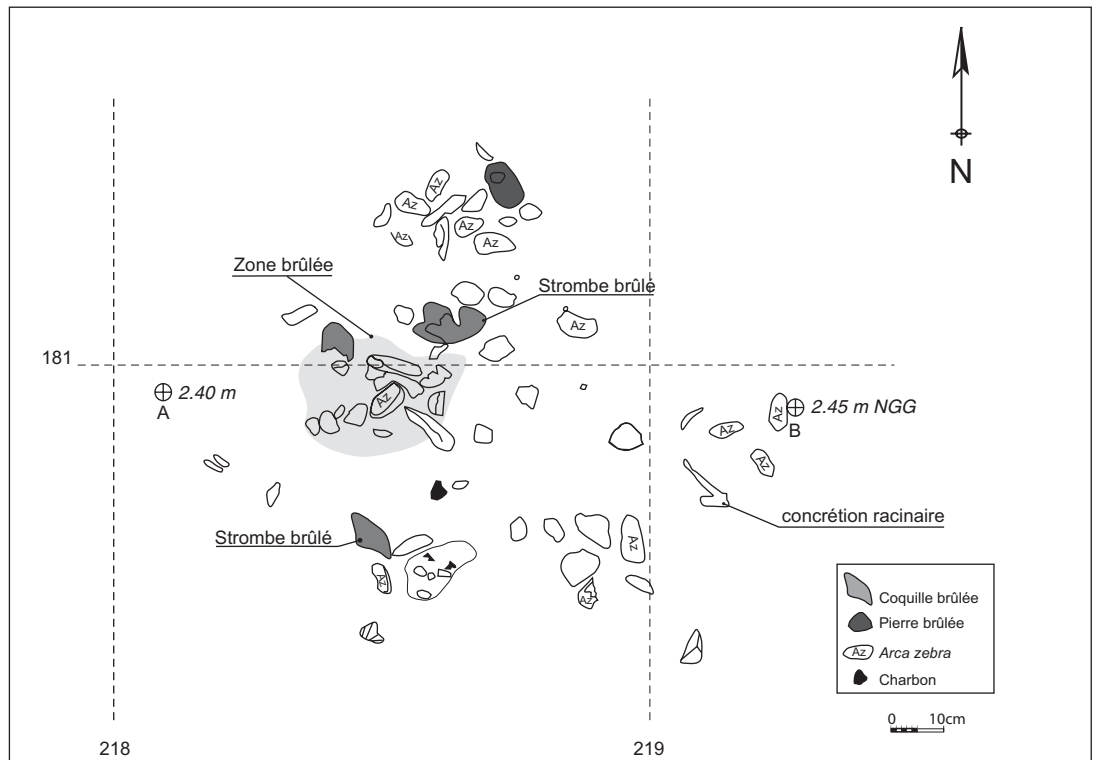


Figure 46 : Etang Rouge 1, localisation des aires de combustion de la troisième phase d'occupation du stade néoindien 2, secteurs 1 et 2 (T. Romon, D. Bonnissent).



a. relevé de l'aire de consommation.



b. Vue de l'aire de consommation.

Figure 47 : Etang Rouge 1, aire de combustion et de consommation du secteur 2, unité stratigraphique 6001 (D. Bonnissent, R. Martias).

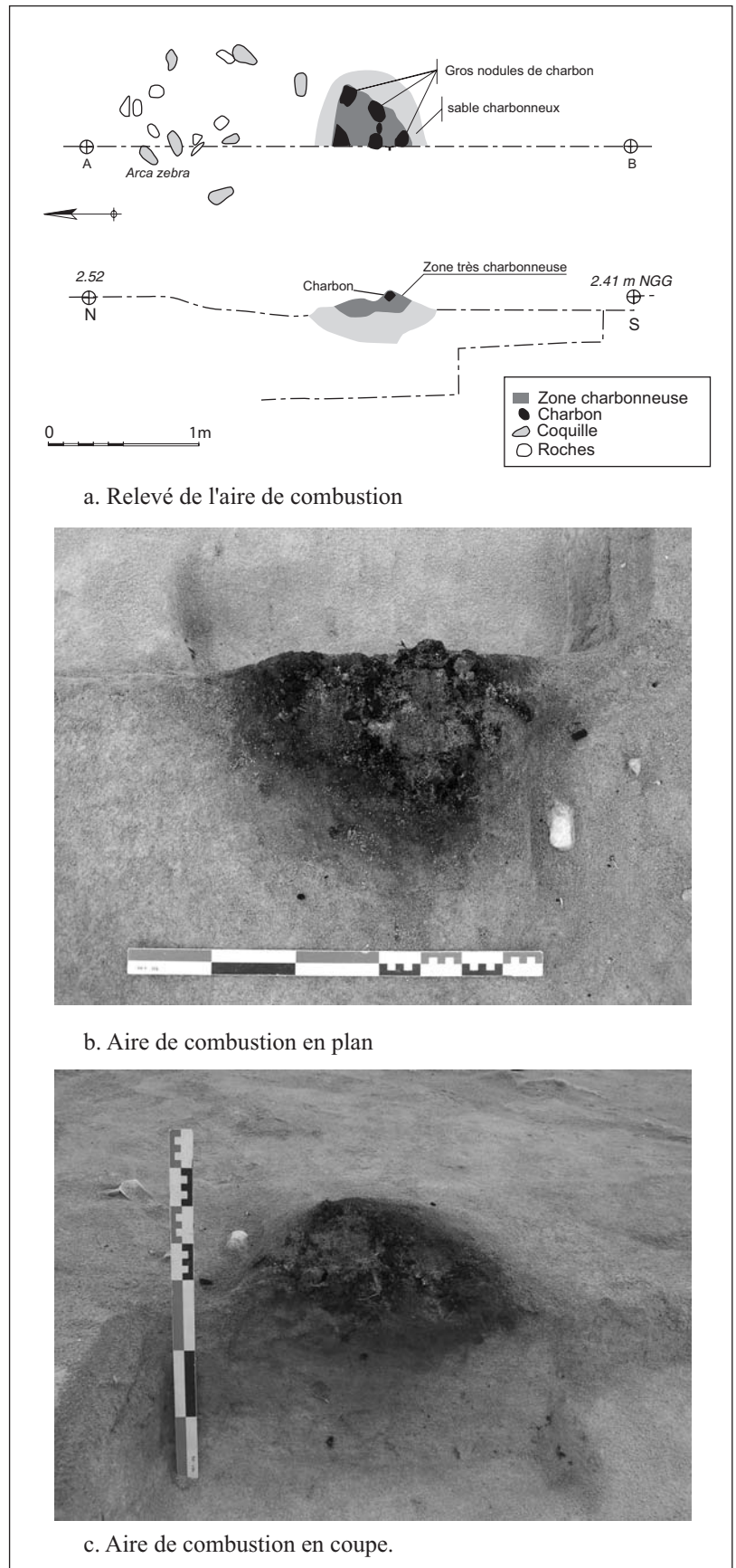


Figure 48 : Etang Rouge 1, aire de combustion du secteur 2, unité stratigraphique 6002 (D. Bonnissent).



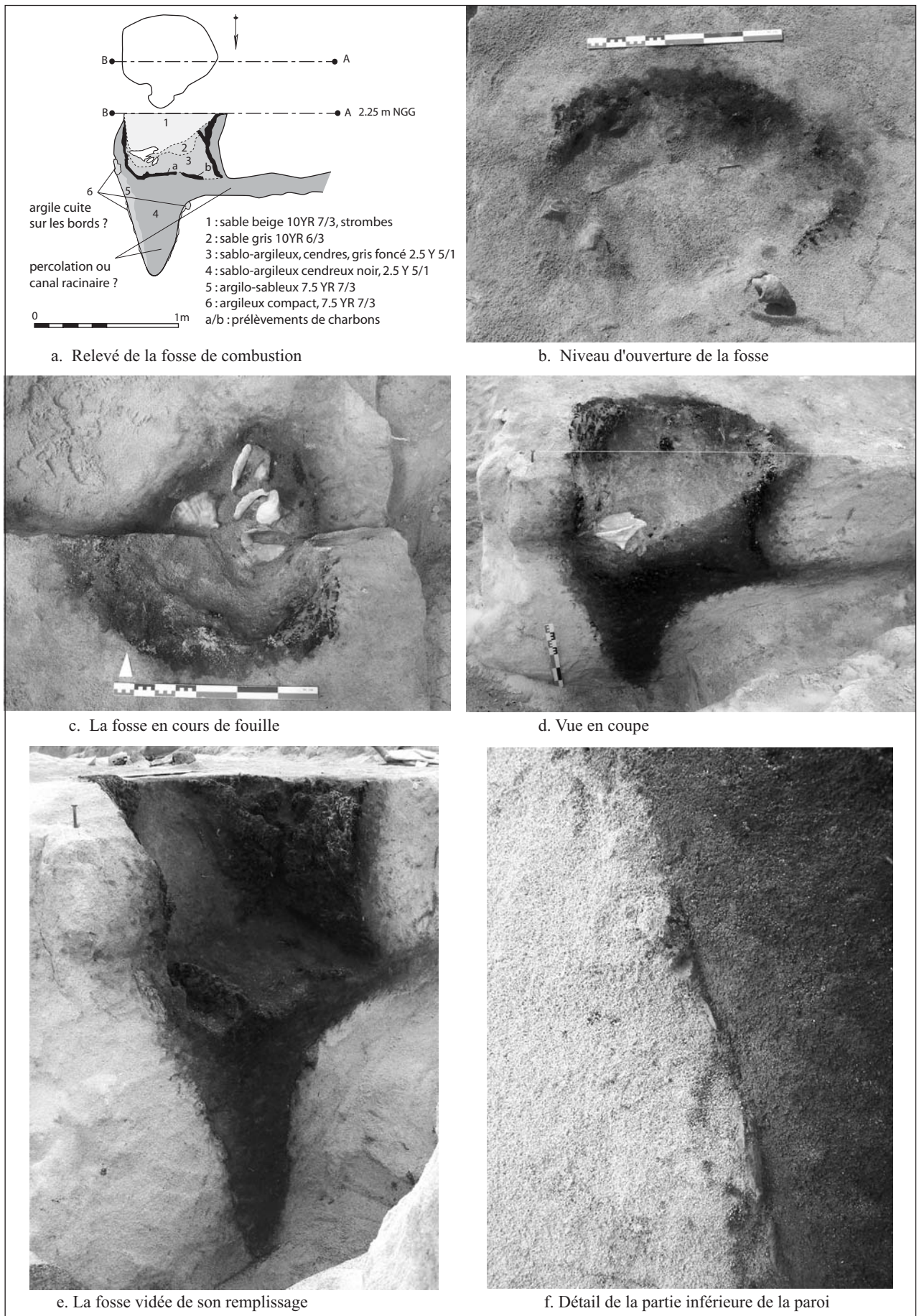


Figure 49 : Etang Rouge 1, fosse de combustion secteur 1, unité stratigraphique 1010 (D. Bonnissent, S. Hérouin, T. Romon).



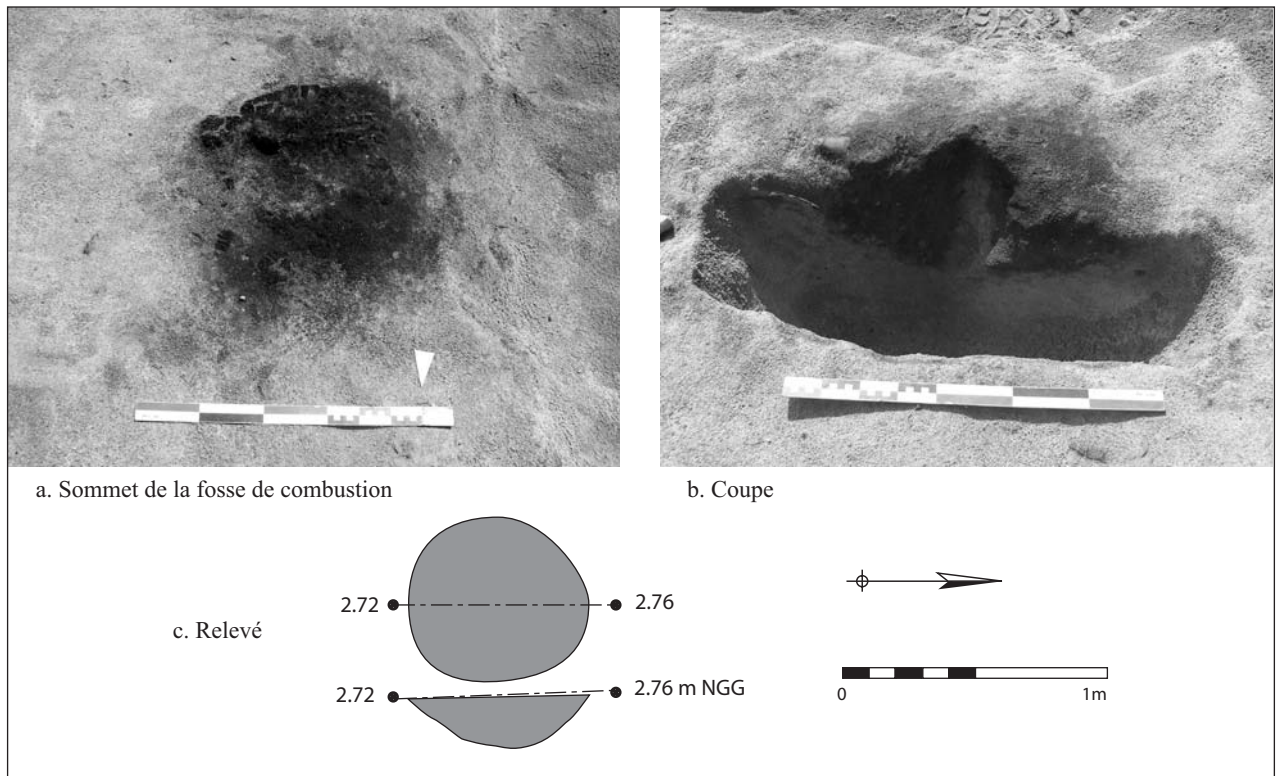


Figure 50 : Etang Rouge 1, fosse de combustion du secteur 1, unité stratigraphique 1011 (D. Bonnissent, R. Martias).



Figure 51 : Etang Rouge 1, vues des niveaux à *Arca zebra* en secteur 1, unités stratigraphiques 1007a, a/b et b (D. Bonnissent).



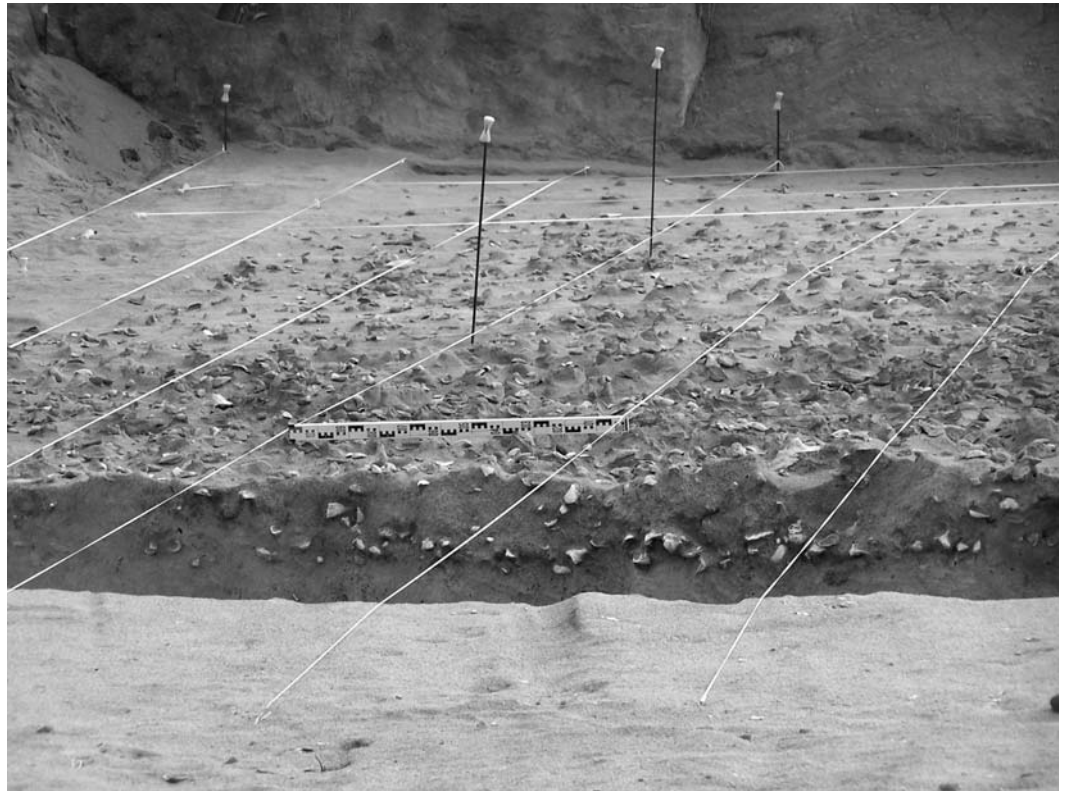


Figure 52 : Etang Rouge 1, couches à *Arca zebra* en coupe, secteur 1 (D. Bonnissent).

Figure 53 : Etang Rouge 1, détail de la couche à *Arca zebra* 1007 a, secteur 1 (D. Bonnissent).

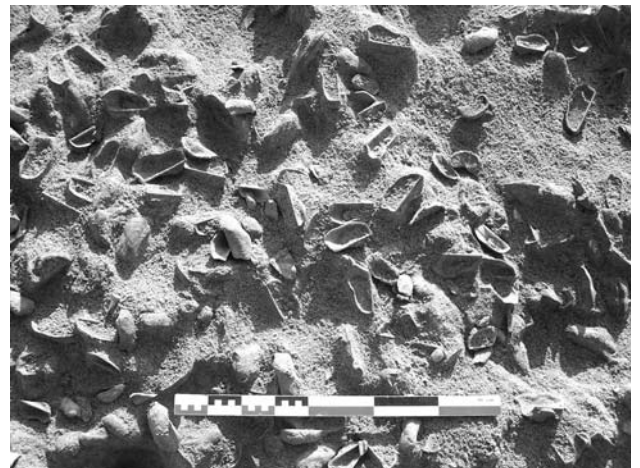


Figure 54 : Etang Rouge 1, calorifère du secteur 4, unité stratigraphique 4009 (D. Bonnissent).



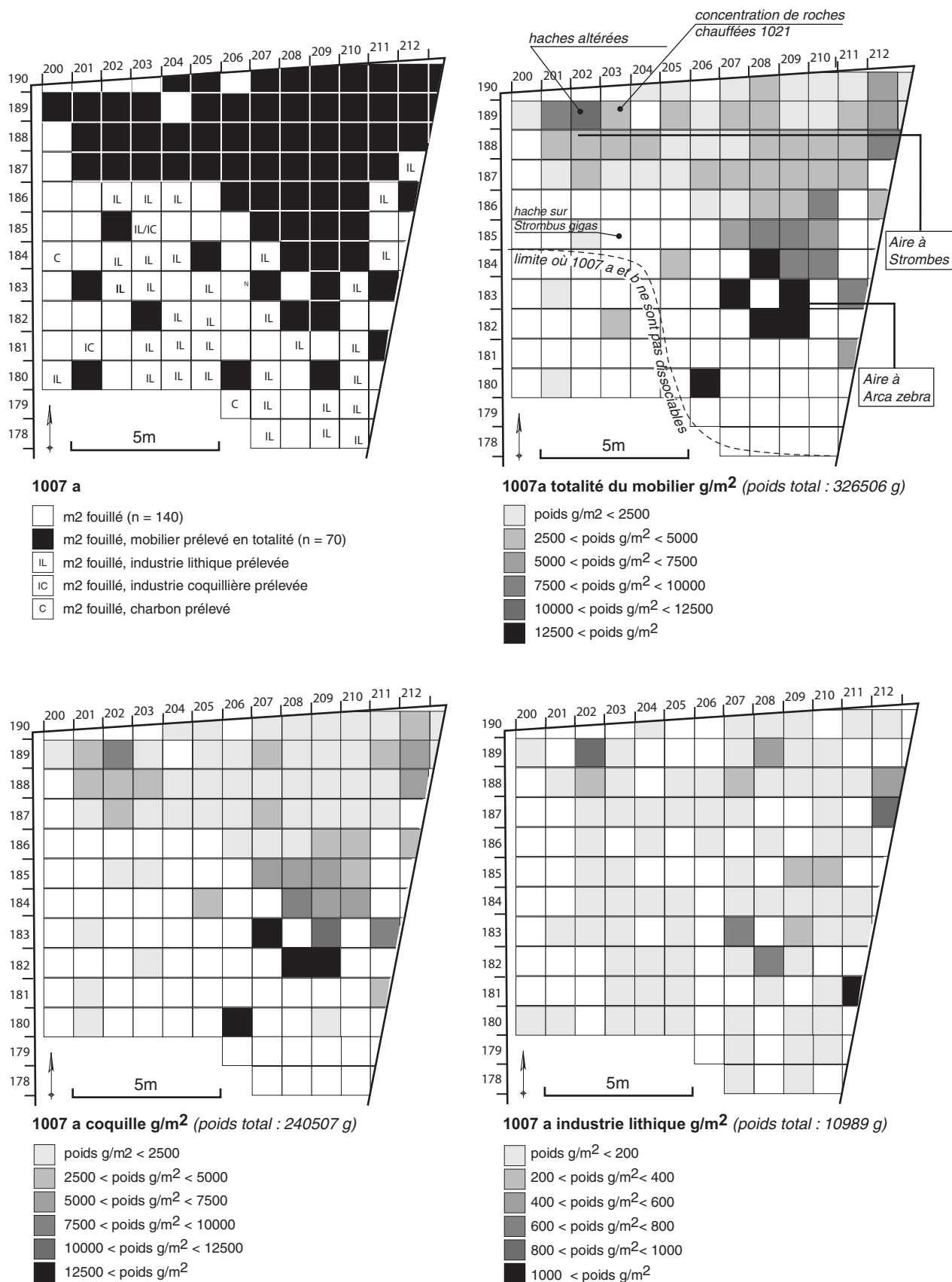
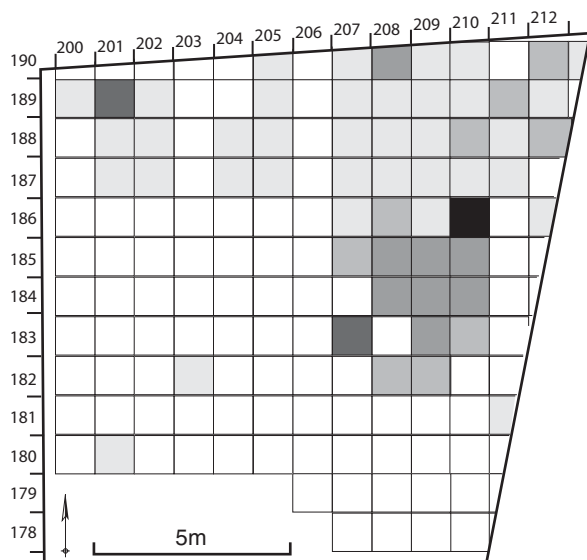
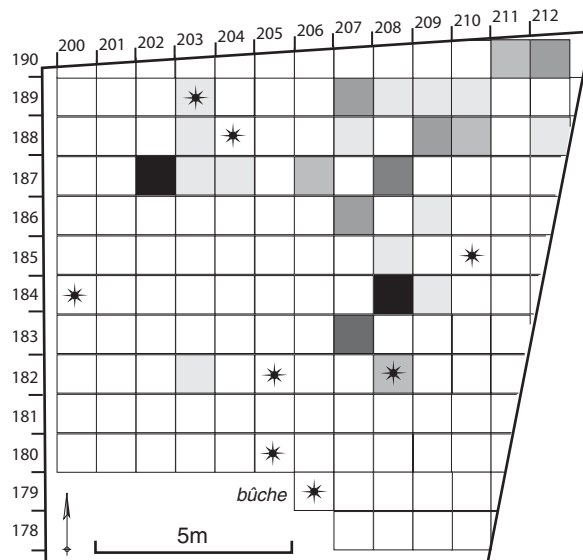
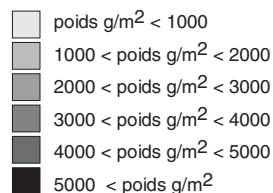


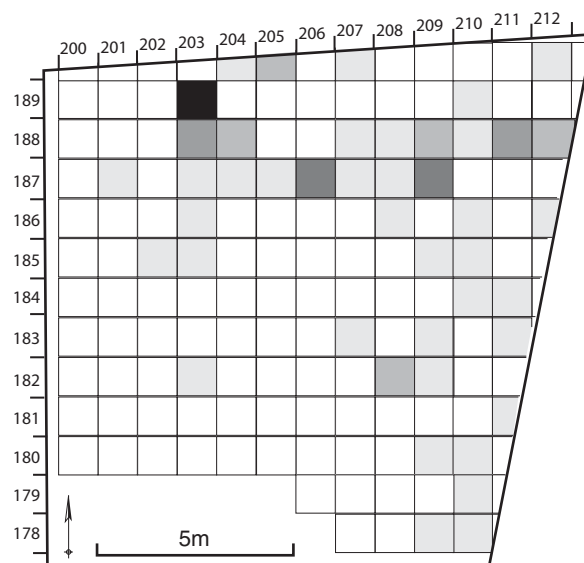
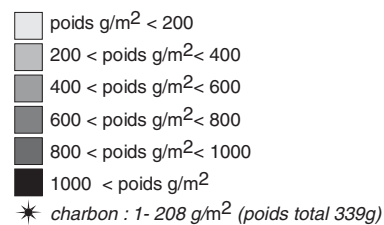
Figure 55 : Etang Rouge 1, cartes de répartition pondérale du mobilier de l'unité stratigraphique 1007 a du secteur 1 (D. Bonnissent).



**1007a calcirudites g/m<sup>2</sup>** (poids total : 60223 g)



**1007a corail g/m<sup>2</sup>** (poids total : 7865 g)



**1007a roches volcaniques et volcano-sédimentaires g/m<sup>2</sup>** (poids total : 6583 g)

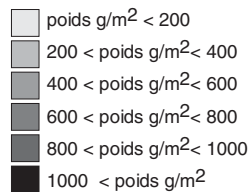
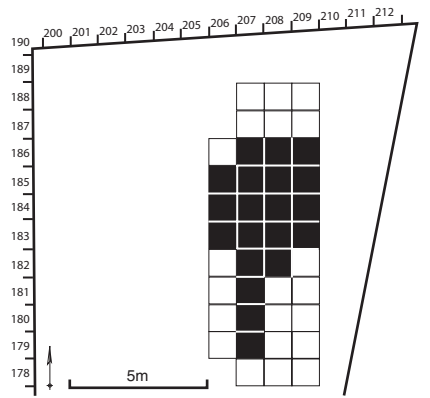
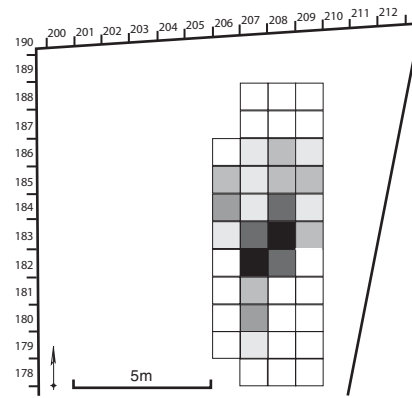


Figure 56 : Etang Rouge 1, cartes de répartition pondérale du mobilier de l'unité stratigraphique 1007a du secteur 1 (D. Bonnissent).



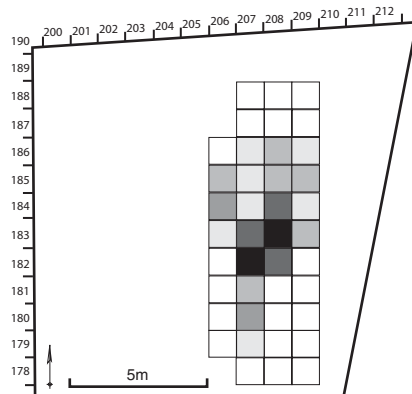
**1007 a/b**

- m2 fouillé (n = 41)
- m2 fouillé, mobilier prélevé en totalité (n = 20)



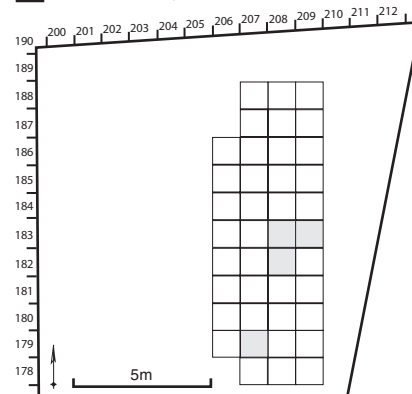
**1007 a/b totalité du mobilier g/m<sup>2</sup> (poids total : 9586 g)**

- poids g/m<sup>2</sup> < 200
- 200 < poids g/m<sup>2</sup> < 400
- 400 < poids g/m<sup>2</sup> < 600
- 600 < poids g/m<sup>2</sup> < 800
- 800 < poids g/m<sup>2</sup> < 1000
- 1000 < poids g/m<sup>2</sup>



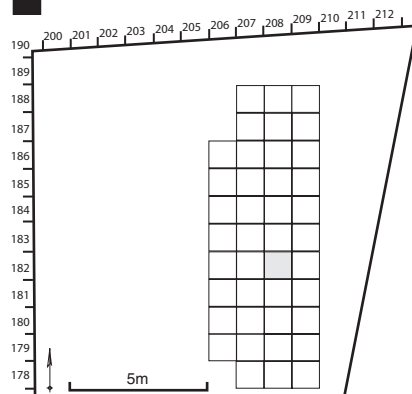
**1007 a/b coquille g/m<sup>2</sup> (poids total : 8895 g)**

- poids g/m<sup>2</sup> < 200
- 200 < poids g/m<sup>2</sup> < 400
- 400 < poids g/m<sup>2</sup> < 600
- 600 < poids g/m<sup>2</sup> < 800
- 800 < poids g/m<sup>2</sup> < 1000
- 1000 < poids g/m<sup>2</sup>



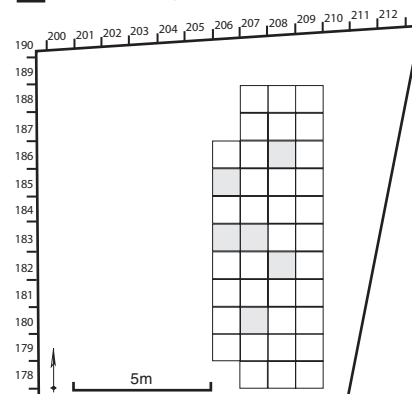
**1007 a/b industrie lithique g/m<sup>2</sup> (poids total : 462 g)**

- poids g/m<sup>2</sup> < 200
- 200 < poids g/m<sup>2</sup> < 400
- 400 < poids g/m<sup>2</sup> < 600
- 600 < poids g/m<sup>2</sup> < 800
- 800 < poids g/m<sup>2</sup> < 1000
- 1000 < poids g/m<sup>2</sup>



**1007 a/b calcirudites g/m<sup>2</sup> (poids total : 6 g)**

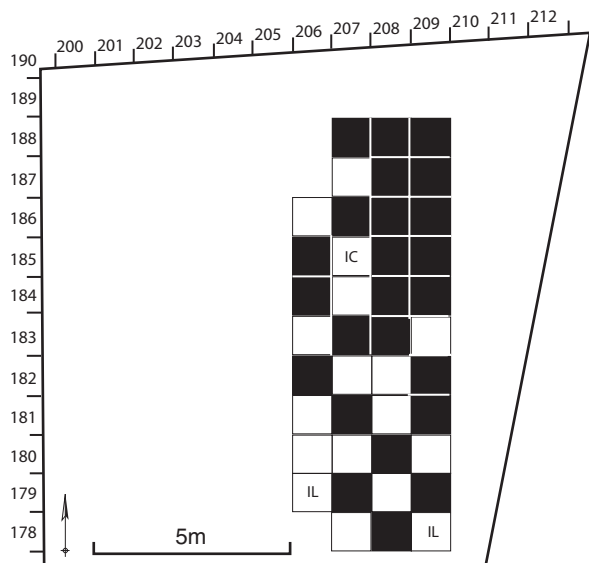
- poids g/m<sup>2</sup> < 200
- 200 < poids g/m<sup>2</sup> < 400
- 400 < poids g/m<sup>2</sup> < 600
- 600 < poids g/m<sup>2</sup> < 800
- 800 < poids g/m<sup>2</sup> < 1000
- 1000 < poids g/m<sup>2</sup>



**1007 a/b roches volcaniques et volcano-sédimentaires g/m<sup>2</sup> (poids total : 223 g)**

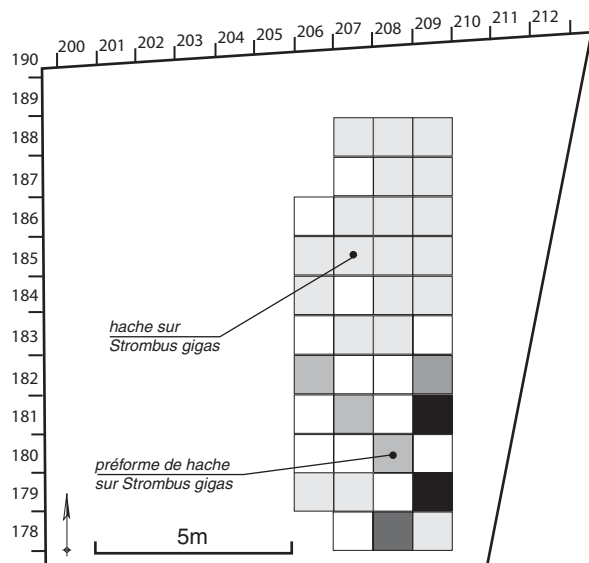
- poids g/m<sup>2</sup> < 200
- 200 < poids g/m<sup>2</sup> < 400
- 400 < poids g/m<sup>2</sup> < 600
- 600 < poids g/m<sup>2</sup> < 800
- 800 < poids g/m<sup>2</sup> < 1000
- 1000 < poids g/m<sup>2</sup>

Figure 57 : Etang Rouge 1, cartes de répartition pondérale du mobilier de l'unité stratigraphique 1007 a/b (D. Bonnissent).



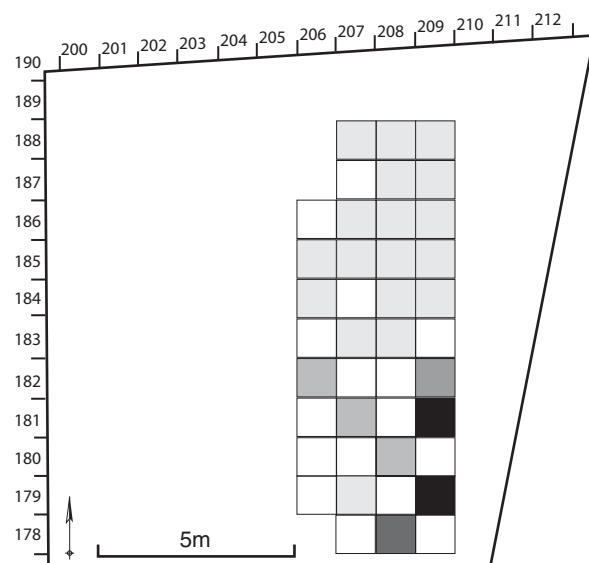
**1007b/1009**

- m2 fouillé (n = 41)
- m2 fouillé, mobilier prélevé en totalité (n = 25)
- IL m2 fouillé, industrie lithique prélevée
- IC m2 fouillé, industrie coquillière prélevée



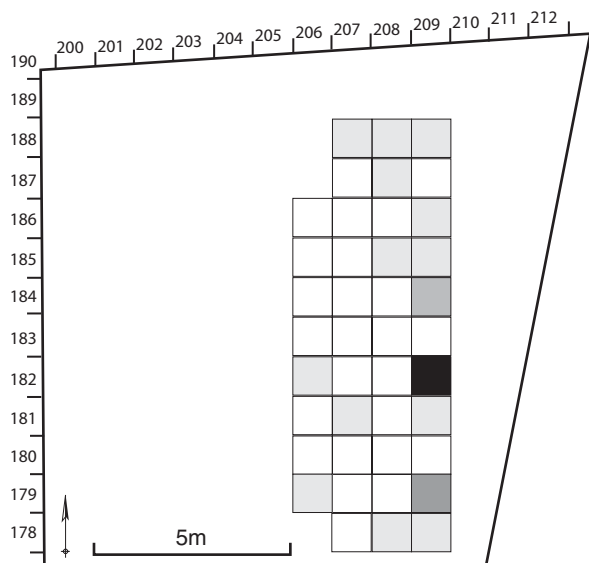
**1007b/1009 totalité du mobilier g/m<sup>2</sup>** (poids total : 130547 g)

- poids g/m<sup>2</sup> < 5000
- 5000 < poids g/m<sup>2</sup> < 10000
- 10000 < poids g/m<sup>2</sup> < 15000
- 15000 < poids g/m<sup>2</sup> < 20000
- 20000 < poids g/m<sup>2</sup>



**1007b/1009 coquille g/m<sup>2</sup>** (poids total : 118480 g)

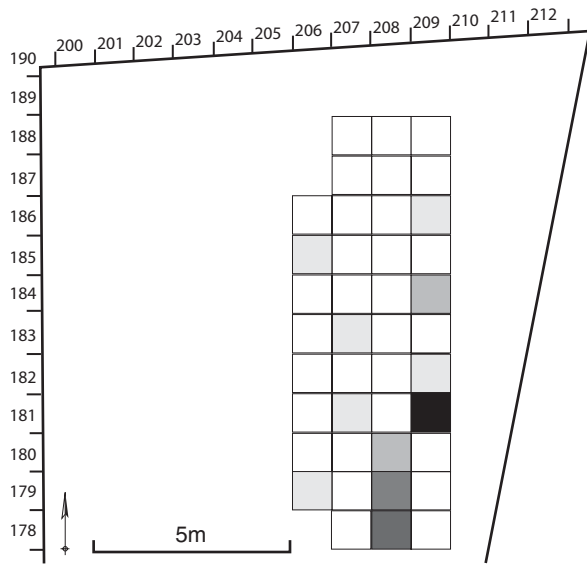
- poids g/m<sup>2</sup> < 5000
- 5000 < poids g/m<sup>2</sup> < 10000
- 10000 < poids g/m<sup>2</sup> < 15000
- 15000 < poids g/m<sup>2</sup> < 20000
- 20000 < poids g/m<sup>2</sup>



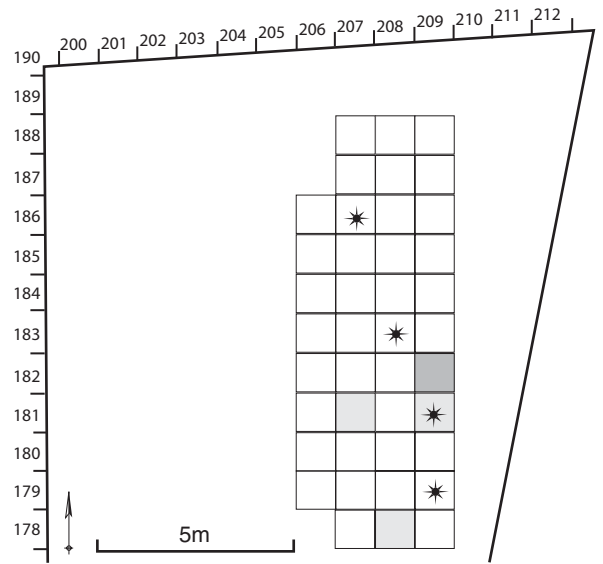
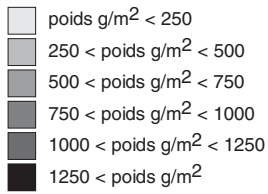
**1007b/1009 industrie lithique g/m<sup>2</sup>** (poids total : 3802 g)

- poids g/m<sup>2</sup> < 300
- 300 < poids g/m<sup>2</sup> < 600
- 600 < poids g/m<sup>2</sup> < 900
- 900 < poids g/m<sup>2</sup> < 1200
- 1200 < poids g/m<sup>2</sup>

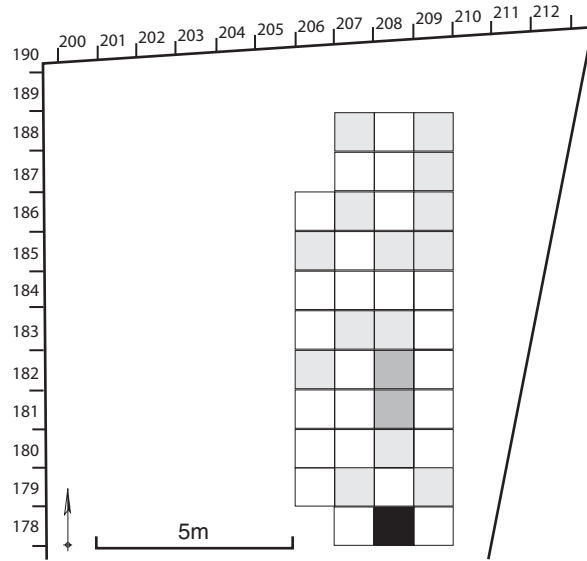
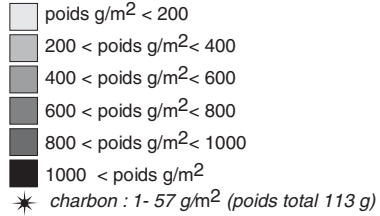
Figure 58 : Etang Rouge 1, cartes de répartition pondérale du mobilier des unités stratigraphiques 1007 b / 1009 (D. Bonnissent).



**1007b/1009 calcirudites  $g/m^2$**  (poids total : 4670 g)



**1007b/1009 corail  $g/m^2$**  (poids total : 491 g)



**1007b/1009 roches volcaniques et volcano-sédimentaires  $g/m^2$**  (poids total : 2991 g)

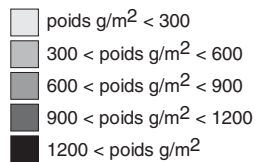


Figure 59 : Etang Rouge 1, cartes de répartition pondérale du mobilier des unités stratigraphiques 1007b/1009 (D. Bonnissent).



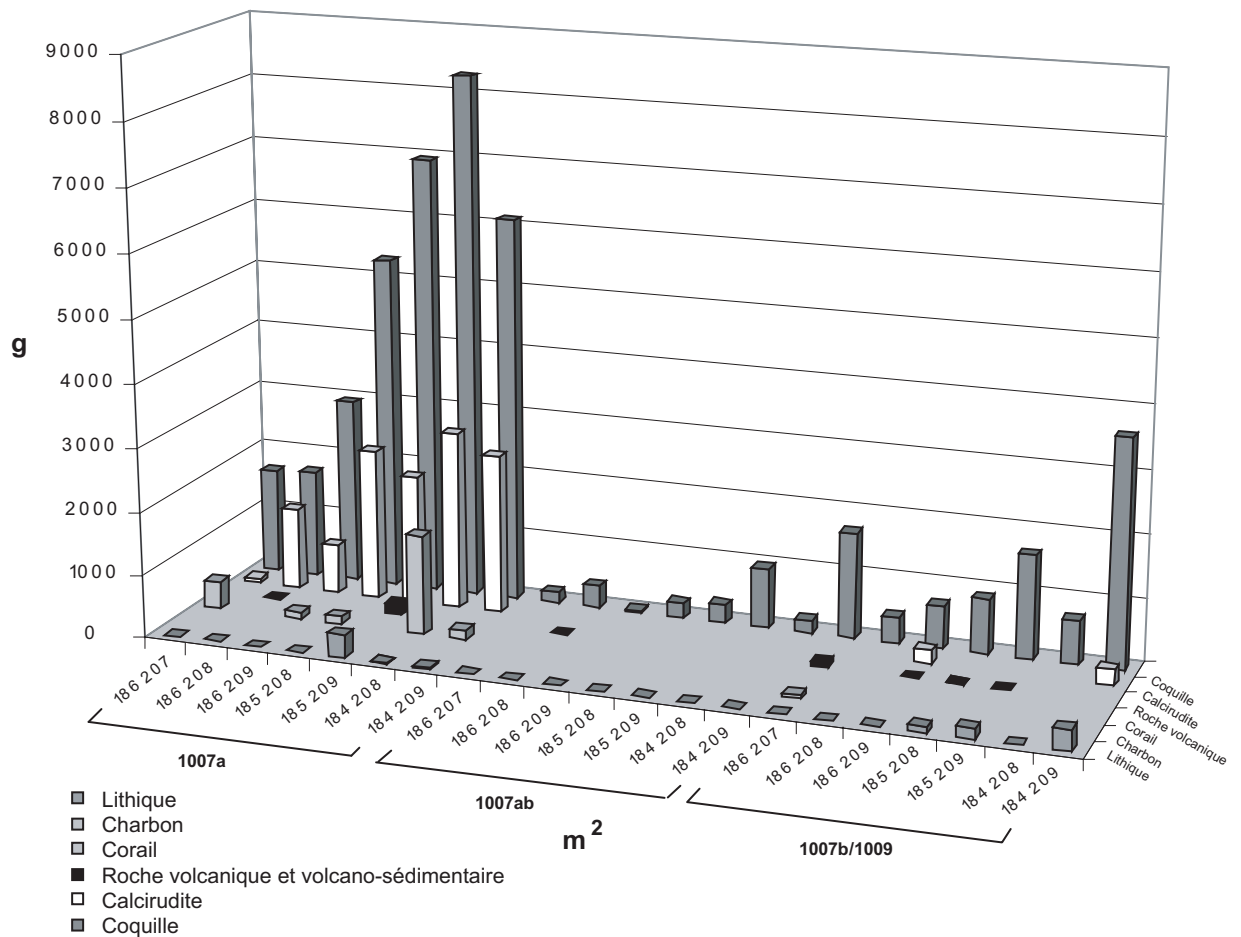


Figure 60 : Etang Rouge 1, répartition pondérale du mobilier des couches 1007 a, 1007 a/b, 1007 b/1009 pour les sept carrés où la totalité du mobilier a été prélevée (D. Bonnissent).

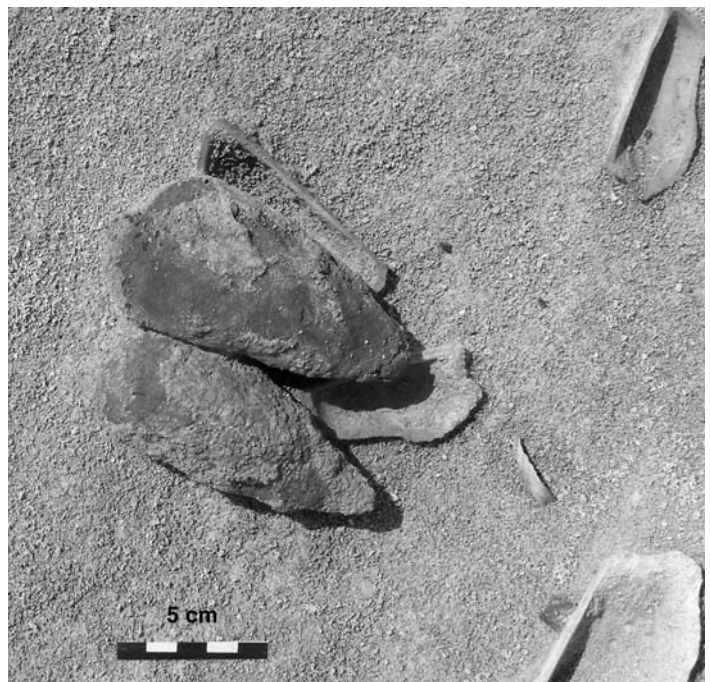


Figure 61 : Etang Rouge 1, roches altérées en forme de lame de hache (D. Bonnissent).

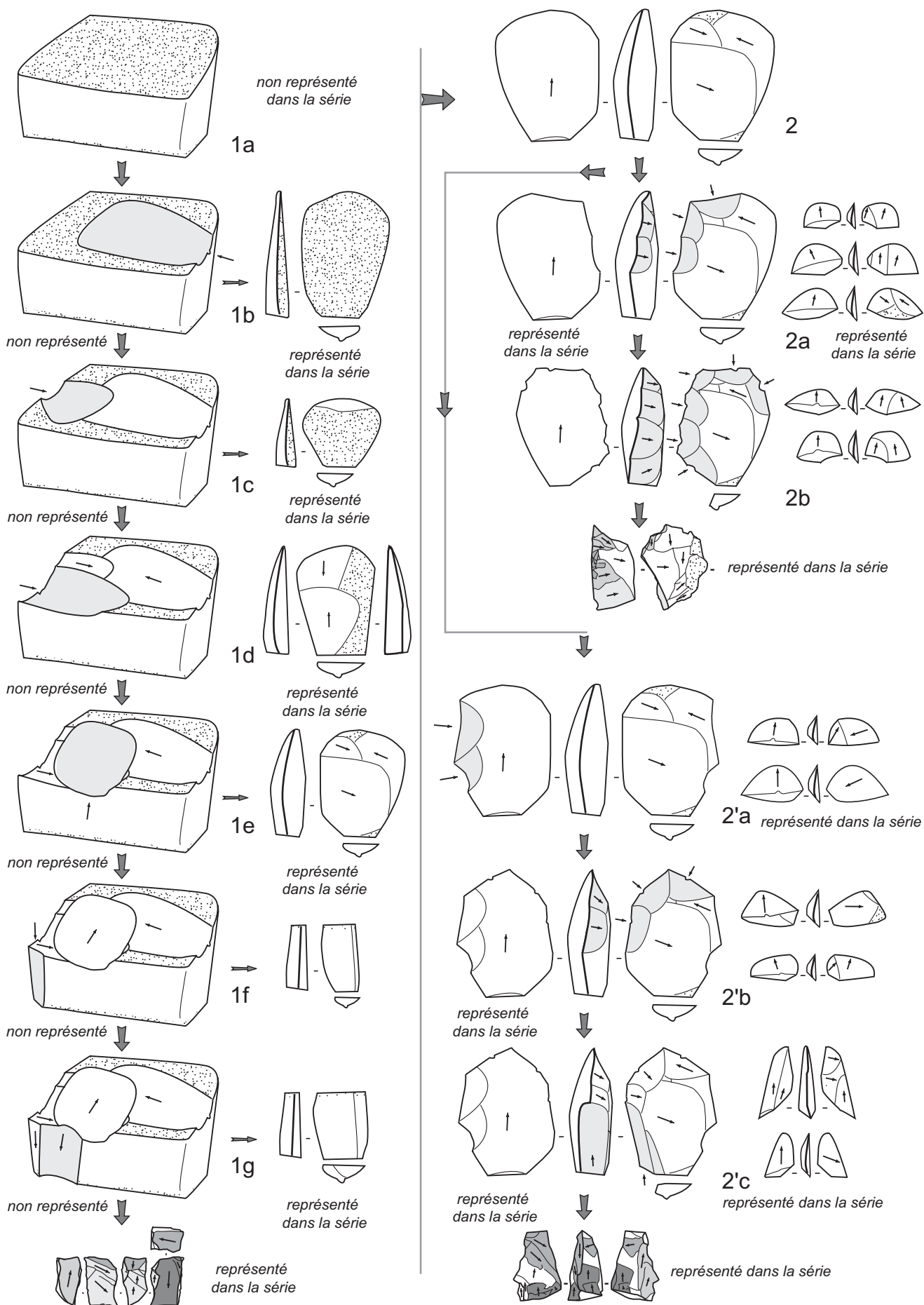


Figure 62 : Etang Rouge 1, proposition de restitution des méthodes de débitage (Fouéré 2005).



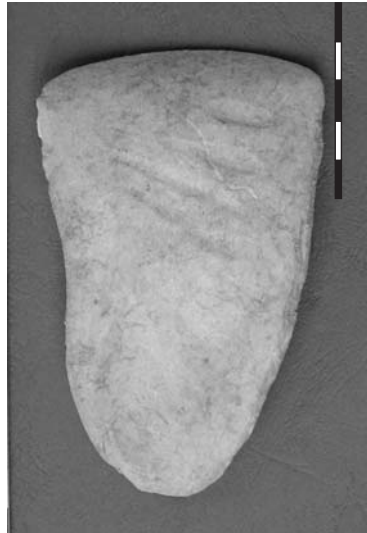


Figure 63 : Etang Rouge 1, lame sur strombe, tranchée 1 (D. Bonnissent).



Figure 64 : Etang Rouge 1, lame sur strombe, unité stratigraphique 1007 a (D. Bonnissent).



Figure 65 : Etang Rouge 1, lame sur strombe, unité stratigraphique 1007 b (D. Bonnissent).

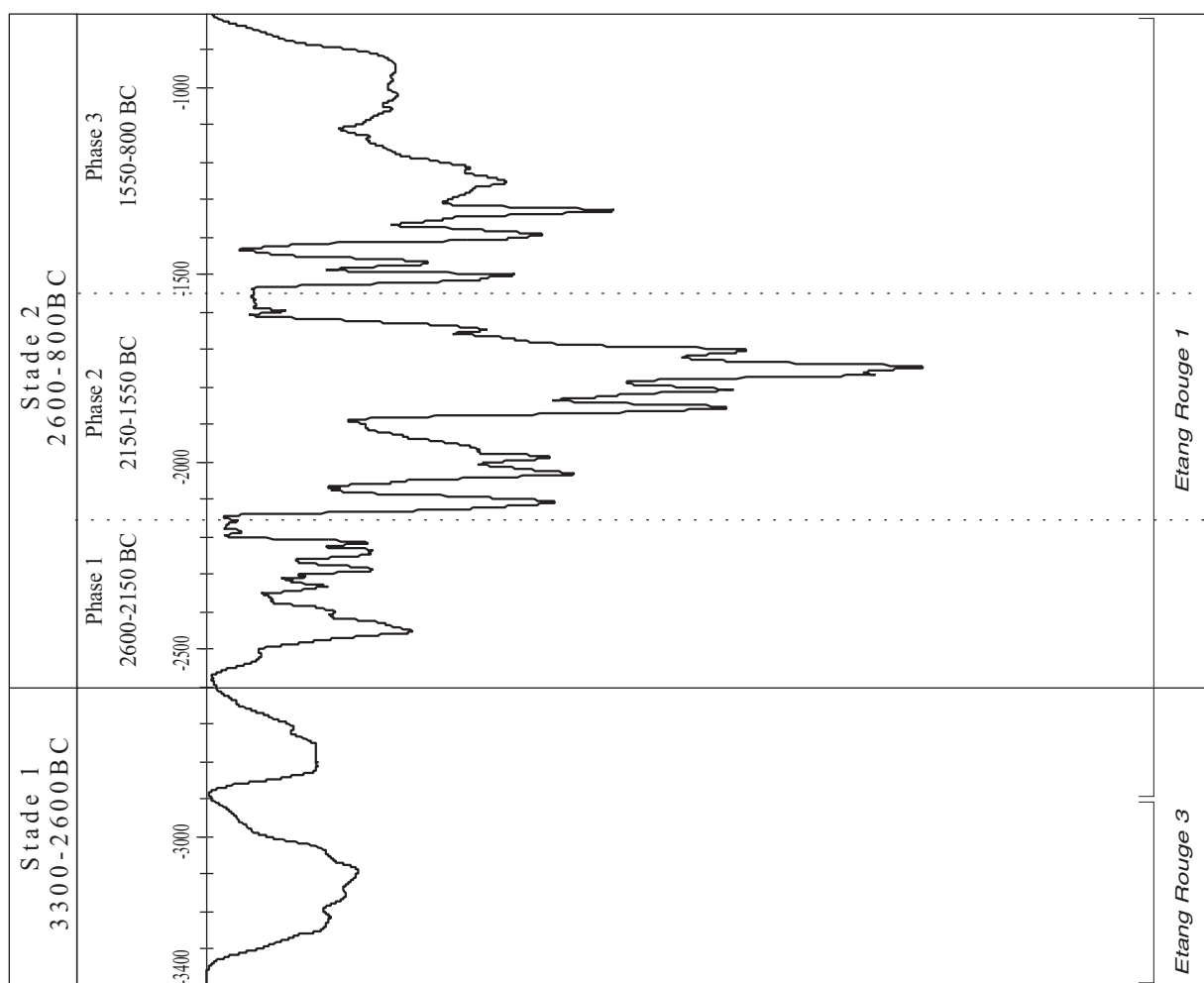


Figure 66 : Etang Rouge, somme des probabilités des calibrations des dates (n = 20), Calib Rev 5.01. Le résultat KIA28122 qui date l'horizon B stérile n'est pas présenté ici (D. Bonnissent).

Secteur	US	Coquilles alimentaire g	Coquille industrie g	Coquille Total g	Lithique divers g	Beach rock g	Silex g	Industrie lithique total g	Charbon g	Corail g	roches volcaniques et volcanosédimentaires rubéfiées g	Calcaires g	Total g
S1	1007 a	239729	778	240507	8929	1206	854	10989	339	7865	6583	60223	326506
S1	1007 a/b	8895	0	8895	268	0	194	462	0	0	223	6	9586
S1	1007b/9	117988	492	118480	3130	156	516	3802	113	491	2991	4670	130547
S1	1010	7100		7100	14		1	15	2190	55	177	183	9720
S1	1011	100		100				0	561		8		669
S1	1012	157		157			37	37	854		1800		2848
S1	1015	4675		4675	88	136		224		1136	190		6225
S1	1017			0	813			813					813
S1	1018			0				0		687			687
S1	1019			0				0	26				26
S1	1020			0	142			142					142
S1	1013 b	92		92	504			504	35		193		824
S1	HS			0	14200			14200					14200
S1	sous-total	378736	1270	380006	28088	1498	1602	31188	4118	10234	12165	65082	502793
S2	6001	1325		1325				0	2	27	2682	296	4332
S2	6002			0				0	526				526
S2	6003	36		36	667			667	152				855
S2	1007 a			0	963			963					963
S2	1007a			0	2042	50	21	2113	6	336	1000	340	3795
S2	1007 a/b			0	548			548					548
S2	6004	60100		60100	7200			7200			73		67373
S2	6004	2615		2615				0					2615
S2	6004	3830		3830	314			314					4144
S2	6004	897		897				0					897
S2	6005	10300	626	10926	4648			4648					15574
S2	6006	2185		2185	4500			4500			619		7304
S2	6007			0				0		483			483
S2	sous-total	81288	626	81914	20882	50	21	20953	686	846	4374	636	109409
S3	1007b			0	1860			1860					1860
S3	7001	120		120	587			587			197		904
S3	7002	151		151	919			919		197	458		1725
S3	sous-total	271	0	271	3366	0	0	3366	0	197	655	0	4489
S4	4010	5000		5000				0	352		280		5632
S4	4010	37		37				0					37
S4	4010	7175		7175	1475			1475		712	1505		10867
S4	sous-total	12212	0	12212	1475	0	0	1475	352	712	1785	0	16536
T1	1004	0		0	283			283					283
T1	1007b	5	190	195	304			304					499
T1	7002 coupe			0	89			89					89
T1	sous-total	5	190	195	676	0	0	676	0	0	0	0	871
T2	2006	1143		1143	788			788				754	2685
T2	2007	1102	47	1149	2161			2161			3600		6910
T2	2008	1763	41	1804				0	136			200	2140
T2	2009	2344		2344	592			592			2680		5616
T2	sous-total	6352	88	6440	3541	0	0	3541	136	0	6280	954	17351
T3	3005	790		790				0					790
T3	3006	7		7				0					7
T3	3007	0		0				0				356	356
T3	sous-total	797	0	797	0	0	0	0	0	0	0	356	1153
T4	4009	0		0				0			2345		2345
T4	4012	2254		2254				0					2254
T4	4010	260		260				0					260
T4	4014	568		568	173			173			450	448	1639
T4	sous-total	3082	0	3082	173	0	0	173	0	0	2795	448	6498
T5	HS	0		0	200			200			795		995
T5	sous-total	0	0	0	200	0	0	200	0	0	795	0	995
	<b>TOTAL SITE</b>	<b>482743</b>	<b>2174</b>	<b>484917</b>	<b>58401</b>	<b>1548</b>	<b>1623</b>	<b>61572</b>	<b>5292</b>	<b>11989</b>	<b>28849</b>	<b>67476</b>	<b>660095</b>

Tableau 5 : Etang Rouge 1, inventaire général du mobilier en poids par unité stratigraphique (D. Bonnissent).

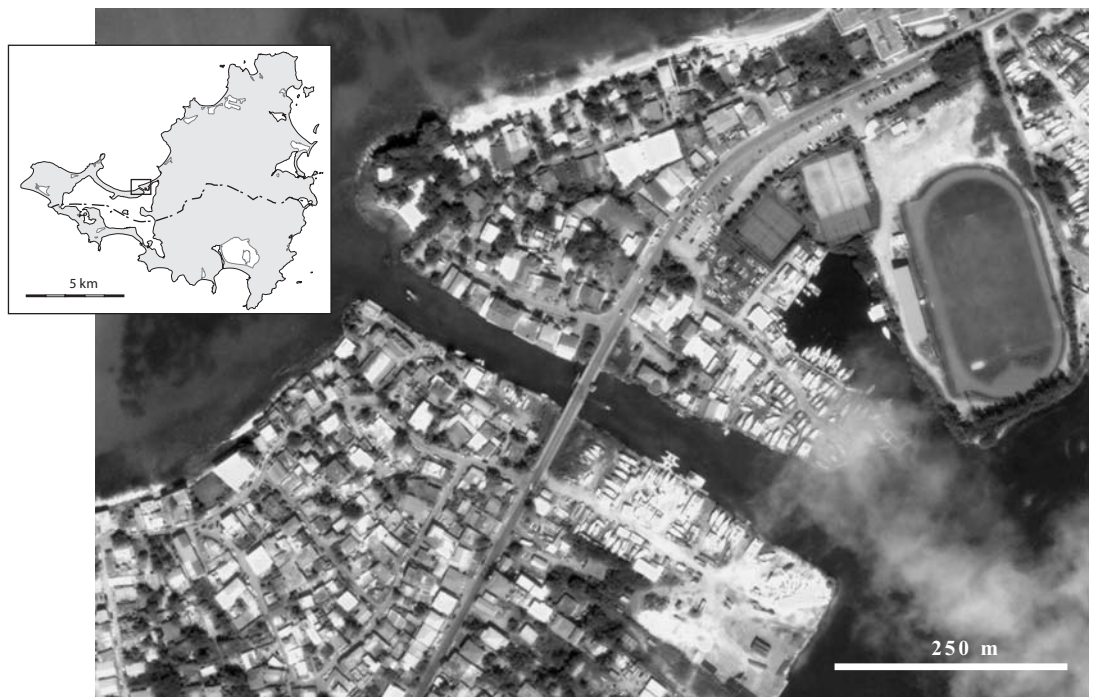


Figure 67 : La passe du Pont de Sandy Ground sur le cordon de la Baie Nettlé (cliché fourni par la Réserve Naturelle de Saint-Martin, 2005).

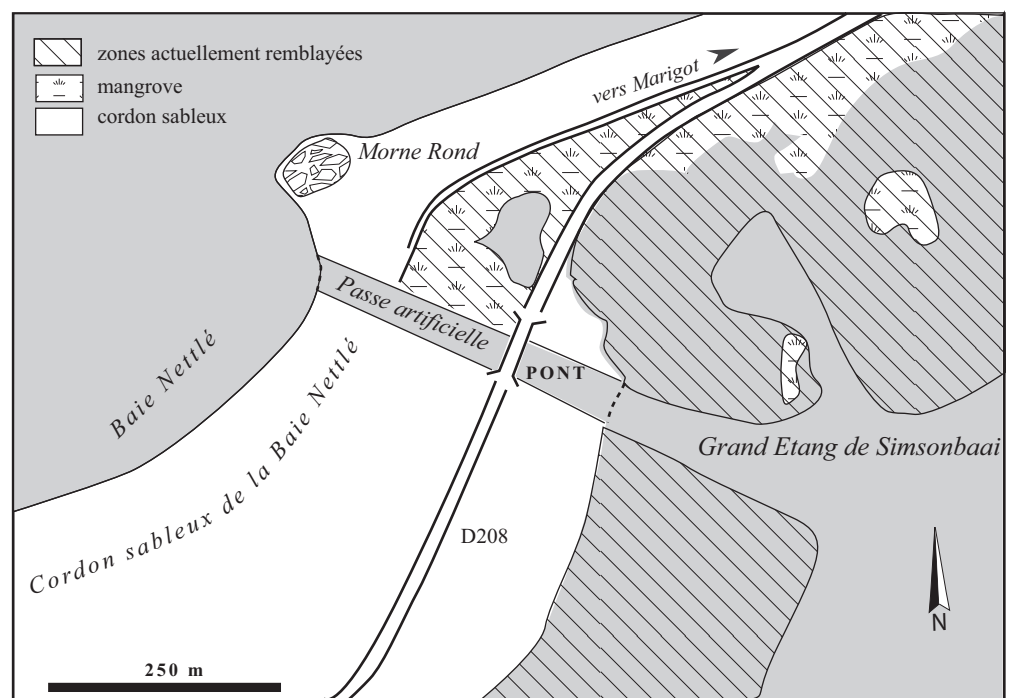


Figure 68 : La passe du Pont de Sandy Ground sur le cordon de la Baie Nettlé en 1954 (D. Bonnissent, d'après carte IGN 1954).



Figure 69 : Cordon littoral de la Baie Nettlé vers l'ouest (Cliché IGN 1954).

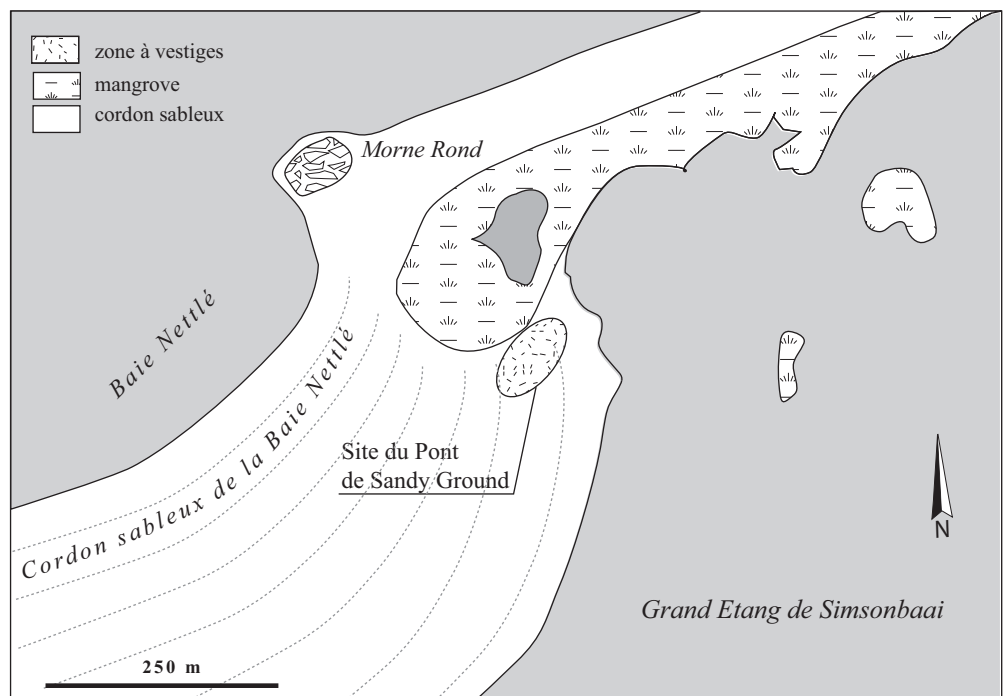


Figure 70 : Schéma interprétatif du site de Pont de Sandy Ground à la période mésoindienne (D. Bonnissent, d'après carte IGN 1954).



Figure 71 : Lame sur coquille, Pont de Sandy Ground 2 (cliché C. Stouvenot).



Figure 72 : Lame sur coquille, Pont de Sandy Ground 1 (cliché C. Stouvenot).

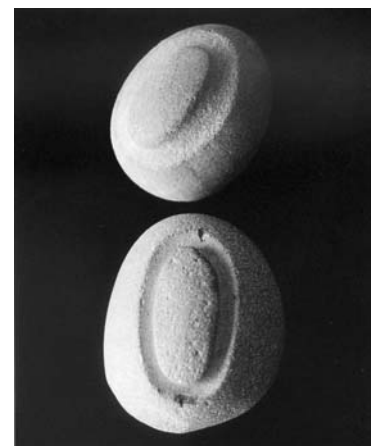


Figure 73 : Pont de Sandy Ground, galets sphériques à rainures, longueur 5 cm (cliché D. Bonnissent).



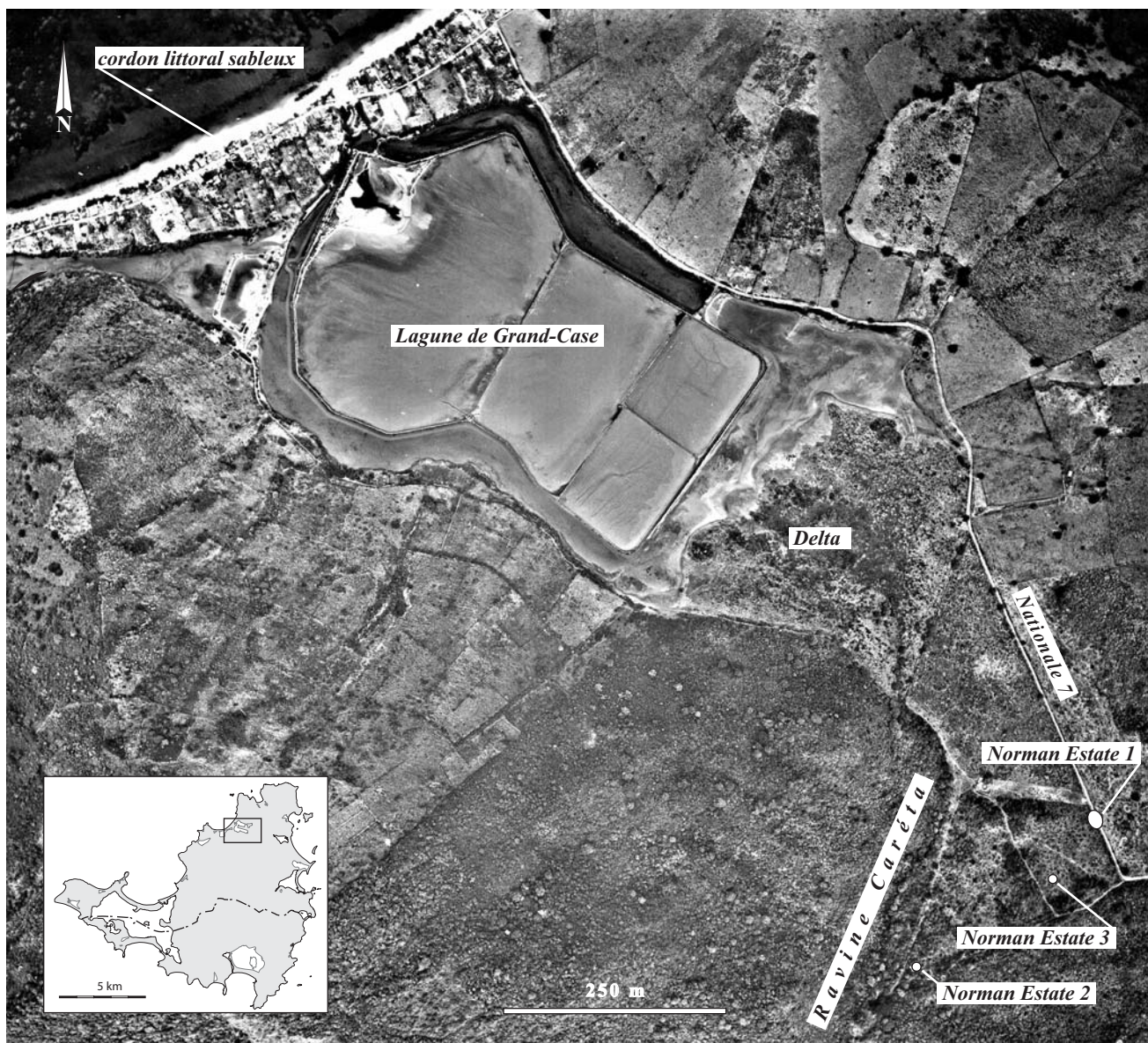


Figure 74 : Le gisement de Norman Estate dans la plaine de Grand-Case, cliché IGN1954, localisation des occupations d'après Knippenberg (1999d : 30).



Figure 75 : Coupe de Norman Estate 2, échelle 40 cm (cliché D. Bonnissent).

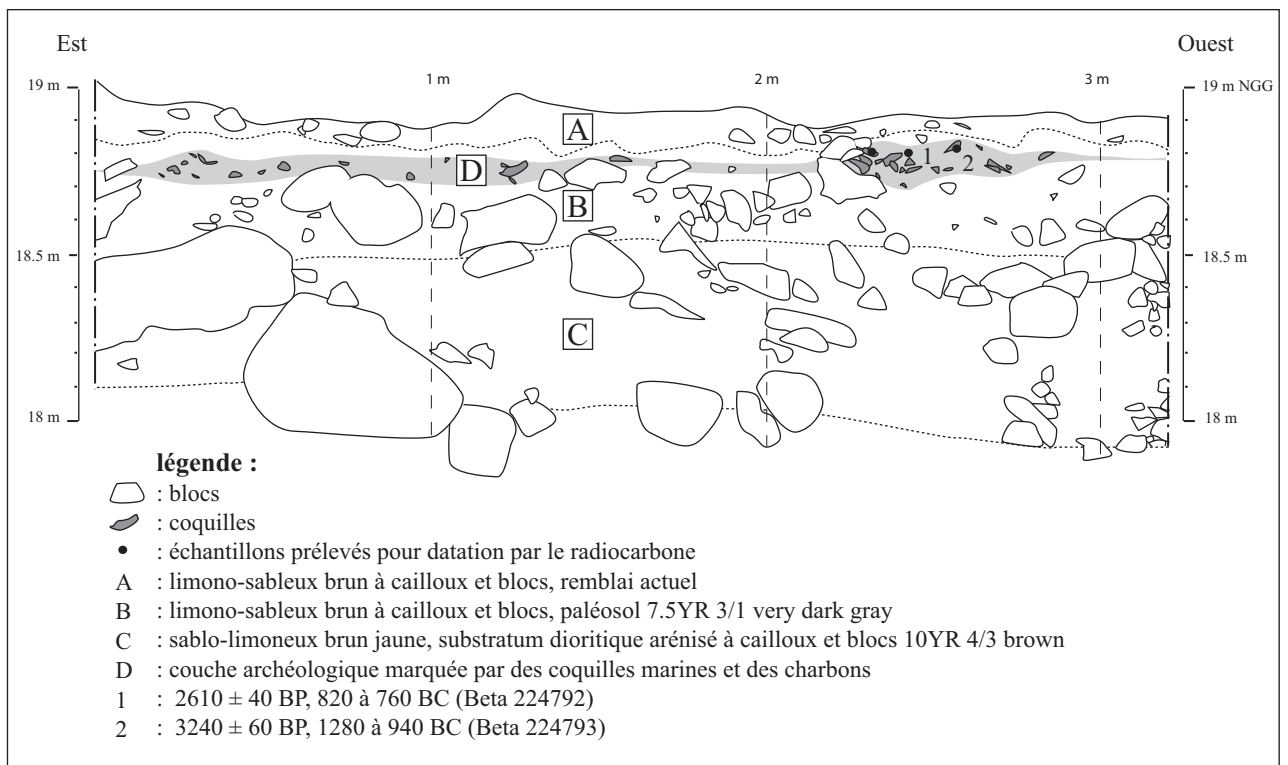


Figure 76 : Relevé de la coupe de Norman Estate 2 (D. Bonnissent).

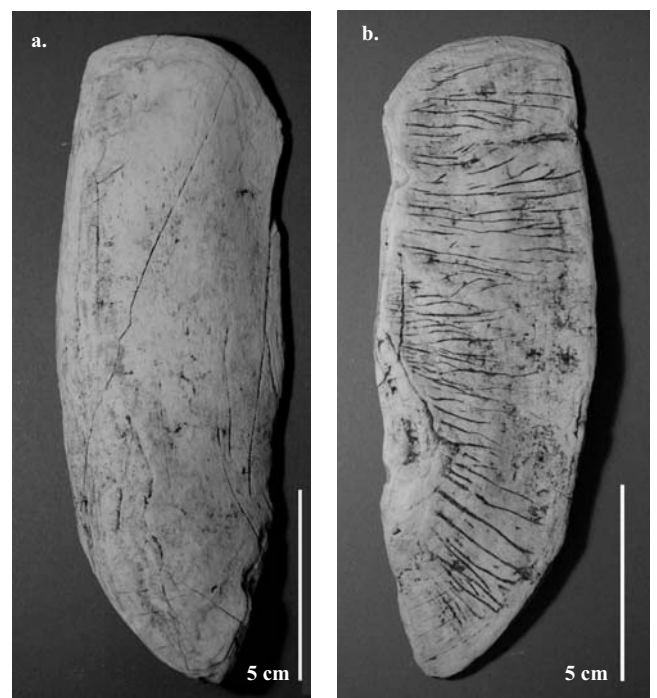


Figure 77 : Lame sur coquille de Norman Estate 2 (D. Bonnissent).



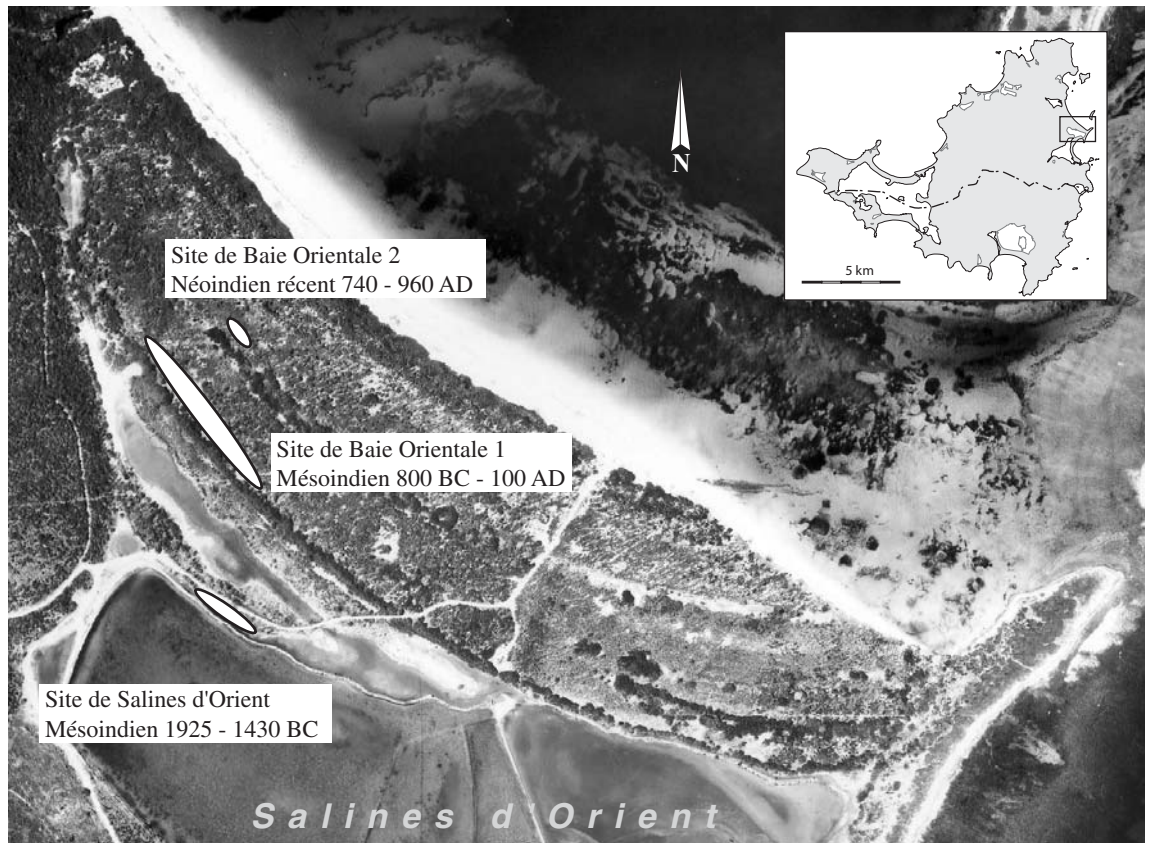


Figure 78 : Localisation des gisements précolombiens de la Baie Orientale sur un cliché IGN de 1954 (D. Bonnissent).

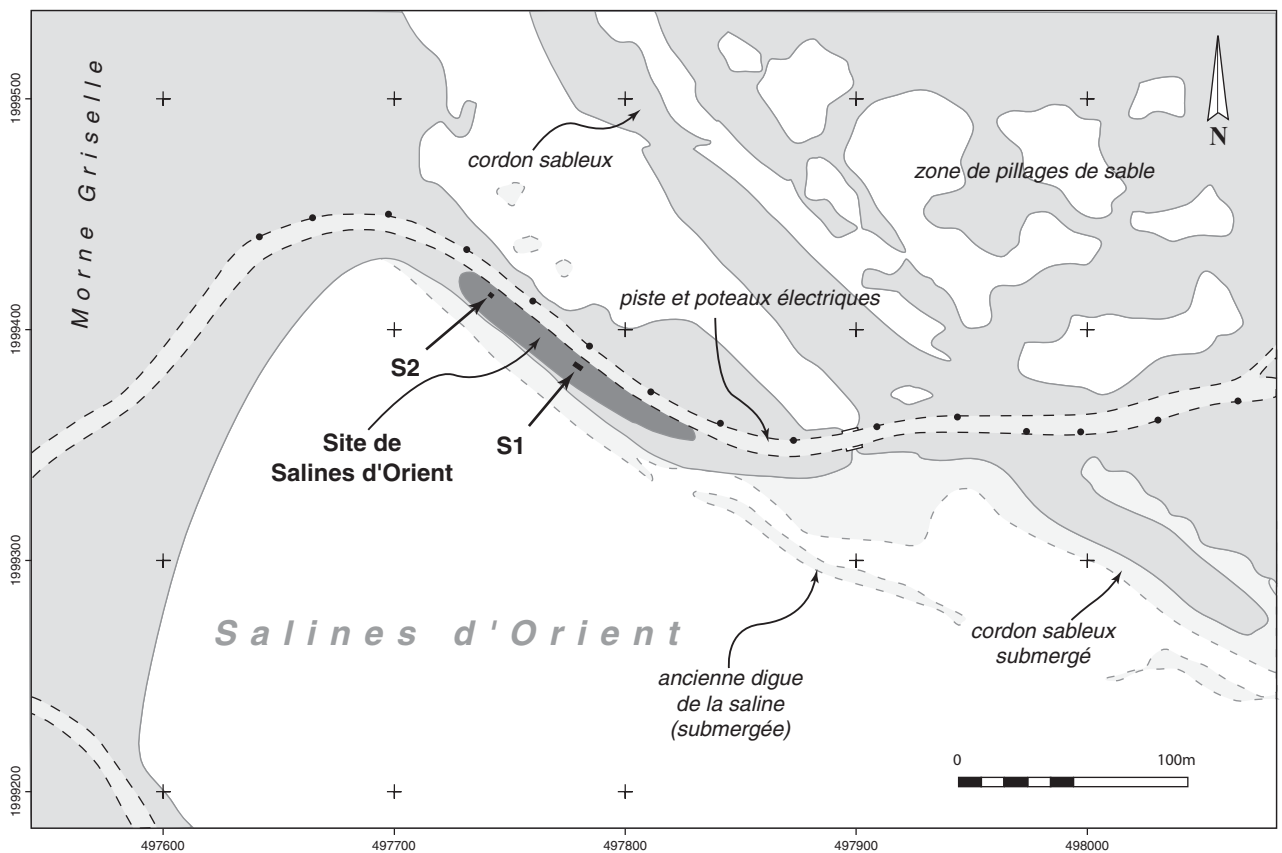


Figure 79 : Salines d'Orient, localisation des sondages archéologiques (Stouvenot 2006).



Figure 80 : Salines d'Orient, le sondage 1 (cliché, Stouvenot 2006).

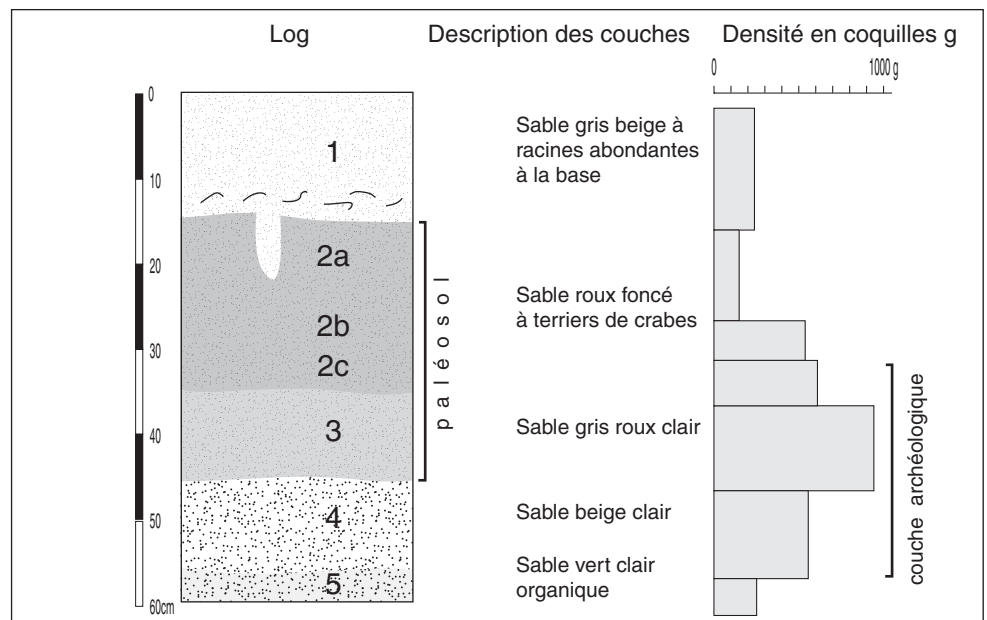


Figure 81 : Salines d'Orient, log du sondage 1 (Stouvenot 2006).

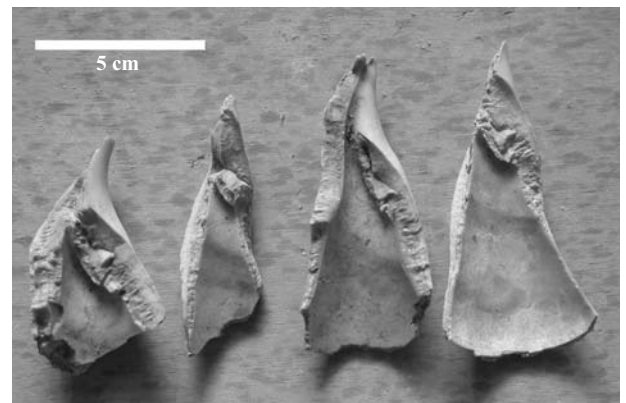


Figure 82 : Salines d'Orient, columelles de strombes (Stouvenot 2006).



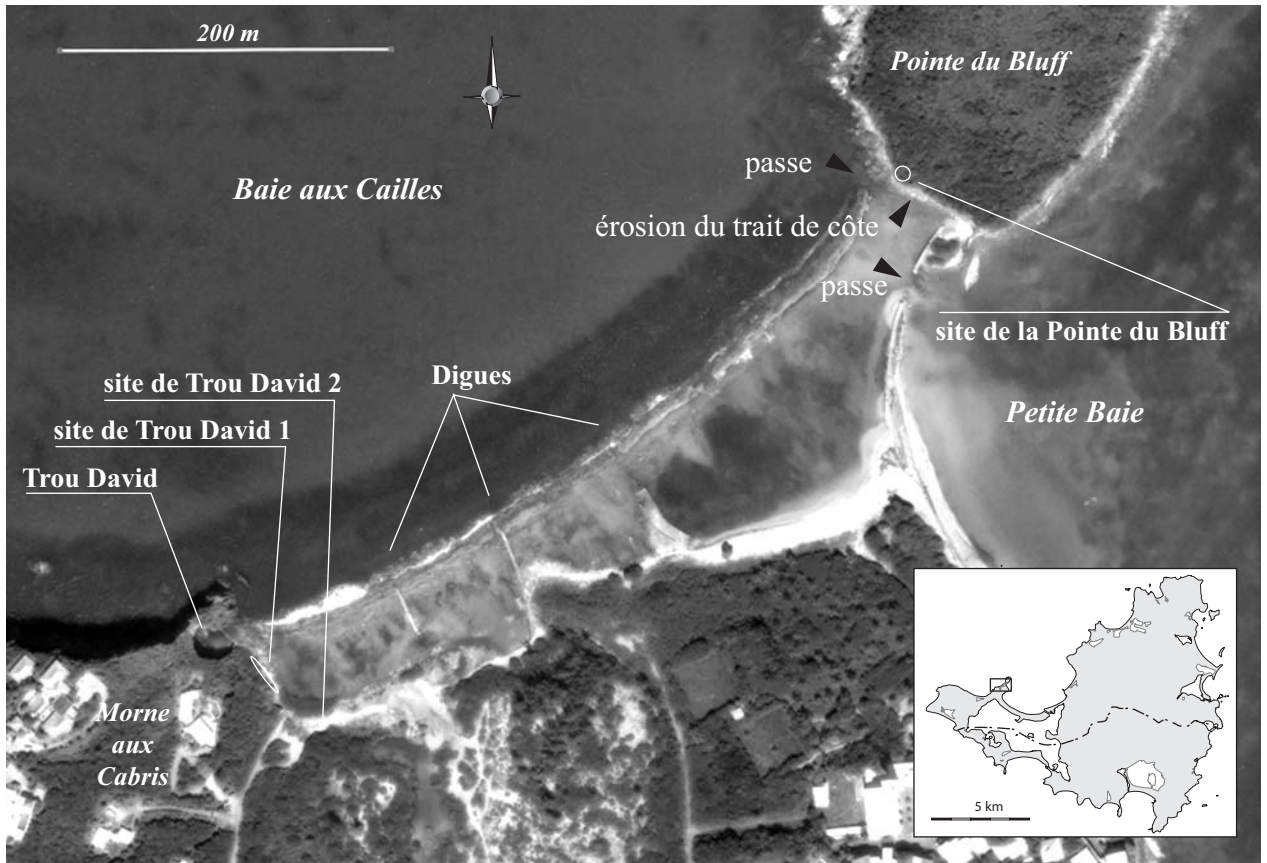


Figure 83 : La Pointe du Bluff en 2005 (cliché fournit par la Réserve Naturelle de Saint-Martin).



Figure 84 : La Pointe du Bluff et ses sites archéologiques en 1954 (cliché IGN).



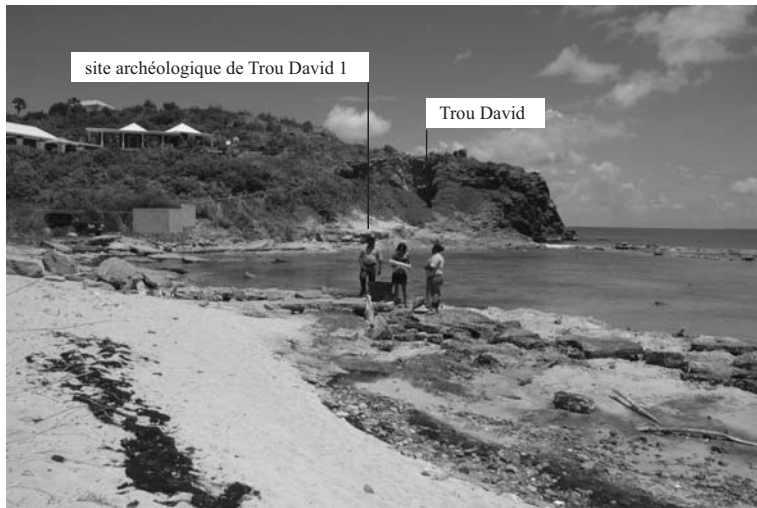


Figure 85 : Le site de Trou David 1 dans la partie ouest de la Baie des Cailles (cliché D. Bonnissent).

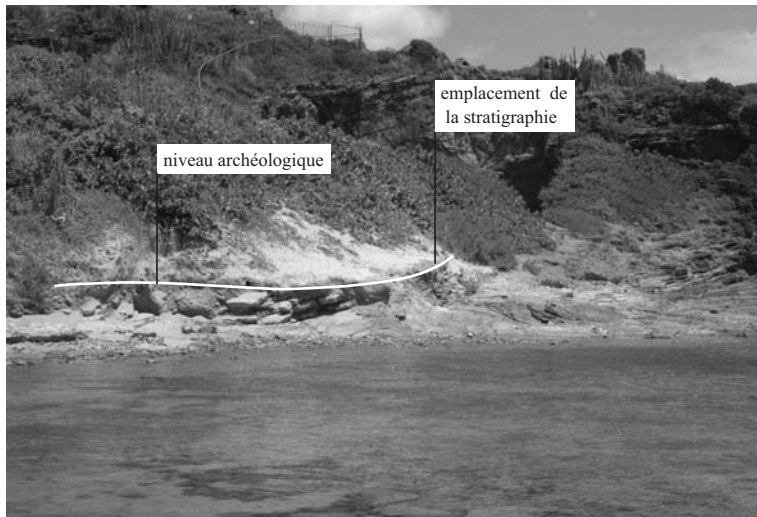


Figure 86 : Trou David 1, niveau archéologique vu vers le sud (cliché D. Bonnissent).

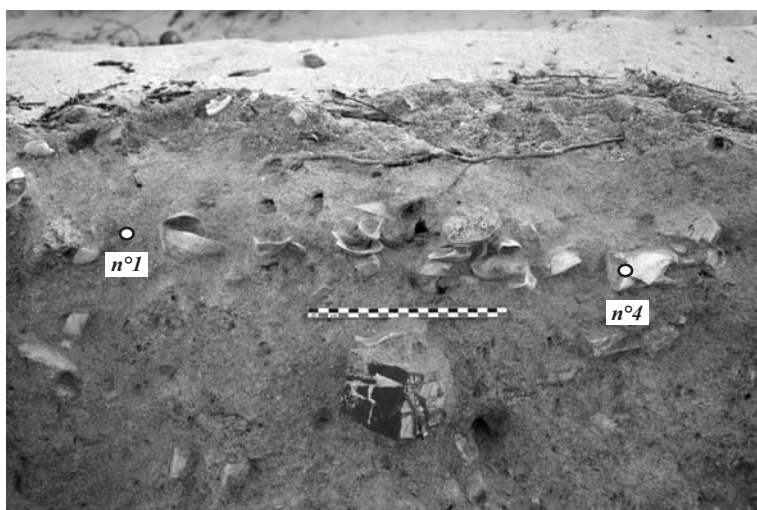


Figure 89 : Trou David 1, détail du niveau archéologique à *Arca zebra* et *Strombus gigas* (cliché D. Bonnissent).

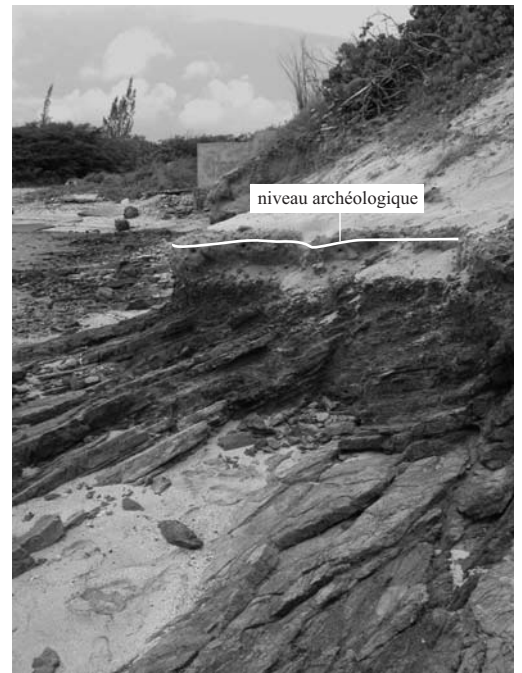


Figure 87 : Trou David 1, niveau archéologique vu vers l'est (cliché C. Stouvenot).

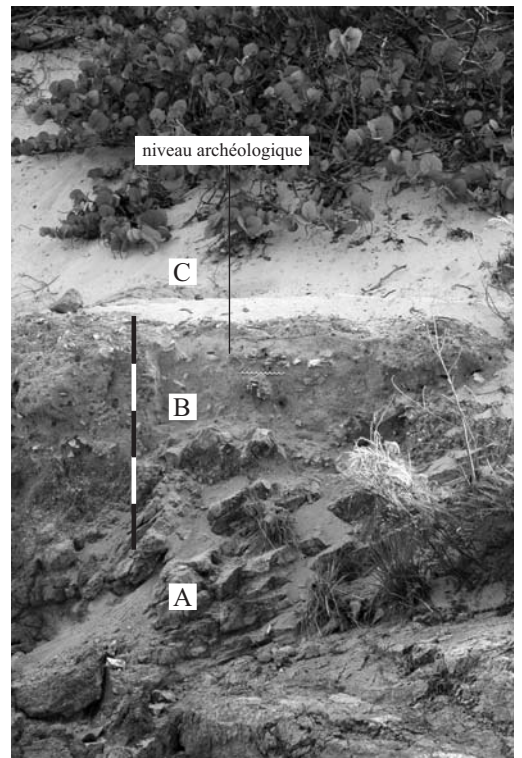


Figure 88 : Stratigraphie de Trou David 1 (cliché D. Bonnissent).

- : prélèvement 14C
- n°1 : charbon - TD1n1 (Erl-9074)  
3517±43 1954 à 1738 BC
- n°4 : *Strombus gigas* - TD1n4 (Erl-9073)  
3507±48 BP, 1614 à 1315 BC

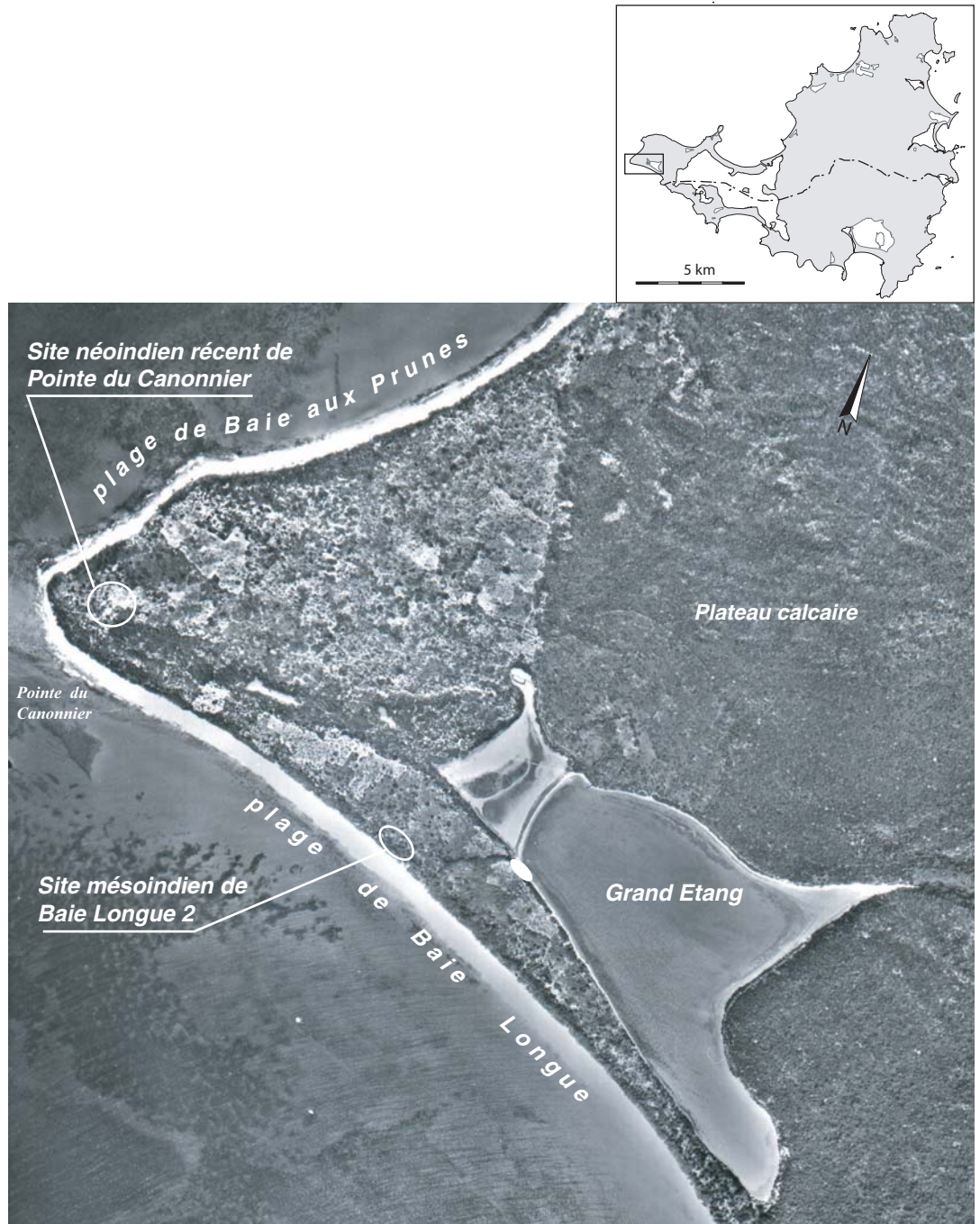


Figure 90 : Photographie aérienne du secteur de la Pointe du Canonnier avec les plages de Baie Longue et de Baie aux Prunes (cliché IGN 1954).



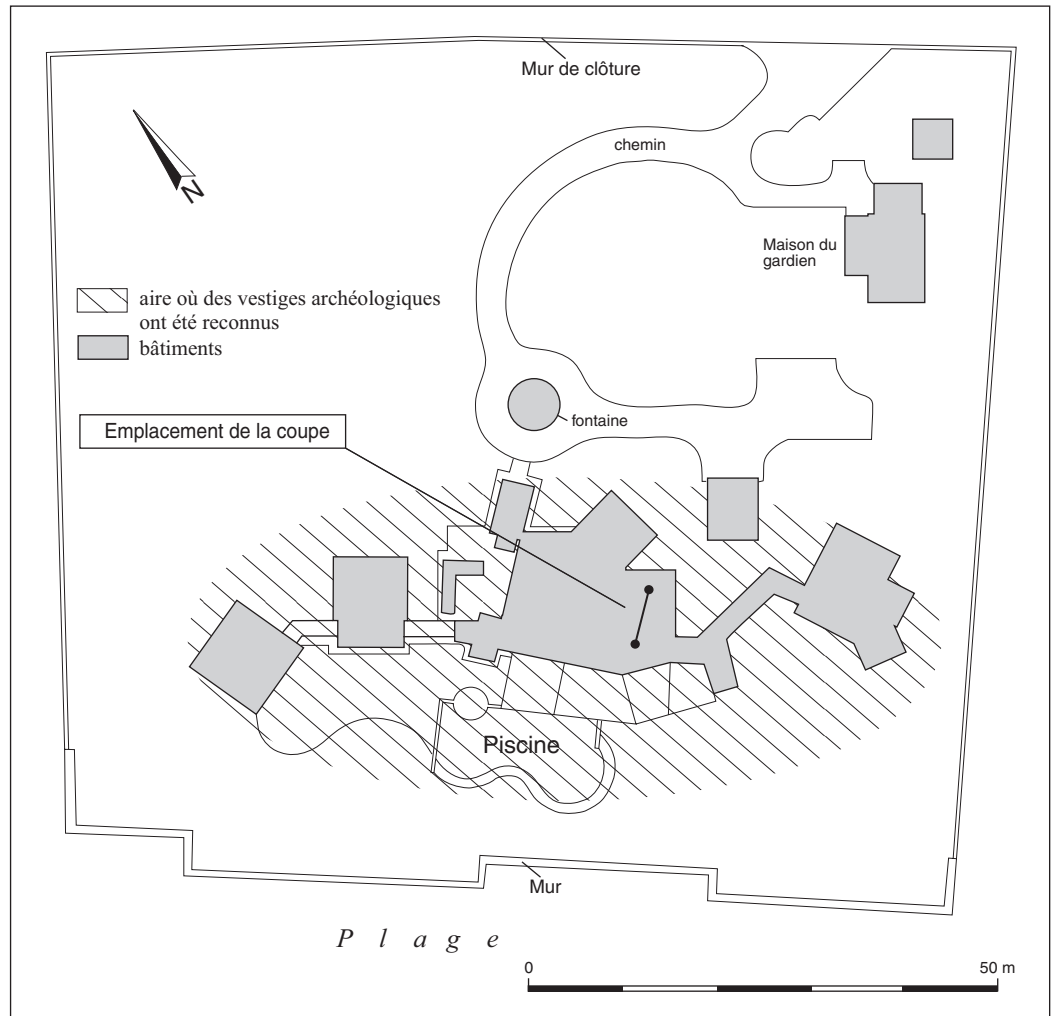


Figure 91 : Site de Baie Longue 2, plan du lot 100 du lotissement des Terres Basses (I. Dechanez).

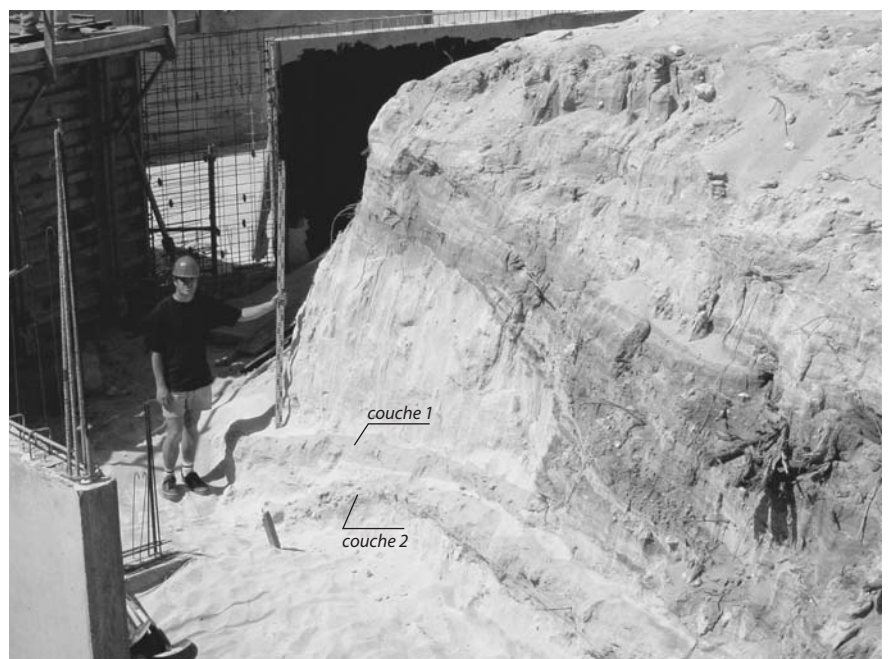


Figure 92 : Baie Longue 2, coupe stratigraphique (cliché D. Bonnissent).

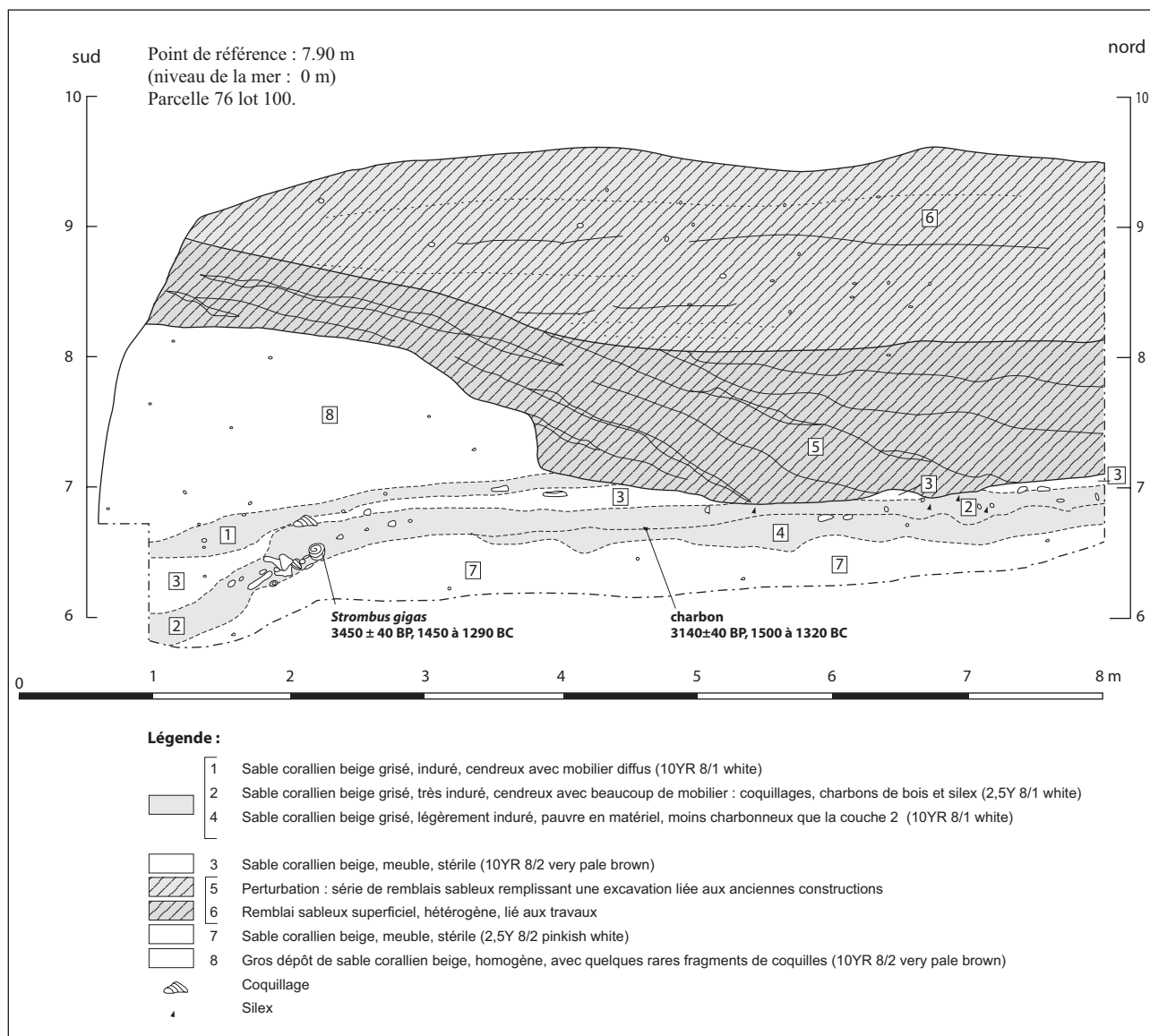


Figure 93 : Baie Longue 2, relevé de la séquence stratigraphique (D. Bonnissent, I. Dechanez).

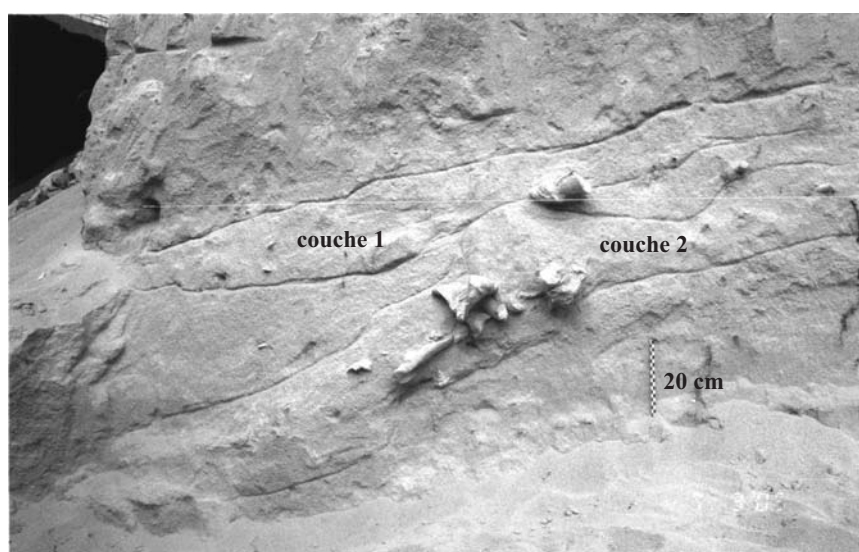


Figure 94 : Baie Longue 2, détail de la coupe stratigraphique (D. Bonnissent).



US	S. gigas	Nerita sp.	Cittarium p.	bivalves divers	gastéropodes divers	ind.	Total	observations
1	5	993	6	0	0	1	0	1000 dont 4 <i>N. versicolor</i> et 1 <i>N. peloronta</i>
1	4	0	1	0	0	0	0	1
1	7	59	0	0	0	0	0	59 1 strombus juvénile
1	5	15	0	0	0	0	0	15
1	7	16	7	0	0	0	0	23 1 <i>N. versicolor</i>
1	6	8	0	0	0	0	0	8
7	4	0	0	0	1	0	0	1
7	5	0	0	0	0	1	0	1
8	7	0	0	0	0	0	1	1
3	7	6	0	0	0	0	0	6
4	2	5	0	0	0	0	0	5
3	6	15	0	0	0	0	0	15
2	1	450	0	0	14	0	1	465 dont 1 <i>Codakia orbicularis</i>
2	2	212	12	36	3	0	1	264 dont 3 <i>N. versicolor</i>
2	3	539	22	22	23	0	1	607 1 <i>Chama sp.</i> , 4 <i>N. peloronta</i> + 1 opercule, 1 <i>N. versicolor</i>
2	4	12	1	4	0	0	8	25 1 <i>N. versicolor</i>
2	5	764	0	25	6	0	2	797
2	6	4684	42	0	0	0	0	4726 dont 2 <i>Strombus gigas</i> entiers photographiés
2	7	10153	0	169	145	0	15	10482 dont 2 fragments de <i>S. gigas</i> brûlés (gris) et 2 <i>Arca zebra</i>
Total	17931	91	256	192	2	29	18501	

Tableau 6 : Baie Longue 2, poids en g des coquilles récoltées par espèce en coupe (D. Bonnissent).

US	m <sup>2</sup>	g	observations
2	8	3	
2	4	1	
1	7	1	
2	4	1	
2	3	1	
2	4	1	
2	2	1	
2	4	3	charbon pris dans une concrétion
2	4	18	
1	5	1	
2	5	1	concrétionné
Total		32	

Tableau 7 : Baie Longue 2, prélèvements de charbons (D. Bonnissent).

US	m <sup>2</sup>	g	matière
1	7	7	7 silex
2	4	11	11 silex
2	3	33	33 silex
2	1	11	11 silex
2	2	67	67 silex
Total		129	

Tableau 8 : Baie Longue 2, éléments lithiques (D. Bonnissent).

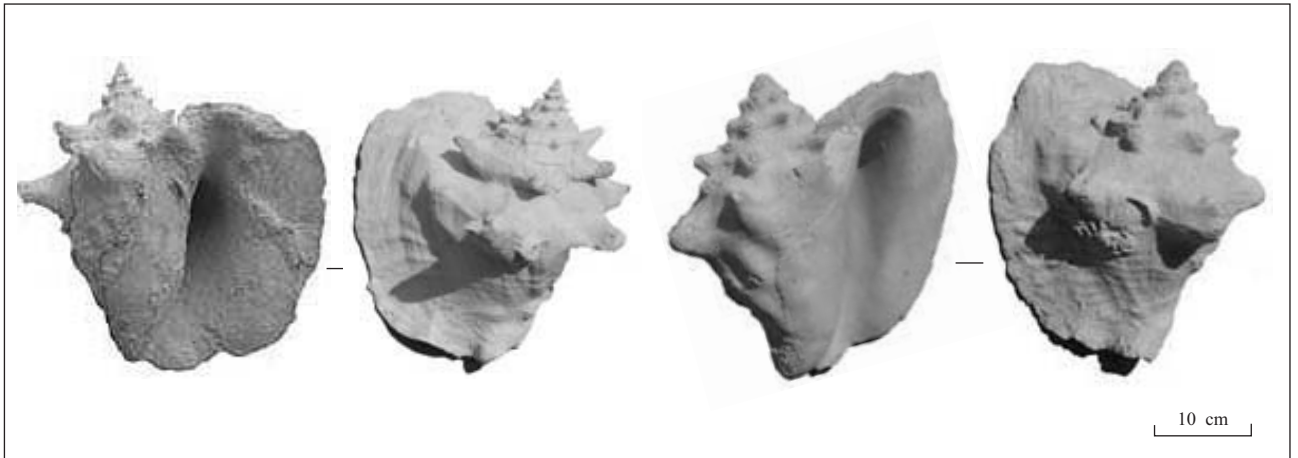


Figure 95 : *Strombus gigas* adultes, gisement mésoindien de Baie Longue 2 (D. Bonnissent).

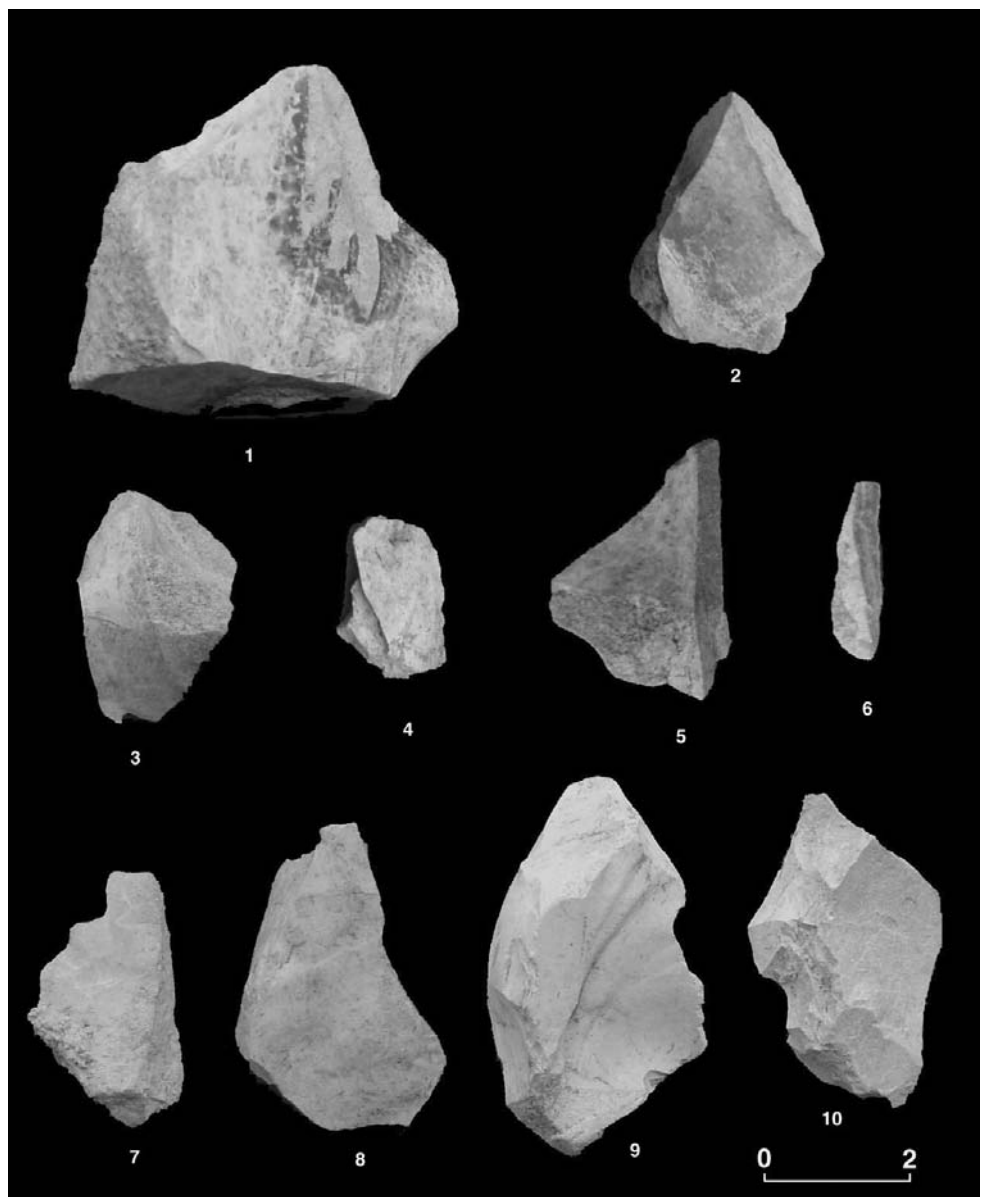


Figure 96 : Eléments lithiques sur silex, gisement de Baie Longue 2 (D. Bonnissent).

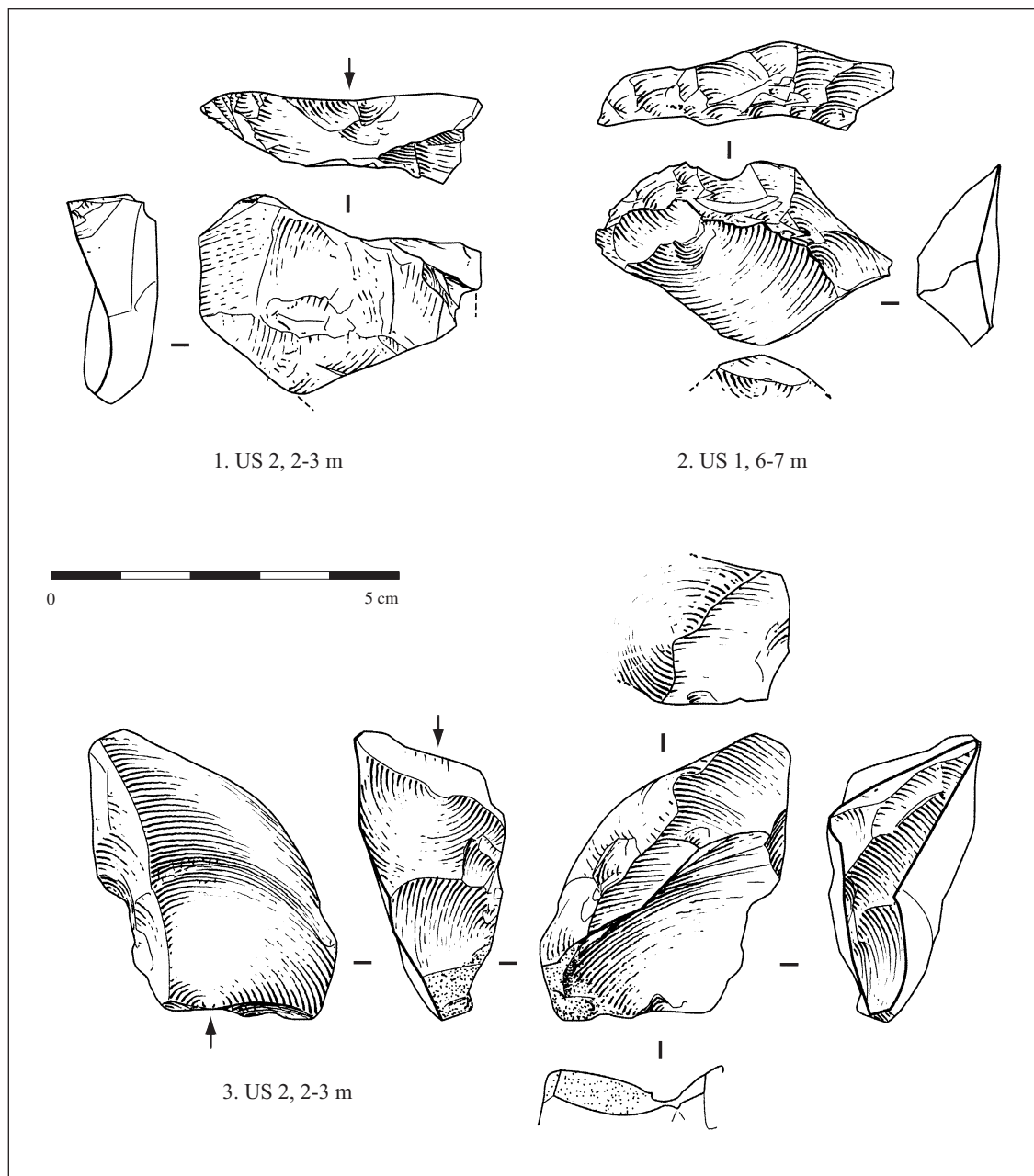


Figure 97 : Industrie sur silex, gisement mésoindien de Baie Longue 2 (P. Fouéré).

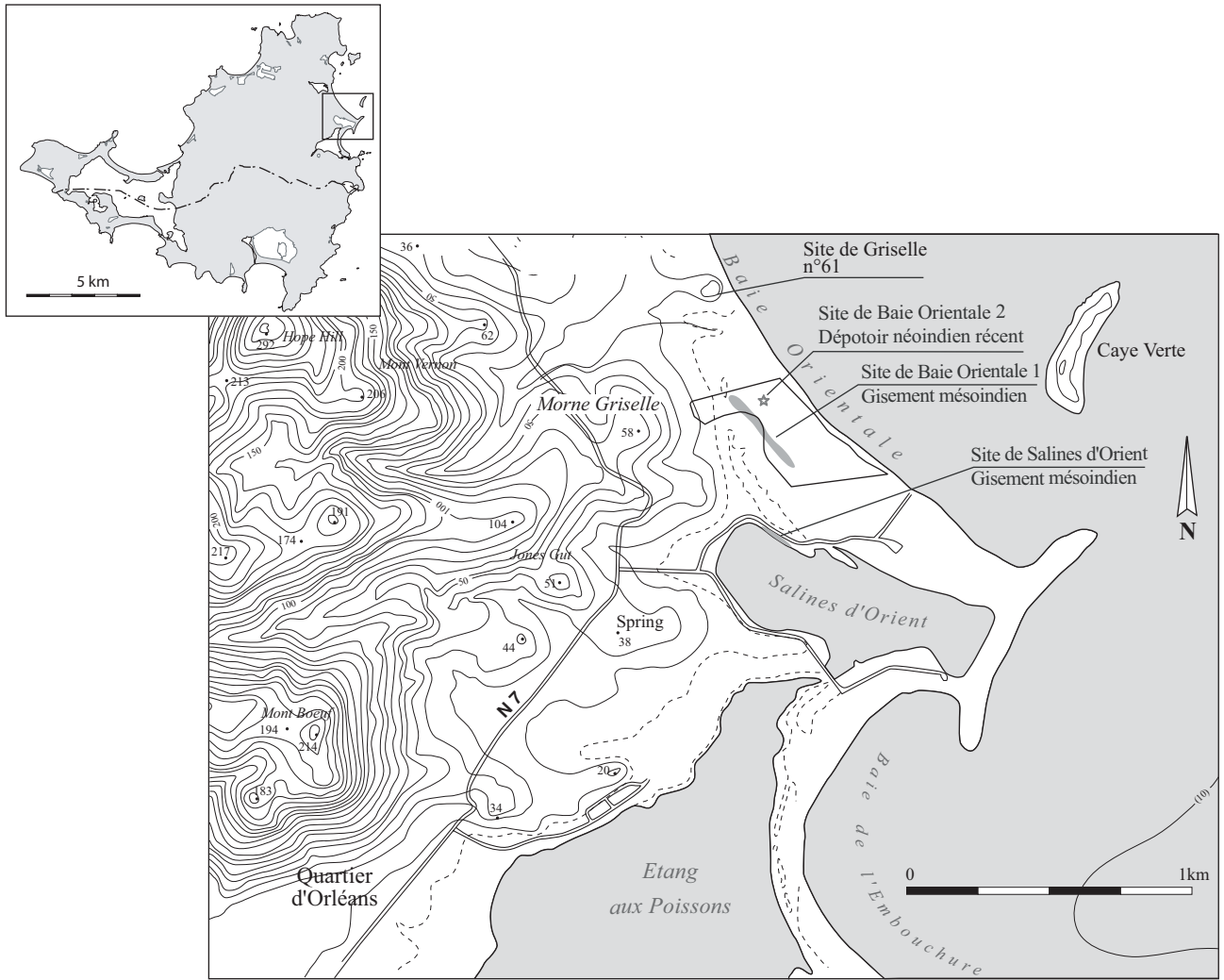


Figure 98 : Les gisements de Baie Orientale, d'après IGN 4608G (P. Galibert).



Figure 99 : La Baie Orientale vue vers le sud-est, au premier plan la zone des recherches (D. Bonnissent).



Figure 100 : Plan des sites précolombiens de la Baie Orientale (D. Bonnissent).

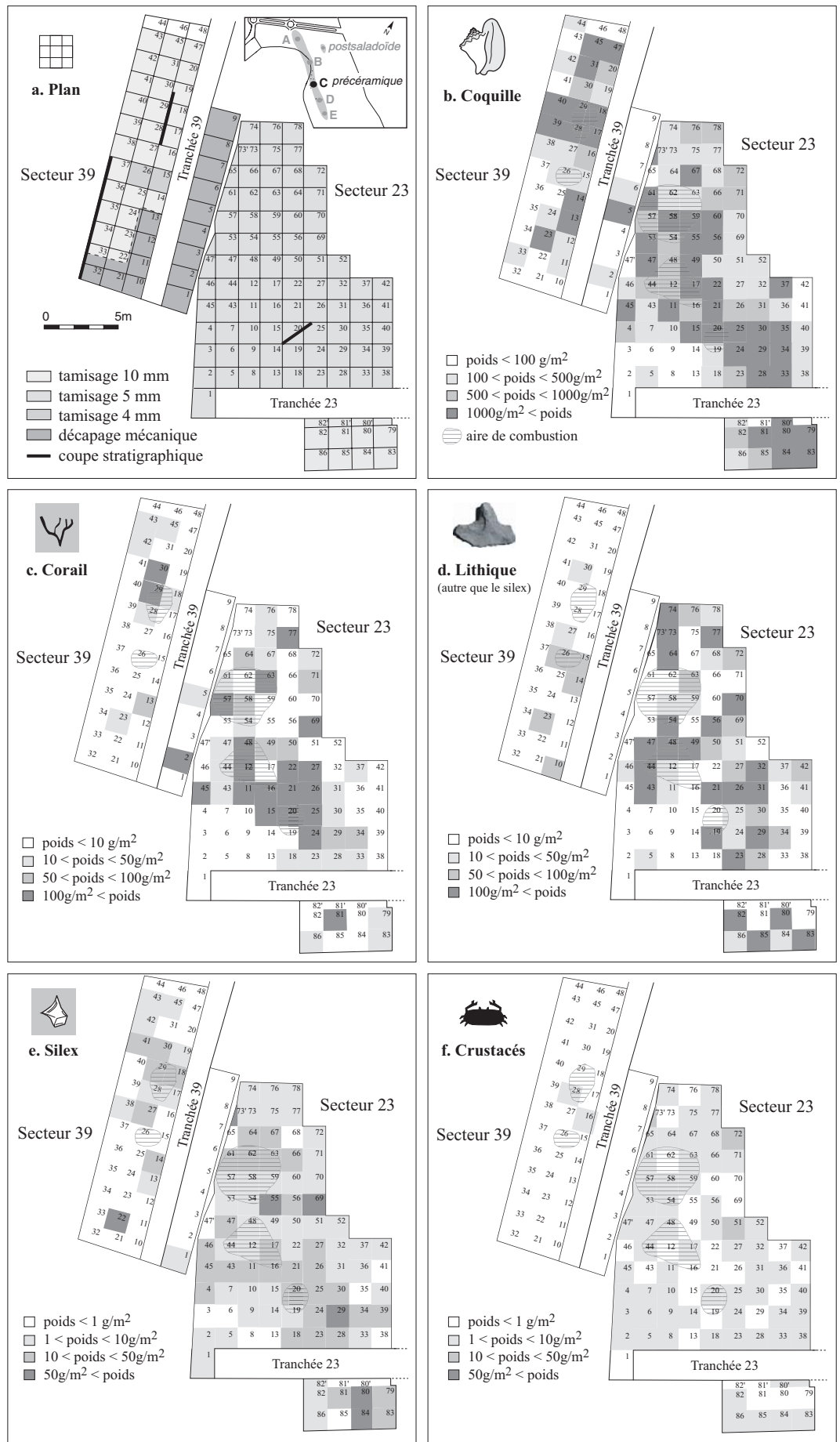


Figure 101 : Baie Orientale 1, plan et cartes de répartition du mobilier en poids/locus de la zone C (T. Romon).







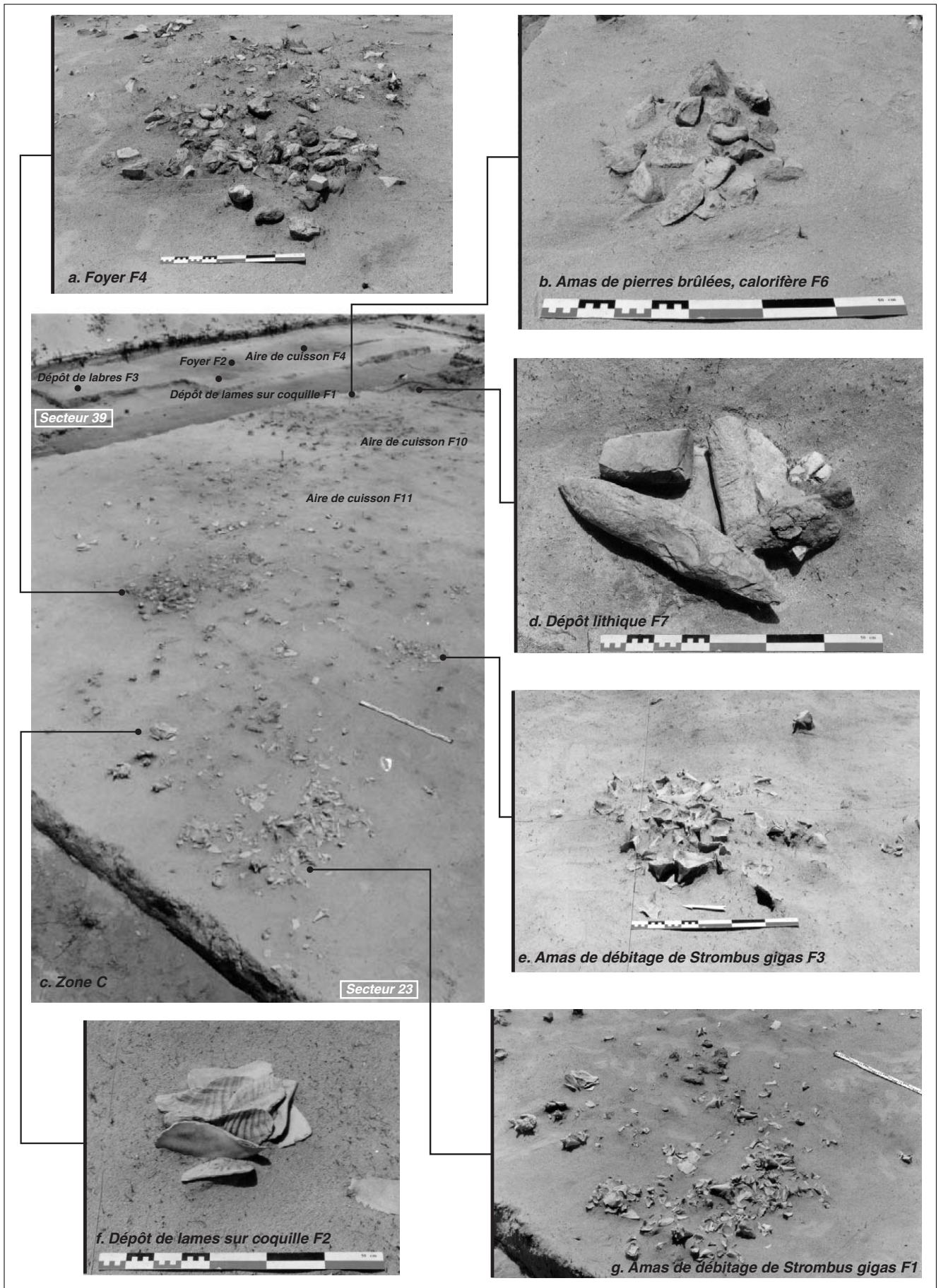


Figure 103 : Baie Orientale 1, la zone C du gisement mésoindien (D. Bonnissent).

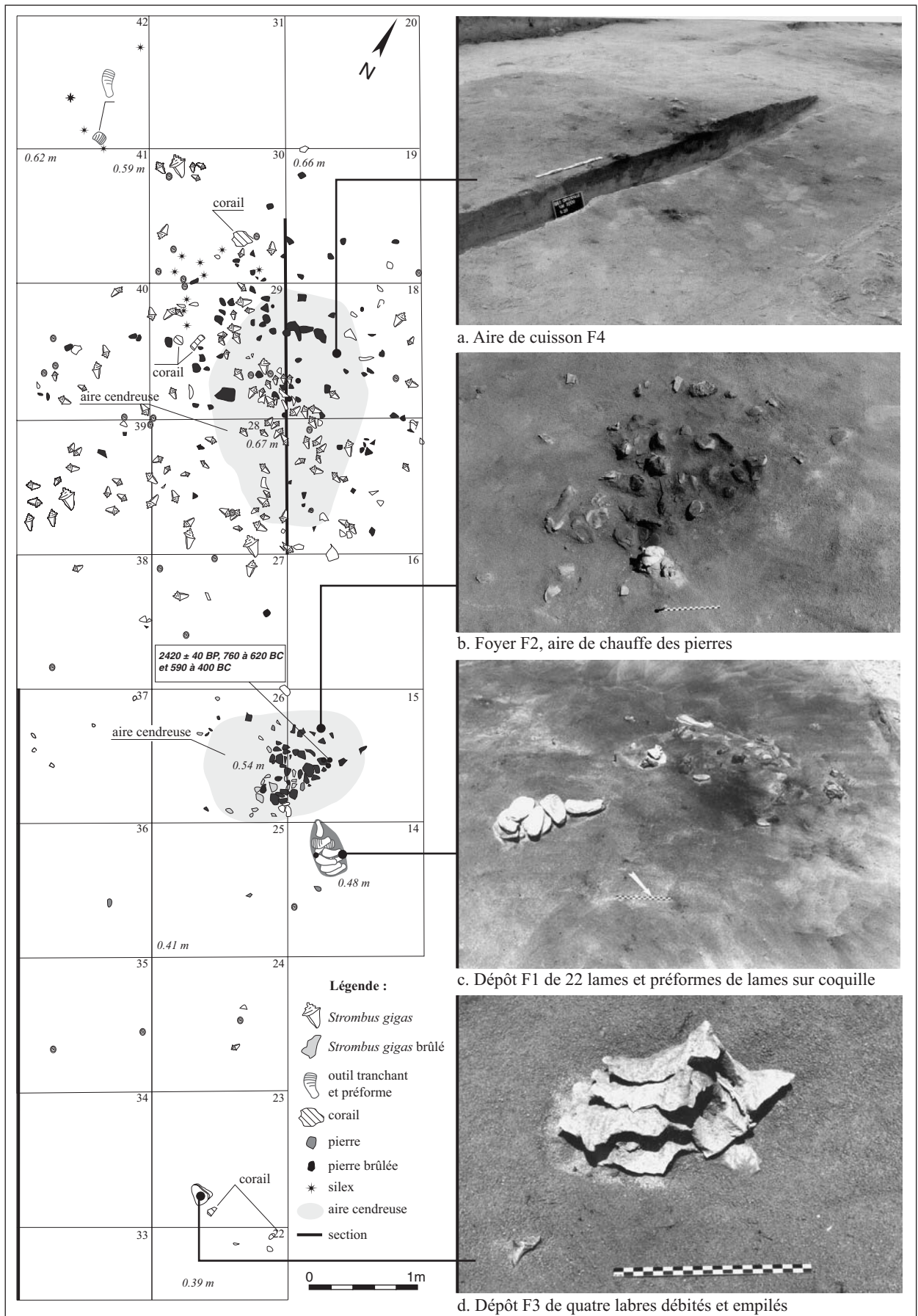


Figure 104 : Baie Orientale 1, les occupations mésoindiennes du secteur 39, zone C (D. Bonnissent).



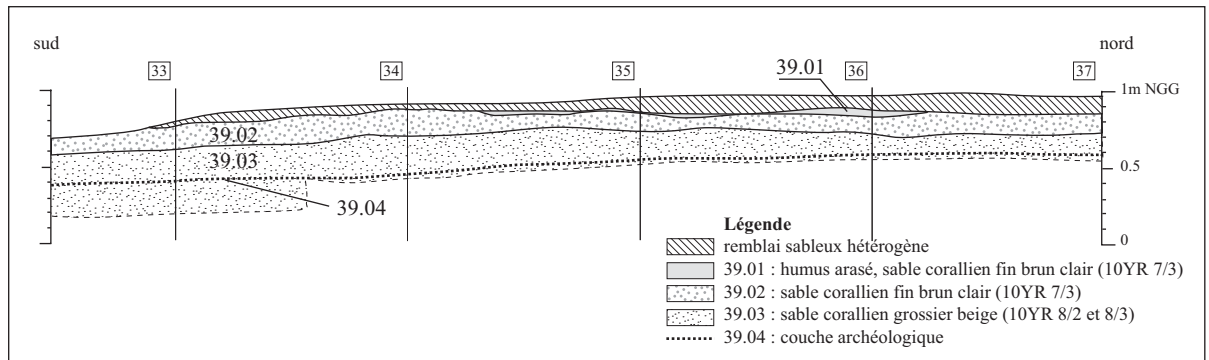


Figure 105 : Baie Orientale 1, coupe stratigraphique ouest du secteur 39, zone C (D. Bonnissent, T. Romon).

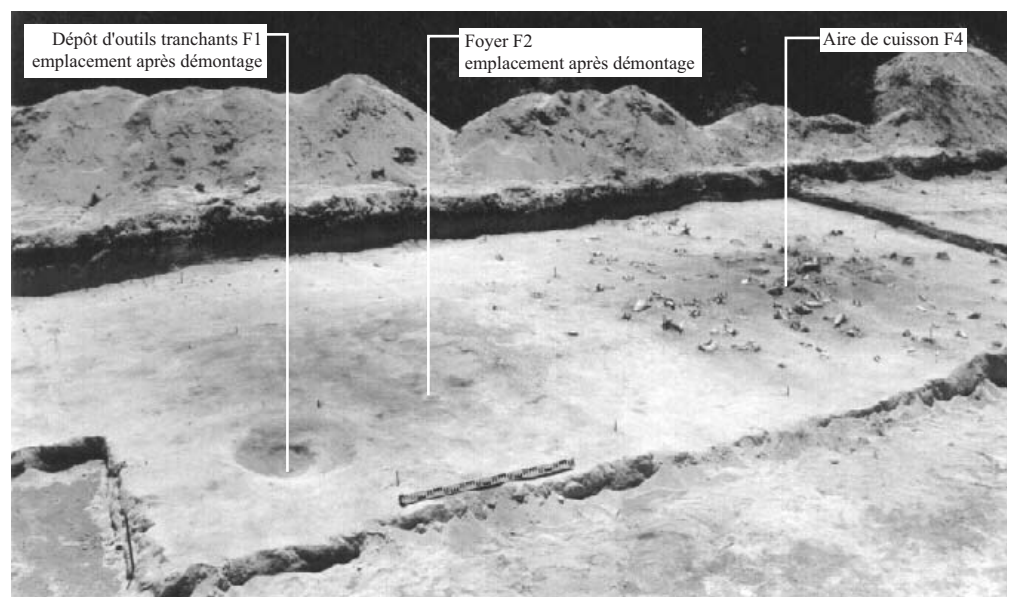


Figure 106 : Baie Orientale 1, occupation mésoindienne du secteur 39, zone C (D. Bonnissent).

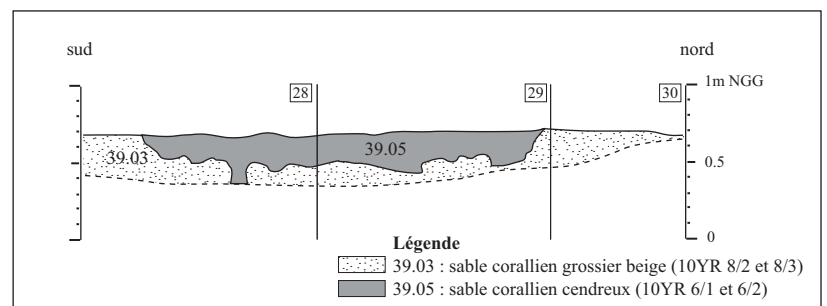


Figure 107 : Baie Orientale 1, l'aire de cuisson F4 en section, secteur 39 de la zone C (D. Bonnissent, T. Romon).

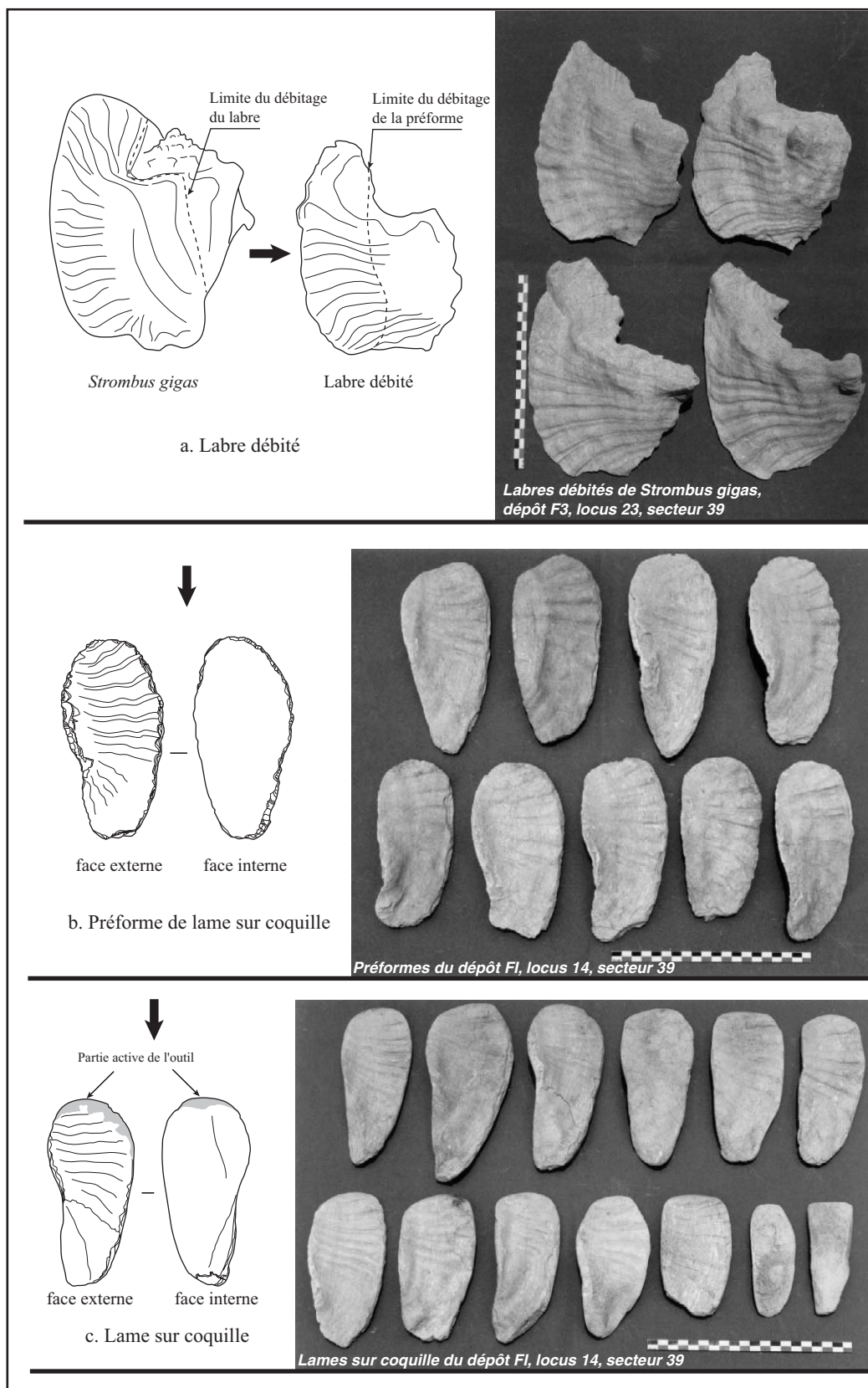


Figure 108 : Baie Orientale 1, produits de débitage sur *Strombus gigas* (D. Bonnissent).

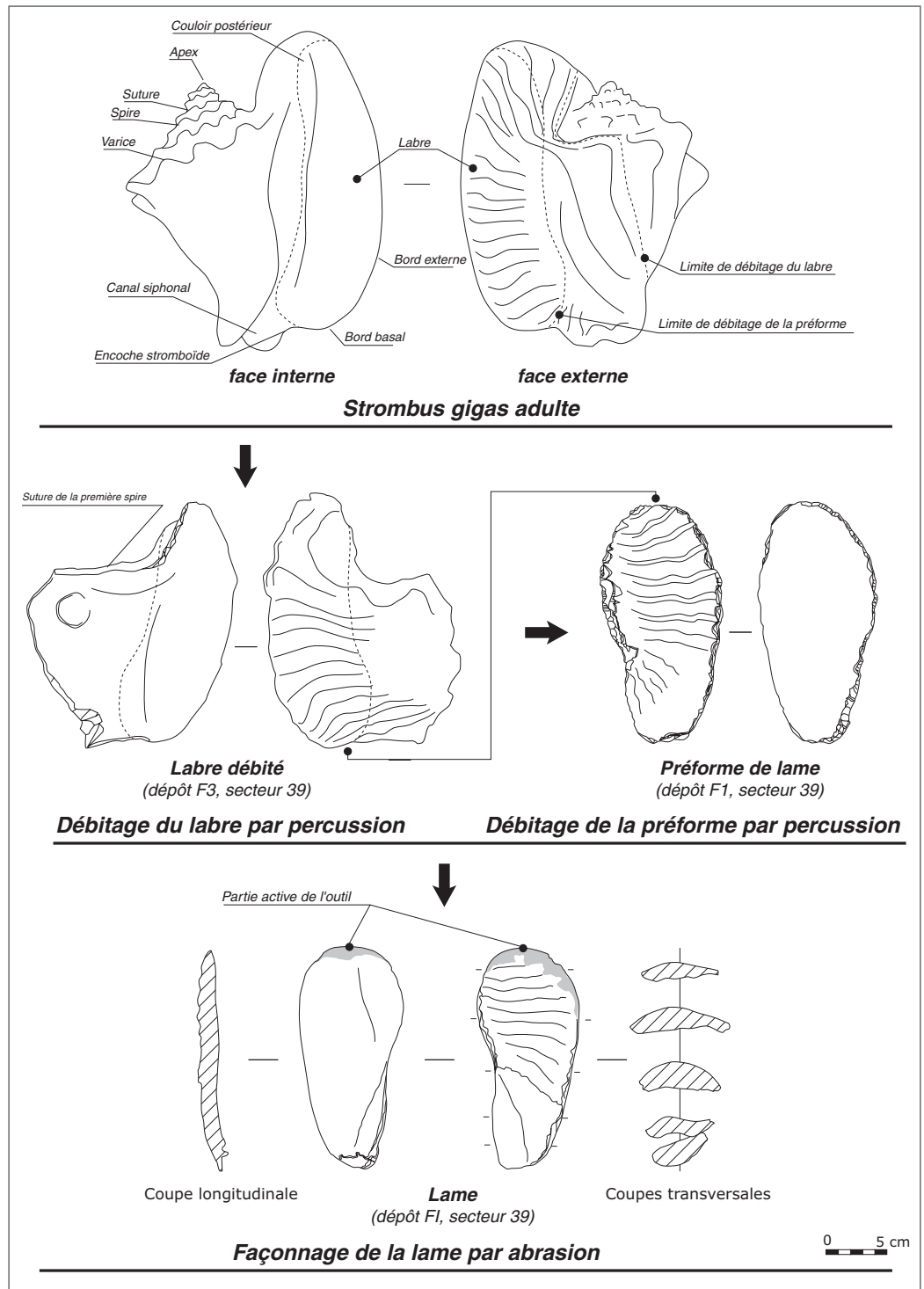
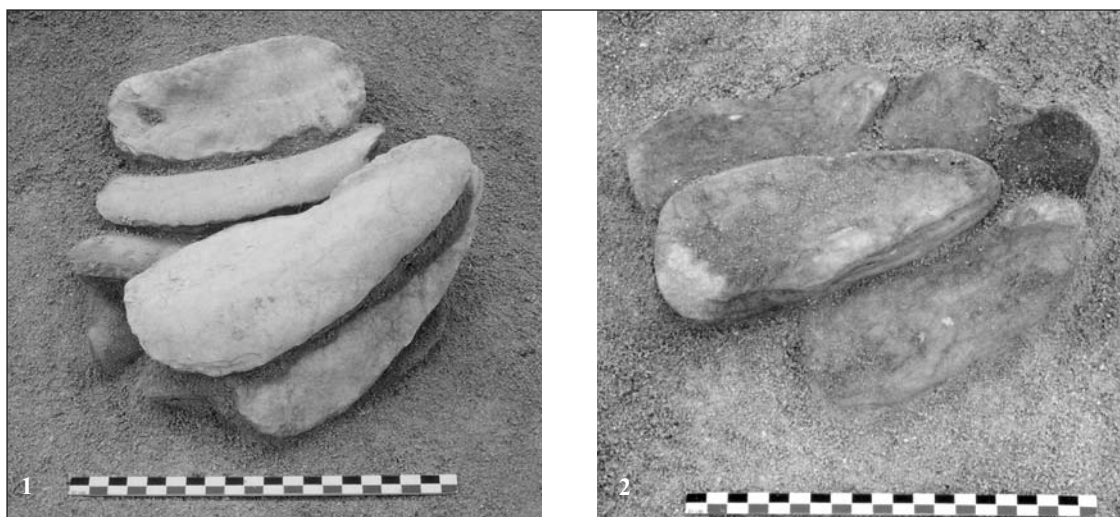
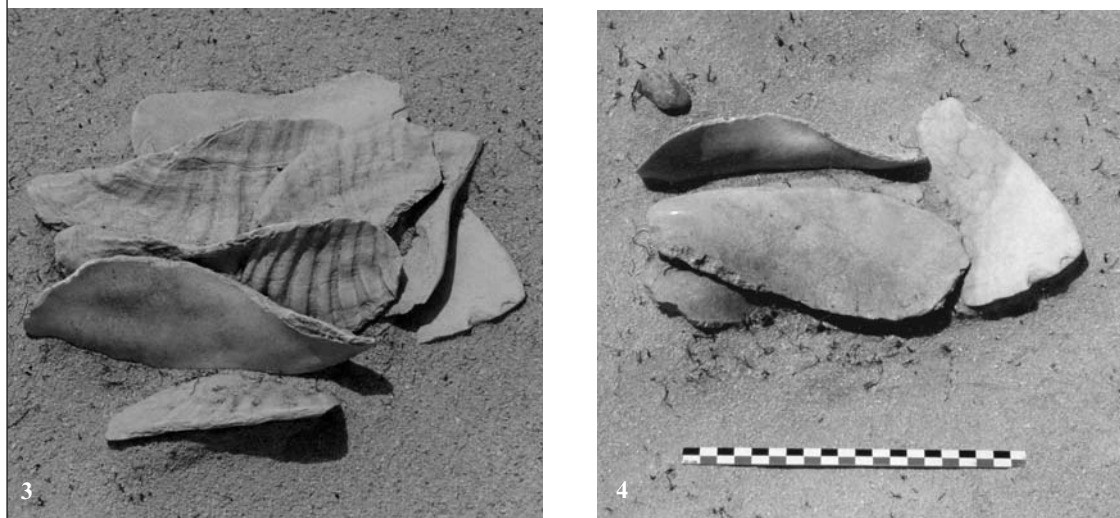


Figure 109 : Baie Orientale 1, schéma de la chaîne opératoire de production de lames sur labre de *Strombus gigas* (D. Bonnissent).





a. Dépôt de lames sur coquille F9, locus 67 : 1. sommet du dépôt, 2. démontage du 1er niveau.



b. Dépôt de lames sur coquille F2, locus 28 : 3. sommet du dépôt, 4. démontage du 1er niveau.

Figure 110 : Baie Orientale 1, dépôt de lames sur coquille du secteur 23 (D. Bonnissent).

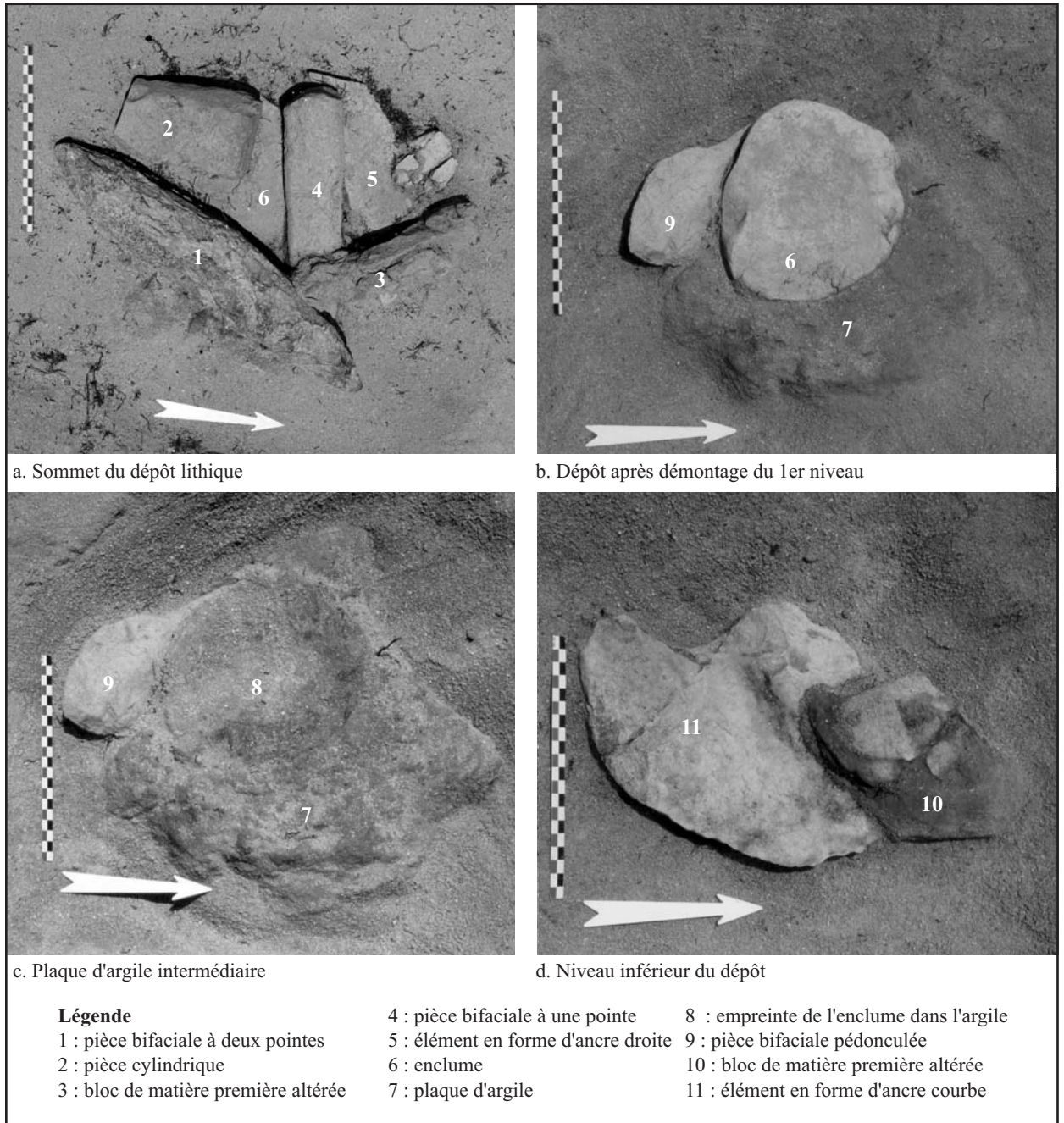


Figure 111 : Baie Orientale 1, dépôt lithique F7 de la zone C (D. Bonnissent).

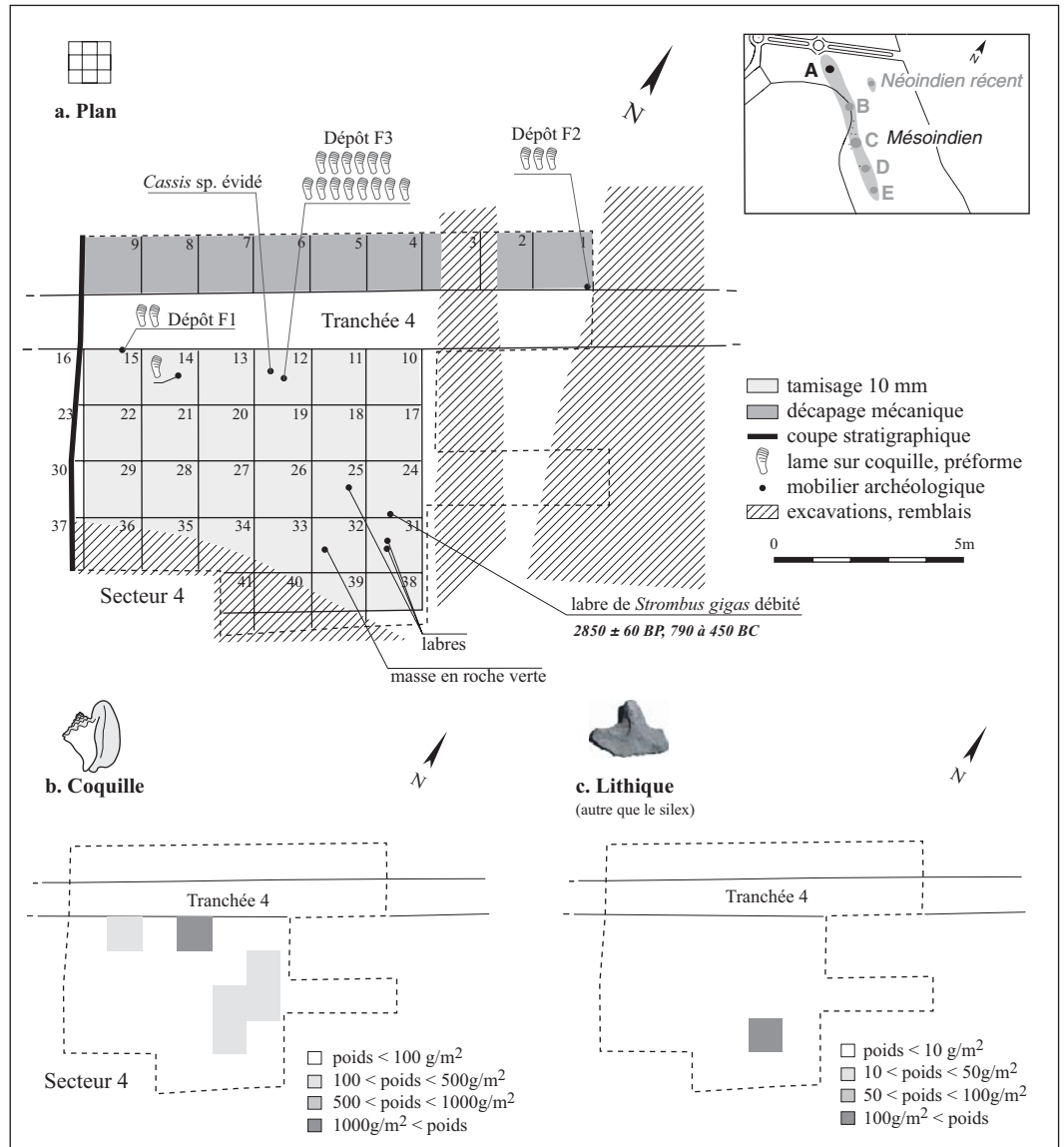


Figure 112 : Baie Orientale 1, plan et cartes de répartition du mobilier en poids/locus de la zone A (D. Bonnissent, T. Romon).

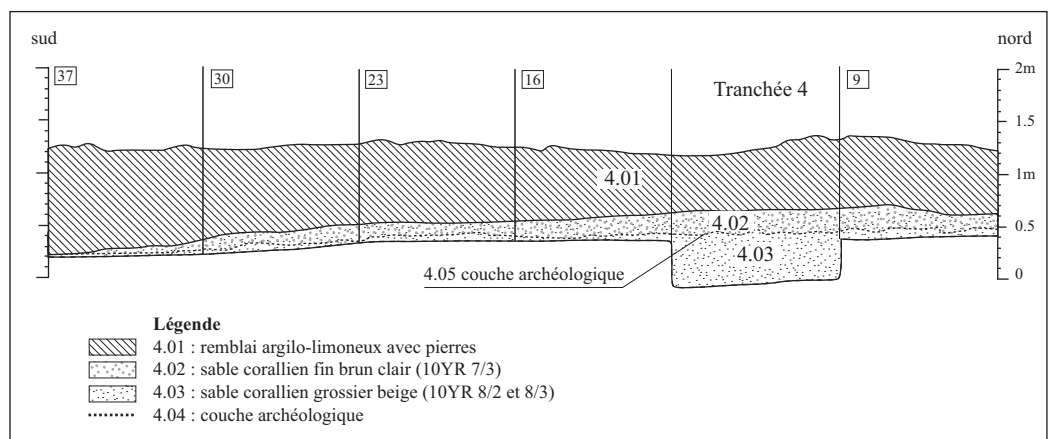


Figure 113 : Baie Orientale 1, coupe stratigraphique secteur 4, zone A (D. Bonnissent, T. Romon).

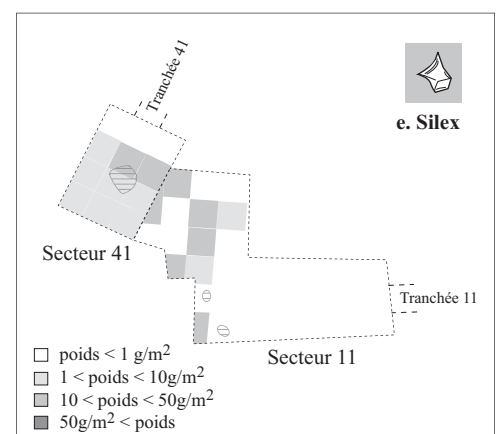
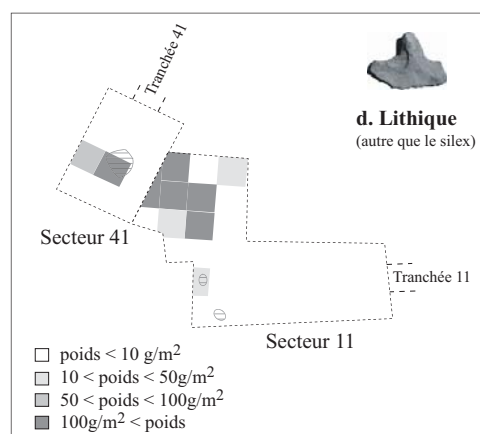
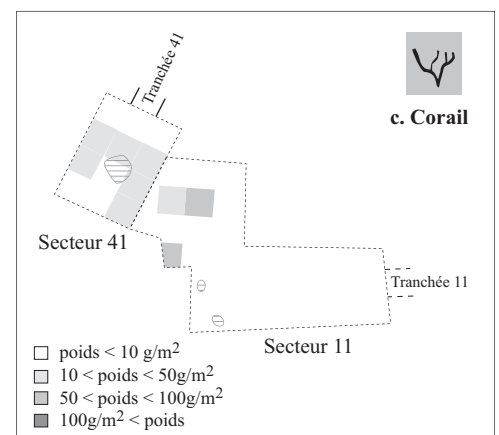
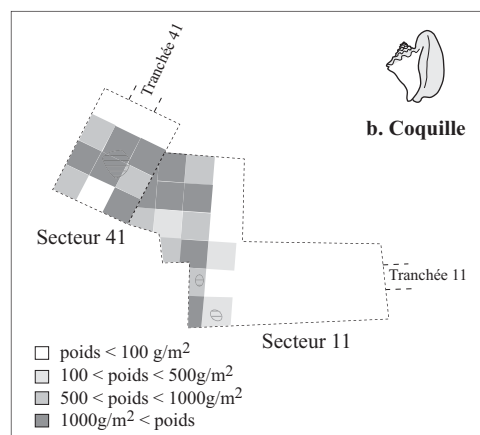
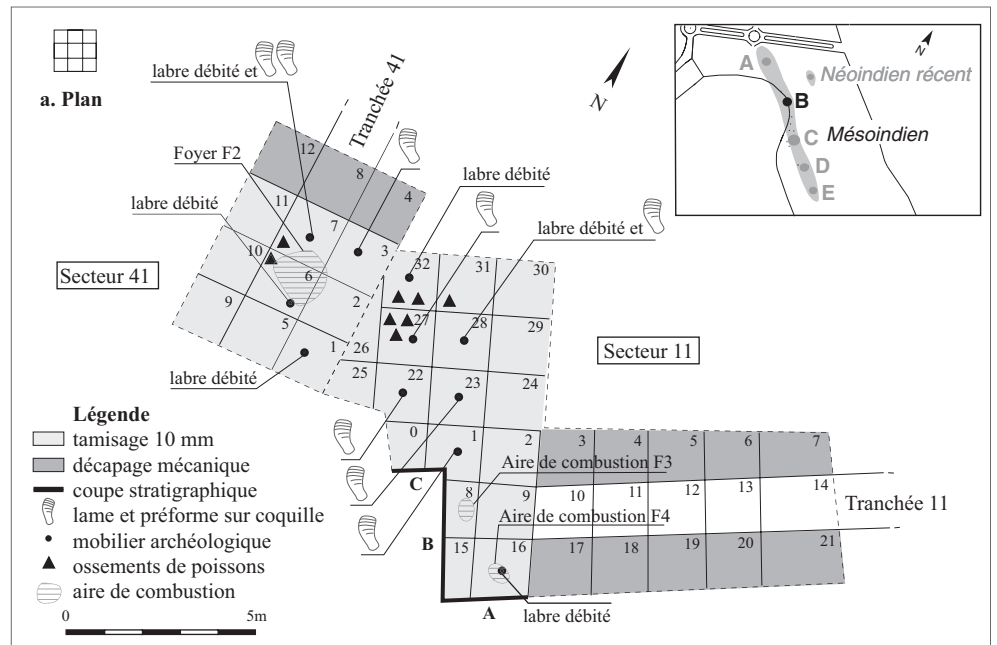


Figure 114 : Baie Orientale 1, plan et cartes de répartition du mobilier en poids/locus de la zone B (T. Romon).



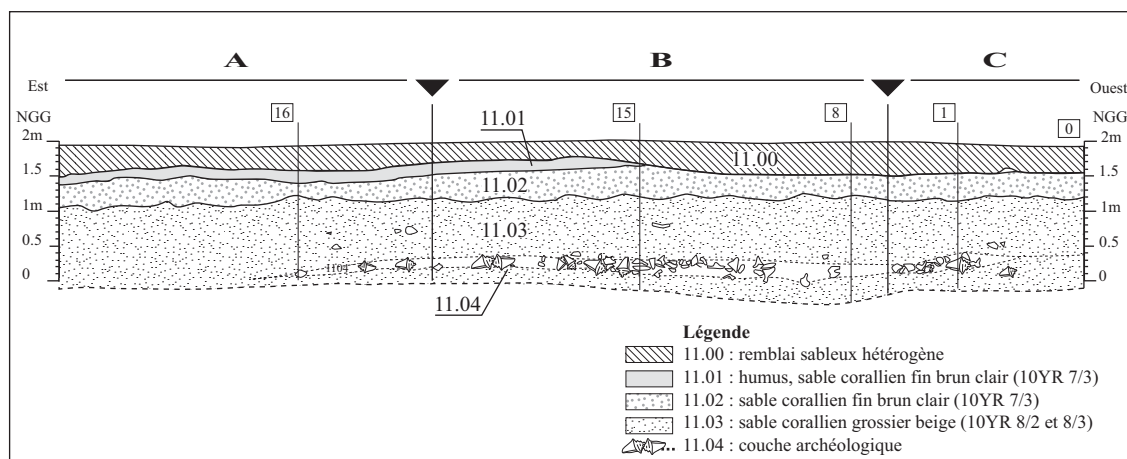


Figure 115 : Baie Orientale 1, coupe stratigraphique de la zone B, secteur 11 (D. Bonnissent).



Figure 116 : Baie Orientale 1, section B du secteur 11 (D. Bonnissent).



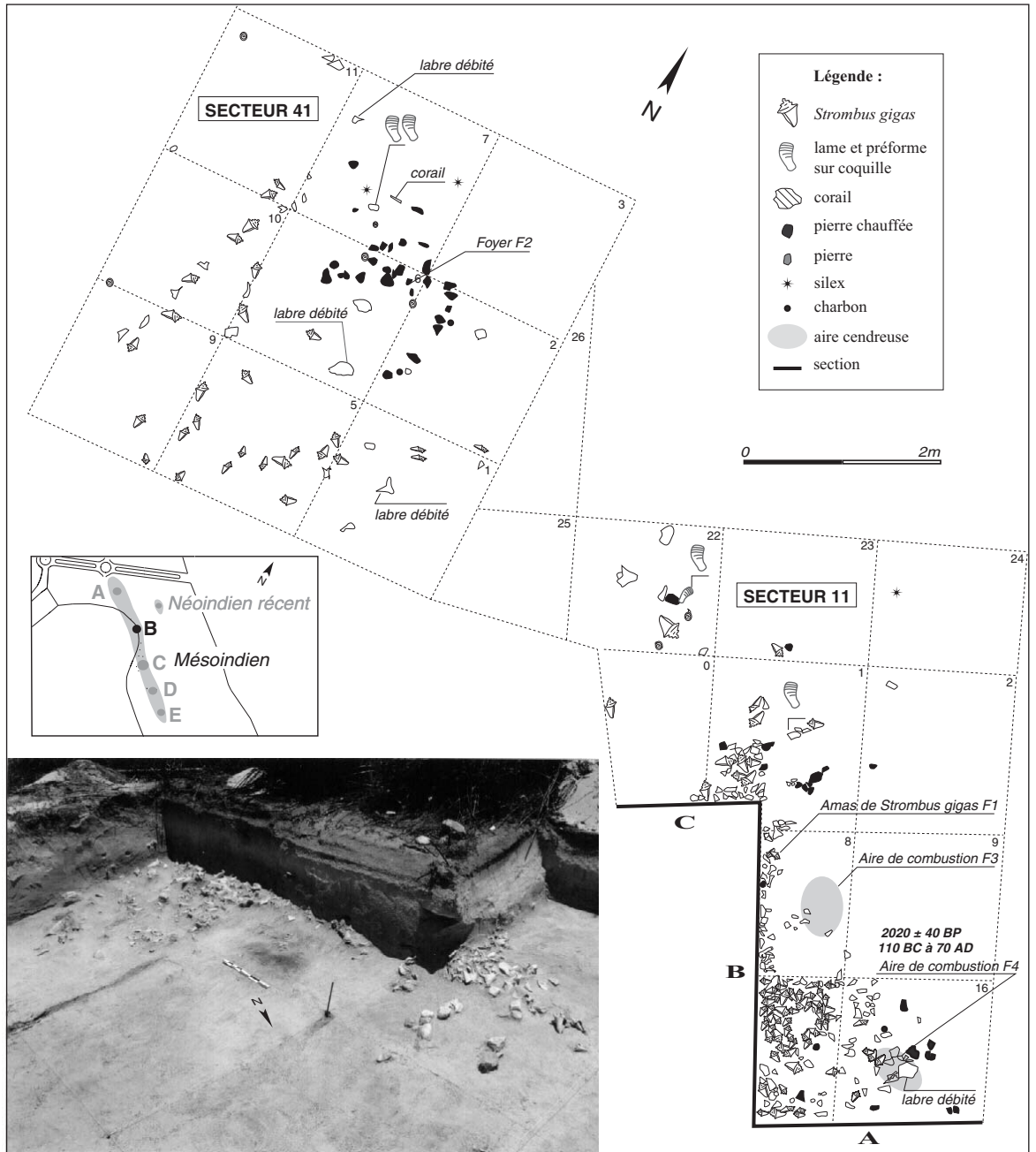


Figure 117 : Baie Orientale 1, carte de répartition de la zone B (T. Romon, D. Bonnissent).

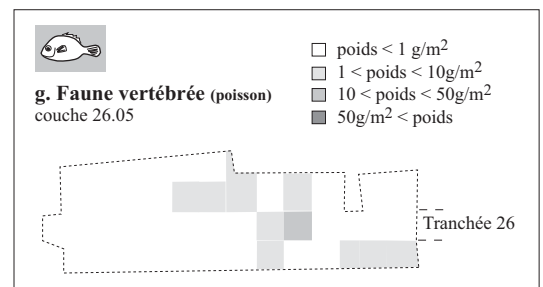
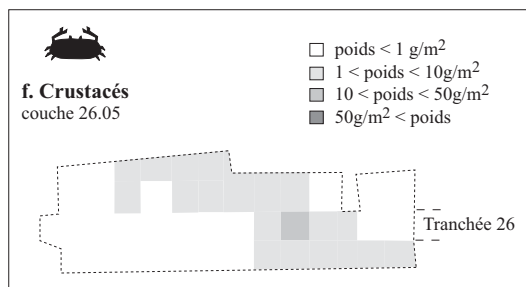
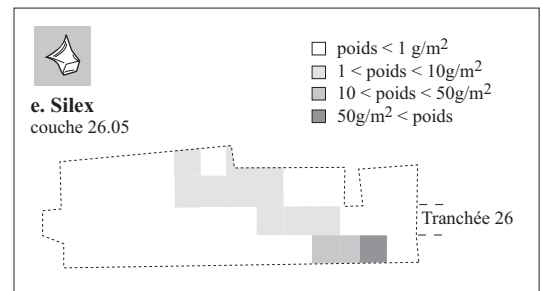
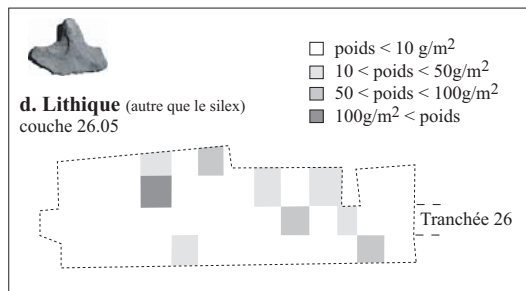
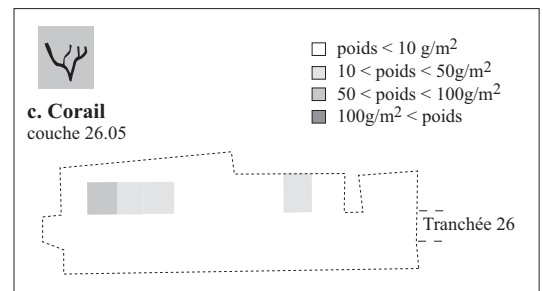
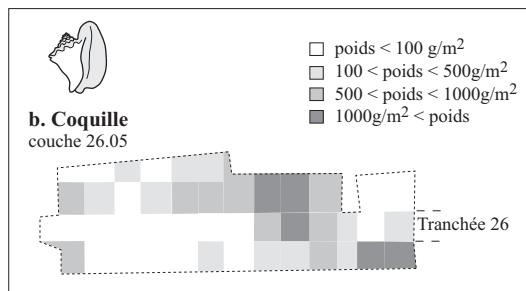
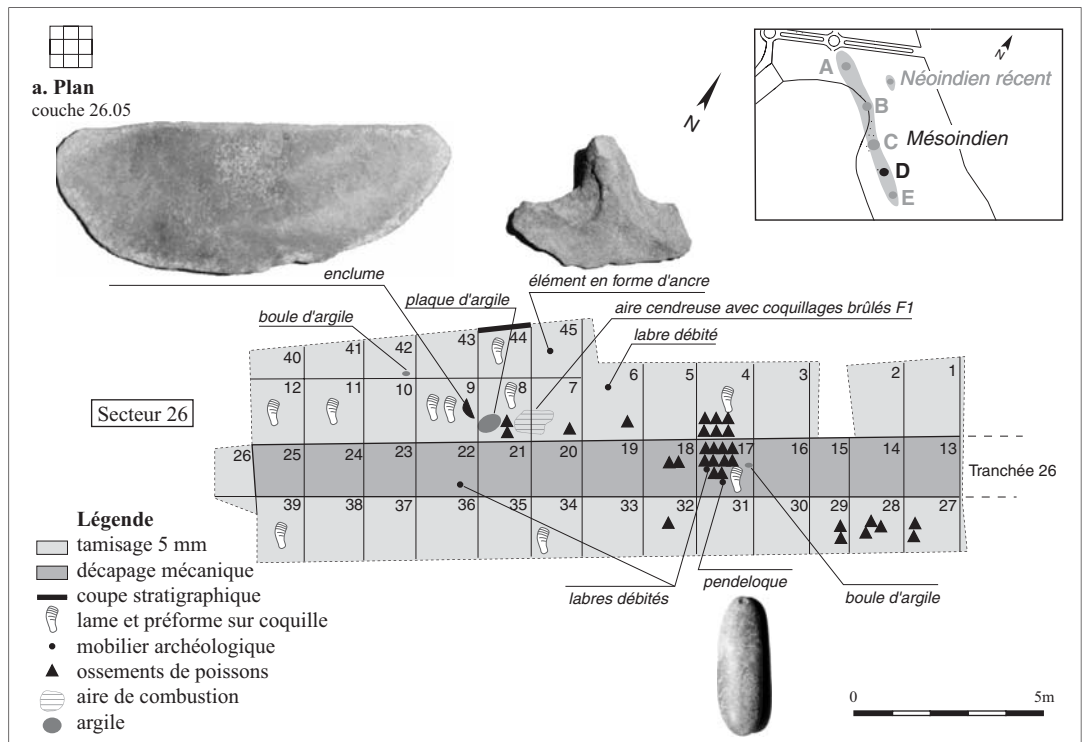


Figure 118 : Baie Orientale 1, plan et cartes de répartition du mobilier en poids/locus de la zone D (T. Romon, D. Bonnissent).

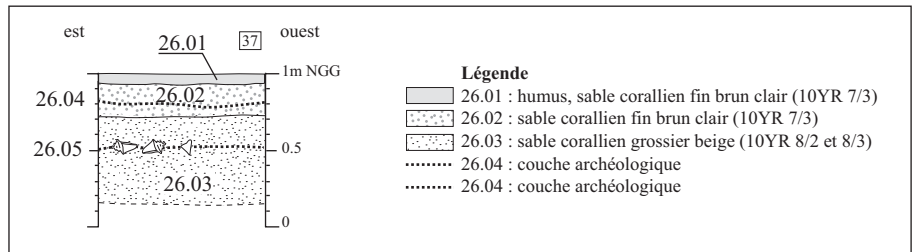


Figure 119 : Baie Orientale 1, log de la zone D (D. Bonnissent).

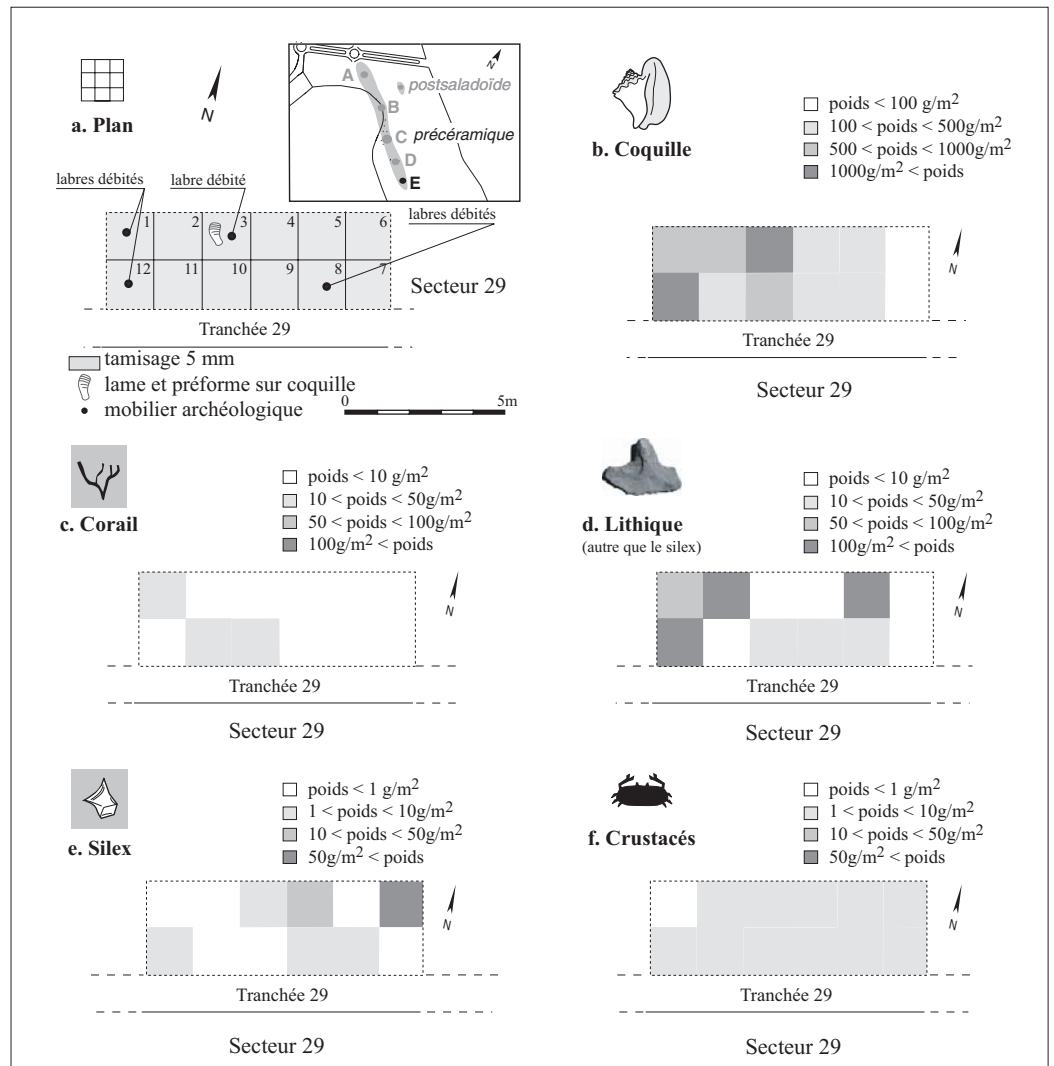


Figure 120 : Baie Orientale 1, plan et cartes de répartition du mobilier en poids/locus de la zone E (T. Romon).

Zone	lithique	corail	coquille	faune vertébrée	crabe	charbon	Total
A	1054	568	5922	0	0	0	7544
B	5659	0	68056	6,45	5	5	73731,45
C	38692	13835	291768	0,15	511	5	344811,2
D	3332	51166	71726	12,42	245	5	126486,4
E	2713	157	16075	0	105	0	19050
T47	89	0	0	0	0	0	89
T48	1345	0	0	0	0	0	1345
Total	52884	65726	453547	19,02	866	15	573057

Tableau 9 : Baie Orientale 1, poids du mobilier en g par zone (D. Bonnissent).





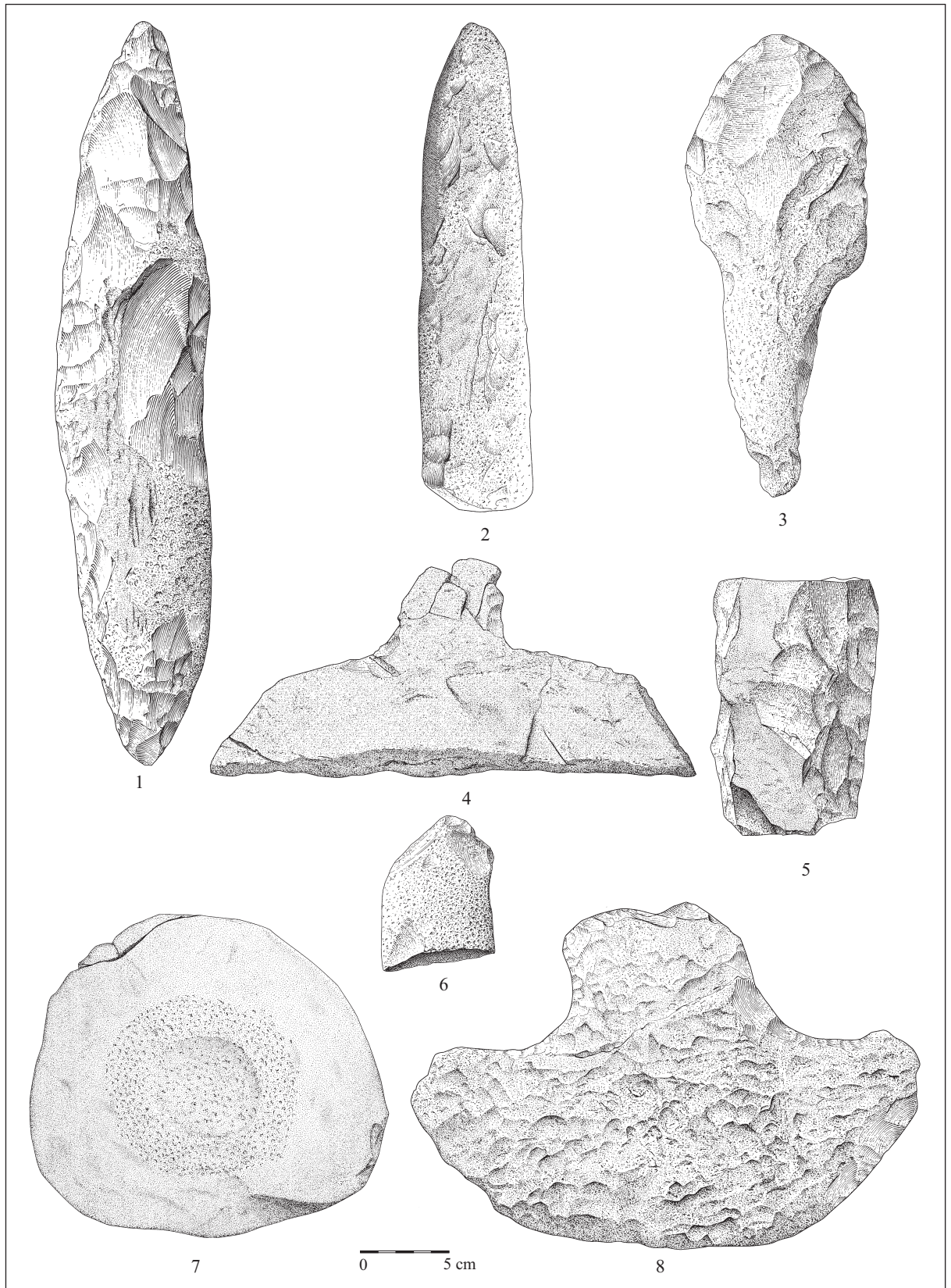


Figure 122 : Baie Orientale 1, éléments lithiques du dépôt F7 de la zone C (P. Fouéré). 1 : pièce bifaciale à deux points, 2 : pièce bifaciale à une pointe, 3 : pièce bifaciale pédonculée, 4 : élément en forme d'ancre droite, 5 : pièce cylindrique, 6 : bloc de matière première altérée, 7 : enclume, 8 : élément en forme d'ancre courbe.



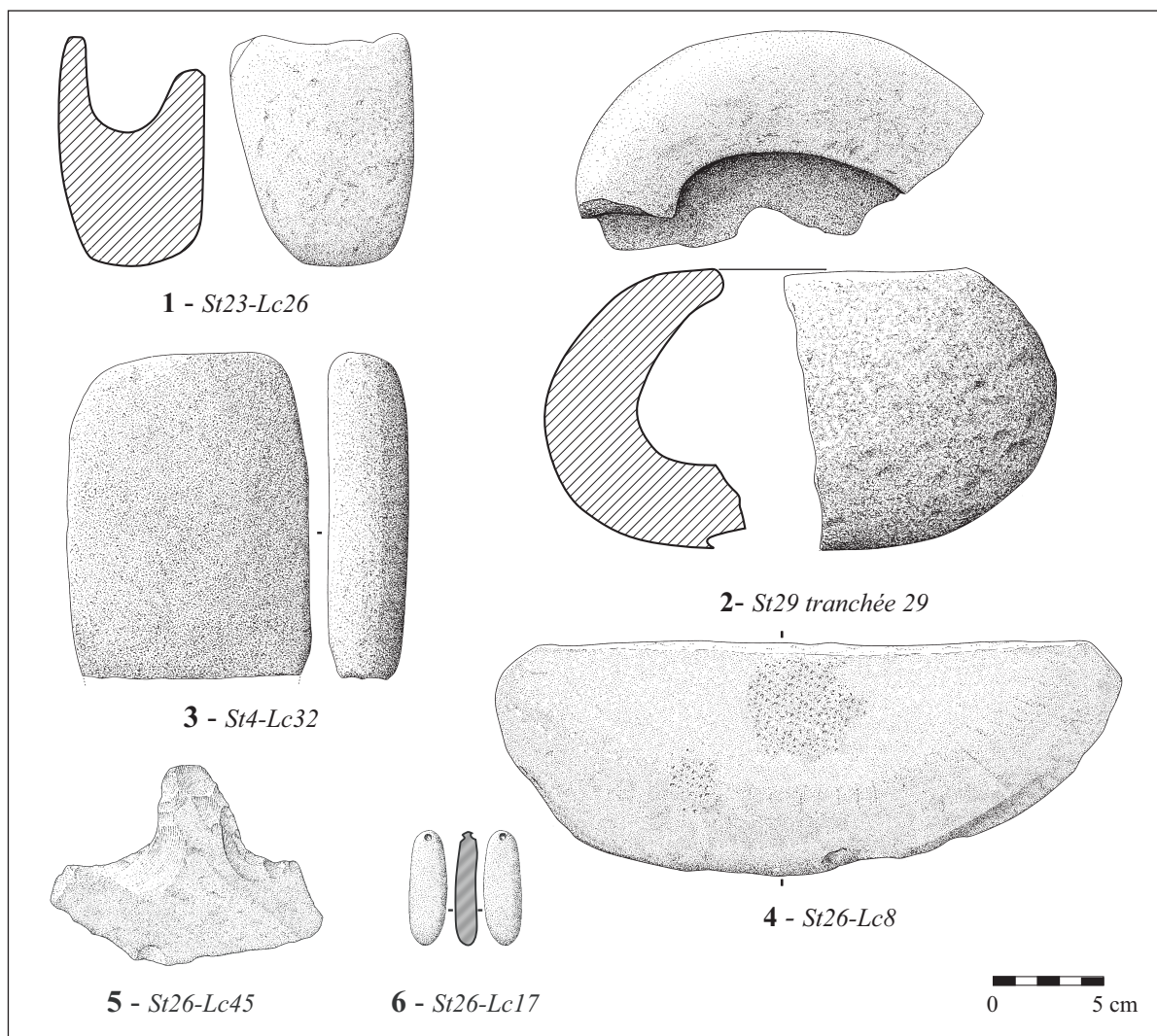


Figure 123 : Baie Orientale 1, éléments lithiques. 1 : mortier en roche volcanique, 2 : mortier en roche volcanique, 3 : masse ou meule, 4 : enclume, 5 : objet ancriforme, 6 : ébauche de pendeloque sur galet (P. Fouéré).

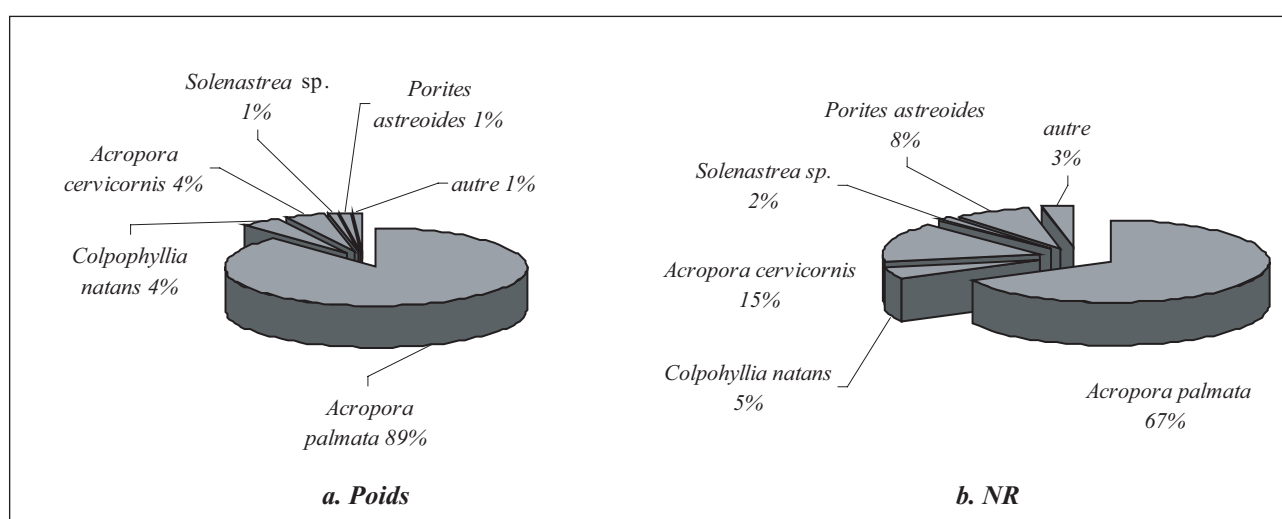


Figure 124 : Baie Orientale 1, représentation des coraux par espèces, en poids (a) et en NR (b) (D. Bonnissent).

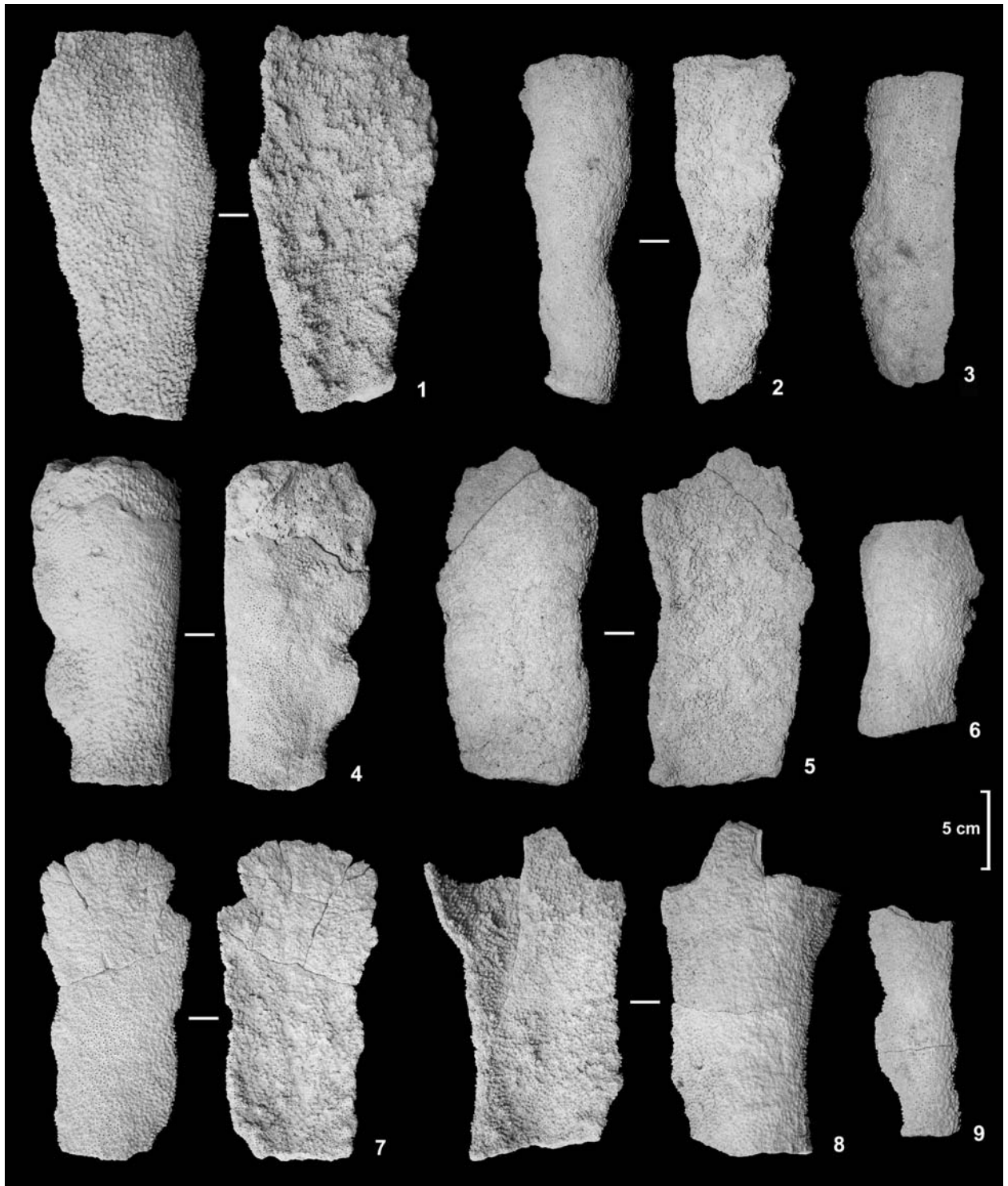


Figure 125 : Baie Orientale 1, tronçons de branches d'*Acropora palmata* avec ou sans palme, zone C. 1 : S23L57, 2 : S23L63, 3 : S23L12, 4 : S23L48, 5 : S23L81, 6 : S23L20, 7 : S23L21, 8 : S23L24, 9 : S23L71 (D. Bonnissent).

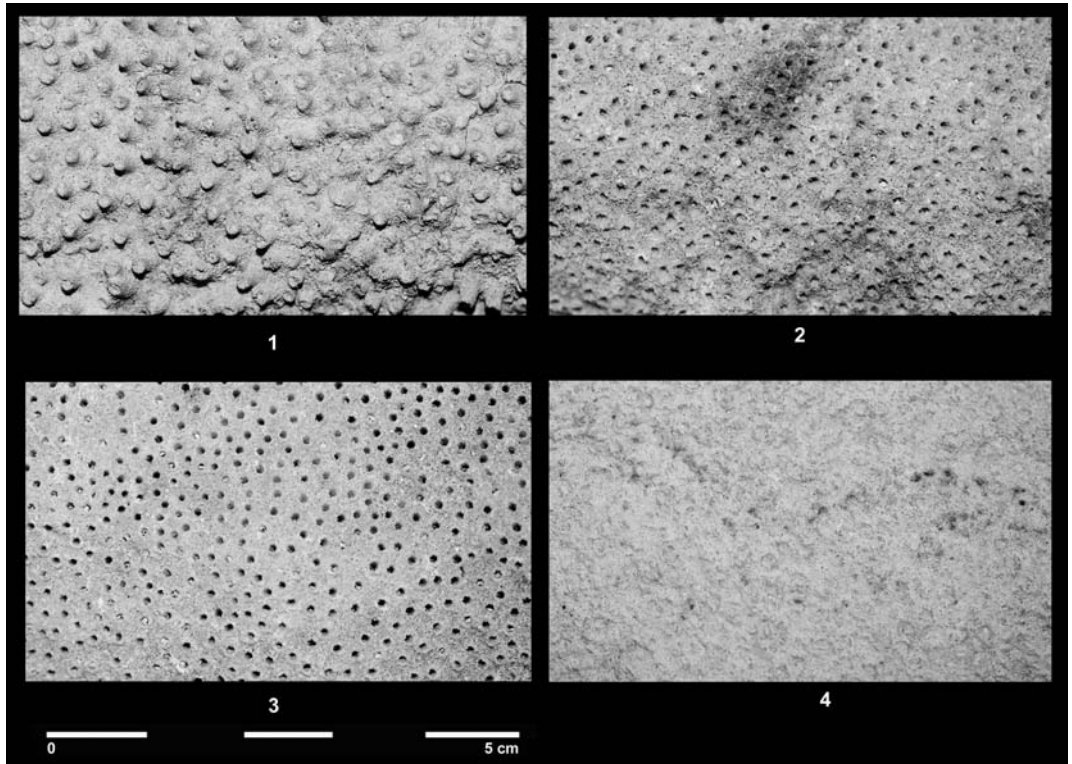


Figure 126 : Baie Orientale 1, aspects de surfaces types relevés sur les tronçons d'*Acropora palmata* de la zone C. 1 : surface légèrement abrasée, les corallites sont saillantes. 2 : les corallites sont très abrasées, une petite protubérance est encore visible autour de leur section. 3 : les corallites sont totalement usées et seul l'orifice subsiste. 4 : les corallites sont totalement usées et couvertes d'un encroûtement carbonaté (D. Bonnissent).



Figure 127 : Baie Orientale 1, branches modifiées d'*Acropora cervicornis*. 1 : S23L66-67-69, 2 : S39L5, 3 : S23L23, 4 : S41L7, 5 : S23L86, 6 : S11L10 (D. Bonnissent).



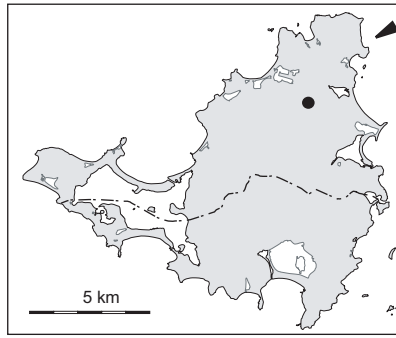


Figure 128 : Vue aérienne de l'île de Saint-Martin et du plateau de Hope Estate (Cliché C. Cavallera).



Figure 129 : Le plateau de Hope Estate (Cliché C. Stouvenot).

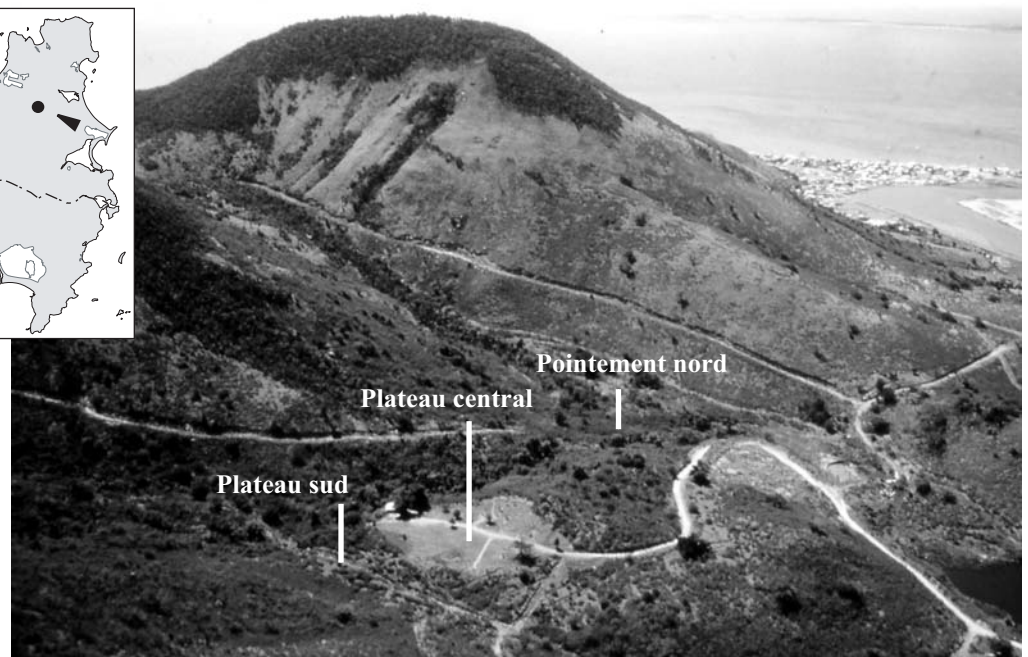
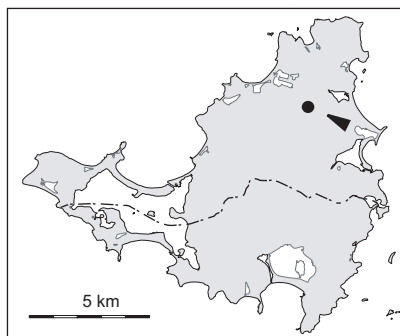


Figure 130 : Détail du plateau de Hope Estate (Cliché C. Cavallera).

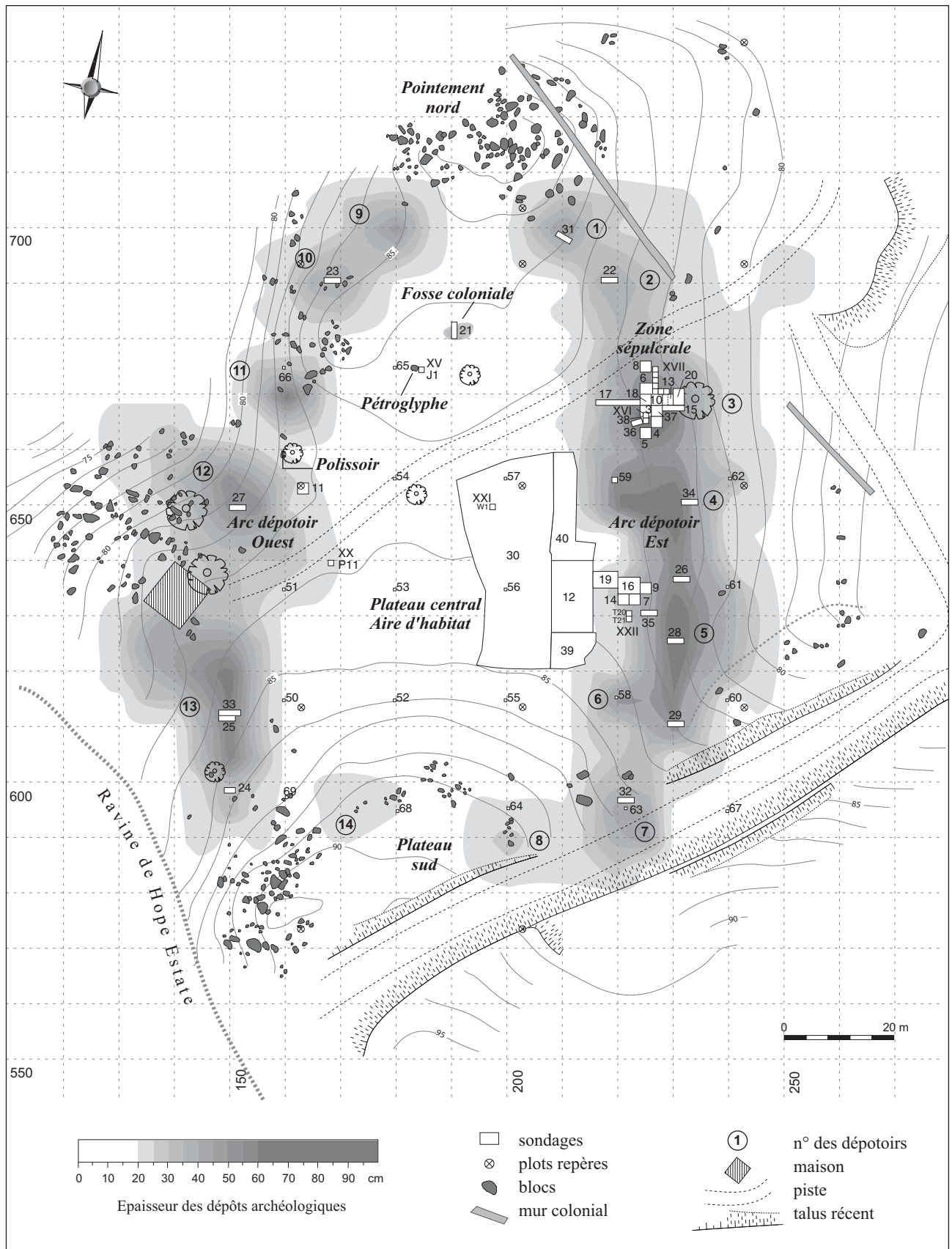


Figure 131 : Plan du site de Hope Estate (D'après Stouvenot, Bonnissent 1997).



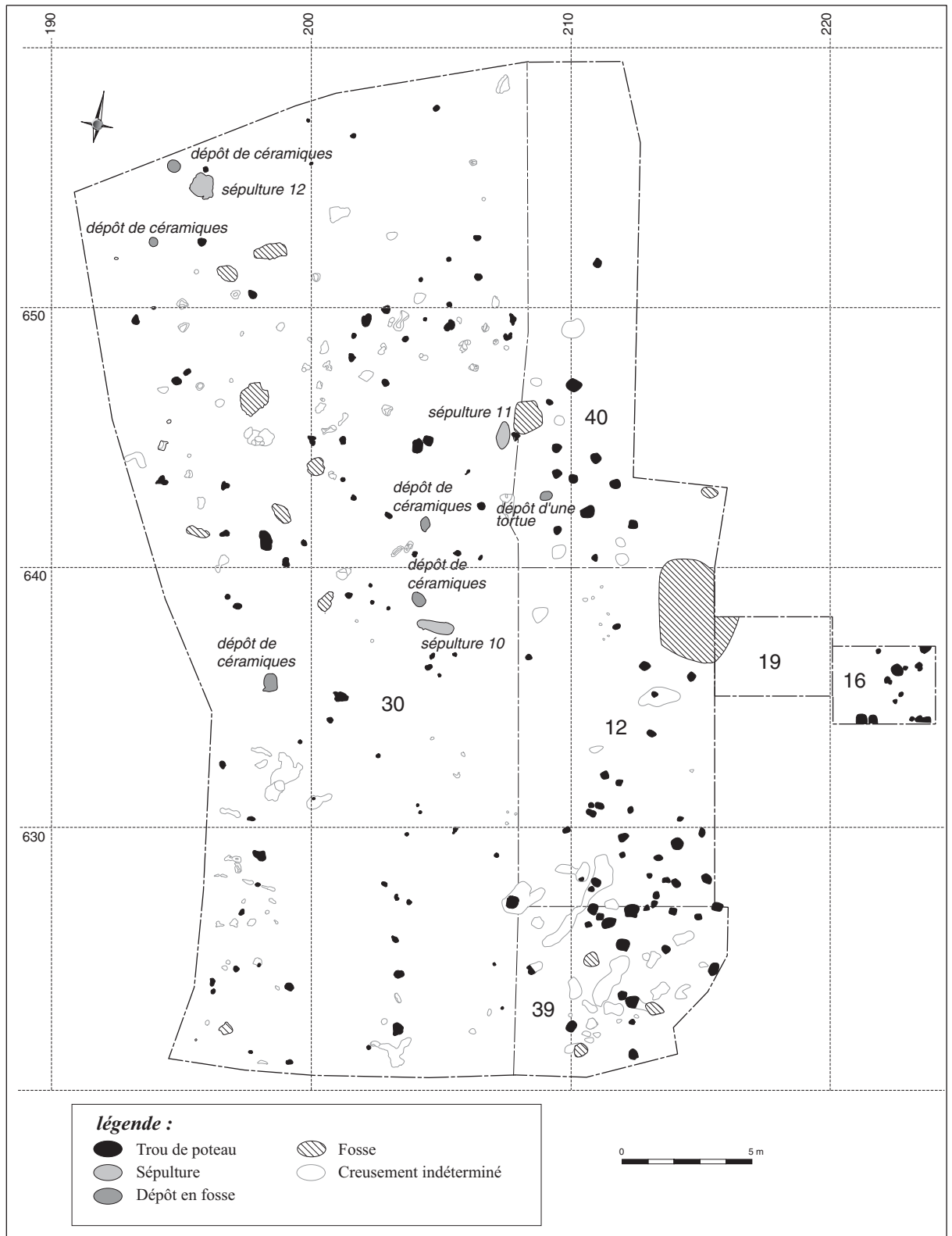


Figure 132 : Hope Estate, plan des aménagements anthropiques sur le plateau central (D. Bonnissent).  
 Les données du sondage 12 ont été reproduites d'après Hoogland (1999 : 144).



Figure 133 : Hope Estate, pétroglyphe du plateau central (cliché, I. Dechanez).



Figure 134 : Hope Estate, détail du pétroglyphe du plateau central (cliché, I. Dechanez).

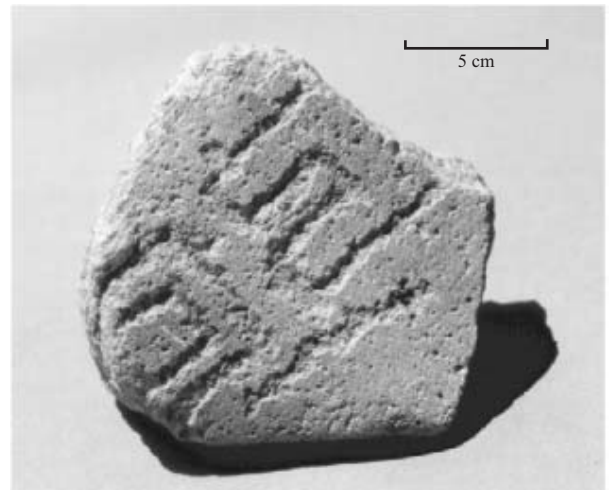


Figure 135 : Hope Estate, pétroglyphe du sondage 33 (cliché, I. Dechanez).

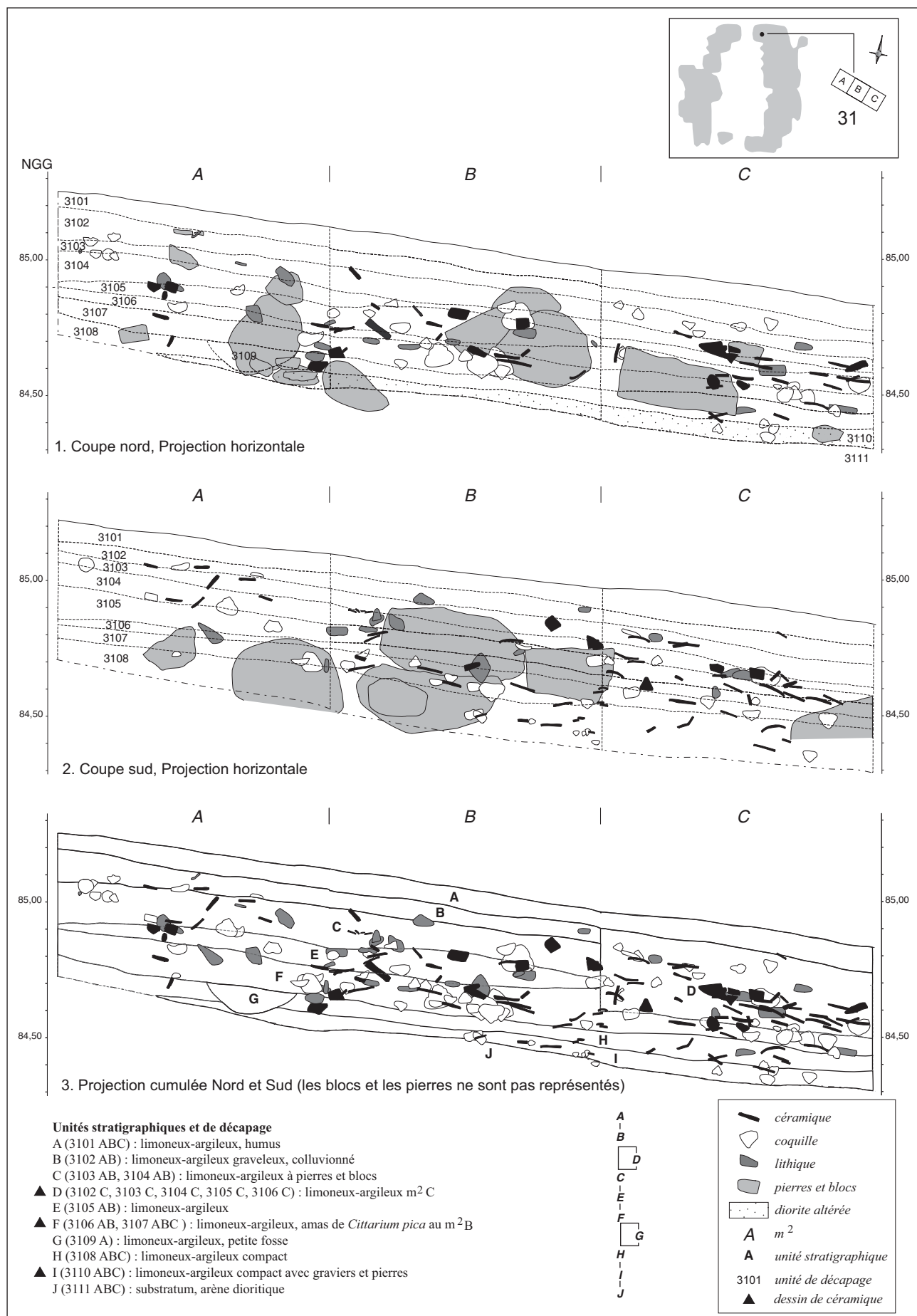


Figure 136 : Hope Estate, projection horizontale cumulée des mobiliers du sondage 31 (I. Dechanez, C. Stouvenot).



Figure 137 : Hope Estate, sondage 31 unité F (I. Dechanez).



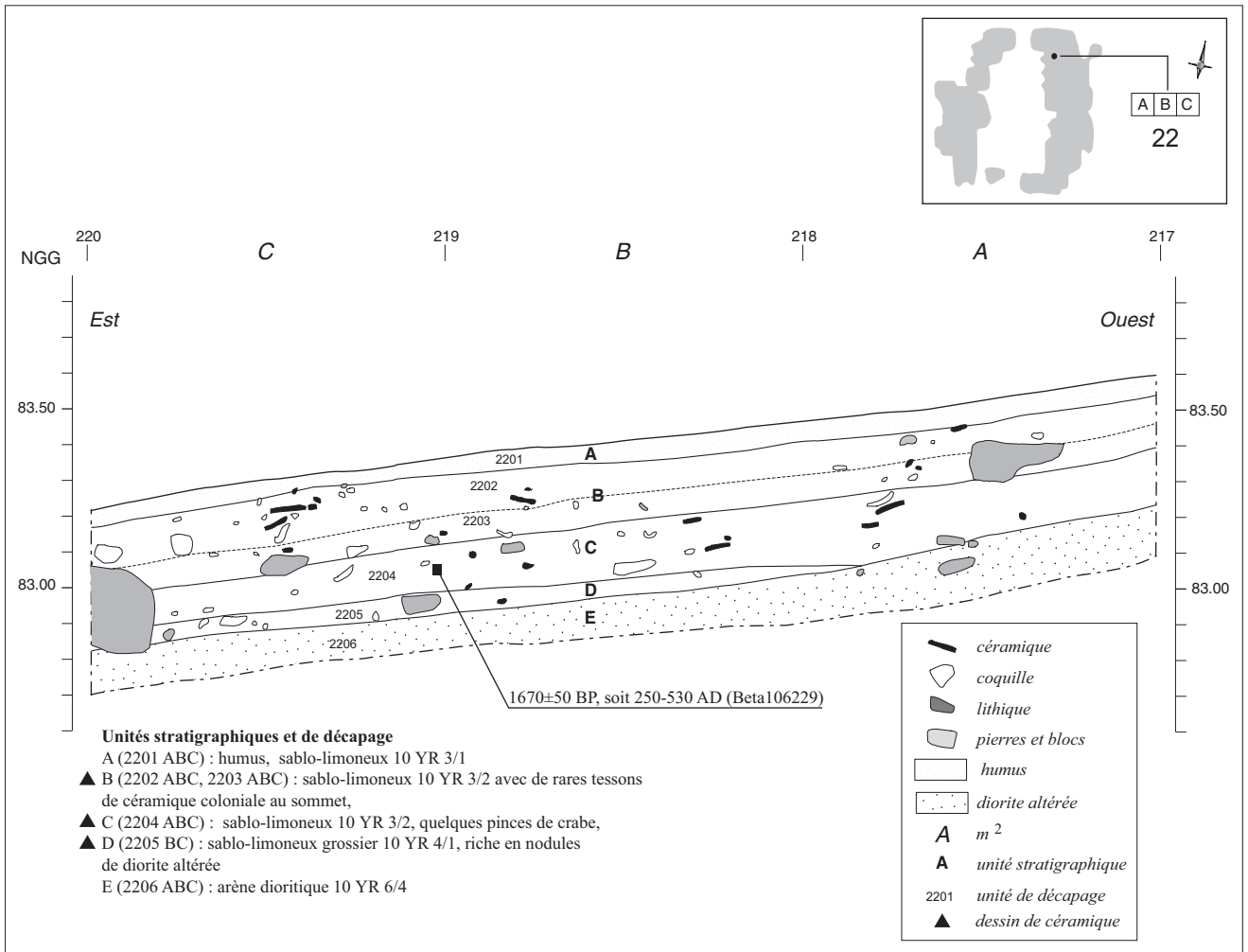


Figure 138 : Hope Estate, sondage 22, coupe sud sur l'axe 690 (F.-X. Chauvière, C. Stouvenot).

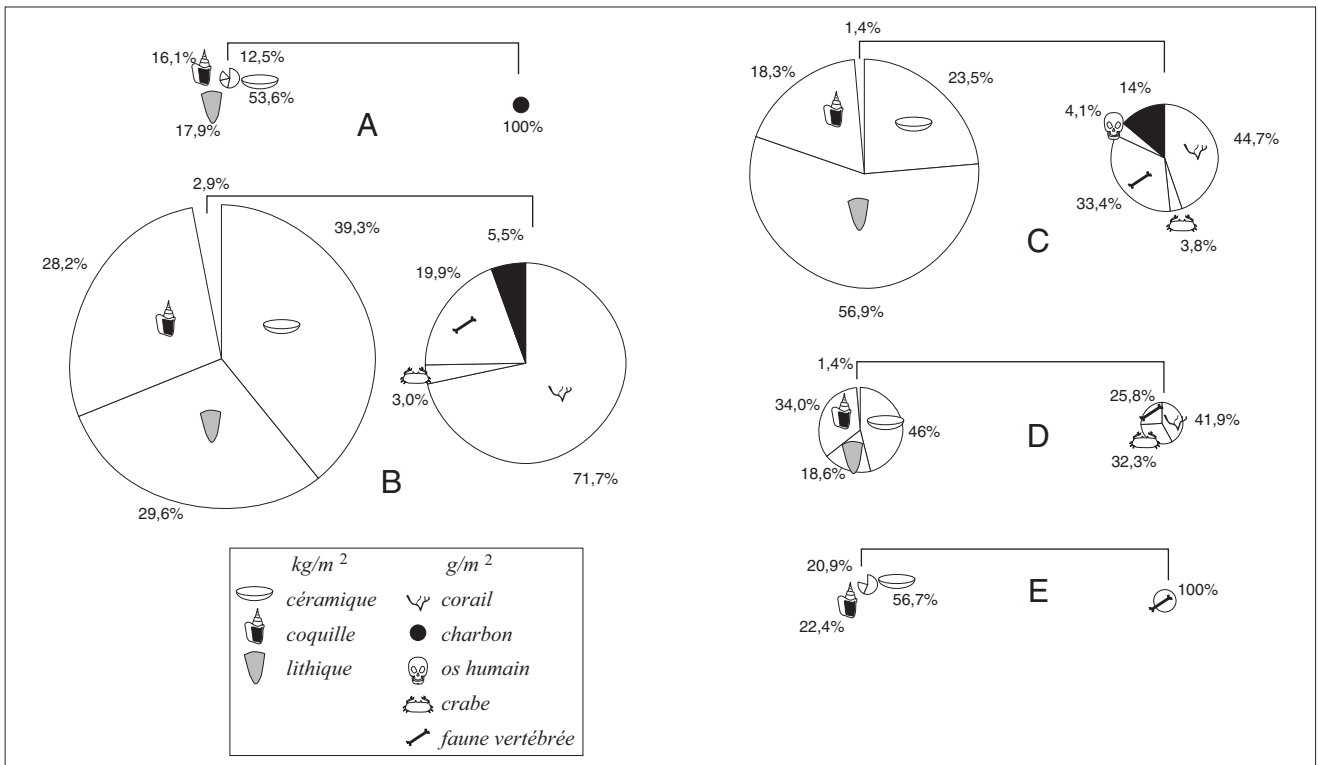


Figure 139 : Hope Estate, sondage 22, répartition pondérale des mobiliers par unité stratigraphique (C. Stouvenot).

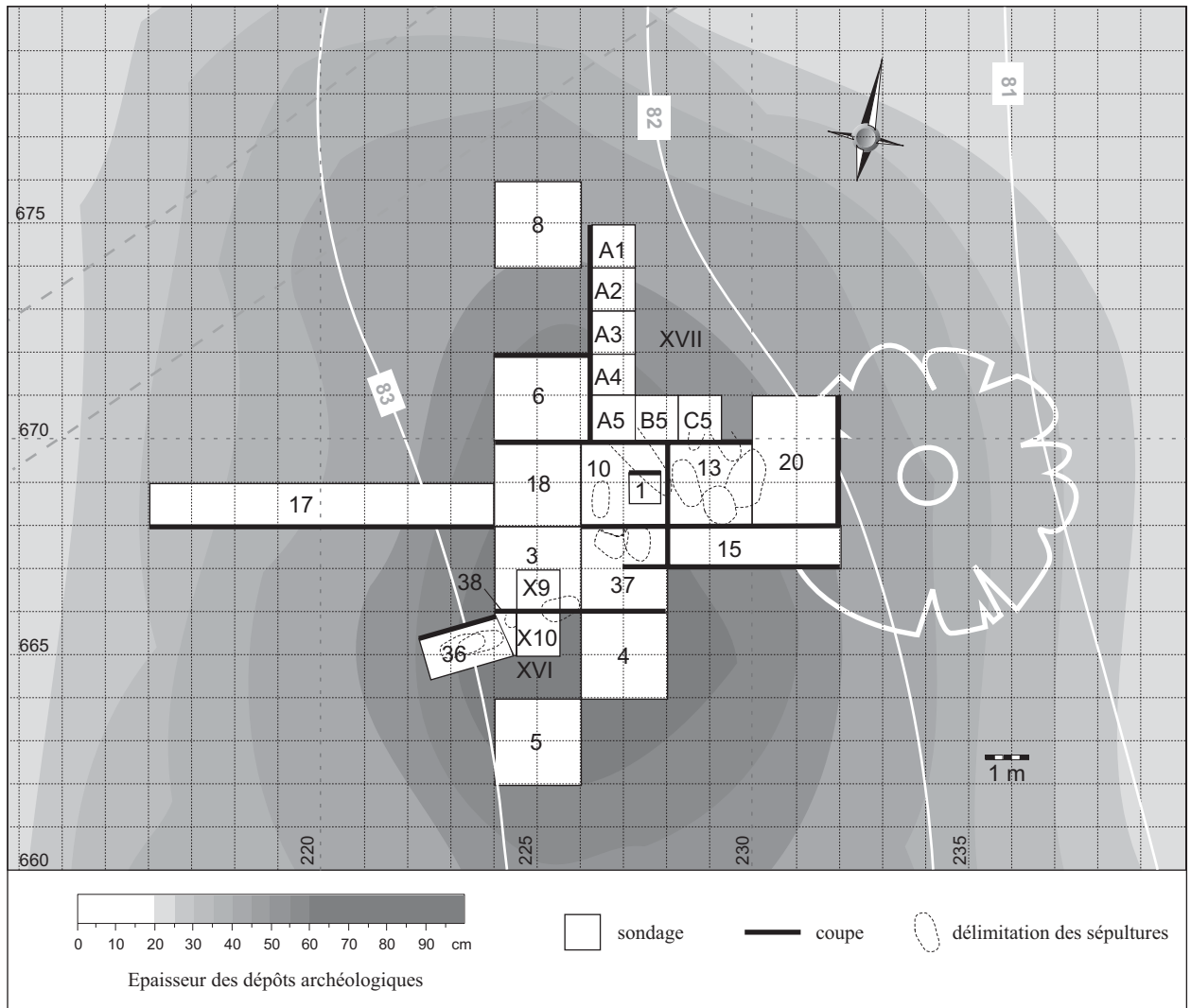


Figure 140 : Hope Estate, plan de la zone sépulcrale, dépotoir 3 (D. Bonnissent).

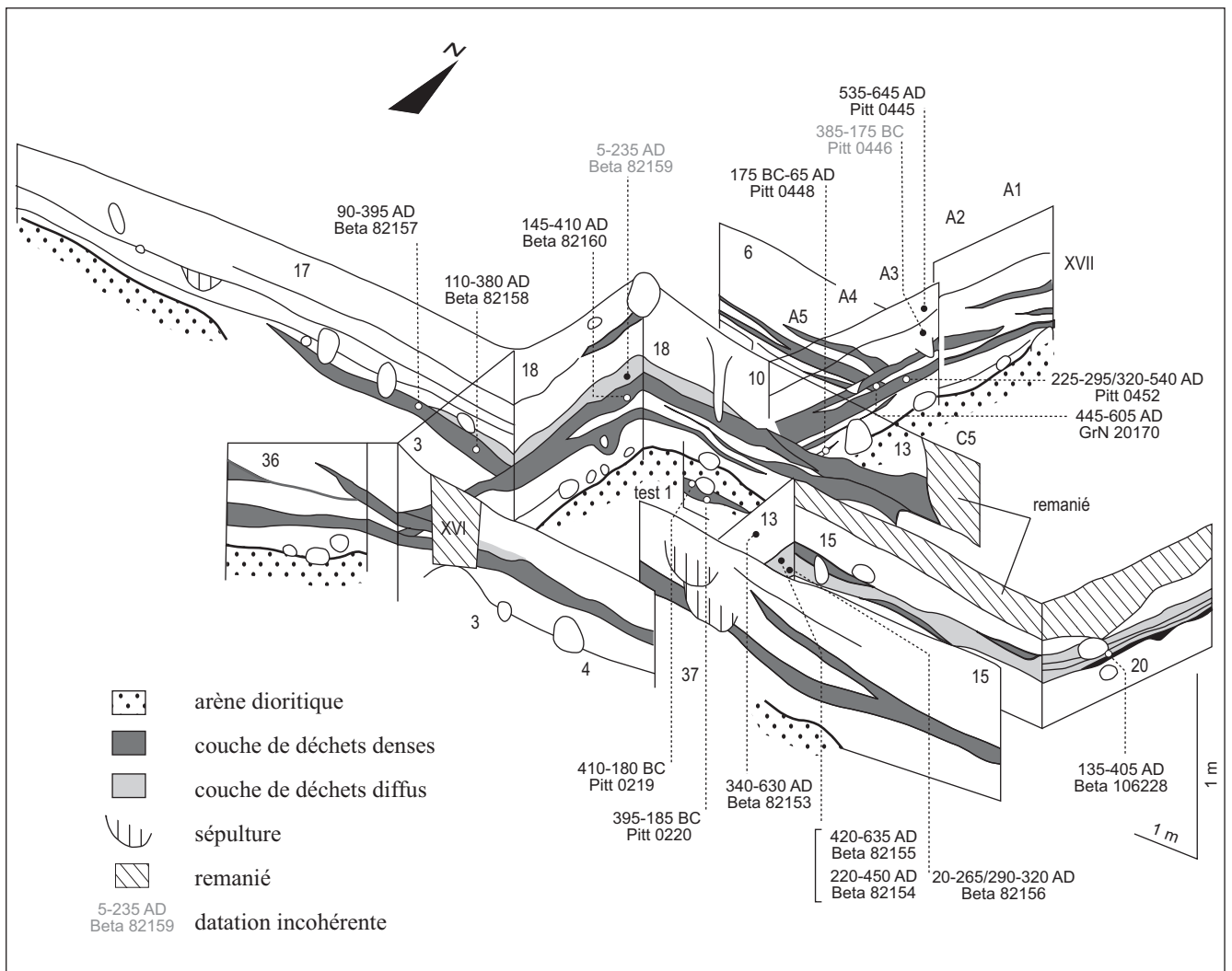


Figure 141 : Hope Estate, reconstitution des séquences stratigraphiques de la zone sépulcrale, dépotoir 3, arc Est (D'après P. Bertran 2000).

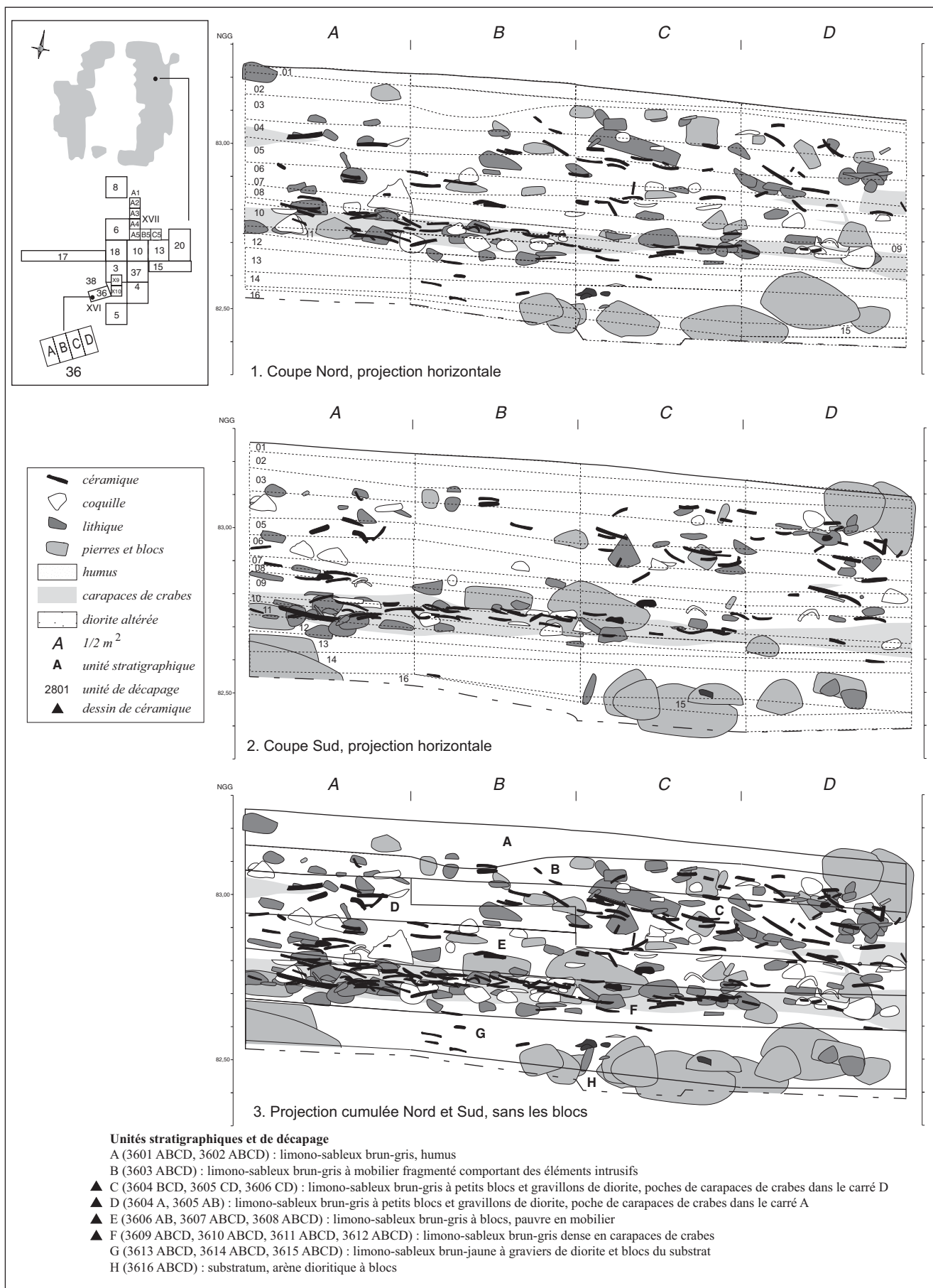


Figure 142 : Hope Estate, projection horizontale cumulée des mobiliers du sondage 36 (I. Dechanez, C. Stouvenot).



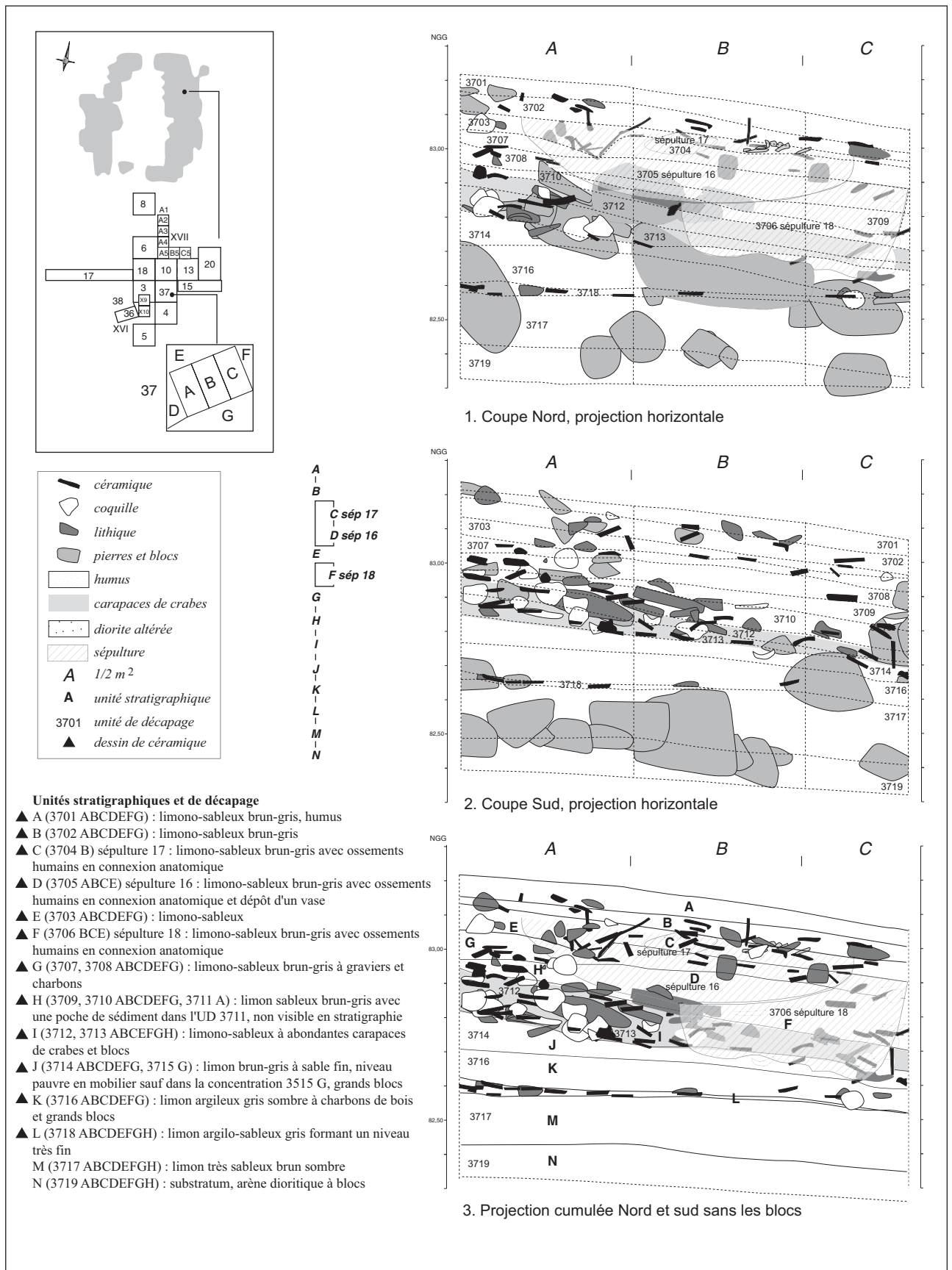


Figure 143 : Hope Estate, projection horizontale cumulée des mobiliers du sondage 37 (I. Dechanez, D. Bonnissent).

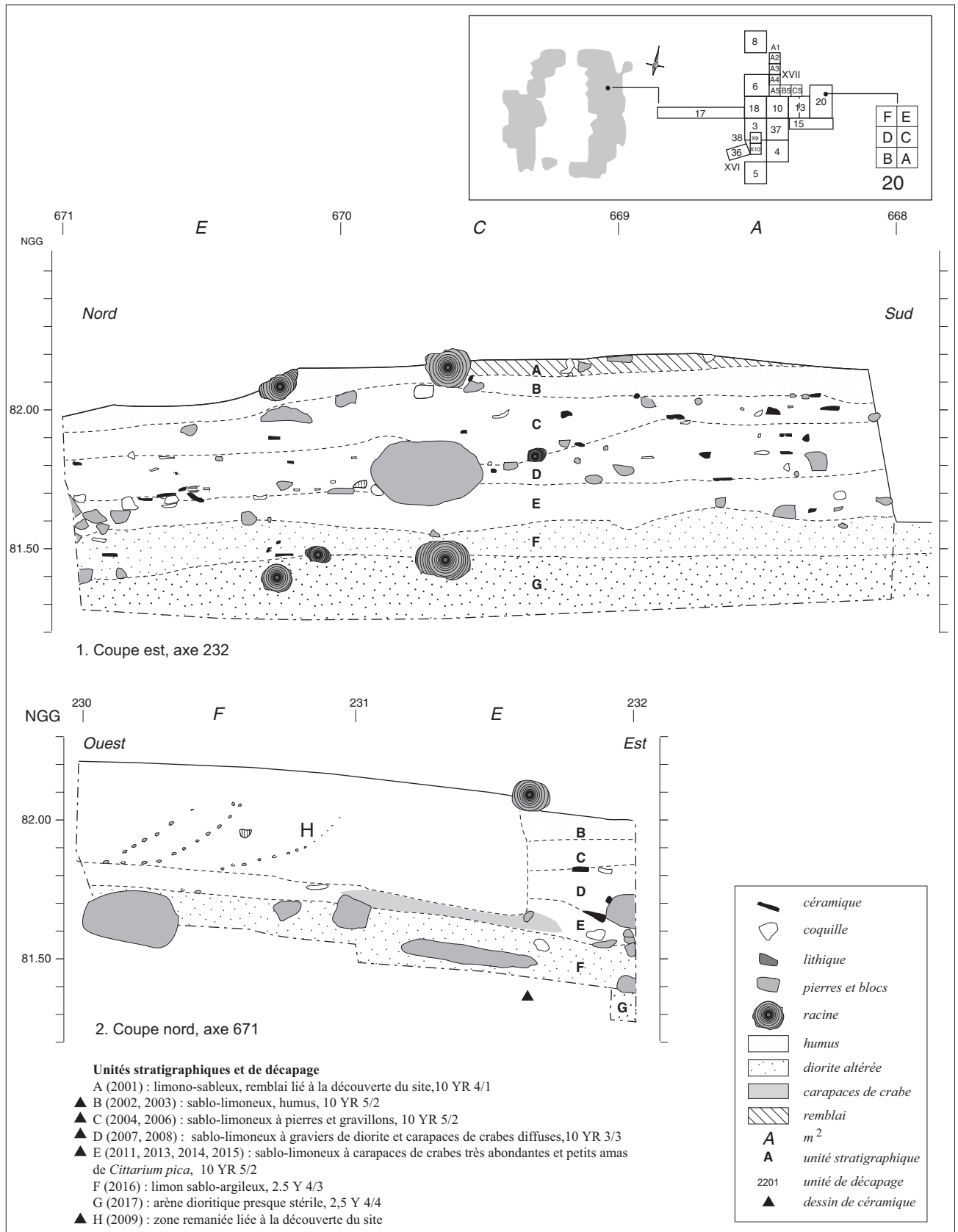


Figure 144 : Hope Estate, sondage 20, coupe est sur l'axe 232, coupe nord sur l'axe 671 (H. Silhouette, C. Stouvenot).



Figure 145 : Hope Estate, sondage 20, coupe est (D. Bonnissent).

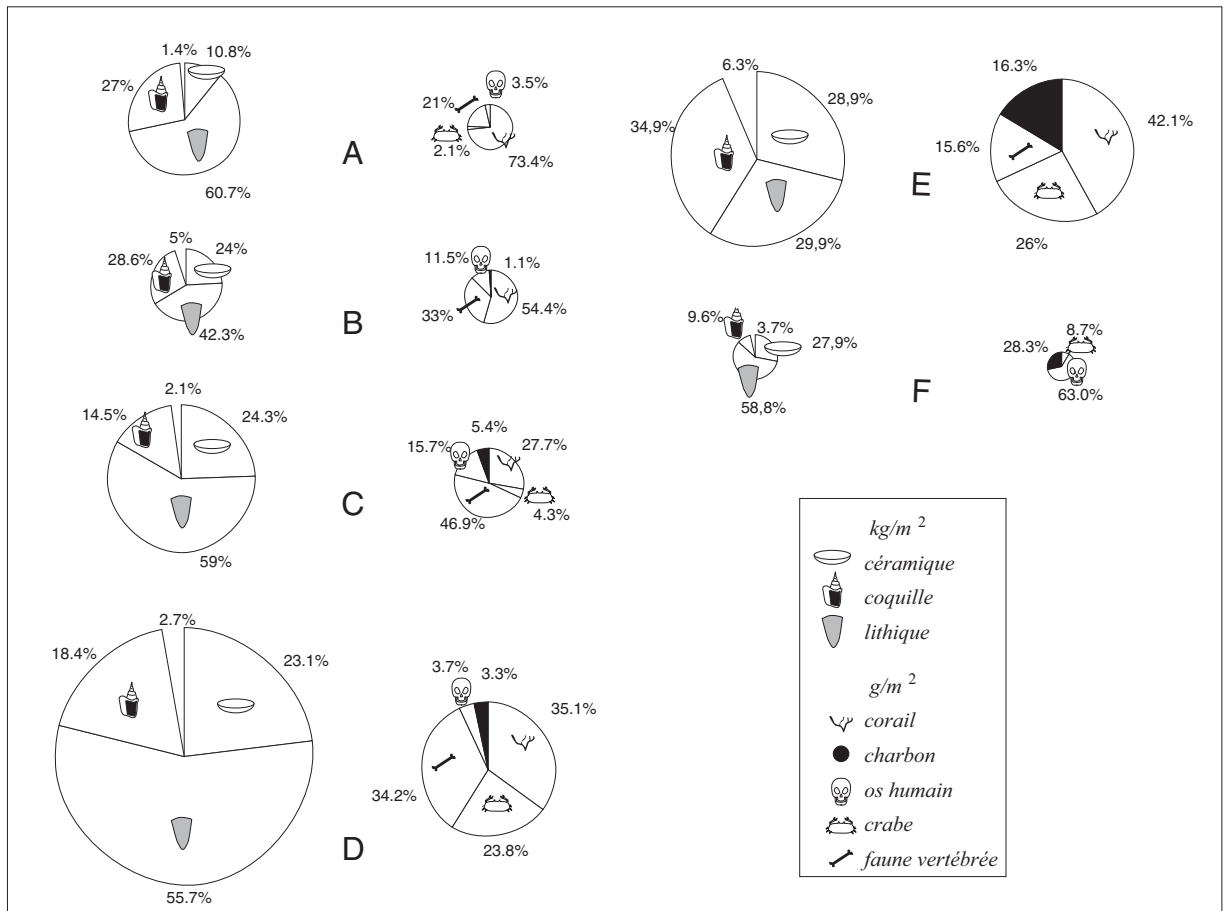


Figure 146 : Hope Estate, sondage 20, répartition pondérale des mobiliers par unité stratigraphique (C. Stouvenot).

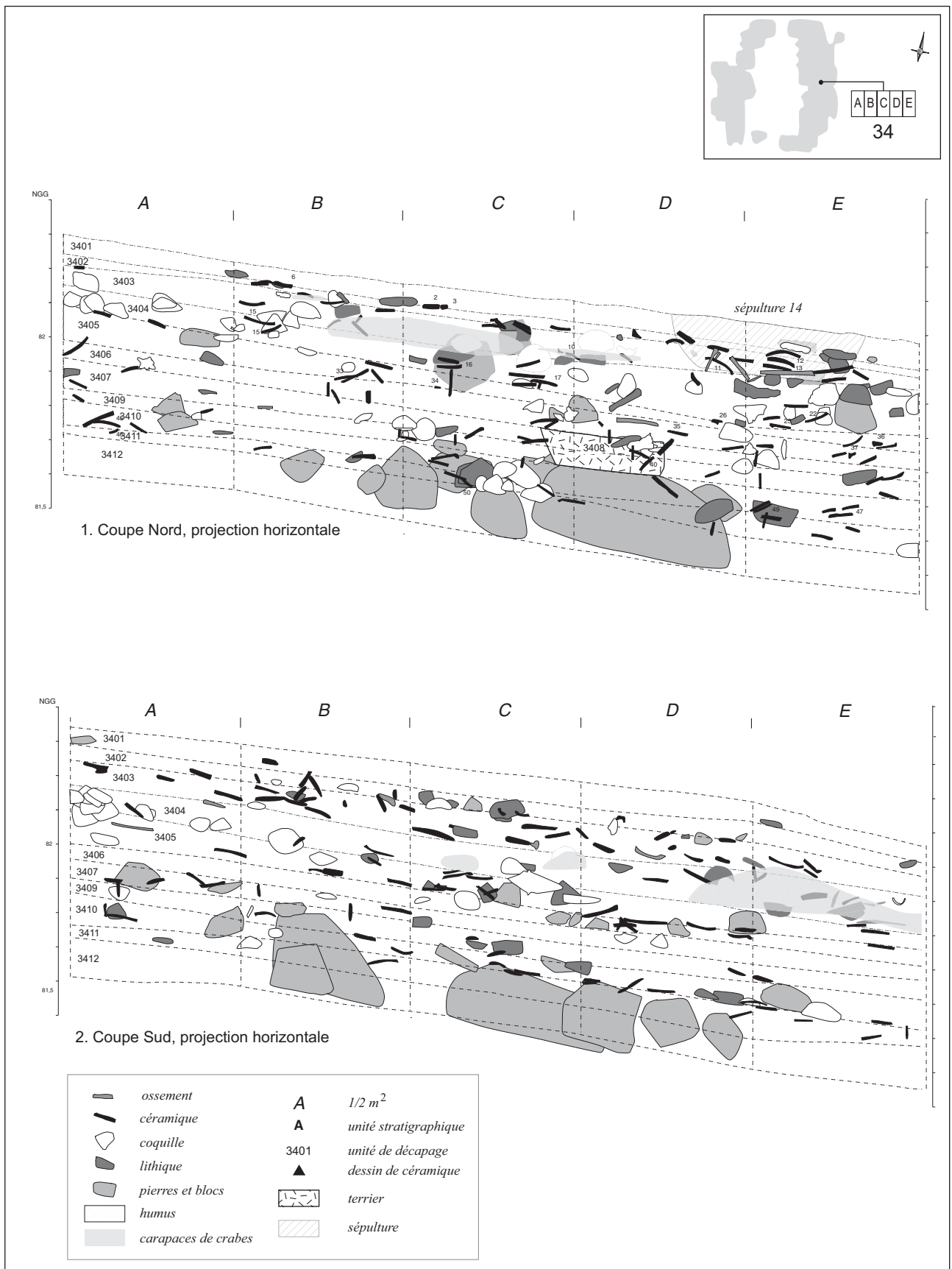


Figure 147 : Hope Estate, projections horizontales cumulées nord et sud des mobiliers du sondage 34 (I. Dechanez, C. Stouvenot, D. Bonnissent).



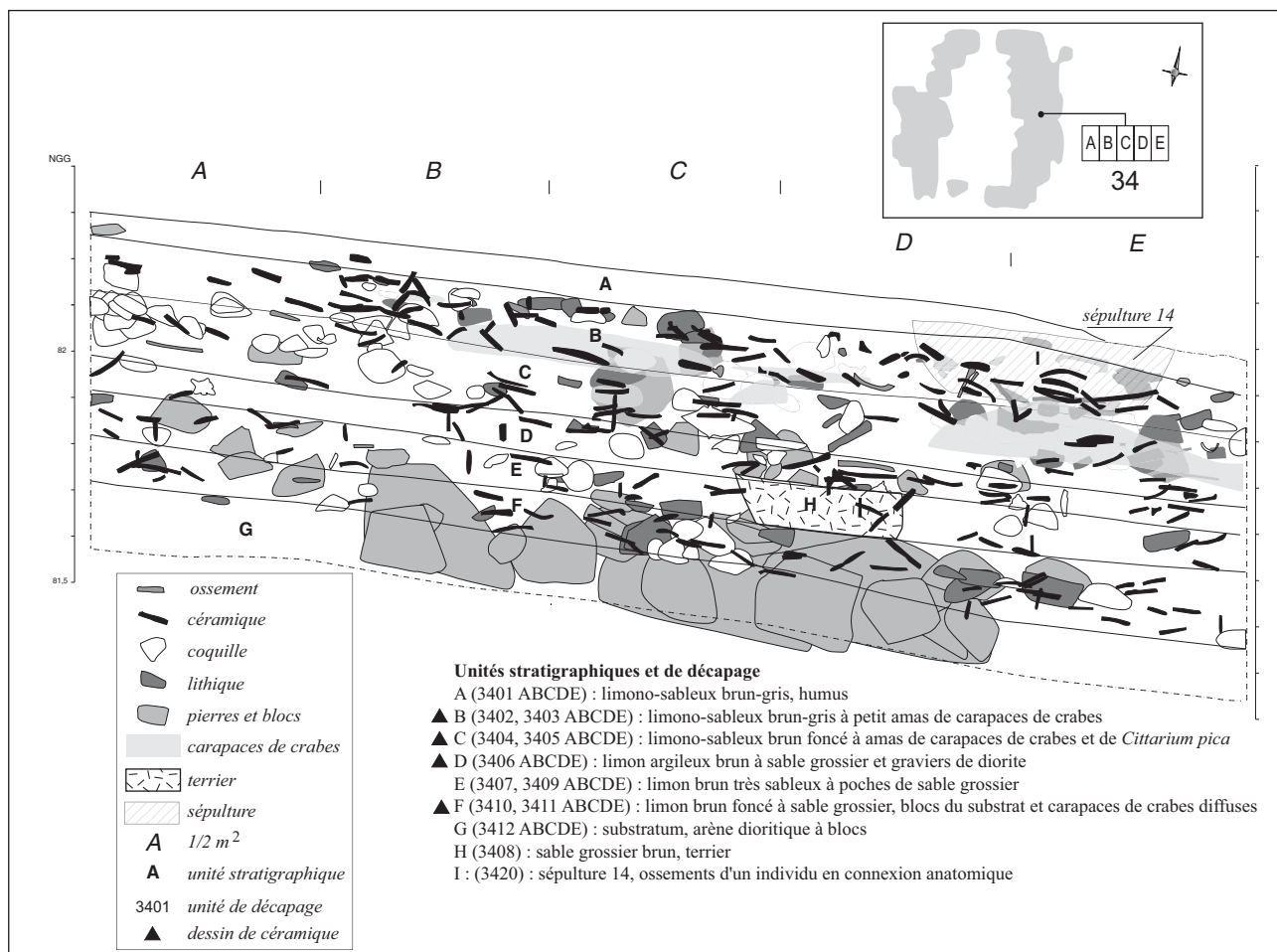


Figure 148 : Hope Estate, projection horizontale cumulée des mobiliers du sondage 34 (I. Dechanez, C. Stouvenot, D. Bonnissent).

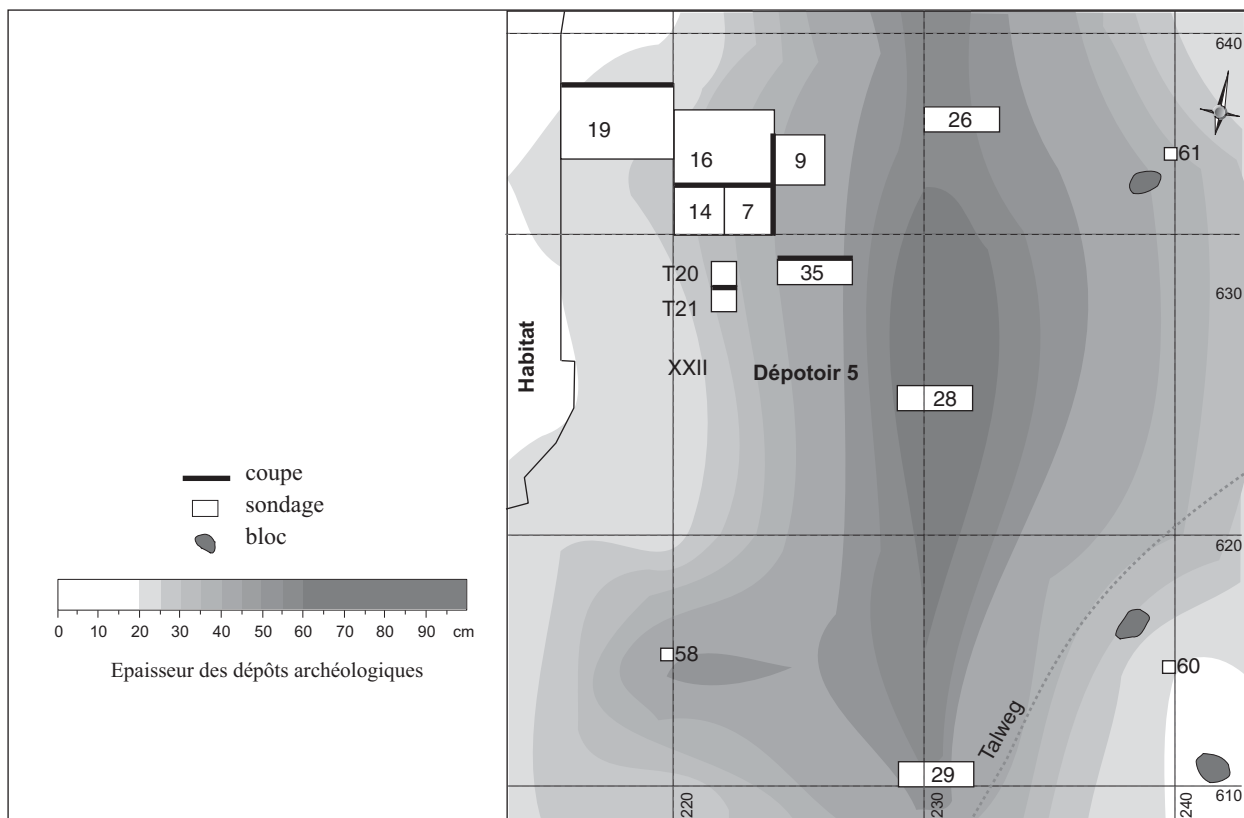


Figure 149 : Hope Estate, plan du dépotoir 5 de l'arc Est (D. Bonnissent).

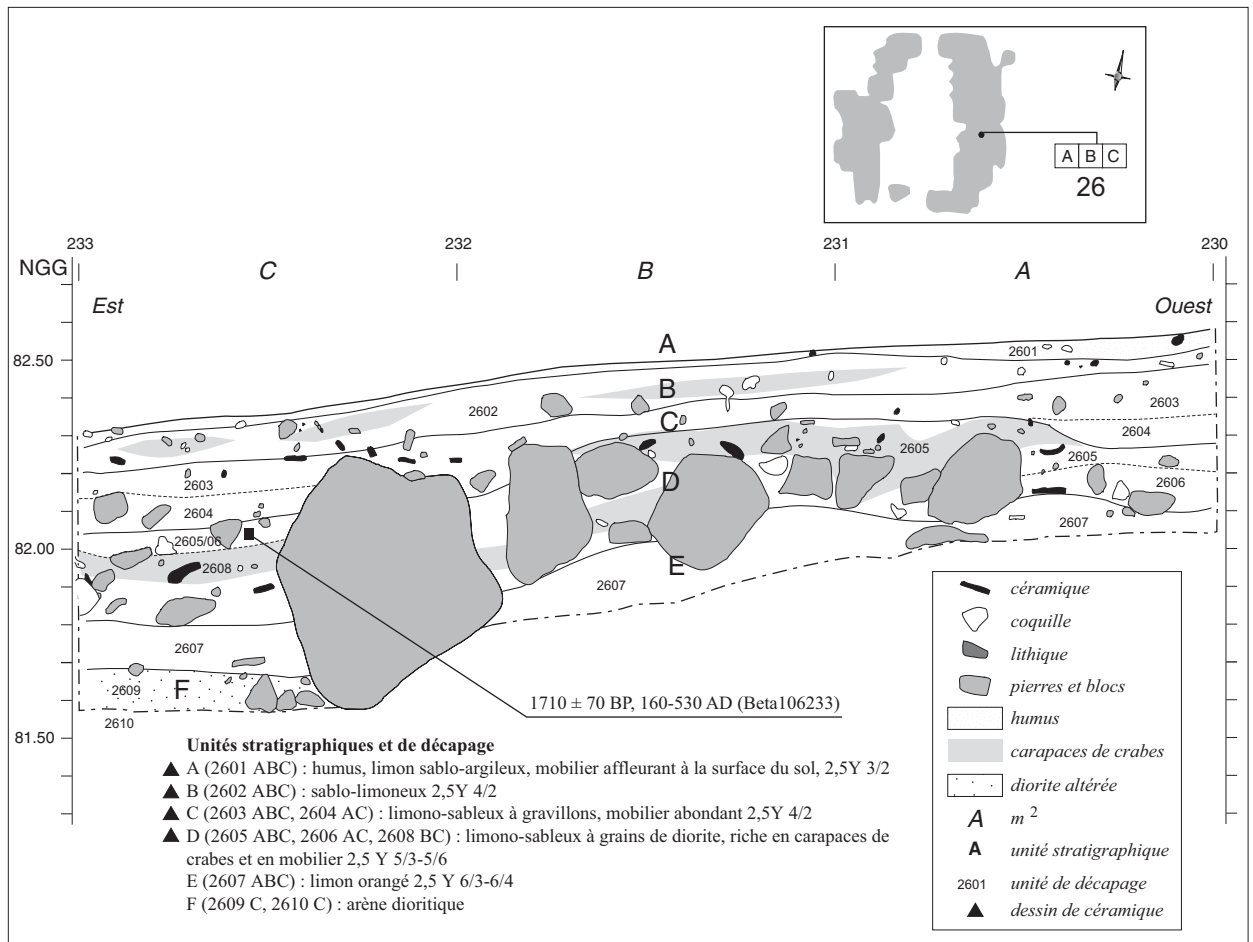


Figure 150 : Hope Estate, sondage 26, coupe sud sur l'axe 636 (V. Delauegas, C. Stouvenot).

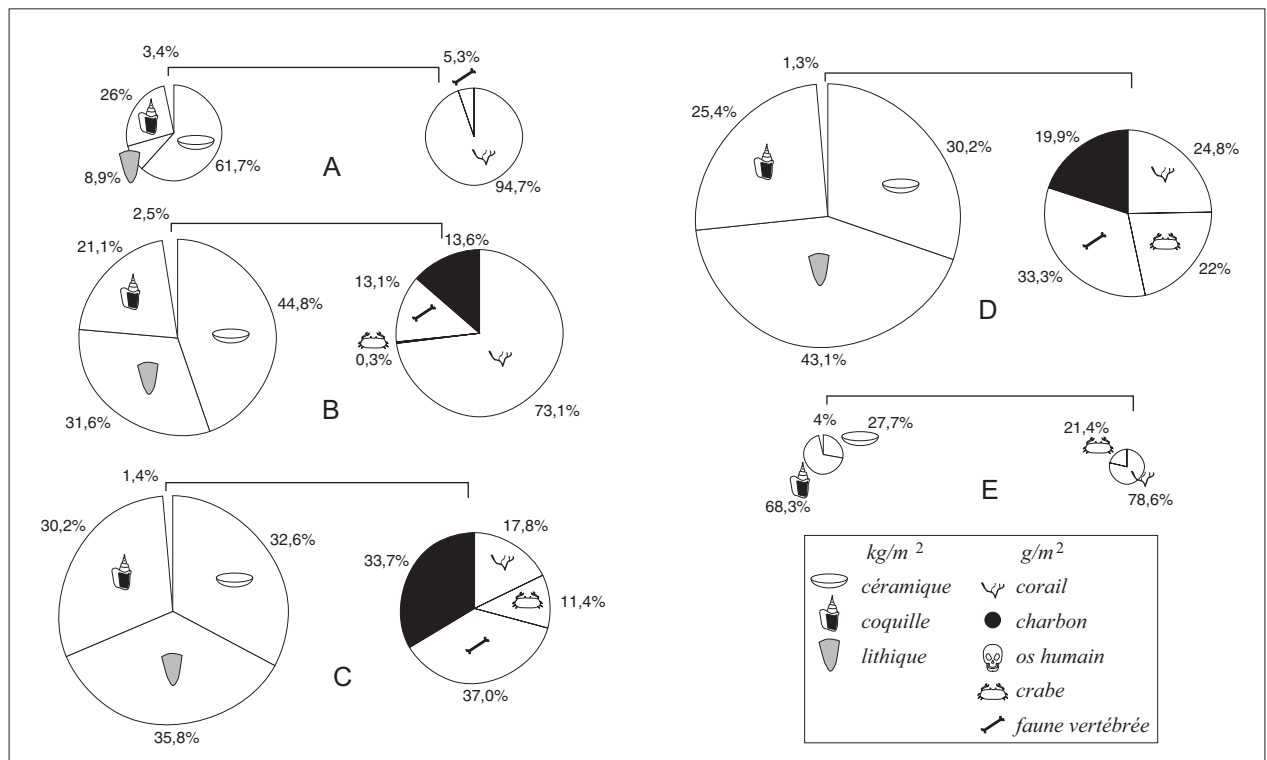


Figure 151 : Hope Estate, sondage 26, répartition pondérale des mobiliers par unité stratigraphique (C. Stouvenot).

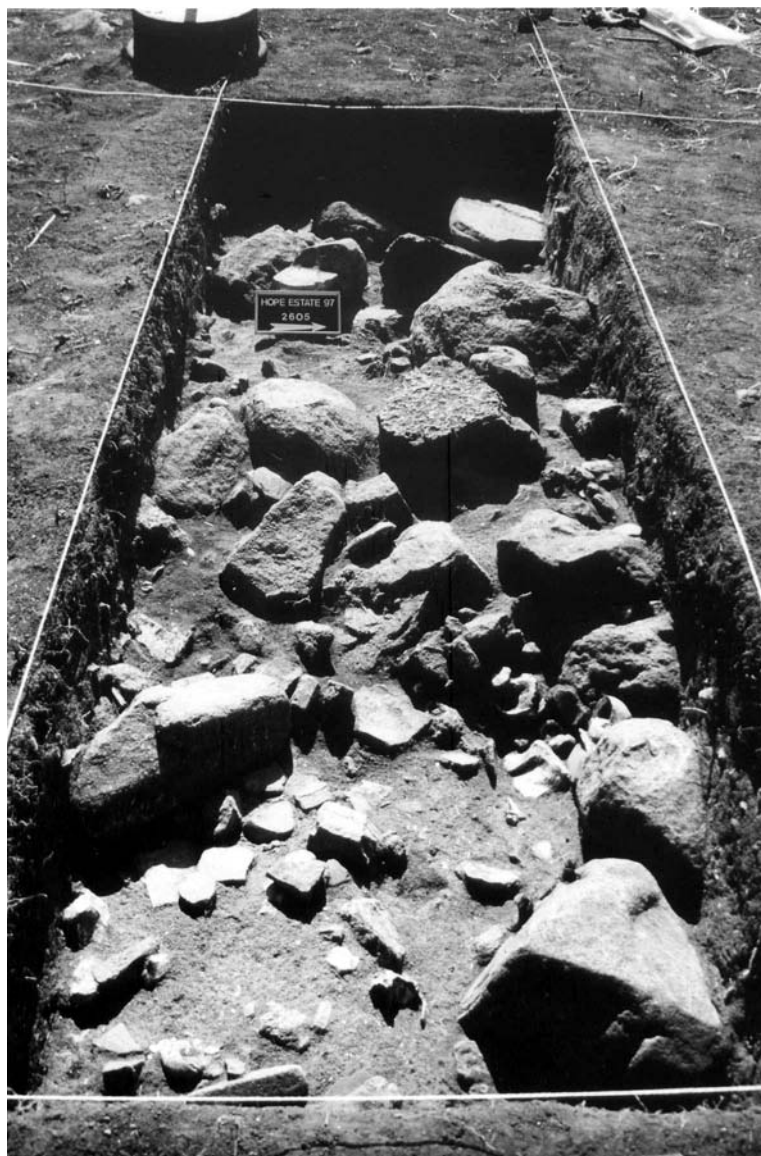


Figure 152 : Hope Estate, sondage 26 unité D (D. Bonnissent).

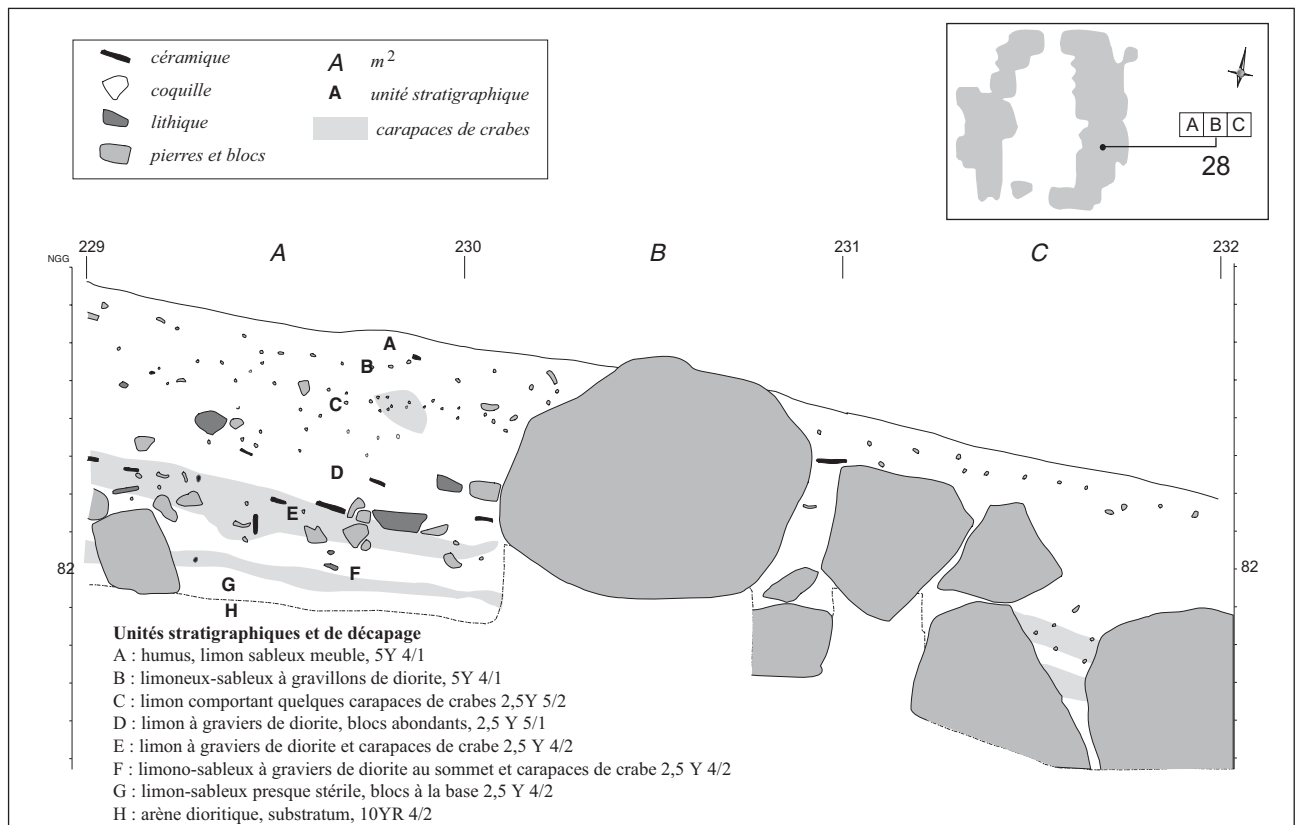


Figure 153 : Hope Estate, sondage 28, coupe de terrain nord sur l'axe 626 (H. Silhouette, C. Stouvenot).



Figure 154 : Hope Estate, sondage 28 unité E (I. Dechanez).



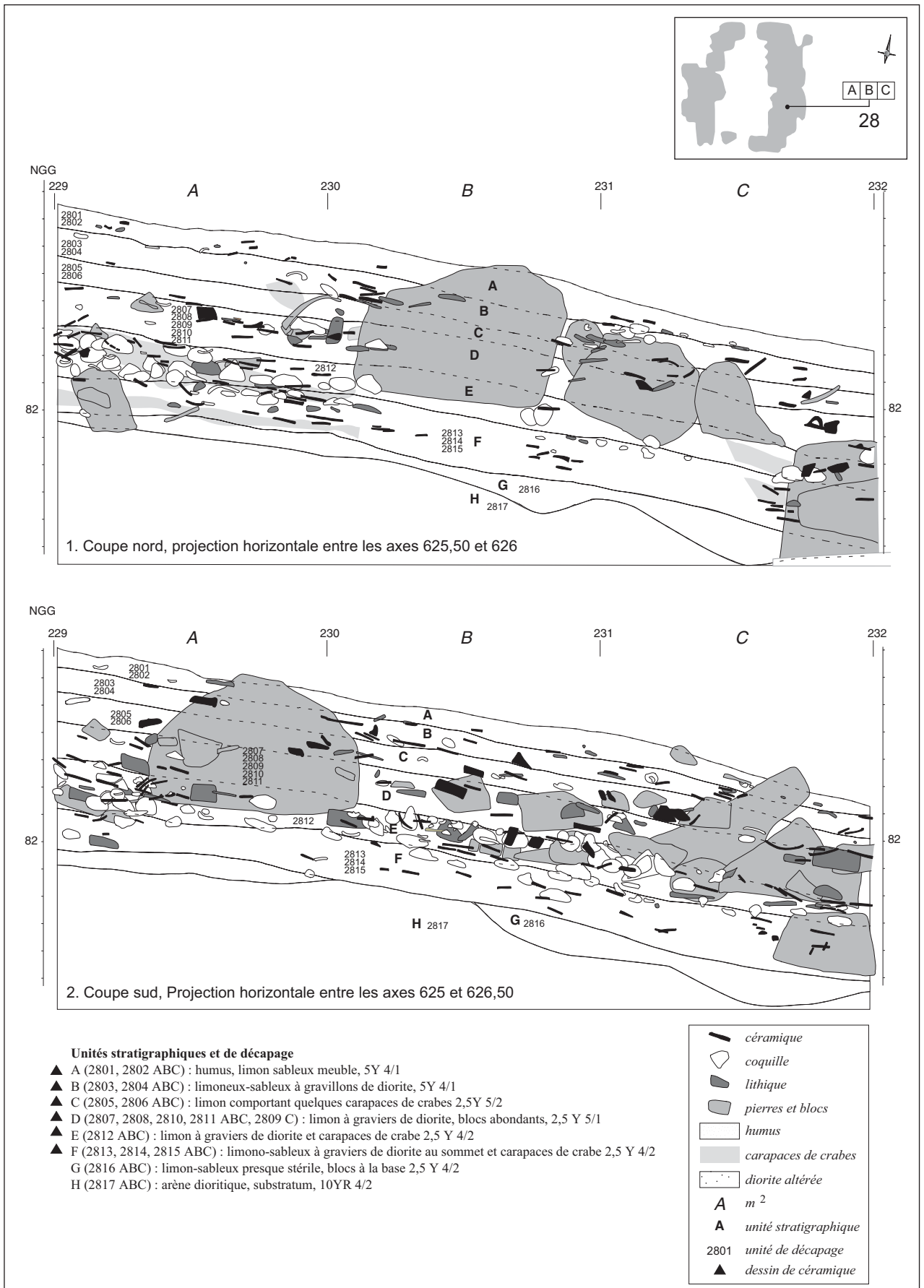


Figure 155 : Hope Estate, projection horizontale cumulée des mobiliers du sondage 28 (I. Dechanez, C. Stouvenot).

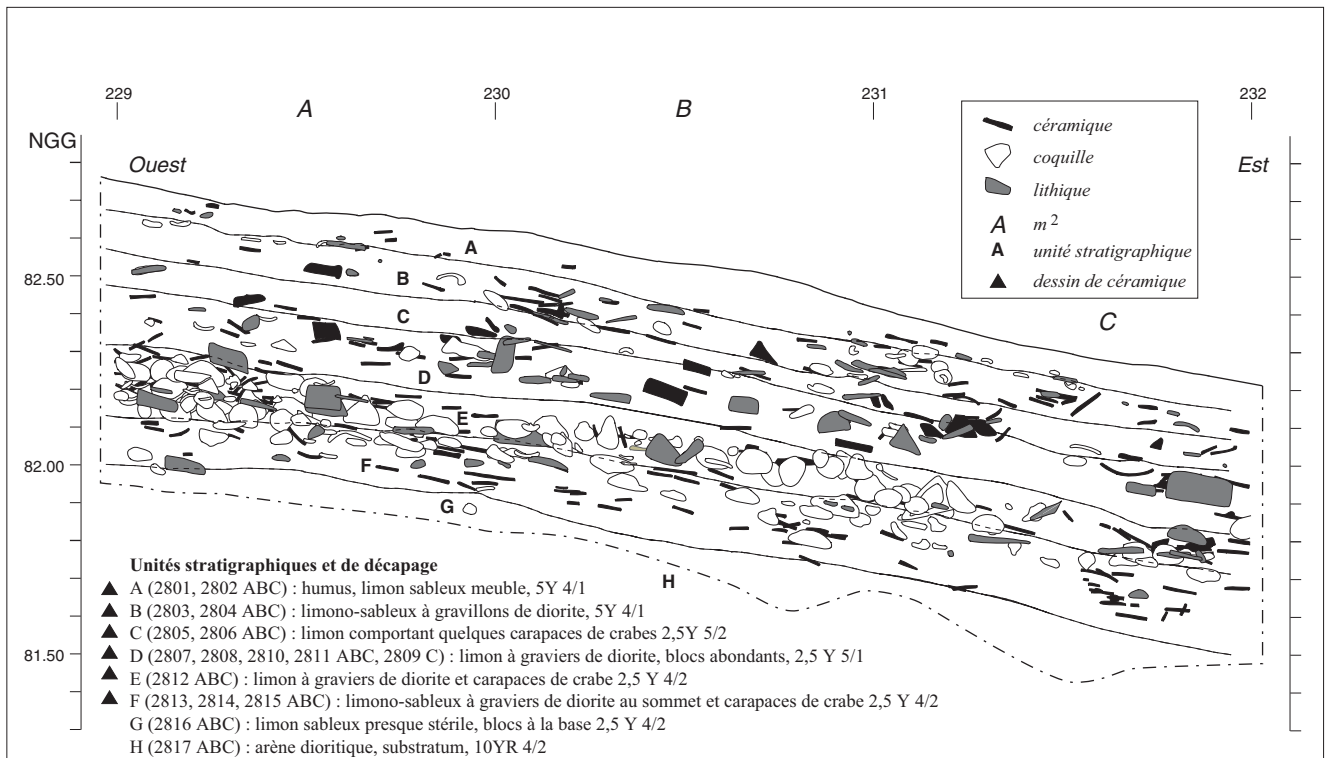


Figure 156 : Hope Estate, projection horizontale cumulée des mobiliers du sondage 28 (sans les blocs) entre les axes 625 et 626 (I. Dechanez, C. Stouvenot).

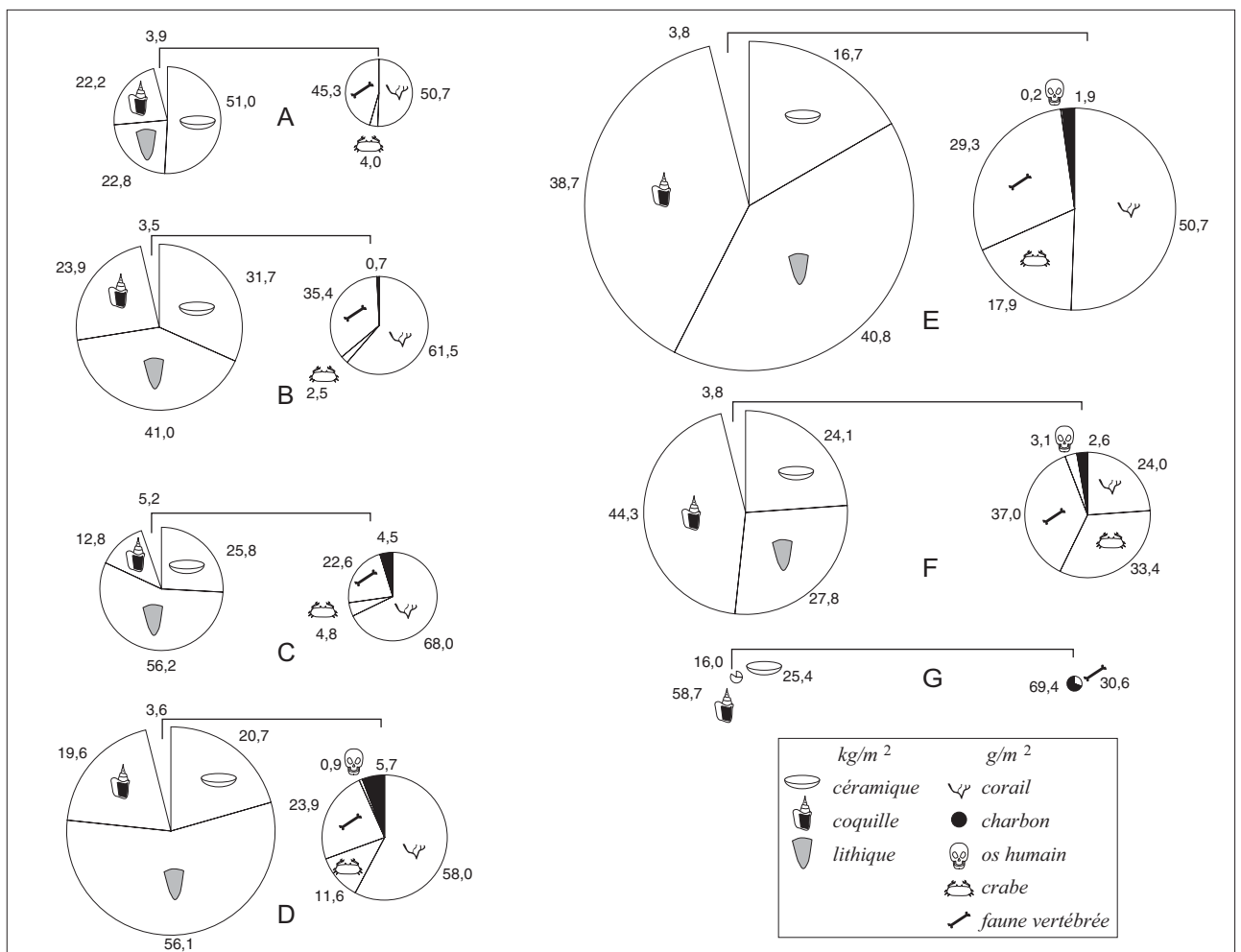


Figure 157 : Hope Estate, sondage 28, répartition pondérale des mobiliers par unité stratigraphique (C. Stouvenot).

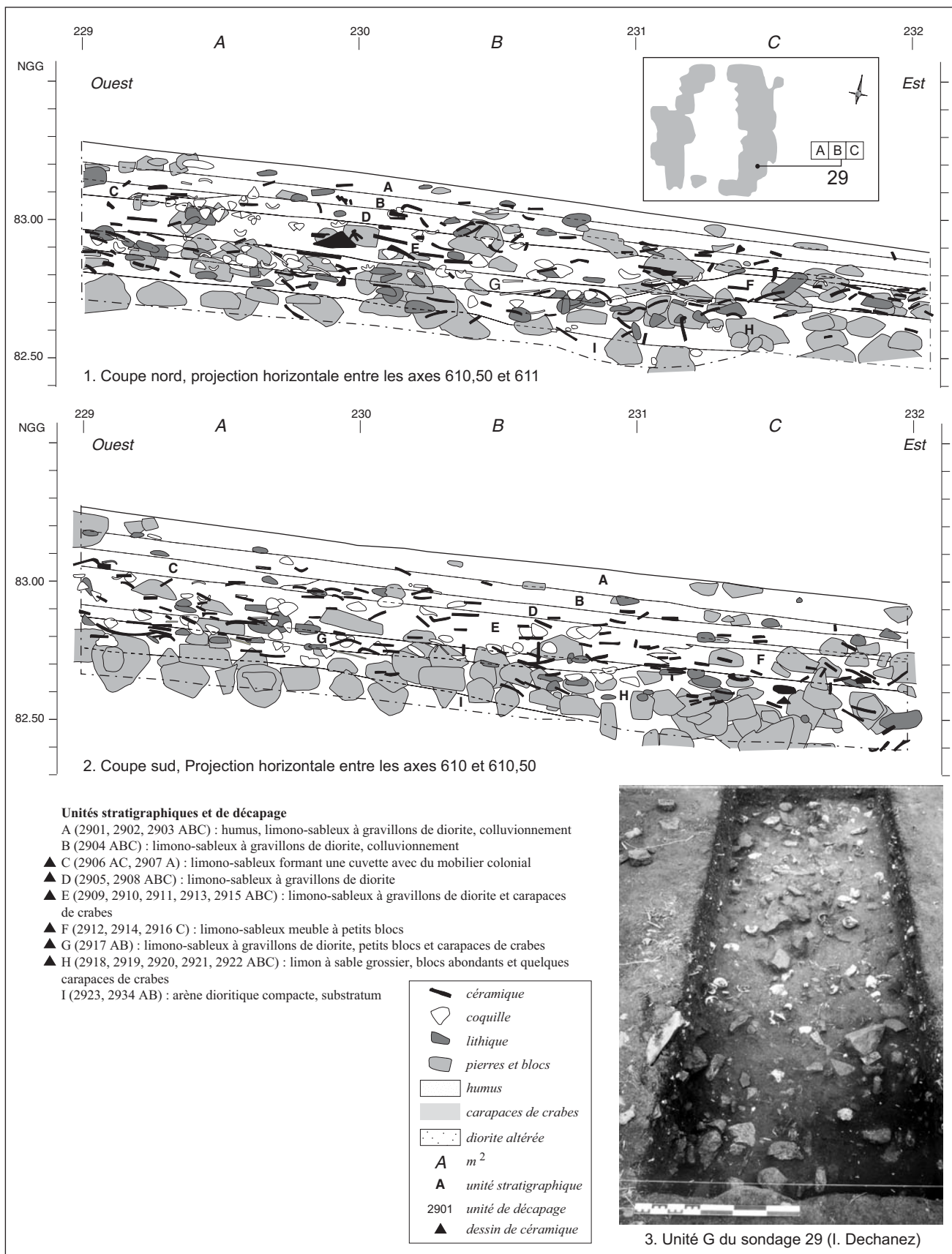


Figure 158 : Hope Estate, projection horizontale cumulée des mobiliers du sondage 29 (I. Dechanez, C. Stouvenot).

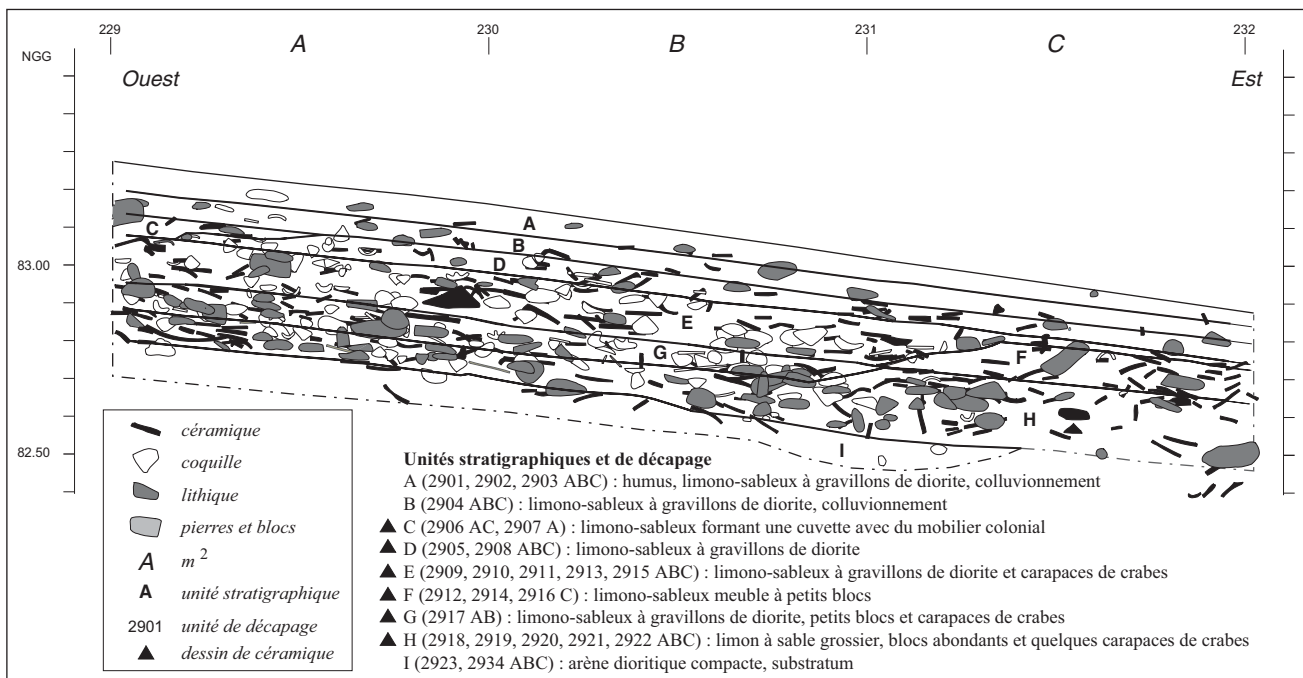


Figure 159 : Hope Estate, projection horizontale cumulée des mobiliers du sondage 29 (sans les blocs) entre les axes 610 et 611 (I. Dechanez, C. Stouvenot).

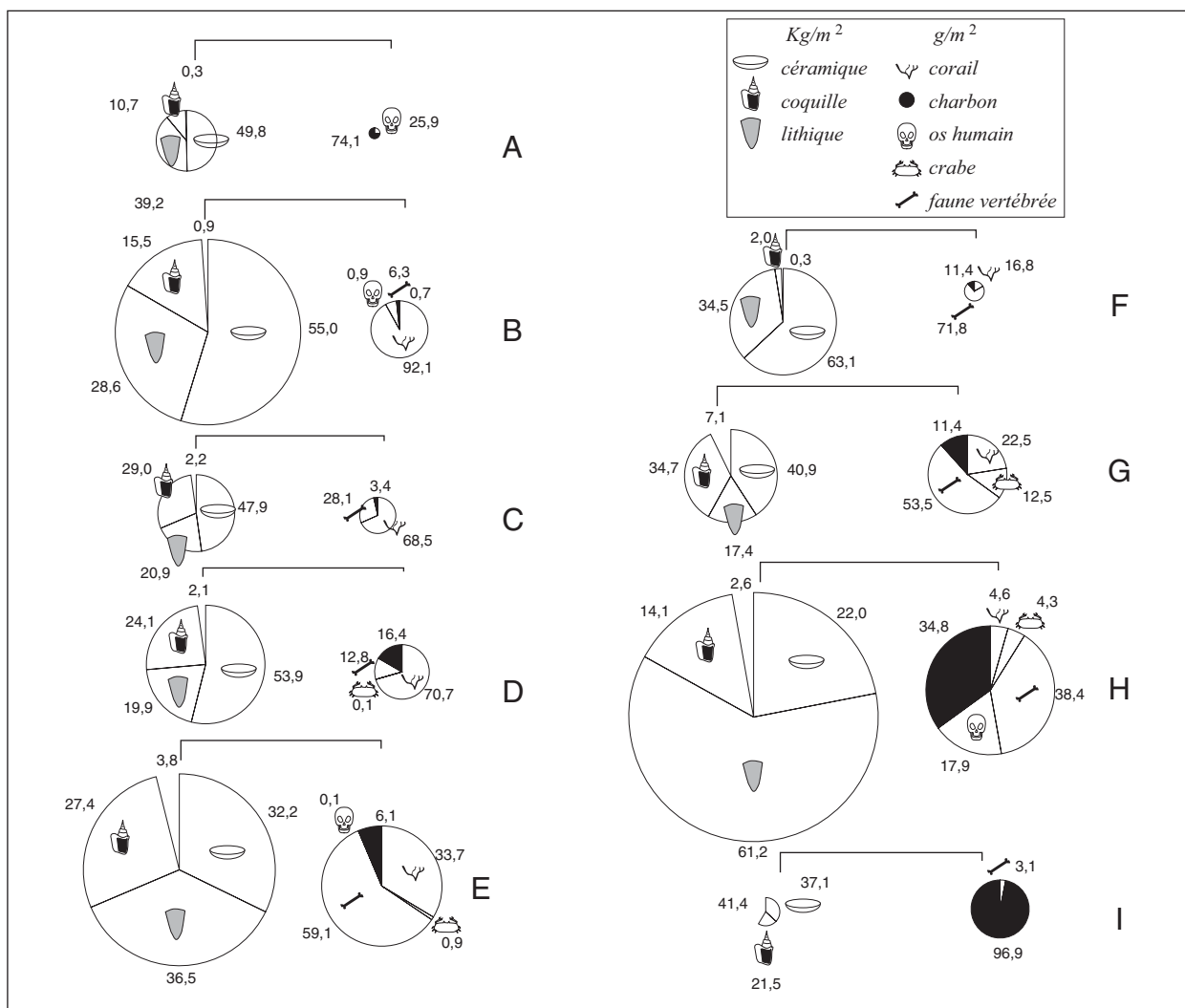


Figure 160 : Hope Estate, sondage 29, répartition pondérale des mobiliers par unité stratigraphique (C. Stouvenot).



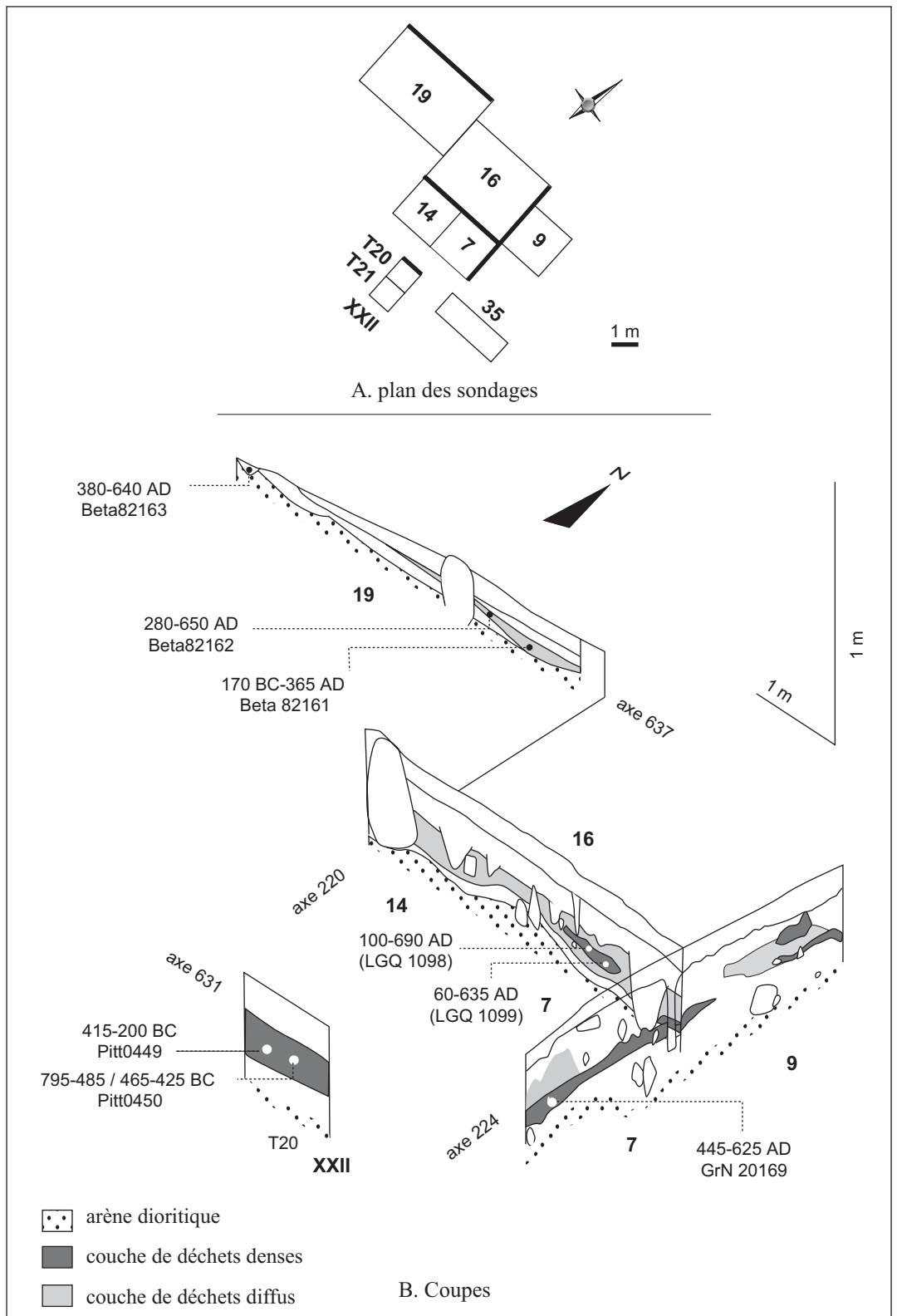


Figure 161 : Hope Estate, assemblage des séquences stratigraphiques de la partie amont du dépotoir 5 de l'arc Est (D. Bonnissent).





Figure 163 : Hope Estate, sondage 35 unité E (I. Dechanez).

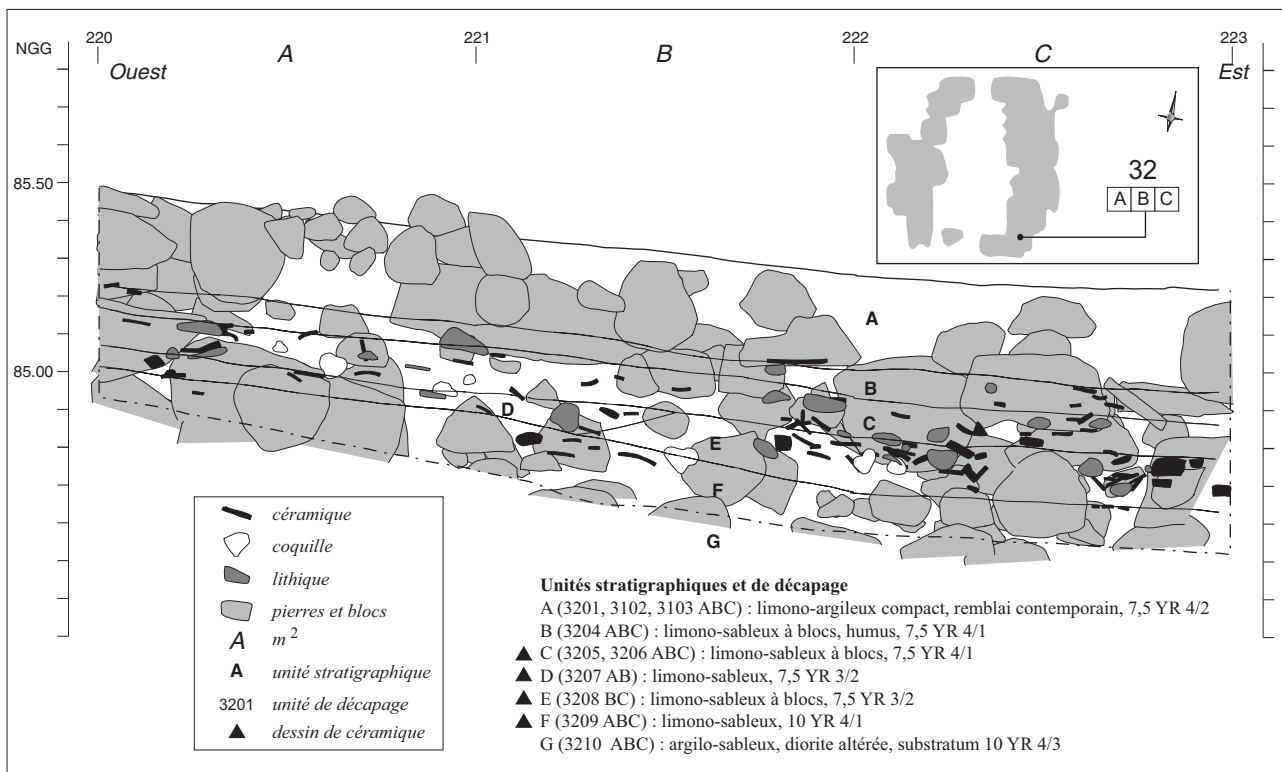


Figure 164 : Hope Estate, projection horizontale cumulée des mobiliers du sondage 32 entre les axes 596 et 597 (I. Dechanez, C. Stouvenot).

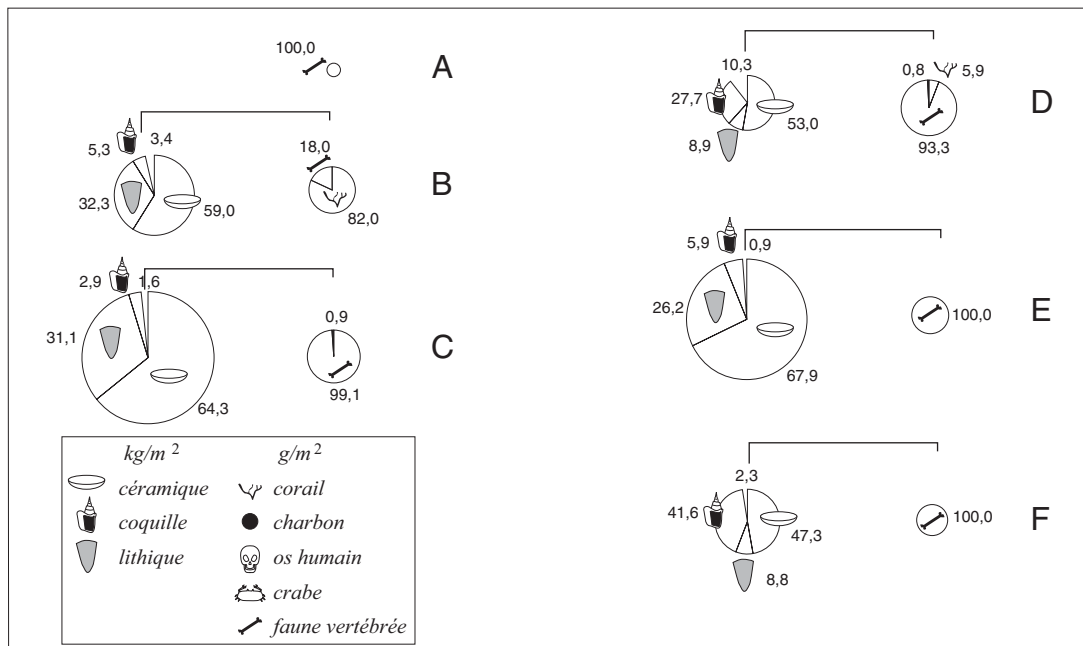
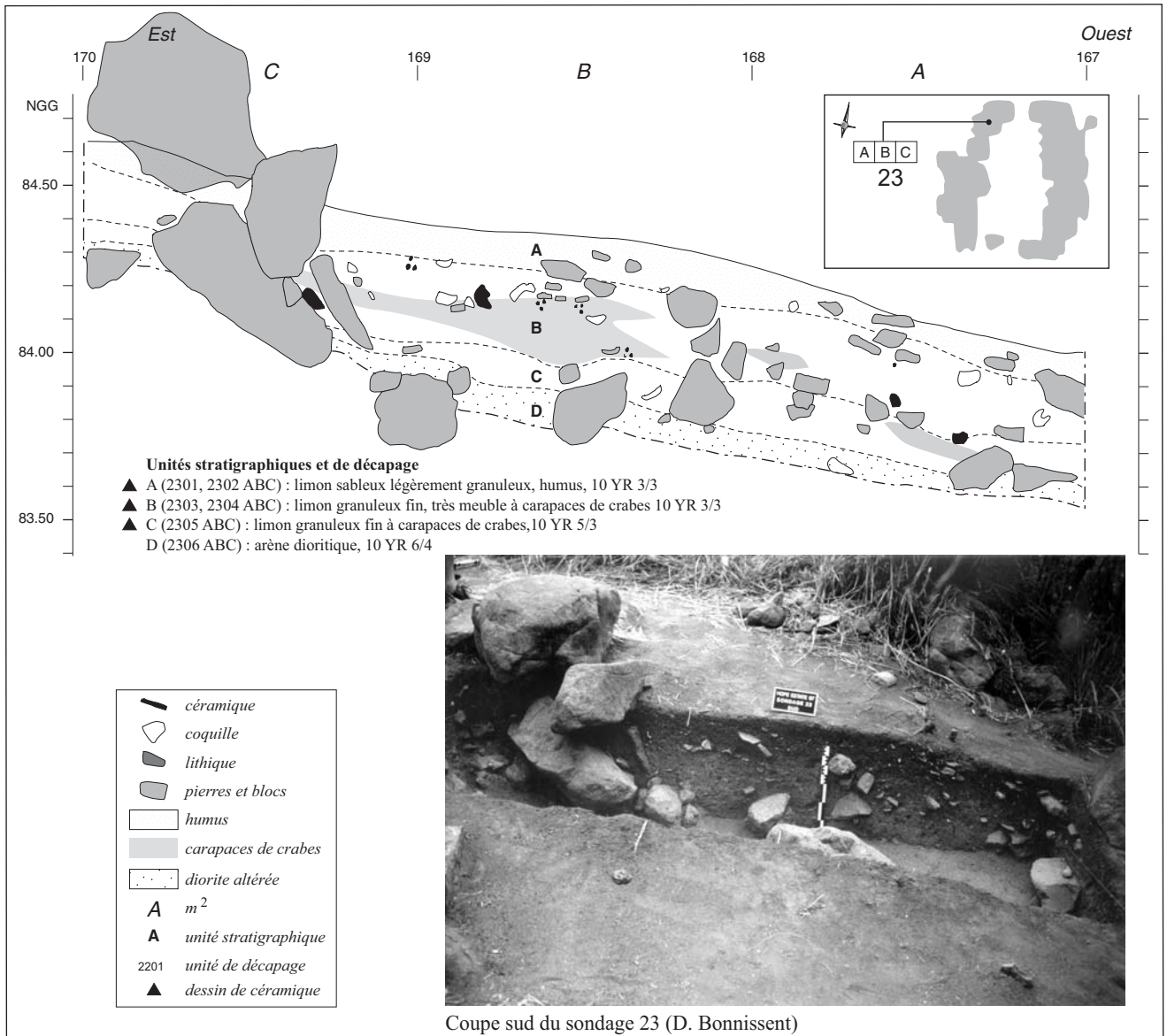


Figure 165 : Hope Estate, sondage 32, répartition pondérale des mobiliers par unité stratigraphique (C. Stouvenot).





Coupe sud du sondage 23 (D. Bonnissent)

Figure 166 : Hope Estate, sondage 23, coupe sud sur l'axe 690 (M. Petersen, A. Calado, C. Stouvenot).

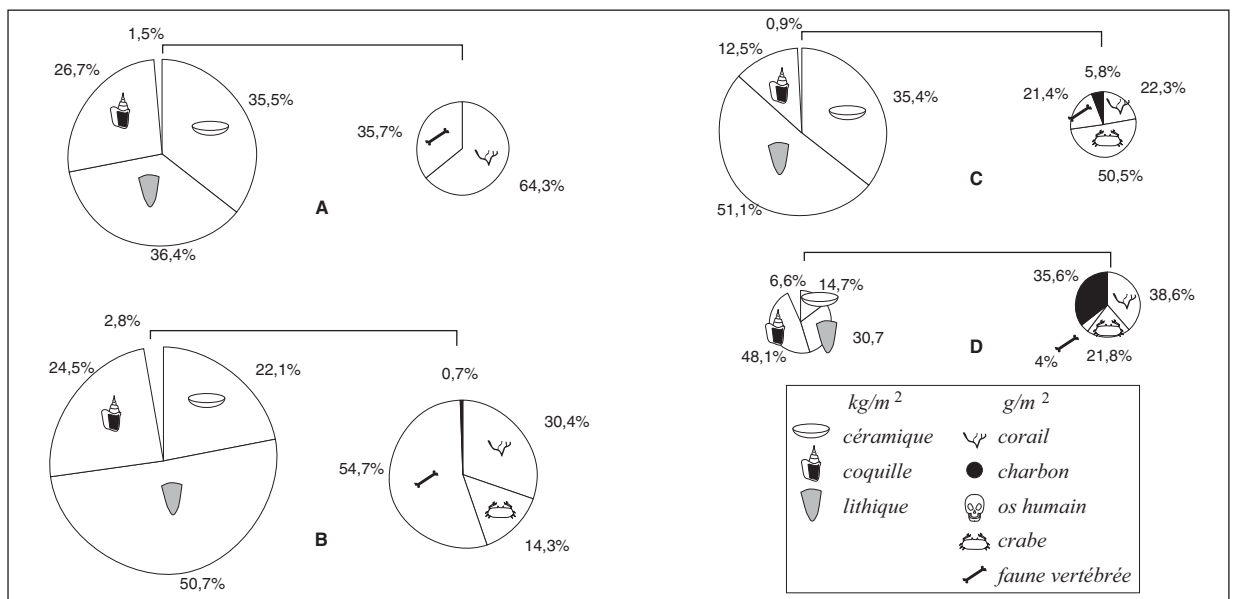


Figure 167 : Hope Estate, sondage 23, répartition pondérale des mobiliers par unité stratigraphique (C. Stouvenot).

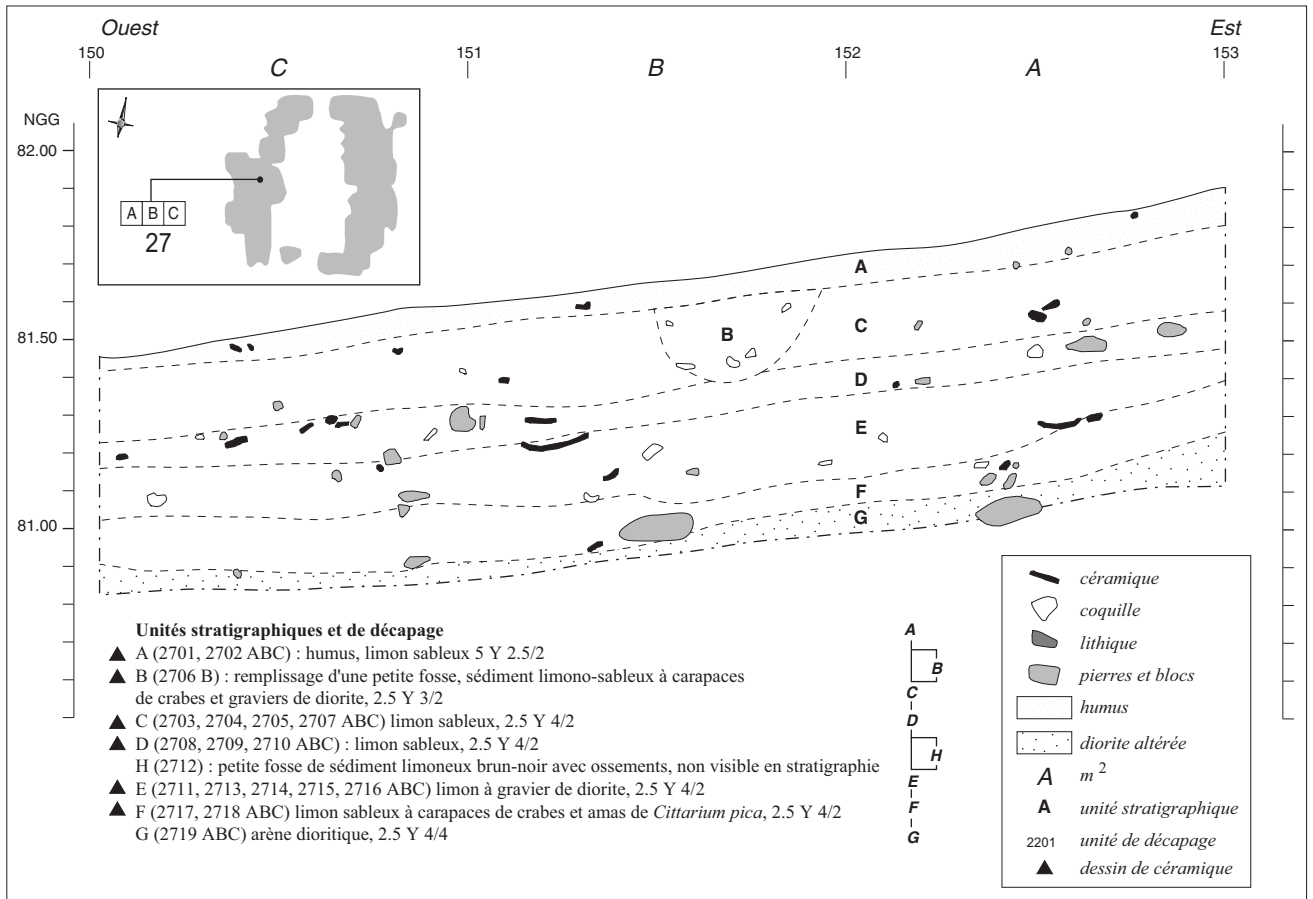


Figure 168 : Hope Estate, sondage 27, coupe nord sur l'axe 650 (F.-X. Chauvière, C. Stouvenot).

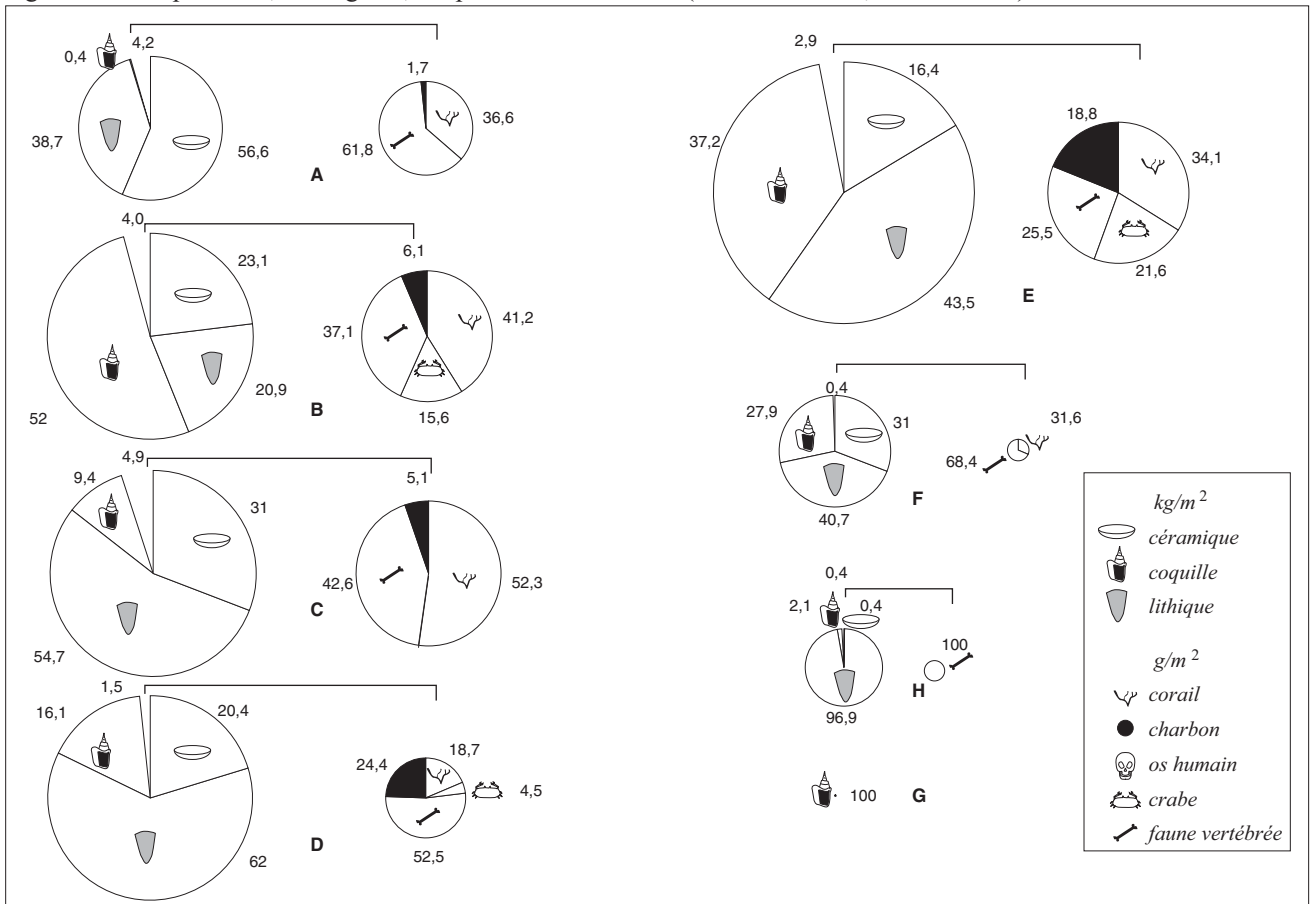


Figure 169 : Hope Estate, sondage 27, répartition pondérale des mobiliers par unité stratigraphique (C. Stouvenot).

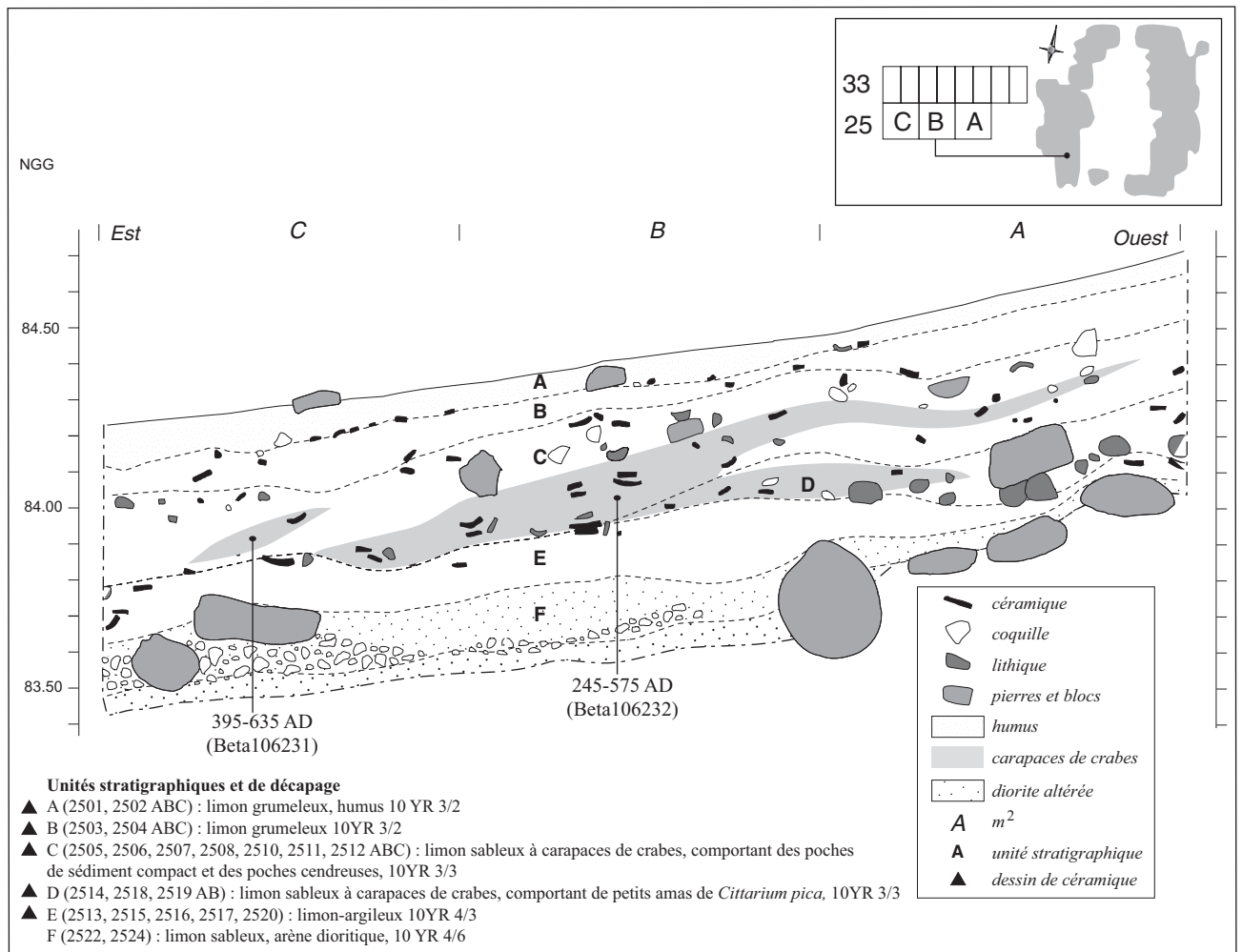


Figure 170 : Hope Estate, sondage 25, coupe sud sur l'axe 611 (I. Dechanez, C. Stouvenot).

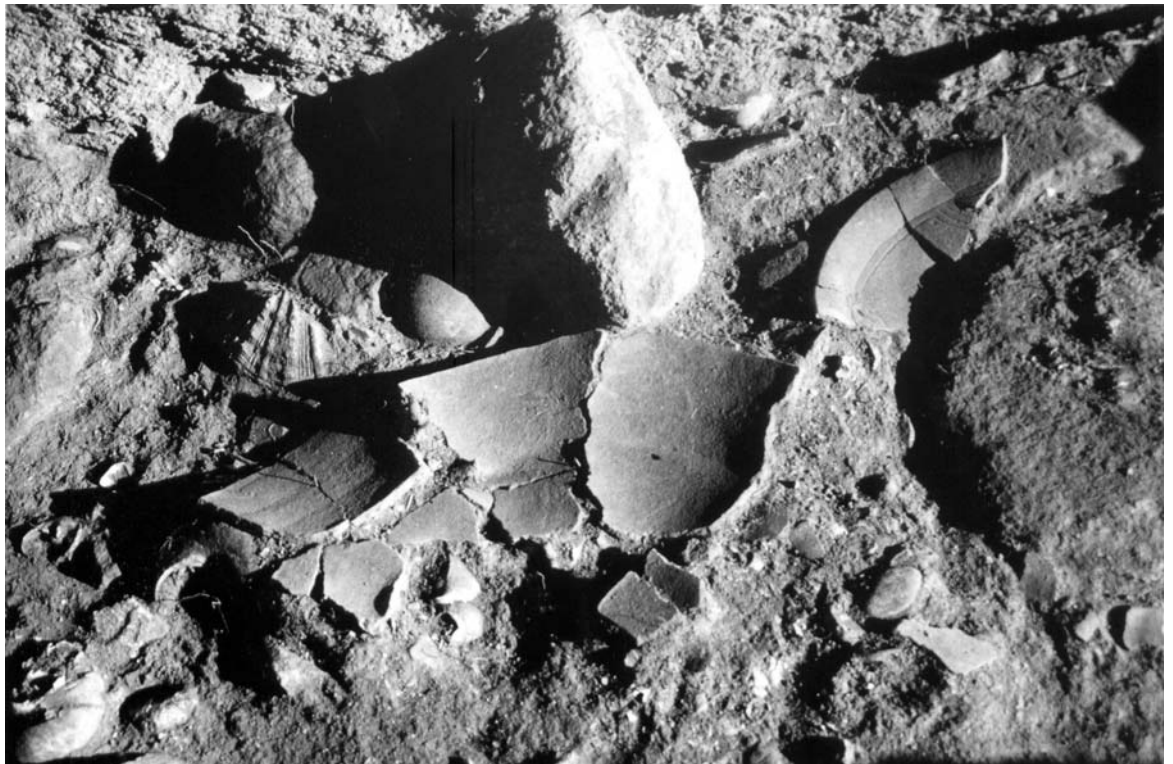


Figure 171 : Hope Estate, sondage 25, détail de l'unité E (D. Bonnissent).

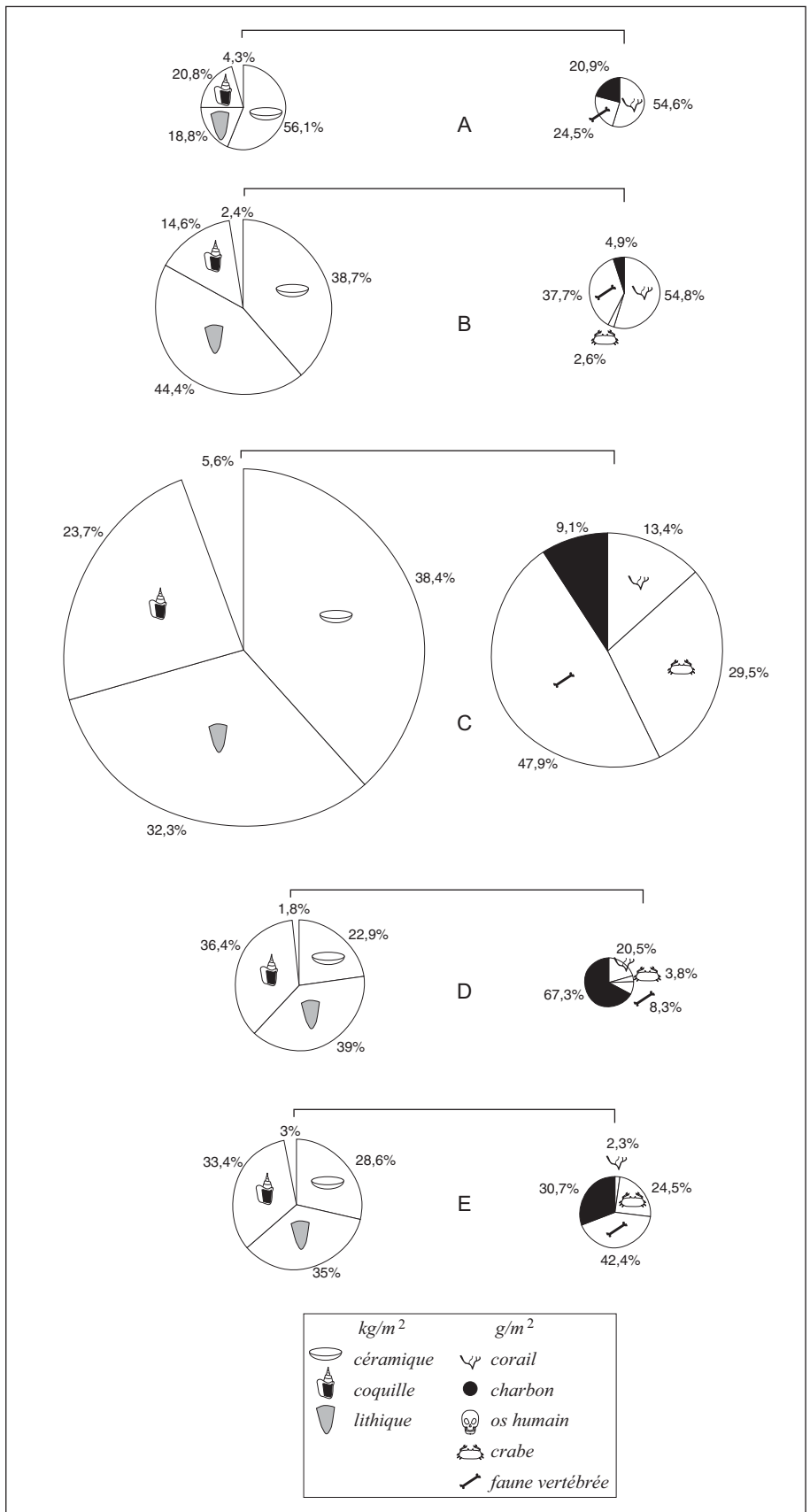


Figure 172 : Hope Estate, sondage 25, répartition pondérale des mobiliers par unité stratigraphique (C. Stouvenot).





Figure 173 : Hope Estate, l'unité stratigraphique C du sondage 25 (D. Bonnissent).



Figure 174 : Hope Estate, sondage 25, ossements de poissons de l'unité stratigraphique C (D. Bonnissent).

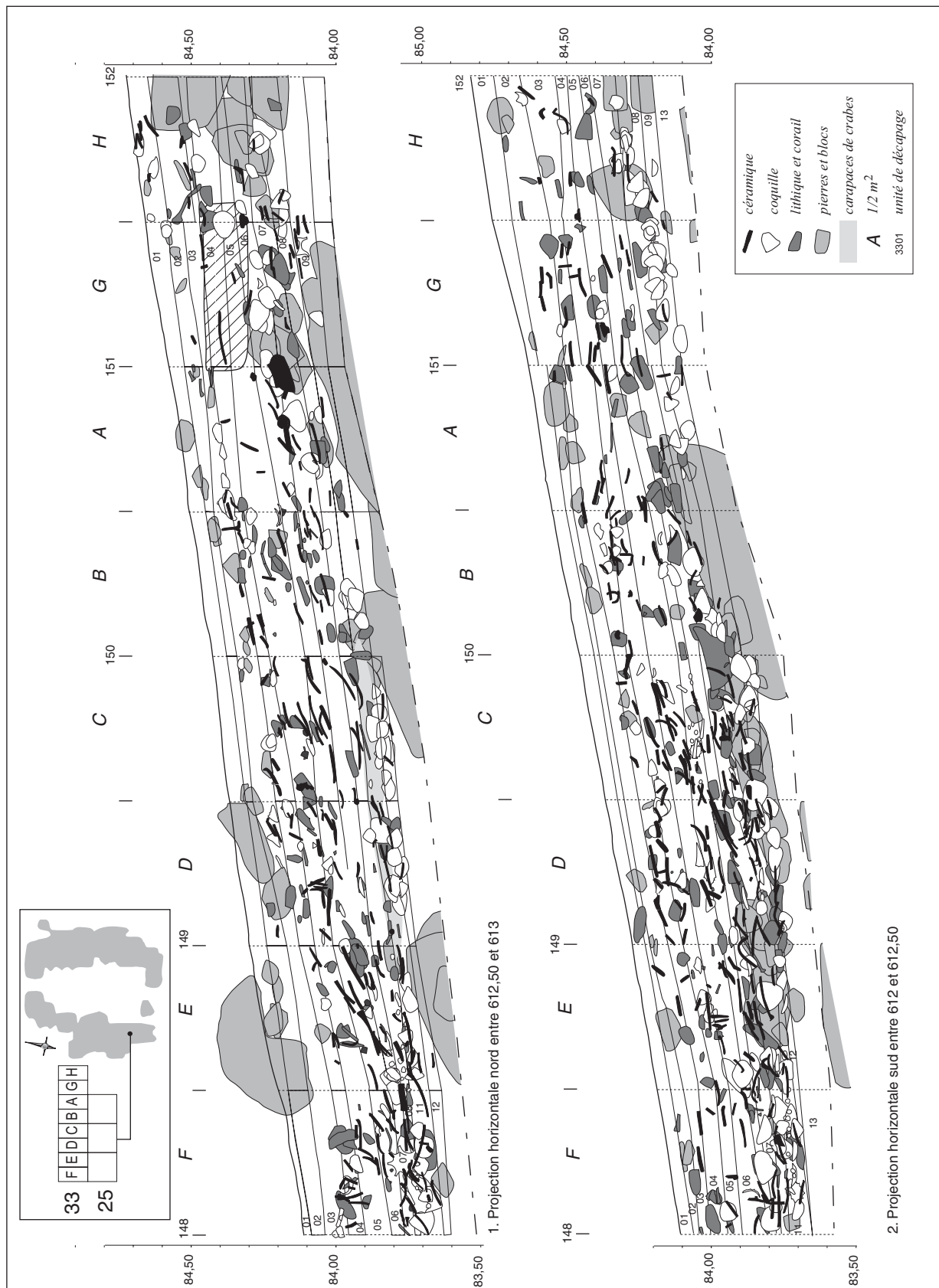


Figure 175 : Hope Estate, projection horizontale cumulée du mobilier du sondage 33 entre les axes 612 et 613 (I. Dechanez, C. Stouvenot).

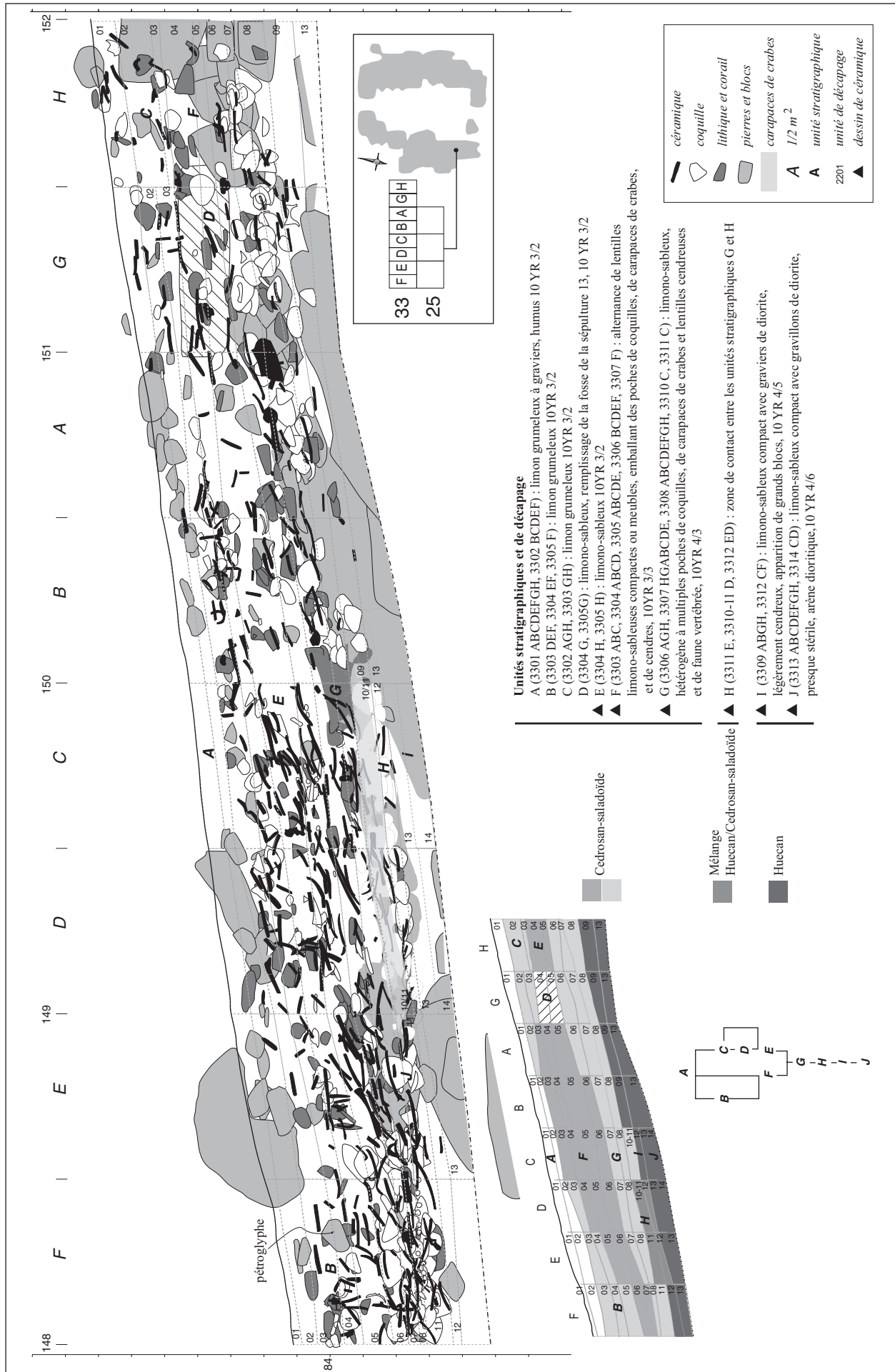
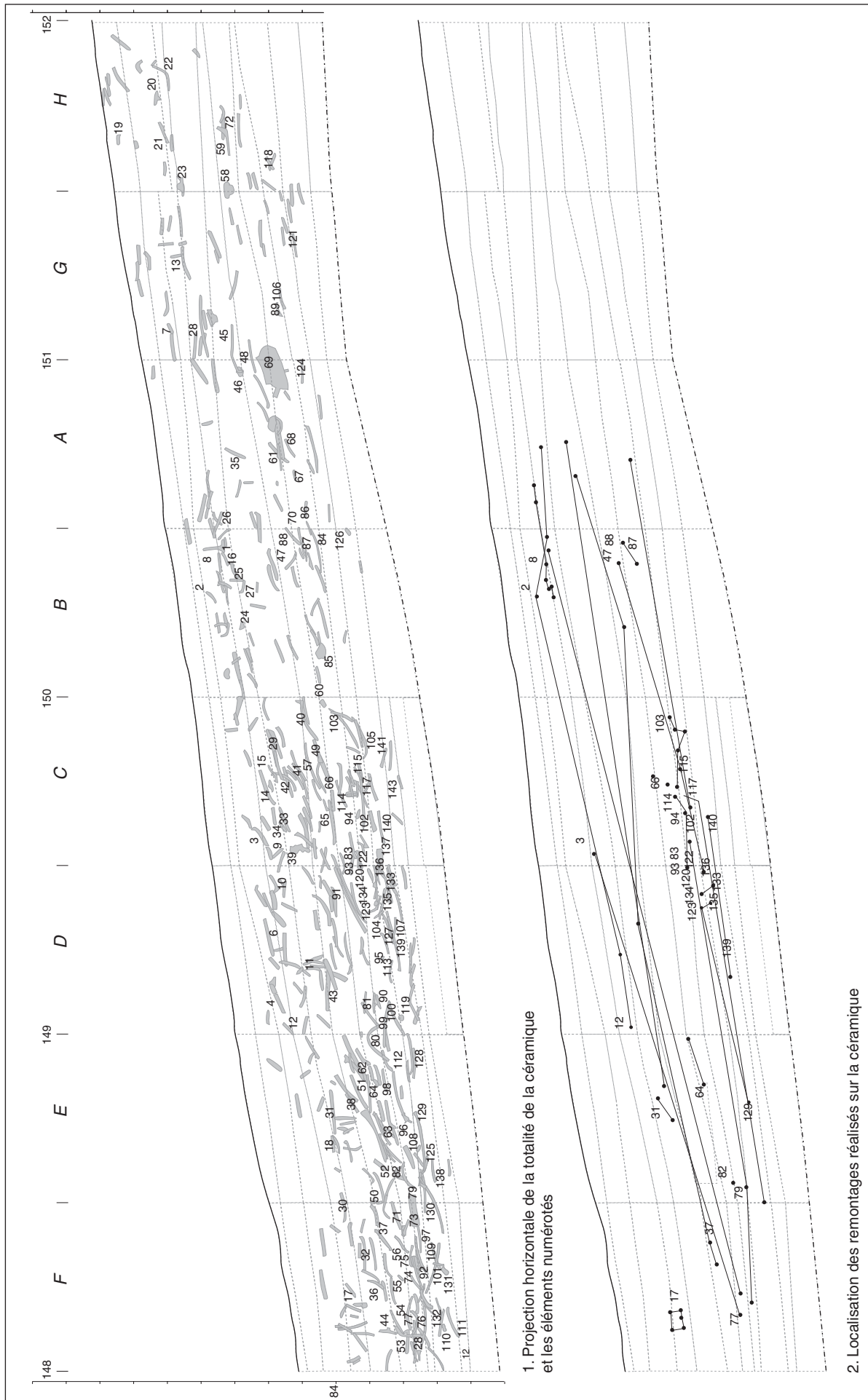


Figure 176 : Hope Estate, projection horizontale cumulée du mobilier du sondage 33 entre les axes 612 et 613 (I. Dechanez, C. Stouvenot, D. Bonmissent).





1. Projection horizontale de la totalité de la céramique et les éléments numérotés

2. Localisation des remontages réalisés sur la céramique

Figure 177 : Hope Estate, projection horizontale cumulée de la céramique du sondage 33 et des remontages (I. Dechanez, C. Stouvenot, D. Bommissent)



Figure 178 : Hope Estate, poche de *Cittarium pica* de l'unité stratigraphique G du sondage 33 (I. Dechanez).



Figure 179 : Hope Estate, le sommet de l'unité stratigraphique E du sondage 33, UD3307 (I. Dechanez).

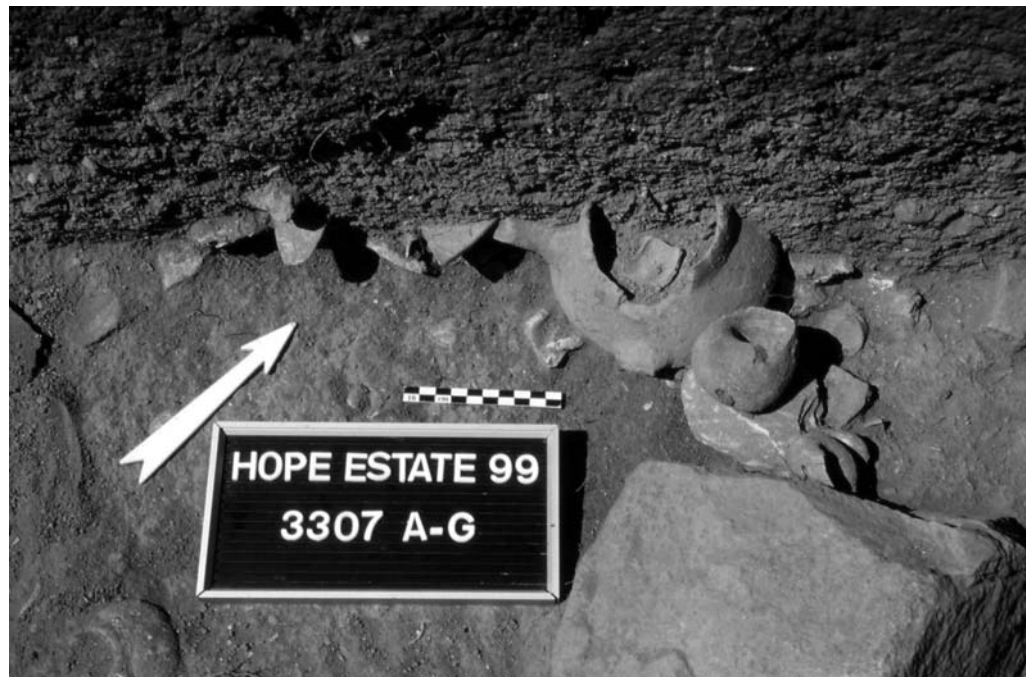


Figure 180 : Hope Estate, céramiques de l'unité stratigraphique E du sondage 33, UD3307 (I. Dechanez).



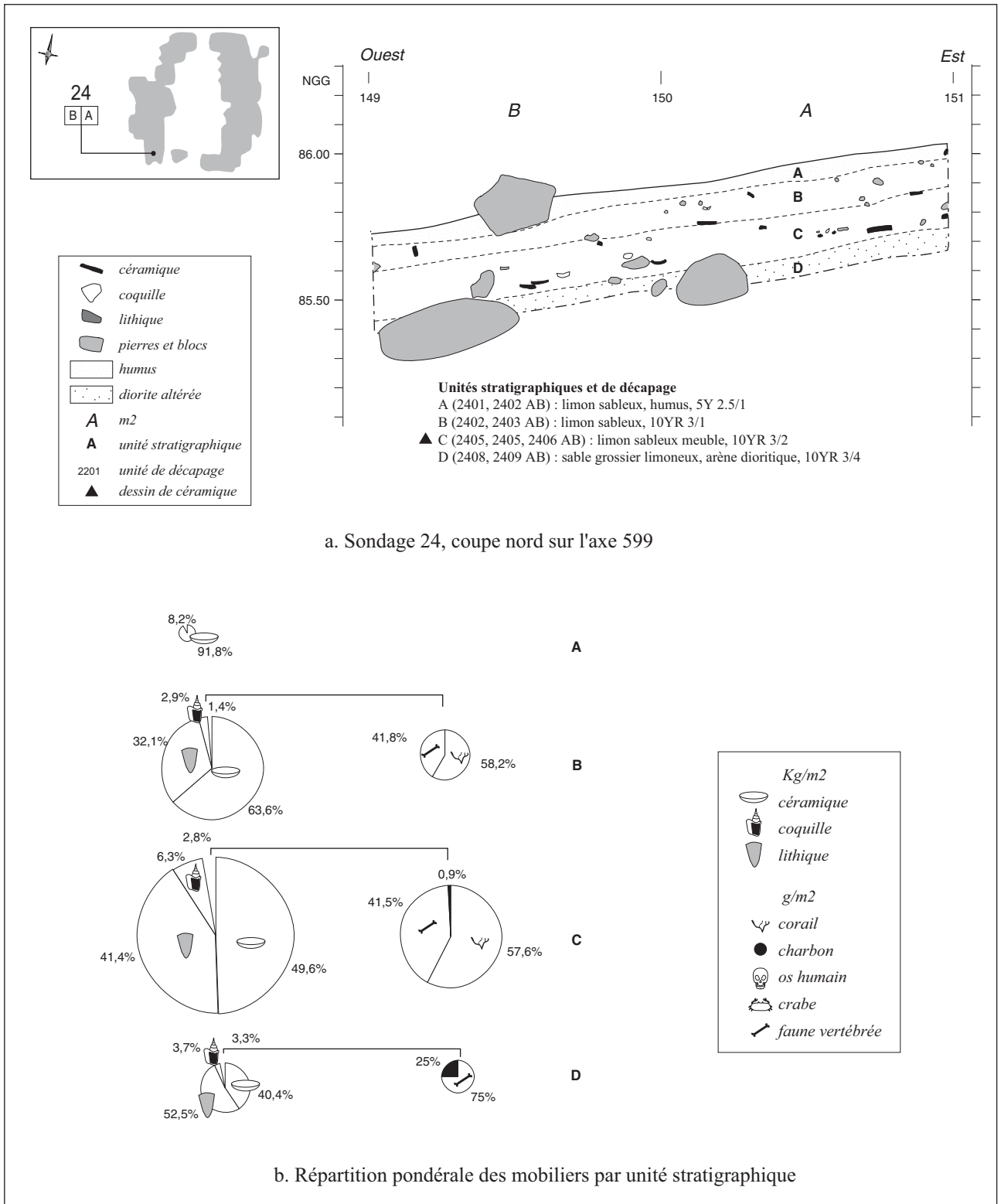


Figure 181 : Hope Estate, sondage 24, coupe nord sur l'axe 599 (F. Bernard, C. Stouvenot).

dépotoir	sondage	US	chronologie US	sous-série	datation radiocarbone
1	31	D	2	cedrosan-saladoïde	
1	31	F	1	cedrosan-saladoïde	
2	22	B	3	cedrosan-saladoïde	
2	22	C	2	cedrosan-saladoïde	250-530 AD (Beta106229)
2	22	D	1	cedrosan-saladoïde	
3	20	D	2	cedrosan-saladoïde	
3	20	E	1	huecan mélangé	135-405 AD (Beta106228)*
3	36	C	4	huecan	
3	36	D	3	huecan	
3	36	E	2	huecan	
3	36	F	1	huecan	
3	37	J	3	cedrosan-saladoïde	
3	37	K	2	huecan	
3	37	L	1	huecan	
4	34	B	3	cedrosan-saladoïde	
4	34	C	2	cedrosan-saladoïde	
4	34	F	1	huecan	
5	26	B	3	cedrosan-saladoïde	
5	26	C	2	cedrosan-saladoïde	
5	26	D	1	huecan	160-530 AD (Beta106233)*
5	28	C	3	cedrosan-saladoïde	
5	28	D	2	cedrosan-saladoïde	
5	28	F	1	cedrosan-saladoïde	
5	29	E	3	cedrosan-saladoïde	
5	29	F	2	cedrosan-saladoïde	
5	29	G	1	cedrosan-saladoïde	
5 amont	35	C	5	cedrosan-saladoïde	
5 amont	35	D	4	huecan	
5 amont	35	F	3	huecan	
5 amont	35	E	2	huecan	
5 amont	35	G	1	huecan	
7	32	F	3	cedrosan-saladoïde	
7	32	D	2	cedrosan-saladoïde	
7	32	E	1	cedrosan-saladoïde	
12	27	A	7	cedrosan-saladoïde	
12	27	B	6	cedrosan-saladoïde	
12	27	C	5	cedrosan-saladoïde	
12	27	D	4	cedrosan-saladoïde	
12	27	H	3	cedrosan-saladoïde	
12	27	E	2	cedrosan-saladoïde	
12	27	F	1	huecan	
13	25	C	2	cedrosan-saladoïde	395-635 AD (Beta106231)
13	25	E	1	cedrosan-saladoïde	
13	33	C	6	cedrosan-saladoïde	
13	33	E	5	cedrosan-saladoïde	
13	33	F	4	cedrosan-saladoïde	
13	33	G	3	cedrosan-saladoïde	
13	33	I	2	huecan	
13	33	J	1	huecan	

Tableau 10 : Hope Estate, niveaux de références établis d'après les données chrono-stratigraphiques  
\*datation considérée comme douteuse

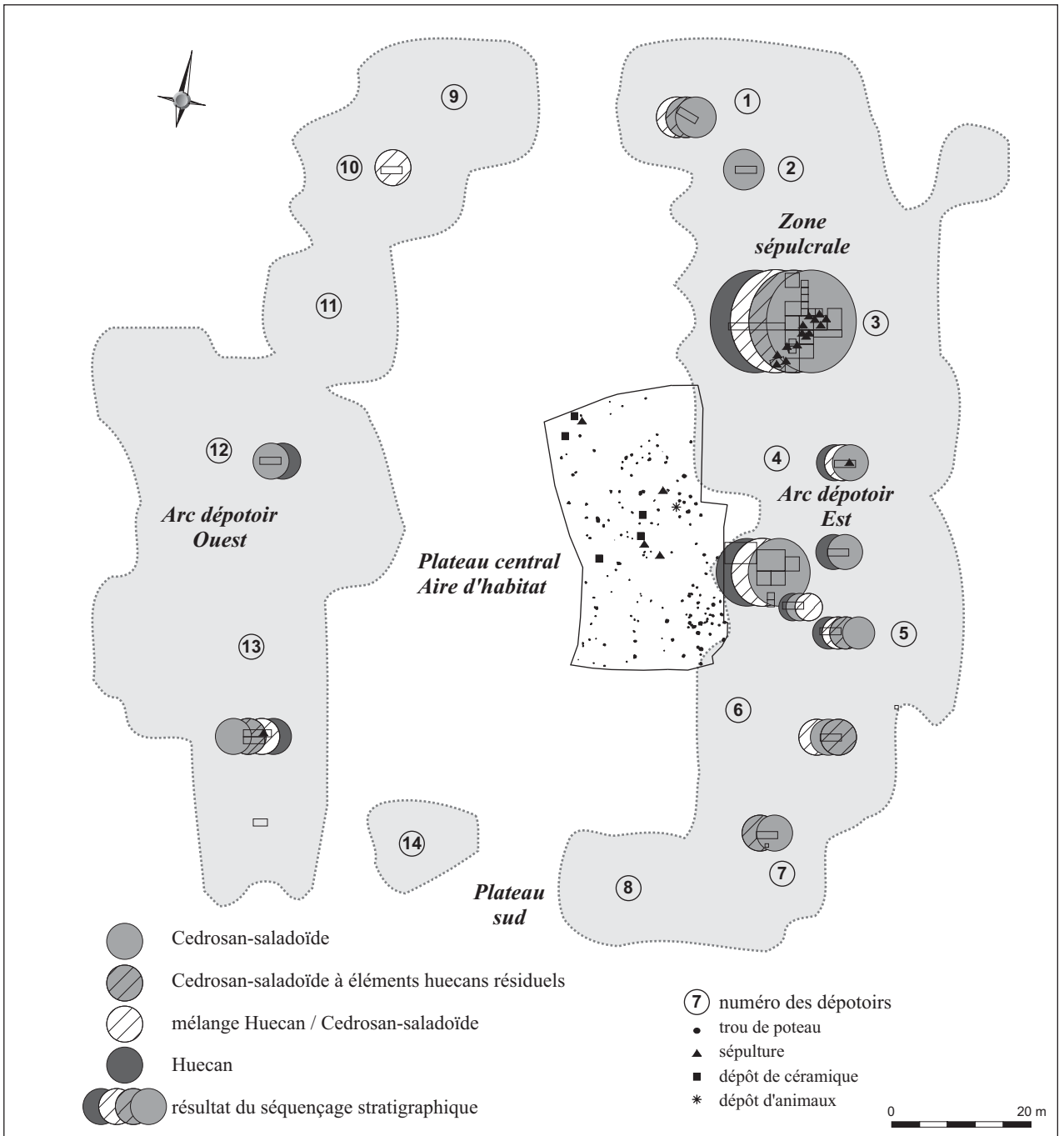


Figure 182 : Hope Estate, répartition des dépôts par phases culturelles (D. Bonnissent).

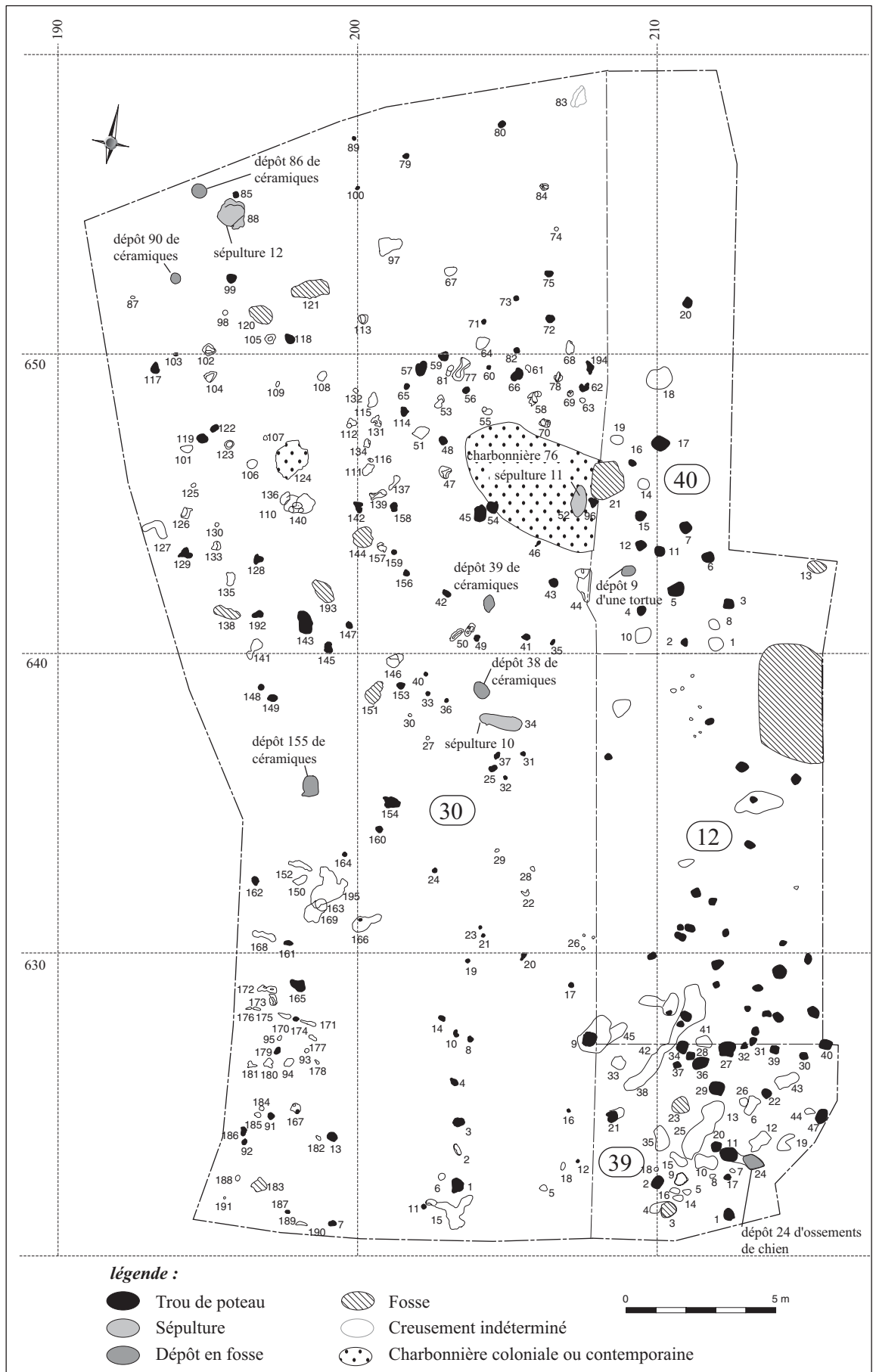


Figure 183 : Hope Estate, plan des aménagements anthropiques sur le plateau central (D. Bonnissent).  
 Les données du sondage 12 ont été reproduites d'après Hoogland (1999 : 144).





Figure 184 : Hope Estate, l'aire d'habitat sur le plateau, décapage 30 (D. Bonnissent).



Figure 185 : Hope Estate, détail de la stratigraphie du plateau (D. Bonnissent).

	décapage 30	décapage 12	décapage 39	décapage 40	sous-total
trou de poteau	90	15	19	12	136
dépôt de céramiques	5	0	0	0	5
dépôt d'ossements de tortue	0	0	0	1	1
dépôt d'ossements de chien	0	0	1	0	1
sépulture	3	0	0	0	3
fosse indéterminée	7	1	2	2	12
charbonnière coloniale	2	0	0	0	2
non-anthropique	87	39	22	6	154
<b>total</b>	<b>194</b>	<b>55</b>	<b>44</b>	<b>21</b>	<b>314</b>

Tableau 11 : Hope Estate, les aménagements anthropiques relevés sur le plateau, sondages 12, 30, 39 et 40 (D. Bonnissent).

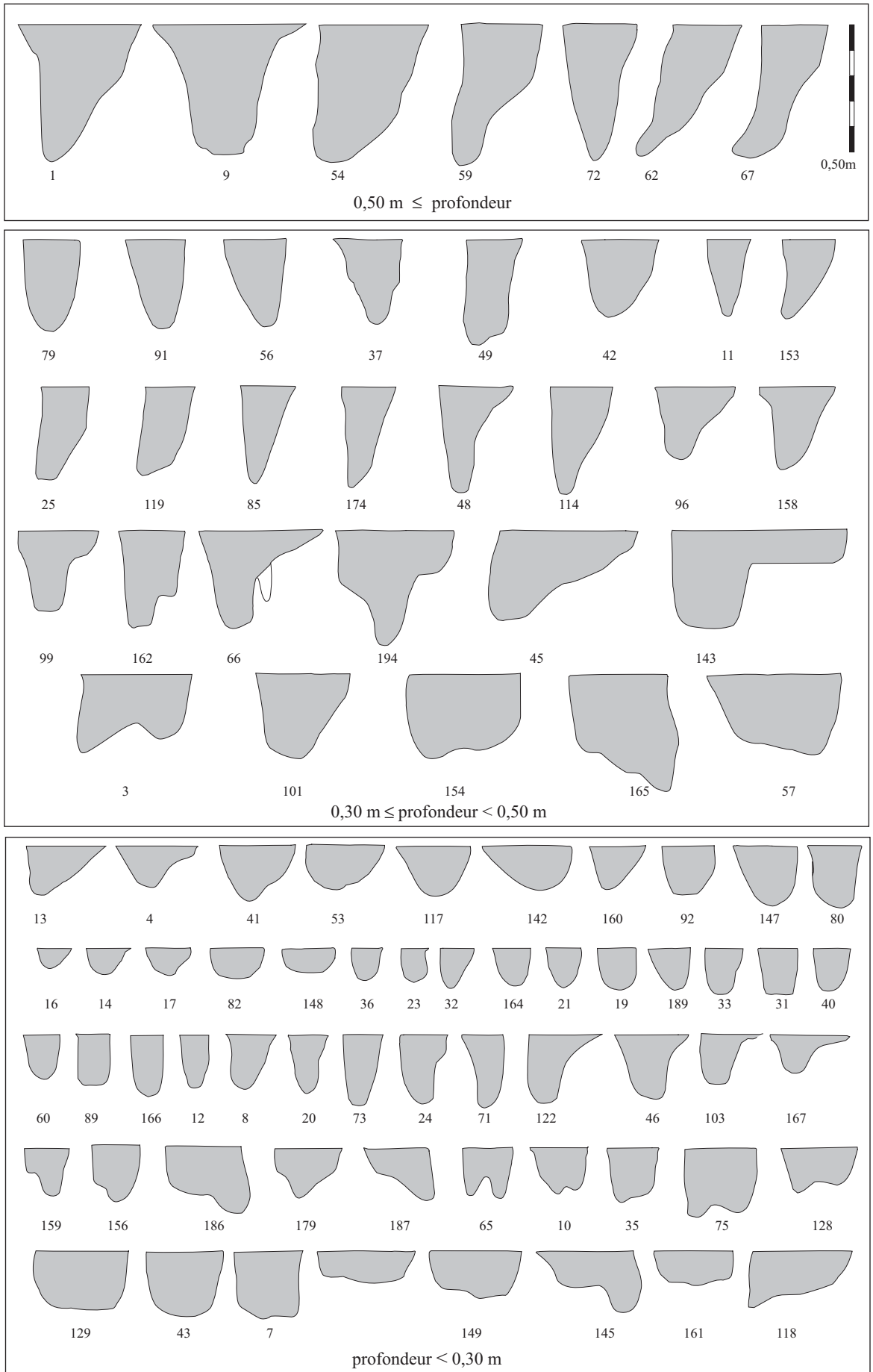
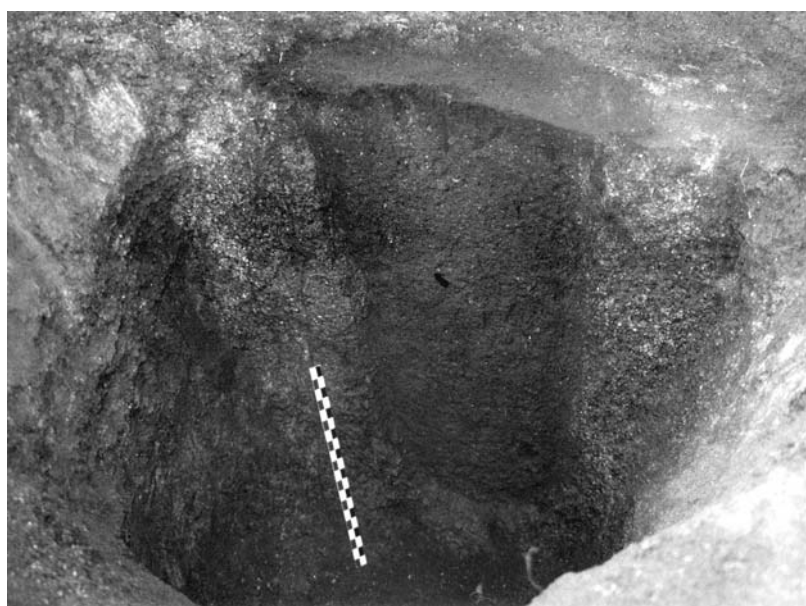


Figure 186 : Hope Estate, profils des trous de poteaux du décapage 30 (K. Debye, V. Boulfroy, D. Bonnissent).

a. Trou de poteau 09 du décapage 30 en plan.



b. Trou de poteau 09 du décapage 30 en section.



c. Trou de poteau 03 du décapage 40 en section.

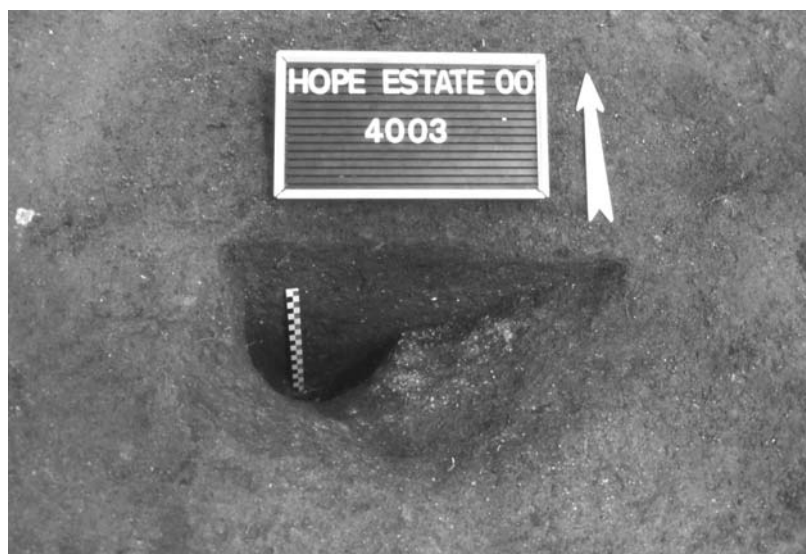
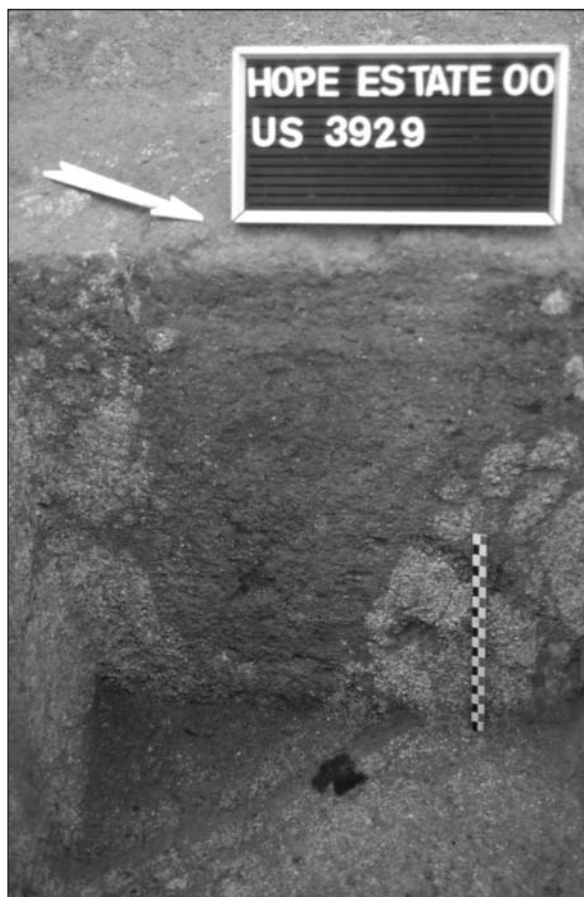


Figure 187 : Hope Estate, trous de poteau des décapages 30 et 40 (I. Dechanez, D. Bonnissent).

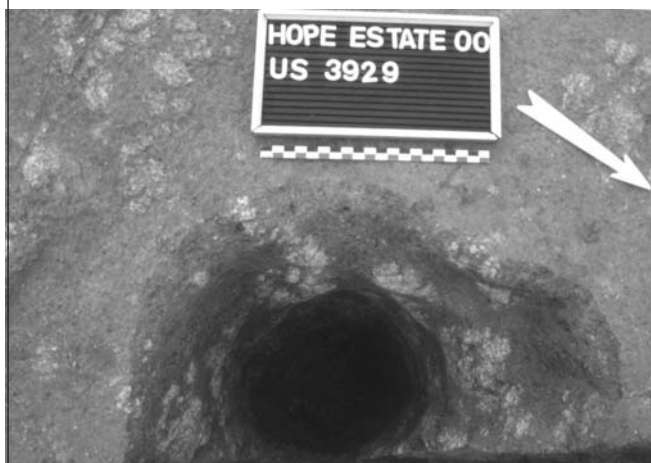




a. Trou de poteau 29 du décapage 39 en section.



b. Trou de poteau 29 du décapage 39 vidé.



c. Trou de poteau 29 du décapage 39 vu à l'aplomb



d. Trou de poteau 27 du décapage 39 en coupe

Figure 188 : Hope Estate, trous de poteau du décapage 39 (I. Dechanez, D. Bonnissent).

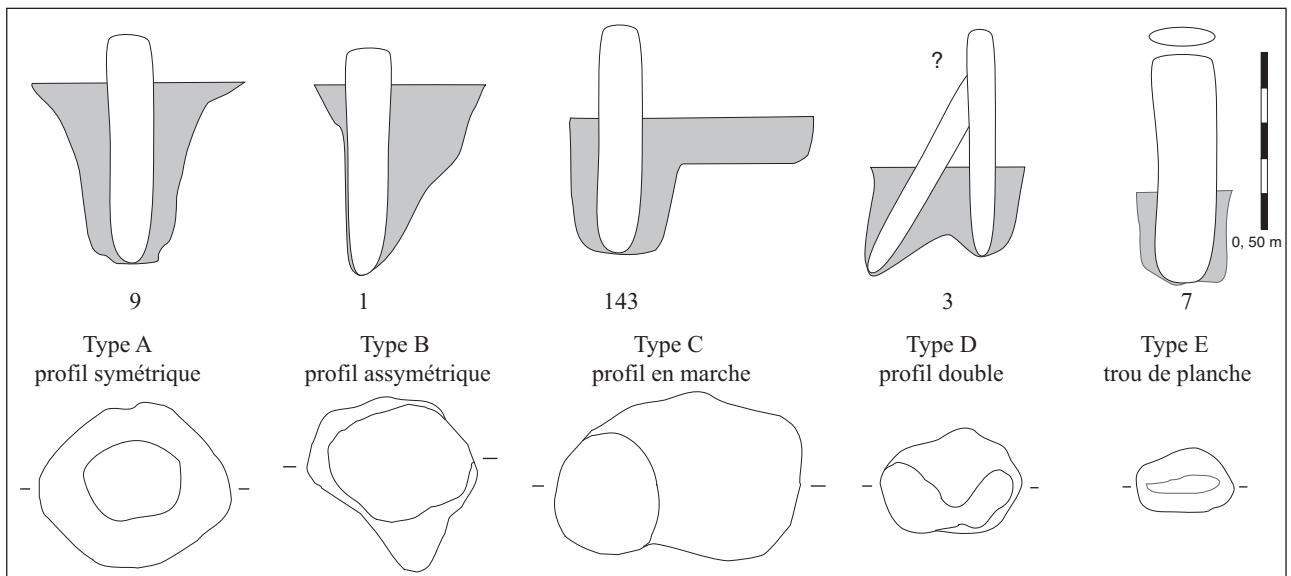


Figure 189 : Hope Estate, typologie des trous de poteaux du décapage 30 (D. Bonnissent).

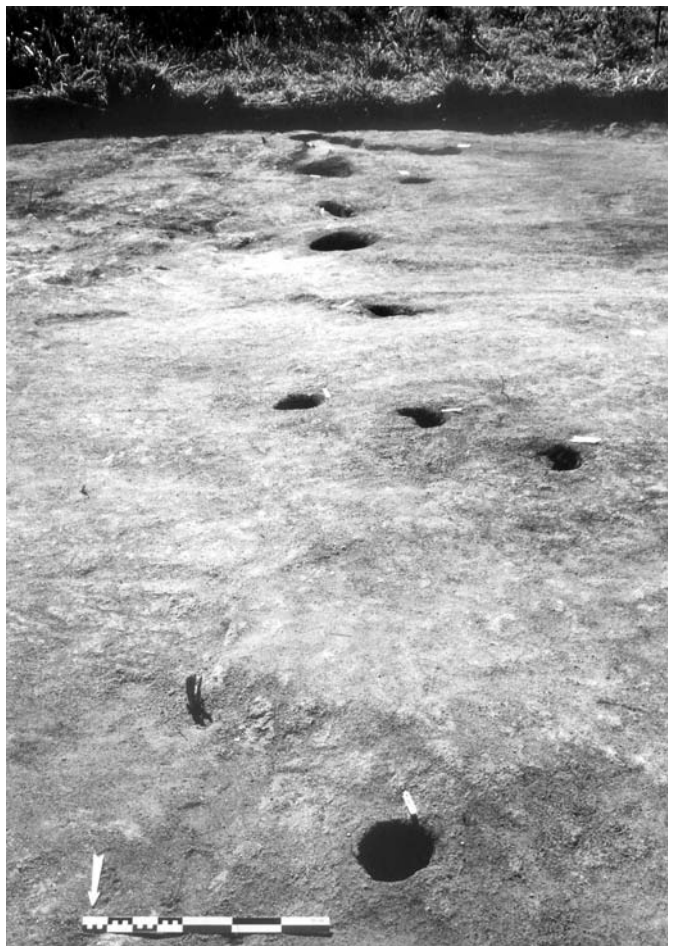


Figure 190 : Hope Estate, alignement de trous de poteaux dans la partie sud du décapage 30 entre les axes 200 et 210 (D. Bonnissent).



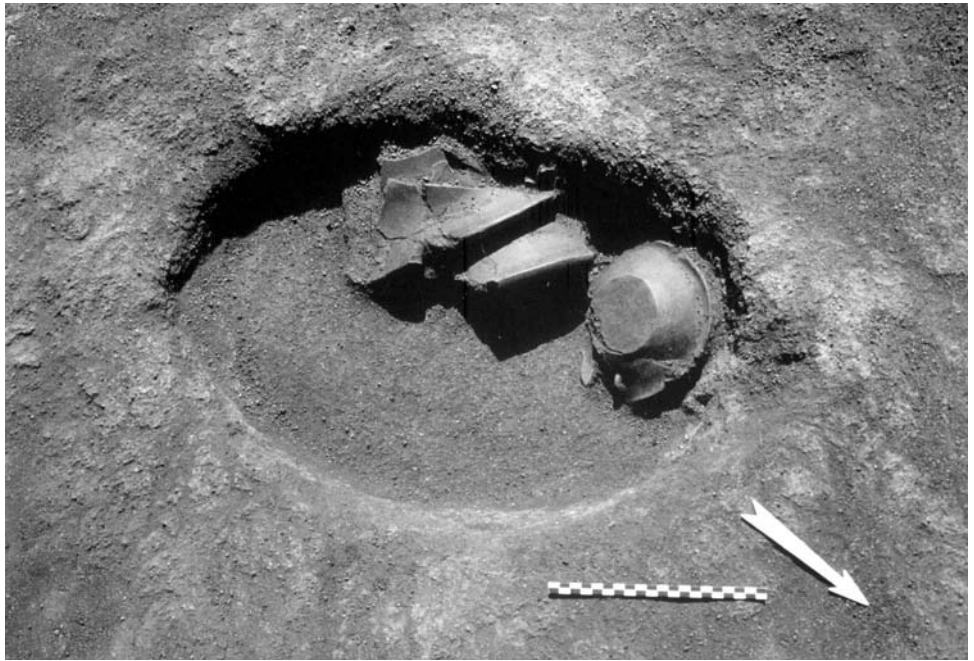


Figure 191 : Hope Estate, dépôt de céramiques 38 (I. Dechanez).

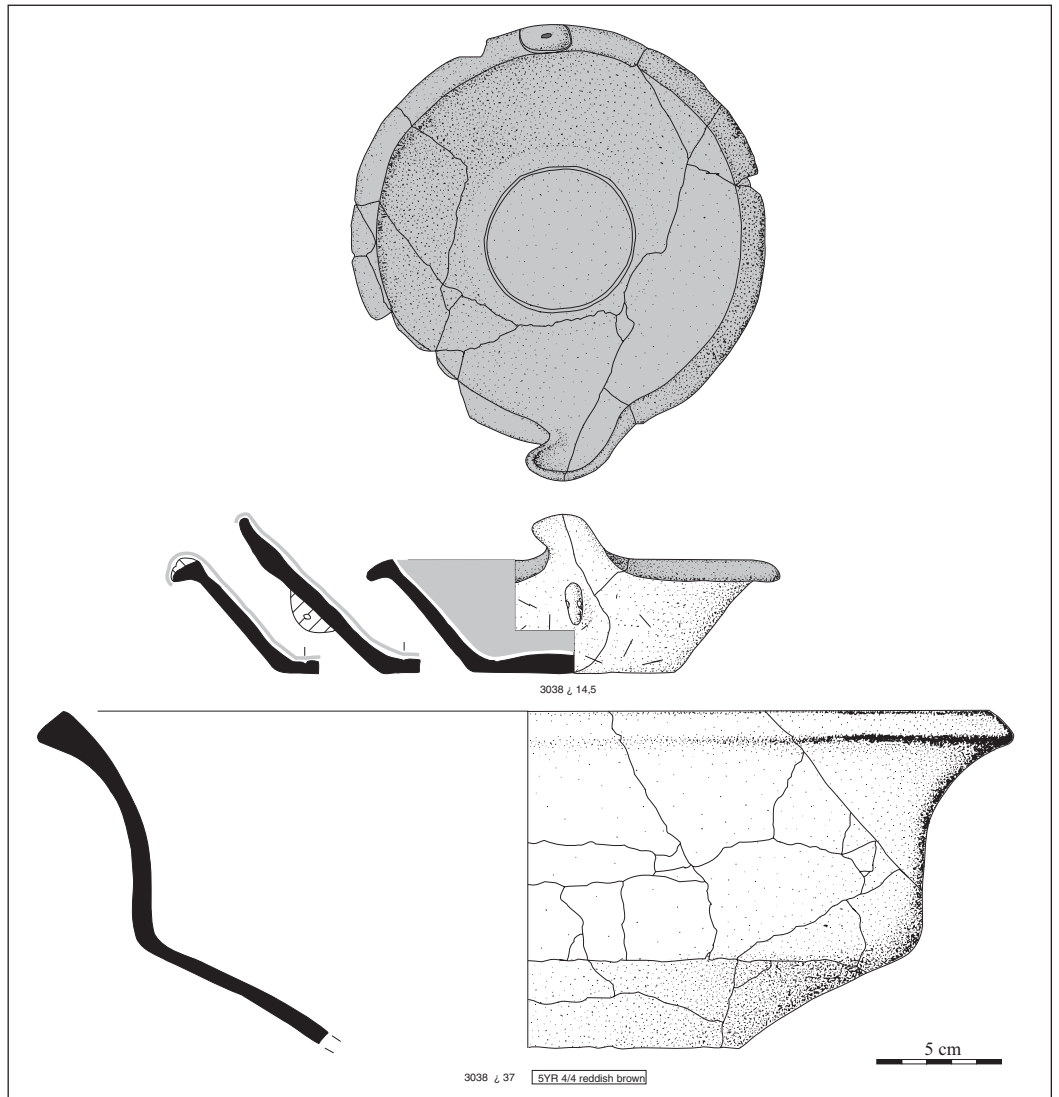


Figure 192 : Hope Estate, céramiques du dépôt 38 (D. Bonnissent).

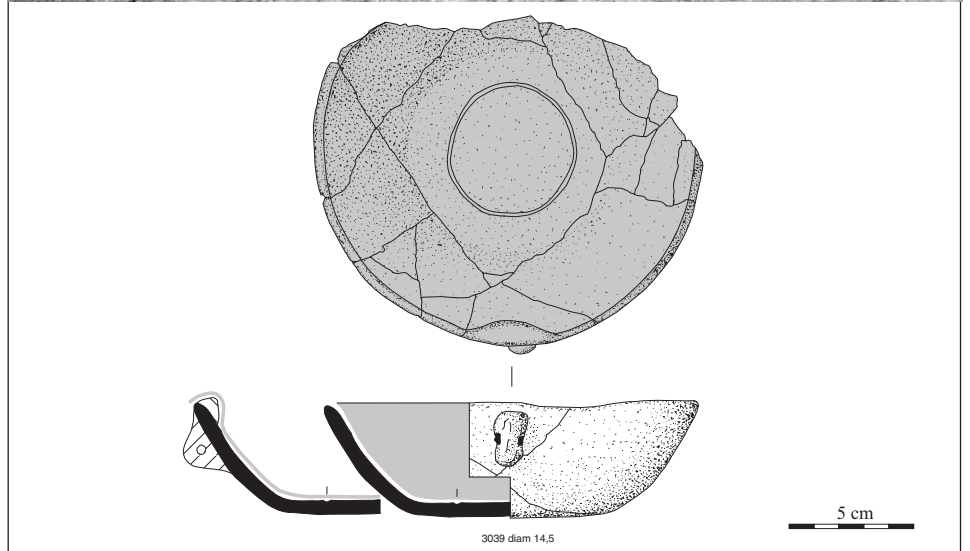
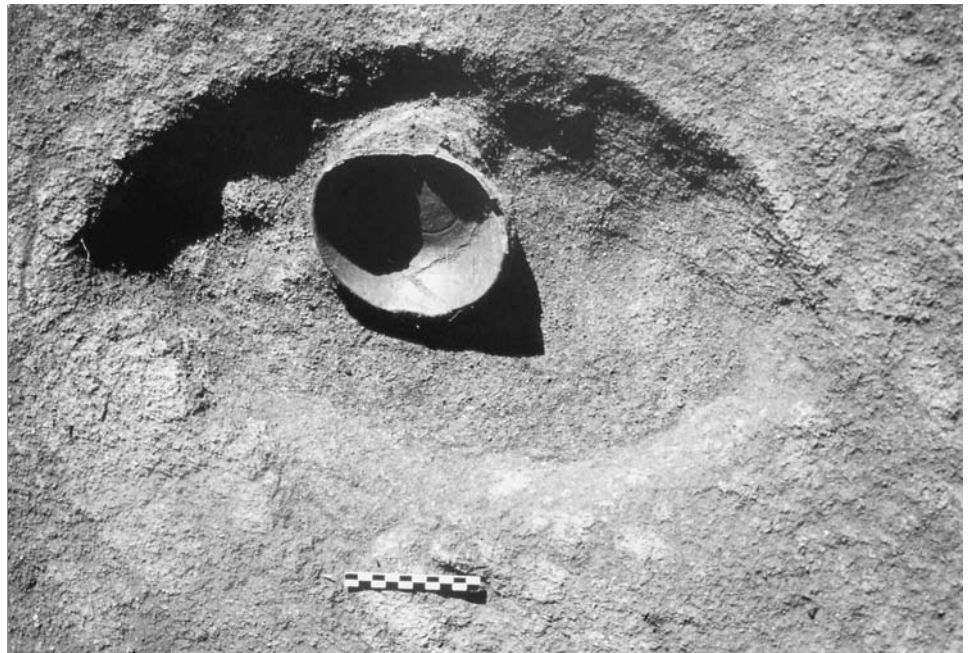


Figure 193 : Hope Estate, dépôt de céramique 39 (I. Dechanez, D. Bonnissent).

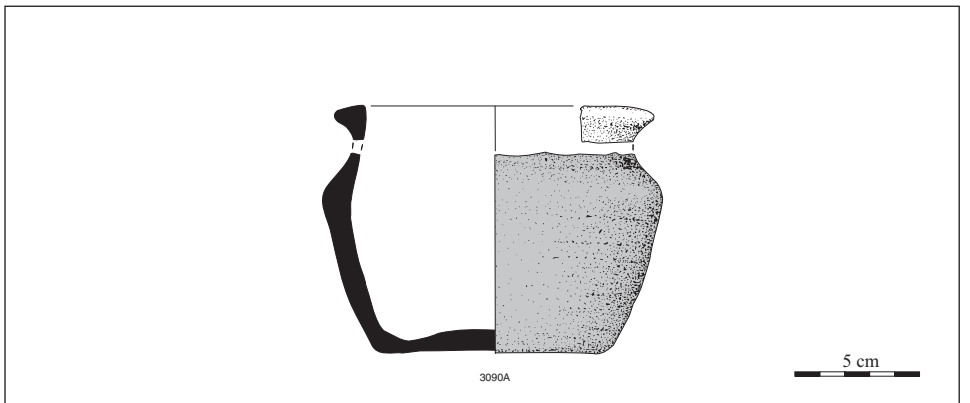


Figure 194 : Hope Estate, céramique du dépôt 90 (D. Bonnissent).

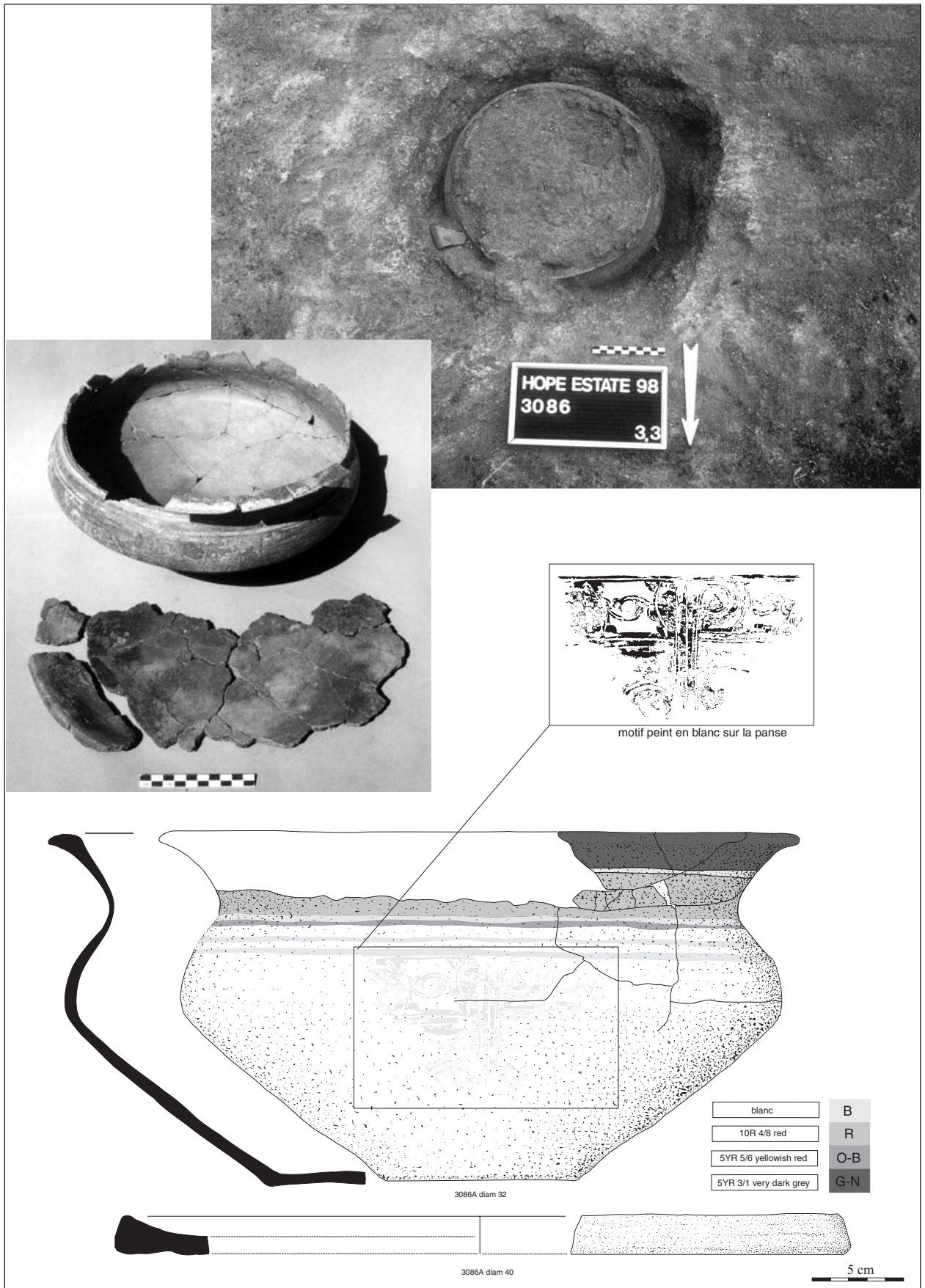
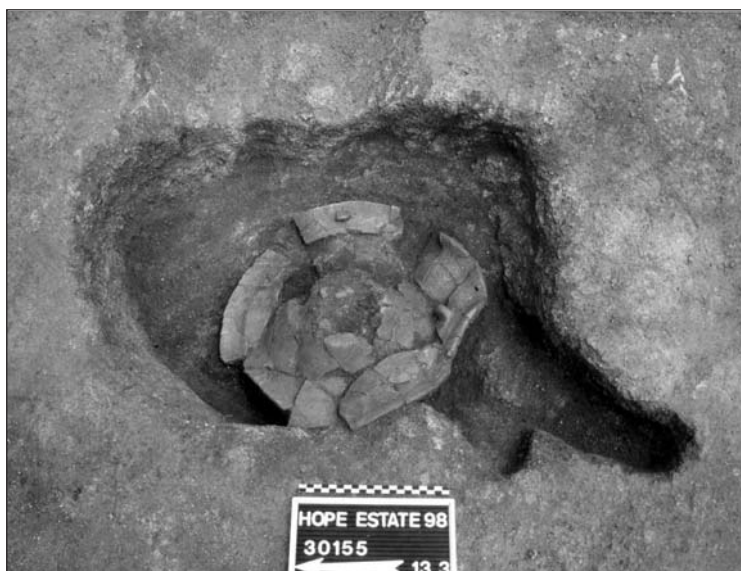


Figure 195 : Hope Estate, dépôt de céramiques 86 (I. Dechanez, D. Bonnissent).

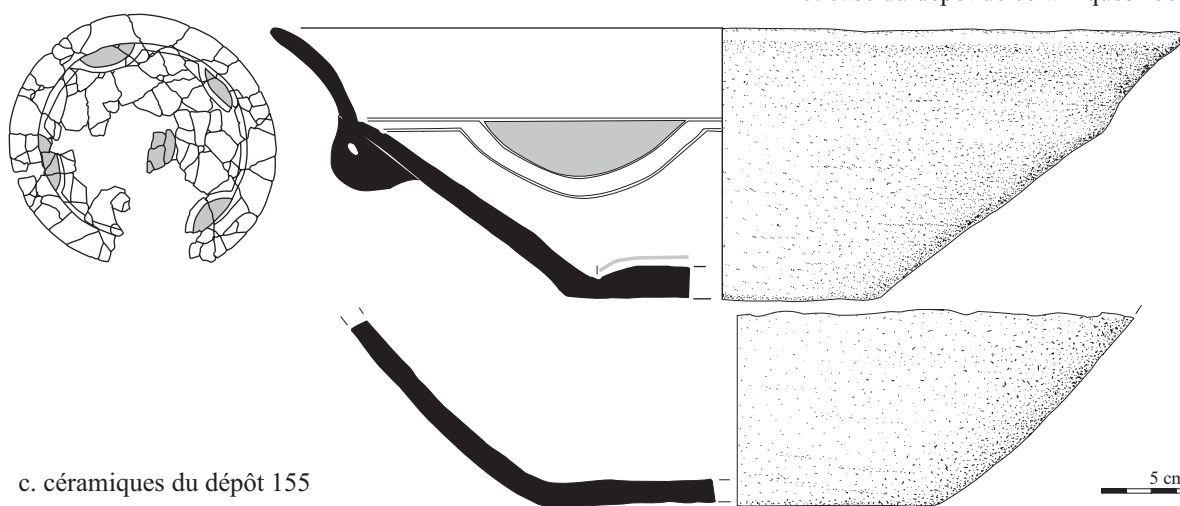




a. sommet du dépôt de céramiques 155



b. base du dépôt de céramiques 155



c. céramiques du dépôt 155

Figure 196 : Hope Estate, dépôt de céramiques 155 (I. Dechanez, D. Bonnissent).



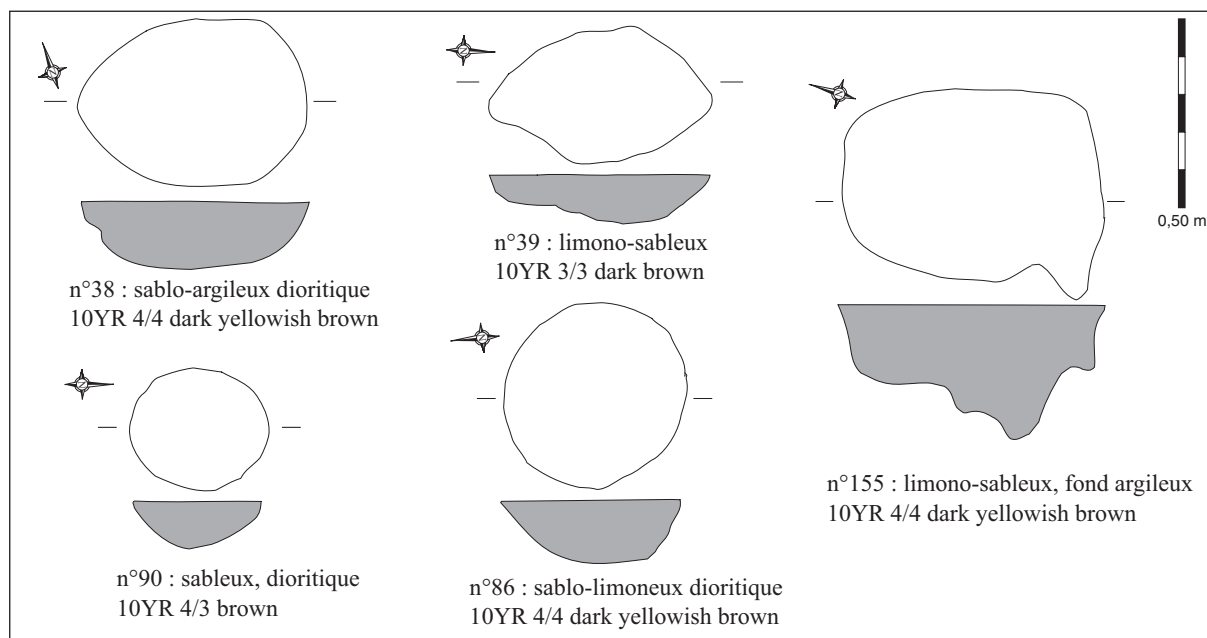


Figure 197 : Hope Estate, plans et coupes des dépôts de céramiques (K. Debue, V. Boulfroy, D. Bonnissent).

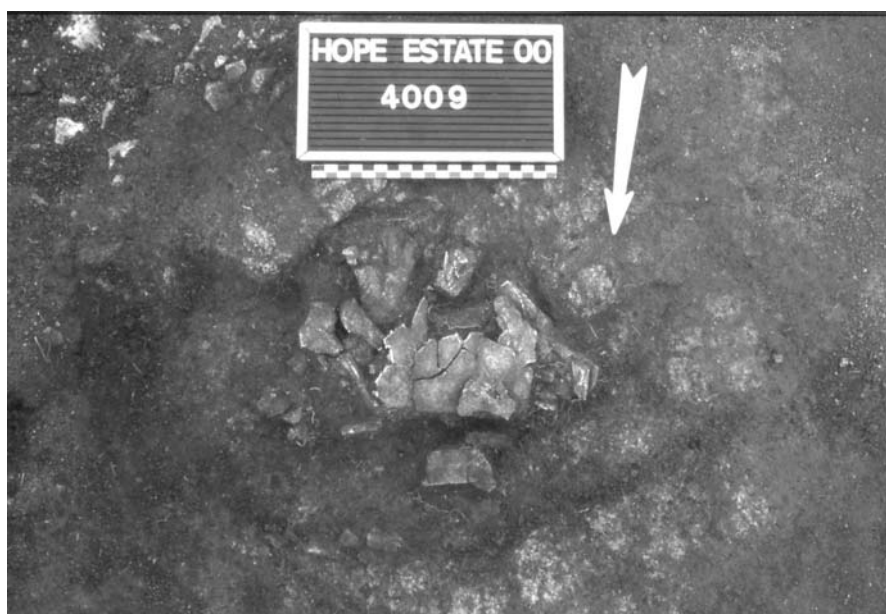


Figure 198 : Hope Estate, le dépôt 9 d'une tortue, décapage 40 (D. Bonnissent).

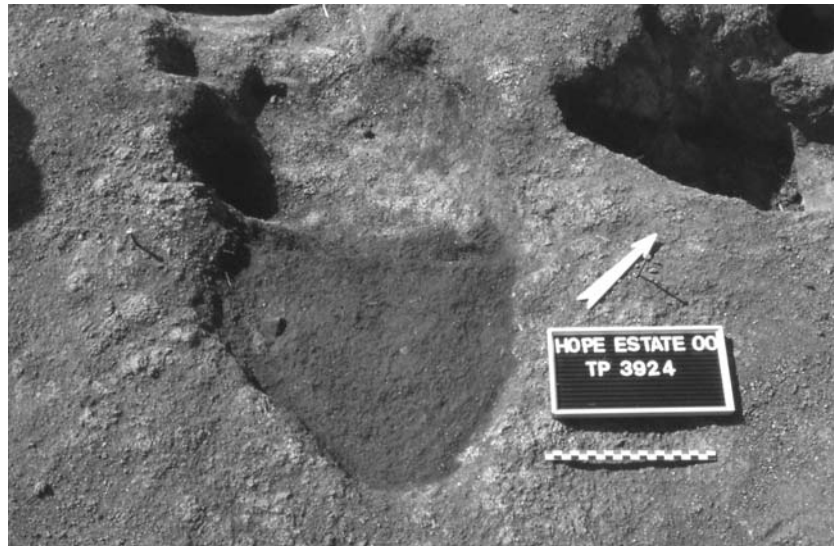


Figure 199 : Hope Estate, fosse 24 à ossements de chien, décapage 30 (I. Dechanez).

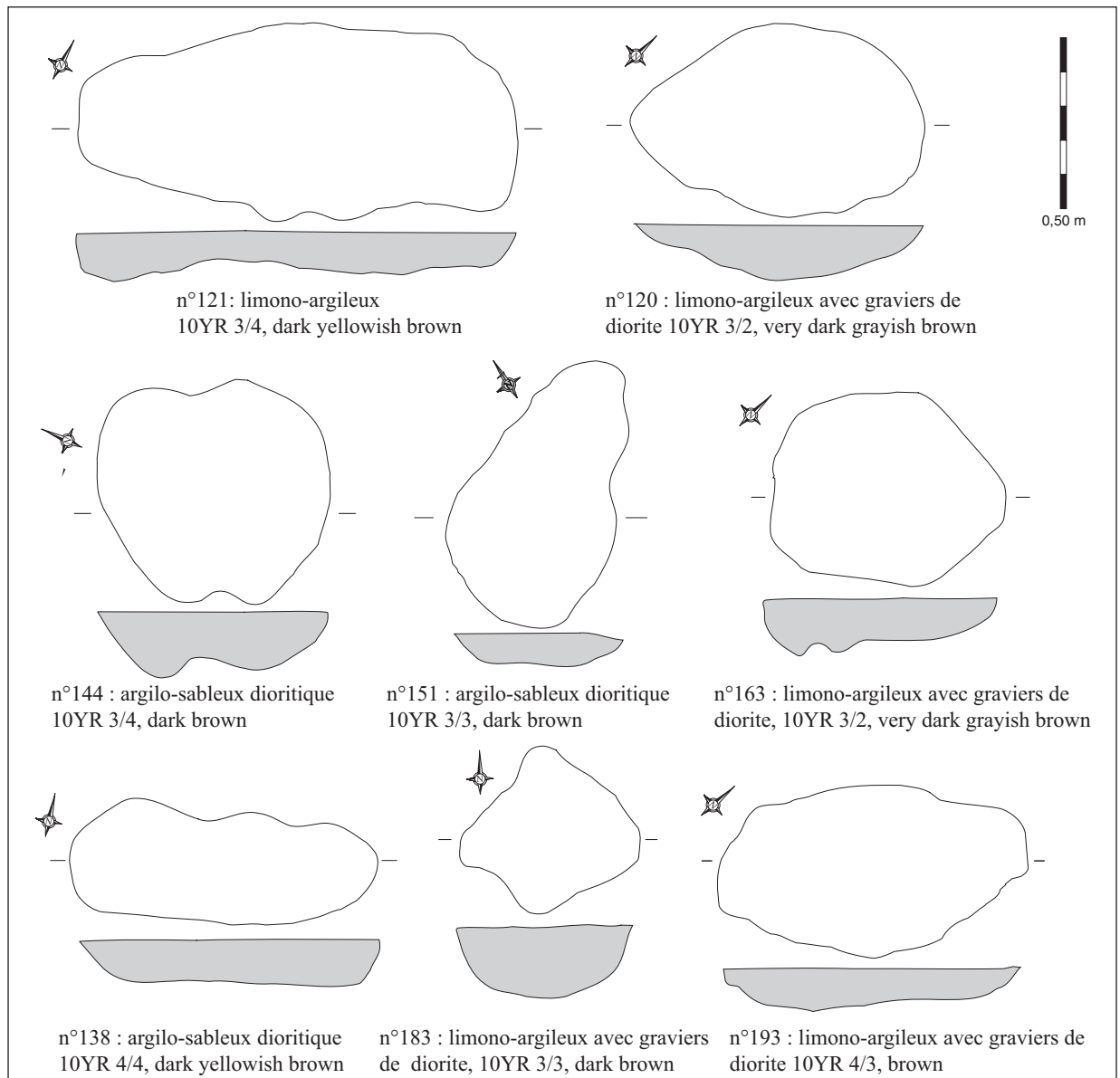


Figure 200 : Hope Estate, plans et coupes des fosses indéterminées du décapage 30 (V. Boulfroy, K. Debue, D. Bonnisent).

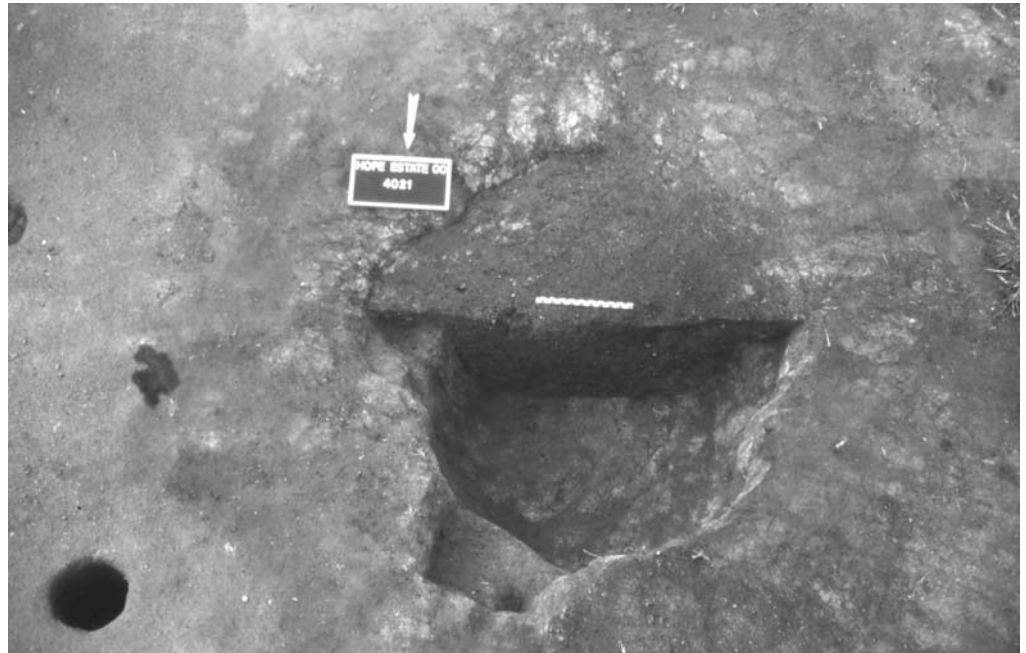


Figure 201 : Hope Estate, la fosse 21 du décapage 40 (I. Dechanez).

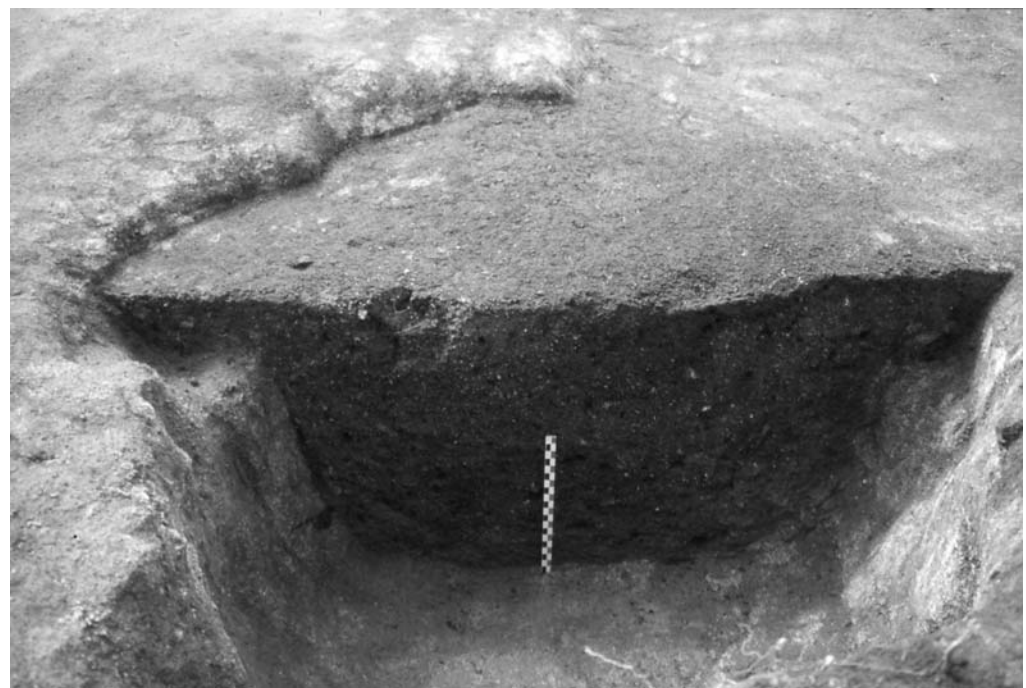


Figure 202 : Hope Estate, la fosse 21 en coupe, décapage 40 (I. Dechanez).

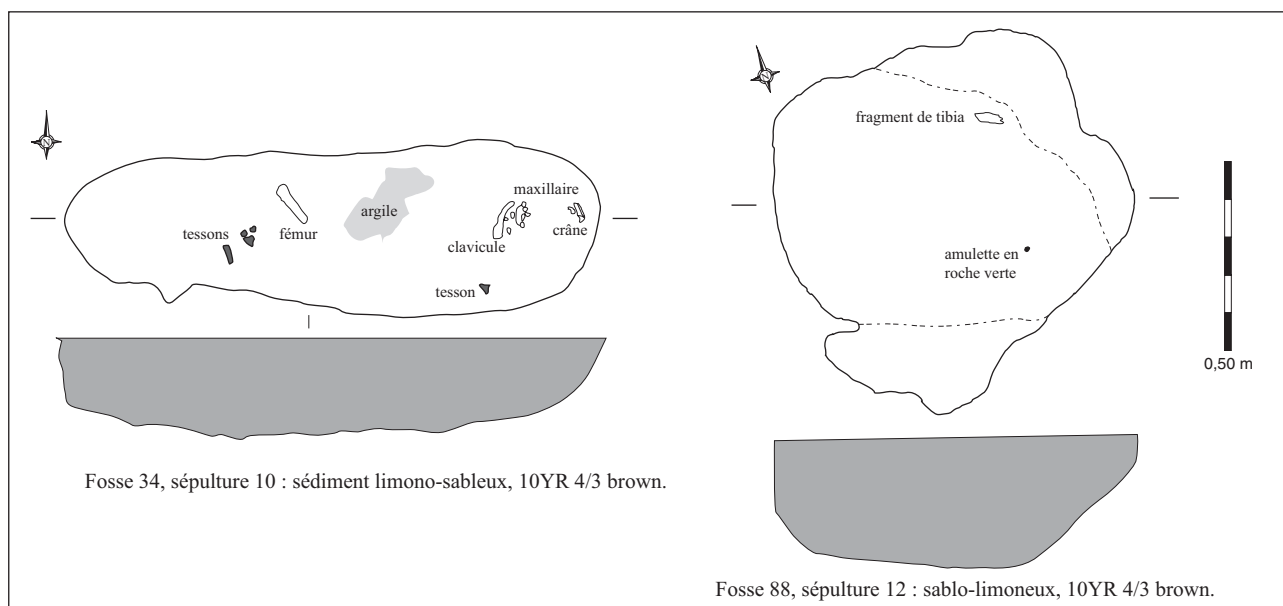


Figure 203 : Hope Estate, coupes des fosses des sépultures 10 et 11 (V. Boulfroy).

Figure 204 : Hope Estate, sépulture 10 (I. Dechanez).

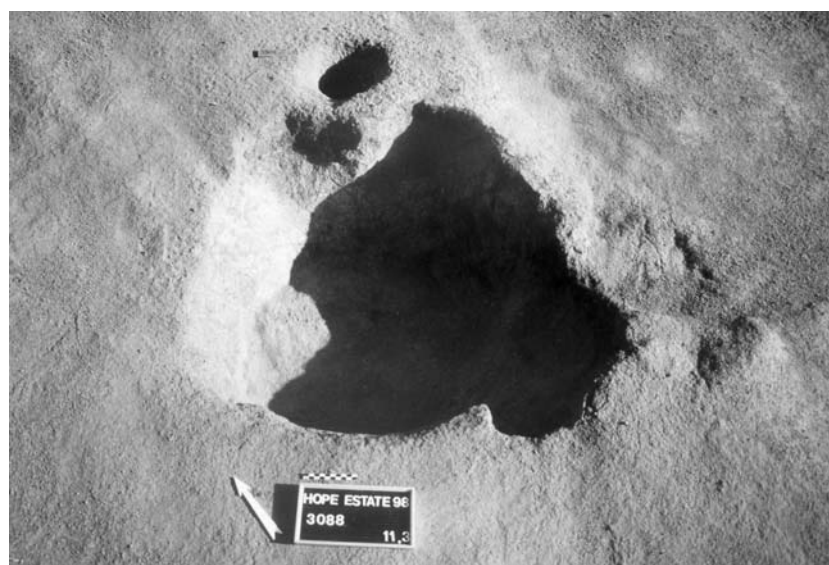
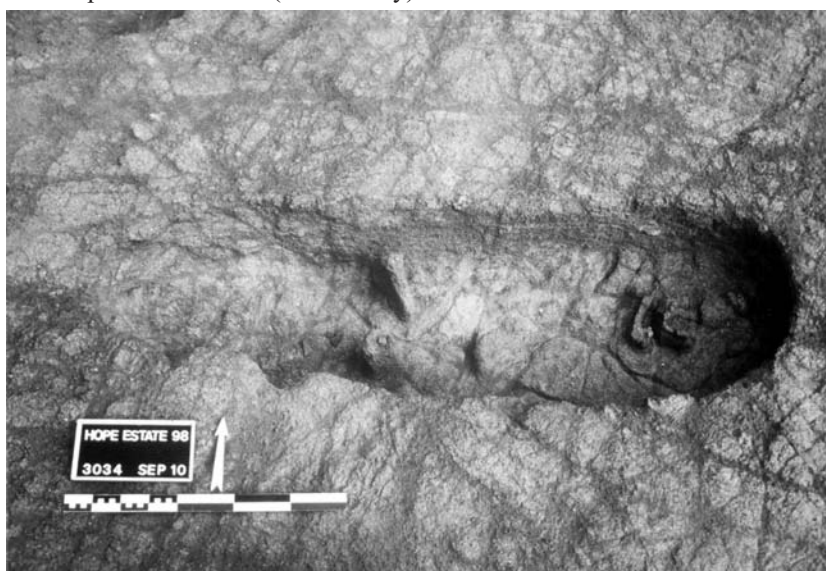


Figure 205 : Hope Estate, sépulture 12 (I. Dechanez).



Figure 206 : Hope Estate, élément de parure de la sépulture 12 (I. Dechanez).



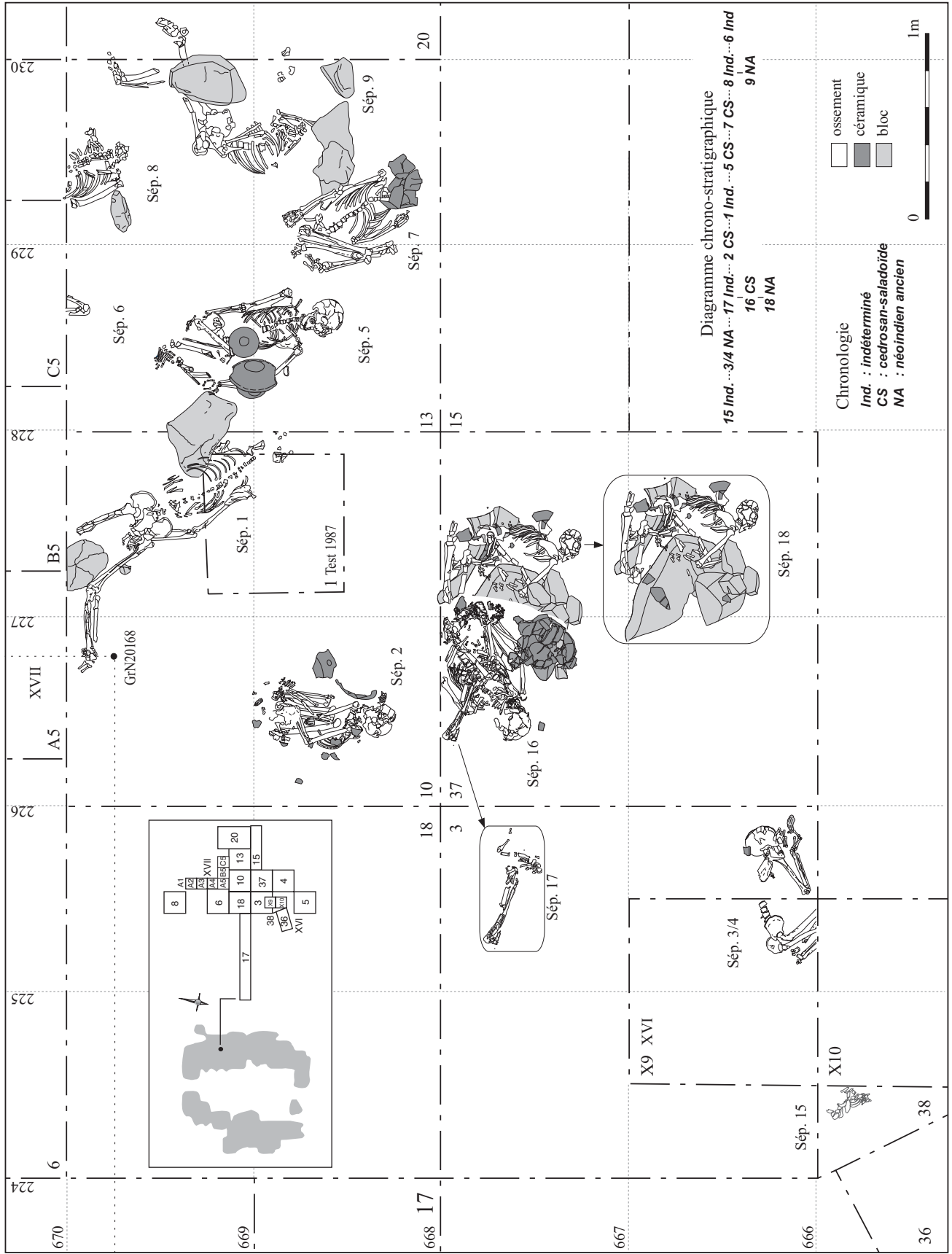


Figure 207 : Hope Estate, plan de la zone sépulcrale du dépôt 3 (A. Richier, V. Boulfroy, D. Bonnissent). La sépulture 2 a été reproduite d'après Baetsen (1999).

n°	localisation	sondage	position	mode	sexe	âge	mobilier funéraire	datation
1	arc Est, zone sépulcrale, dépotoir 3	10	procubitus, membres inférieurs en extension, tête au sud-ouest	espace colmaté	M	adulte		indéterminée
2	arc Est, zone sépulcrale, dépotoir 3	10	foetale en décubitus latéral droit, hypercontractée, tête au sud	espace colmaté	F	adulte		cedrosan-saladoïde
3, 4	arc Est, zone sépulcrale, dépotoir 3	3, X9 XVI	foetale en décubitus latéral gauche, tête à l'ouest	espace colmaté	F	adulte		néoindien ancien
5	arc Est, zone sépulcrale, dépotoir 3	13	foetale en décubitus dorsal, tête au sud	espace colmaté	F	adulte	3 écuelles sur l'abdomen	cedrosan-saladoïde
6	arc Est, zone sépulcrale, dépotoir 3	13	indéterminée, coude droit	espace colmaté	ind.	adulte		indéterminée
7	arc Est, zone sépulcrale, dépotoir 3	13	foetale en décubitus dorsal, tête au sud	espace colmaté	F	adulte	1 céramique sur la face	cedrosan-saladoïde
8	arc Est, zone sépulcrale, dépotoir 3	13	décubitus dorsal, tête au sud d'après la position du rachis	espace colmaté	ind.	adulte		indéterminée
9	arc Est, zone sépulcrale, dépotoir 3	13, 20	décubitus latéral gauche, membres inférieurs en extension, tête au sud d'après la position du rachis	espace vide	M	adulte		néoindien ancien
10	plateau	30	foetale en décubitus dorsal, tête à l'est	espace colmaté	ind.	adulte		néoindien ancien
11	plateau	30	foetale en décubitus latéral droit, tête au nord	espace colmaté	ind.	adulte		néoindien ancien
12	plateau	30	indéterminée, diaphyse de tibia	ind.	ind.	ind.	1 pendeloque en roche verte	cedrosan-saladoïde
13	arc Ouest, dépotoir 13	33	foetale en décubitus latéral droit, hypercontractée, tête à l'est d'après la position du rachis	espace colmaté	ind.	adulte		cedrosan-saladoïde
14	arc Est, dépotoir 4	34	décubitus dorsal, tête au nord	ind.	ind.	adulte		indéterminée
15	arc Est, zone sépulcrale, dépotoir 3	38	décubitus dorsal, tête au sud, portion de ceinture scapulaire gauche	ind.	ind.	adulte		indéterminée
16	arc Est, zone sépulcrale, dépotoir 3	37	foetale en décubitus dorsal hypercontracté, tête à l'est	espace colmaté	ind.	adulte	1 jatte à oreilles	cedrosan-saladoïde
17	arc Est, zone sépulcrale, dépotoir 3	37	ind., portion d'avant-bras droit	ind.	ind.	adulte		indéterminée
18	arc Est, zone sépulcrale, dépotoir 3	37	foetale en procubitus, tête au sud	espace colmaté	ind.	adulte		néoindien ancien

Tableau 12 : Principales caractéristiques des 17 sépultures de Hope Estate (d'après Richier 1994, Bonmissent, Richier 1998, Bouffroy 1997, 1998, Baetsen 1999).

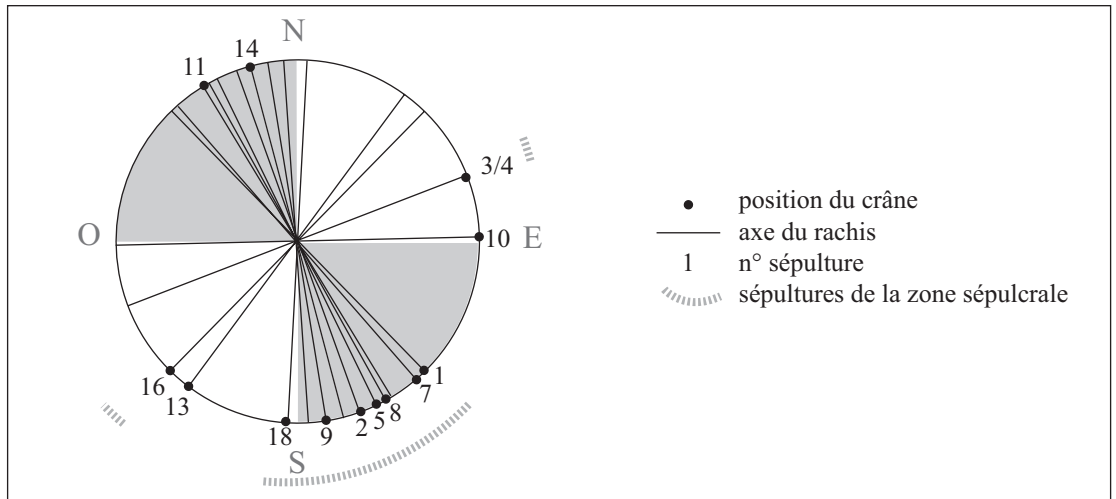


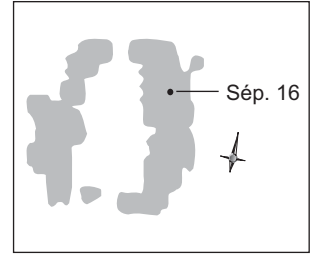
Figure 208 : Hope Estate, diagramme de dispersion de l'orientation des rachis (D. Bonnissent, A. Richier).



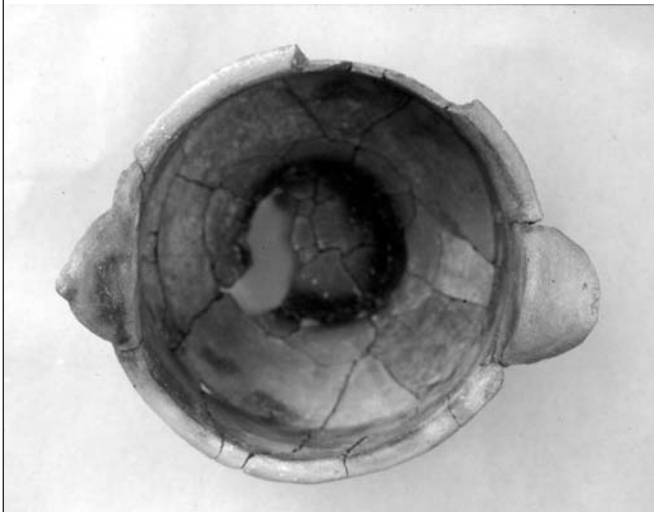
Figure 209 : Hope Estate, sondage 13 du dépotoir 3, la sépulture 7 et son mobilier d'accompagnement (A. Richier, D. Bonnissent).



a. La sépulture 16



b. Détail de la face



c. Vue supérieure de la jatte à oreilles



d. Vue de profil de la jatte à oreilles

Figure 210 : Hope Estate, sondage 37 du dépotoir 3, la sépulture 16 et son dépôt funéraire (D. Bonnissent, I. Dechanez).



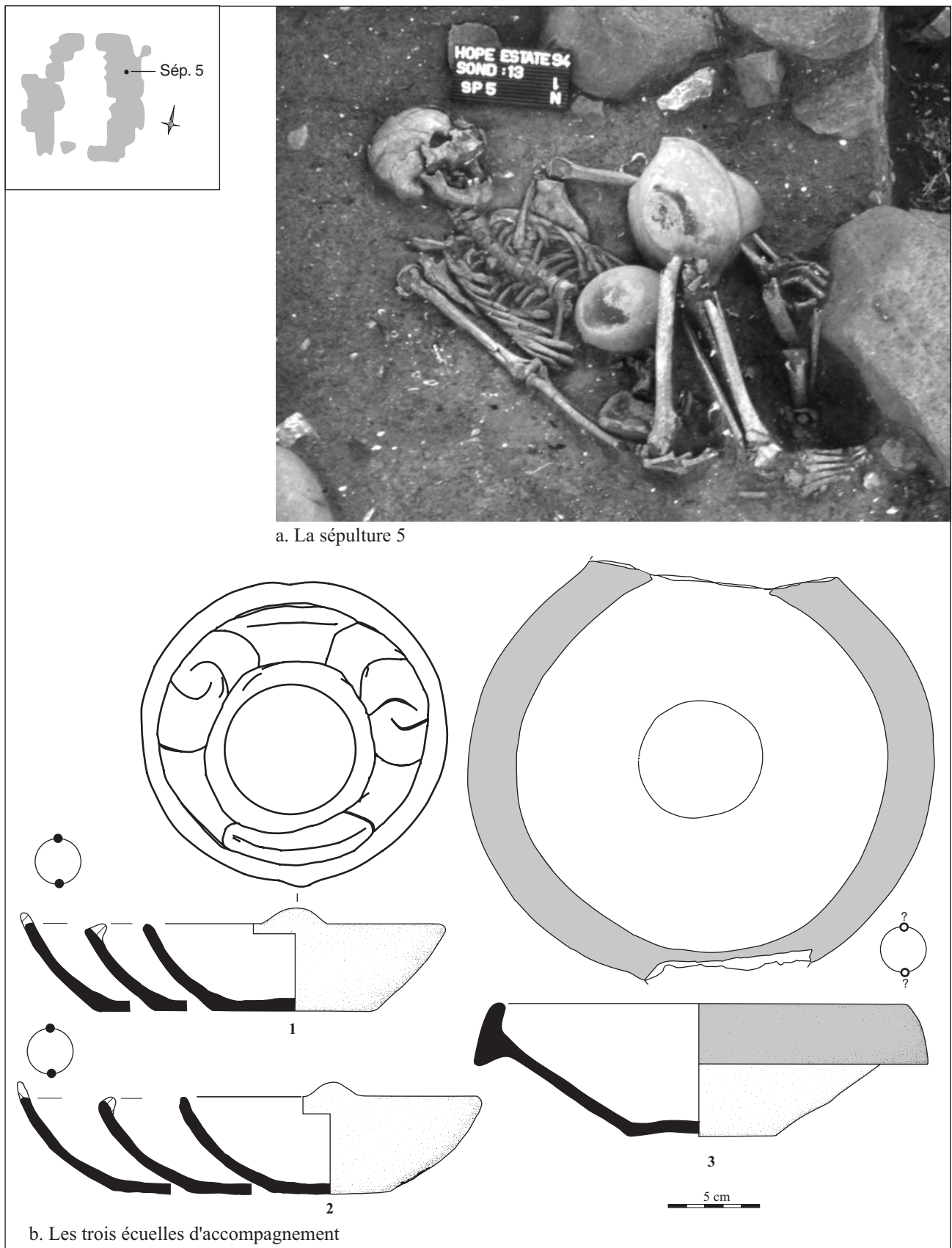


Figure 211 : Hope Estate, sondage 13 du dépotoir 3, la sépulture 5 et son mobilier funéraire (A. Richier, D. Bonnissent).

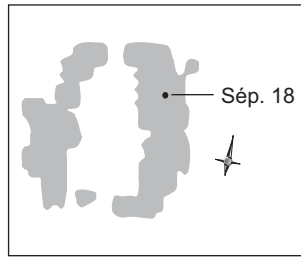


Figure 212 : Hope Estate, sondage 37 du dépotoir 3, la sépulture 18 (I. Dechanez).

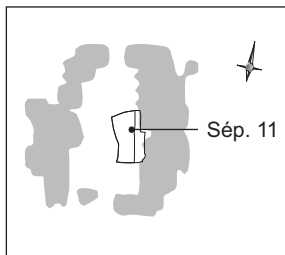


Figure 213 : Hope Estate, la sépulture 11 du décapage 30 (D. Bonnissent).

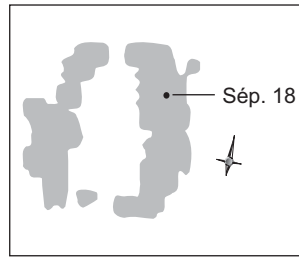


Figure 214 : Hope Estate, sondage 33 du dépotoir 13, sépulture 13 (I. Dechanez).

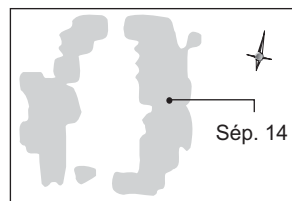


Figure 215 : Hope Estate, sondage 34 du dépotoir 4, la sépulture 14 (I. Dechanez, V. Boulfroy).



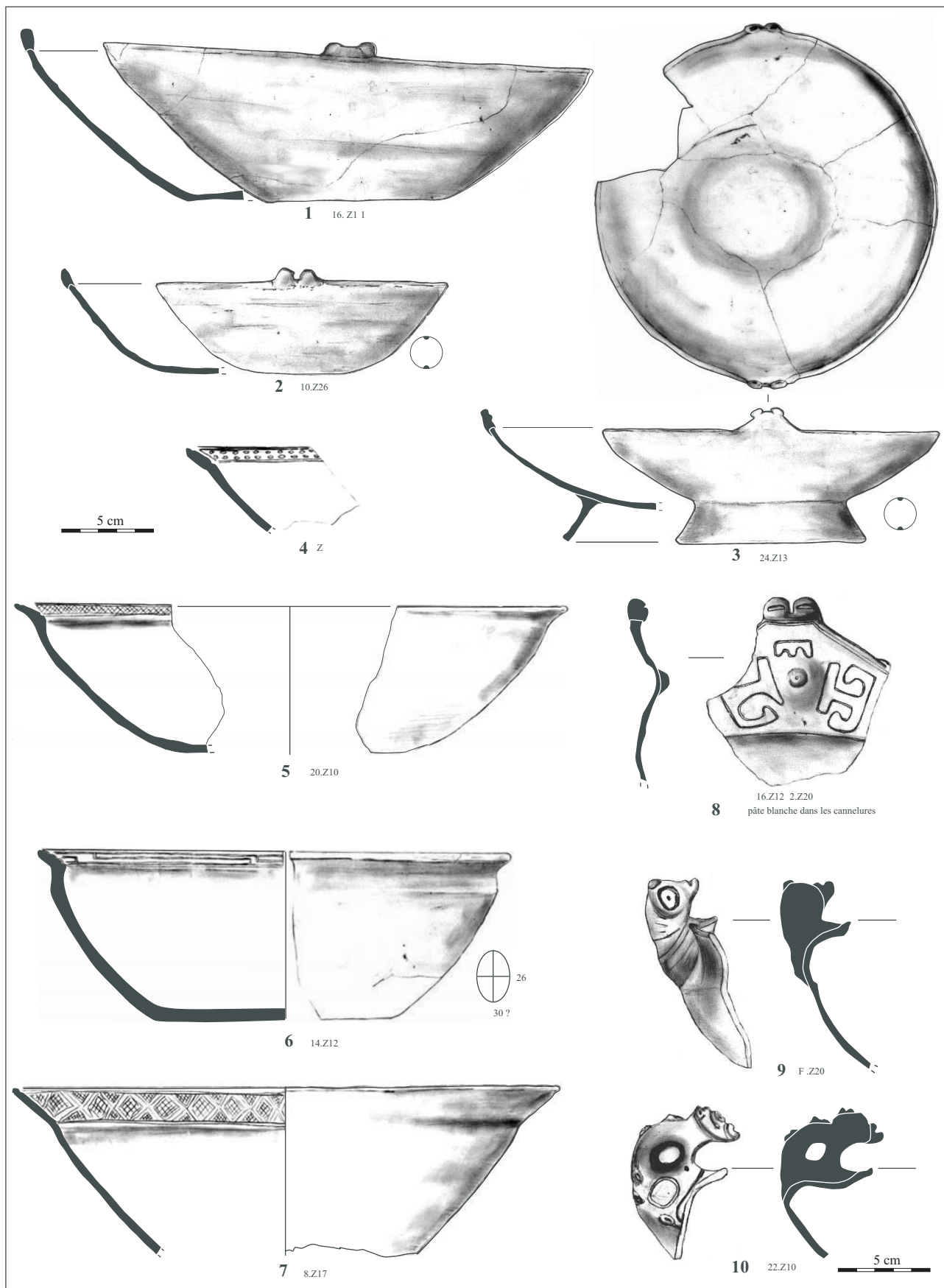


Figure 216 : Productions céramiques de La Hueca, bloc Z, écuelles et jattes (D. Bonnissent).



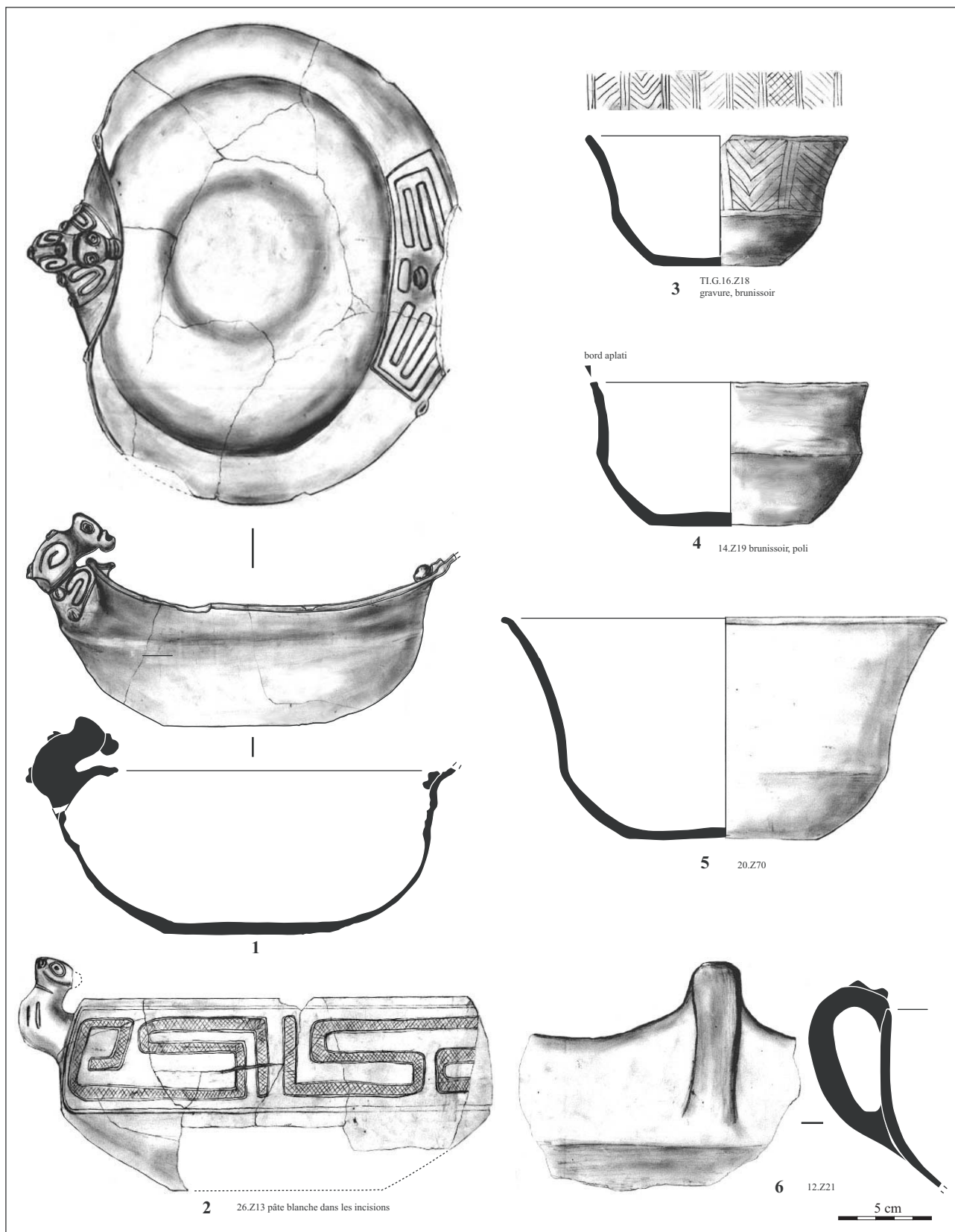


Figure 217 : Productions céramiques de La Hueca, bloc Z, écuelles, bols et jattes (D. Bonnissent).

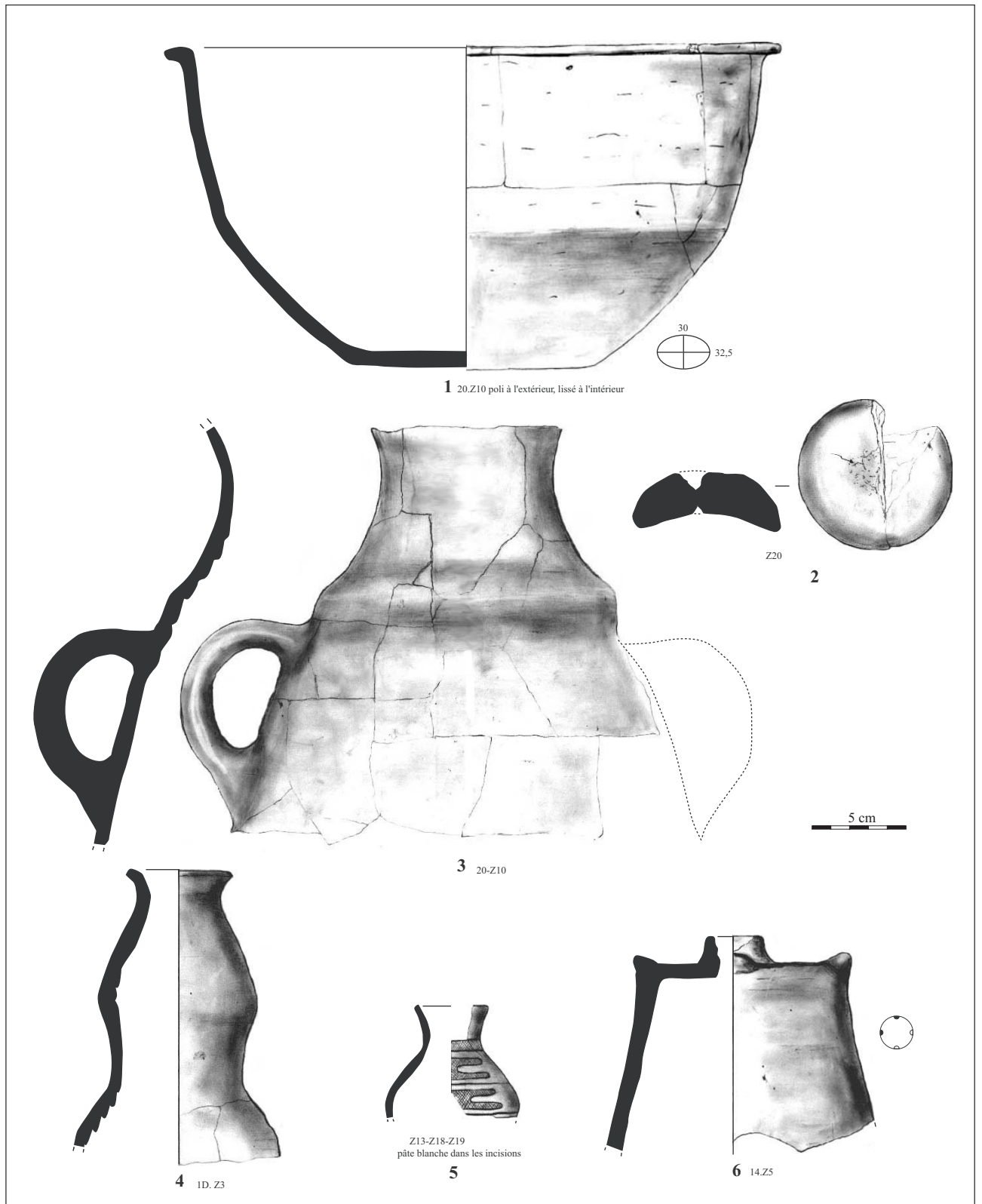


Figure 218 : Productions céramiques de La Hueca, Bloc Z, jatte, bouchon de bouteille ou cale de récipient, bouteilles et fumigateur (D. Bonnissent).

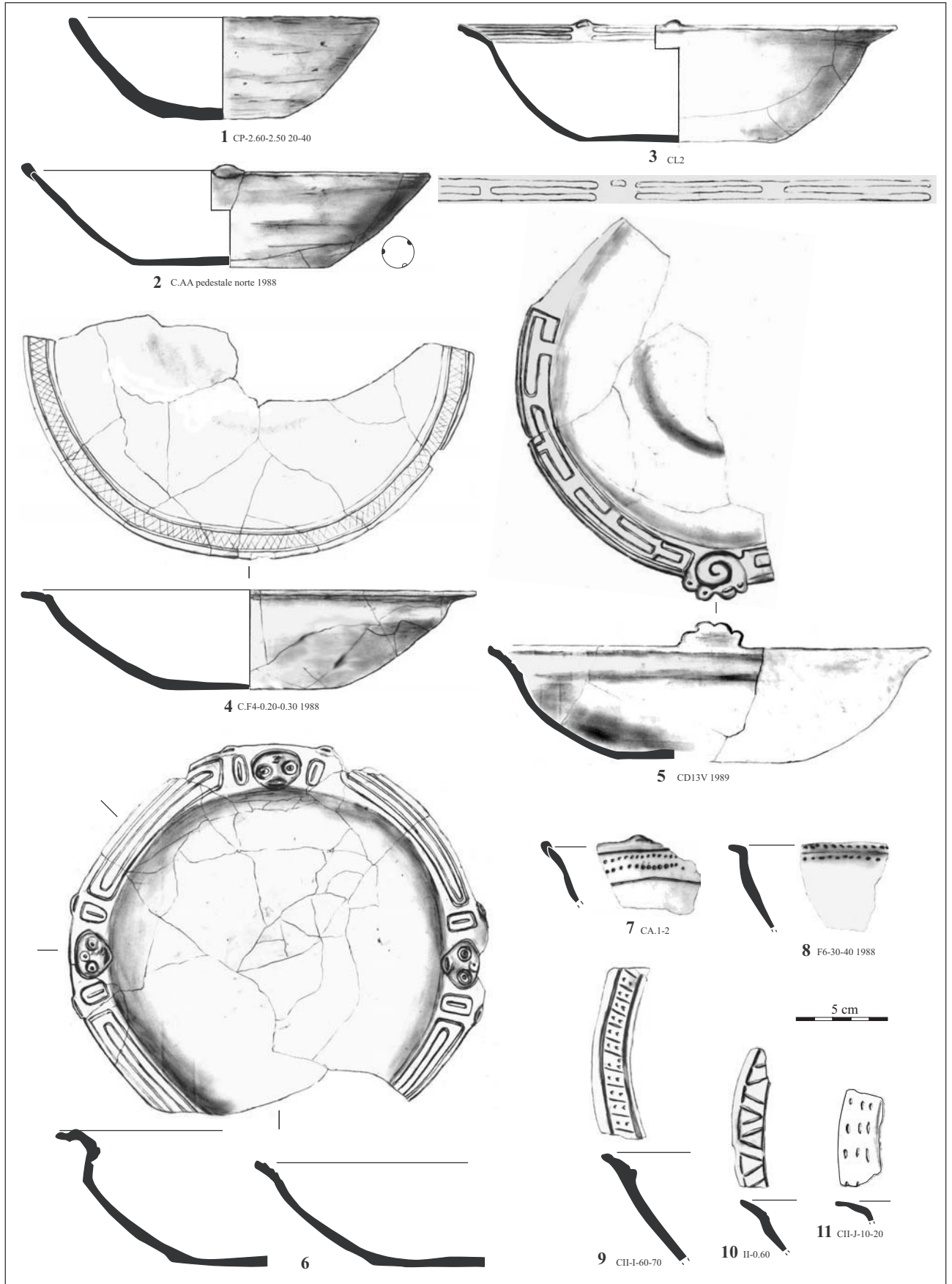


Figure 219 : Productions céramiques de Punta Canelero, écuelles (D. Bonnissent).

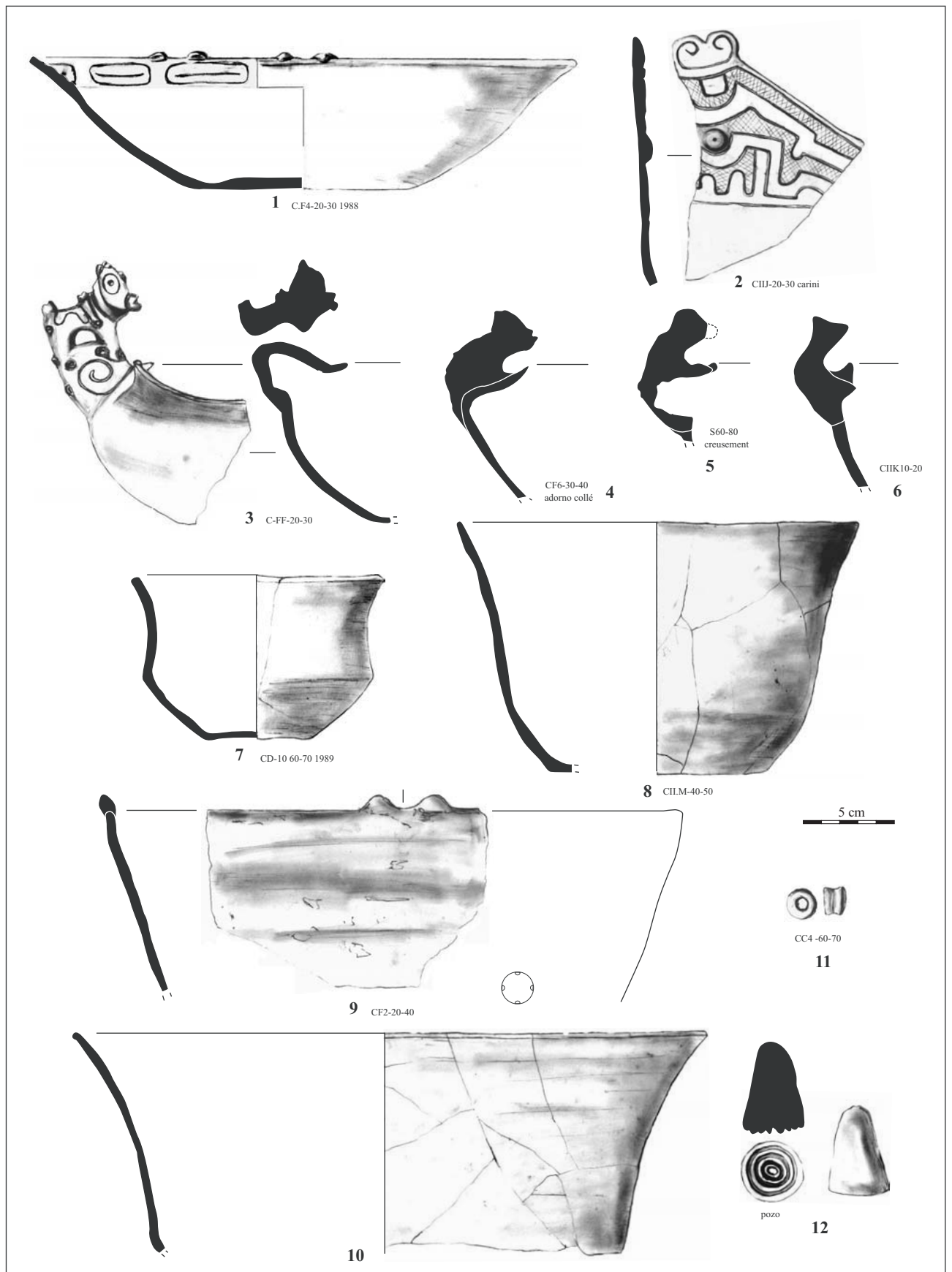


Figure 220 : Productions céramiques de Punta Canelero, écuelles, bols et jattes (D. Bonnissent).



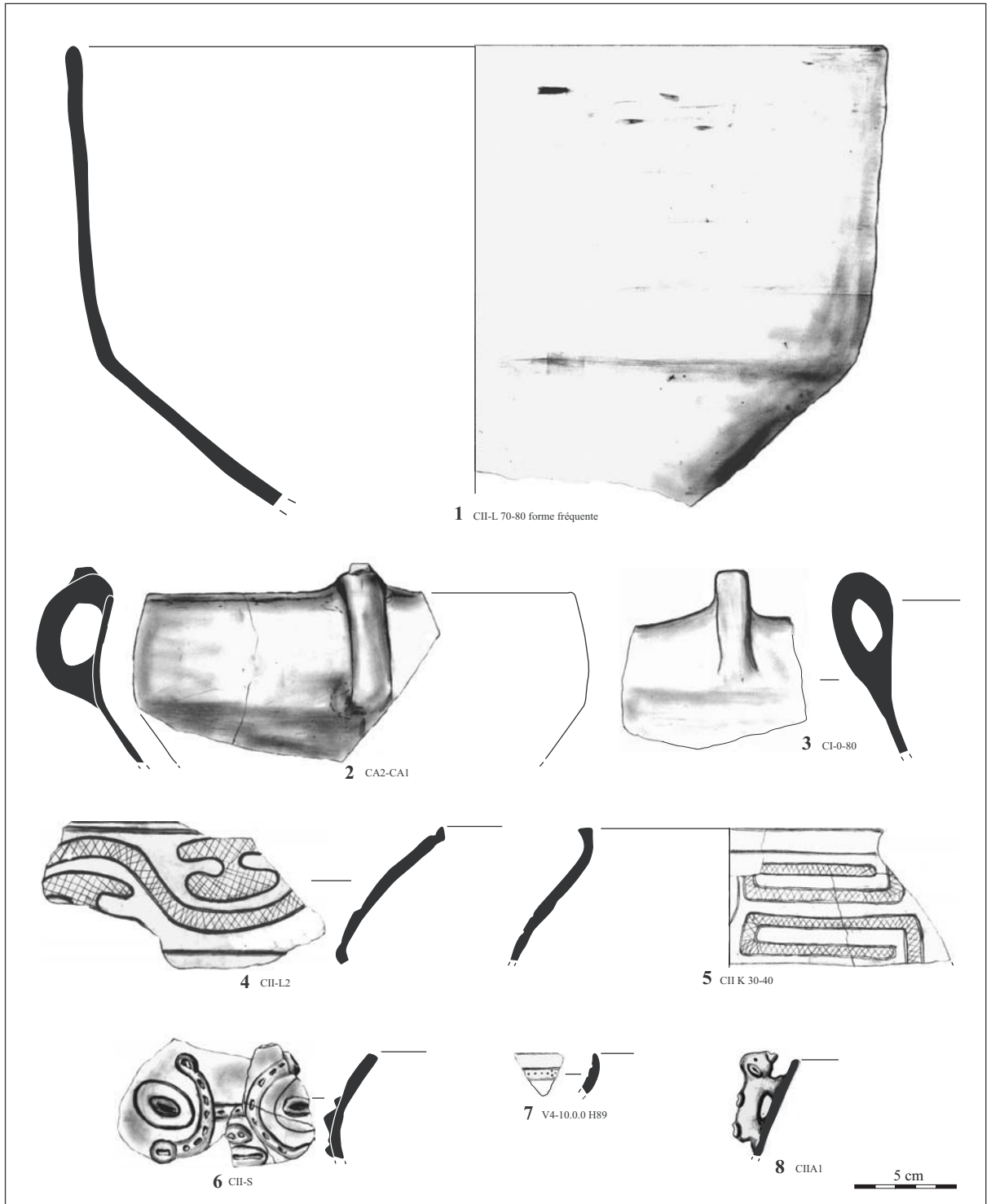


Figure 221 : Productions céramiques de Punta Canelero, jattes et pots (D. Bonnissent).

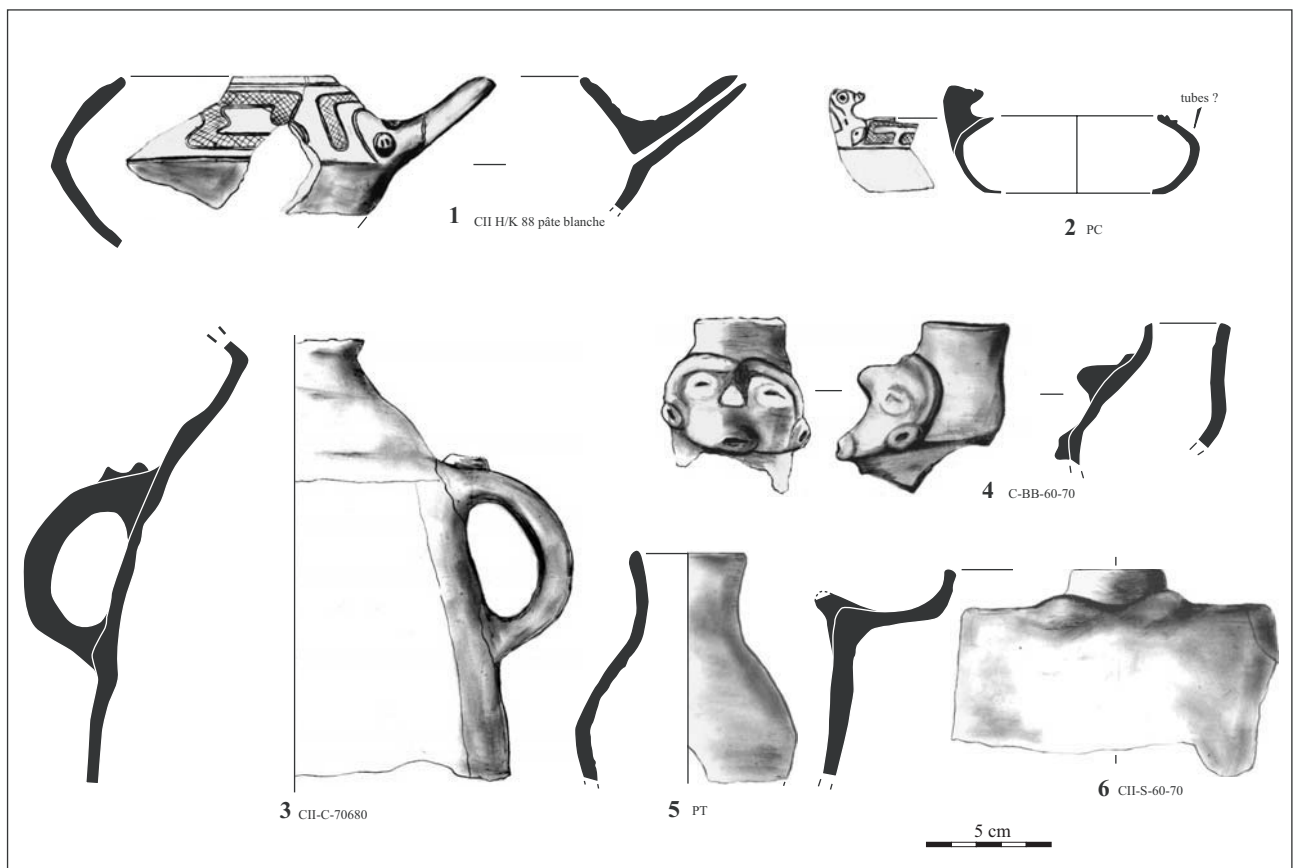


Figure 222 : Productions céramiques de Punta Canelero, inhalateurs, bouteilles et fumigateur (D. Bonnissent).

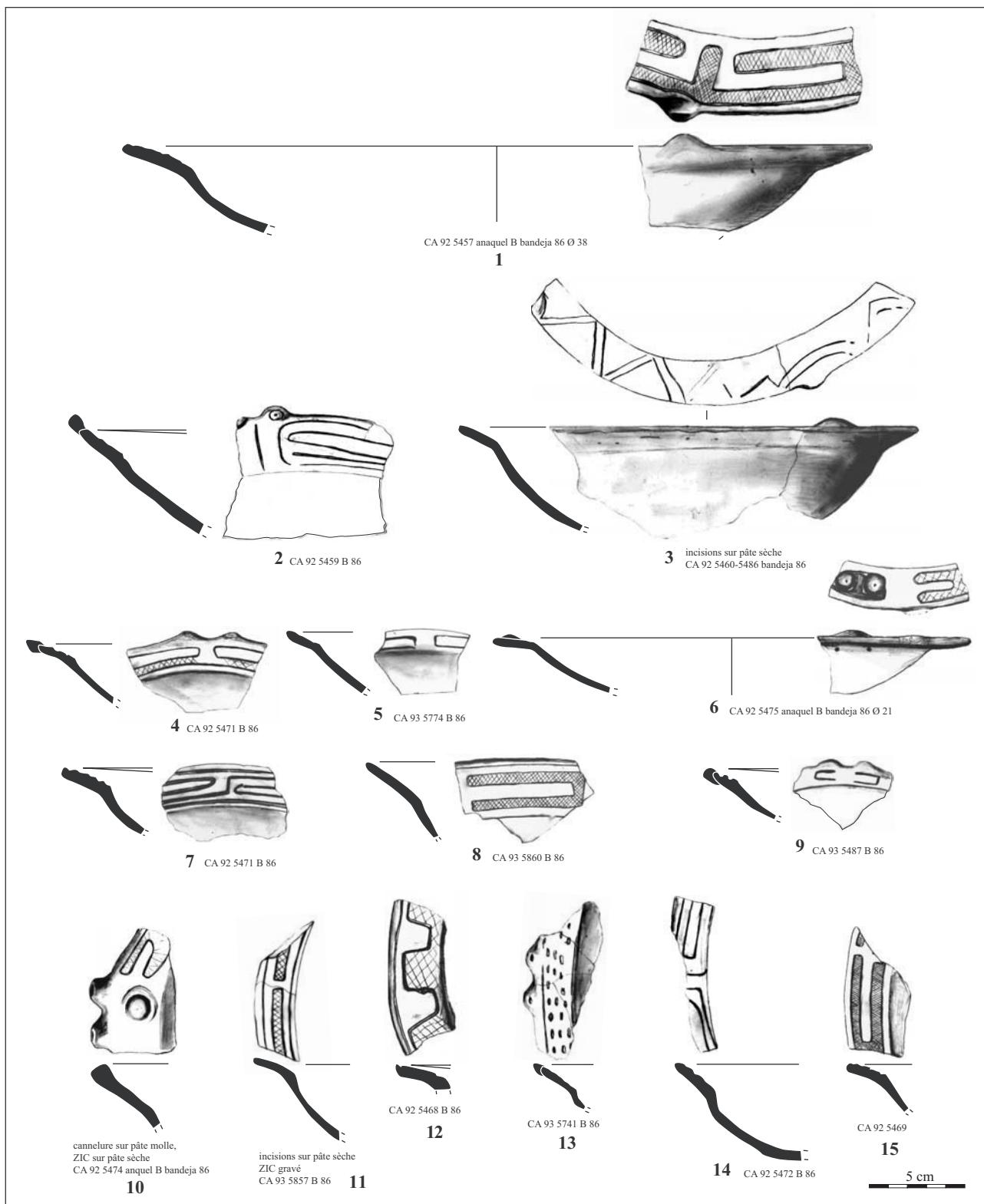


Figure 223 : Productions céramiques de El Convento, écuelles et jattes (D. Bonnissent).

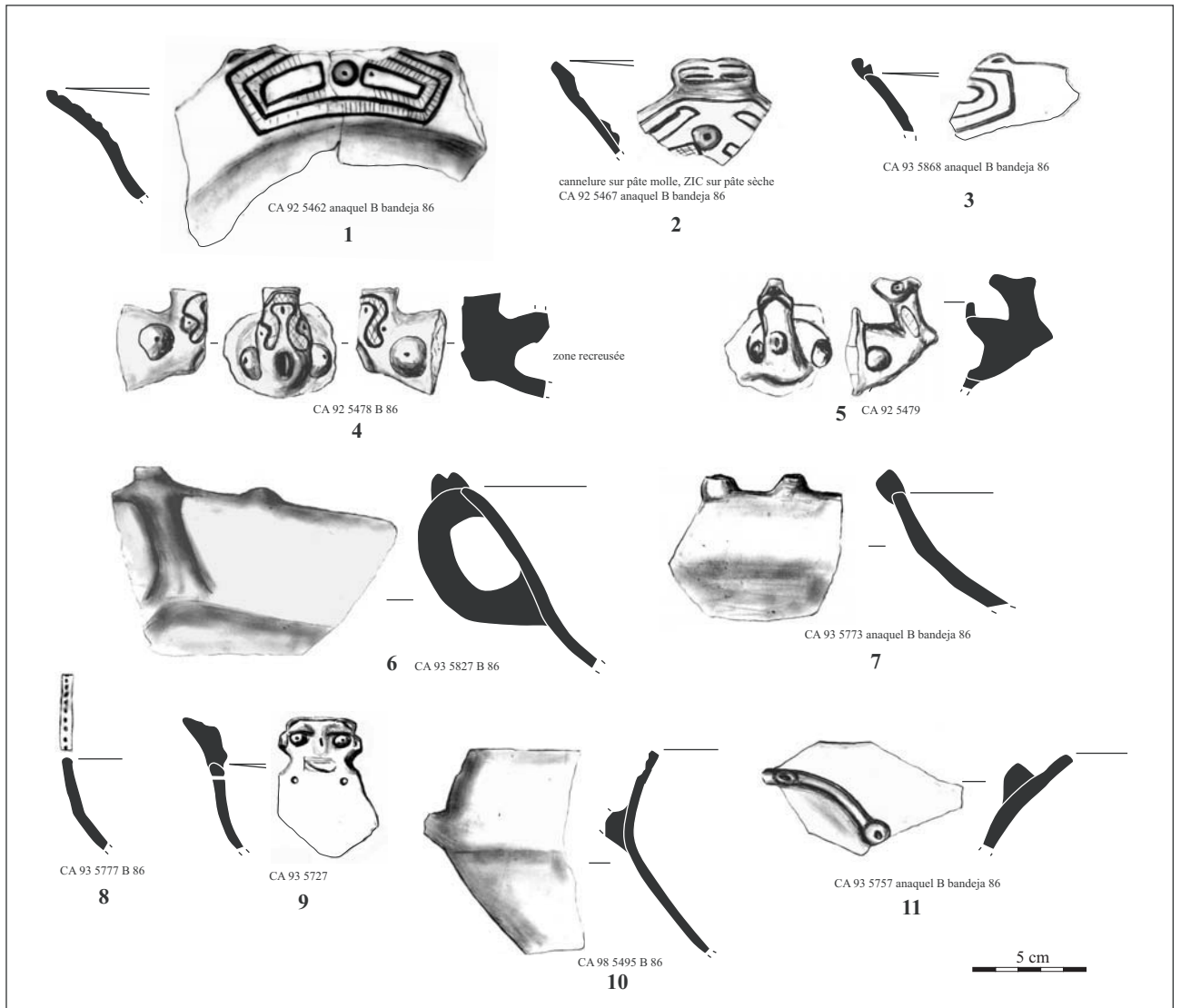


Figure 224 : Productions céramiques de El Convento, écuelles, jattes et pots (D. Bonnissent).



	S20 g	S20 NR	S20 g/NR	S22 g	S22 NR	S22 g/NR	S23 g	S23 NR	S23 g/NR	S24 g	S24 NR	S24 g/NR
US A				30	13	2,3	5074	781	6,5	112	23	4,9
US B	880	181	4,9	15155	1412	10,7	4696	421	11,2	3021	550	5,5
US C	4010	465	8,6	4915	475	10,3	4025	289	13,9	5620	566	9,9
US D	12676	880	14,4	1015	145	7,0	225	26	8,7	389	60	6,5
US E	7236	779	9,3	38	6	6,3						
US F	347	40	8,7									
US G	19	3	6,3									
US H												
Total	25168	2348	10,7	21153	2051	10,3	14020	1517	9,2	9142	1199	7,6

Tableau 13 : Hope Estate, poids moyen par tesson en g par unité stratigraphique des sondages 20, 22, 23, 24 (D. Bonnisent).

	S25 g	S25 NR	S25 g/NR	S26 g	S26 NR	S26 g/NR	S27 g	S27 NR	S27 g/NR	S28 g	S28 NR	S28 g/NR
US A	2104	526	4,0	2068	485	4,3	4821	824	5,9	2799	580	4,8
US B	5611	800	7,0	6965	882	7,9	4035	265	15,2	3907	502	7,8
US C	26396	1605	16,4	7143	894	8,0	5421	785	6,9	1755	223	7,9
US D	2000	197	10,2	8761	477	18,4	3516	267	13,2	4024	402	10,0
US E	2490	262	9,5	97	8	12,1	4545	411	11,1	9428	505	18,7
US F							1591	166	9,6	4480	475	9,4
US G										16	2	8,0
US H							9	1	9,0			
Total	38601	3390	11,4	25034	2746	9,1	23938	2719	8,8	26409	2689	9,8

Tableau 14 : Hope Estate, poids moyen par tesson en g par unité stratigraphique des sondages 25, 26, 27, 28 (D. Bonnisent).

	S29 g	S29 NR	S29 g/NR	S31 g	S31 NR	S31 g/NR	S32 g	S32 NR	S32 g/NR	S33 g	S33 NR	S33 g/NR
US A	843	197	4,3	281	109	2,6				1541	341	4,5
US B	8710	1663	5,2	3885	712	5,5	1556	338	4,6	4509	491	9,2
US C	1306	243	5,4	2376	315	7,5	4606	638	7,2	3199	543	5,9
US D	1805	278	6,5	6477	731	8,9	654	81	8,1	2134	194	11,0
US E	3299	354	9,3	3688	360	10,2	814	67	12,1	126	19	6,6
US F	5469	524	10,4	933	131	7,1	4045	2841	1,4	19307	1363	14,2
US G	1618	129	12,5							16716	1142	14,6
US H	6002	439	13,7	639	101	6,3				3014	404	7,5
US I	136	19	7,2	339	28	12,1				1553	323	4,8
US J										1462	197	7,4
Total	29188	3846	7,6	18618	2487	7,5	11675	3965	2,9	53561	5017	10,7

Tableau 15 : Hope Estate, poids moyen par tesson en g par unité stratigraphique des sondages 29, 31, 32, 33 (D. Bonnisent).

	S34 g	S34 NR	S34 NR/g	S35 g	S35 NR	S35 g/NR	S36 g	S36 NR	S36 g/NR	S37 g	S37 NR	S37 g/NR
US A	746	190	3,9	332	69	4,8	716	199	3,6	2028	93	21,8
US B	7603	1014	7,5	2179	349	6,2	2073	451	4,6	2509	309	8,1
US C	4404	345	12,8	2314	214	10,8	2213	187	11,8	12	1	12,0
US D	1060	136	7,8	2239	191	11,7	369	44	8,4	3055	156	19,6
US E	1979	269	7,4	6594	473	13,9	1484	89	16,7	657	80	8,2
US F	1744	168	10,4	1710	142	12,0	3908	349	11,2	2358	234	10,1
US G	21	3	7,0	1441	81	17,8	340	46	7,4	2435	275	8,9
US H	103	8	12,9							2564	265	9,7
US I	945	87	10,9							3247	279	11,6
US J										2668	234	11,4
US K										343	84	4,1
US L										234	49	4,8
US M										868	79	11,0
Total	18605	2220	8,4	16809	1519	11,1	11103	1365	8,1	22978	2138	10,7

Tableau 16 : Hope Estate, poids moyen par tesson en g par unité stratigraphique des sondages 34, 35, 36, 37 (D. Bonnissent).

US	g	NR	g/NR
3038	933	56	16,7
3039	243	20	12,2
3086	3435	184	18,7
3090	519	76	6,8
30155	2675	121	22,1
total	7805	457	17,1

Tableau 17 : Hope Estate, poids moyen par tesson en g des dépôts intentionnels de céramique (D. Bonnissent).

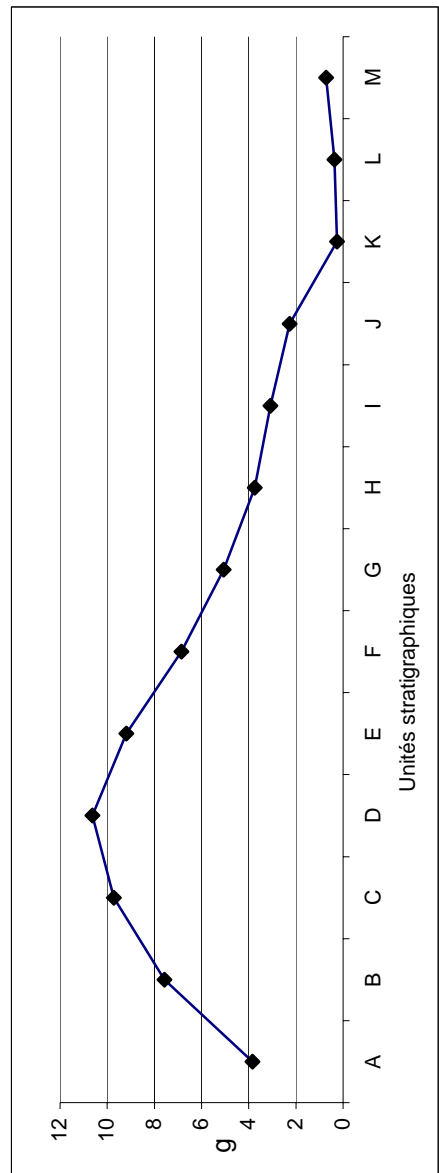


Figure 225 : Hope Estate, moyenne, par unité stratigraphique, des poids moyens par tesson de chaque sondage (D. Bonnissent).

	S20 NR ND %	S20 NR D %	S22 NR ND %	S22 NR D %	S23 NR ND %	S23 NR D %	S24 NR ND %	S24 NR D %	S24 NR D %
US A			13 0,6	0	731 48,2	50 3,3	23 1,92		0
US B	170 7,24	11 0,5	1269 62	143 7,0	387 25,5	34 2,2	525 43,8		25 2,09
US C	437 18,6	28 1,2	433 21	42 2,0	258 17,0	31 2	523 43,6		43 3,59
US D	772 32,9	108 4,6	133 6,5	12 0,6	23 1,5	3 0,2	55 4,59		5 0,42
US E	702 29,9	77 3,3	6 0,3	0 0,0					
US F	33 1,41	7 0,3							
US G	3 0,13	0 0							
US H									
Total	2117 90,2	231 9,8	1854 90,4	197 9,6	1399 92,2	118 7,8	1126 93,9		73 6,09

Tableau 18 : Hope Estate, répartition des restes décorés et non décorés par unité stratigraphique pour les sondages 20, 22, 23, 24 (D. Bonnissent).

	S25 NR ND %	S25 NR D %	S26 NR ND %	S26 NR D %	S27 NR ND %	S27 NR D %	S28 NR ND %	S28 NR D %
US A	497 14,7	29 0,9	465 3,5	20 0,7	762 28,0	62 2,3	552 20,5	28 1,04
US B	725 21,4	75 2,2	833 6,1	49 1,8	236 8,7	29 1,1	451 16,8	51 1,9
US C	1412 41,7	193 5,7	839 6,0	55 2,0	719 26,4	66 2,4	201 7,5	22 0,82
US D	180 5,31	17 0,5	453 17,5	24 0,9	223 8,2	44 1,6	352 13,1	50 1,86
US E	240 7,08	22 0,6	8 12,1		341 12,5	70 2,6	426 15,8	79 2,94
US F					155 5,7	11 0,4	441 16,4	34 1,26
US G							2 0,1	0
US H								
Total	3054 90,1	336 9,9	2598 94,6	148 5,4	2436 89,6	282 10,4	2425 90,2	264 9,82

Tableau 19 : Hope Estate, répartition des restes décorés et non décorés par unité stratigraphique pour les sondages 25, 26, 27, 28 (D. Bonnissent).

	S29 NR ND %	S29 NR D %	S31 NR ND %	S31 NR D %	S32 NR ND %	S32 NR D %	S33 NR ND %	S33 NR D %
US A	187 4,86	10 0,3	100 4,0	9 0,4			319 6,4	22 0,4
US B	1532 39,8	131 3,4	638 25,7	74 3,0	323 8,1	15 0,4	414 8,3	77 1,5
US C	214 5,56	29 0,8	285 11,5	30 1,2	605 15,3	33 0,8	492 9,8	51 1,0
US D	236 6,14	42 1,1	651 26,2	80 3,2	72 1,8	9 0,2	161 3,2	33 0,7
US E	458 11,9	66 1,7	115 4,6	16 0,6	2807 70,8	34 0,9	12 0,2	7 0,1
US F	325 8,45	29 0,8	305 12,3	55 2,2	64 1,6	3 0,1	1085 21,6	278 5,5
US G	99 2,57	30 0,8	0 0,0	0 0,0			941 18,8	201 4,0
US H	397 10,3	42 1,1	93 3,7	8 0,3			367 7,3	37 0,7
US I	19 0,49	0 0	23 0,9	5 0,2			303 6,0	20 0,4
US J							183 3,6	14 0,3
Total	3467 90,1	379 9,9	2210 88,9	277 11,1	3871 97,6	94 2,4	4277 85,3	740 14,7

Tableau 20 : Hope Estate, répartition des restes décorés et non décorés par unité stratigraphique pour les sondages 29, 31, 33, 33 (D. Bonnissent).

	S34 NR ND	%	S34 NR D	%	S35 NR ND	%	S35 NR D	%	S36 NR ND	%	S36 NR D	%	S37 NR ND	%	S37 NR D	%
US A	182	8,2	8	0,4	58	3,8	11	0,7	195	14,3	4	0,3	73	3,4	20	0,9
US B	923	41,6	91	4,1	331	21,8	18	1,2	431	31,6	20	1,5	286	13,4	23	1,1
US C	296	13,3	49	2,2	190	12,5	24	1,6	167	12,2	20	1,5	1	0,0	0	0,0
US D	120	5,4	16	0,7	184	12,1	7	0,5	43	3,2	1	0,1	140	6,5	16	0,7
US E	253	11,4	16	0,7	452	29,8	21	1,4	80	5,9	9	0,7	70	3,3	10	0,5
US F	155	7,0	13	0,6	136	9,0	6	0,4	332	24,3	17	1,2	203	9,5	31	1,4
US G	3	0,1	0	0	76	5,0	5	0,3	45	3,3	1	0,1	249	11,6	26	1,2
US H	7	0,3	1	0									222	10,4	43	2,0
US I	75	3,4	12	0,5									251	11,7	28	1,3
US J													211	9,9	23	1,1
US K													70	3,3	14	0,7
US L													46	2,2	3	0,1
US M													79	3,7	0	0,0
Total	2014	90,7	206	9,3	1427	93,9	92	6,1	1293	94,7	72	5,3	1901	88,9	237	11,1

Tableau 21 : Hope Estate, répartition des restes décorés et non décorés par unité stratigraphique pour les sondages 34, 35, 36, 37 (D. Bonnissent).



	SONDAGES																																				
	20	22	23	24	25	26	27	28	29	31	32	33	34	35	36	37	Total																				
% des modes décoratifs	2,35	3,09	1,64	1,29	5,72	2,33	5,09	4,33	7,66	5,50	1,48	10,84	2,87	1,12	0,71	3,23	59,3																				
coloration	0,57	0,79	0,52	0,16	0,82	0,36	0,44	0,71	0,88	0,77	0,41	2,08	0,49	0,25	0,14	0,36	9,7																				
incision	0,63	0,66	0,11	0,08	1,15	0,19	1,04	0,93	0,77	0,88	0,41	3,42	1,26	0,22	0,27	0,41	12,4																				
coloration/incision	0,41	0,19	0,16	0,00	0,05	0,22	0,33	0,55	0,38	0,00	0,00	0,68	0,05	0,03	0,00	0,05	3,1																				
WOR	0,30	0,11	0,08	0,08	0,16	0,16	0,14	0,11	0,00	0,08	0,05	0,14	0,11	0,11	0,33	0,38	2,4																				
ZIC	0,11	0,05	0,03	0,00	0,05	0,16	0,11	0,03	0,11	0,03	0,00	0,08	0,11	0,19	0,03	0,14	1,3																				
cannelure/punctuation	0,90	0,19	0,22	0,14	0,38	0,14	0,16	0,19	0,19	0,08	0,00	0,30	0,08	0,44	0,38	0,25	3,9																				
cannelure	0,05	0,00	0,00	0,00	0,03	0,00	0,00	0,00	0,00	0,00	0,00	0,00	0,00	0,00	0,00	0,00	0,1																				
WAR	0,44	0,22	0,16	0,14	0,44	0,38	0,11	0,08	0,05	0,03	0,03	0,52	0,11	0,16	0,00	0,33	3,2																				
modelage	0,08	0,00	0,00	0,00	0,00	0,05	0,05	0,19	0,08	0,11	0,03	0,27	0,03	0,00	0,00	0,00	0,9																				
modelage/incision	0,11	0,03	0,03	0,00	0,11	0,00	0,19	0,11	0,16	0,05	0,03	0,55	0,14	0,00	0,00	0,00	1,5																				
modelage/coloration/incision	0,05	0,05	0,08	0,00	0,19	0,03	0,03	0,00	0,08	0,00	0,03	0,47	0,00	0,00	0,03	0,00	1,0																				
modelage/coloration	0,30	0,00	0,03	0,03	0,08	0,03	0,03	0,00	0,00	0,05	0,11	0,00	0,03	0,00	0,08	0,05	0,8																				
modelage/cannelure	6,32	5,4	3,2	2,0	9,2	4,1	7,7	7,2	10,4	7,6	2,6	19,4	5,3	2,5	2,0	5,2	100																				
Total																																					

Tableau 22 : Hope Estate, fréquence des restes décorés par modes et par sondages, échantillon : 3653 restes (D. Bonnissent).

	B		C		D		E		F		G		Total				
	NR	%	NR	%	NR	%	NR	%	NR	%	NR	%	NR	%			
modes décoratifs	6	2,6	11	4,8	45	19,5	22	9,5	2	0,9	2	0,9	0	0	86	37,2	
coloration	3	1,3	2	0,9	14	6,1	2	0,9	0	0,0	0	0,0	0	0	21	9,1	
incision	2	0,9	5	2,2	13	5,6	3	1,3	0	0,0	0	0,0	0	0	23	10,0	
coloration/incision	0	0,0	0	0,0	6	2,6	9	3,9	0	0,0	0	0,0	0	0	15	6,5	
WOR	0	0,0	2	0,9	3	1,3	6	2,6	0	0,0	0	0,0	0	0	11	4,8	
ZIC	0	0,0	0	0,0	4	1,7	0	0,0	0	0,0	0	0,0	0	0	4	1,7	
cannelure/punctuation	0	0,0	0	0,0	9	3,9	21	9,1	3	1,3	0	0,0	0	0	33	14,3	
cannelure	0	0,0	0	0,0	2	0,9	0	0,0	0	0,0	0	0,0	0	0	2	0,9	
WAR	0	0,0	4	1,7	5	2,2	6	2,6	1	0,4	0	0,0	0	0	16	6,9	
modelage	0	0,0	2	0,9	1	0,4	0	0,0	0	0,0	0	0,0	0	0	3	1,3	
modelage/incision	0	0,0	1	0,4	2	0,9	1	0,4	0	0,0	0	0,0	0	0	4	1,7	
modelage/coloration/incision	0	0,0	0	0,0	1	0,4	1	0,4	0	0,0	0	0,0	0	0	2	0,9	
modelage/coloration	0	0,0	1	0,4	3	1,3	6	2,6	1	0,4	0	0,0	0	0	11	4,8	
modelage/cannelure	11	4,8	28	12,1	108	46,8	77	33,3	7	3,0	0	0	0	0	231	100	
Total																	

Tableau 23 : Hope Estate, distribution des restes décorés par unité stratigraphique dans le sondage 20 (D. Bonnissent).

	A		B		C		D		E		Total	
	NR	%	NR	%	NR	%	NR	%	NR	%	NR	%
modes décoratifs	0	0	94	47,7	13	6,6	6	3,0	0	0	113	57,4
coloration	0	0	19	9,6	9	4,6	1	0,5	0	0	29	14,7
incision	0	0	15	7,6	7	3,6	2	1,0	0	0	24	12,2
coloration/incision	0	0	5	2,5	2	1,0	0	0,0	0	0	7	3,6
WOR	0	0	1	0,5	1	0,5	2	1,0	0	0	4	2
ZIC	0	0	1	0,5	0	0,0	1	0,5	0	0	2	1
cannelure/punctuation	0	0	1	0,5	6	3,0	0	0,0	0	0	7	3,6
cannelure	0	0	0	0,0	0	0,0	0	0,0	0	0	0	0
WAR	0	0	6	3,0	2	1,0	0	0,0	0	0	8	4,1
modelage	0	0	0	0,0	0	0,0	0	0,0	0	0	0	0
modelage/incision	0	0	1	0,5	0	0,0	0	0,0	0	0	1	0,5
modelage/coloration/incision	0	0	0	0,0	2	1,0	0	0,0	0	0	2	1,0
modelage/coloration	0	0	0	0,0	0	0,0	0	0,0	0	0	0	0
modelage/cannelure	0	0	0	0,0	0	0,0	0	0,0	0	0	0	0
Total	0	0	143	72,6	42	21,3	12	6,1	0	0	197	100

Tableau 24 : Hope Estate, distribution des restes décorés par unité stratigraphique dans le sondage 22 (D. Bonnissent).

	A		B		C		D		E		Total	
	NR	%	NR	%	NR	%	NR	%	NR	%	NR	%
modes décoratifs	24	20,3	19	16,1	15	12,7	2	1,69	60	50,8	118	100
coloration	11	9,32	3	2,54	5	4,24	0	0	19	16,1	37	31,4
incision	3	2,54	1	0,85	0	0	0	0	4	3,4	8	6,8
coloration/incision	1	0,85	2	1,69	3	2,54	0	0	6	5,1	11	9,32
WOR	2	1,69	0	0	1	0,85	0	0	3	2,5	6	5,1
ZIC	0	0	1	0,85	0	0	0	0	1	0,8	2	1,69
cannelure/punctuation	4	3,39	6	5,08	3	2,54	0	0	8	6,8	17	14,4
cannelure	0	0	0	0	0	0	0	0	0	0,0	0	0
WAR	4	3,39	1	0,85	1	0,85	0	0	6	5,1	11	9,32
modelage	0	0	0	0	0	0	0	0	0	0,0	0	0
modelage/incision	0	0	1	0,85	0	0	0	0	1	0,8	2	1,69
modelage/coloration/incision	1	0,85	0	0	2	1,69	0	0	3	2,5	6	5,1
modelage/coloration	0	0	0	0	1	0,85	0	0	1	0,8	2	1,69
modelage/cannelure	0	0	0	0	0	0	0	0	0	0,0	0	0
Total	50	42,4	34	28,8	31	26,3	3	2,54	118	100	236	200

Tableau 25 : Hope Estate, distribution des restes décorés par unité stratigraphique dans le sondage 23 (D. Bonnissent).

	A		B		C		D		Total	
	NR	%	NR	%	NR	%	NR	%	NR	%
modes décoratifs										
coloration	0	0	19	26	25	34,2	3	4,11	47	64,4
incision	0	0		0	4	5,48	2	2,74	6	8,22
coloration/incision	0	0	1	1,37	2	2,74		0	3	4,11
WOR	0	0		0		0		0	0	0
ZIC	0	0	1	1,37	2	2,74		0	3	4,11
cannelure/punctuation	0	0		0		0		0	0	0
cannelure	0	0	3	4,11	5	6,85		0	5	6,85
WAR	0	0		0		0		0	0	0
modelage	0	0	1	1,37	4	5,48		0	5	6,85
modelage/incision	0	0		0		0		0	0	0
modelage/coloration/incision	0	0		0		0		0	0	0
modelage/coloration	0	0		0		0		0	0	0
modelage/cannelure		0		0	1	1,37		0	1	1,37
Total	0	0	25	34,2	43	58,9	5	6,85	73	100

Tableau 26 : Hope Estate, distribution des restes décorés par unité stratigraphique dans le sondage 24 (D. Bonnissent).

	A		B		C		D		E		Total	
	NR	%	NR	%	NR	%	NR	%	NR	%	NR	%
modes décoratifs												
coloration	17	5,06	49	14,6	127	37,8	8	2,38	8	2,38	209	62,2
incision	1	0,3	7	2,08	17	5,06	2	0,6	3	0,89	30	8,9
coloration/incision	6	1,79	5	1,49	26	7,74	3	0,89	2	0,6	42	12,5
WOR		0		0	2	0,6		0		0	2	0,595
ZIC		0		0	4	1,19		0		2	0,6	1,8
cannelure/punctuation		0		0	1	0,3	1	0,3		0	2	0,595
cannelure	1	0,3	3	0,89	4	1,19	2	0,6	4	1,19	14	4,2
WAR		0	1	0,3		0		0		0	1	0,298
modelage	3	0,89	4	1,19	5	1,49	1	0,3	3	0,89	16	4,8
modelage/incision		0		0		0		0		0	0	0
modelage/coloration/incision		0	1	0,3	3	0,89		0		0	4	1,2
modelage/coloration	1	0,3	3	0,89	3	0,89		0		0	7	2,1
modelage/cannelure		0	2	0,6	1	0,3		0		0	3	0,9
Total	29	8,63	75	22,3	193	57,4	17	5,06	22	6,55	336	100

Tableau 27 : Hope Estate, distribution des restes décorés par unité stratigraphique dans le sondage 25 (D. Bonnissent).

	A		B		C		D		Total	
	NR	%	NR	%	NR	%	NR	%	NR	%
modes décoratifs										
coloration	18	12,2	32	21,6	30	20,3	5	3,4	85	57,4
incision		0,0	5	3,4	5	3,4	3	2,0	13	8,8
coloration/incision		0,0	1	0,7	6	4,1		0,0	7	4,7
WOR	1	0,7	2	1,4	5	3,4		0,0	8	5,4
ZIC		0,0		0,0	4	2,7	2	1,4	6	4,1
cannelure/punctuation		0,0	1	0,7		0,0	5	3,4	6	4,1
cannelure		0,0	2	1,4	2	1,4	1	0,7	5	3,4
WAR		0,0		0,0		0,0		0,0	0	0,0
modelage	1	0,7	5	3,4	3	2,0	5	3,4	14	9,5
modelage/incision		0,0		0,0		0,0	2	1,4	2	1,4
modelage/coloration/incision		0,0		0,0		0,0		0,0	0	0,0
modelage/coloration		0,0	1	0,7		0,0		0,0	1	0,7
modelage/cannelure		0,0		0,0		0,0	1	0,7	1	0,7
Total	20	13,5	49	33,1	55	37,2	24	16,2	148	100

Tableau 28 : Hope Estate, distribution des restes décorés par unité stratigraphique dans le sondage 26 (D. Bonnissent).

	A		B		C		D		E		F		Total	
	NR	%	NR	%	NR	%	NR	%	NR	%	NR	%	NR	%
modes décoratifs														
coloration	55	19,5	20	7,1	40	14,2	23	8,2	45	16,0	3	1,1	186	66,0
incision		0,0	2	0,7	5	1,8	4	1,4	5	1,8		0,0	16	5,7
coloration/incision	3	1,1	3	1,1	11	3,9	9	3,2	11	3,9	1	0,4	38	13,5
WOR	2	0,7	2	0,7	4	1,4	1	0,4	2	0,7	1	0,4	12	4,3
ZIC		0,0		0,0	1	0,4	2	0,7	1	0,4	1	0,4	5	1,8
cannelure/punctuation		0,0	1	0,4		0,0		0,0	2	0,7	1	0,4	4	1,4
cannelure		0,0	1	0,4	2	0,7		0,0	2	0,7	1	0,4	6	2,1
WAR		0,0		0,0		0,0		0,0		0,0		0,0	0	0,0
modelage		0,0		0,0	2	0,7		0,0	1	0,4	1	0,4	4	1,4
modelage/incision		0,0		0,0		0,0		0,0		0,0	2	0,7	2	0,7
modelage/coloration/incision	1	0,4		0,0	1	0,4	5	1,8		0,0		0,0	7	2,5
modelage/coloration	1	0,4		0,0		0,0		0,0		0,0		0,0	1	0,4
modelage/cannelure		0,0		0,0		0,0		0,0	1	0,4		0,0	1	0,4
Total	62	22,0	29	10,3	66	23,4	44	15,6	70	24,8	11	3,9	282	100

Tableau 29 : Hope Estate, distribution des restes décorés par unité stratigraphique dans le sondage 27 (D. Bonnissent).



	A		B		C		D		E		F		G		Total	
	NR	%	NR	%	NR	%	NR	%	NR	%	NR	%	NR	%	NR	%
modes décoratifs																
coloration	24	9,1	27	10,2	13	4,9	29	11,0	43	16,3	22	8,3	0	0	158	59,8
incision		0,0	4	1,5	1	0,4	7	2,7	10	3,8	4	1,5	0	0	26	9,8
coloration/incision	3	1,1	8	3,0	3	1,1	6	2,3	14	5,3		0,0	0	0	34	12,9
WOR		0,0	10	3,8		0,0	2	0,8	7	2,7	1	0,4	0	0	20	7,6
ZIC		0,0	1	0,4		0,0	1	0,4	1	0,4	1	0,4	0	0	4	1,5
cannelure/punctuation		0,0		0,0		0,0		0,0		0,0	1	0,4	0	0	1	0,4
cannelure		0,0		0,0	1	0,4	2	0,8		0,0	4	1,5	0	0	7	2,7
WAR		0,0		0,0		0,0		0,0		0,0		0,0	0	0	0	0,0
modelage	1	0,4	1	0,4		0,0		0,0		0,0	1	0,4	0	0	3	1,1
modelage/incision		0,0		0,0	2	0,8	3	1,1	2	0,8		0,0	0	0	7	2,7
modelage/coloration/incision		0,0		0,0	2	0,8		0,0	2	0,8		0,0	0	0	4	1,5
modelage/coloration		0,0		0,0		0,0		0,0		0,0		0,0	0	0	0	0,0
modelage/cannelure		0,0		0,0		0,0		0,0		0,0		0,0	0	0	0	0,0
Total	28	10,6	51	19,3	22	8,3	50	18,9	79	29,9	34	12,9	0	0	264	100

Tableau 30 : Hope Estate, distribution des restes décorés par unité stratigraphique dans le sondage 28 (D. Bonnissent).

	A		B		C		D		E		F		G		H		I		Total	
	NR	%	NR	%	NR	%	NR	%	NR	%	NR	%	NR	%	NR	%	NR	%	NR	%
modes décoratifs																				
coloration	9	2,4	108	28,5	24	6,3	34	9,0	44	11,6	22	5,8	17	4,5	22	5,8	0,0	0,0	280	73,9
incision	1	0,3	9	2,4	1	0,3	1	0,3	1	0,3	2	0,5	9	2,4	8	2,1	0,0	0,0	32	8,4
coloration/incision		0,0	4	1,1	2	0,5	1	0,3	12	3,2	4	1,1	1	0,3	4	1,1	0,0	0,0	28	7,4
WOR		0,0	2	0,5		0,0	4	1,1	5	1,3		0,0		0,0	3	0,8	0,0	0,0	14	3,7
ZIC		0,0		0,0		0,0		0,0		0,0		0,0		0,0		0,0	0,0	0,0	0	0,0
cannelure/punctuation		0,0	3	0,8	1	0,3		0,0		0,0		0,0		0,0		0,0	0,0	0,0	4	1,1
cannelure		0,0	2	0,5		0,0	1	0,3		0,0		0,0	1	0,3	3	0,8	0,0	0,0	7	1,8
WAR		0,0		0,0		0,0		0,0		0,0		0,0		0,0		0,0	0,0	0,0	0	0,0
modelage		0,0		0,0		0,0		0,0	1	0,3	1	0,3		0,0		0,0	0,0	0,0	2	0,5
modelage/incision		0,0	2	0,5		0,0		0,0		0,0		0,0		0,0		0,0	0,0	0,0	3	0,8
modelage/coloration/incision		0,0		0,0	1	0,3	1	0,3	2	0,5		0,0	1	0,3	1	0,3	0,0	0,0	6	1,6
modelage/coloration		0,0	1	0,3		0,0		0,0	1	0,3		0,0	1	0,3		0,0	0,0	0,0	3	0,8
modelage/cannelure		0,0		0,0		0,0		0,0		0,0		0,0		0,0		0,0	0,0	0,0	0	0,0
Total	10	2,6	131	34,6	29	7,7	42	11,1	66	17,4	29	7,7	30	7,9	42	11,1	0	0,0	379	100

Tableau 31 : Hope Estate, distribution des restes décorés par unité stratigraphique dans le sondage 29 (D. Bonnissent).

	A		B		C		D		E		F		G		H		I		Total	
	NR	%	NR	%	NR	%	NR	%	NR	%	NR	%	NR	%	NR	%	NR	%	NR	%
modes décoratifs	8	2,9	61	22,0	13	4,7	64	23,1	13	4,7	38	13,7		0,0	3	1,1	1	0,4	201	72,6
coloration		0,0	6	2,2	4	1,4	3	1,1		0,0	11	4,0		0,0	2	0,7	2	0,7	28	10,1
incision		0,0	4	1,4	9	3,2	9	3,2	2	0,7	5	1,8		0,0	2	0,7	1	0,4	32	11,6
coloration/incision		0,0		0,0		0,0		0,0		0,0		0,0		0,0		0,0		0,0	0	0,0
WOR		0,0	2	0,7	1	0,4		0,0		0,0		0,0		0,0		0,0		0,0	3	1,1
ZIC		0,0		0,0		0,0	1	0,4		0,0		0,0		0,0		0,0		0,0	1	0,4
cannelure/punctuation		0,0		0,0	1	0,4		0,0	1	0,4		0,0		0,0		0,0		0,0	3	1,1
cannelure		0,0		0,0	1	0,4		0,0	1	0,4		0,4		0,0		0,0		0,0	3	1,1
WAR		0,0		0,0		0,0		0,0		0,0		0,0		0,0		0,0		0,0	0	0,0
modelage	1	0,4		0,0		0,0		0,0		0,0		0,0		0,0		0,0		0,0	1	0,4
modelage/incision		0,0	1	0,4	2	0,7	1	0,4		0,0		0,0		0,0		0,0		0,0	4	1,4
modelage/coloration/incision		0,0		0,0		0,0	2	0,7		0,0		0,0		0,0		0,0		0,0	2	0,7
modelage/coloration		0,0		0,0		0,0		0,0		0,0		0,0		0,0		0,0		0,0	0	0,0
modelage/cannelure		0,0		0,0		0,0		0,0		0,0		0,0		0,0		0,4	1	0,4	2	0,7
Total	9	3,2	74	26,7	30	10,8	80	28,9	16	5,8	55	19,9	0	0,0	8	2,9	5	1,8	277	100

Tableau 32 : Hope Estate, distribution des restes décorés par unité stratigraphique dans le sondage 31 (D. Bonnissent).

	B		C		D		E		F		Total	
	NR	%	NR	%	NR	%	NR	%	NR	%	NR	%
modes décoratifs	11	11,7	15	16,0	6	6,4	22	23,4		0,0	54	57,4
coloration	1	1,1	3	3,2		0,0	9	9,6	2	2,1	15	16,0
incision	2	2,1	12	12,8	1	1,1		0,0		0,0	15	16,0
coloration/incision		0,0		0,0		0,0		0,0		0,0	0	0,0
WOR		0,0	1	1,1		0,0	1	1,1		0,0	2	2,1
ZIC		0,0		0,0		0,0		0,0		0,0	0	0,0
cannelure/punctuation		0,0		0,0		0,0		0,0		0,0	0	0,0
cannelure		0,0		0,0		0,0		0,0		0,0	0	0,0
WAR		0,0		0,0		0,0		0,0		0,0	0	0,0
modelage		0,0		0,0		0,0	1	1,1		0,0	1	1,1
modelage/incision		0,0		0,0		0,0		0,0		0,0	1	1,1
modelage/coloration/incision		0,0		0,0	1	1,1		0,0		0,0	1	1,1
modelage/coloration	1	1,1		0,0		0,0		0,0		0,0	1	1,1
modelage/cannelure		0,0	1	1,1	1	1,1	1	1,1	1	1,1	4	4,3
Total	15	16,0	33	35,1	9	9,6	34	36,2	3	3,2	94	100

Tableau 33 : Hope Estate, distribution des restes décorés par unité stratigraphique dans le sondage 32 (D. Bonnissent).

	A		B		C		E		F		G		H		I		J		Total		
	NR	%	NR	%	NR	%	NR	%	NR	%	NR	%	NR	%	NR	%	NR	%	NR	%	
modes décoratifs																					
coloration	12	1,7	35	5,0	31	4,4	4	0,6	147	20,8	136	19,2	15	2,1	12	1,7	4	0,6	396	56,0	
incision	5	0,7	20	2,8	7	1,0	1	0,1	20	2,8	12	1,7	10	1,4		0,0	1	0,1	76	10,7	
coloration/incision	3	0,4	15	2,1	8	1,1		0,0	68	9,6	28	4,0	2	0,3	1	0,1		0,0	125	17,7	
WOR		0,0	2	0,3		0,0		0,0	11	1,6	8	1,1	4	0,6		0,0		0,0	25	3,5	
ZIC		0,0	2	0,3	1	0,1		0,0	1	0,1		0,0		0,0		0,0	1	0,1	5	0,7	
cannelure/punctuation		0,0		0,0		0,0		0,0	1	0,1		0,0	1	0,1		0,0	1	0,1	3	0,4	
cannelure	1	0,1		0,0		0,0	1	0,1	2	0,3	1	0,1		0,0	3	0,4	3	0,4	11	1,6	
WAR		0,0		0,0		0,0		0,0		0,0		0,0				0,0		0,0	0	0,0	
modelage	1	0,1		0,0	3	0,4		0,0	3	0,4	4	0,6	4	0,6	1	0,1	3	0,4	19	2,7	
modelage/incision		0,0		0,0		0,0		0,0	4	0,6	3	0,4		0,0	2	0,3	1	0,1	10	1,4	
modelage/coloration/incision		0,0		0,0	1	0,1	1	0,1	10	1,4	6	0,8	1	0,1	1	0,1		0,0	20	2,8	
modelage/coloration		0,0	3	0,4		0,0		0,0	11	1,6	3	0,4		0,0		0,0		0,0	17	2,4	
modelage/cannelure		0,0		0,0		0,0		0,0		0,0		0,0				0,0		0,0	0	0,0	
Total	22	3,1	77	10,9	51	7,2	7	1,0	278	39,3	201	28,4	37	5,2	20	2,8	14	2,0	707	100	

Tableau 34 : Hope Estate, distribution des restes décorés par unité stratigraphique dans le sondage 33 (D. Bonnissent).

	A		B		C		D		E		F		G		Total	
	NR	%	NR	%	NR	%	NR	%	NR	%	NR	%	NR	%	NR	%
modes décoratifs																
coloration	8	4,1	59	30,6	21	10,9	9	4,7	7	3,6	1	0,5		0,0	105	54,4
incision		0,0	3	1,6	5	2,6	2	1,0	3	1,6	5	2,6		0,0	18	9,3
coloration/incision		0,0	25	13,0	19	9,8	1	0,5	1	0,5		0,0		0,0	46	23,8
WOR		0,0		0,0	1	0,5		0,0		0,0	1	0,5		0,0	2	1,0
ZIC		0,0		0,0		0,0		0,0	2	1,0	2	1,0		0,0	4	2,1
cannelure/punctuation		0,0	1	0,5		0,0	1	0,5		0,0	2	1,0		0,0	4	2,1
cannelure		0,0	1	0,5		0,0		0,0	2	1,0		0,0		0,0	3	1,6
WAR		0,0		0,0		0,0		0,0		0,0		0,0		0,0	0	0,0
modelage		0,0		0,0	2	1,0		0,0		0,0	2	1,0		0,0	4	2,1
modelage/incision		0,0		0,0	1	0,5		0,0		0,0		0,0		0,0	1	0,5
modelage/coloration/incision		0,0	2	1,0		0,0	3	1,6		0,0		0,0		0,0	5	2,6
modelage/coloration		0,0		0,0		0,0		0,0		0,0		0,0		0,0	0	0,0
modelage/cannelure		0,0		0,0		0,0		0,0	1	0,5		0,0		0,0	1	0,5
Total	8	4,1	91	47,2	49	25,4	16	8,3	16	8,3	13	6,7	0	0,0	193	100

Tableau 35 : Hope Estate, distribution des restes décorés par unité stratigraphique dans le sondage 34 (D. Bonnissent).

	A		B		C		D		E		F		G		Total	
	NR	%	NR	%	NR	%	NR	%	NR	%	NR	%	NR	%	NR	%
modes décoratifs																
coloration	3	3,3	11	12,0	17	18,5	3	3,3	5	5,4	2	2,2		0,0	41	44,6
incision	2	2,2		0,0	2	2,17	2	2,2	3	3,3		0,0		0,0	9	9,8
coloration/incision	4	4,3	2	2,2	1	1,09		0,0	1	1,1		0,0		0,0	8	8,7
WOR		0,0		0,0	1	1,09		0,0		0,0		0,0		0,0	1	1,1
ZIC		0,0		0,0	1	1,09	1	1,1		0,0	1	1,1	1	1,1	4	4,3
cannelure/punctuation		0,0	1	1,1	1	1,09		0,0		0,0	2	2,2	3	3,3	7	7,6
cannelure	2	2,2	4	4,3	1	1,09	1	1,1	6	6,5	1	1,1	1	1,1	16	17,4
WAR		0,0		0,0		0		0,0		0,0		0,0		0,0	0	0,0
modelage		0,0		0,0		0		0,0	6	6,5		0,0		0,0	6	6,5
modelage/incision		0,0		0,0		0		0,0		0,0		0,0		0,0	0	0,0
modelage/coloration/incision		0,0		0,0		0		0,0		0,0		0,0		0,0	0	0,0
modelage/coloration		0,0		0,0		0		0,0		0,0		0,0		0,0	0	0,0
modelage/cannelure		0,0		0,0		0		0,0		0,0		0,0		0,0	0	0,0
Total	11	12,0	18	19,6	24	26,1	7	7,6	21	22,8	6	6,5	5	5,4	92	100

Tableau 36 : Hope Estate, distribution des restes décorés par unité stratigraphique dans le sondage 35 (D. Bonnissent).

	A		B		C		D		E		F		G		Total	
	NR	%	NR	%	NR	%	NR	%	NR	%	NR	%	NR	%	NR	%
modes décoratifs																
coloration	2	2,8	9	12,5	9	12,5		0,0	4	5,6	2	2,8		0,0	26	36,1
incision		0,0	2	2,8	2	2,8		0,0	1	1,4		0,0		0,0	5	6,9
coloration/incision	2	2,8	6	8,3	2	2,8		0,0		0,0		0,0		0,0	10	13,9
WOR		0,0		0,0		0,0		0,0		0,0		0,0		0,0	0	0,0
ZIC		0,0	1	1,4	5	6,9	1	1,4	1	1,4	4	5,6		0,0	12	16,7
cannelure/punctuation		0,0		0,0		0,0		0,0		0,0	1	1,4		0,0	1	1,4
cannelure		0,0	2	2,8	2	2,8		0,0	2	2,8	7	9,7	1	1,4	14	19,4
WAR		0,0		0,0		0,0		0,0		0,0		0,0		0,0	0	0,0
modelage		0,0		0,0		0,0		0,0		0,0		0,0		0,0	0	0,0
modelage/incision		0,0		0,0		0,0		0,0		0,0		0,0		0,0	0	0,0
modelage/coloration/incision		0,0		0,0		0,0		0,0		0,0		0,0		0,0	0	0,0
modelage/coloration		0,0		0,0		0,0		0,0		0,0	1	1,4		0,0	1	1,4
modelage/cannelure		0,0		0,0		0,0		0,0	1	1,4	2	2,8		0,0	3	4,2
Total	4	5,6	20	27,8	20	27,8	1	1,4	9	12,5	17	23,6	1	1,4	72	100

Tableau 37 : Hope Estate, distribution des restes décorés par unité stratigraphique dans le sondage 36 (D. Bonnissent).

	A		B		E		G		H		I		J		K		L		M		Total	
	NR	%	NR	%	NR	%	NR	%	NR	%	NR	%	NR	%	NR	%	NR	%	NR	%	NR	%
modes décoratifs																						
coloration	13	6,8	13	6,8	7	3,7	14	7,4	28	14,7	22	11,6	20	10,5	1	0,5		0,0	0	0,0	0	0,0
incision	2	1,1	2	1,1		0,0	2	1,1	3	1,6	1	0,5		0,0	2	1,1		0,0	0	0,0	0	0,0
coloration/incision	2	1,1	7	3,7	1	0,5	3	1,6	3	1,6		0,0		0,0		0,0		0,0	0	0,0	0	0,0
WOR	1	0,5		0,0		0,0		0,0	1	0,5		0,0		0,0		0,0		0,0	0	0,0	0	0,0
ZIC		0	1	0,5		0,0	3	1,6	2	1,1	3	1,6		0,0	5	2,6		0,0	0	0,0	0	0,0
cannelure/pontuation		0		0,0		0,0	1	0,5	1	0,5	1	0,5		0,0	2	1,1		0,0	0	0,0	0	0,0
cannelure	1	0,5		0,0	1	0,5	1	0,5	1	0,5		0,0	1	0,5	1	0,5	3	1,6	0	0,0	0	0,0
WAR		0		0,0		0,0		0,0		0,0		0,0		0,0		0,0		0,0	0	0,0	0	0,0
modelage	1	0,5		0,0	1	0,5	2	1,1	4	2,1	1	0,5		0,0	3	1,6		0,0	0	0,0	0	0,0
modelage/incision		0		0,0		0,0		0,0		0,0		0,0		0,0		0,0		0,0	0	0,0	0	0,0
modelage/coloration/incision		0		0,0		0,0		0,0		0,0		0,0		0,0		0,0		0,0	0	0,0	0	0,0
modelage/coloration		0		0,0		0,0		0,0		0,0		0,0		0,0		0,0		0,0	0	0,0	0	0,0
modelage/cannelure		0		0,0		0,0		0,0		0,0		0,0	2	1,1		0,0		0,0	0	0,0	0	0,0
Total	20	10,5	23	12,1	10	5,3	26	13,7	43	22,6	28	14,7	23	12,1	14	7,4	3	1,6	0	0,0	190	100

Tableau 38 : Hope Estate, distribution des restes décorés par unité stratigraphique dans le sondage 37 (D. Bonnissent).



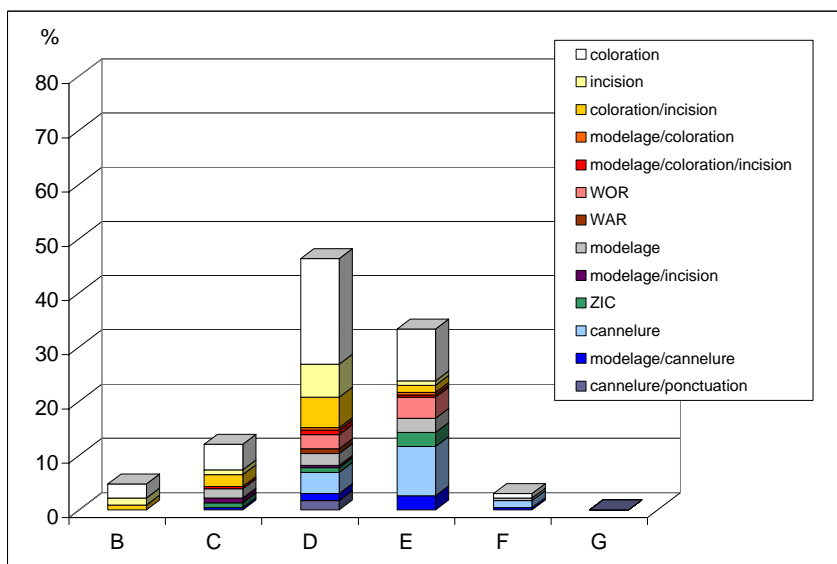


Figure 226 : Hope Estate, sondage 20, répartition des modes décoratifs par unité stratigraphique (D. Bonnissent).

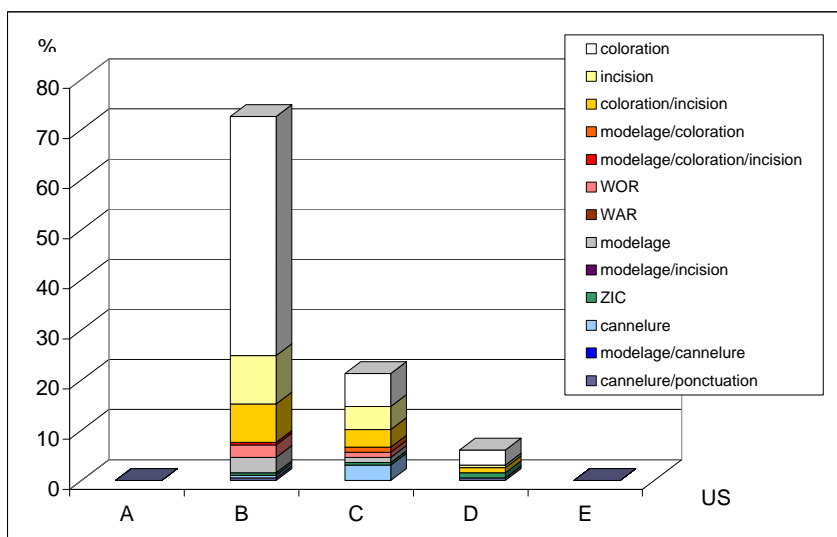


Figure 227 : Hope Estate, sondage 22, répartition des modes décoratifs par unité stratigraphique (D. Bonnissent).

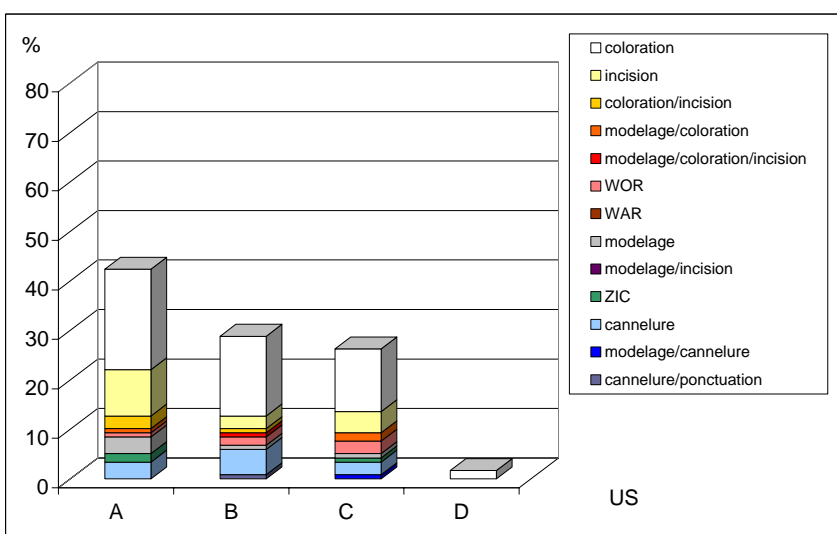


Figure 228 : Hope Estate, sondage 23, répartition des modes décoratifs par unité stratigraphique (D. Bonnissent).

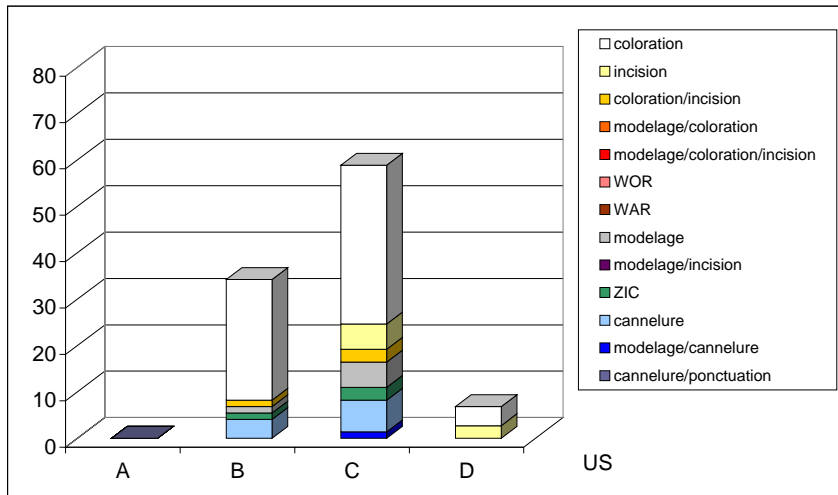


Figure 229 : Hope Estate, sondage 24, répartition des modes décoratifs par unité stratigraphique (D. Bonnissent).

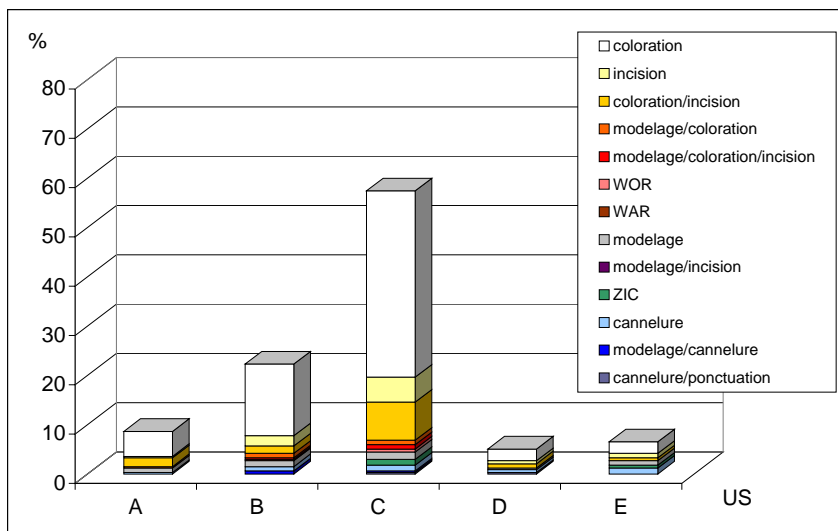


Figure 230 : Hope Estate, sondage 25, répartition des modes décoratifs par unité stratigraphique (D. Bonnissent).

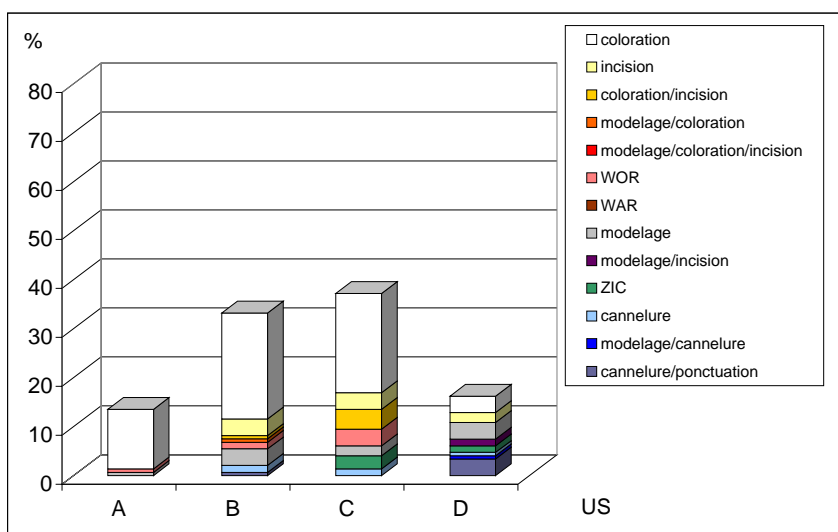


Figure 231 : Hope Estate, sondage 26, répartition des modes décoratifs par unité stratigraphique (D. Bonnissent).

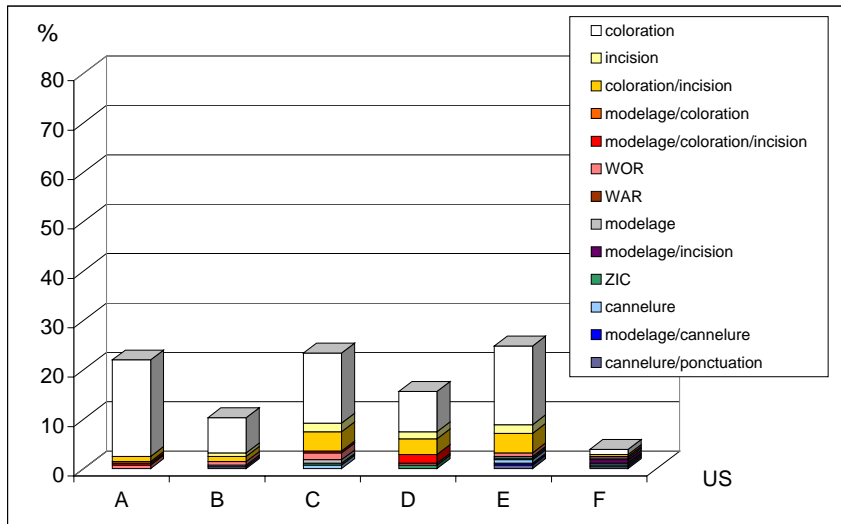


Figure 232 : Hope Estate, sondage 27, répartition des modes décoratifs par unité stratigraphique (D. Bonnissent).

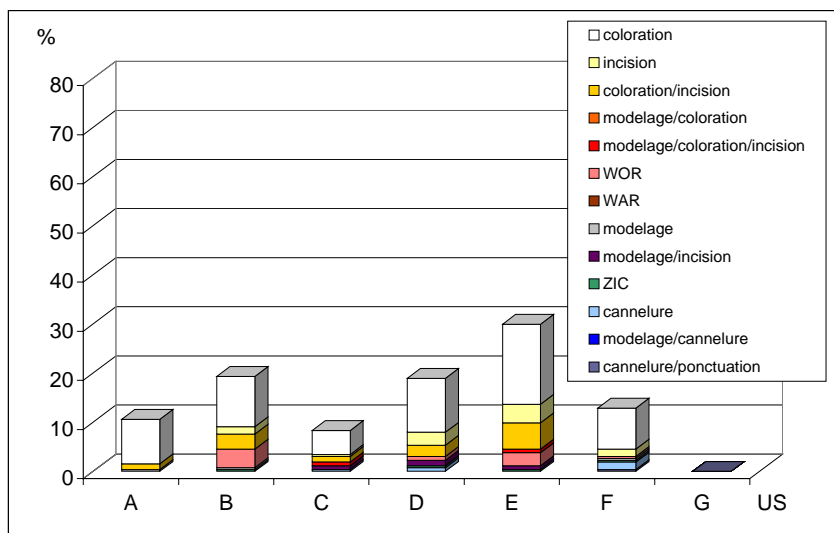


Figure 233 : Hope Estate, sondage 28, répartition des modes décoratifs par unité stratigraphique (D. Bonnissent).

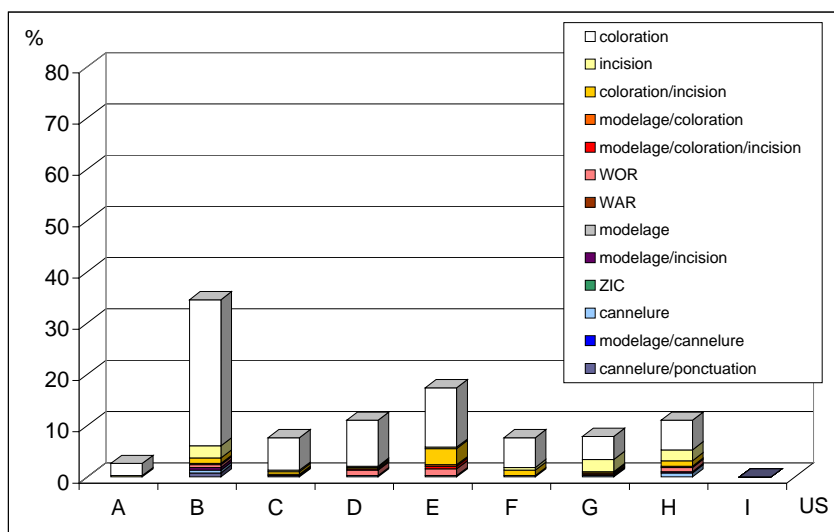


Figure 234 : Hope Estate, sondage 29, répartition des modes décoratifs par unité stratigraphique (D. Bonnissent).

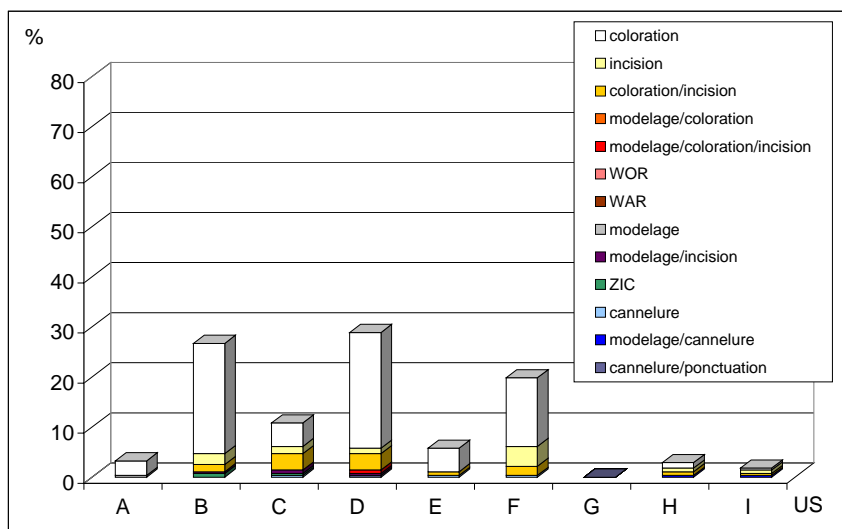


Figure 235 : Hope Estate, sondage 31, répartition des modes décoratifs par unité stratigraphique (D. Bonnissent).

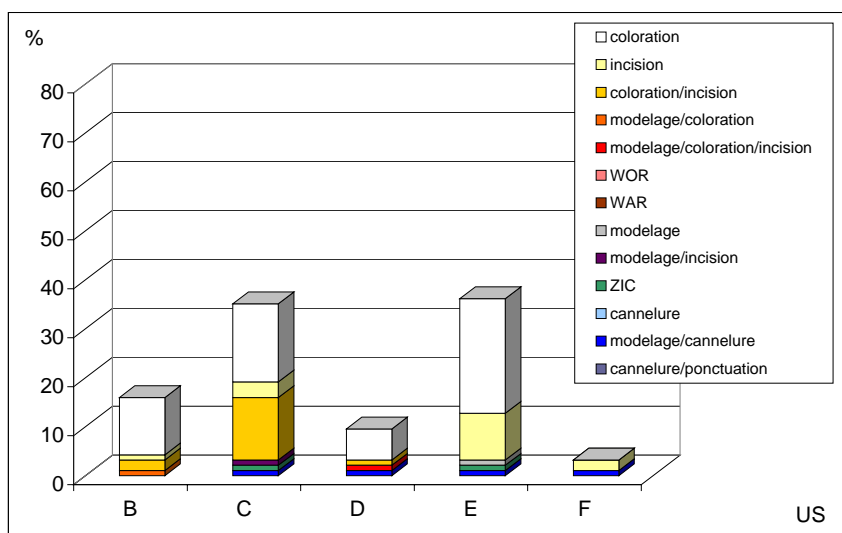


Figure 236 : Hope Estate, sondage 32, répartition des modes décoratifs par unité stratigraphique (D. Bonnissent).

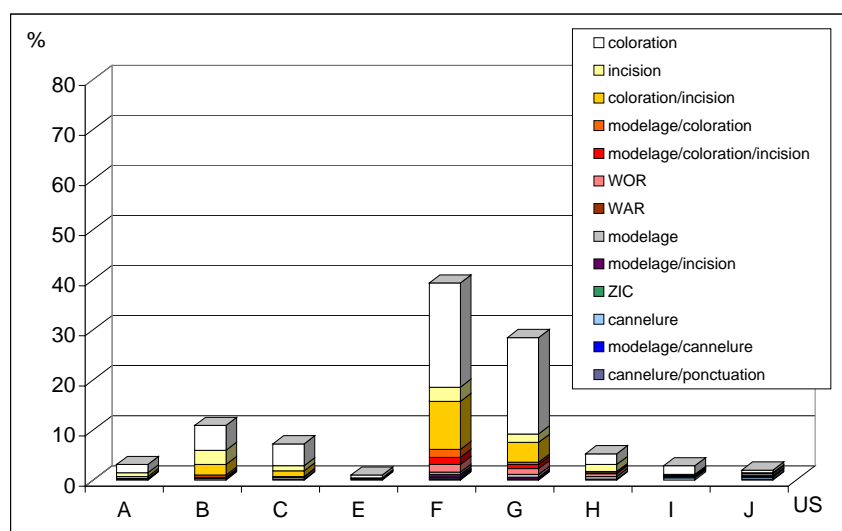


Figure 237 : Hope Estate, sondage 33, répartition des modes décoratifs par unité stratigraphique (D. Bonnissent).

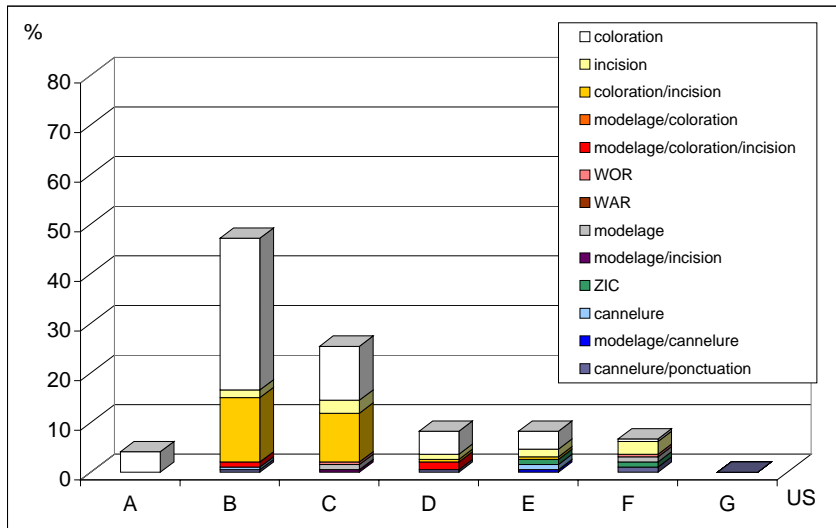


Figure 238 : Hope Estate, sondage 34, répartition des modes décoratifs par unité stratigraphique (D. Bonnissent).

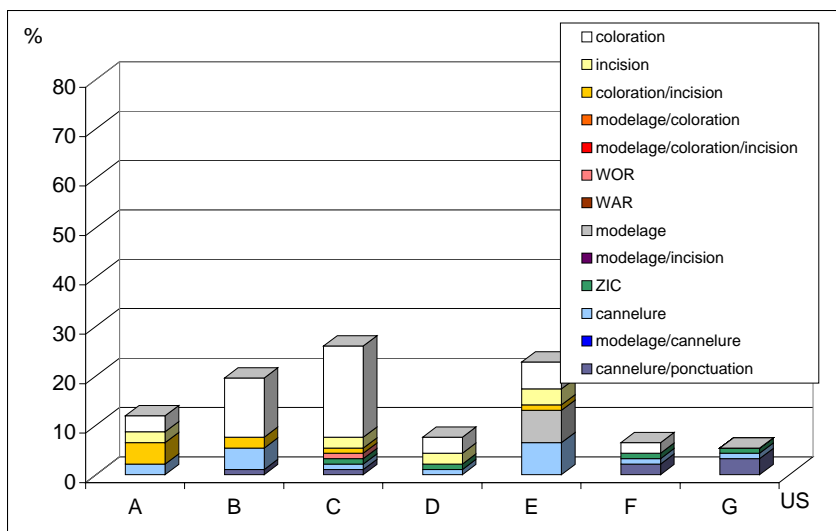


Figure 239 : Hope Estate, sondage 35, répartition des modes décoratifs par unité stratigraphique (D. Bonnissent).

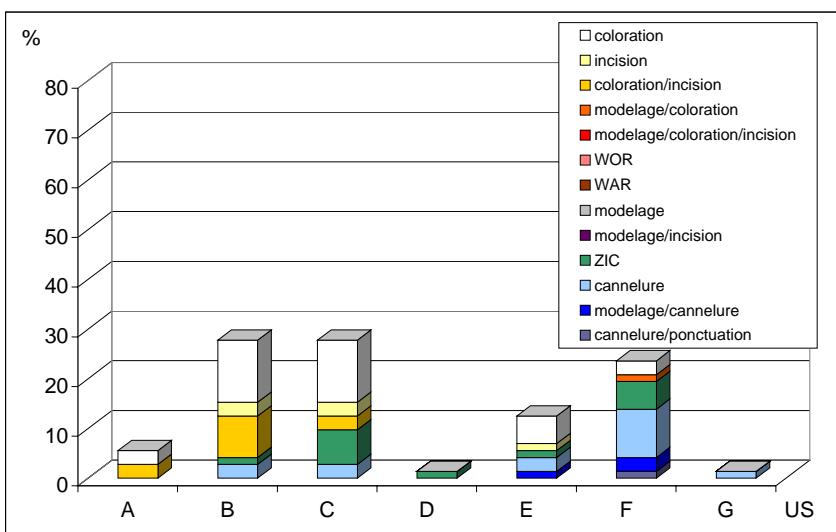


Figure 240 : Hope Estate, sondage 36, répartition des modes décoratifs par unité stratigraphique (D. Bonnissent).



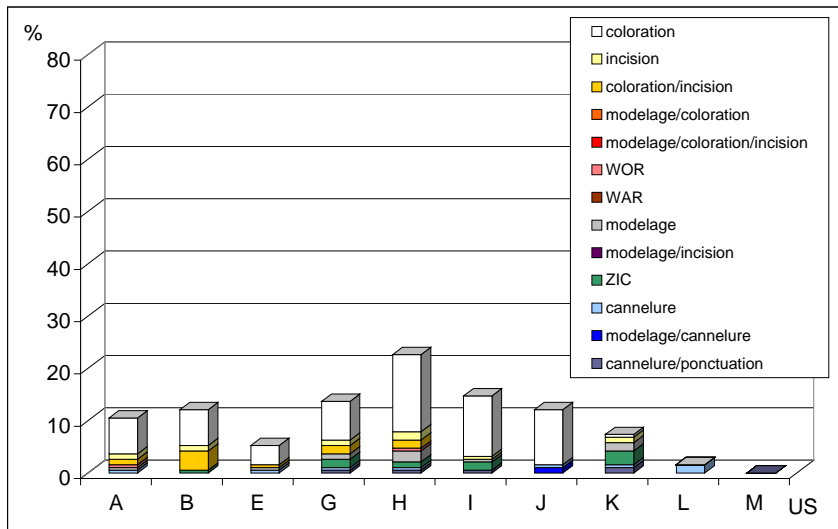


Figure 241 : Hope Estate, sondage 37, répartition des modes décoratifs par unité stratigraphique (D. Bonnissent).

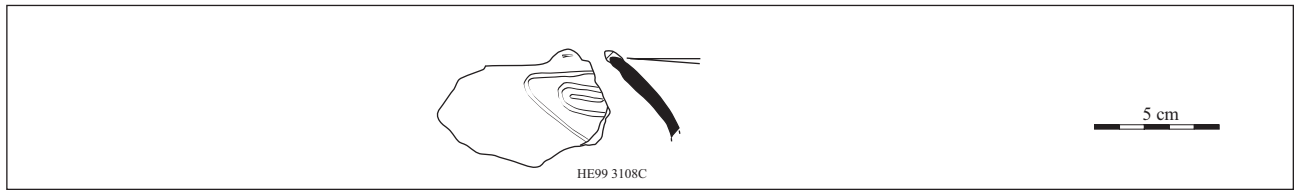


Figure 242 : Hope Estate, céramique du sondage 31, unité stratigraphique H (D. Bonnissent).

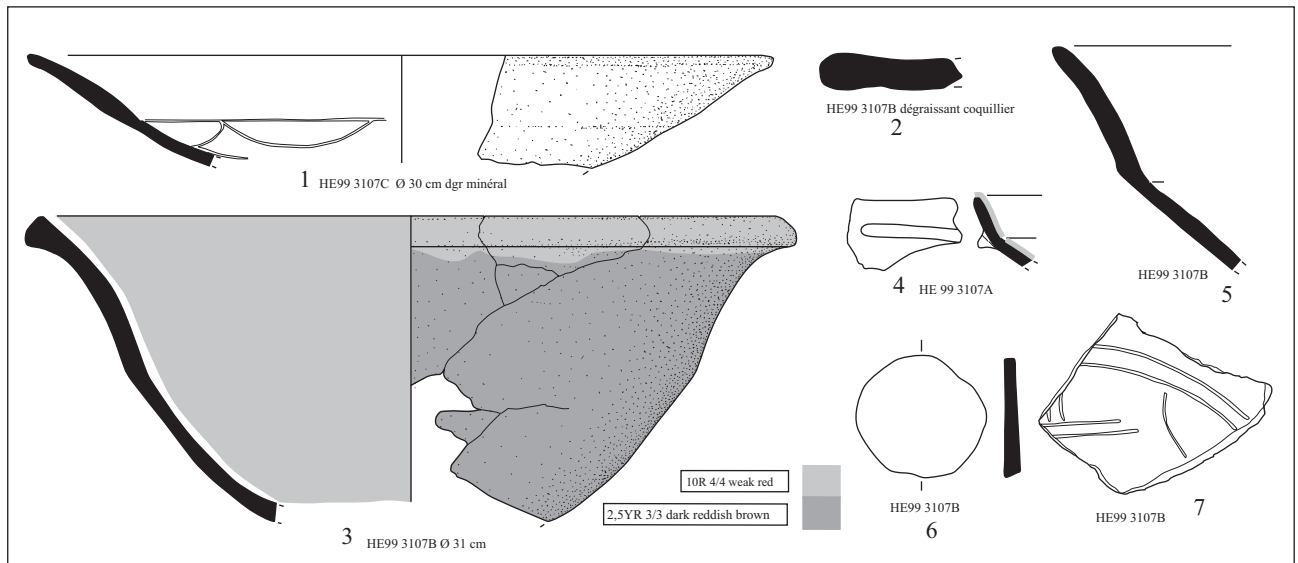


Figure 243 : Hope Estate, céramique du sondage 31, unité stratigraphique F (D. Bonnissent).

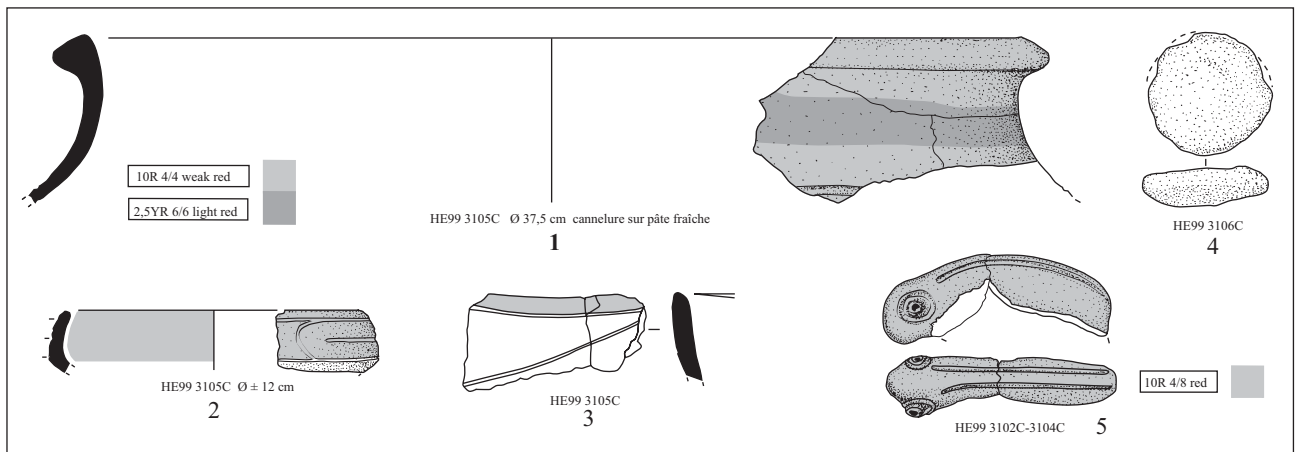


Figure 244 : Hope Estate, céramique du sondage 31, unité stratigraphique D (D. Bonnissent).



Figure 245 : Hope Estate, céramique du sondage 22, unité stratigraphique D (D. Bonnissent).

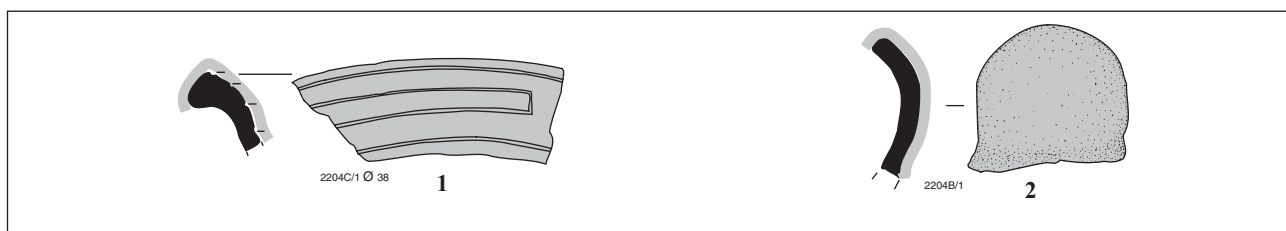


Figure 246 : Hope Estate, céramique du sondage 22, unité stratigraphique C (D. Bonnissent).

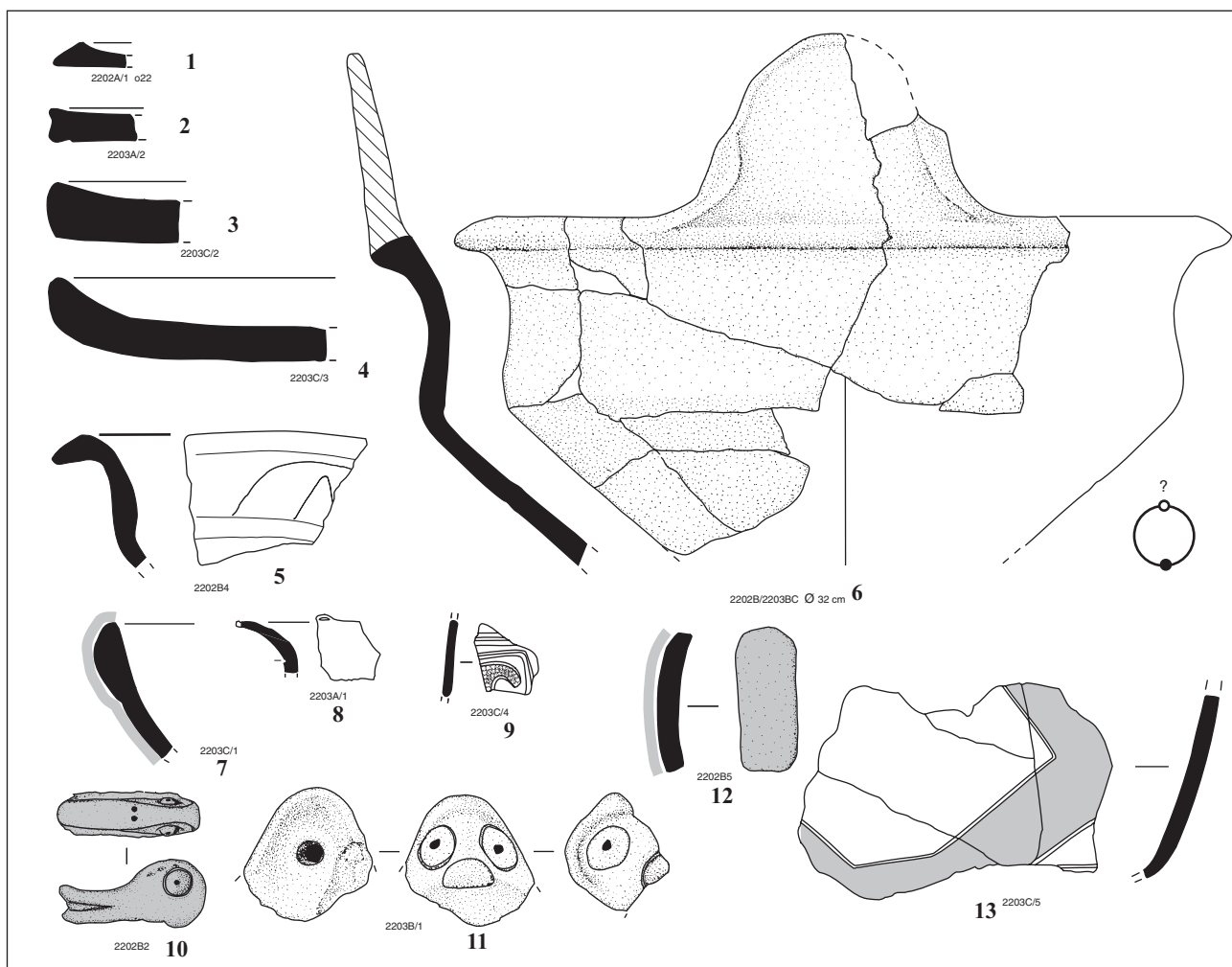


Figure 247 : Hope Estate, céramique du sondage 22, unité stratigraphique B (D. Bonnissent).

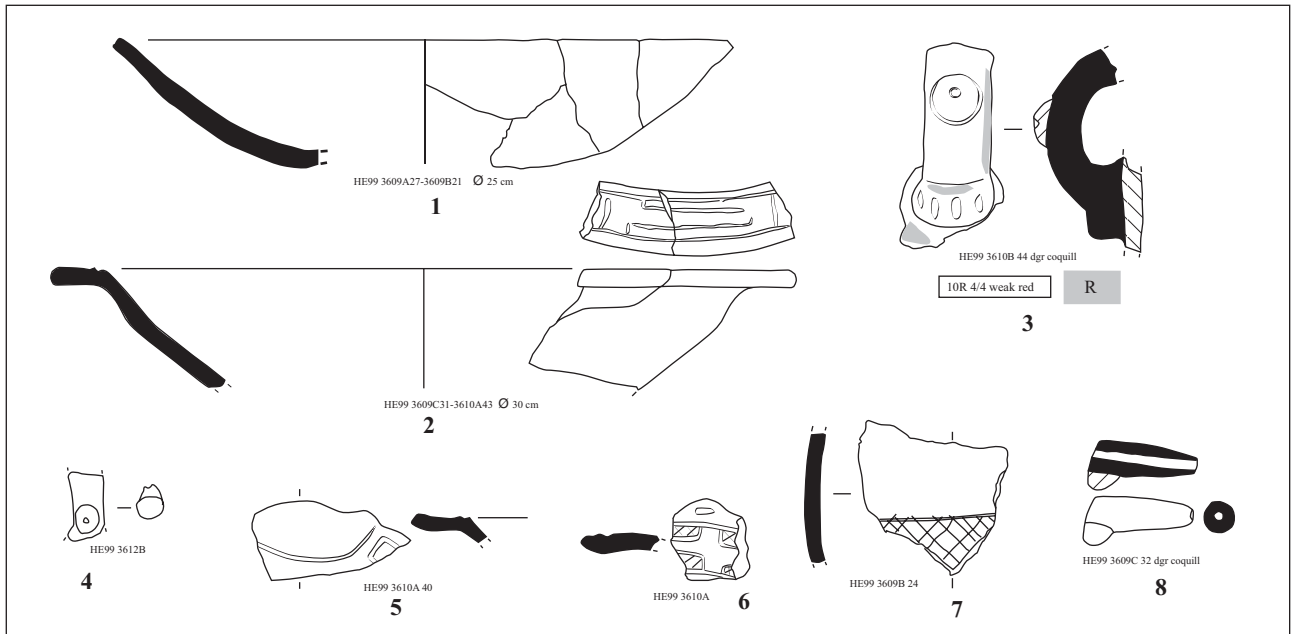


Figure 248 : Hope Estate, céramique du sondage 36, unité stratigraphique F (D. Bonnissent).

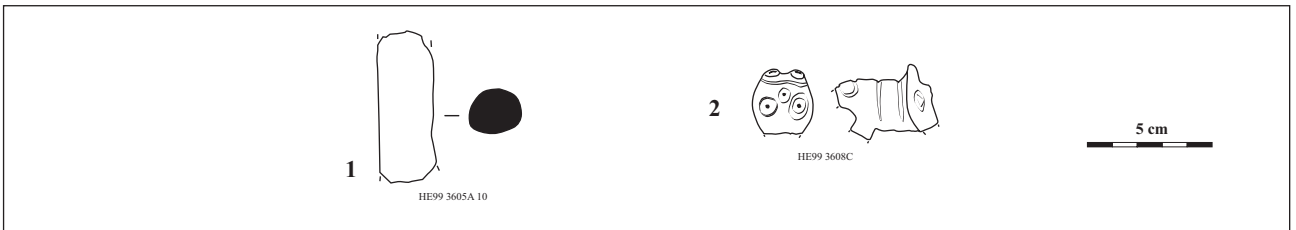


Figure 249 : Hope Estate, céramique du sondage 36. 1 : unité stratigraphique D, 2 : unité stratigraphique E (D. Bonnissent).

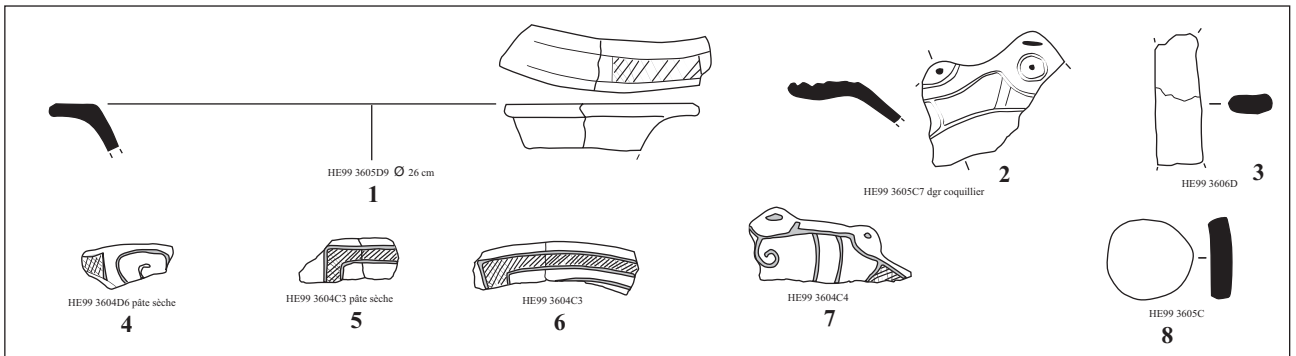


Figure 250 : Hope Estate, céramique du sondage 36, unité stratigraphique C (D. Bonnissent).



Figure 251 : Hope Estate, céramique du sondage 37. 1 : US L, 2 : US K (D. Bonnissent).

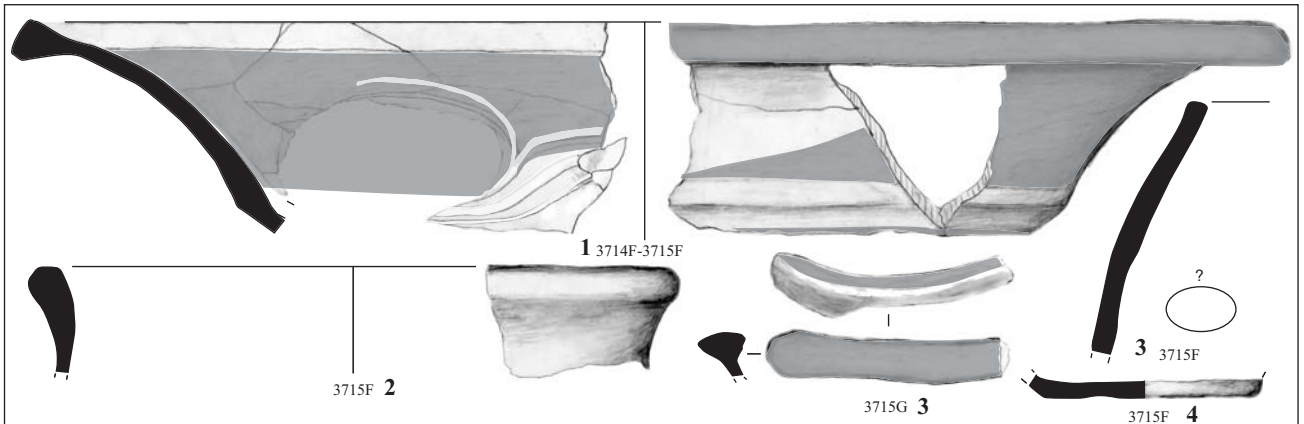


Figure 252 : Hope Estate, céramique du sondage 37, unité stratigraphique J (D. Bonnissent).

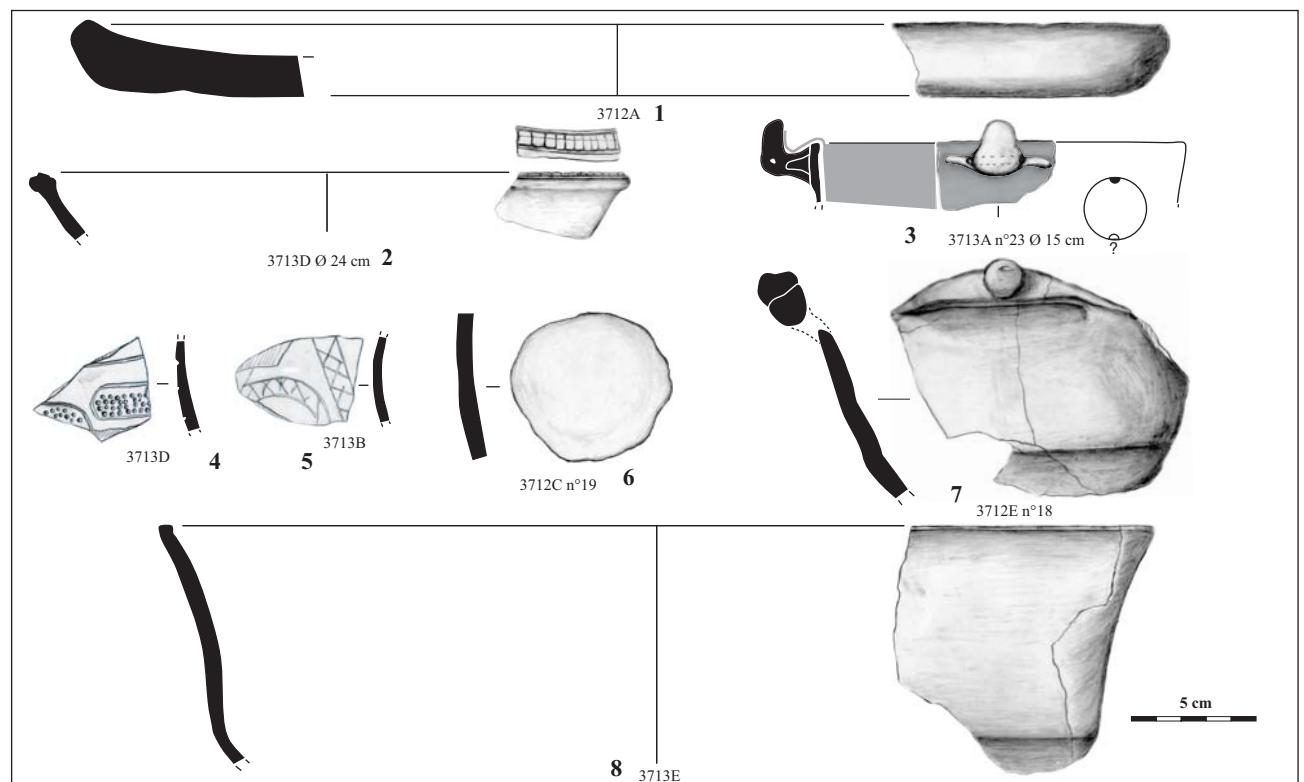


Figure 253 : Hope Estate, céramique du sondage 37, unité stratigraphique I (D. Bonnissent).

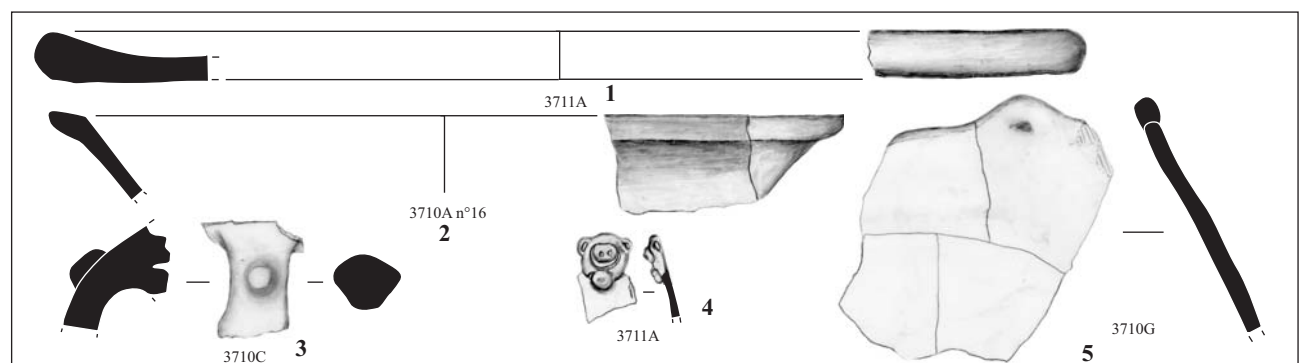


Figure 254 : Hope Estate, céramique du sondage 37, unité stratigraphique H (D. Bonnissent).



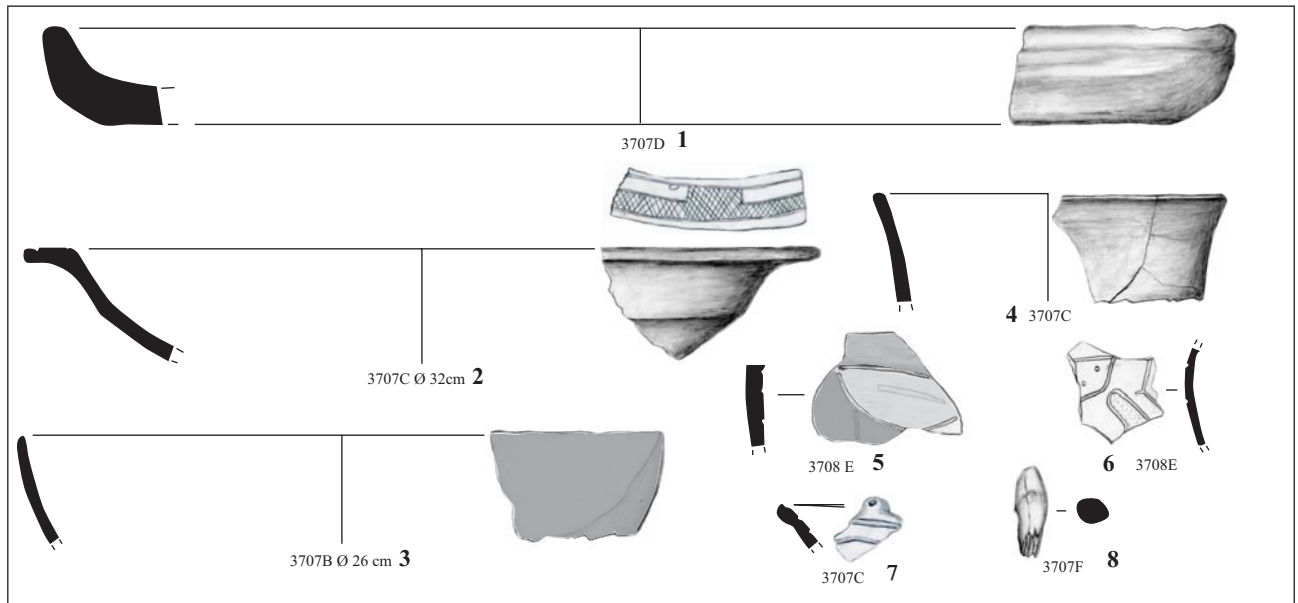


Figure 255 : Hope Estate, céramique du sondage 37, unité stratigraphique G (D. Bonnissent).

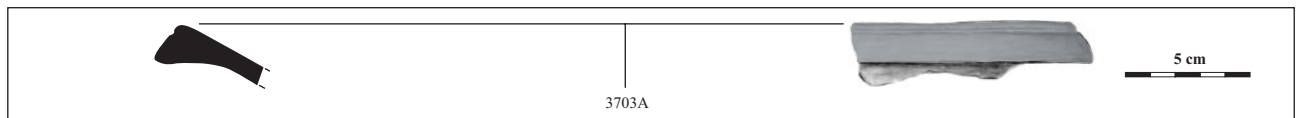


Figure 256 : Hope Estate, céramique du sondage 37, unité stratigraphique E (D. Bonnissent).

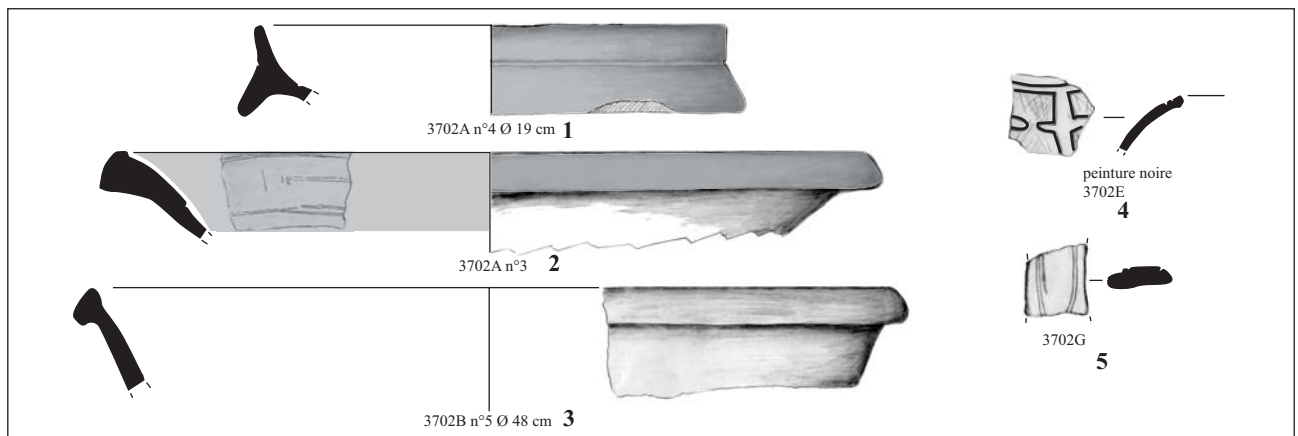


Figure 257 : Hope Estate, céramique du sondage 37, unité stratigraphique B (D. Bonnissent).

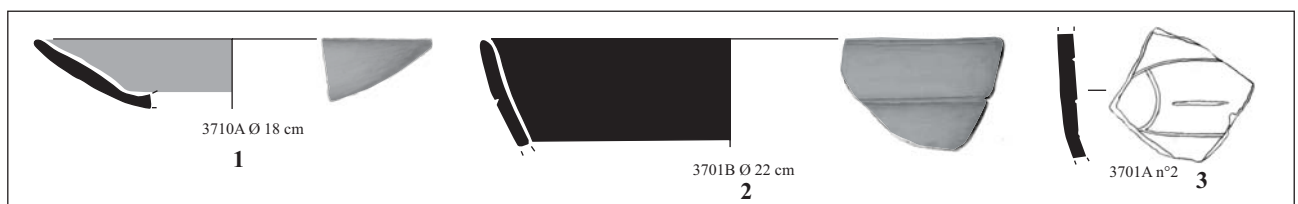


Figure 258 : Hope Estate, céramique du sondage 37, unité stratigraphique A (D. Bonnissent).



Figure 259 : Hope Estate, céramique du sondage 37, unité stratigraphique C, remplissage de la sépulture 17 (D. Bonnissent).

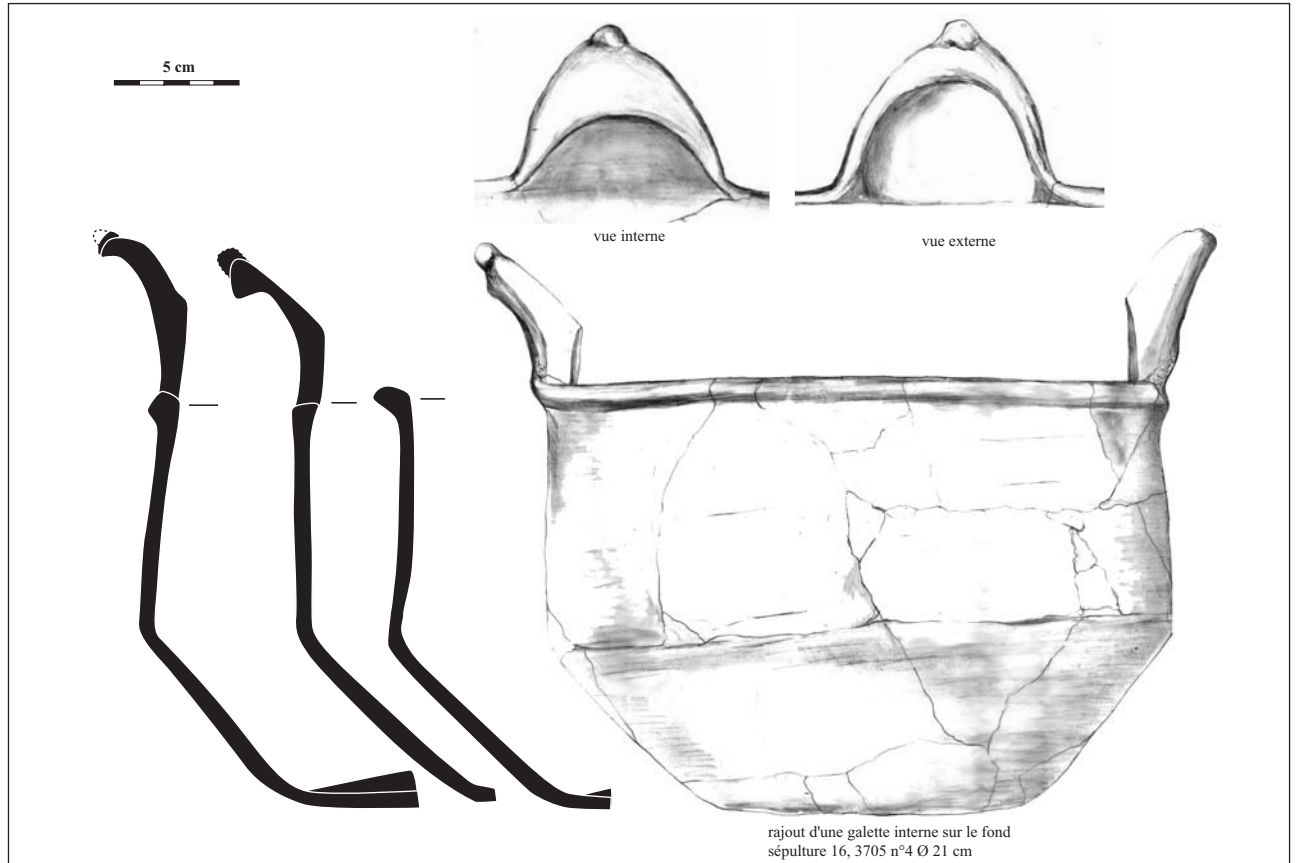


Figure 260 : Hope Estate, céramique du sondage 37, unité stratigraphique D, vase d'accompagnement de la sépulture 16 (D. Bonnissent).

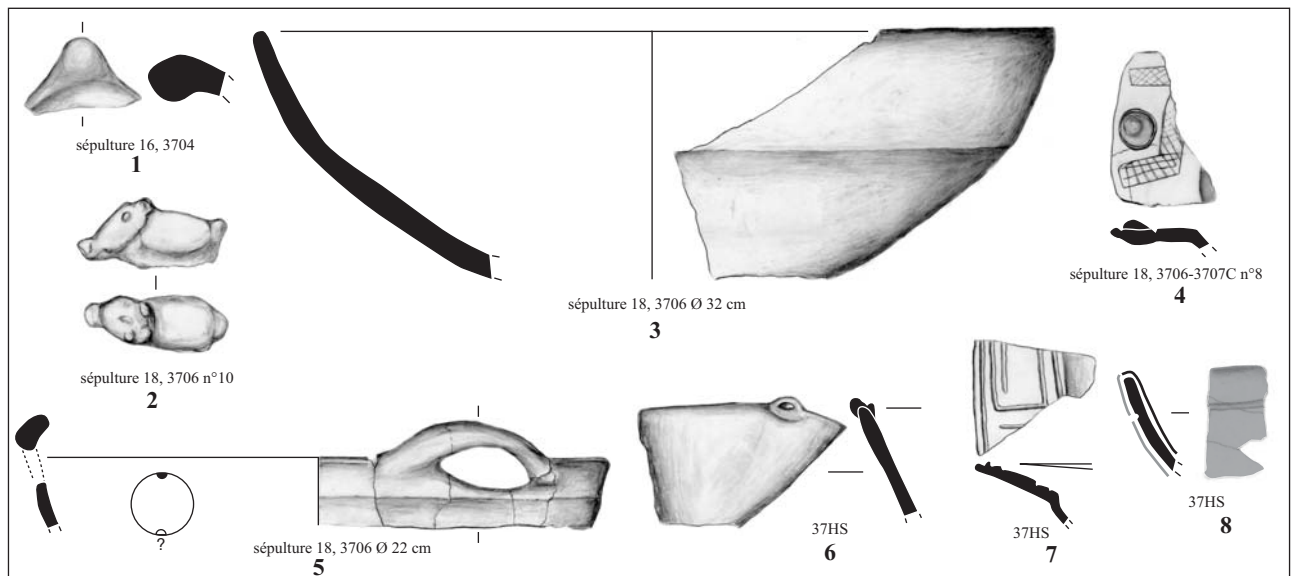


Figure 261 : Hope Estate, céramique du sondage 37. 1: US D remplissage de la sépulture 16, 2 à 5 : US F remplissage de la sépulture 18, 6 à 8 : hors contexte stratigraphique (D. Bonnissent).

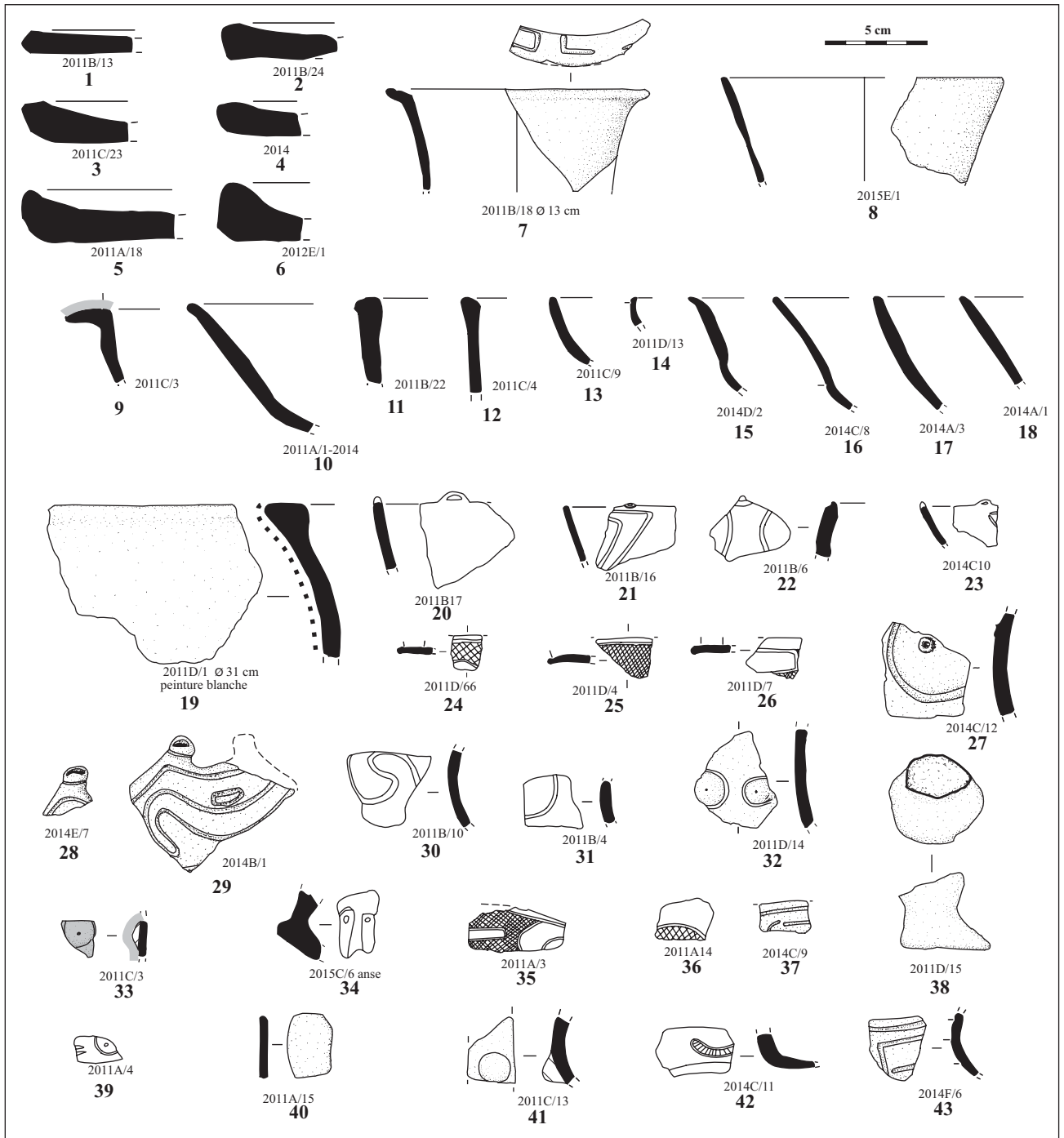


Figure 262 : Hope Estate, céramique du sondage 20, unité stratigraphique E (D. Bonnissent).

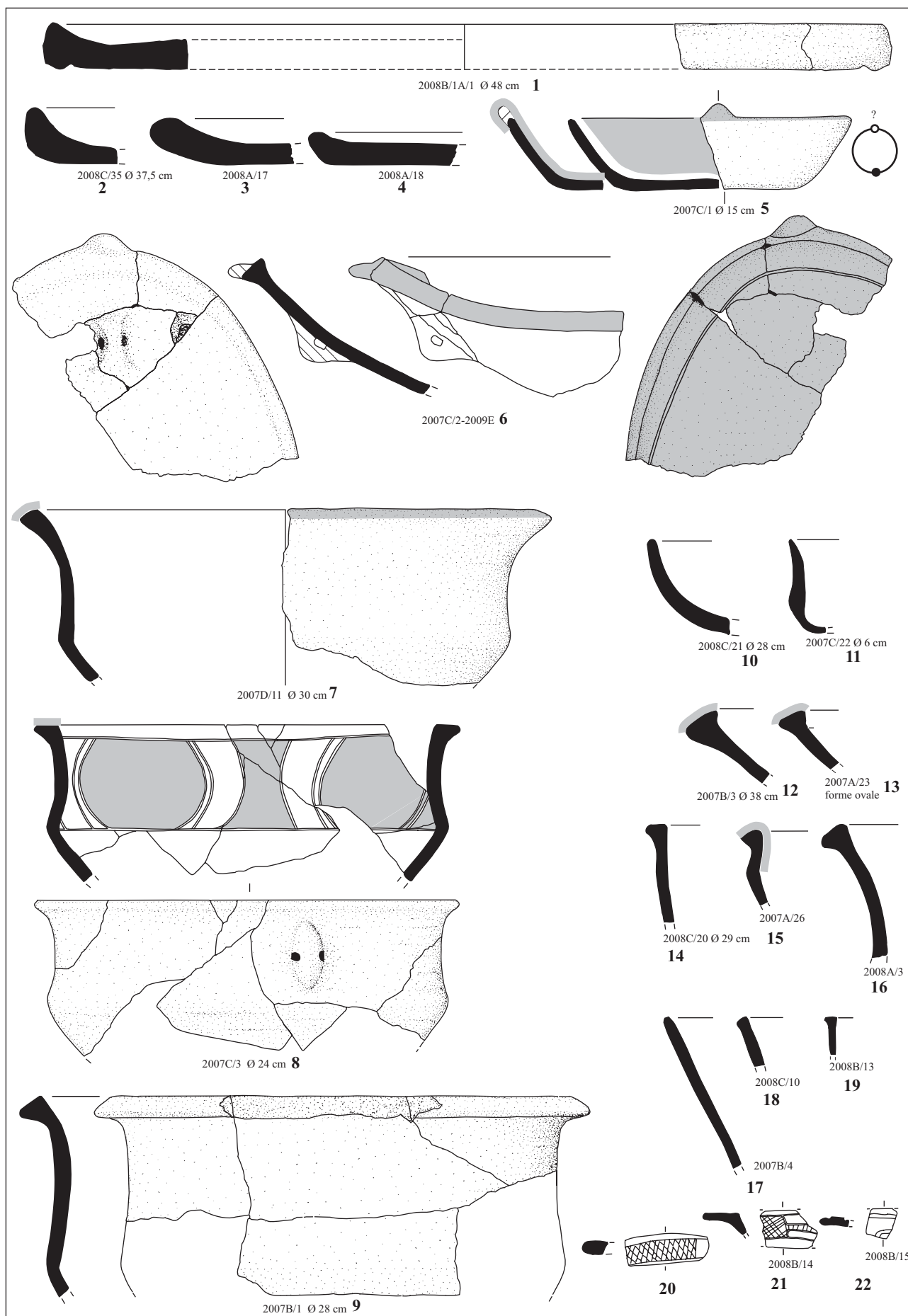


Figure 263 : Hope Estate, céramique du sondage 20, unité stratigraphique D, écuelles et jattes (D. Bonnissent).

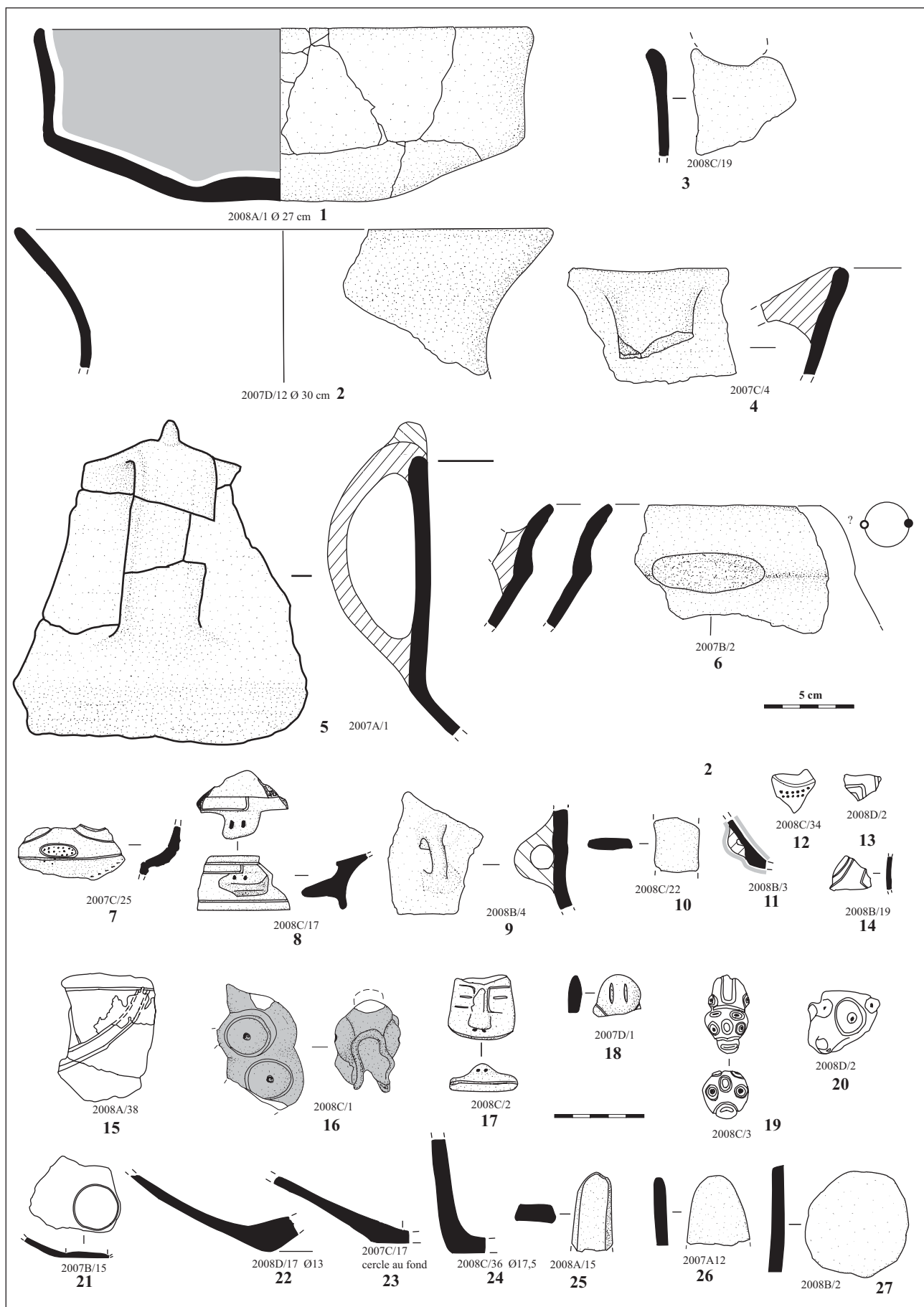


Figure 264 : Hope Estate, céramique du sondage 20, unité stratigraphique D (D. Bonnissent).



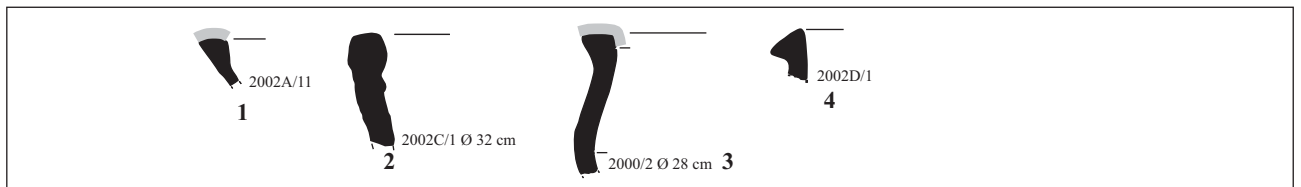


Figure 265 : Hope Estate, céramique du sondage 20, unité stratigraphique B (D. Bonnissent).

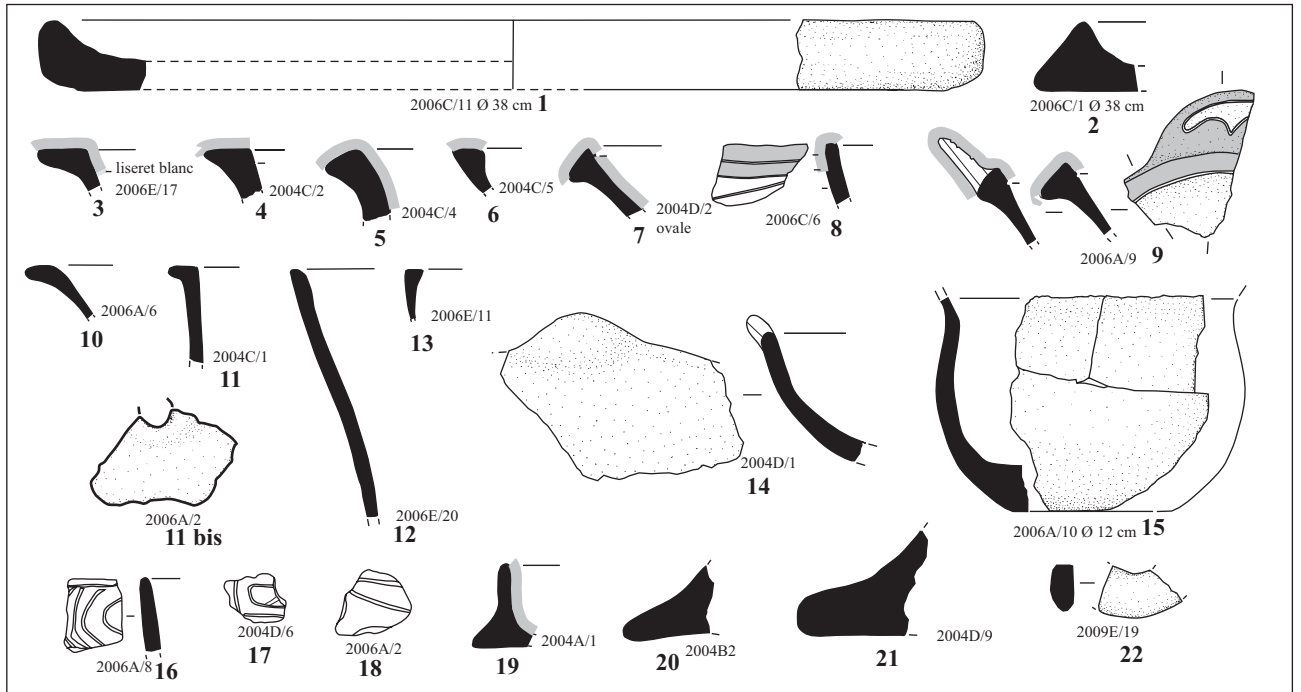


Figure 266 : Hope Estate, céramique du sondage 20, unité stratigraphique C (D. Bonnissent).

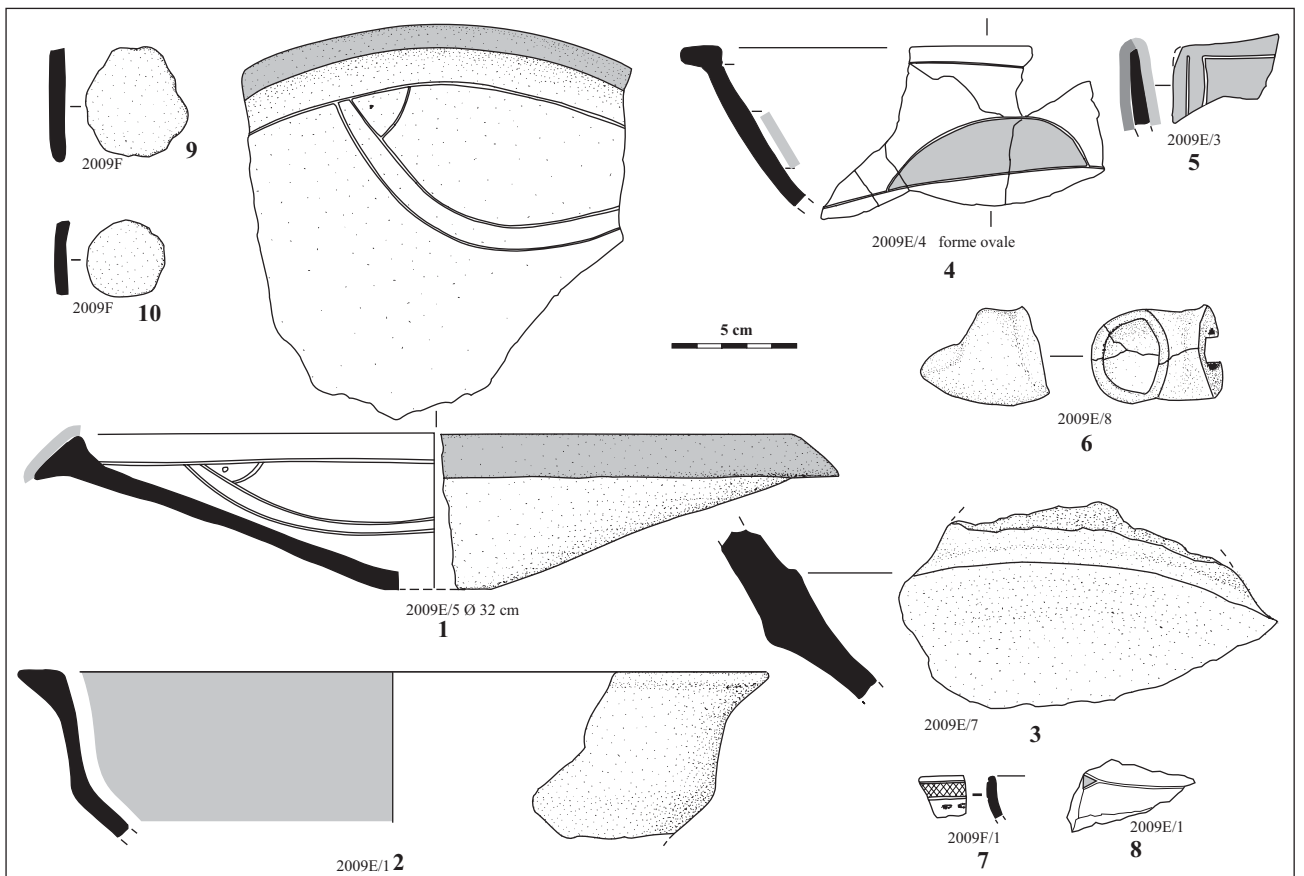


Figure 267 : Hope Estate, céramique du sondage 20, unité stratigraphique H (D. Bonnissent).

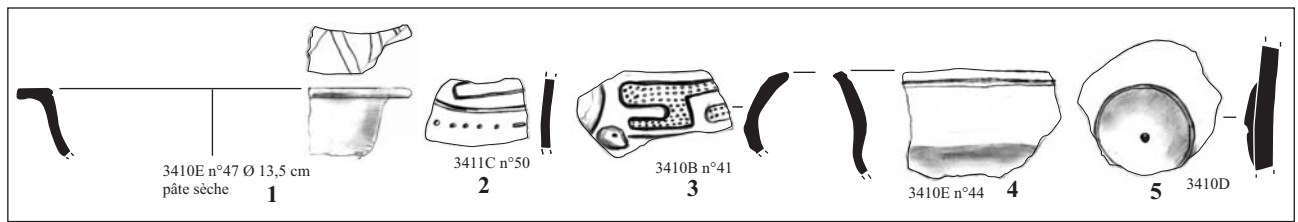


Figure 268 : Hope Estate, céramique du sondage 34, unité stratigraphique F (D. Bonnissent).



Figure 269 : Hope Estate, céramique du sondage 34, unité stratigraphique D (D. Bonnissent).

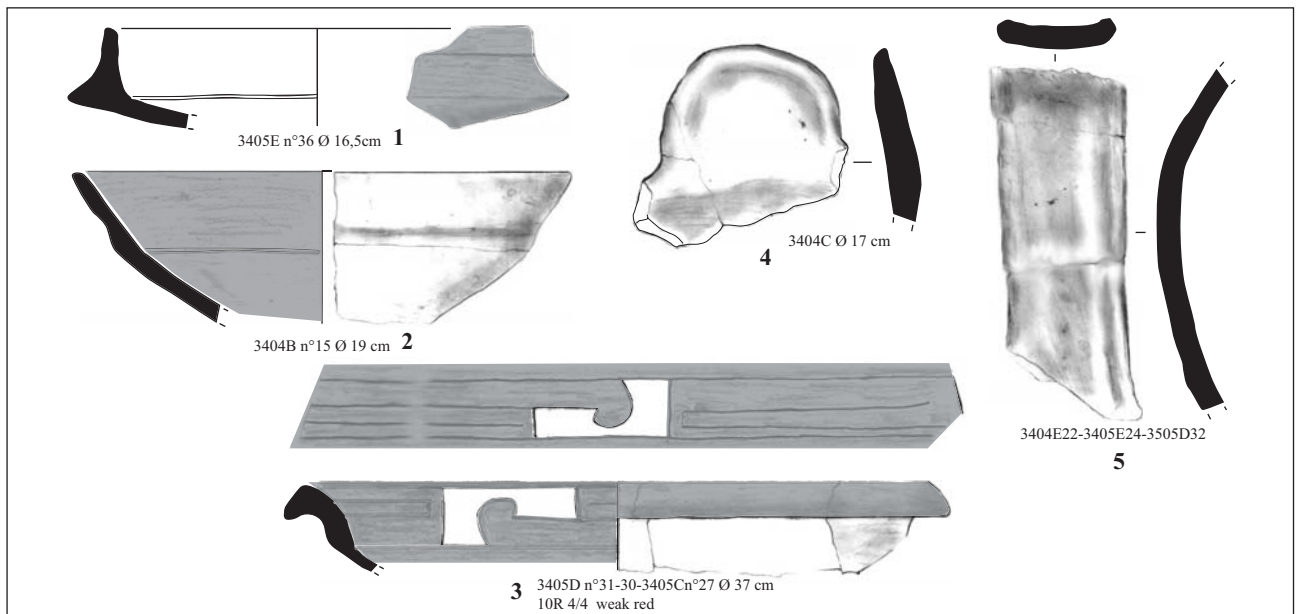


Figure 270 : Hope Estate, céramique du sondage 34, unité stratigraphique C (D. Bonnissent).

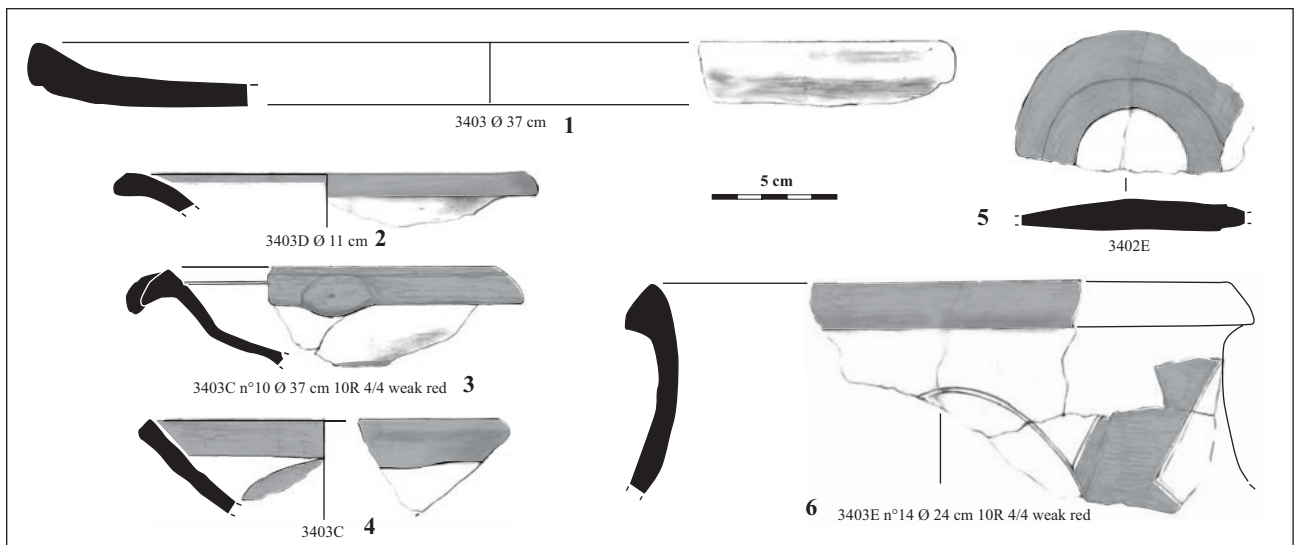


Figure 271 : Hope Estate, céramique du sondage 34, unité stratigraphique B (D. Bonnissent).

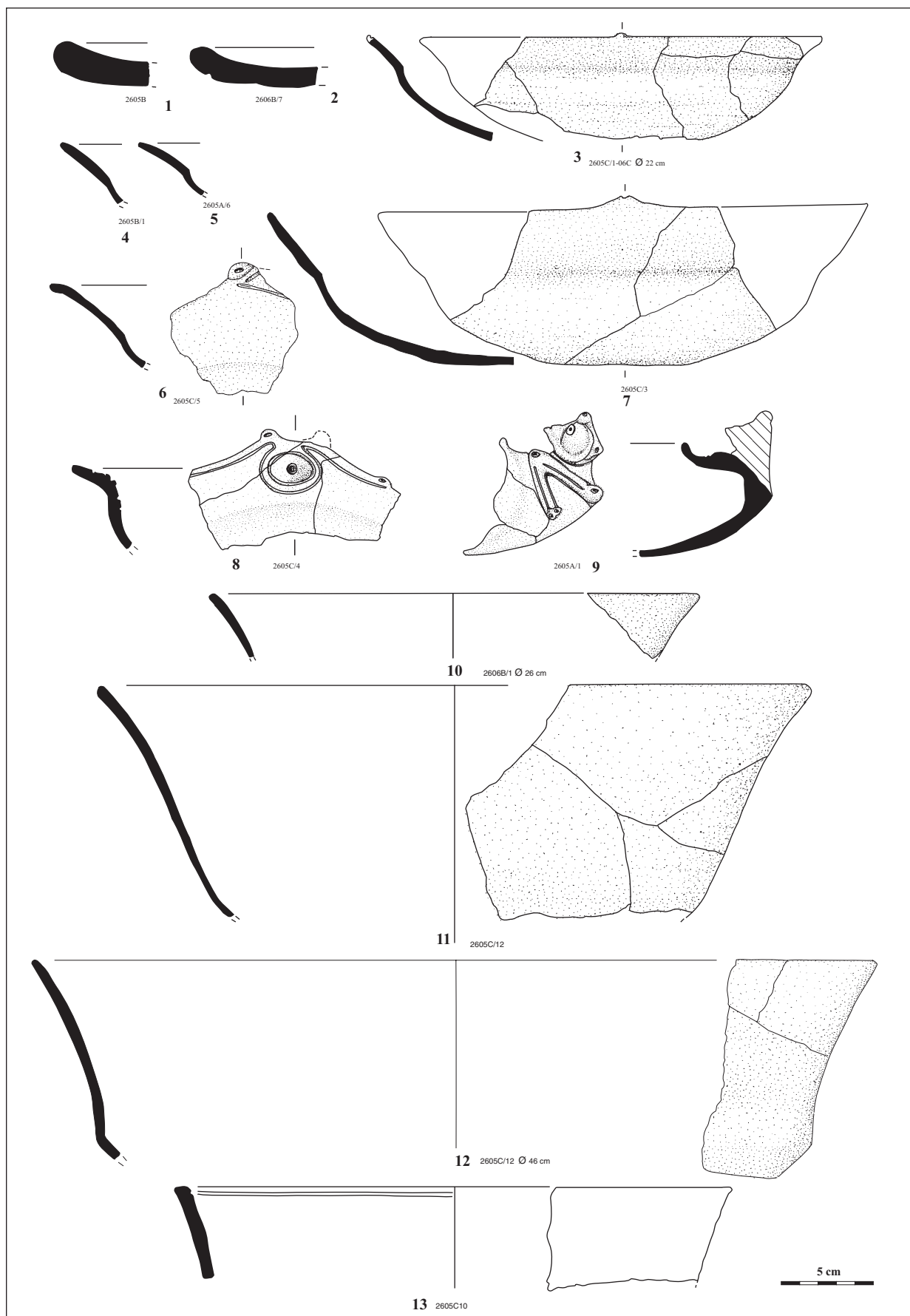


Figure 272 : Hope Estate, céramique du sondage 26, unité stratigraphique D, platines, écuelles et jattes (D. Bonnissent).

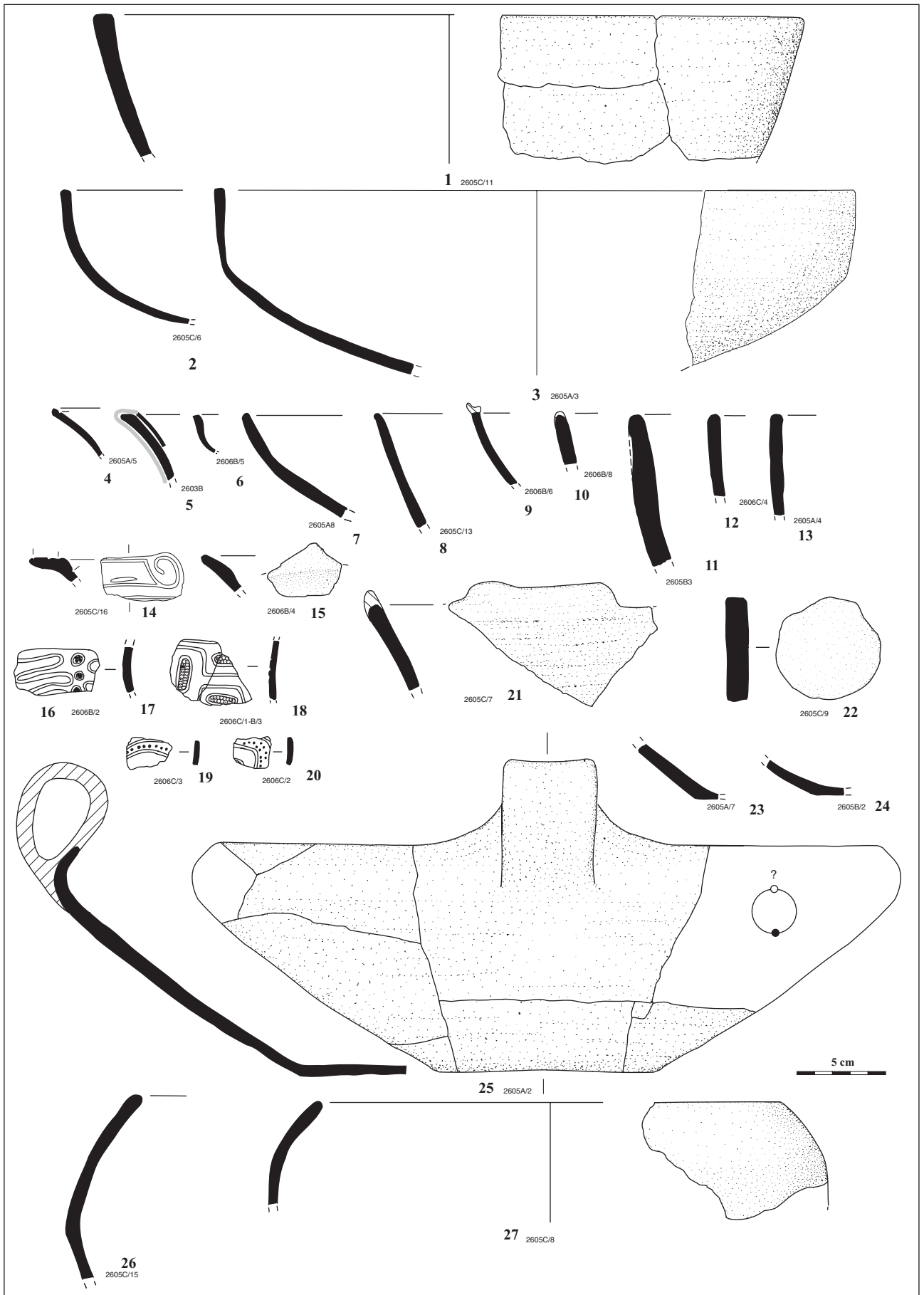


Figure 273 : Hope Estate, céramique du sondage 26, unité stratigraphique D (D. Bonnissent).

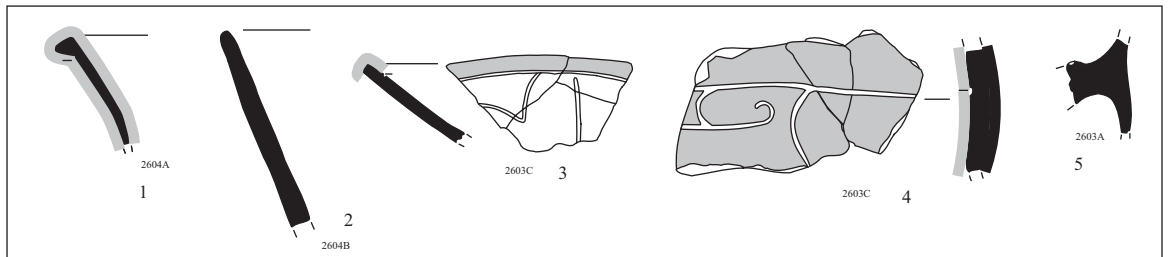


Figure 274 : Hope Estate, céramique du sondage 26, unité stratigraphique C (D. Bonnissent).

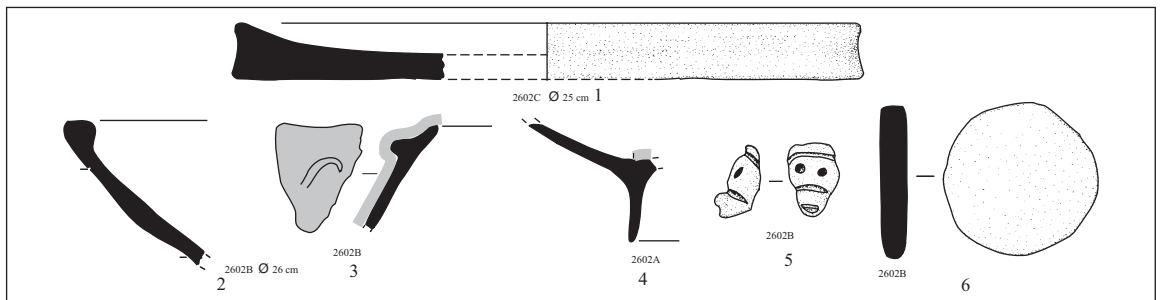


Figure 275 : Hope Estate, céramique du sondage 26, unité stratigraphique B (D. Bonnissent).

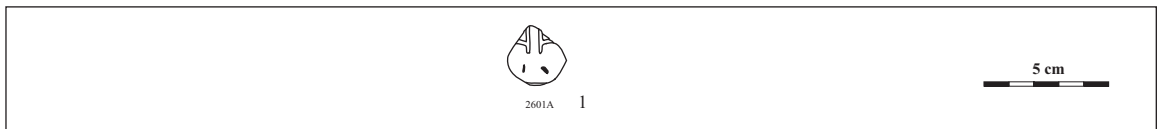


Figure 276 : Hope Estate, céramique du sondage 26, unité stratigraphique A (D. Bonnissent).



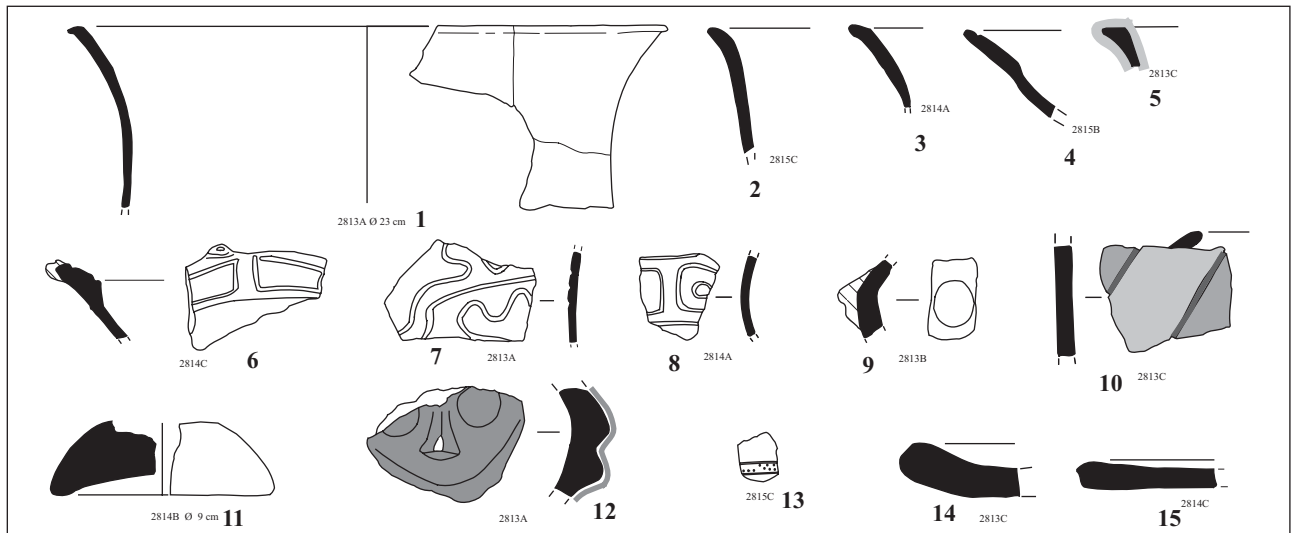


Figure 277 : Hope Estate, céramique du sondage 28, unité stratigraphique F (D. Bonnissent).

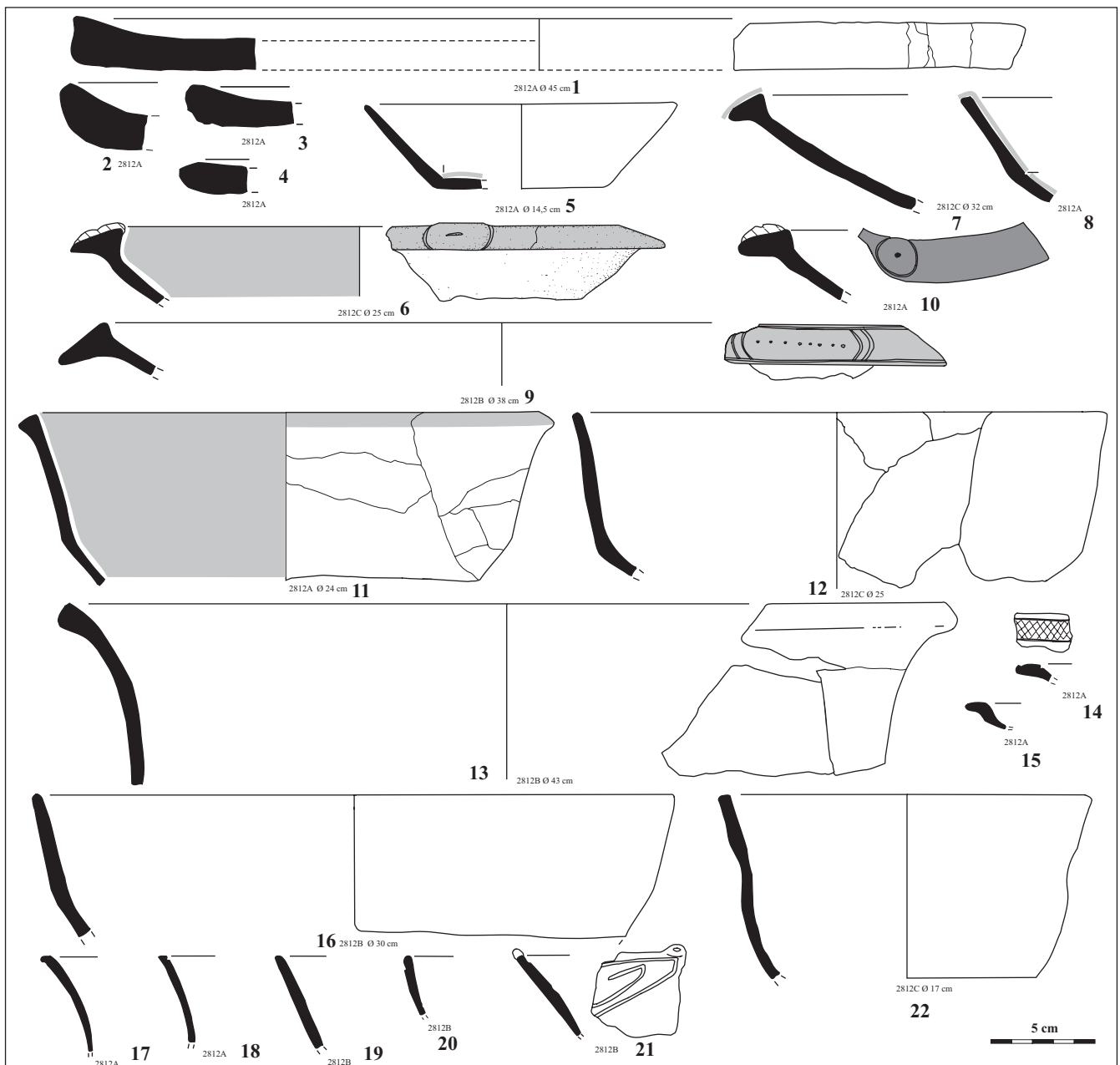


Figure 278 : Hope Estate, céramique du sondage 28, unité stratigraphique E, platines, écuelles, jattes (D. Bonnissent).

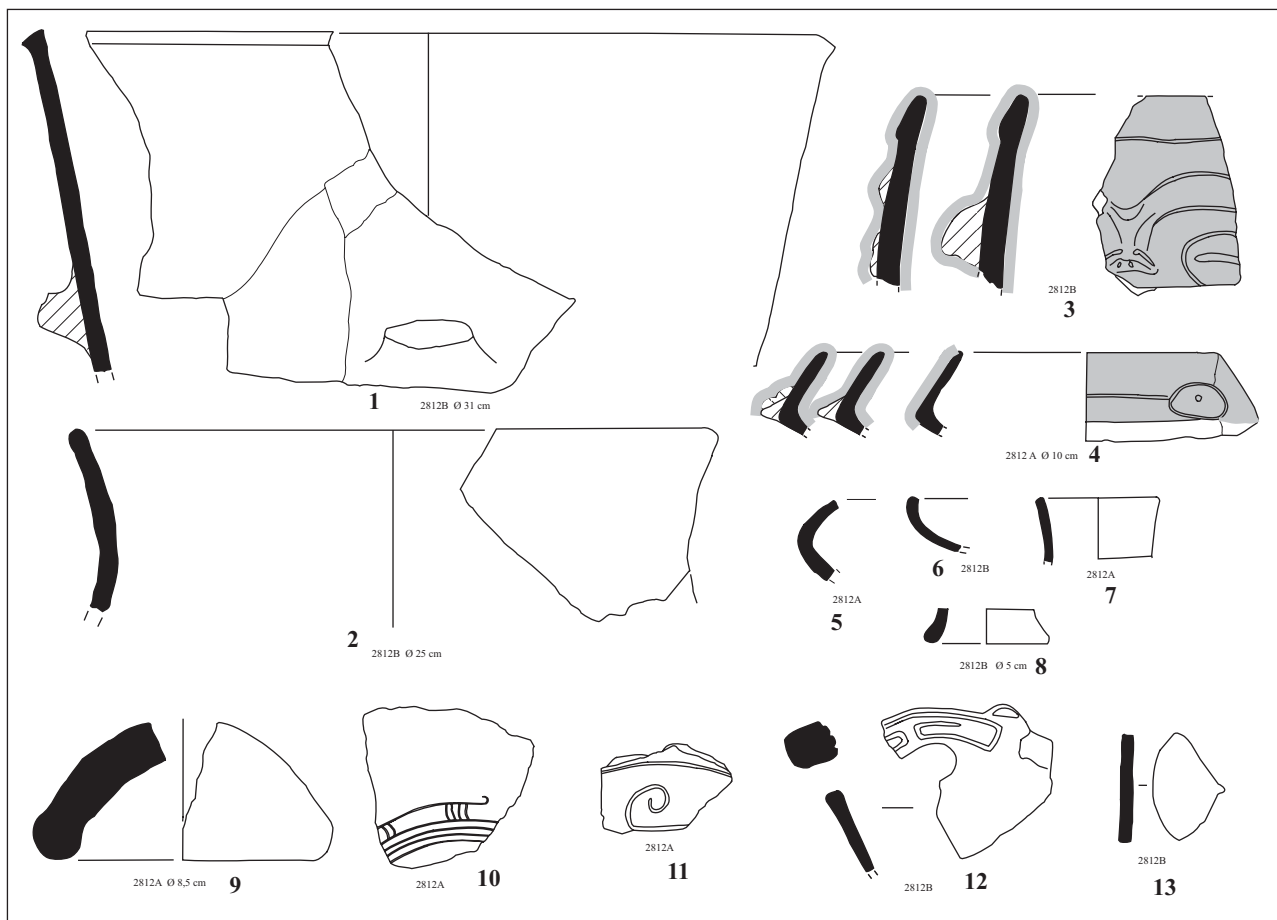


Figure 279 : Hope Estate, céramique du sondage 28, unité stratigraphique E (D. Bonnissent).

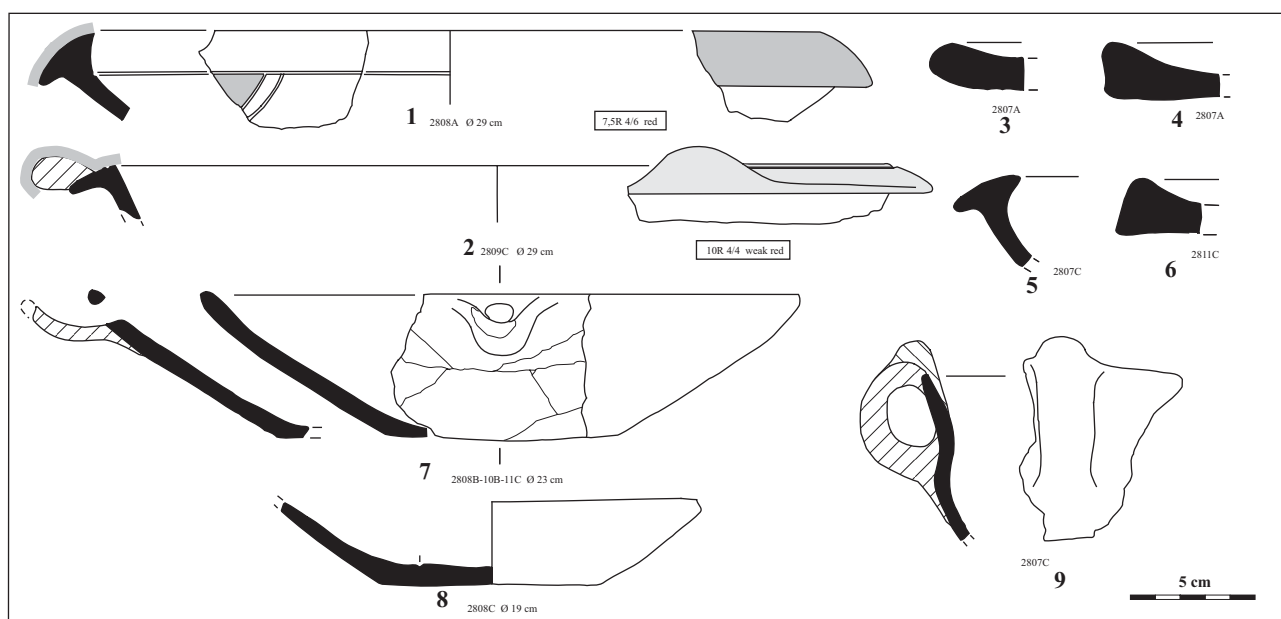


Figure 280 : Hope Estate, céramique du sondage 28, unité stratigraphique D (D. Bonnissent).

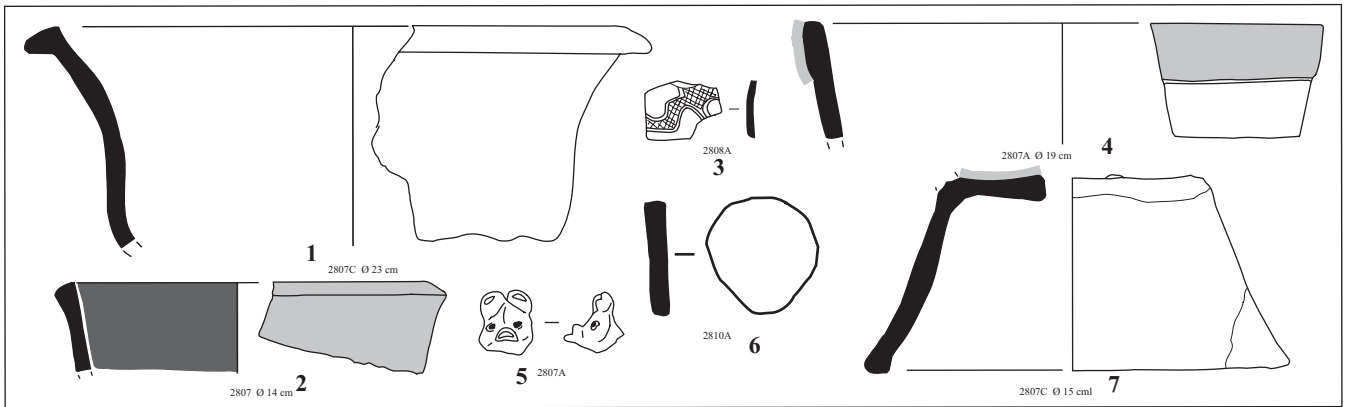


Figure 281 : Hope Estate, céramique du sondage 28, unité stratigraphique D (D. Bonnissent).

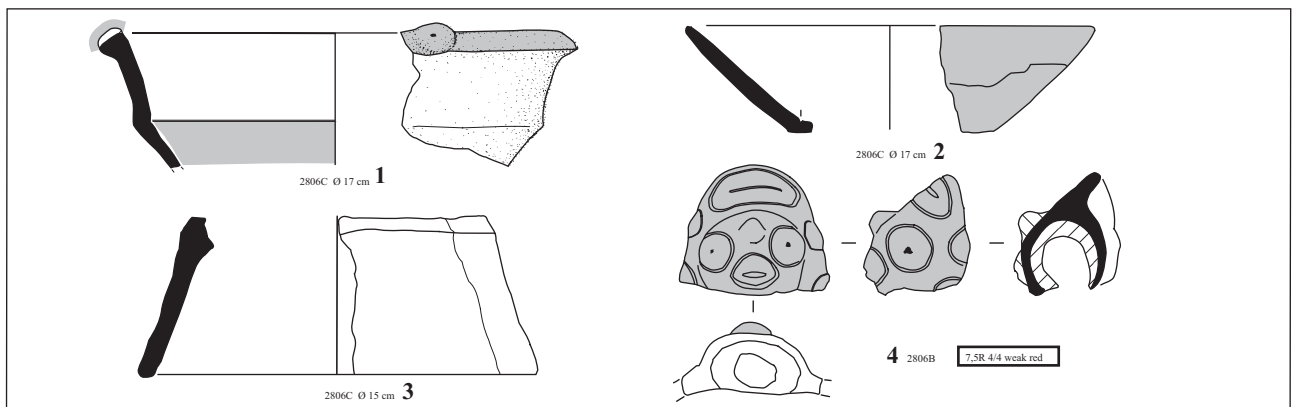


Figure 282 : Hope Estate, céramique du sondage 28, unité stratigraphique C (D. Bonnissent).

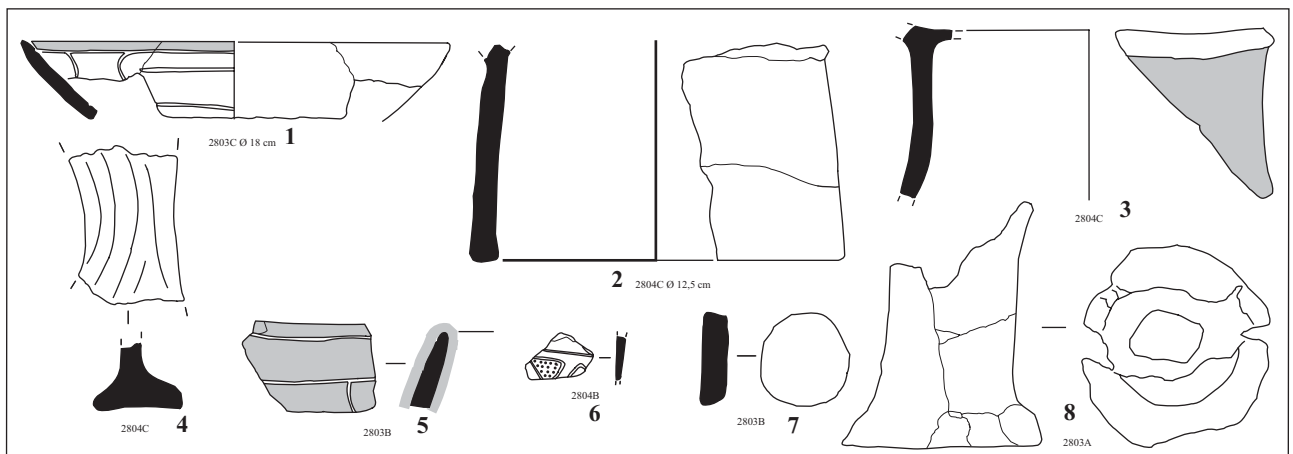


Figure 283 : Hope Estate, céramique du sondage 28, unité stratigraphique B (D. Bonnissent).

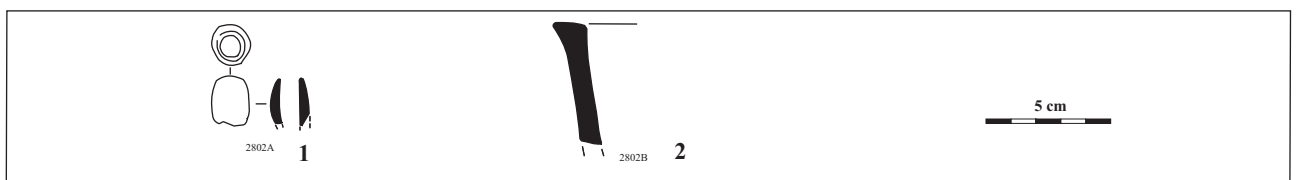


Figure 284 : Hope Estate, céramique du sondage 28, unité stratigraphique A (D. Bonnissent).

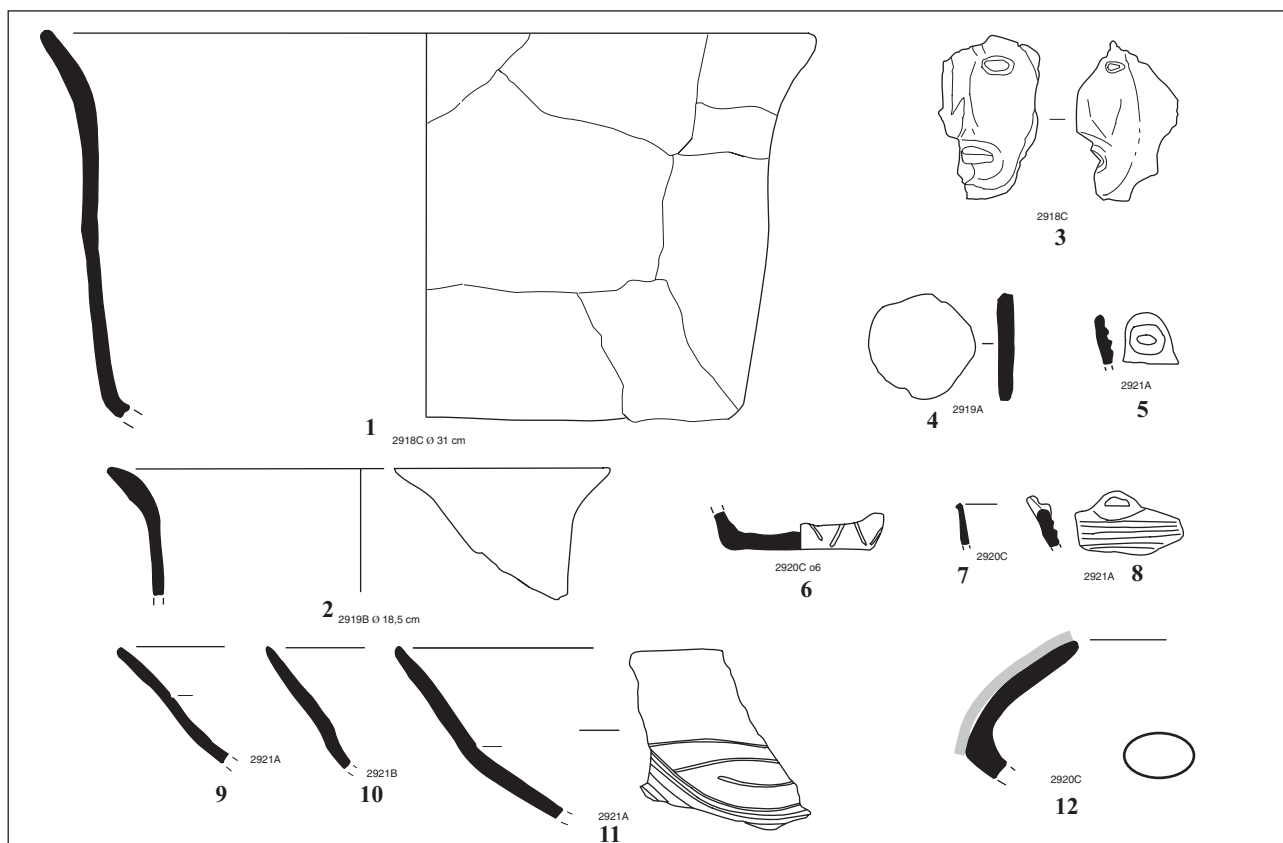


Figure 285 : Hope Estate, céramique du sondage 29, unité stratigraphique H (D. Bonnissent).

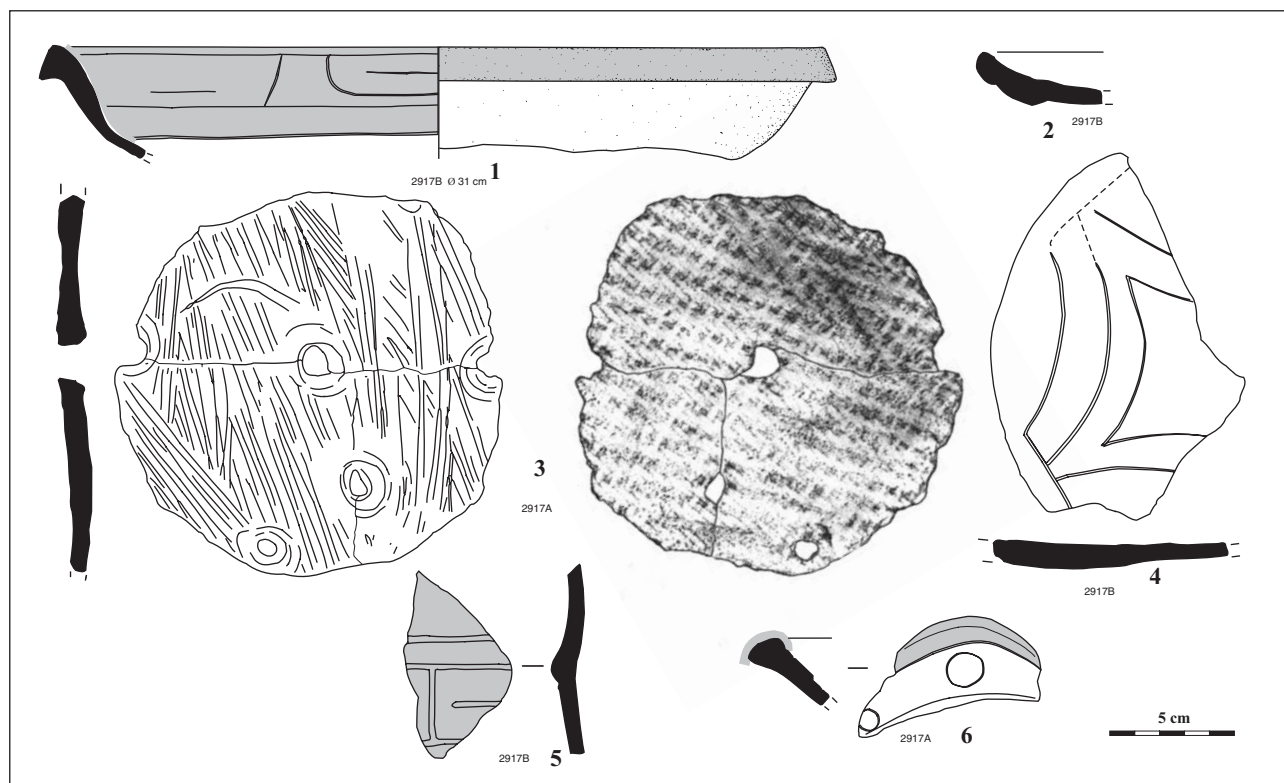


Figure 286 : Hope Estate, céramique du sondage 29, unité stratigraphique G (D. Bonnissent).

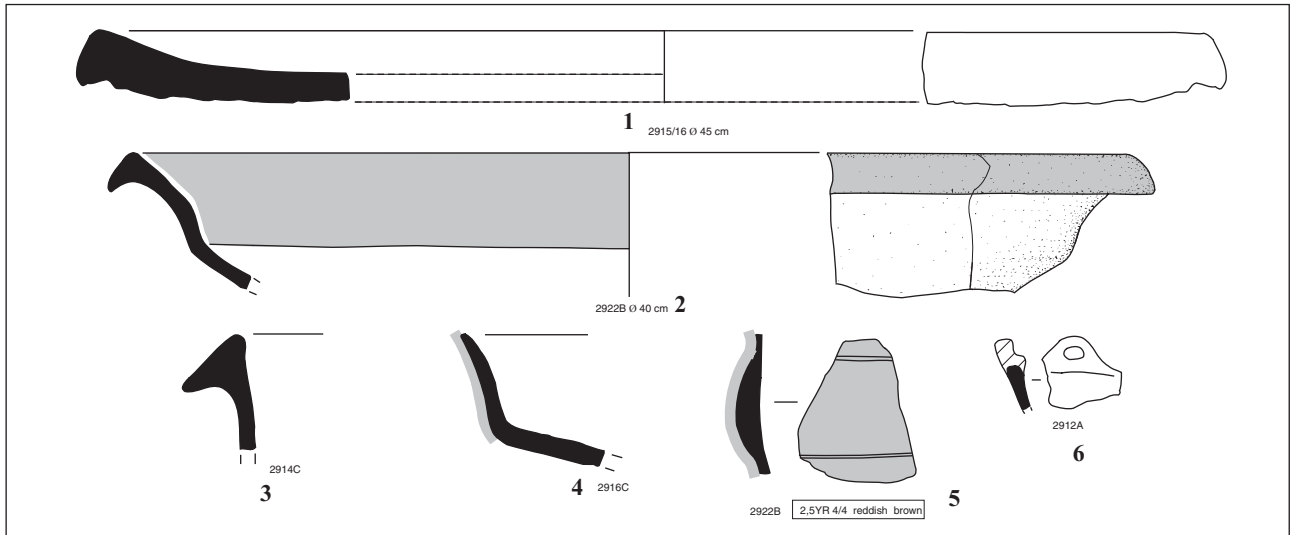


Figure 287 : Hope Estate, céramique du sondage 29, unité stratigraphique F (D. Bonnissent).

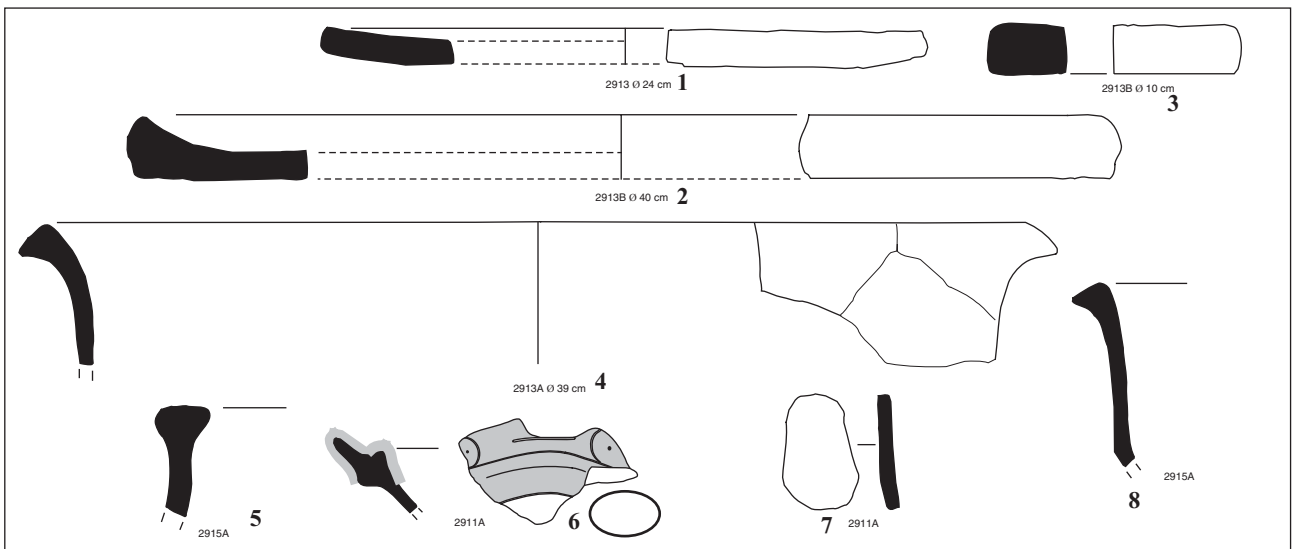


Figure 288 : Hope Estate, céramique du sondage 29, unité stratigraphique E (D. Bonnissent).

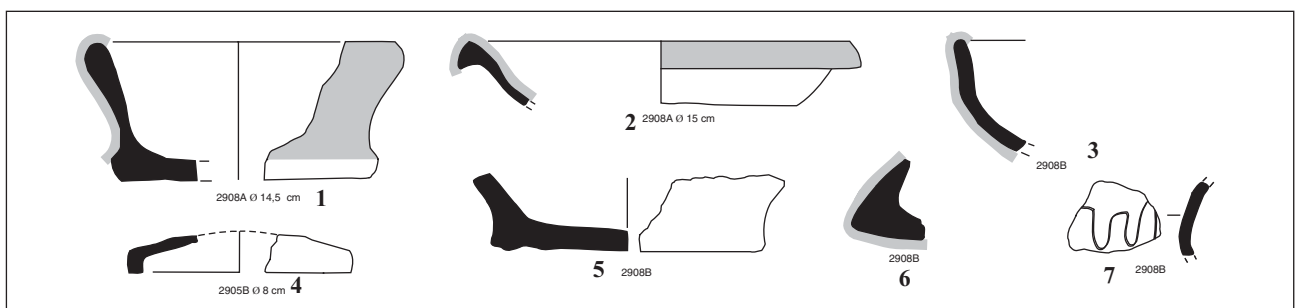


Figure 289 : Hope Estate, céramique du sondage 29, unité stratigraphique D (D. Bonnissent).

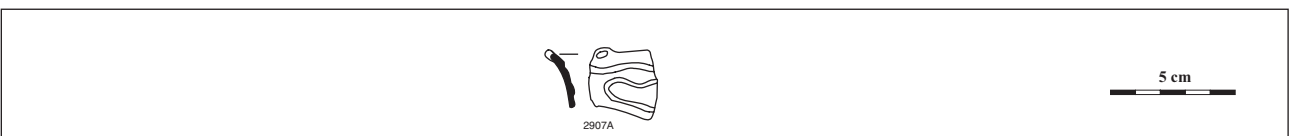


Figure 290 : Hope Estate, céramique du sondage 29, unité stratigraphique C (D. Bonnissent).



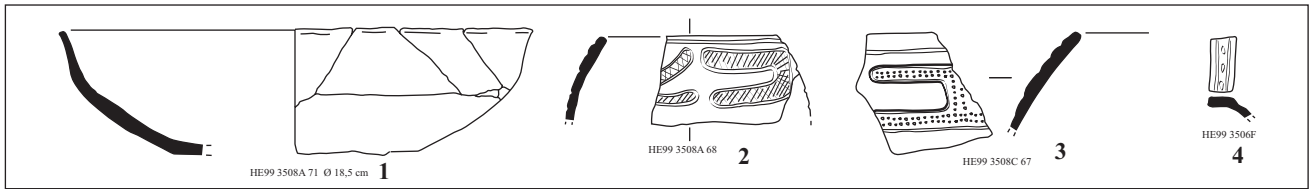


Figure 291 : Hope Estate, céramique du sondage 35, unité stratigraphique G (D. Bonnissent).

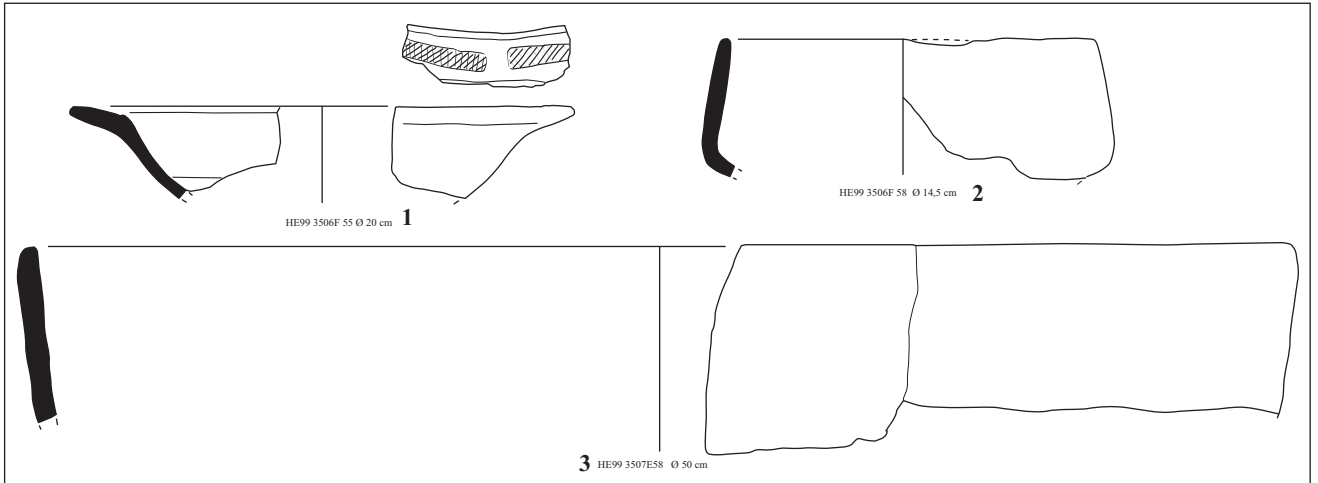


Figure 292 : Hope Estate, céramique du sondage 35, unité stratigraphique F (D. Bonnissent).

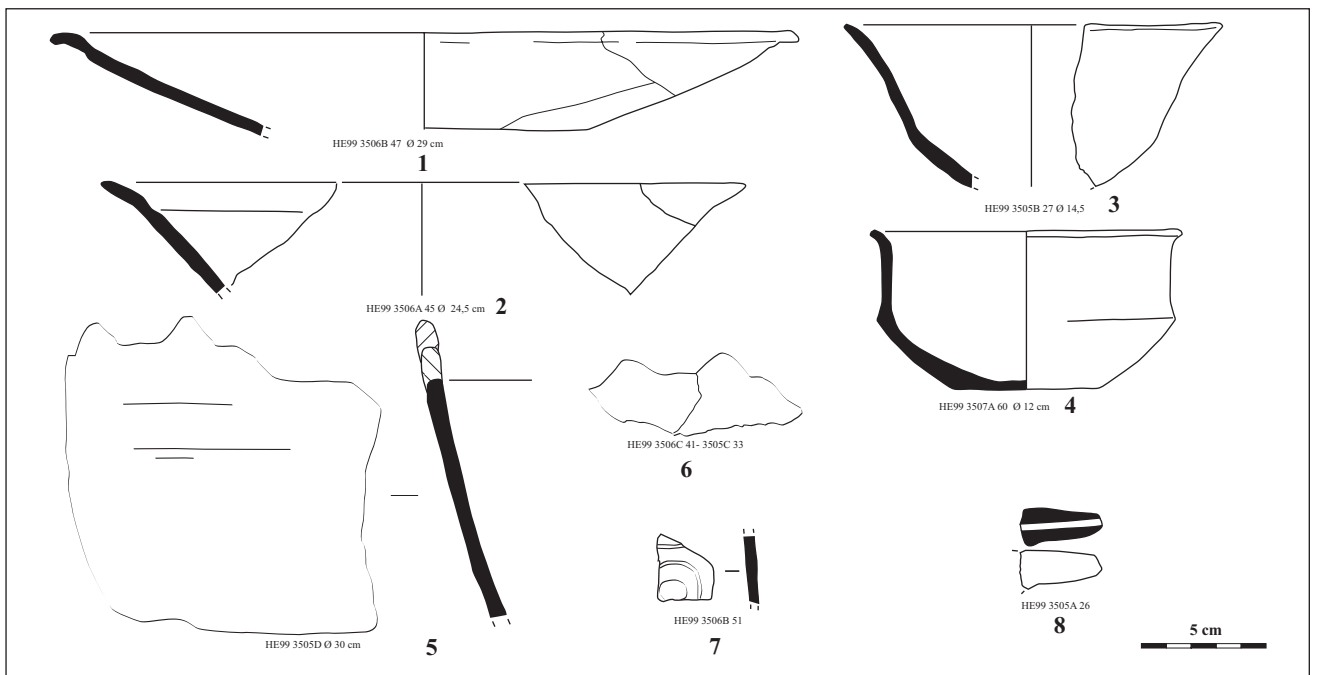


Figure 293 : Hope Estate, céramique du sondage 35, unité stratigraphique E (D. Bonnissent).

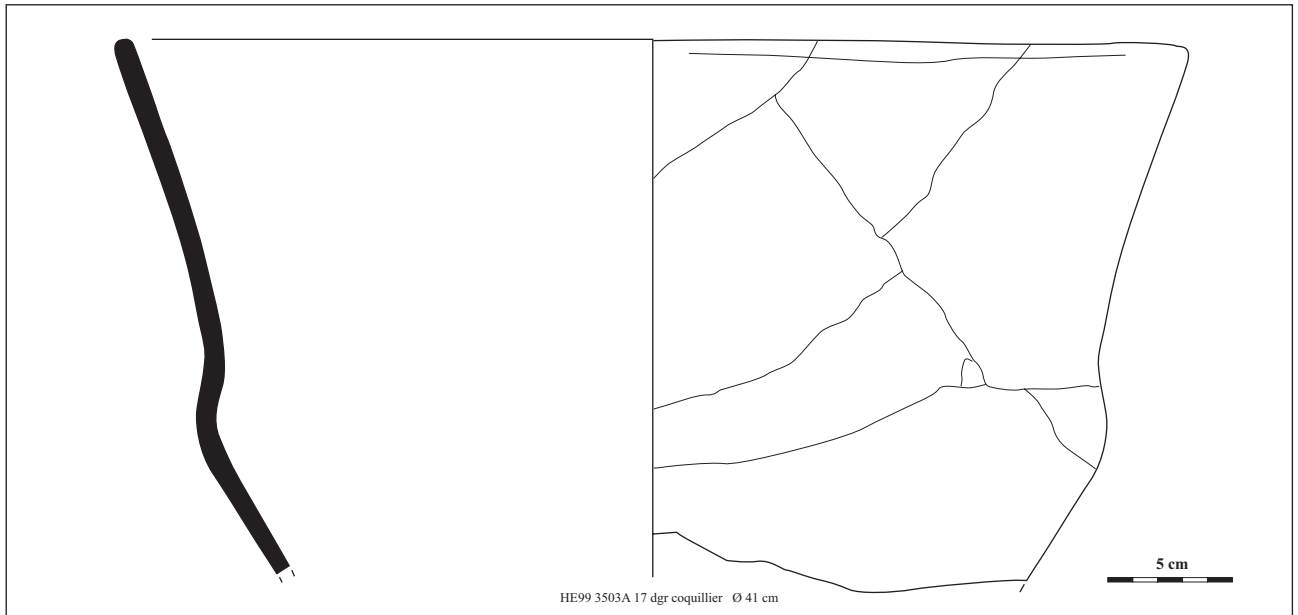


Figure 294 : Hope Estate, céramique du sondage 35, unité stratigraphique D (D. Bonnissent).

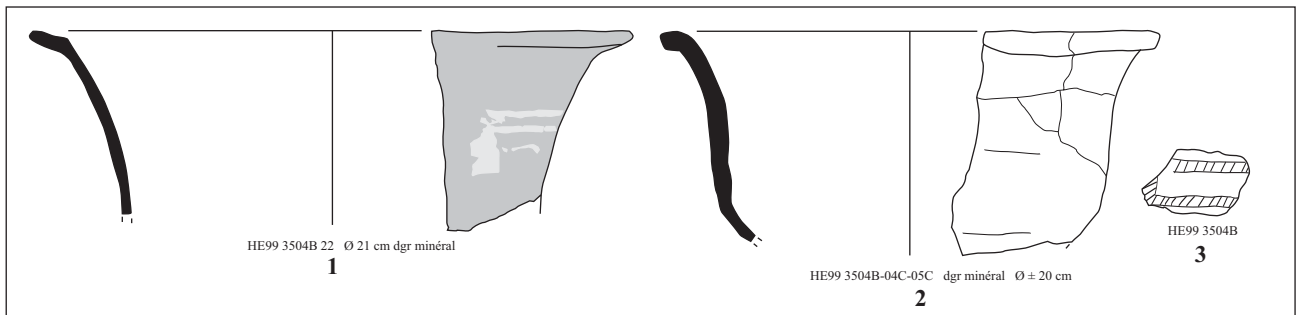


Figure 295 : Hope Estate, céramique du sondage 35, unité stratigraphique C (D. Bonnissent).

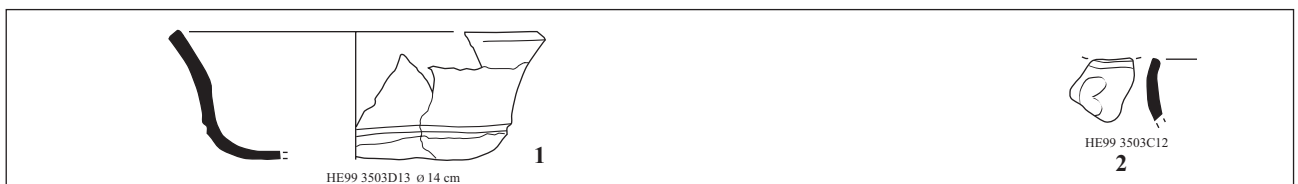


Figure 296 : Hope Estate, céramique du sondage 35, unité stratigraphique B (D. Bonnissent).

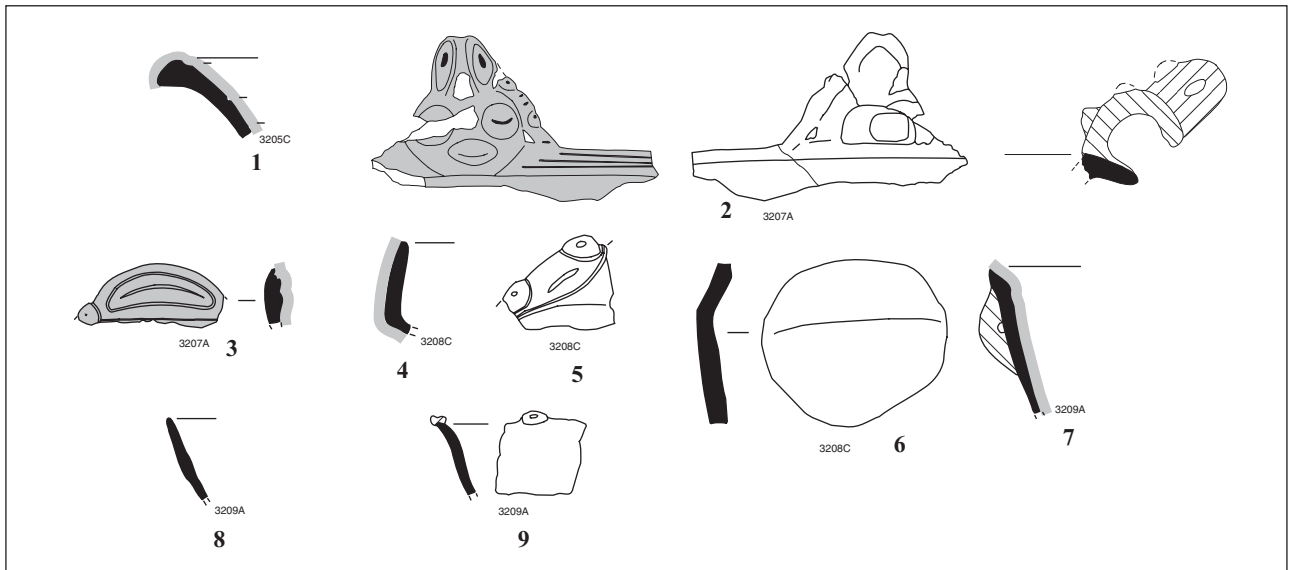


Figure 297 : Hope Estate, céramique du sondage 32. US C : 1, US D : 2-3, US E : 4-6, US F : 7-9 (D. Bonnissent).

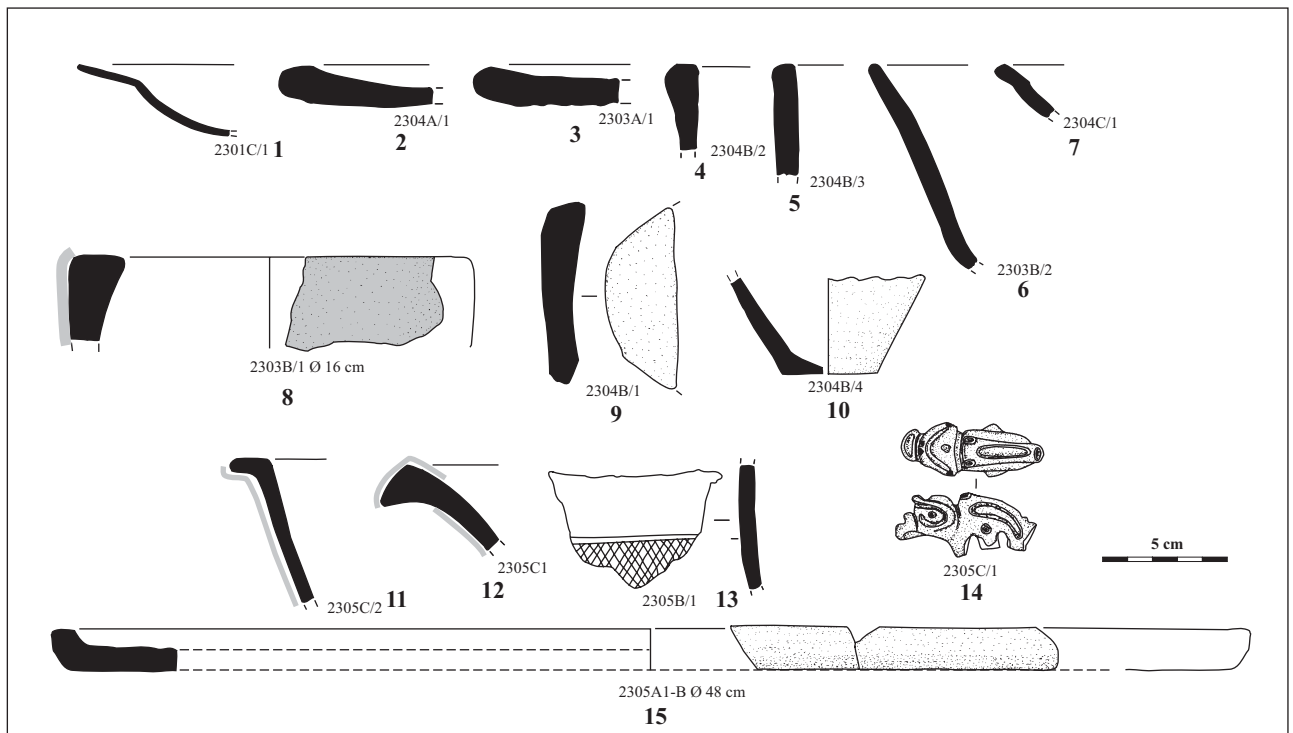


Figure 298 : Hope Estate, céramique du sondage 23. US A : 1, US B : 2-10, US C : 11-15 (D. Bonnissent).

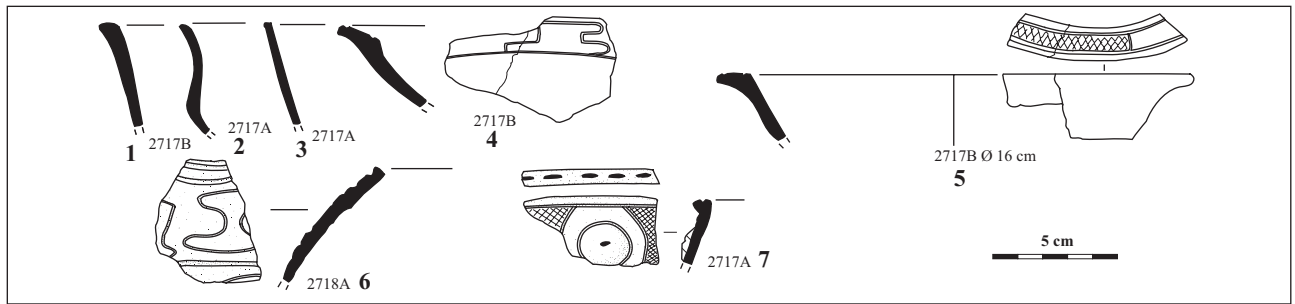


Figure 299 : Hope Estate, céramique du sondage 27, unité stratigraphique F (D. Bonnissent).

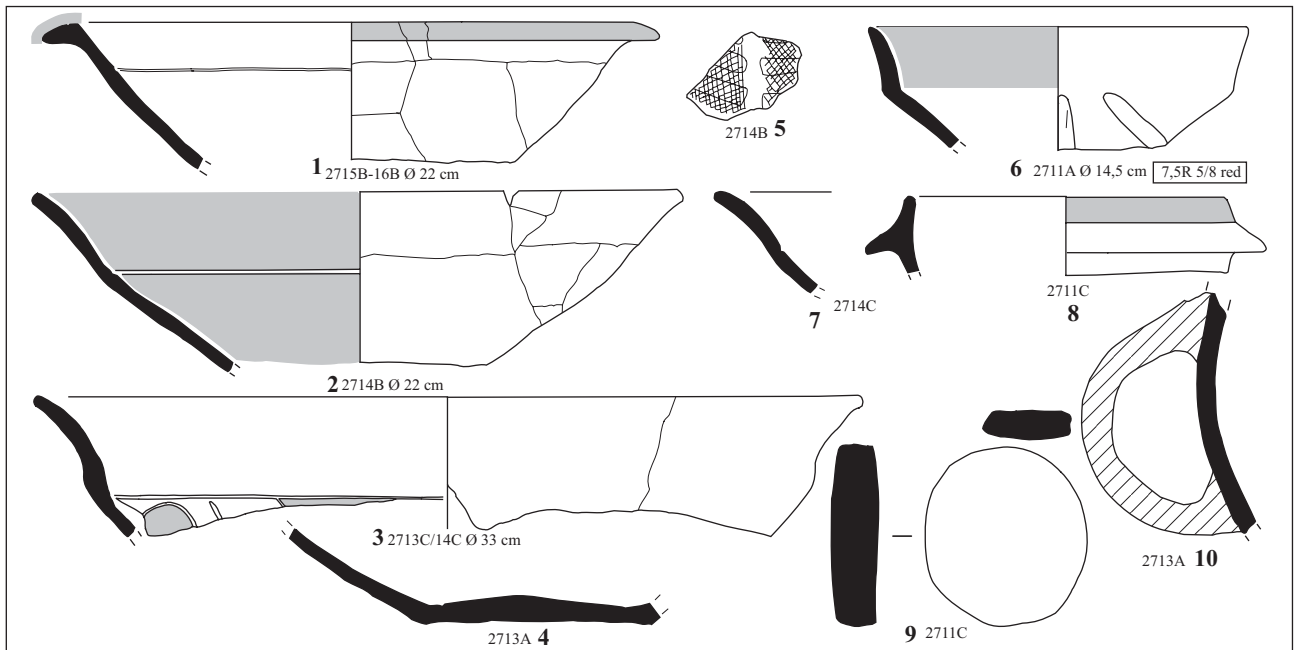


Figure 300 : Hope Estate, céramique du sondage 27, unité stratigraphique E (D. Bonnissent).

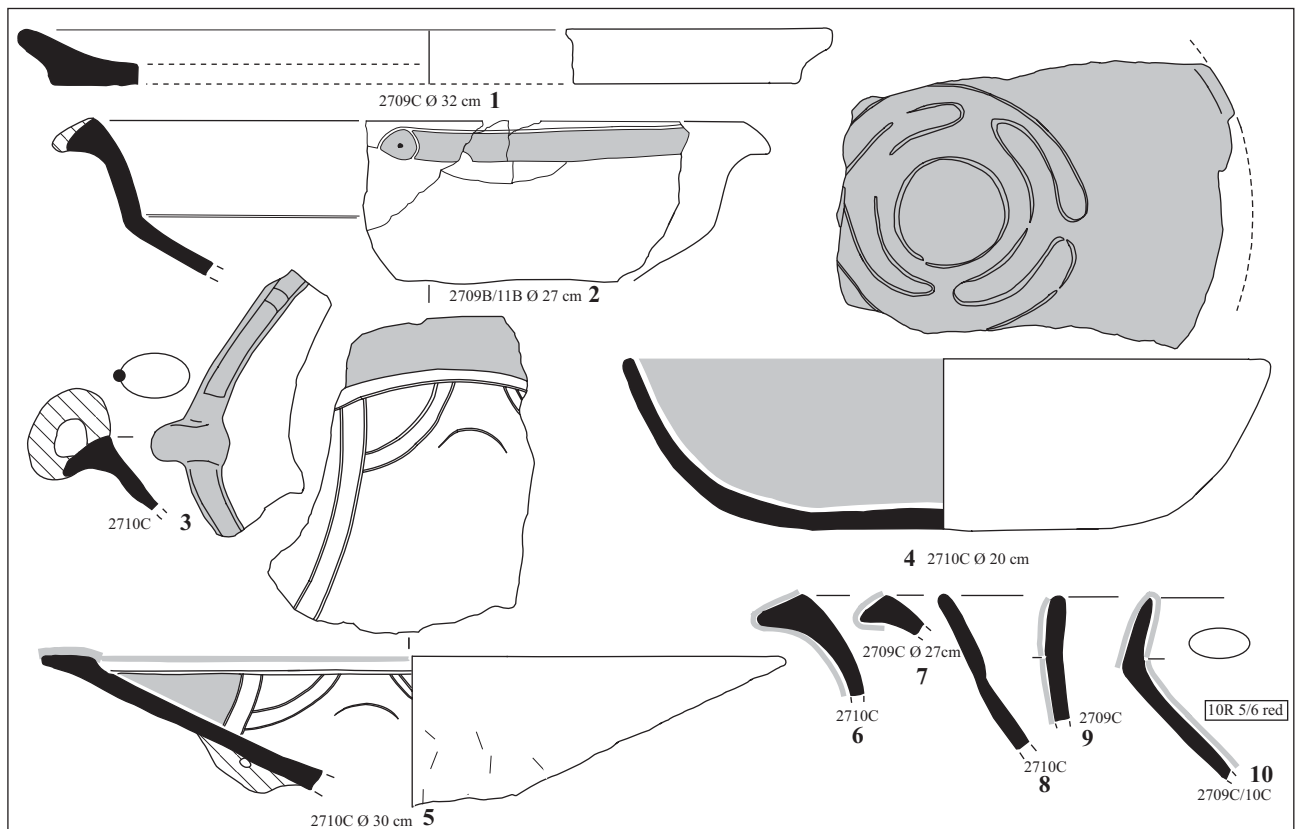


Figure 301 : Hope Estate, céramique du sondage 27, unité stratigraphique D (D. Bonnissent).

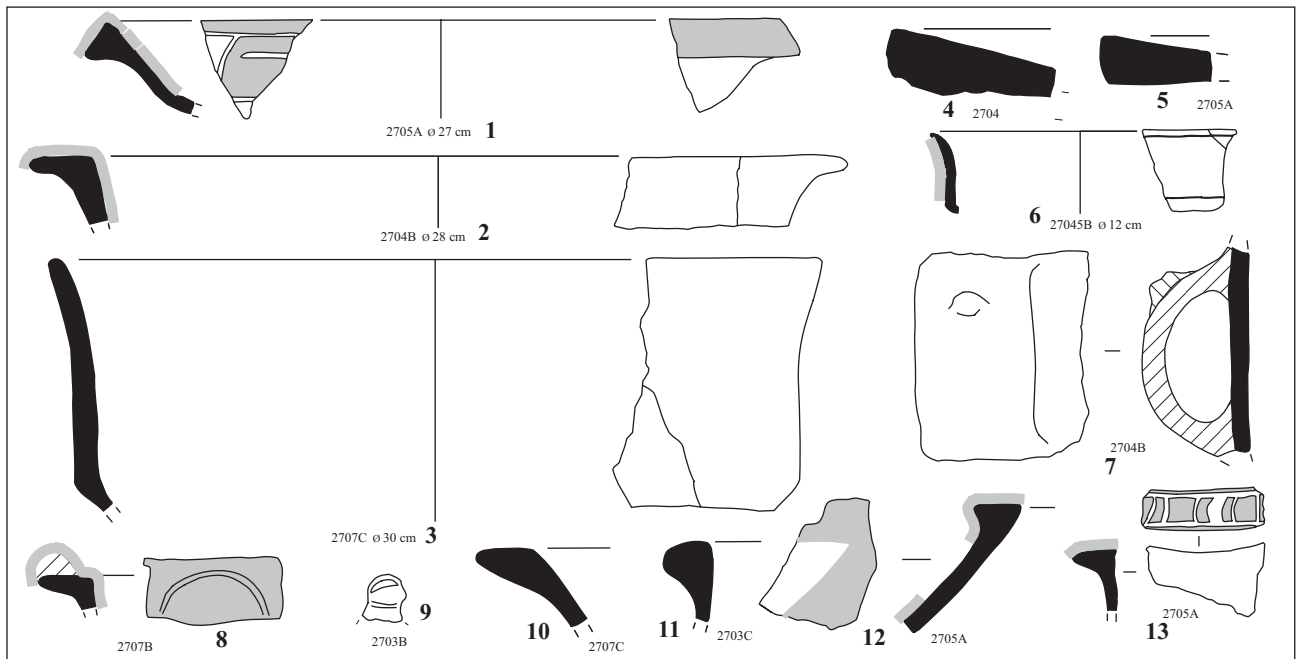


Figure 302 : Hope Estate, céramique du sondage 27, unité stratigraphique C (D. Bonnissent).

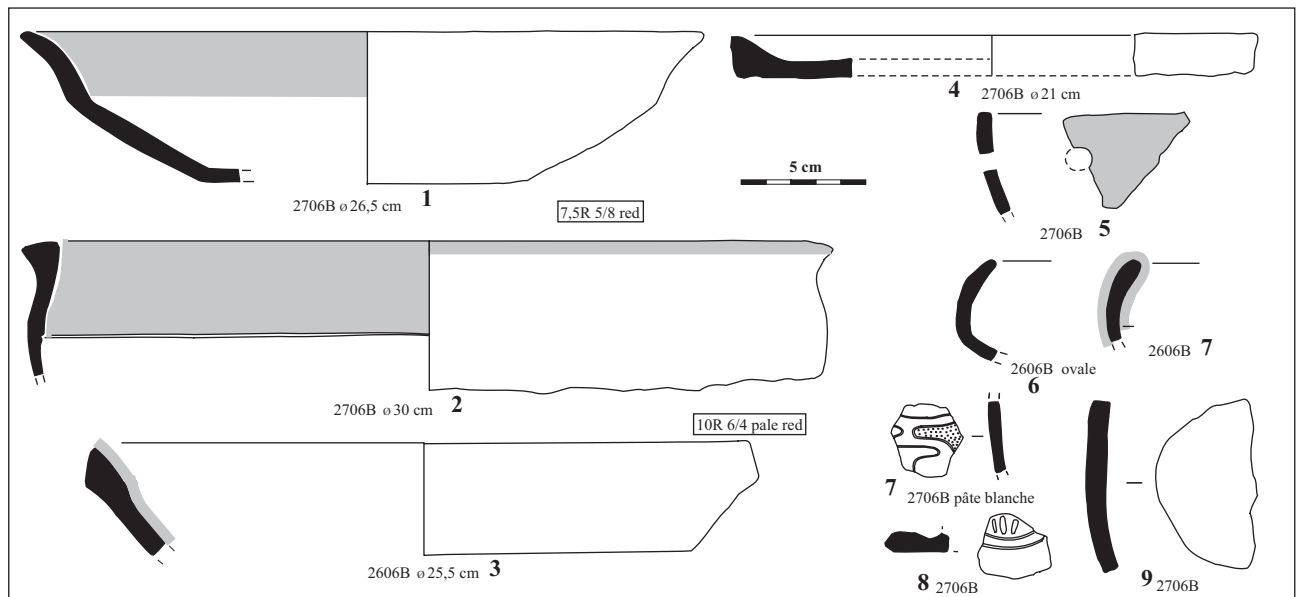


Figure 303 : Hope Estate, céramique du sondage 27, unité stratigraphique B (D. Bonnissent).

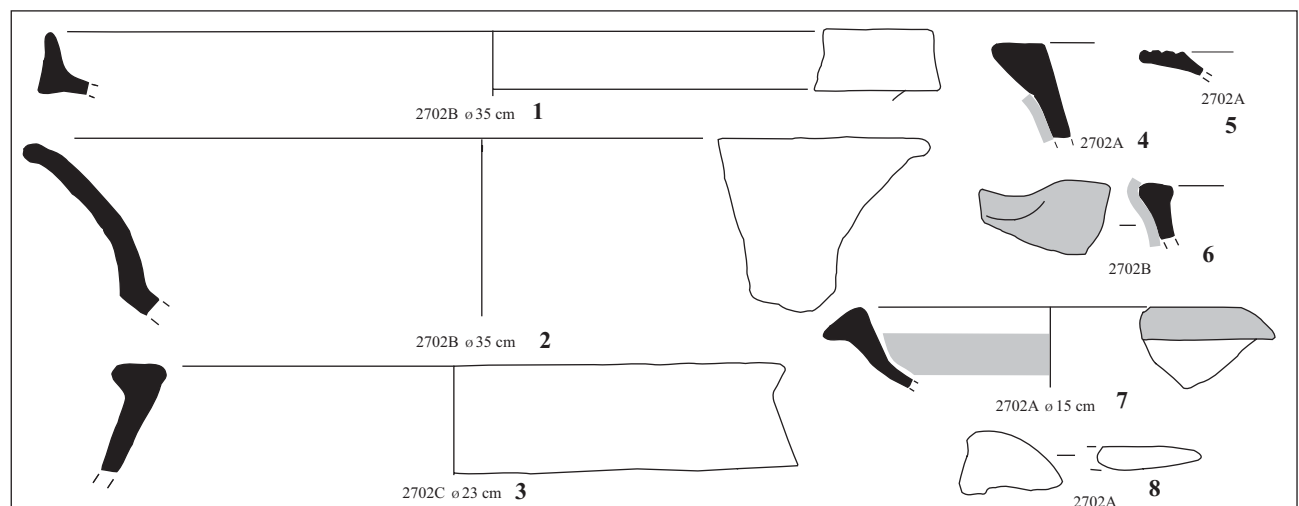


Figure 304 : Hope Estate, céramique du sondage 27, unité stratigraphique A (D. Bonnissent).



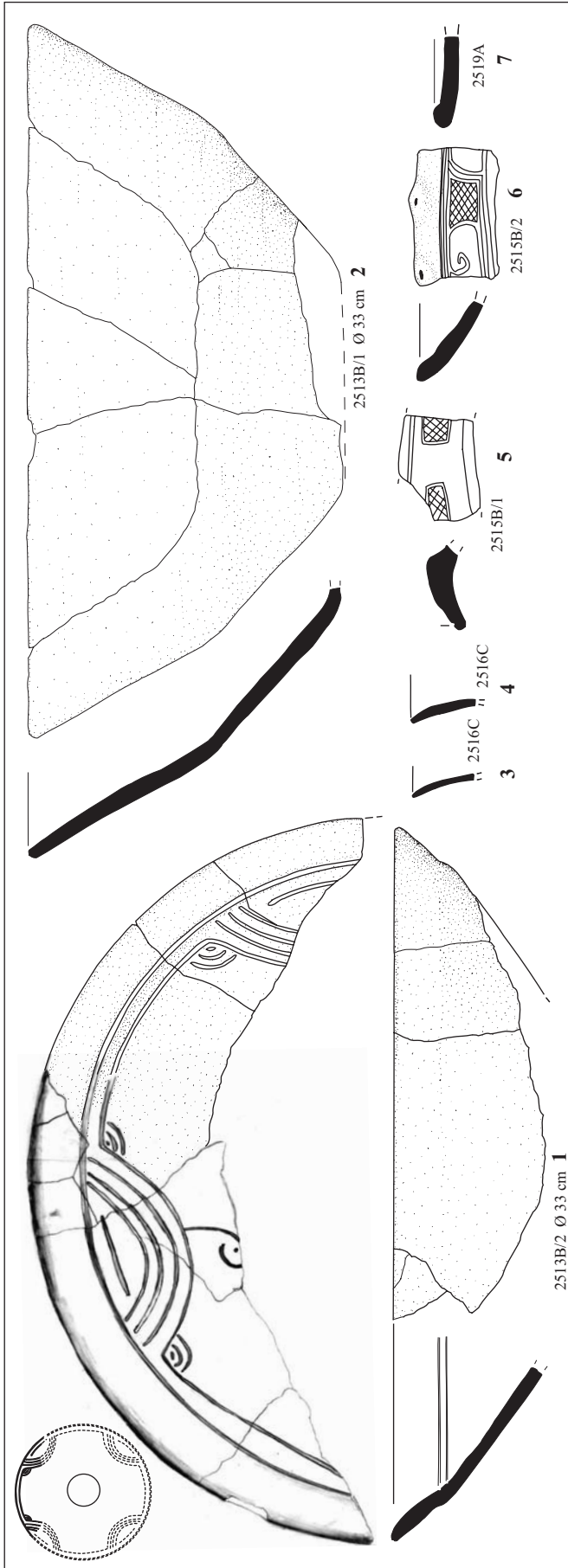


Figure 305 : Hope Estate, céramique du sondage 25. 1-6 : US E, 7 : US D (D. Bonnissent).

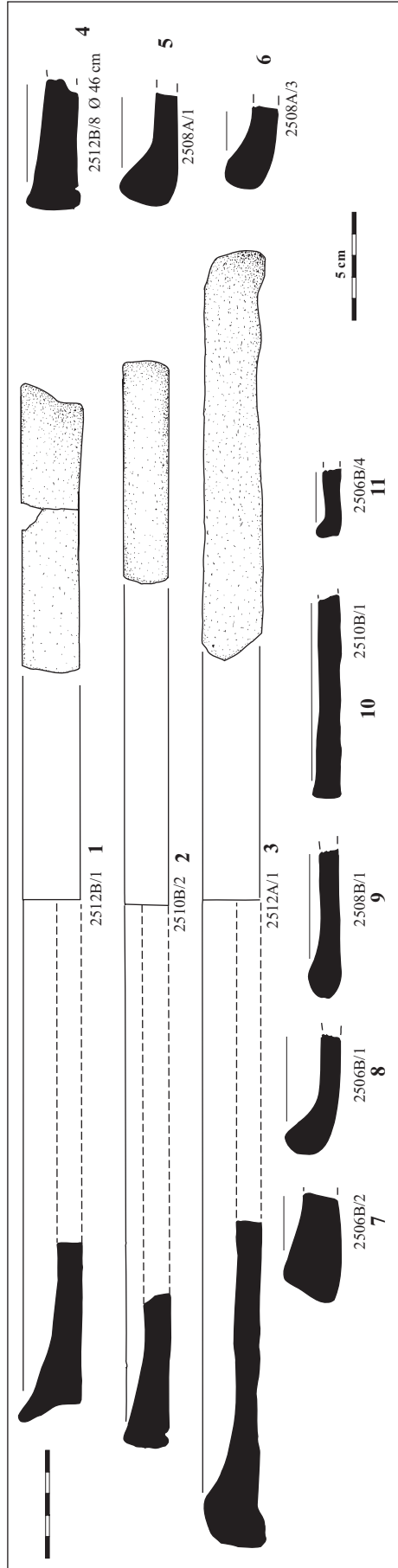


Figure 306 : Hope Estate, céramique du sondage 25, les platines, unité stratigraphique C (D. Bonnissent).

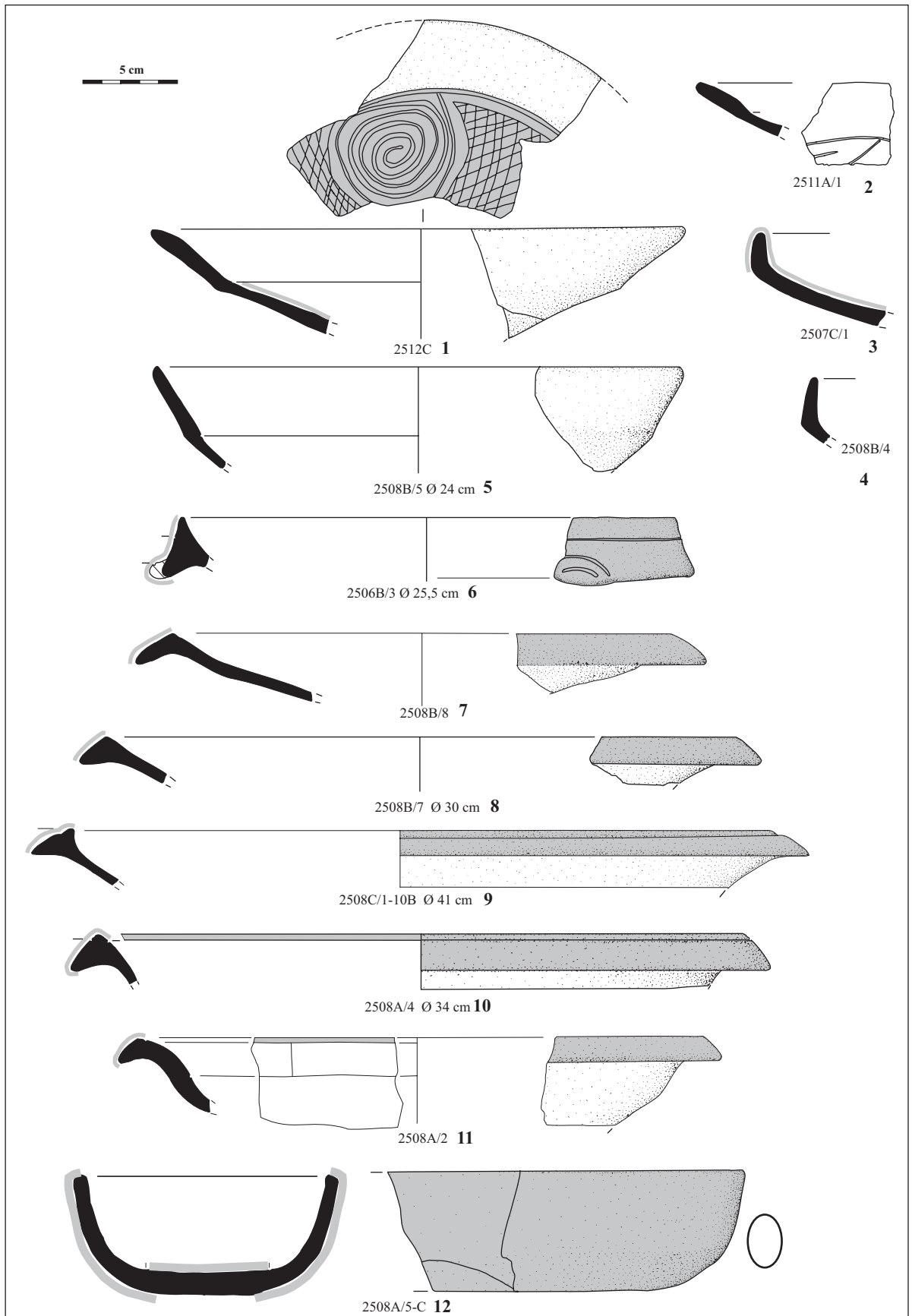


Figure 307 : Hope Estate, les écuelles et les jattes, unité stratigraphique C du sondage 25 (D. Bonnissent).

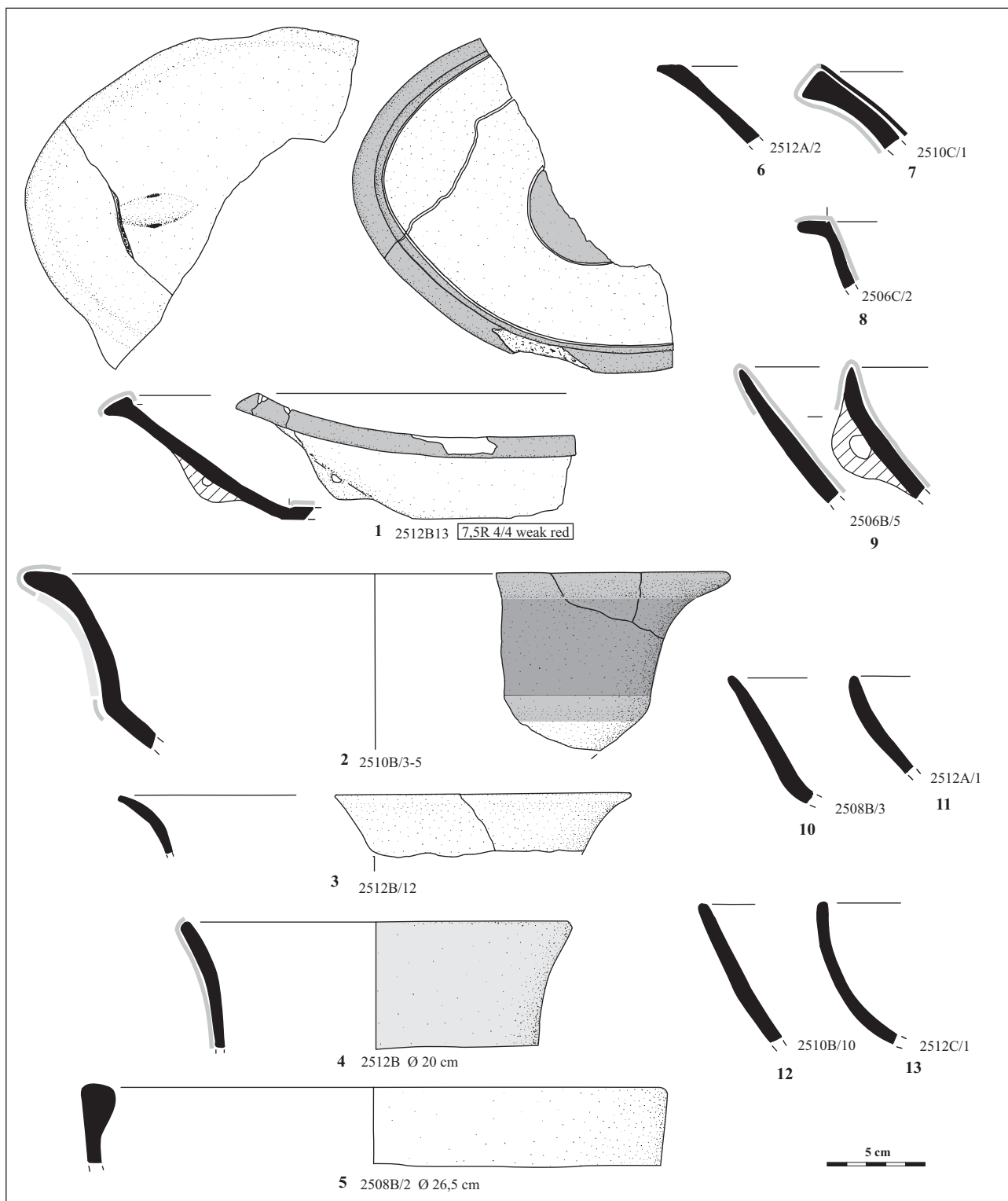


Figure 308 : Hope Estate, écuelles, bols et jattes de l'unité stratigraphique C du sondage 25 (D. Bonnissent).

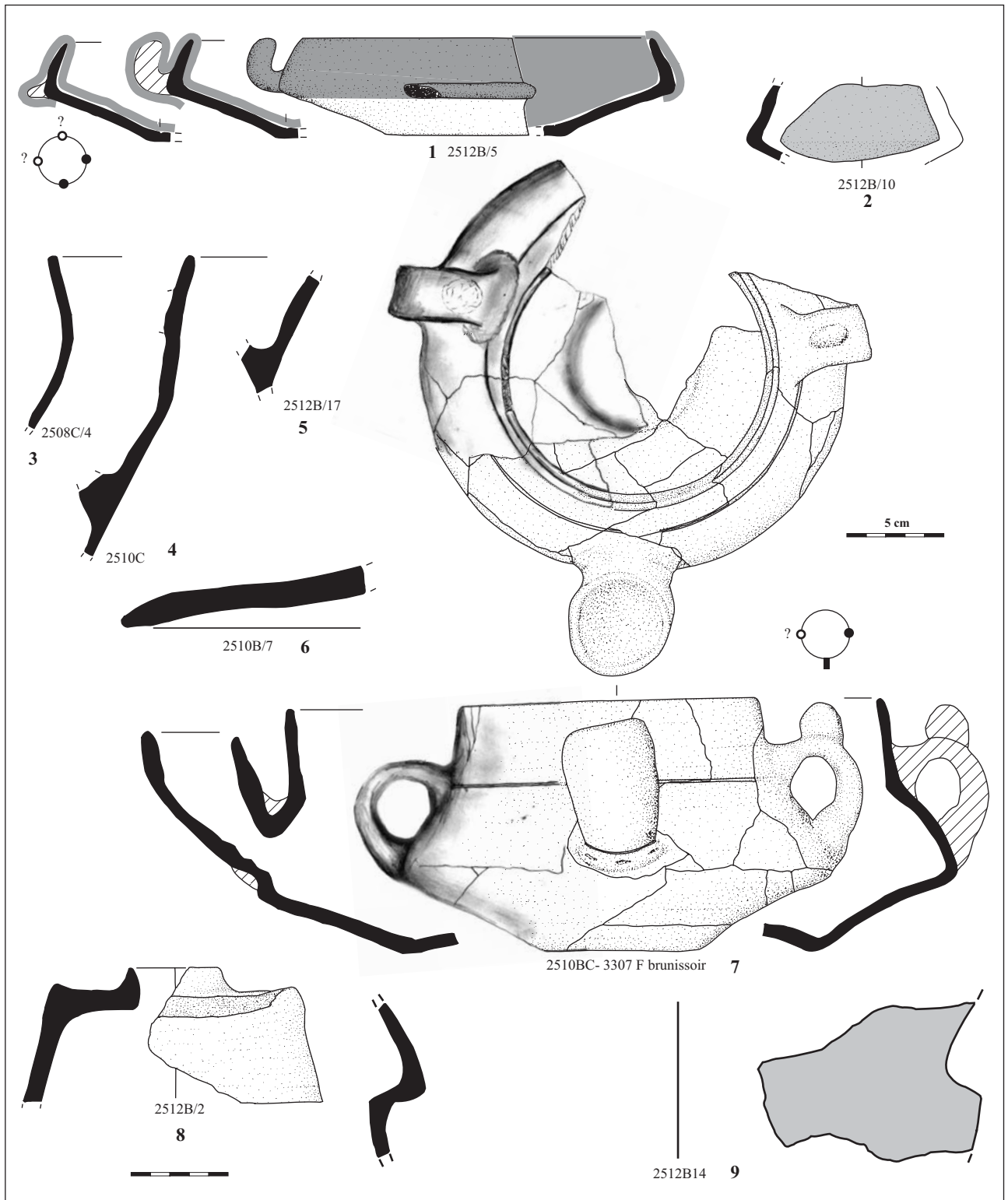


Figure 309 : Hope Estate, les formes fermées de l'unité stratigraphique C du sondage 25 (D. Bonnissent).

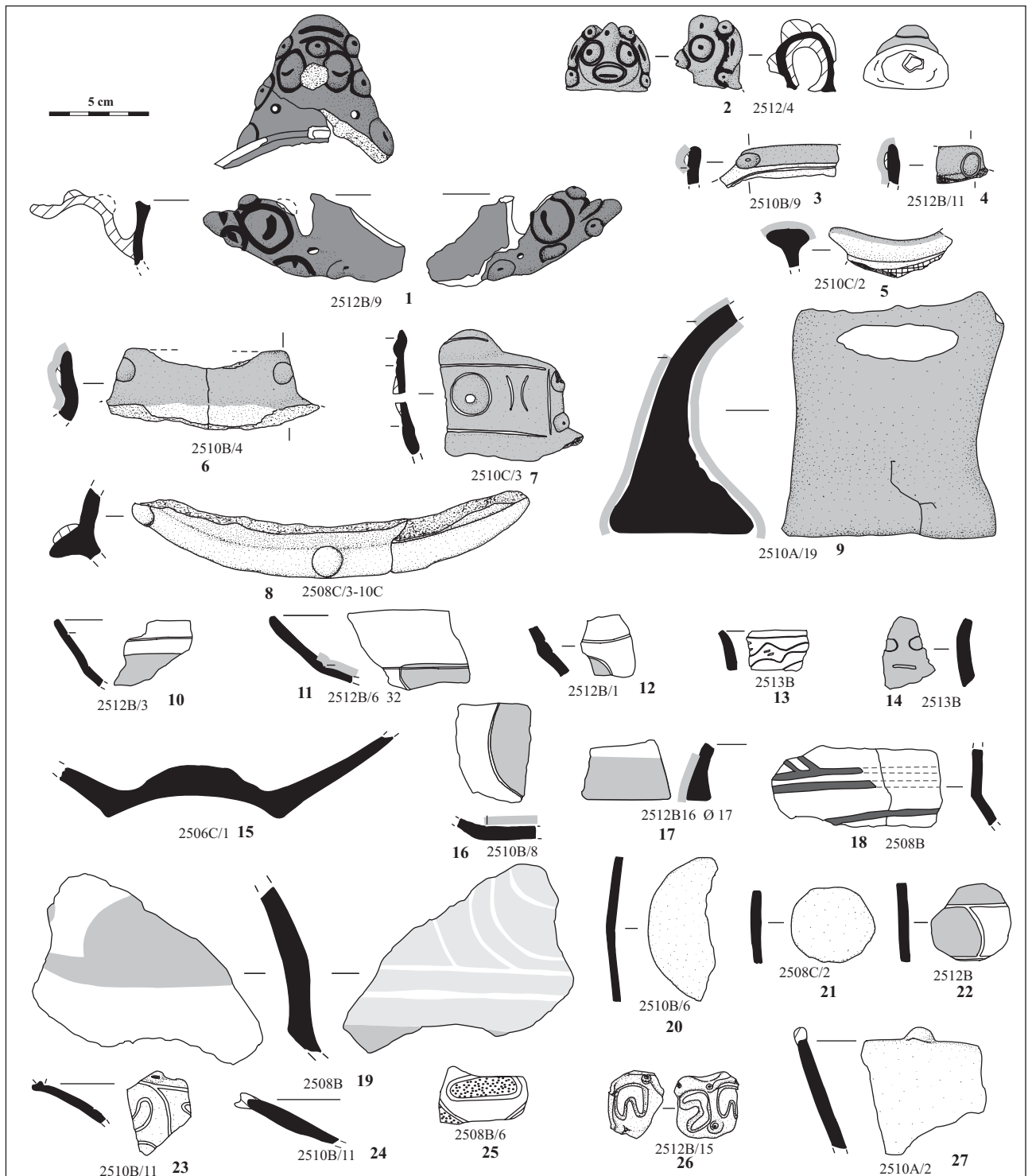


Figure 310 : Hope Estate, céramique de l'unité stratigraphique C du sondage 25 (D. Bonnissent).

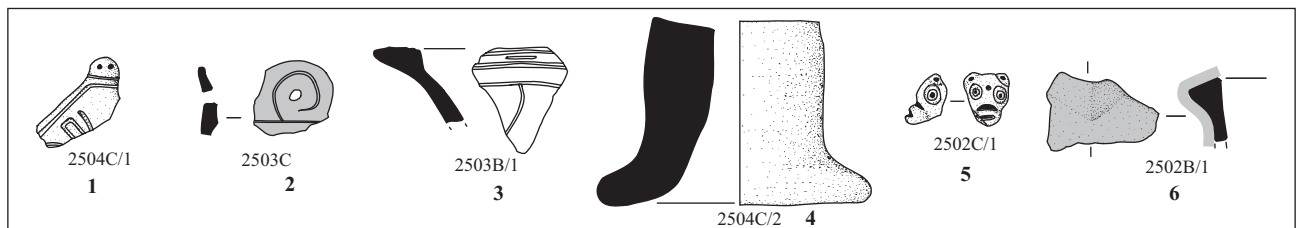


Figure 311 : Hope Estate, céramique du sondage 25. 1-4 US B, 5-6 : US A (D. Bonnissent).



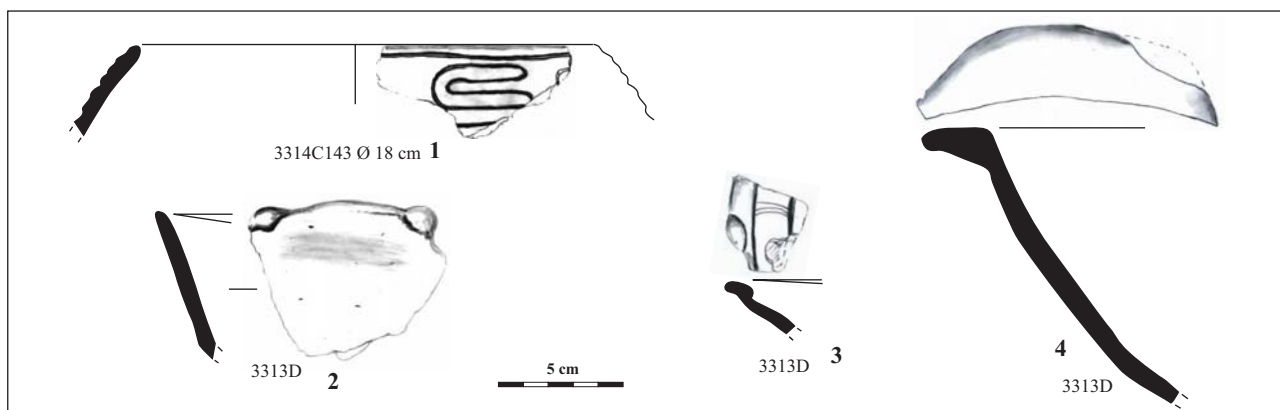


Figure 312 : Hope Estate, céramique de l'unité stratigraphique J, sondage 33 (D. Bonnissent).

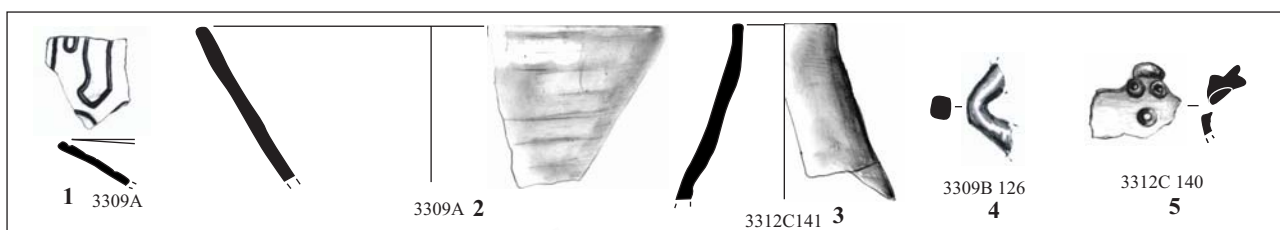


Figure 313 : Hope Estate, céramique de l'unité stratigraphique I, sondage 33 (D. Bonnissent).

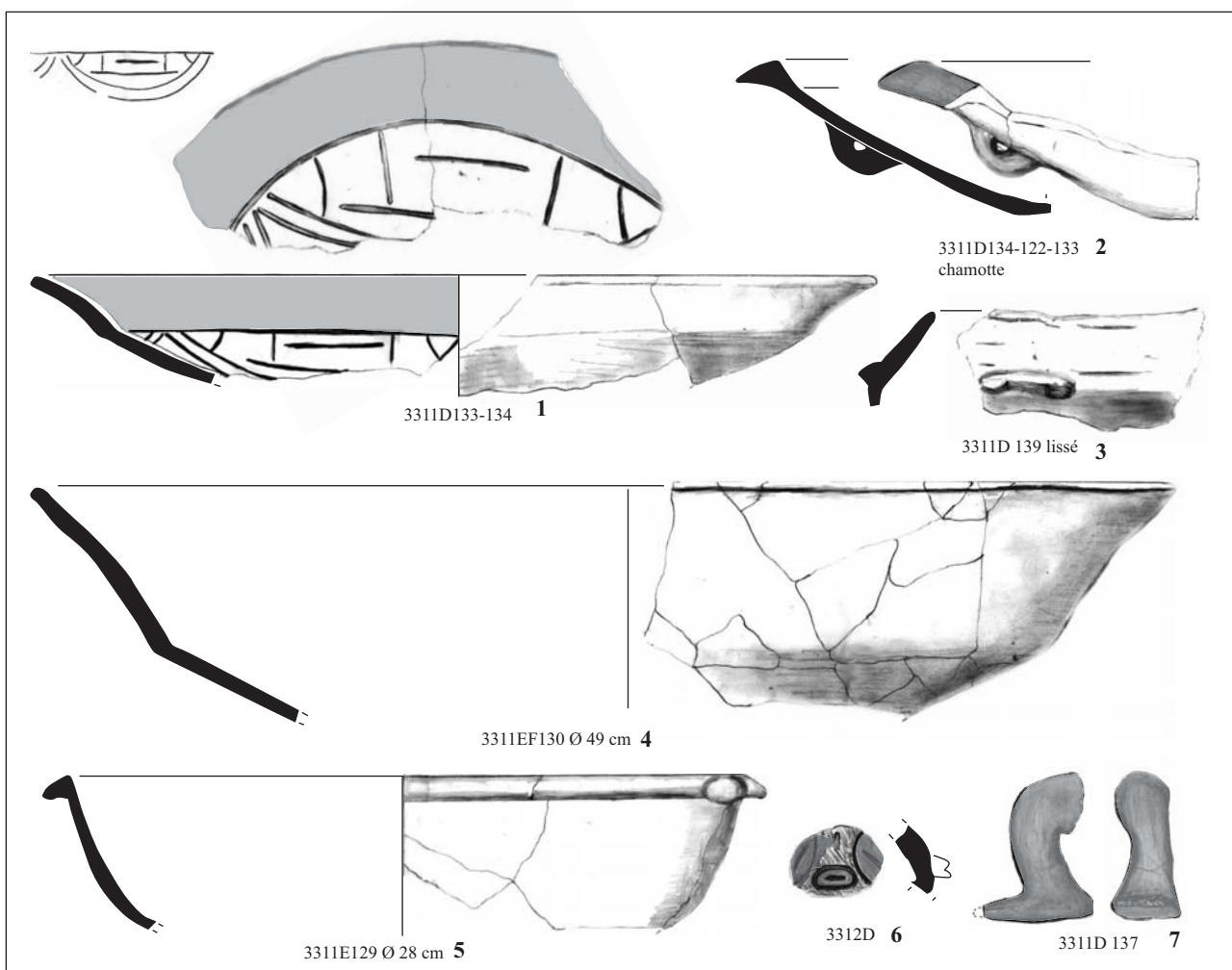


Figure 314 : Hope Estate, céramique de l'unité stratigraphique H, sondage 33 (D. Bonnissent).

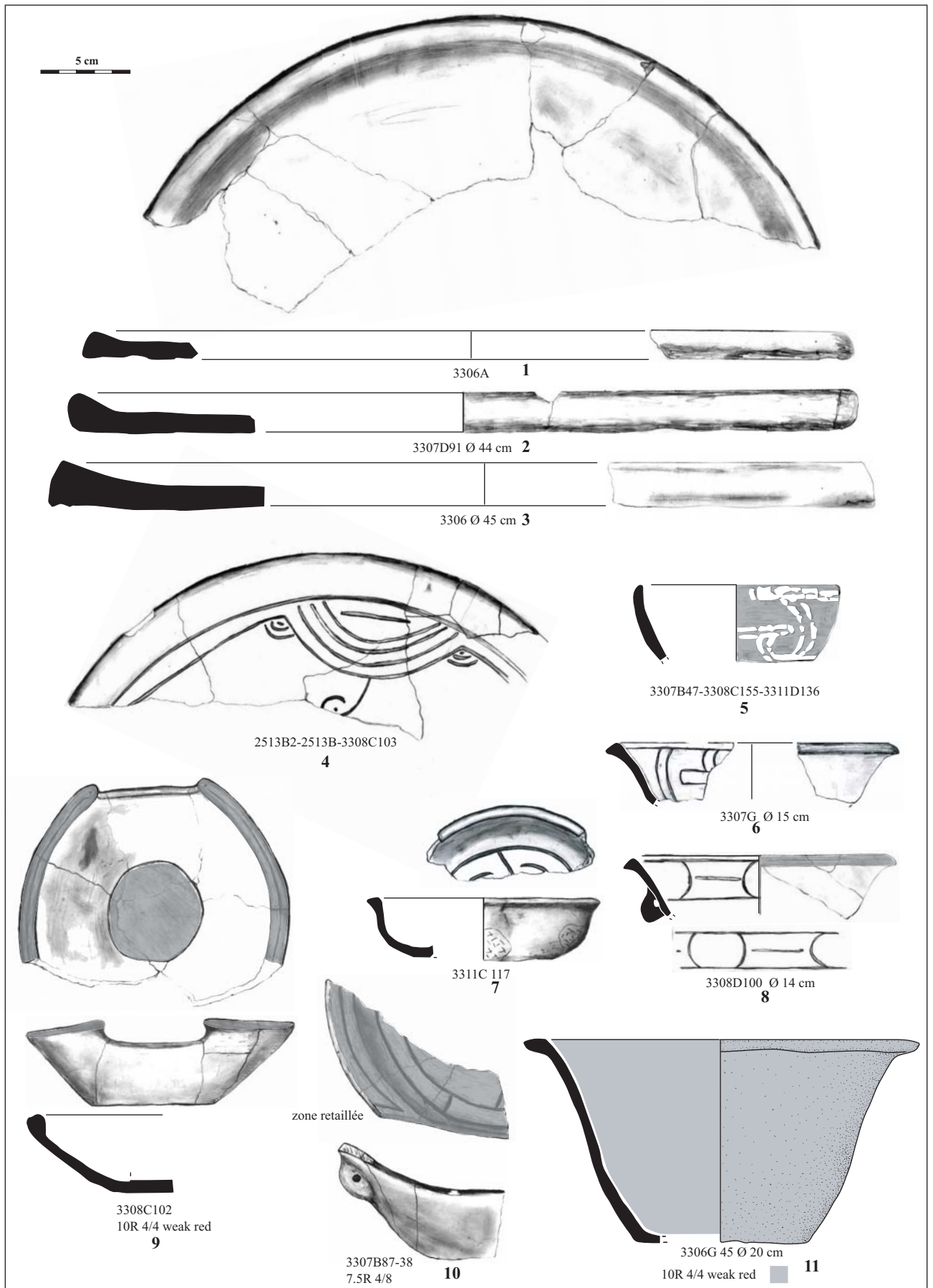


Figure 315 : Hope Estate, platines, écuelles et bols de l'unité stratigraphique G du sondage 33 (D. Bonnissent).

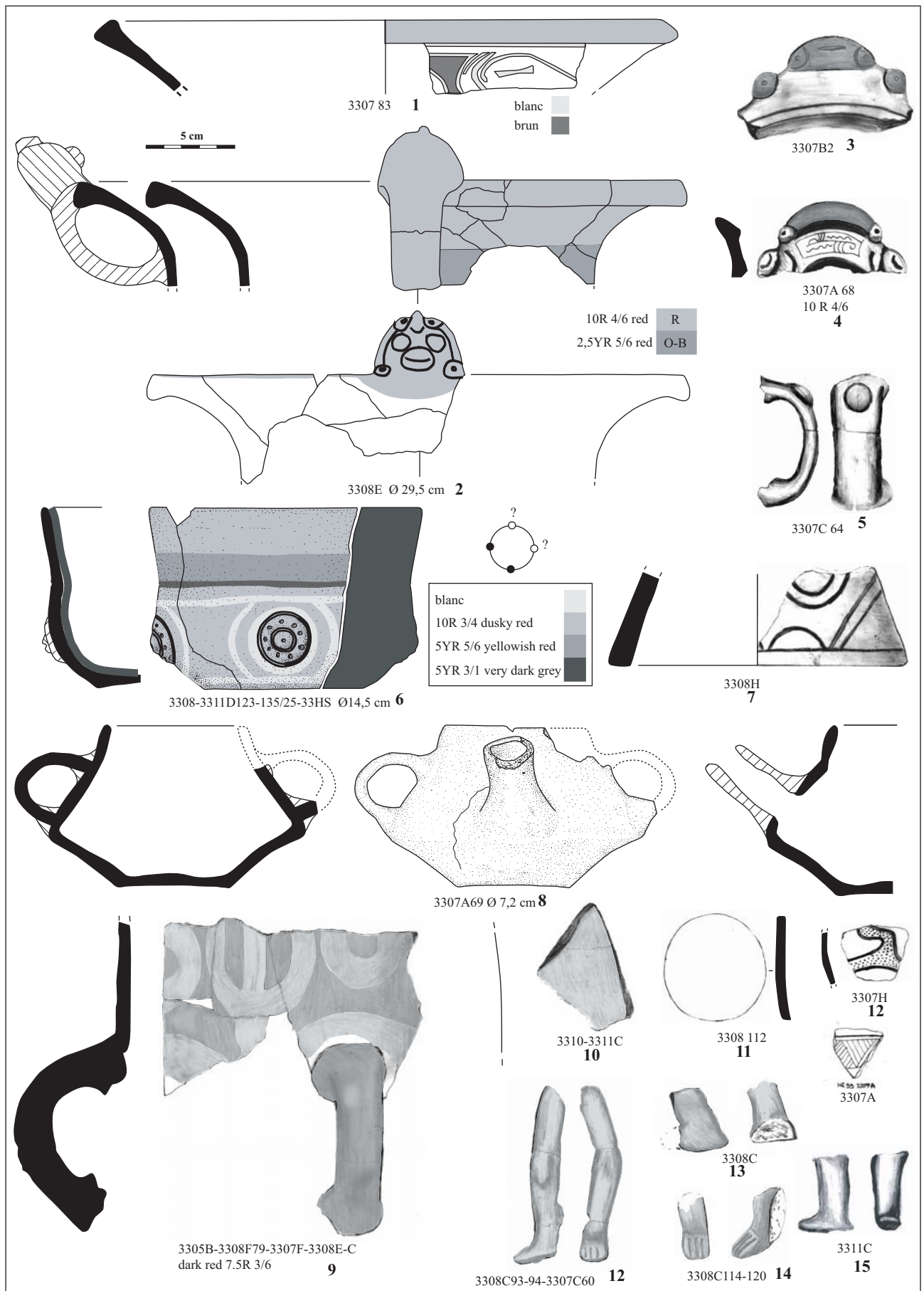


Figure 316 : Hope Estate, écuelles et bols de l'unité stratigraphique G du sondage 33 (D. Bonnissent).

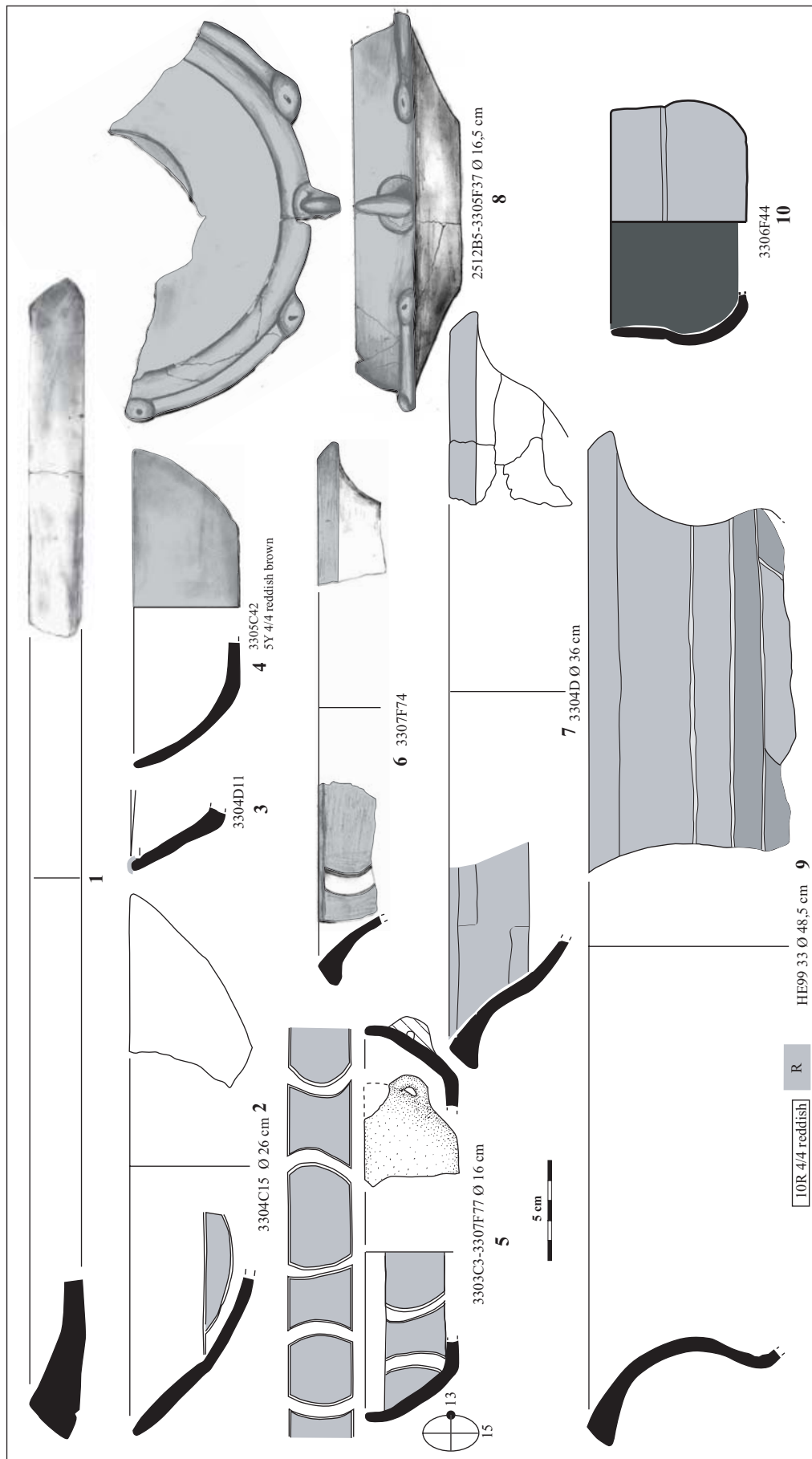


Figure 317 : Hope Estate, céramique de unité stratigraphique F du sondage 33 (D. Bonnissent).

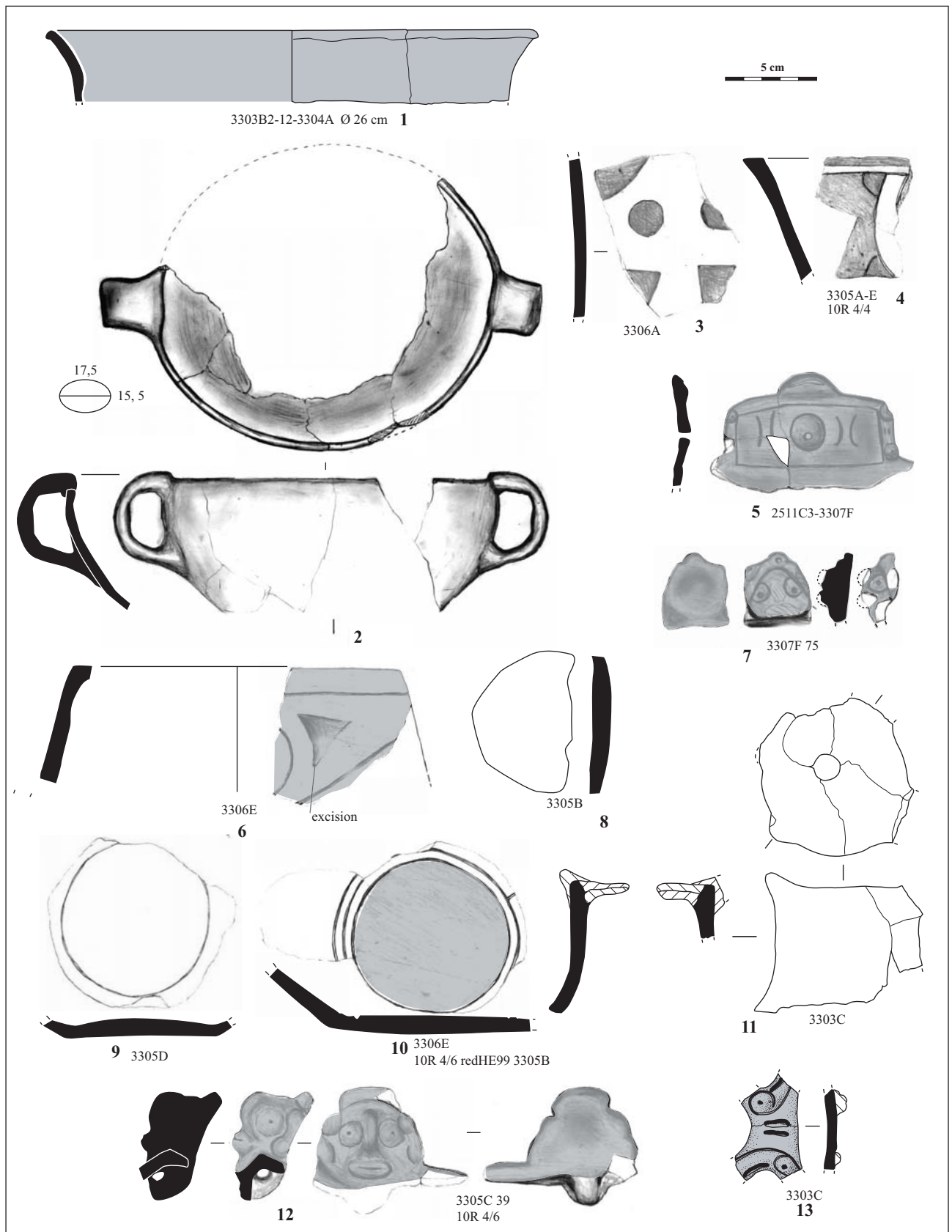


Figure 318 : Hope Estate, écuelles et bols de l'unité stratigraphique F du sondage 33 (D. Bonnissent).



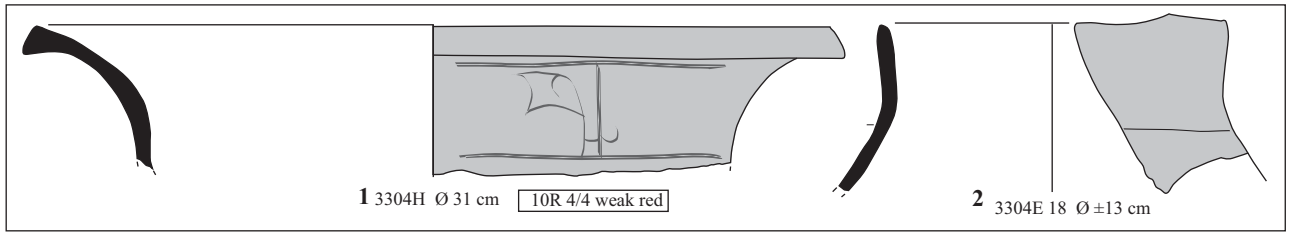


Figure 319 : Hope Estate, céramique de l'unité stratigraphique E, sondage 33 (D. Bonnissent).

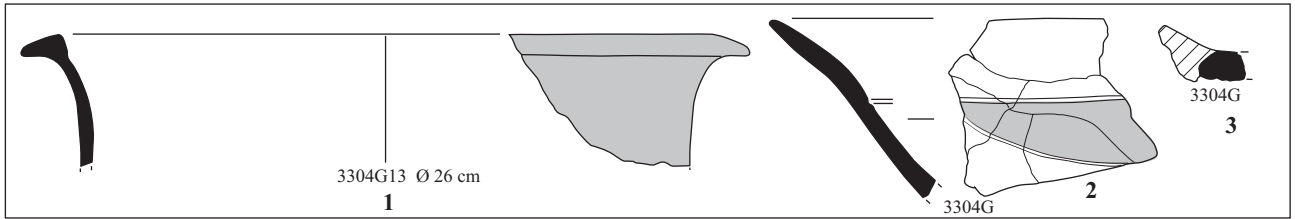


Figure 320 : Hope Estate, céramique de l'unité stratigraphique D, sondage 33 (D. Bonnissent).

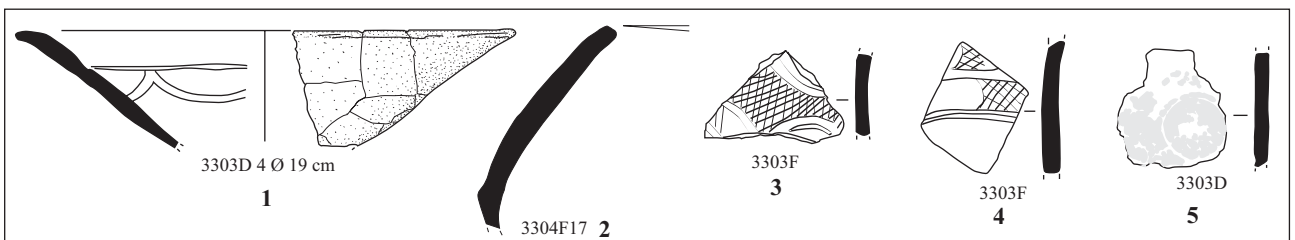


Figure 321 : Hope Estate, céramique de l'unité stratigraphique B, sondage 33 (D. Bonnissent).

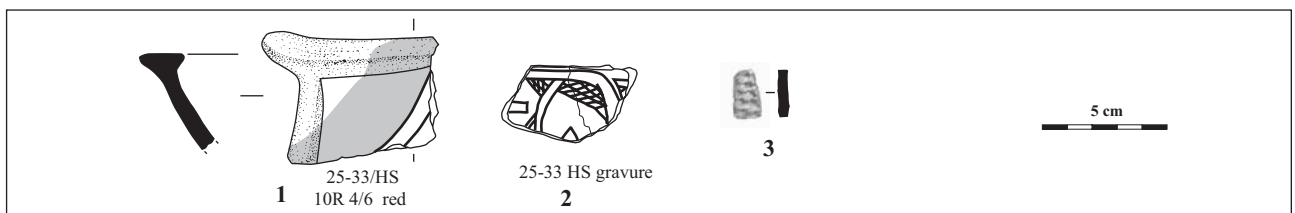


Figure 322 : Hope Estate, céramique hors contexte stratigraphique, sondages 25 et 33 (D. Bonnissent).

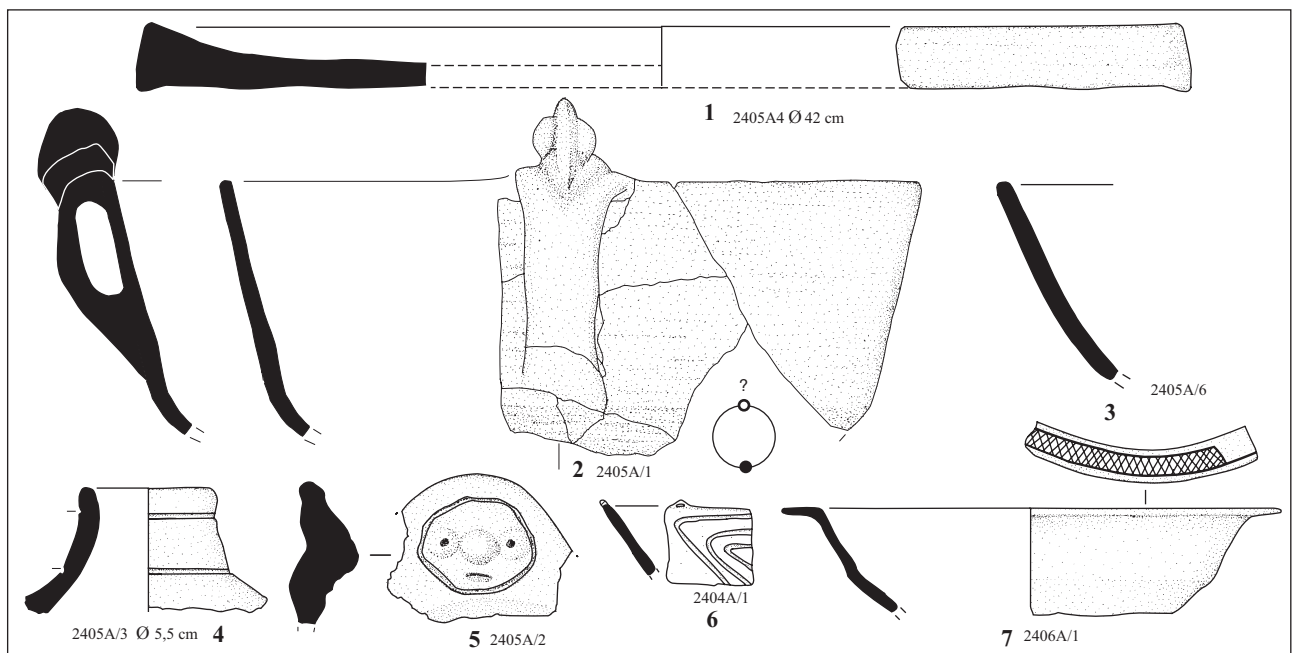


Figure 323 : Hope Estate, céramique du sondage 24, unité stratigraphique C (D. Bonnissent).

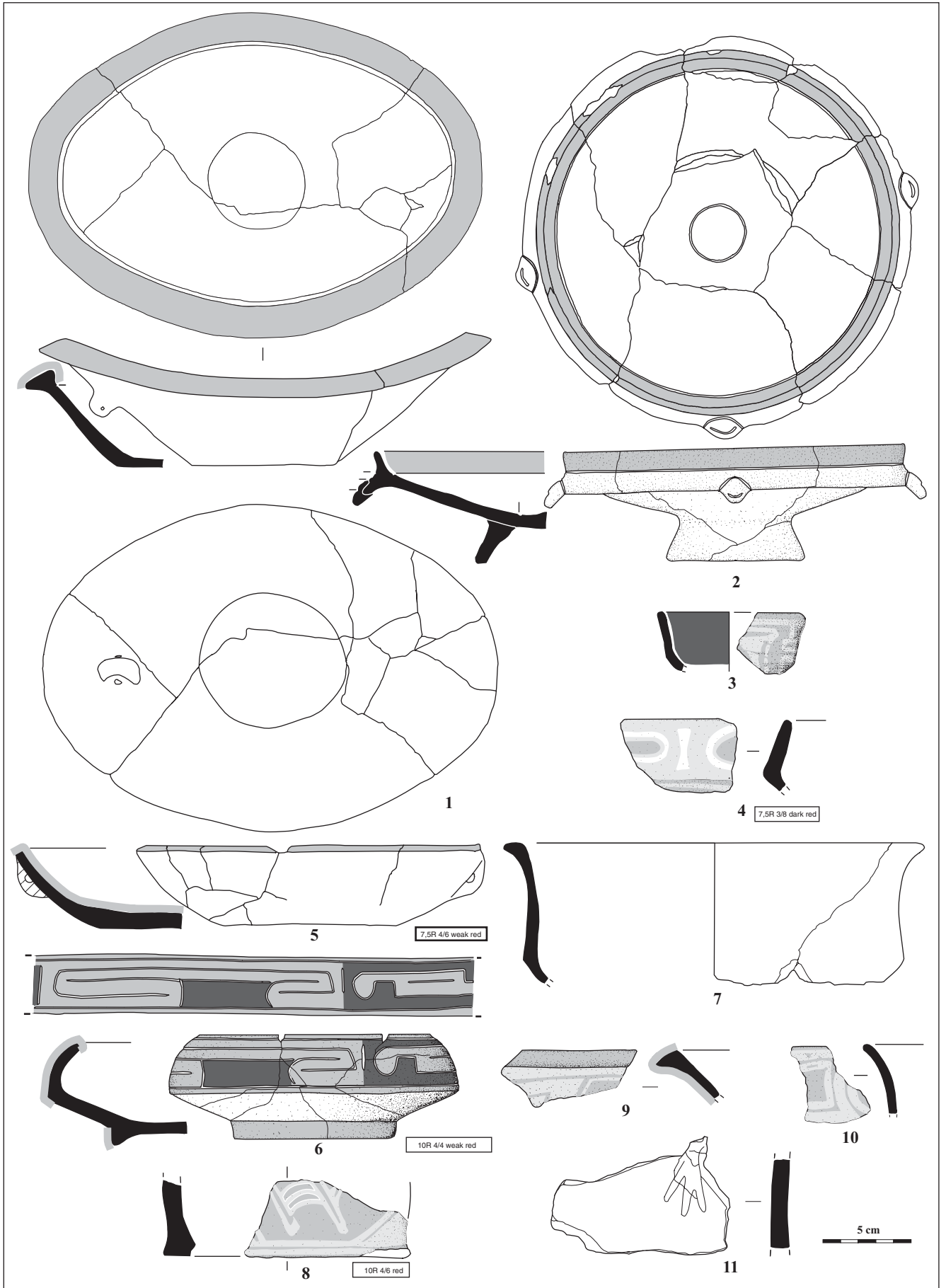


Figure 324 : Hope Estate, céramique hors contexte stratigraphique provenant du dépotoir 3 (D. Bonnissent).

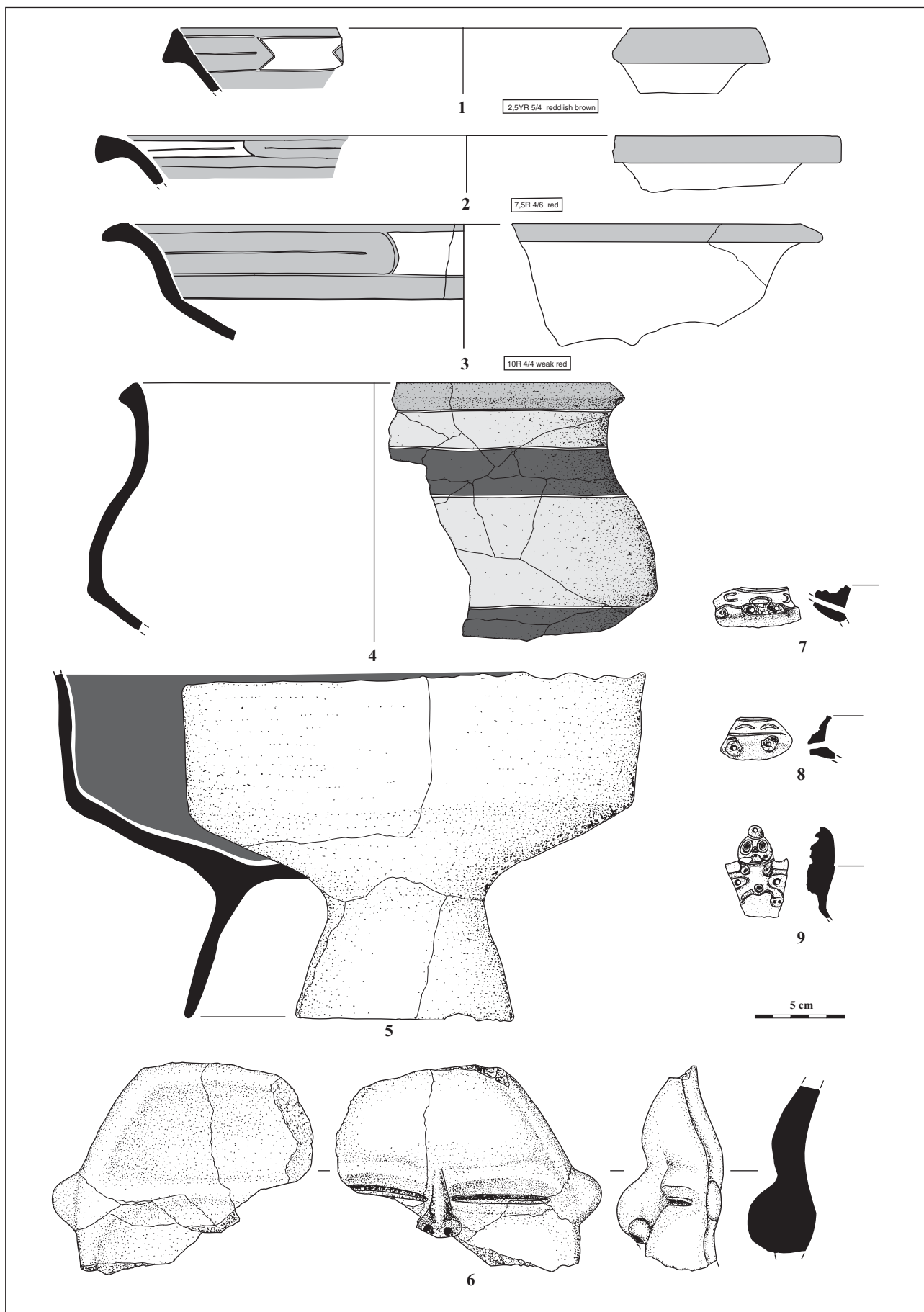


Figure 325 : Hope Estate, céramique hors contexte stratigraphique provenant du dépotoir 3 (D. Bonnissent).

	a	b	c	d	e	f	g	h	i	j
<b>B1</b> droit arrondi										
<b>B2</b> droit aplati										
<b>B3</b> ourlé à l'extérieur										
<b>B4</b> ourlé à l'intérieur										
<b>B5</b> ourlé intérieur-extérieur										
<b>B6</b> renflé à l'extérieur										
<b>B7</b> méplat incliné										
<b>B8</b> marli horizontal										
<b>B9</b> marli interne oblique										
<b>B10</b> marli externe oblique										
<b>B11</b> collerette										
<b>B12</b> platine										

Figure 326 : Hope Estate, classification des bords de récipients (D. Bonnissent).

types de bords	NB	ID			IND			Total					
US 26 D	NB	FO	FF	FI	FO	FF	FI	ID	IDN	FO	FF	FI	NMI
bord 1	11	4			10	3		4	13	14	3	0	17
bord 2	5	1			3			1	3	4	0	0	4
bord 7	1				1			0	1	1	0	0	1
bord 8	1	1						1	0	1	0	0	1
bord 10	9	4						4	0	4	0	0	4
bord 12	2							0	0	0	0	0	0
sous-total	29	10	0	0	14	3	0	10	17	24	3	0	27
US 27 F	NB	FO	FF	FI	FO	FF	FI	ID	IDN	FO	FF	FI	NMI
bord 1	19			2	3			12	2	15	3	0	14
bord 2	2				1	1		0	2	1	1	0	2
bord 8	3	3						3	0	3	0	0	3
bord 10	1	1						1	0	1	0	0	1
bord 12	1				1			0	1	1	0	0	1
sous-total	26	4	0	2	5	1	12	6	18	9	1	14	24
US 28 F	NB	FO	FF	FI	FO	FF	FI	ID	IDN	FO	FF	FI	NMI
bord 1	33			5			28	5	28	0	0	33	33
bord 2	4				1			0	1	1	0	0	1
bord 3	2	1			1			1	1	2	0	0	2
bord 7	1				1			0	1	1	0	0	1
bord 8	2	2						2	0	2	0	0	2
bord 10	1	1						1	0	1	0	0	1
bord 12	3				3			0	3	3	0	0	3
sous-total	46	4	0	5	6	0	28	9	34	10	0	33	43
US 33 I	NB	FO	FF	FI	FO	FF	FI	ID	IDN	FO	FF	FI	NMI
bord 1	33	1	1	2	1		28	4	29	2	1	30	33
bord 2	1					1		0	1	0	1	0	1
bord 3	1	1						1	0	1	0	0	1
bord 12	1				1			0	1	1	0	0	1
sous-total	36	2	1	2	2	1	28	5	31	4	2	30	36
US 33 J	NB	FO	FF	FI	FO	FF	FI	ID	IDN	FO	FF	FI	NMI
bord 1	13	1	1	1			9	3	9	1	1	10	12
bord 7	1	1						1	0	1	0	0	1
bord 12	3				2			0	2	2	0	0	2
sous-total	17	2	1	1	2	0	9	4	11	4	1	10	15
US 34 F	NB	FO	FF	FI	FO	FF	FI	ID	IDN	FO	FF	FI	NMI
bord 1	12	1	1	1			9	3	9	1	1	10	12
bord 2	3						3	0	3	0	0	3	3
bord 7	2	1			1			1	1	2	0	0	2
bord 8	1	1						1	0	1	0	0	1
bord 10	3	2			1			2	1	3	0	0	3
bord 12	1				1			0	1	1	0	0	1
sous-total	22	5	1	1	3	0	12	7	15	8	1	13	22
US 35 D	NB	FO	FF	FI	FO	FF	FI	ID	IDN	FO	FF	FI	NMI
bord 1	12			1	1		9	1	10	1	0	10	11
bord 7	1				1			0	1	1	0	0	1
bord 8	1	1						1	0	1	0	0	1
sous-total	14	1	0	1	2	0	9	2	11	3	0	10	13
US 35 E	NB	FO	FF	FI	FO	FF	FI	ID	IDN	FO	FF	FI	NMI
bord 1	44	2		5	3	1	27	7	31	5	1	32	38
bord 2	2				1	1		0	2	1	1	0	2
bord 3		1						1	0	1	0	0	1
bord 7	6	1			5			1	5	6	0	0	6
bord 10	2				2			0	2	2	0	0	2
bord 12	7				6			0	6	6	0	0	6
sous-total	61	4	0	5	17	2	27	9	46	21	2	32	55

**Légende des abréviations :**

NB : nombre de bords  
 ID : individu décoré  
 IND : individu non décoré  
 ND : non décoré  
 FO : forme ouverte  
 FF : forme fermée  
 FI : forme indéterminée  
 US : unité stratigraphique

Tableau 39a : Hope Estate, quantification de la population de récipients d'après les bords des unités huecans des sondages 26, 27, 28, 33, 34, 35 (D. Bonnissent).



types de bords	NB		ID			IND			Total				
US 35 F	NB	FO	FF	FI	FO	FF	FI	ID	IDN	FO	FF	FI	NMI
bord 1	19				3	1	15	0	19	3	1	15	19
bord 8	2	2						2	0	2	0	0	2
bord 12	1				1			0	1	1	0	0	1
sous-total	22	2	0	0	4	1	15	2	20	6	1	15	22
US 35 G	NB	FO	FF	FI	FO	FF	FI	ID	IDN	FO	FF	FI	NMI
bord 1	16		2		2		8	2	10	2	2	8	12
bord 10	1				1			0	1	1	0	0	1
sous-total	17	0	2	0	3	0	8	2	11	3	2	8	13
US 36 D	NB	FO	FF	FI	FO	FF	FI	ID	IDN	FO	FF	FI	NMI
bord 1	4						4	0	4	0	0	4	4
sous-total	4	0	0	0	0	0	4	0	4	0	0	4	4
US 36 F	NB	FO	FF	FI	FO	FF	FI	ID	IDN	FO	FF	FI	NMI
bord 1	17						15	0	15	0	0	15	15
bord 2	12				2		6	0	8	2	0	6	8
bord 7	4				4			0	4	4	0	0	4
bord 8	6	4			1			4	1	5	0	0	5
bord 10	6	1			1			1	1	2	0	0	2
sous-total	45	5	0	0	8	0	21	5	29	13	0	21	34
<b>Total</b>	<b>339</b>	<b>39</b>	<b>5</b>	<b>17</b>	<b>66</b>	<b>8</b>	<b>173</b>	<b>61</b>	<b>247</b>	<b>105</b>	<b>13</b>	<b>190</b>	<b>308</b>

**Légende des abréviations :**

NB : nombre de bords  
ID : individu décoré  
IND : individu non décoré  
ND : non décoré  
FO : forme ouverte  
FF : forme fermée  
FI : forme indéterminée  
US : unité stratigraphique

Tableau 39b : Hope Estate, quantification de la population de récipients d'après les bords des unités huecans des sondages 26, 27, 28, 33, 34, 35 et 36 (D. Bonnissent).

types de bords	NB		ID			IND			Total				
US 33 F	NB	FO	FF	FI	FO	FF	FI	ID	IDN	FO	FF	FI	NMI
bord 1	99	4	1	15	4	0	45	20	49	8	1	60	69
bord 2	5	2	2	0	0	0	0	4	0	2	2	0	4
bord 3	40	23	0	4	2	0	7	27	9	25	0	11	36
bord 4	2	1	0	0	0	0	0	1	0	1	0	0	1
bord 6	8	0	6	1	1	0	0	7	1	1	6	1	8
bord 8	1	0	0	0	1	0	0	0	1	1	0	0	1
bord 9	14	2	0	0	0	0	0	2	0	2	0	0	2
bord 12	12	0	0	0	11	0	0	0	11	11	0	0	11
sous-total	181	32	9	20	19	0	52	61	71	51	9	72	132
US 33 G	NB	FO	FF	FI	FO	FF	FI	ID	IDN	FO	FF	FI	NMI
bord 1	101	3	0	7	2	1	55	10	58	5	1	62	68
bord 2	32	14	2	6	3	0	0	22	3	17	2	6	25
bord 3	8	2	0	1	0	0	1	3	1	2	0	2	4
bord 8	1				1			0	1	1	0	0	1
bord 12	22	0	0	0	13	0	0	0	13	13	0	0	13
sous-total	164	19	2	14	19	1	56	35	76	38	3	70	111
US 25 C	NB	FO	FF	FI	FO	FF	FI	ID	IDN	FO	FF	FI	NMI
bord 1	118	5	2	26	2	5	59	33	66	7	7	85	99
bord 2	32	19			10			19	10	29	0	0	29
bord 3	1					1		0	1	0	1	0	1
bord 5	2	2						2	0	2	0	0	2
bord 6	1		1					1	0	0	1	0	1
bord 9	4	4						4	0	4	0	0	4
bord 10	1	1						1	0	1	0	0	1
bord 11	1	1						1	0	1	0	0	1
bord 12	12				11			0	11	11	0	0	11
sous-total	172	32	3	26	23	6	59	61	88	55	9	85	149
<b>Total</b>	<b>517</b>	<b>83</b>	<b>14</b>	<b>60</b>	<b>61</b>	<b>7</b>	<b>167</b>	<b>157</b>	<b>235</b>	<b>144</b>	<b>21</b>	<b>227</b>	<b>392</b>

Tableau 40 : Hope Estate, quantification de la population de récipients d'après les bords des unités cedrosan-saladoïdes des sondages 33 et 25 (D. Bonnissent).

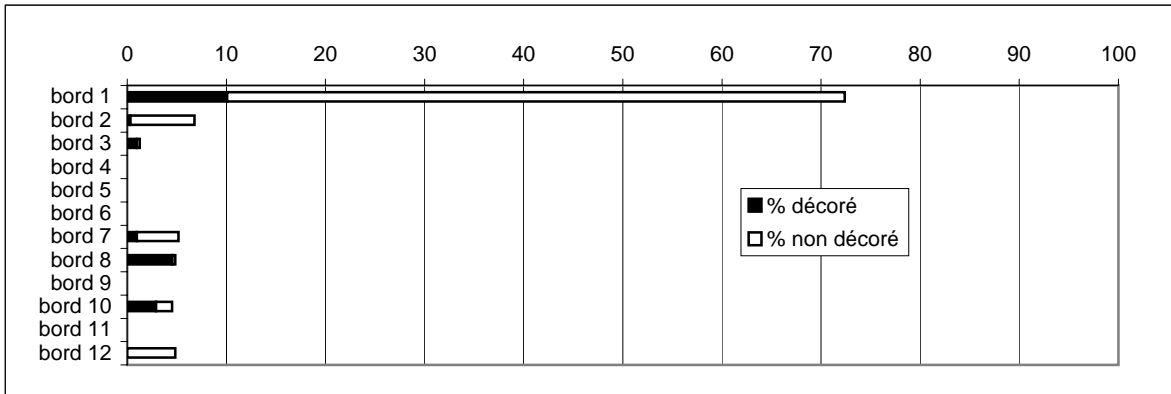


Figure 327 : Hope Estate, répartition des bords par catégories pour les unités huecans, échantillon : n = 308 (D. Bonnissent).

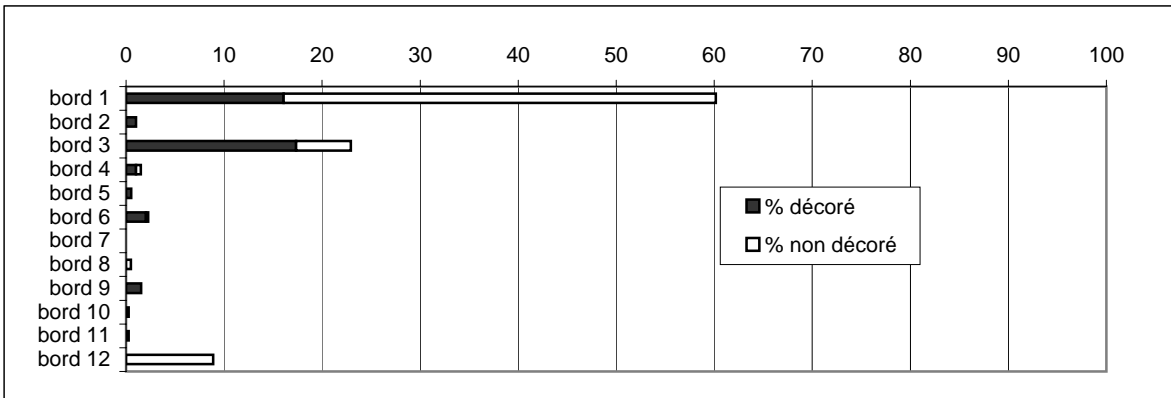


Figure 328 : Hope Estate, répartition des bords par catégories pour les unités cedrosan-saladoïdes, échantillon : n = 392 (D. Bonnissent).

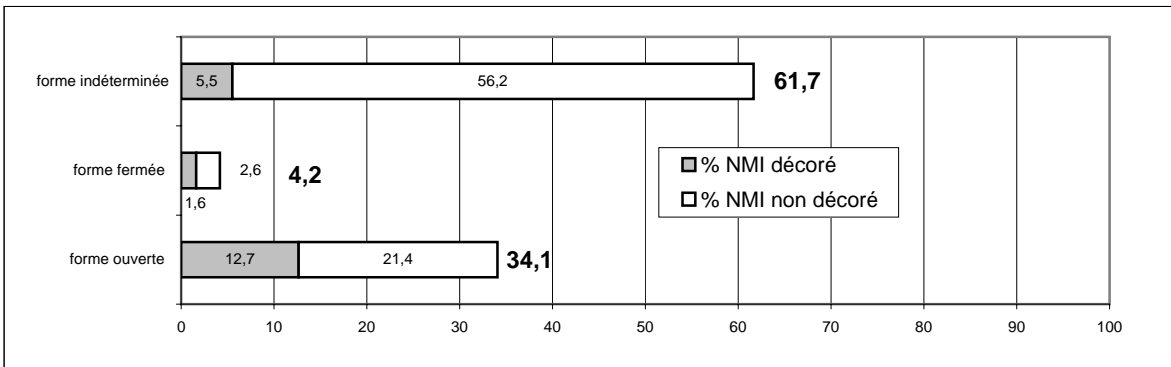


Figure 329 : Hope Estate, répartition du NMI par catégories de formes pour les unités huecans, échantillon : n = 308 (D. Bonnissent).

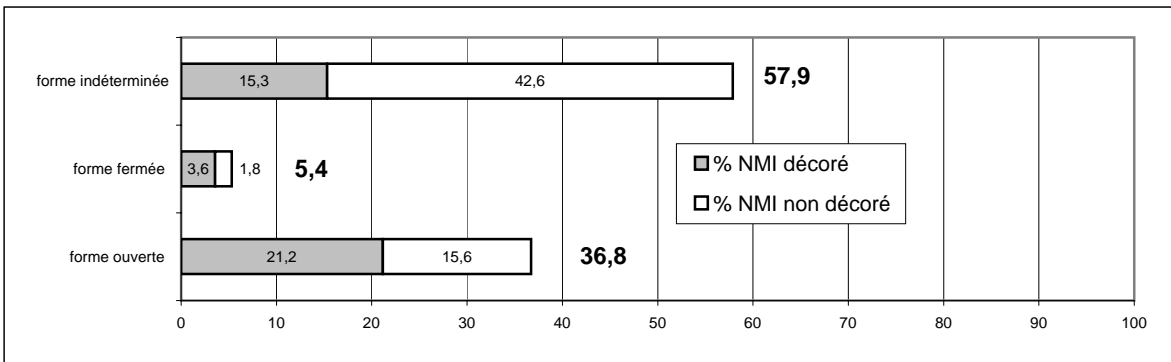


Figure 330 : Hope Estate, répartition du NMI par catégories de formes pour les unités cedrosan-saladoïdes, échantillon : n = 392 (D. Bonnissent).

	26USD		27USF		28USF		33US I		33USJ		34USF		35USD		35USE		35USF		35USG		36USF		total
	ID	ND	ID	ND	ID	ND	ID	ND	ID	ND	ID	ND	ID	ND	ID	ND	ID	ND	ID	ND	ID	ND	
platine		2		1		3		1		2		1				6		1					17
assiette															1	1							2
écuelle	2		1	1							2					5	1			1	2	1	16
bol	1	6		1		1		1	1			1		1	1	3		1	1				19
écuelle fermée																		1					1
pot		3						1	1							2			3				10
bouteille								1															1
fumigateur																							0
couvercle																							0
tesson utilisé				1		1																	2
<b>Total</b>	<b>3</b>	<b>11</b>	<b>1</b>	<b>4</b>	<b>0</b>	<b>5</b>	<b>0</b>	<b>4</b>	<b>2</b>	<b>2</b>	<b>2</b>	<b>2</b>	<b>0</b>	<b>1</b>	<b>2</b>	<b>17</b>	<b>1</b>	<b>3</b>	<b>4</b>	<b>1</b>	<b>2</b>	<b>1</b>	<b>68</b>

Tableau 41 : Hope Estate, familles de formes identifiées pour les unités huecans des sondages 26, 27, 28, 33, 34, 35 et 36 (D. Bonnissent).

	33 US F		33 US G		25 US C		total
	ID	ND	ID	ND	ID	ND	
platine		13		12		7	32
assiette					2		2
écuelle	9	2	5		12	2	30
bol	8	4	1	2	3		18
écuelle fermée					1		1
pot	1		2	1	1	2	7
bouteille							0
fumigateur	1		1			1	3
couvercle						1	1
tesson utilisé					3	2	5
<b>Total</b>	<b>19</b>	<b>19</b>	<b>9</b>	<b>15</b>	<b>22</b>	<b>15</b>	<b>99</b>

Tableau 42 : Hope Estate, familles de formes identifiées pour les unités cedrosan-saladoïdes des sondages 33 et 25 (D. Bonnissent).

**Légende des abréviations :**

NB : nombre de bords

ID : individu décoré

IND : individu non décoré

ND : non décoré

FO : forme ouverte

FF : forme fermée

FI : forme indéterminée

US : unité stratigraphique

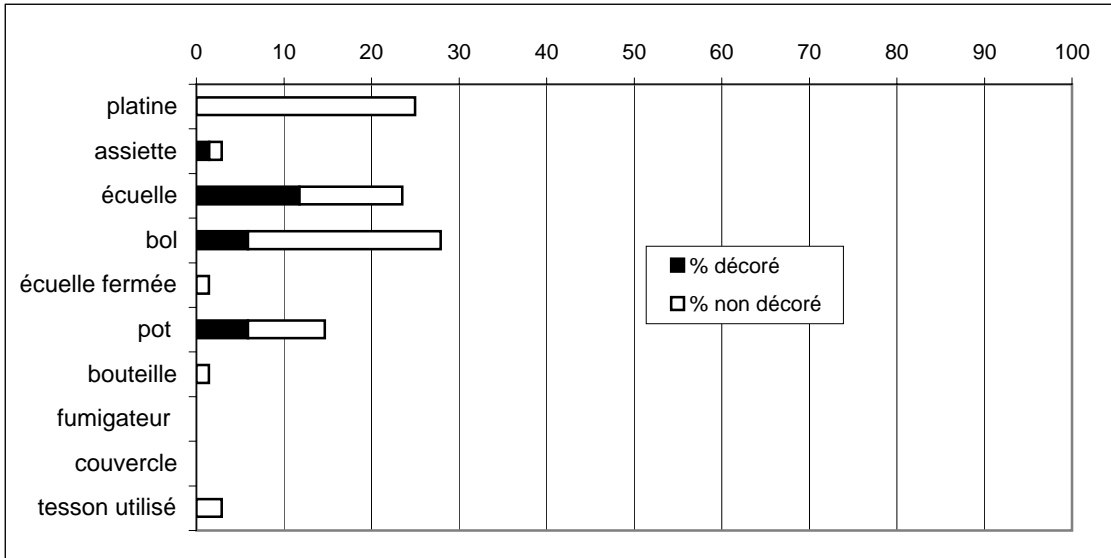


Figure 331 : Hope Estate, distribution du NMI par familles de formes pour le Huecan, échantillon : n = 68 (D. Bonnissent).

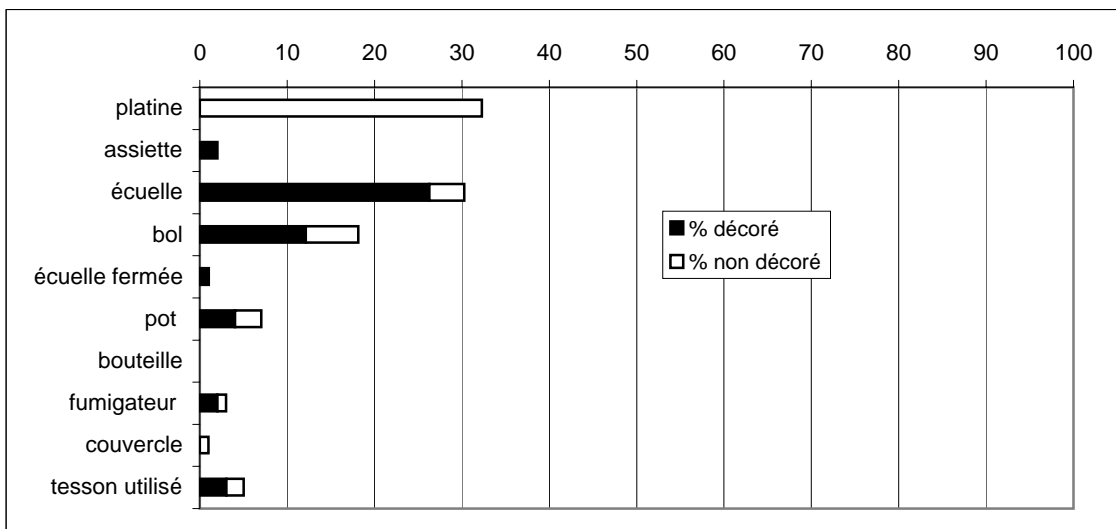


Figure 332 : Hope Estate, distribution du NMI par familles de formes pour le Cedrosan-saladoïde, échantillon : n = 99 (D. Bonnissent).

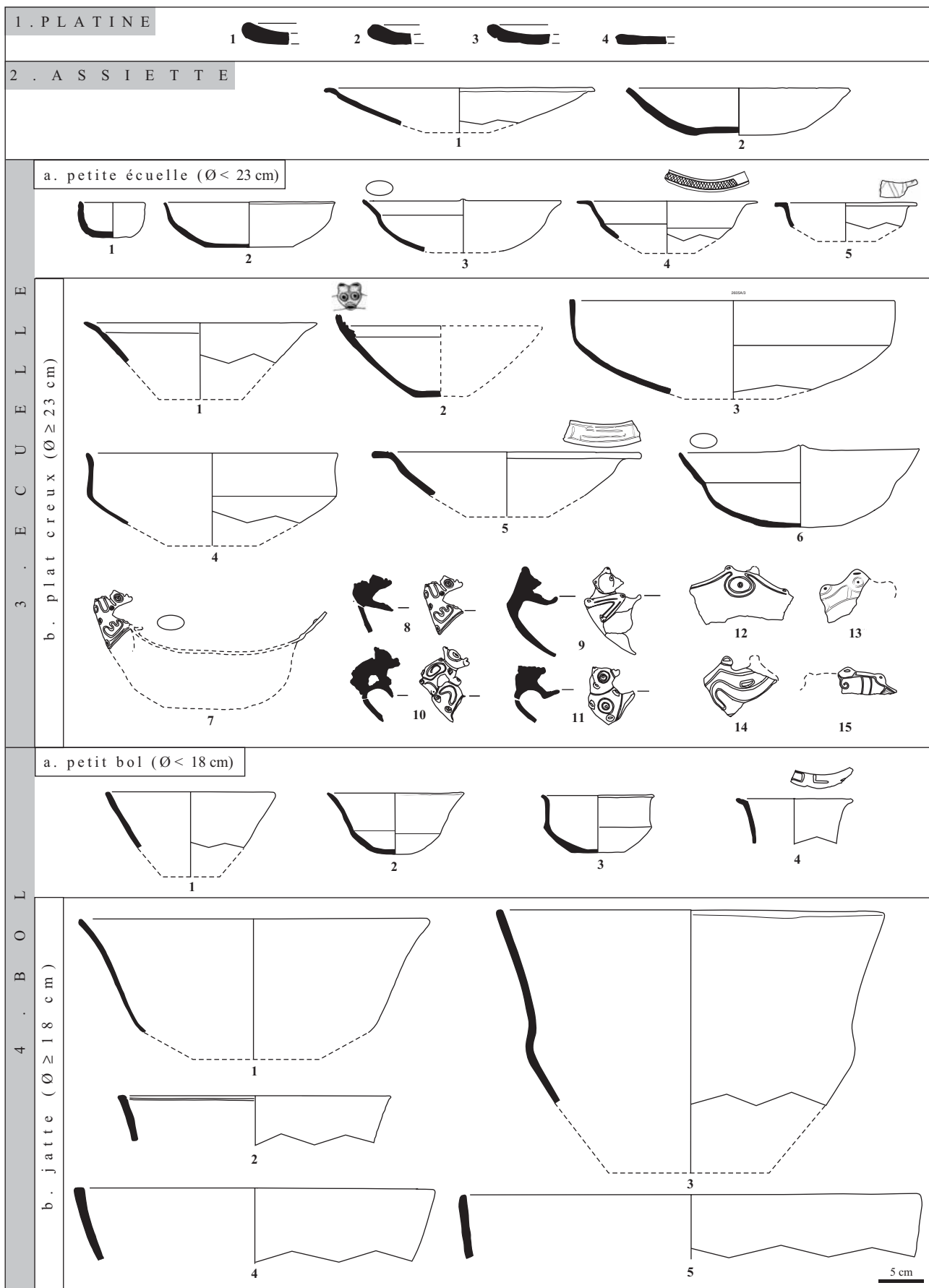


Figure 333 : Hope Estate, typologie du Huecan (D. Bonnissent).



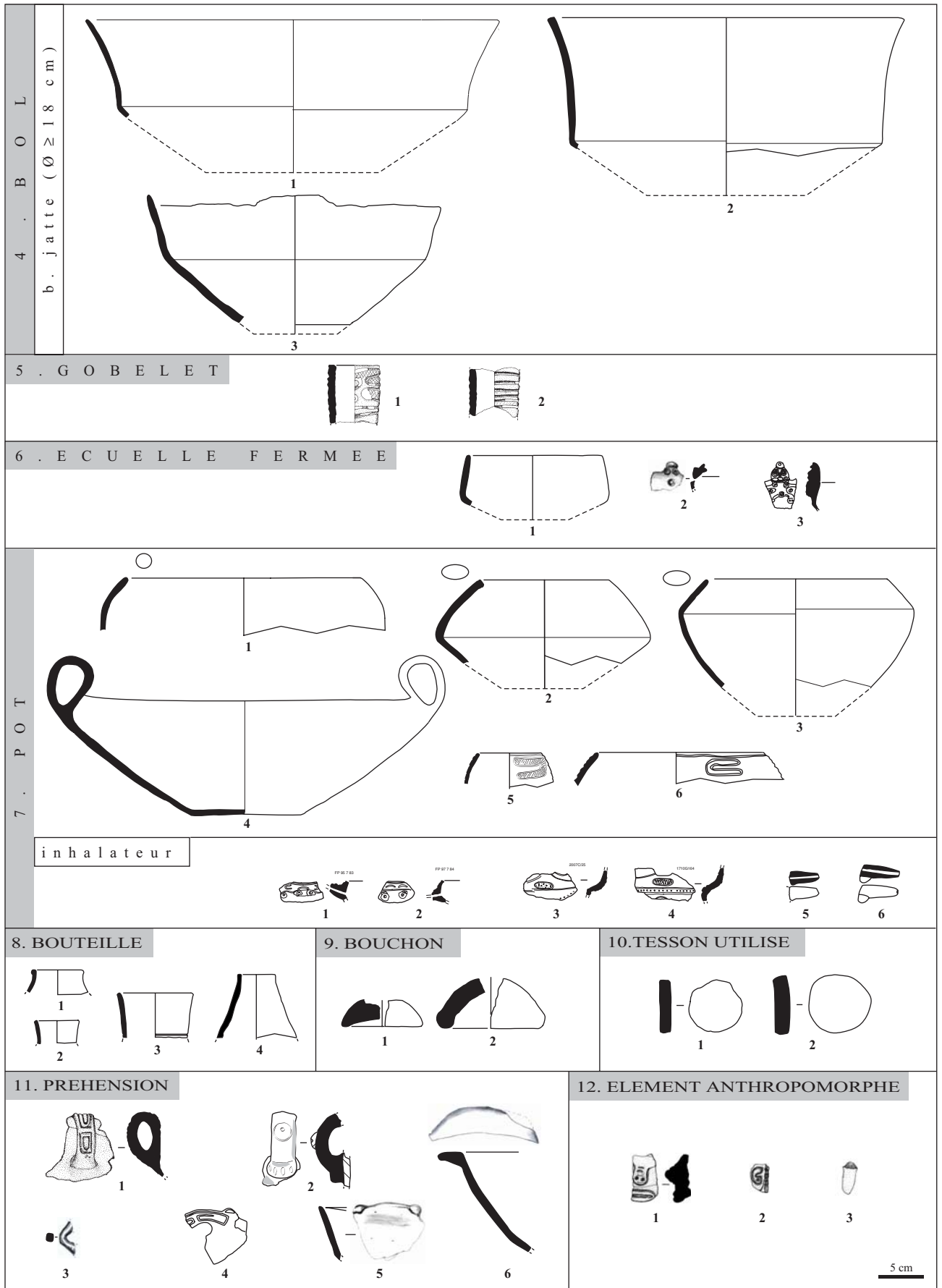


Figure 334 : Hope Estate, typologie du Huecan (D. Bonnissent).

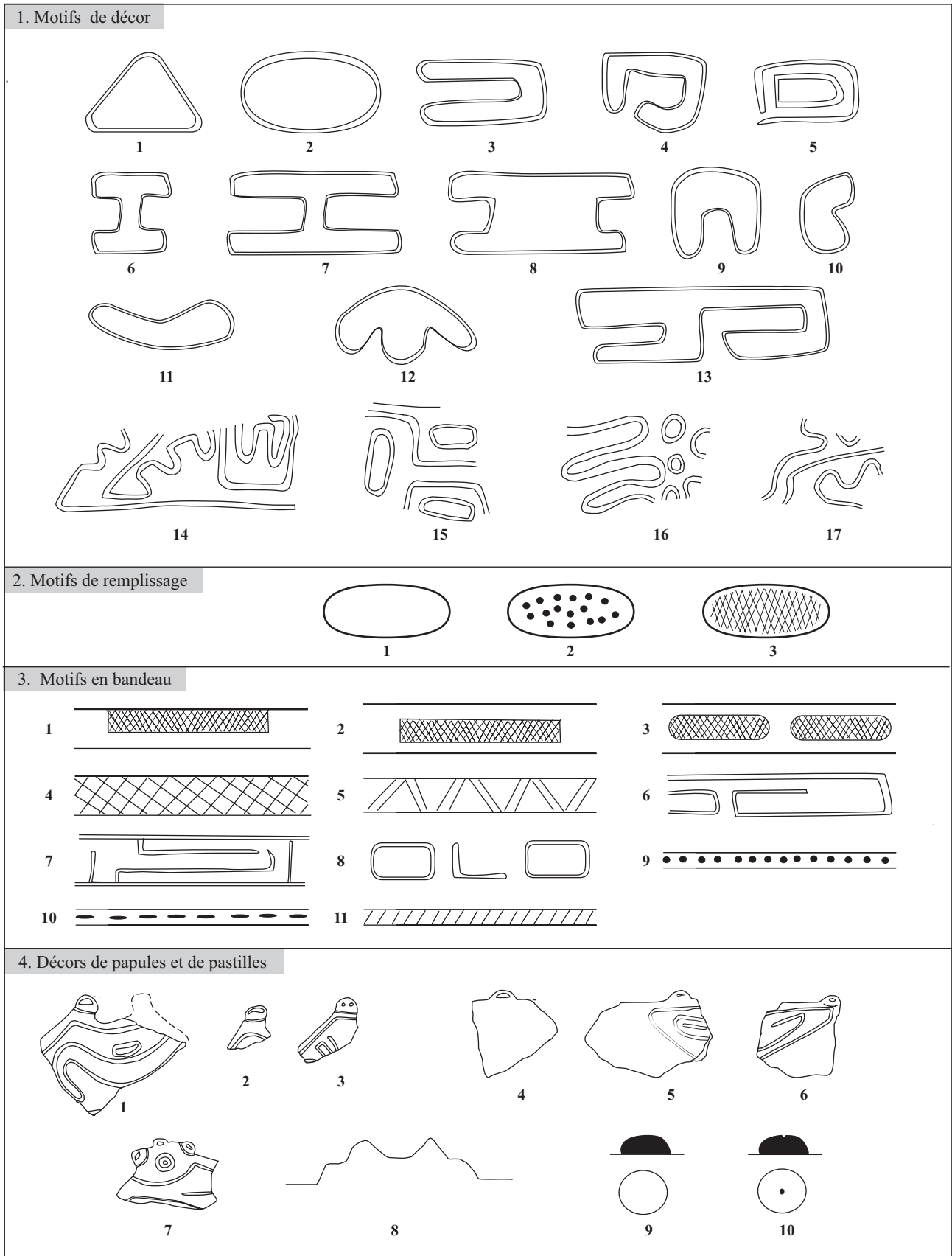


Figure 335 : Hope Estate, modes décoratifs du Huecan (D. Bonnissent).

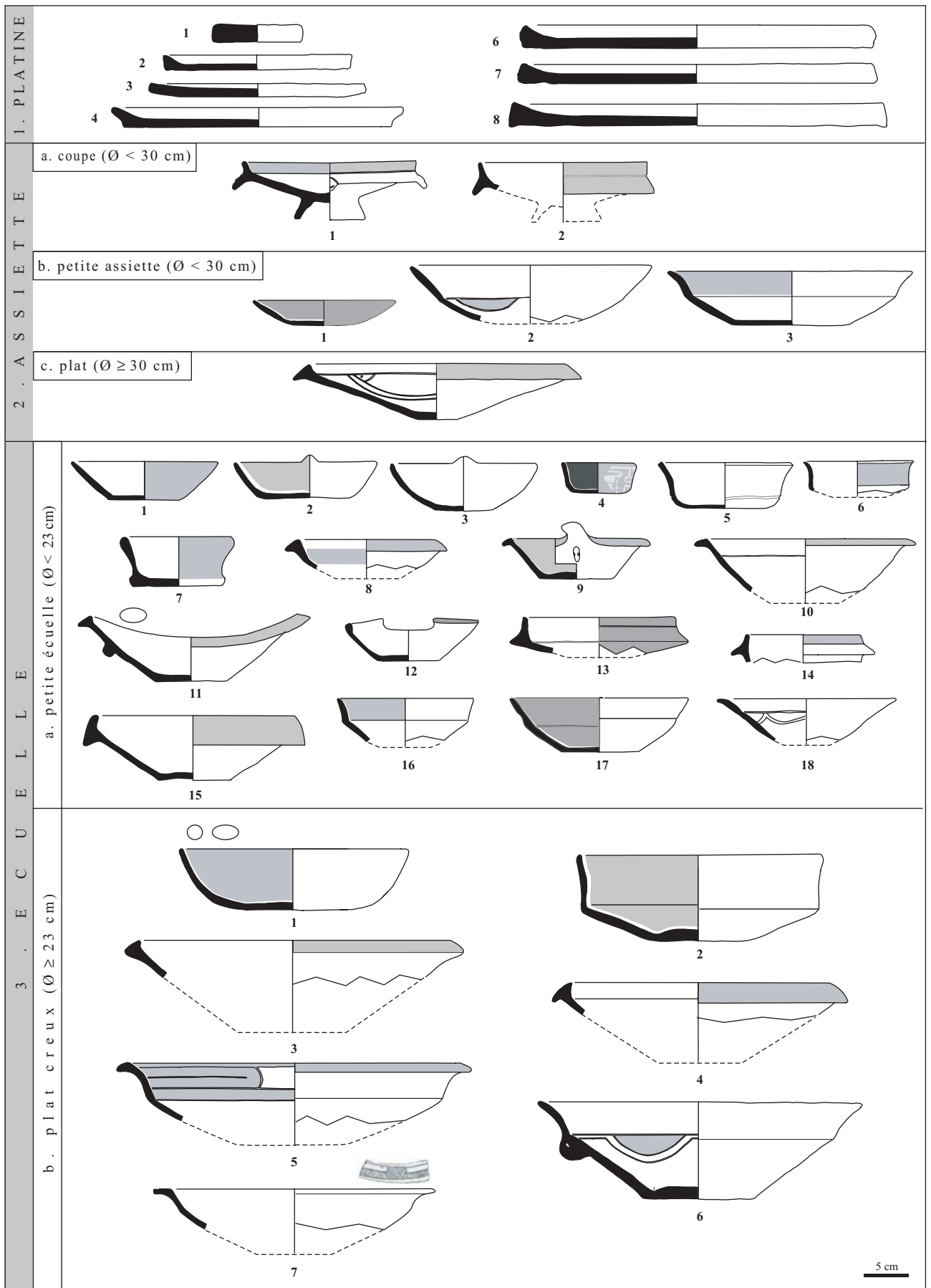


Figure 336 : Hope Estate, typologie du Cedrosan-saladoïde (D. Bonnissent).

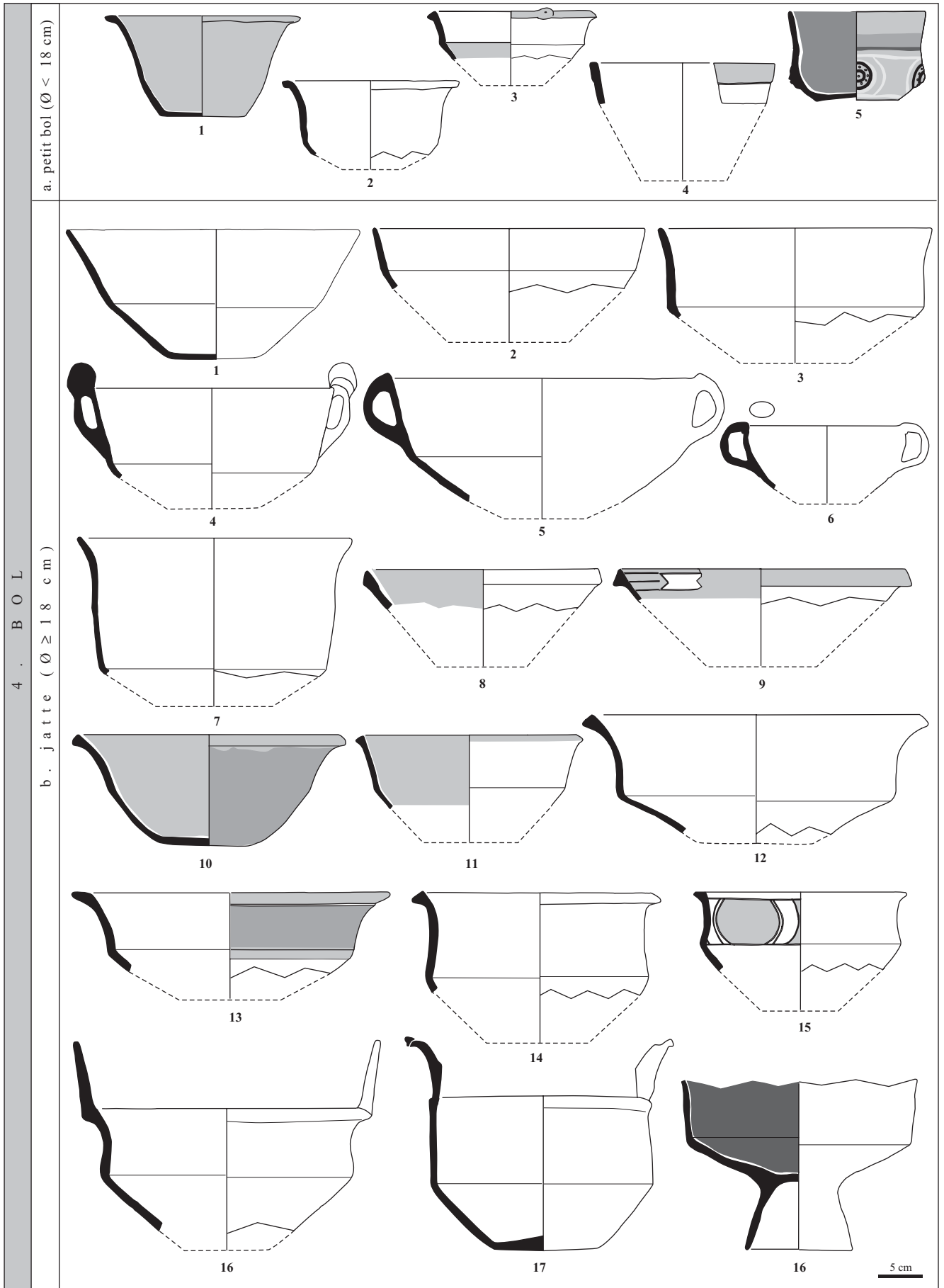
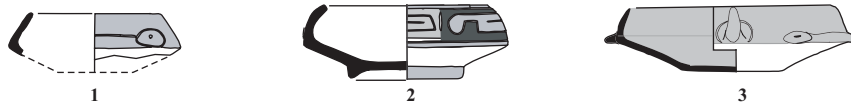
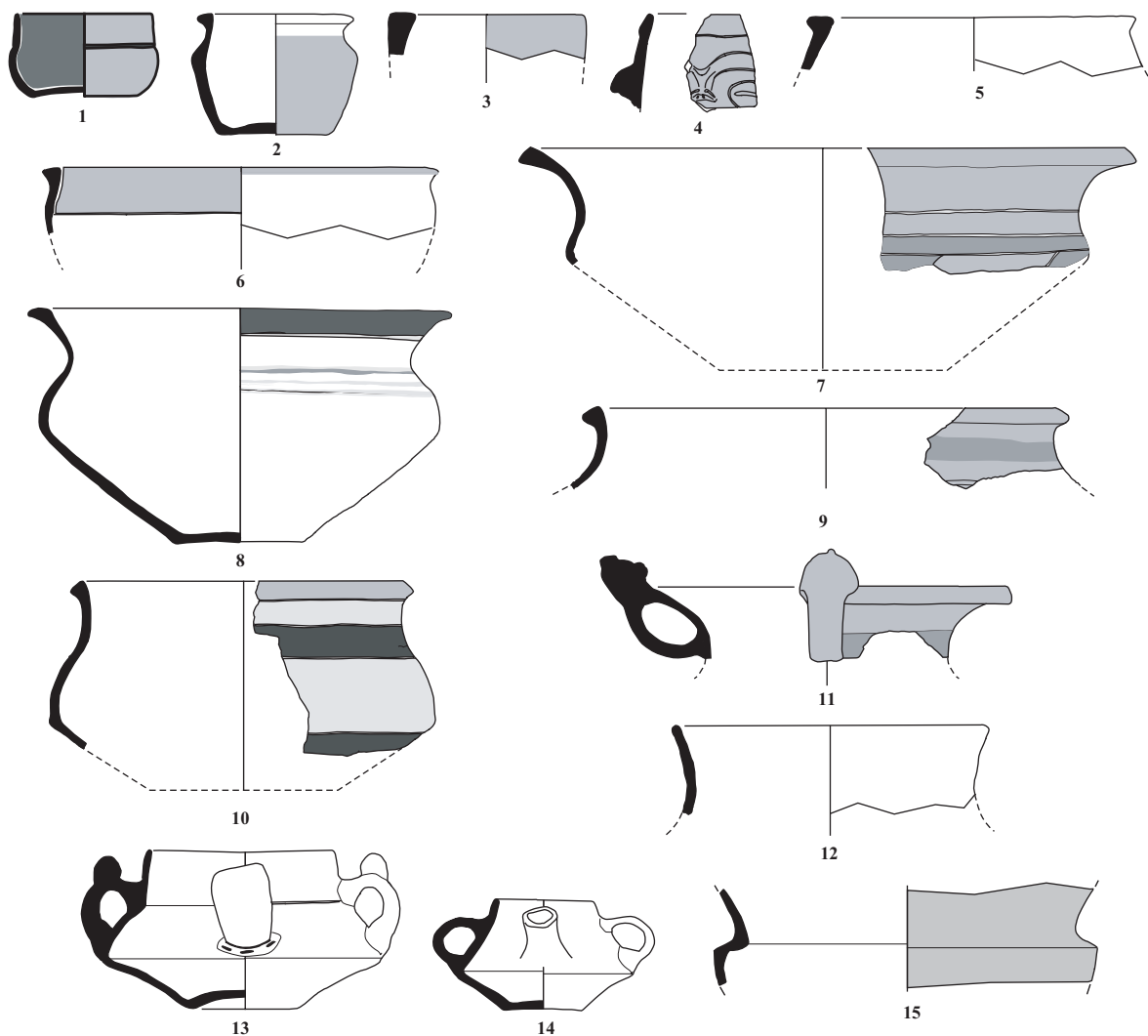


Figure 337 : Hope Estate, typologie du Cedrosan-saladoïde (D. Bonnissent).

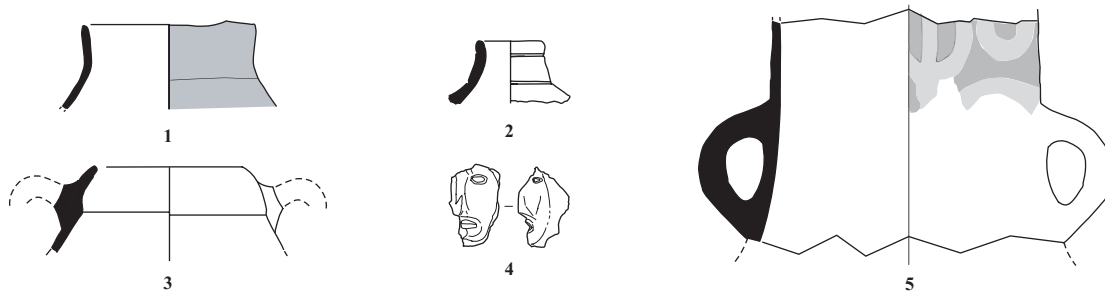
5. ECUELLE FERMÉE



6. POT



7. BOUTEILLE



8. BOUCHON



9. COUVERCLE

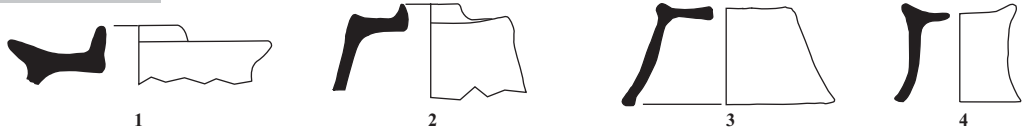


5 cm

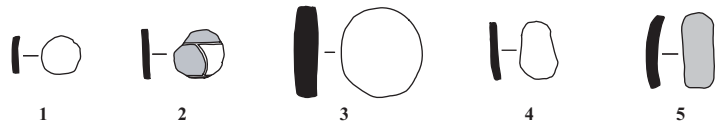
Figure 338 : Hope Estate, typologie du Cedrosan-saladoïde (D. Bonnissent).



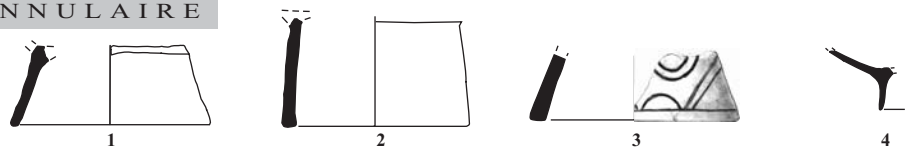
10. FUMIGATEUR



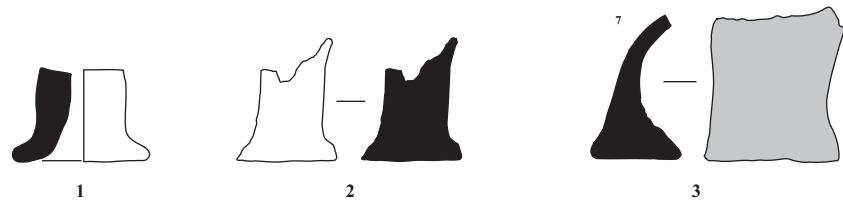
11. TESSON UTILISE



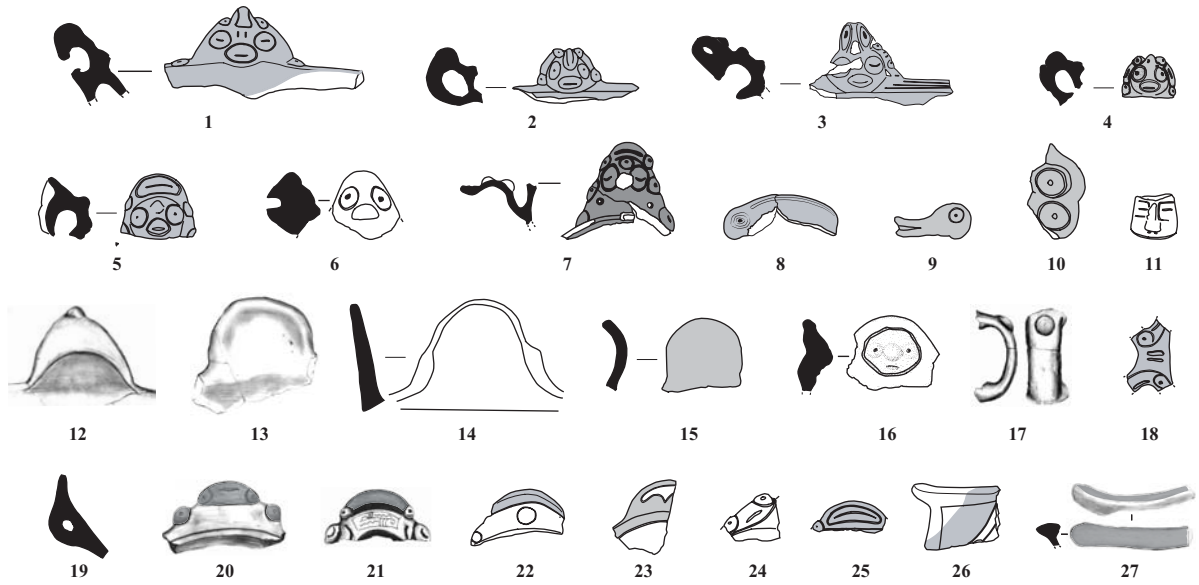
12. BASE ANNULAIRE



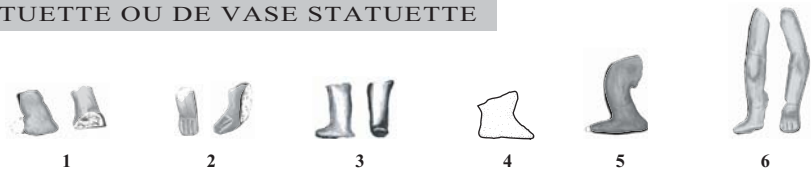
13. BASE INDETERMINEE



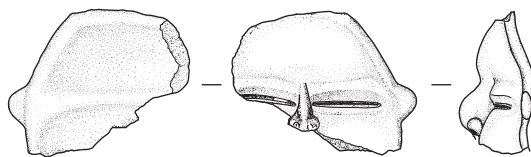
14. PREHENSION / SUSPENSION



15. ELEMENT DE STATUETTE OU DE VASE STATUETTE



16. MASQUE



5 cm

Figure 339 : Hope Estate, typologie du Cedrosan-saladoïde (D. Bonnissent).

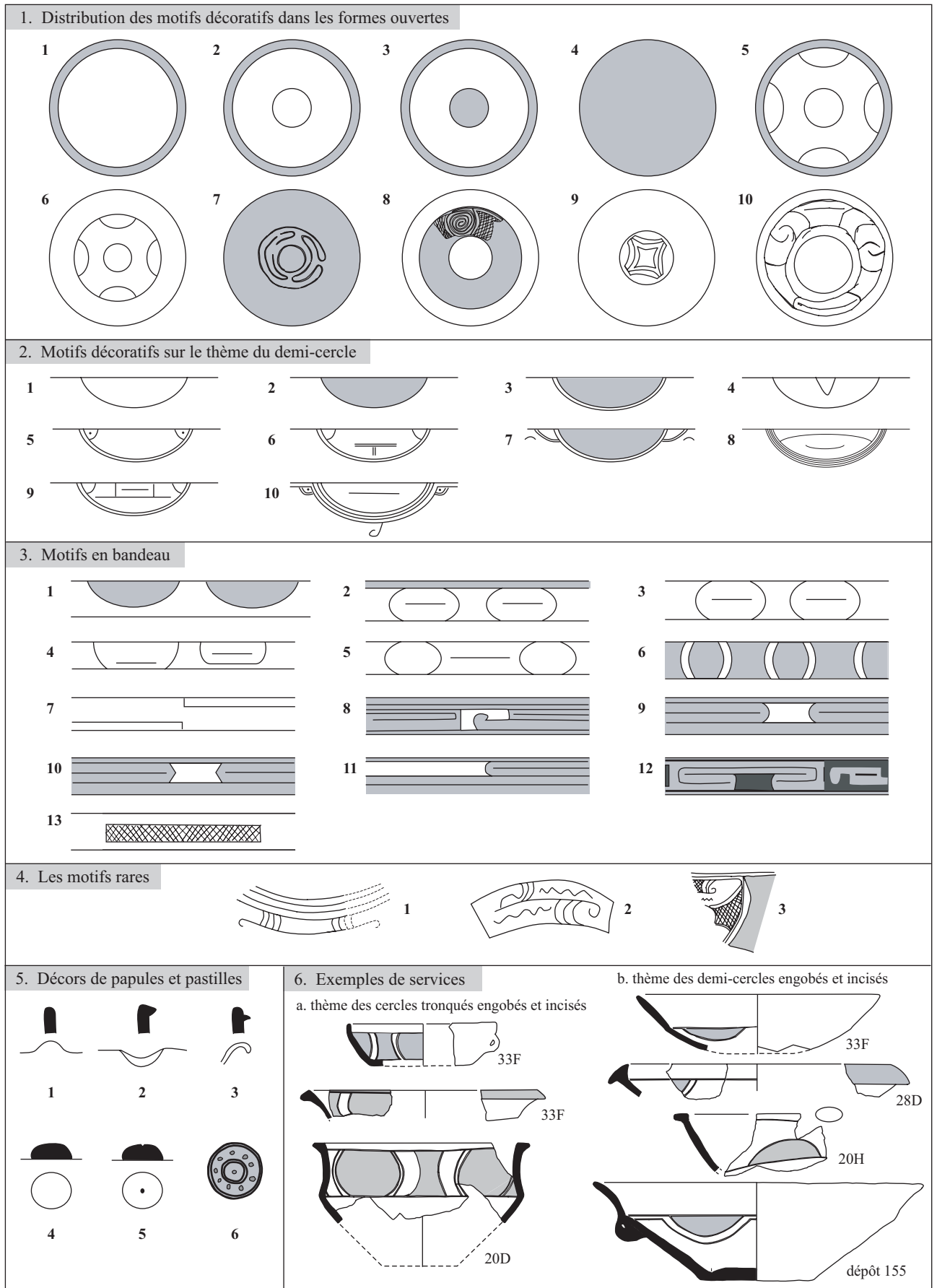


Figure 340 : Modes décoratifs du Cedrosan-saladoïde (D. Bonnissent).

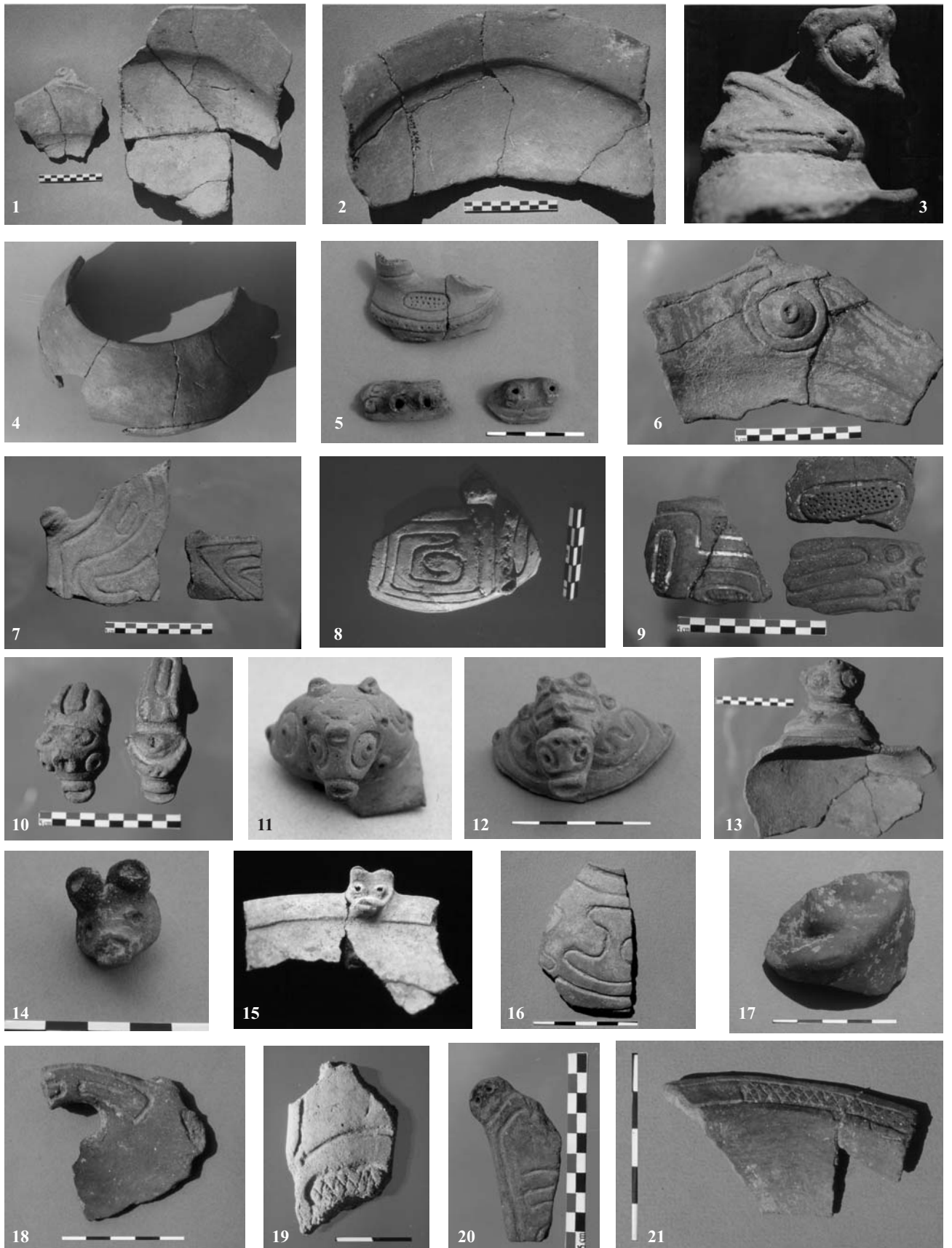


Figure 341 : Hope Estate, céramiques huecans (I. Dechanez, C. Cavalera, D. Bonnissent).



Figure 342 : Hope Estate, céramiques cedrosan-saladoïdes (I. Dechanez, C. Cavalera).



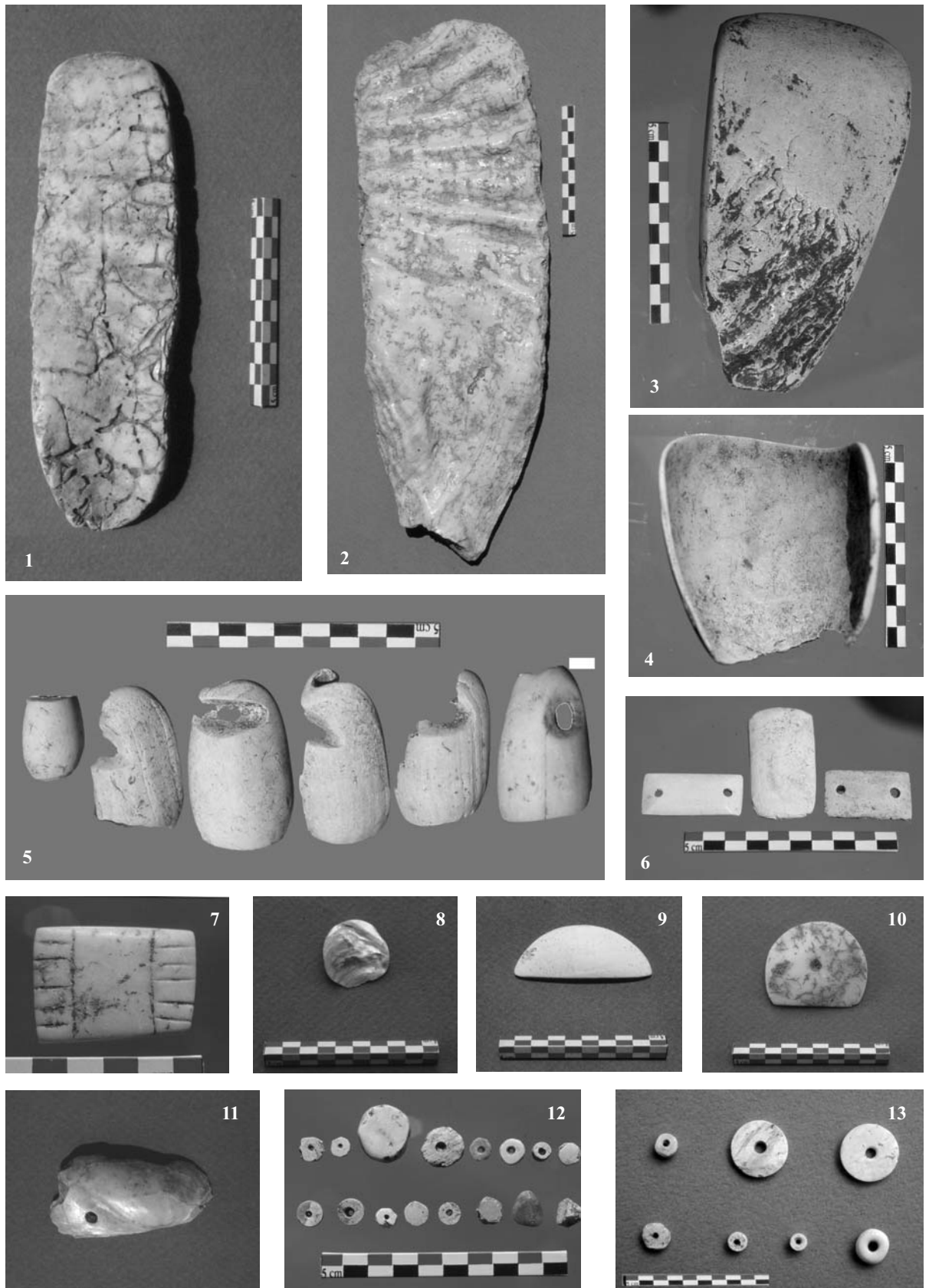


Figure 343 : Hope Estate, industrie sur coquille (C. Cavallera, I. Dechanez)



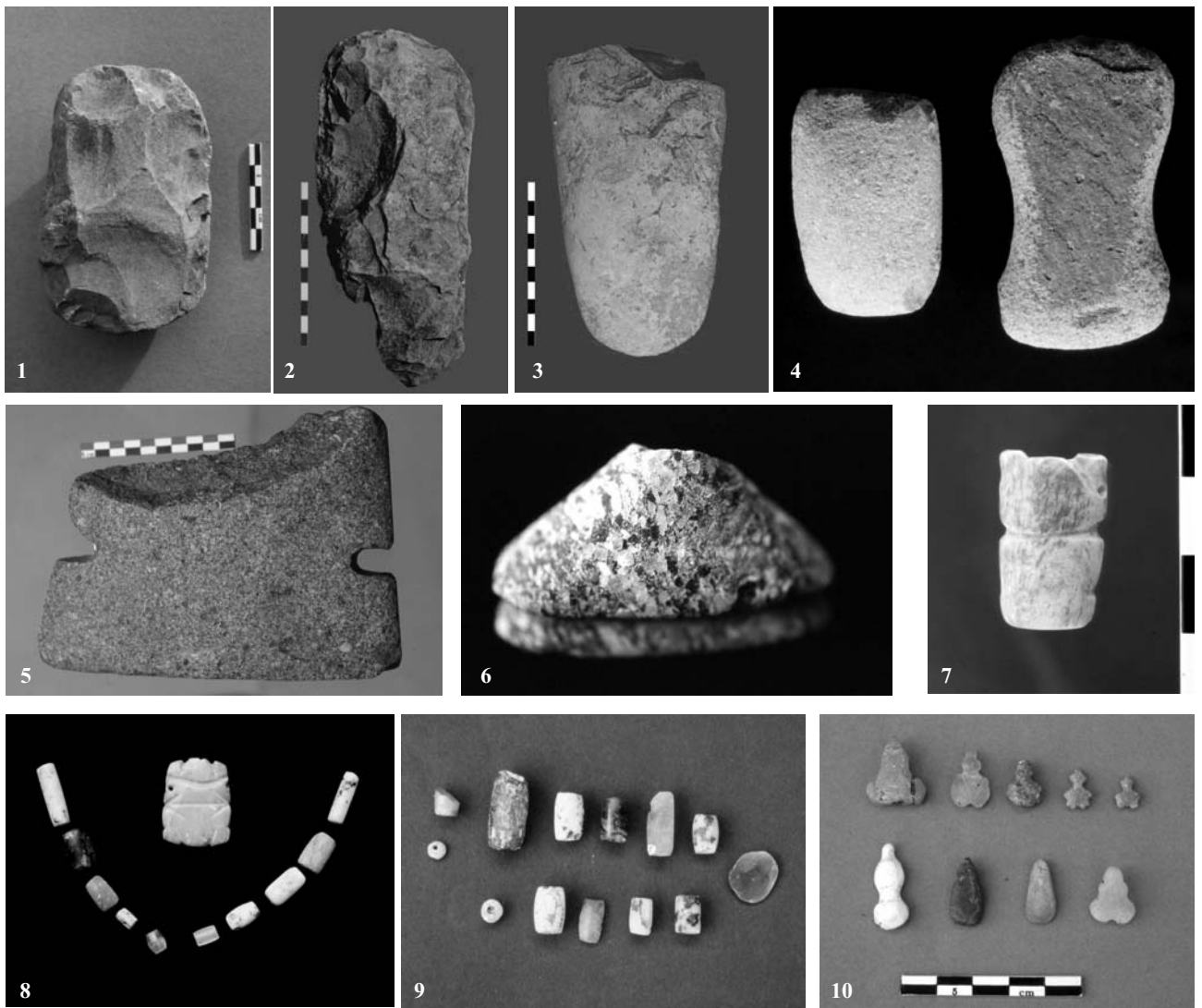


Figure 344 : Hope Estate, industrie lithique (C. Cavallera, I. Dechanez, F.-X. Chauvière).  
 1 à 3 : ébauches et hache en cherto-tuffite, 4 et 5 : ébauches et hache à encoche en andésite, 6 : zémi en calcirudite,  
 7 : pendeloque cedrosan-saladoïde sur roche verte, 8 : pendeloque cedrosan-saladoïde sur roche verte et perles en roches  
 semi-précieuses et minéraux, 9 : perles en roches semi-précieuses et minéraux, 10 : ébauches et pendeloques huecans sur  
 diverses roches.

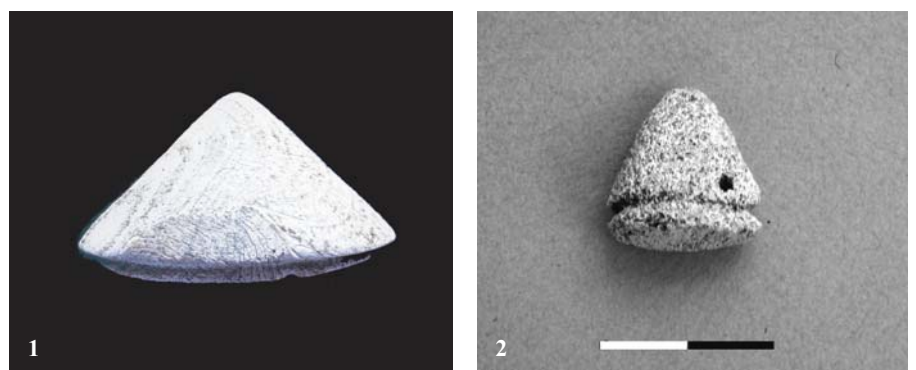


Figure 345 : Hope Estate, zémis en corail.  
 1 : sondage 25, largeur 45 mm, 2 : US A sondage 28 (I. Dechanez).

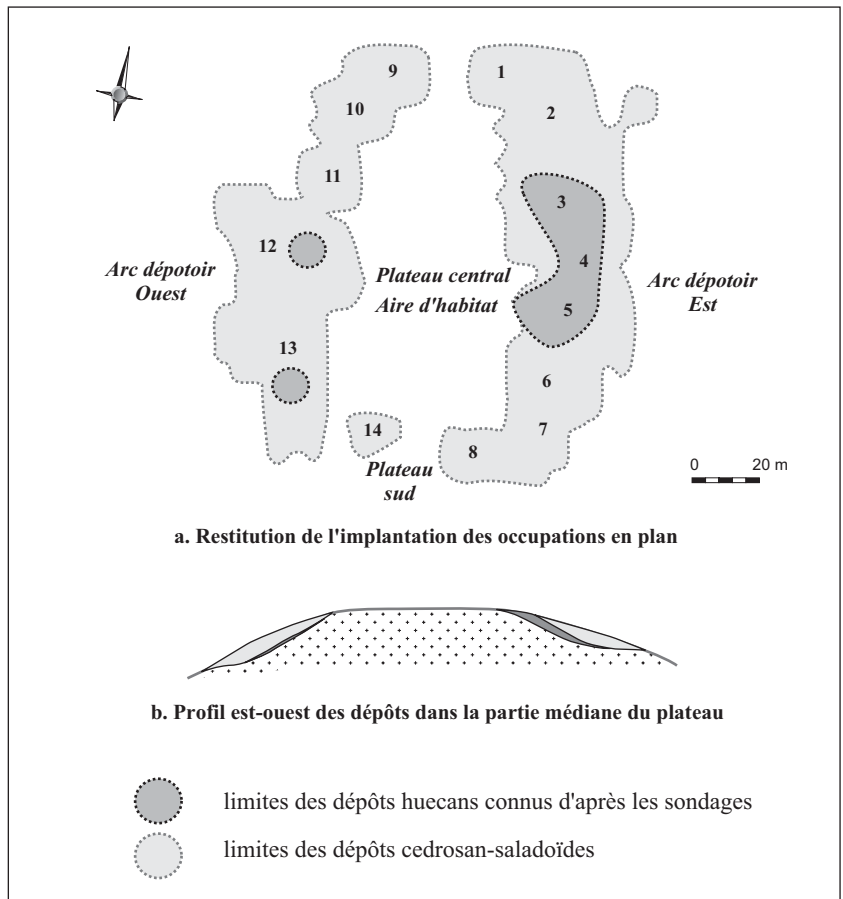


Figure 346 : Hope Estate, plan des occupations huécan et cedrosan-saladoïde (D. Bonnissent).

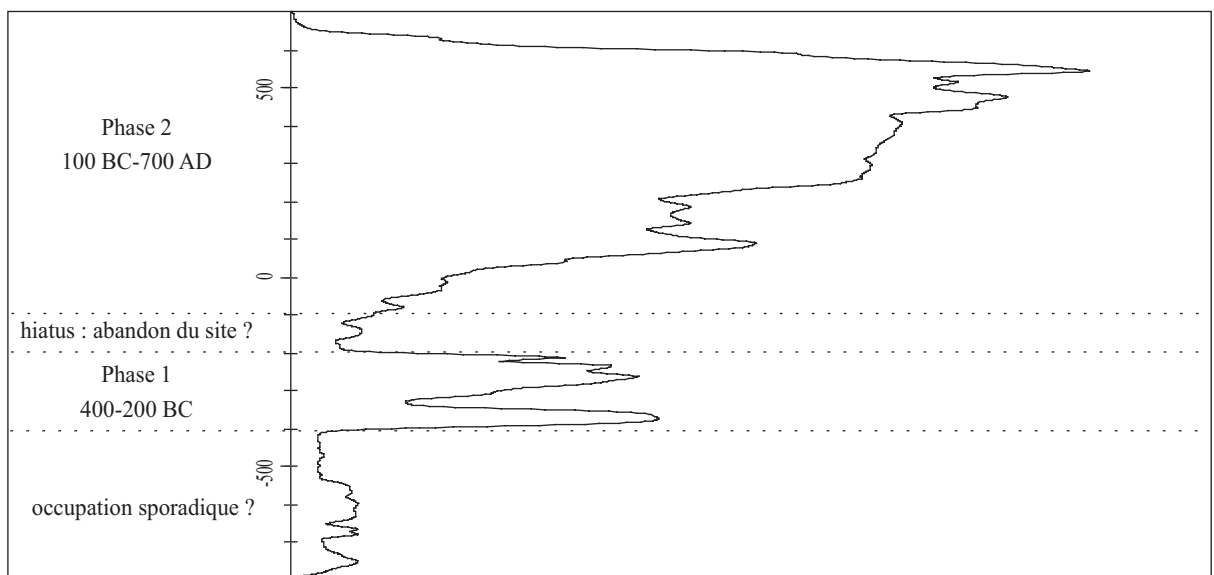


Figure 347 : Somme des probabilités des calibrations des dates du site de Hope Estate, n = 29, Calib Rev 5.01. (D. Bonnissent).

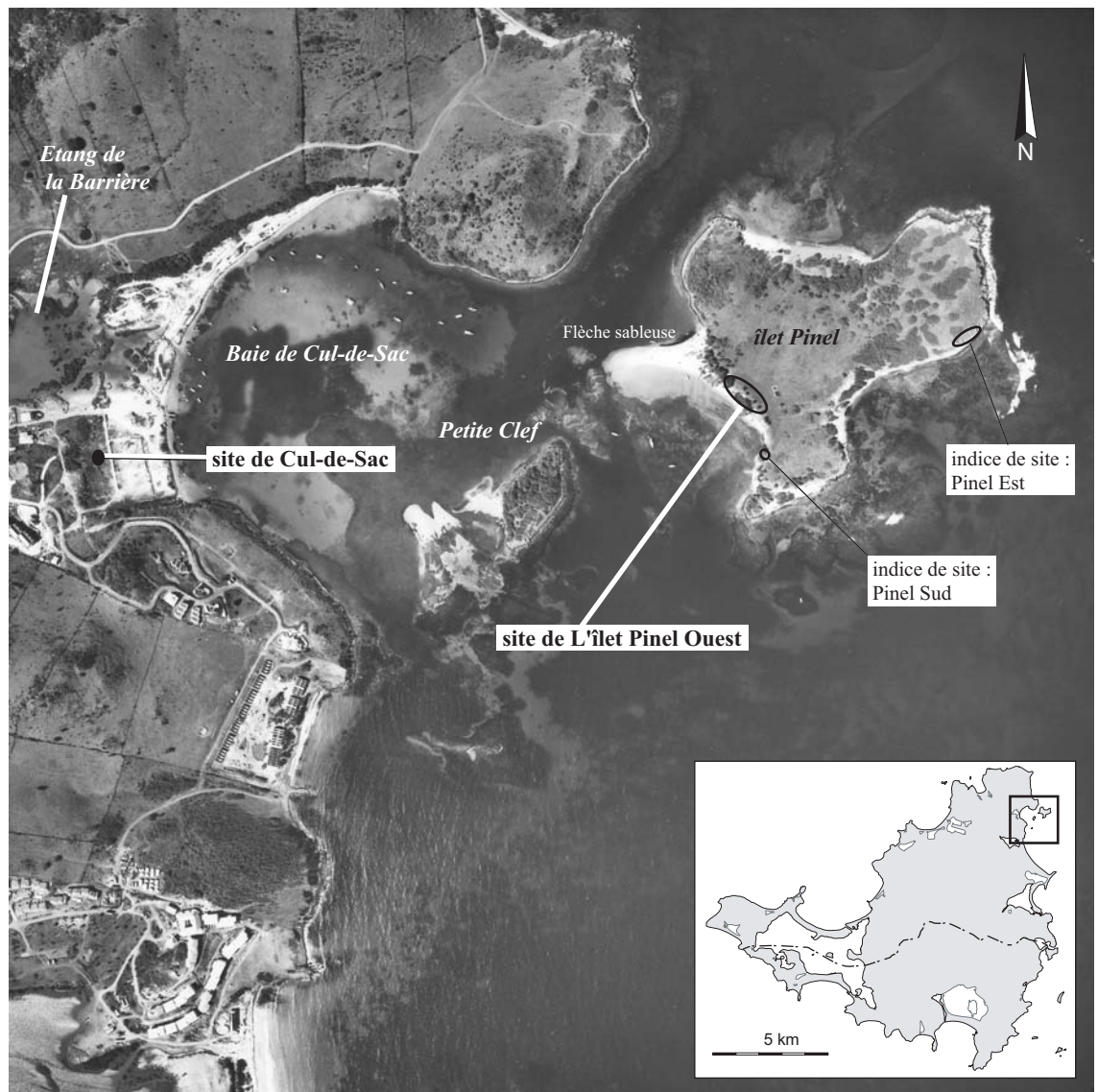


Figure 348 : La baie de Cul-de-Sac et les gisements cedrosan-saladoïdes de l'Îlet Pinel et de Cul-de-sac (cliché IGN 1968).



Figure 349 : La côte sud-ouest de l'Îlet Pinel (D. Bonnissent).

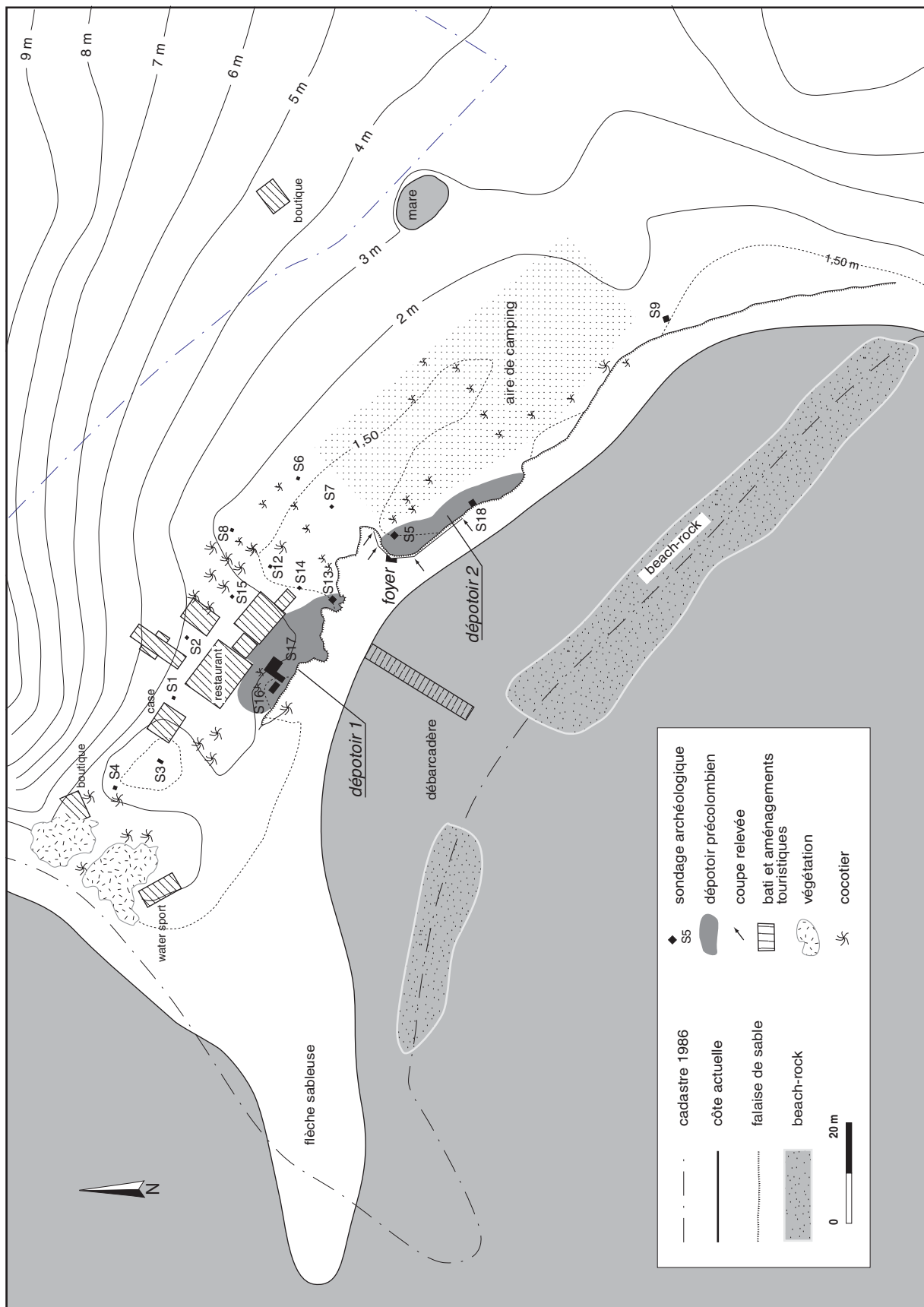


Figure 350 : Plan du site de l'Ilet Pinel (D. Bonnissist, C. Stouvenot).

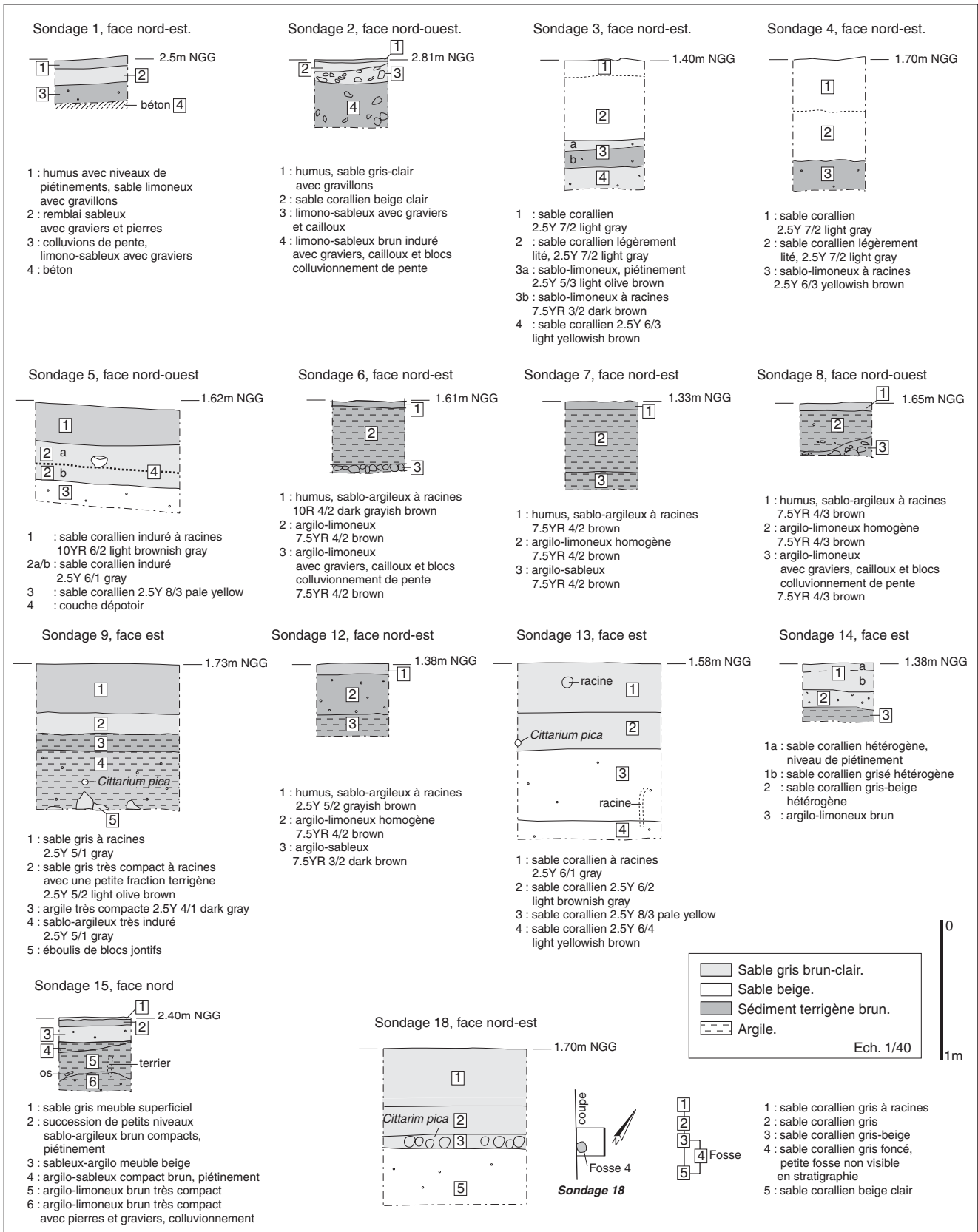


Figure 351 : Ilet Pinel, relevés stratigraphiques des sondages de reconnaissance (I. Dechanez).



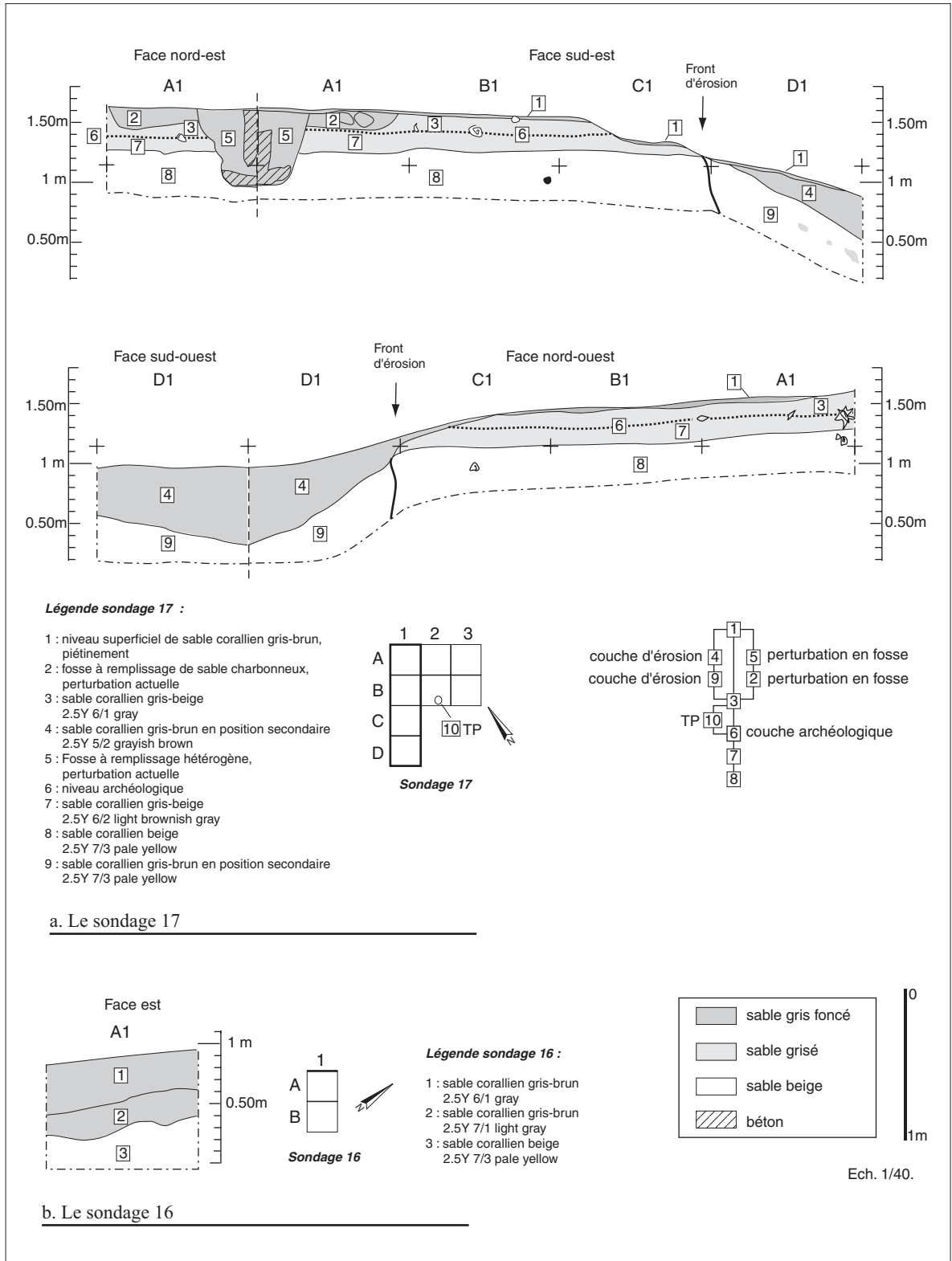


Figure 352 : Ilet Pinel, relevés stratigraphiques des sondages 17 et 16 (I. Dechanez).



a. le sondage 17 en cours de fouilles



b. coupes du sondage 17, carrés B1, C1 et D1



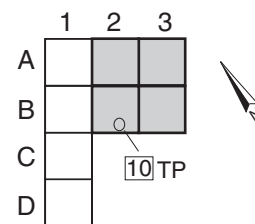
c. décapage de l'unité 1706, carrés A2 et A3 B2 et B3



d. unité stratigraphique 1706 carrés A1 / B1, détail



e. unité stratigraphique 1706 carrés A1 et B1



f. plan du sondage 17

Figure 353 : Ilet Pinel, le sondage 17 (I. Dechanez, D. Bonnissent).



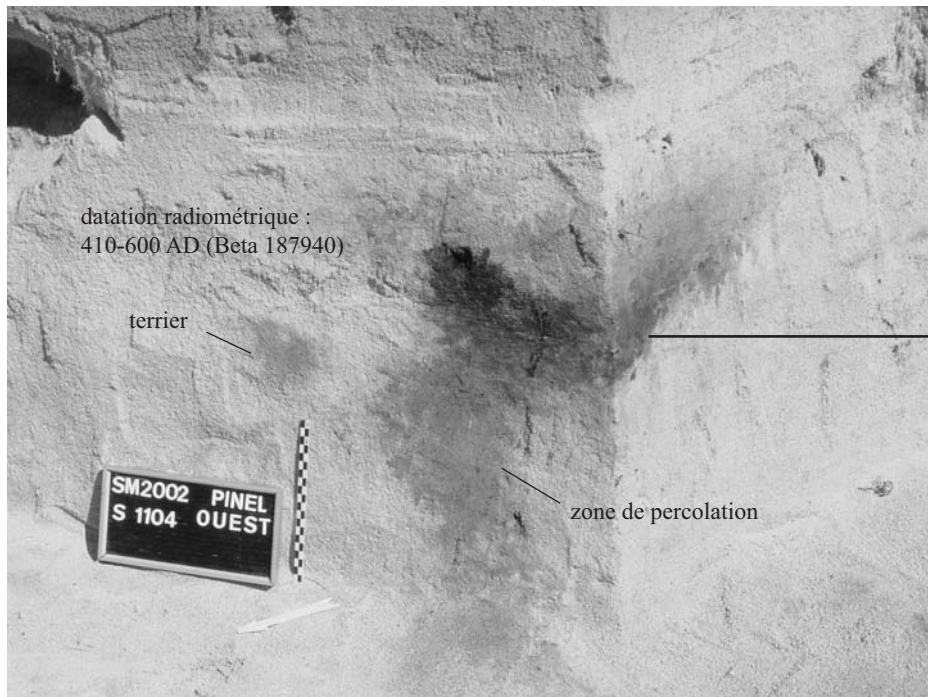
a : vue panoramique de la partie sud de l'anse



b : coupe frontale de la partie sud de l'anse



c : coupe latérale de la partie sud de l'anse



d : angle des coupes latérale et frontale du front de mer, foyer en fosse cedrosan-saladoïde

Figure 354 : Ilet Pinel, coupe 11 du front de mer (D. Bonnissent, C. Stouvenot, I. Dechanez).





US	m2	10 mm							5mm	Total
		coquille	lithique	faune V.	corail	c�ramique	charbon	crabe		
5001		326	0	1	32	1	0	0	0	360
5002		523	23	0	0	0	0	0	33	579
5004		440	598	0	0	242	0	0	14	1294
total		1289	621	1	32	243	0	0	47	2233
1102		100	0	0	0	192	0	0	0	292
1103		404	0	0	0	0	0	0	0	404
1104		170	0	0	1	0	958	0	17	1146
total		674	0	0	1	192	958	0	17	1842
1301		14	0	0	38	0	0	0	0	52
1302		1113	5	0	2	0	0	0	103	1223
1301.02		1118	0	3	0	0	0	0	0	1121
1303		70	0	0	0	0	0	0	37	107
total		2315	5	3	40	0	0	0	140	2503
1601	A1	713	164	0	90	84	7	0	58	1116
1601	B1	505	0	0	4	37	2	5	56	609
sous-total		1218	164	0	94	121	9	5	114	1725
1602	A1	983	1348	0	16	304	30	0	72	2753
1602	B1	408	902	0	0	160	2	0	40	1512
sous-total		1391	2250	0	16	464	32	0	112	4265
1603	A1	745	0	0	75	62	0	0	25	907
1603	B1	780	0	0	0	132	1	0	31	944
sous-total		1525	0	0	75	194	1	0	56	1851
total		4134	2414	0	185	779	42	5	282	7841
1701	A1	146	0	0	1	14	0	0	17	178
1701	A2	180	0	0	0	0	0	0	16	196
1701	A3	30	0	0	0	6	0	0	5	41
1701	B1	40	0	0	13	18	0	0	6	77
1701	B2	453	0	0	242	5	0	0	28	728
1701	B3	85	0	0	0	0	0	0	6	91
1701	C1	123	0	0	0	0	0	0	10	133
1701	D1	114	0	0	16	2	0	0	12	144
sous-total		1171	0	0	272	45	0	0	100	1588
1702	A1	208	0	0	0	38	0	0	5	251
1702	A2	34	0	0	63	0	0	0	0	97
sous-total		242	0	0	63	38	0	0	5	348
1703	A1	180	0	0	0	13	0	0	12	205
1703	A2	324	0	0	0	3	0	1	34	362
1703	A3	190	0	0	12	0	0	0	29	231
1703	B1	382	0	0	0	8	0	0	20	410
1703	B2	255	1	1	16	24	0	0	25	322
1703	B3	1382	34	1	95	36	0	0	115	1663
1703	C1	67	0	0	0	0	0	0	0	67
sous-total		2780	35	2	123	84	0	1	235	3260
1704	C1	0	137	0	0	0	0	0	4	141
1704	D1	546	33	0	62	99	0	1	17	758
sous-total		546	170	0	62	99	0	1	21	899
1705	A1	266	93	0	0	46	0	0	1	406
sous-total		266	93	0	0	46	0	0	1	406
1706	A1	9085	291	0	1825	1164	0	0	27	12392
1706	A2	2143	164	0	70	78	0	0	0	2455
1706	A3	693	1	0	0	20	0	0	0	714
1706	B1	5720	96	4	430	880	0	0	10	7140
1706	B2	2130	338	0	140	446	0	0	5	3059
1706	B3	2813	1164	0	240	173	0	0	8	4398
1706	C1	1008	0	0	0	0	0	0	0	1008
sous-total		23592	2054	4	2705	2761	0	0	50	31166
1707	A1	198	6	0	1	5	0	2	52	264
1707	A2	1970	292	0	294	434	0	0	86	3076
1707	A3	3800	1470	0	162	78	0	0	61	5571
1707	B1	380	36	0	23	96	0	5	32	572
1707	B2	93	0	0	18	113	0	0	28	252
1707	B3	3928	80	0	38	141	0	0	61	4248
1707	C1	45	0	0	0	4	0	0	9	58
sous-total		10414	1884	0	536	871	0	7	329	14041
1708	A1	397	0	0	217	0	0	4	48	666
1708	B1	314	10	0	0	0	0	7	37	368
sous-total		711	10	0	217	0	0	11	85	1034
1709	C1	54	0	0	0	3	0	3	14	74
1709	D1	390	0	0	0	6	0	0	37	433
sous-total		444	0	0	0	9	0	3	51	507
1710	B2	20	0	0	0	0	0	0	0	20
1710	B3	0	0	0	0	64	0	0	0	64
sous-total		20	0	0	0	64	0	0	0	84
17	HS	980	556	0	0	669	0	0	0	2205
17	HS mer	0	0	0	0	640	0	0	0	640
sous-total		980	556	0	0	1309	0	0	0	2845
total		41166	4802	6	3978	5326	0	23	877	56178
1801		118	0	0	0	0	0	0	0	118
1802		1073	25	0	0	2	0	0	0	1100
1803		8740	630	0	106	21	0	20	37	9554
1804		862	0	0	0	232	0	0	0	1094
total		10793	655	0	106	255	0	20	37	11866
TOTAL		60371	8497	10	4342	6795	1000	48	1400	82463

Tableau 43 : Ilet Pinel, r partition pond rale en g des mobiliers pour les sondages 5, 11, 13, 16, 17 et 18 (D. Bonnissent).



US	m2	coquilles	lithique	faune V.	corail	charbon	Total
1601	A1	53	0	0	3	2	58
1601	B1	54	0	0	1	1	56
sous-total		107	0	0	4	3	114
1602	A1	69	0	0	0	3	72
1602	B1	38	0	0	0	2	40
sous-total		107	0	0	0	5	112
1603	A1	23	0	0	0	2	25
1603	B1	25	0	0	0	6	31
sous-total		48	0	0	0	8	56
total		262	0	0	4	16	282
1701	A1	16	0	0	0	1	17
1701	A2	15	0	0	0	1	16
1701	A3	4	0	0	0	1	5
1701	B1	5	0	0	0	1	6
1701	B2	26	0	0	0	2	28
1701	B3	5	0	0	0	1	6
1701	C1	10	0	0	0	0	10
1701	D1	11	0	0	0	1	12
sous-total		92	0	0	0	8	100
1702	A1	4	0	0	0	1	5
sous-total		4	0	0	0	1	5
1703	A1	11	0	0	0	1	12
1703	A2	30	0	0	0	4	34
1703	A3	24	0	0	0	5	29
1703	B1	18	0	0	1	1	20
1703	B2	21	1	0	0	3	25
1703	B3	104	1	0	0	10	115
sous-total		208	2	0	1	24	235
1704	C1	3	0	0	0	1	4
1704	D1	13	0	0	0	4	17
sous-total		16	0	0	0	5	21
1705	A1	1	0	0	0	0	1
sous-total		1	0	0	0	0	1
1706	A1	23	0	0	0	4	27
1706	B1	4	0	0	0	6	10
1706	B2	3	0	1	0	1	5
1706	B3	2	0	5	0	1	8
sous-total		32	0	6	0	12	50
1707	A1	44	0	0	0	8	52
1707	A2	75	0	0	0	11	86
1707	A3	56	0	0	0	5	61
1707	B1	25	0	0	1	6	32
1707	B2	22	0	0	0	6	28
1707	B3	47	0	0	0	14	61
1707	C1	6	0	0	0	3	9
sous-total		275	0	0	1	53	329
1708	A1	27	0	0	0	21	48
1708	B1	33	0	0	0	4	37
sous-total		60	0	0	0	25	85
1709	C1	9	0	0	0	5	14
1709	D1	21	0	0	0	16	37
sous-total		30	0	0	0	21	51
total		718	2	6	2	149	877
Total		980	2	6	6	165	1159

Tableau 44 : Ilet Pinel, répartition pondérale en g des refus de tamis de 5 mm des sondages 16 et 17 (D. Bonnissent).

	g	NR	g/NR
sondage 5	243	3	81
sondage 11	192	7	27,4
sondage 16	779	46	16,9
sondage 17	5326	143	37,2
sondage 18	255	9	28,3
	6795	208	32,7

Tableau 45 : Ilet Pinel, répartition pondérale de la céramique par sondage en g et NR (D. Bonnissent)

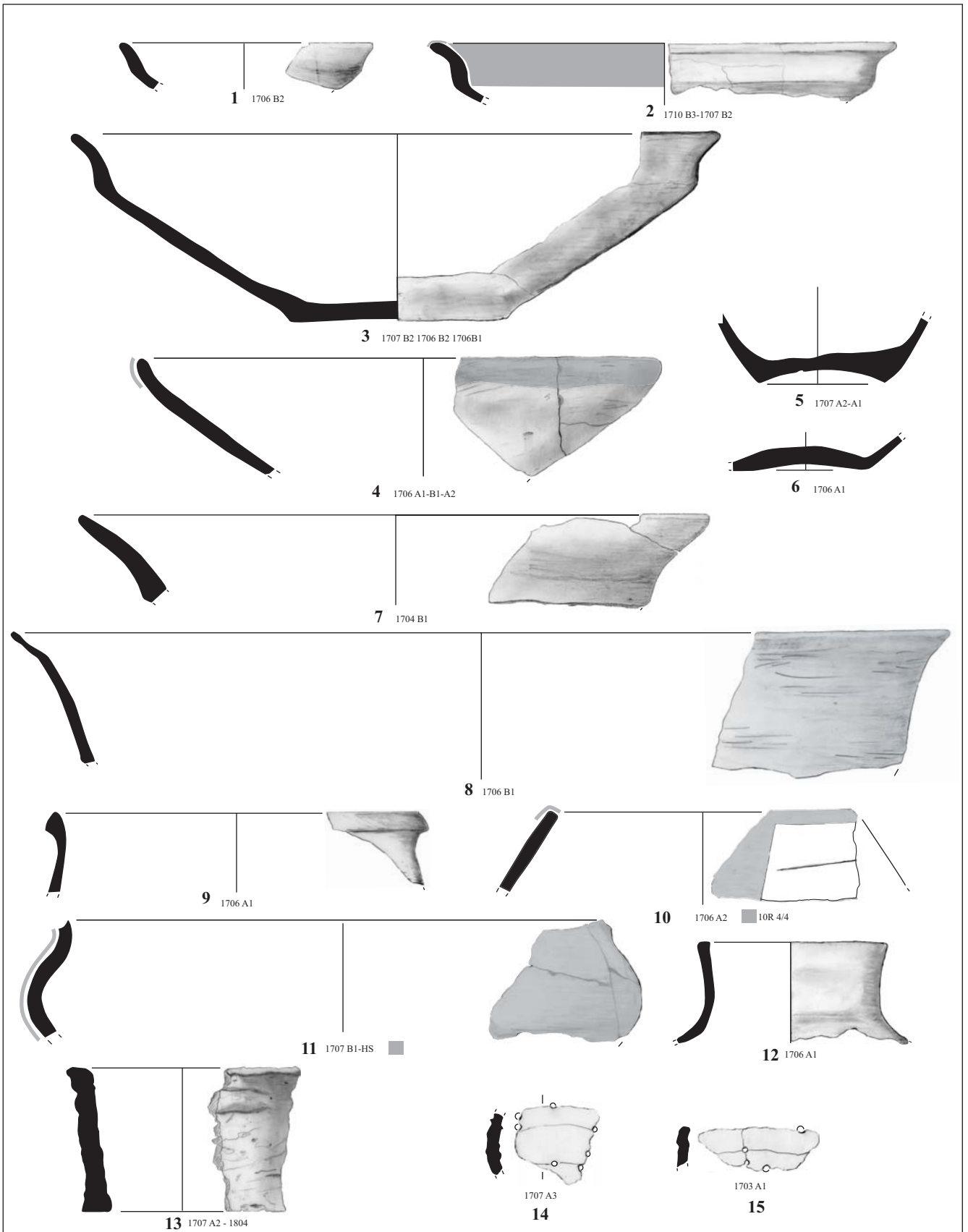


Figure 356 : Ilel Pinel, céramique du sondage 17 provenant du principal niveau de rejet, unités stratigraphiques 1706/1707 (D. Bonnissent).

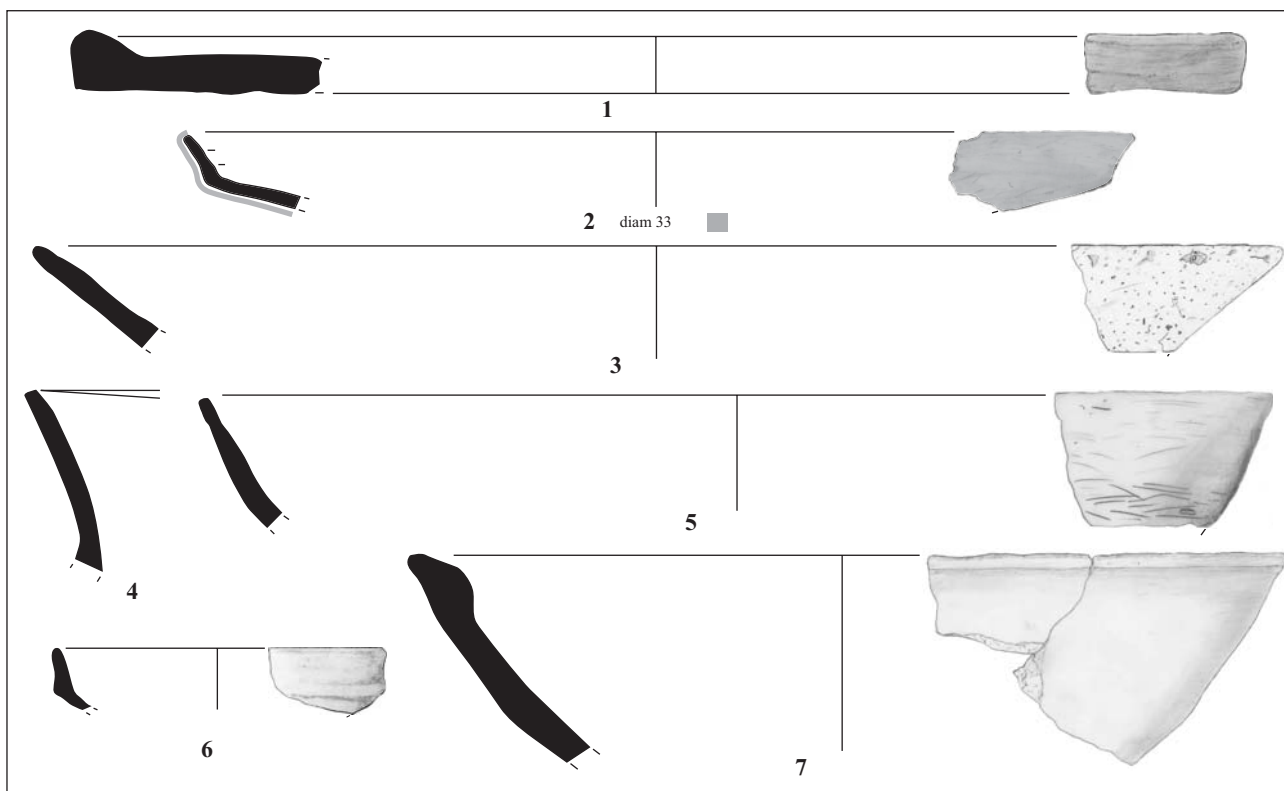


Figure 357 : Ilet Pinel, céramique provenant de la coupe du front de mer en face du sondage 17 (D. Bonnissent).

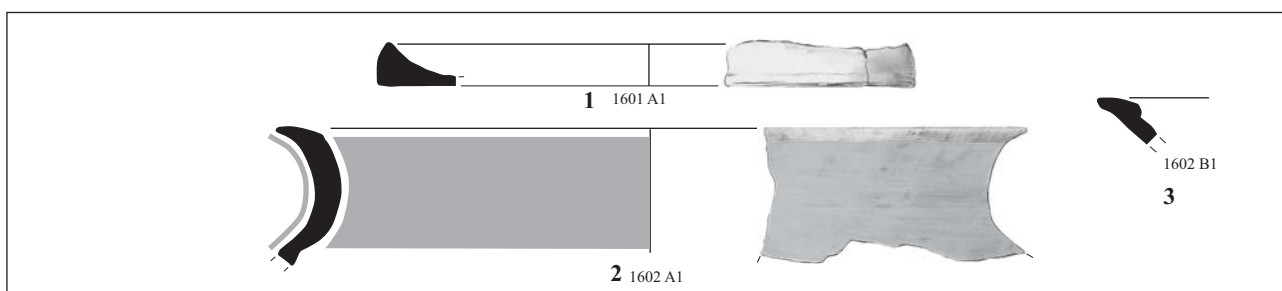


Figure 358 : Pinel Ouest, céramique du sondage 16 (D. Bonnissent).

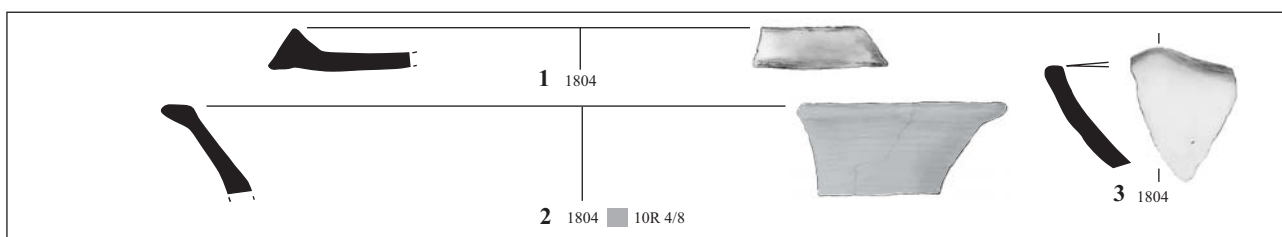


Figure 359 : Pinel Ouest, céramique du sondage 18 (D. Bonnissent).

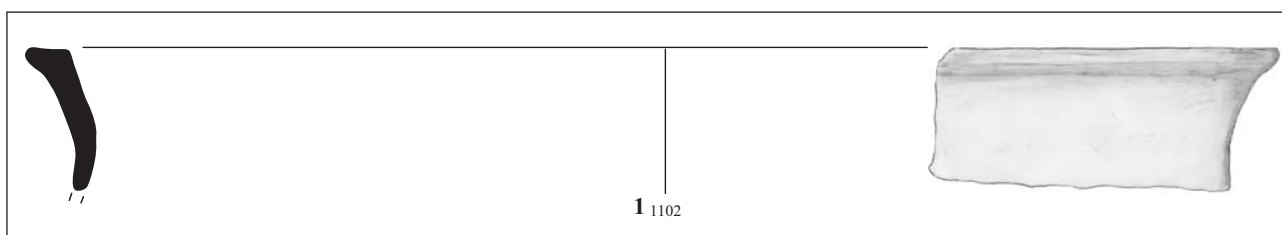


Figure 360 : Pinel Ouest, céramique de la coupe 11 du front de mer (D. Bonnissent).

US	m <sup>2</sup>	élément	surface								ID			IND			Total			NMI		
			ind	lis	peig	pei\bru	bru	b/poli	col/in	col	NR	NB	FO	FF	FI	FO	FF	FI	FO		FF	FI
1701	A1	panse					1			1								0	0	0	0	
1701	A1	B3					1			1		1						0	1	0	1	
1701	A3	base		1						1								0	0	0	0	
1701	B1	ind	1							1								0	0	0	0	
1701	B1	panse		2						2								0	0	0	0	
1701	D1	panse					1			1								0	0	0	0	
sous-total			1	3	0	0	3	0	0	0	7	0	0	1	0	0	0	0	1	0	1	
1702	A1	panse	1				2			3								0	0	0	0	
1702	B2	panse					1			1								0	0	0	0	
sous-total			1	0	0	0	3	0	0	0	4	0	0	0	0	0	0	0	0	0	0	
1703	A1	panse			2					2								0	0	0	0	
1703	A2	ind	2							2								0	0	0	0	
1703	B1	B1					1			1	1			1			1	0	0	1		
1703	B2	panse	1							1								0	0	0	0	
1703	B3	ind	1							1								0	0	0	0	
1703	B3	panse					1			1								0	0	0	0	
1703	B3	B1					2			2	2			2			2	0	0	2		
1703	B3	fond p					2			2								0	0	0	0	
sous-total			4	2	0	0	6	0	0	0	12	3	0	0	0	3	0	0	3	0	3	
1704	D1	panse			1		1			2								0	0	0	0	
1704	D1	B1			1					1	1			1			1	0	0	1		
sous-total			0	0	2	0	1	0	0	0	3	1	0	0	0	1	0	0	1	0	1	
1705	A1	ind	2							2								0	0	0	0	
1705	A1	panse								2	2							0	0	0	0	
sous-total			2	0	0	0	0	0	2	4	0	0	0	0	0	0	0	0	0	0	0	
1706	A1	panse	4				2	7	3	1	17							0	0	0	0	
1706	A1	B1								5	5	5	1				1	0	0	1		
1706	A1	B2						2		2	2					1	0	1	0	1		
1706	A1	B3					1			1	1					1	0	1	0	1		
1706	A1	fond p					4			4								0	0	0	0	
1706	A2	panse				1	1			2								0	0	0	0	
1706	A2	B1							1	1	1	1					0	1	0	1		
1706	A3	panse					1			1								0	0	0	0	
1706	B1	panse	1	1			3	8		13								0	0	0	0	
1706	B1	B1					2			1	3	3	1			2		3	0	0	3	
1706	B2	panse				2		1		3								0	0	0	0	
1706	B2	B1					1	1		1	3	3	1			2		3	0	0	3	
1706	B2	fond p					1			1								0	0	0	0	
1706	B3	B1				2	1	1		4	4						1	0	0	1	1	
sous-total			5	1	0	11	26	8	1	8	60	19	3	1	0	4	2	1	7	3	1	11
1707	A1	ind	2							2								0	0	0	0	
1707	A2	ind	1							1								0	0	0	0	
1707	A2	panse		2			1	1		4								0	0	0	0	
1707	A2	B1	2				1			3	3					1	1	0	1	1	2	
1707	A2	fond p					1			1								0	0	0	0	
1707	A3	panse		1			1			2								0	0	0	0	
1707	A3	fond p		1						1								0	0	0	0	
1707	B1	panse	1						1	2								0	0	0	0	
1707	B2	ind	1							1								0	0	0	0	
1707	B2	panse					2			2								0	0	0	0	
1707	B2	B1							1	1	1			1				0	0	1	1	
1707	B3	B10							1	1	1	0						0	0	0	0	
1707	B3	pla f					2			2								0	0	0	0	
1707	C1	ind	1							1								0	0	0	0	
sous-total			8	4	0	2	7	0	0	3	24	5	0	0	1	0	1	1	0	1	2	3
1709	C1	ind	1							1								0	0	0	0	
1709	D1	panse	1							1								0	0	0	0	
sous-total			2	0	0	0	0	0	0	2	0	0	0	0	0	0	0	0	0	0	0	0
1710	B3	panse	1	1						2	4							0	0	0	0	
1710	B3	B10								1	1	1	1					1	0	0	1	
sous-total			1	1	0	0	0	0	0	3	5	1	1	0	0	0	0	1	0	0	1	
17	HS	panse	4	2			4	4		3	17							0	0	0	0	
17	HS	B1					1			1	1					1		1	0	0	1	
17	HS	PL2					1			1	1					1		1	0	0	1	
17	HS	fond p		1						1								0	0	0	0	
17	HS	pla f	2							2								0	0	0	0	
sous-total			6	3	0	5	5	0	0	3	22	2	0	0	0	2	0	0	2	0	0	2
	Total		30	14	2	18	51	8	1	19	143	31	4	2	1	10	3	2	14	5	3	22

Tableau 46 : Ilet Pinel, quantification de la population de récipients en nombre de restes du sondage 17 (D. Bonnissent).

US	m <sup>2</sup>	élément	surface									ID			IND			Total			NMI
			ind	lis	peig	pei\bru	bru	b/pol	col	NR	NB	FO	FF	FI	FO	FF	FI	FO	FF	FI	
1601	A1	panse					6		1	7								0	0	0	0
1601	A1	PL1					2			2	2					1		1	0	0	1
1601	B1	panse					4		2	6								0	0	0	0
<b>1601</b>		<b>sous-total</b>	<b>0</b>	<b>0</b>	<b>0</b>	<b>0</b>	<b>12</b>	<b>0</b>	<b>3</b>	<b>15</b>	<b>2</b>	<b>0</b>	<b>0</b>	<b>0</b>	<b>1</b>	<b>0</b>	<b>0</b>	<b>1</b>	<b>0</b>	<b>0</b>	<b>1</b>
1602	A1	ind	1							1								0	0	0	0
1602	A1	panse					14			14								0	0	0	0
1602	A1	B3							1	1	1		1					0	1	0	1
1602	A1	fond p					1			1								0	0	0	0
1602	B1	panse					3		1	4								0	0	0	0
1602	B1	B1					1			1	1						1	0	0	1	1
1602	B1	B7							1	1	1				1			1	0	0	1
1602	B1	pla f					1			1								0	0	0	0
<b>1602</b>		<b>sous-total</b>	<b>1</b>	<b>0</b>	<b>0</b>	<b>0</b>	<b>20</b>	<b>1</b>	<b>2</b>	<b>24</b>	<b>3</b>	<b>0</b>	<b>1</b>	<b>0</b>	<b>1</b>	<b>0</b>	<b>1</b>	<b>1</b>	<b>1</b>	<b>1</b>	<b>3</b>
1603	A1	panse				1	1			2								0	0	0	0
1603	B1	ind	2							2								0	0	0	0
1603	B1	panse					2			2								0	0	0	0
1603	B1	fond p					1			1								0	0	0	0
<b>1603</b>		<b>sous-total</b>	<b>2</b>	<b>0</b>	<b>1</b>	<b>0</b>	<b>4</b>	<b>0</b>	<b>0</b>	<b>7</b>	<b>0</b>	<b>0</b>	<b>0</b>	<b>0</b>	<b>0</b>	<b>0</b>	<b>0</b>	<b>0</b>	<b>0</b>	<b>0</b>	<b>0</b>
<b>Total</b>			<b>3</b>	<b>0</b>	<b>1</b>	<b>0</b>	<b>36</b>	<b>1</b>	<b>5</b>	<b>46</b>	<b>5</b>	<b>0</b>	<b>1</b>	<b>0</b>	<b>2</b>	<b>0</b>	<b>1</b>	<b>2</b>	<b>1</b>	<b>1</b>	<b>4</b>

Tableau 47 : Ilet Pinel, quantification de la population de récipients en nombre de restes du sondage 16 (D. Bonnissent).

US	m <sup>2</sup>	élément	surface									ID			IND			Total			NMI
			ind	lis	peig	pei\bru	bru	b/pol	col	NR	NB	FO	FF	FI	FO	FF	FI	FO	FF	FI	
1802		panse					1			1								0	0	0	0
<b>1802</b>		<b>sous-total</b>	<b>0</b>	<b>0</b>	<b>0</b>	<b>0</b>	<b>1</b>	<b>0</b>	<b>0</b>	<b>1</b>	<b>0</b>	<b>0</b>	<b>0</b>	<b>0</b>	<b>0</b>	<b>0</b>	<b>0</b>	<b>0</b>	<b>0</b>	<b>0</b>	<b>0</b>
1803		panse	1							1								0	0	0	0
<b>1803</b>		<b>sous-total</b>	<b>1</b>	<b>0</b>	<b>0</b>	<b>0</b>	<b>0</b>	<b>0</b>	<b>0</b>	<b>1</b>	<b>0</b>	<b>0</b>	<b>0</b>	<b>0</b>	<b>0</b>	<b>0</b>	<b>0</b>	<b>0</b>	<b>0</b>	<b>0</b>	<b>0</b>
1804		panse				2				2								0	0	0	0
1804		B1							1	1	1	1						1	0	0	1
1804		B3							2	2	2	1						1	0	0	1
1804		PL1					1			1	1				1			1	0	0	1
1804		fond p					1			1								0	0	0	0
<b>1804</b>		<b>sous-total</b>	<b>0</b>	<b>0</b>	<b>2</b>	<b>0</b>	<b>2</b>	<b>0</b>	<b>3</b>	<b>7</b>	<b>4</b>	<b>2</b>	<b>0</b>	<b>0</b>	<b>1</b>	<b>0</b>	<b>0</b>	<b>3</b>	<b>0</b>	<b>0</b>	<b>3</b>
<b>Total</b>			<b>1</b>	<b>0</b>	<b>2</b>	<b>0</b>	<b>3</b>	<b>0</b>	<b>3</b>	<b>9</b>	<b>4</b>	<b>2</b>	<b>0</b>	<b>0</b>	<b>1</b>	<b>0</b>	<b>0</b>	<b>3</b>	<b>0</b>	<b>0</b>	<b>3</b>

Tableau 48 : Ilet Pinel, quantification de la population de récipients en nombre de restes du sondage 18 (D. Bonnissent).

US	m <sup>2</sup>	élément	surface									ID			IND			Total			NMI
			ind	lis	peig	pei\bru	bru	b/pol	col	NR	NB	FO	FF	FI	FO	FF	FI	FO	FF	FI	
5001		panse					1			1								0	0	0	0
5004		panse					1			1								0	0	0	0
5004		fond p					1			1								0	0	0	0
<b>Total</b>			<b>0</b>	<b>0</b>	<b>0</b>	<b>0</b>	<b>3</b>	<b>0</b>	<b>0</b>	<b>3</b>	<b>0</b>	<b>0</b>	<b>0</b>	<b>0</b>	<b>0</b>	<b>0</b>	<b>0</b>	<b>0</b>	<b>0</b>	<b>0</b>	<b>0</b>

Tableau 49 : Ilet Pinel, quantification de la population de récipients en nombre de restes du sondage 5 (D. Bonnissent).

US	m <sup>2</sup>	élément	surface									ID			IND			Total			NMI
			ind	lis	peig	pei\bru	bru	b/pol	col	NR	NB	FO	FF	FI	FO	FF	FI	FO	FF	FI	
1102		B3					1			1	1				1			1	0	0	1
1102	n3	panse					1			1								0	0	0	0
1102		fond p	1							1								0	0	0	0
1102	n5	B1			1					1	1				1			1	0	0	1
<b>Total</b>			<b>1</b>	<b>1</b>	<b>0</b>	<b>0</b>	<b>2</b>	<b>0</b>	<b>0</b>	<b>4</b>	<b>2</b>	<b>0</b>	<b>0</b>	<b>0</b>	<b>2</b>	<b>0</b>	<b>0</b>	<b>2</b>	<b>0</b>	<b>0</b>	<b>2</b>

Tableau 50 : Ilet Pinel, quantification de la population de récipients en nombre de restes de la coupe 11 (D. Bonnissent).

	NR	NR décoré	% NR décoré
sondage 5	3	0	0
sondage 11	7	0	0
sondage 16	46	5	10,9
sondage 17	143	20	14,0
sondage 18	9	3	33,3
<b>Total</b>	<b>208</b>	<b>28</b>	<b>13,5</b>

Tableau 51 : Représentation des tessons décorés (D. Bonnissent).



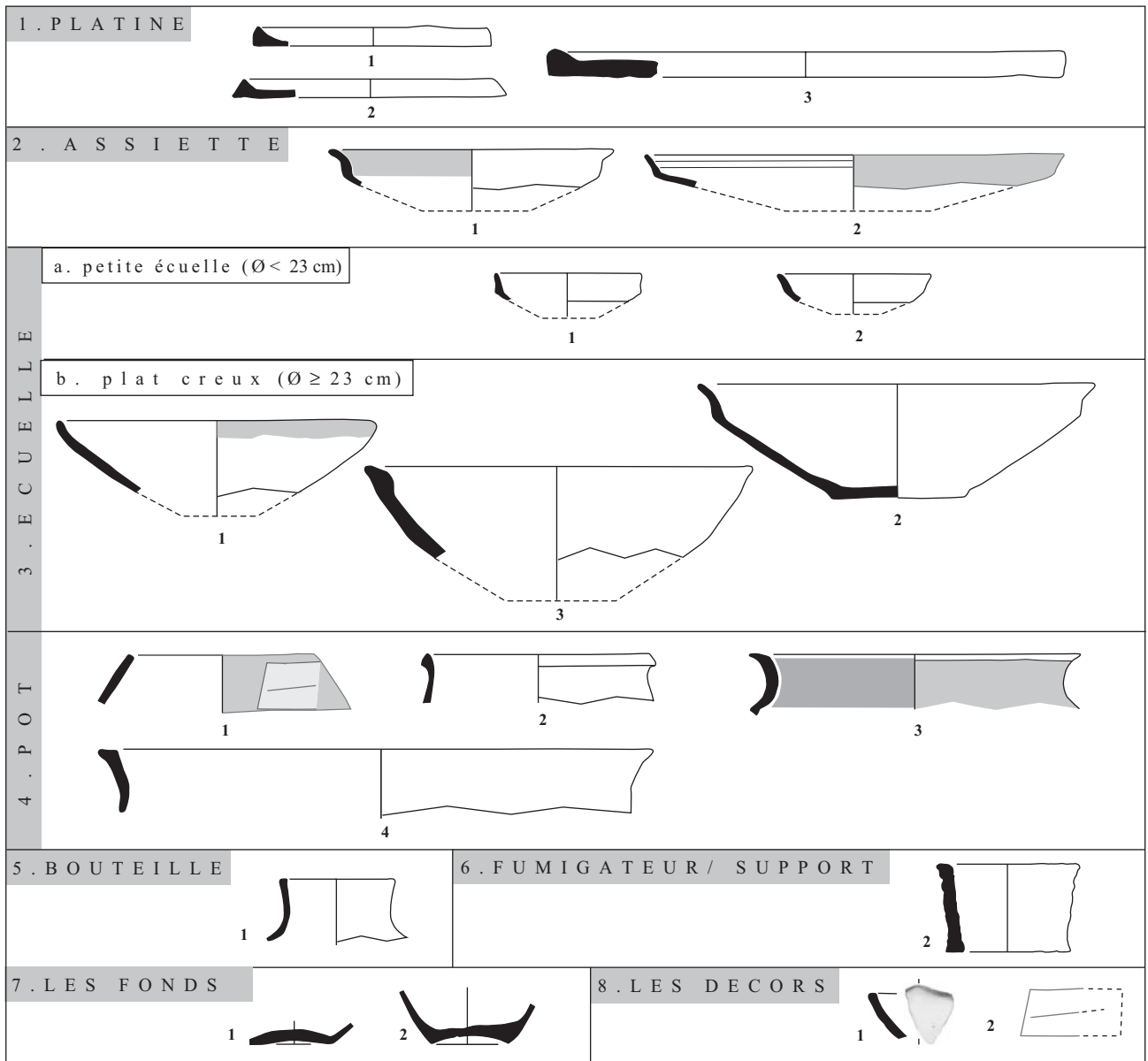


Figure 361 : Ilet Pinel, typologie du Cedrosan-saladoïde (D. Bonnissent).

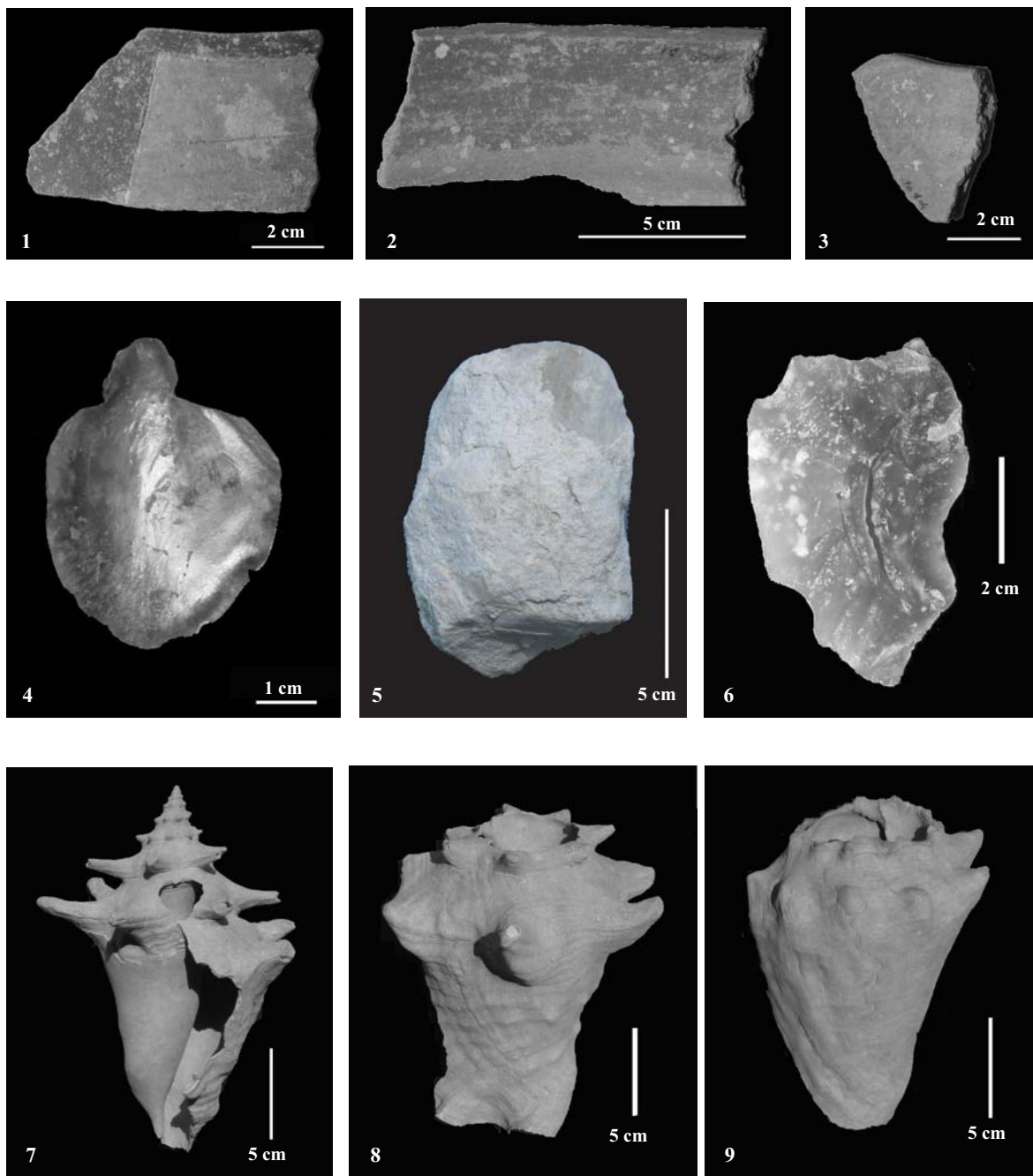


Figure 362 : Ilet Pinel, mobiliers (D. Bonnissent). 1 : tesson incisé et engobé, 2 : tesson engobé, 3 : papule sur bord, 4 : pendeloque sur coquille, 5 : outil sur cherto-tuffite, 6 : encoche sur silex, 7 : *Strombus gigas* perforé, 8 et 9 : *Strombus gigas* dont l'apex est fracturé.

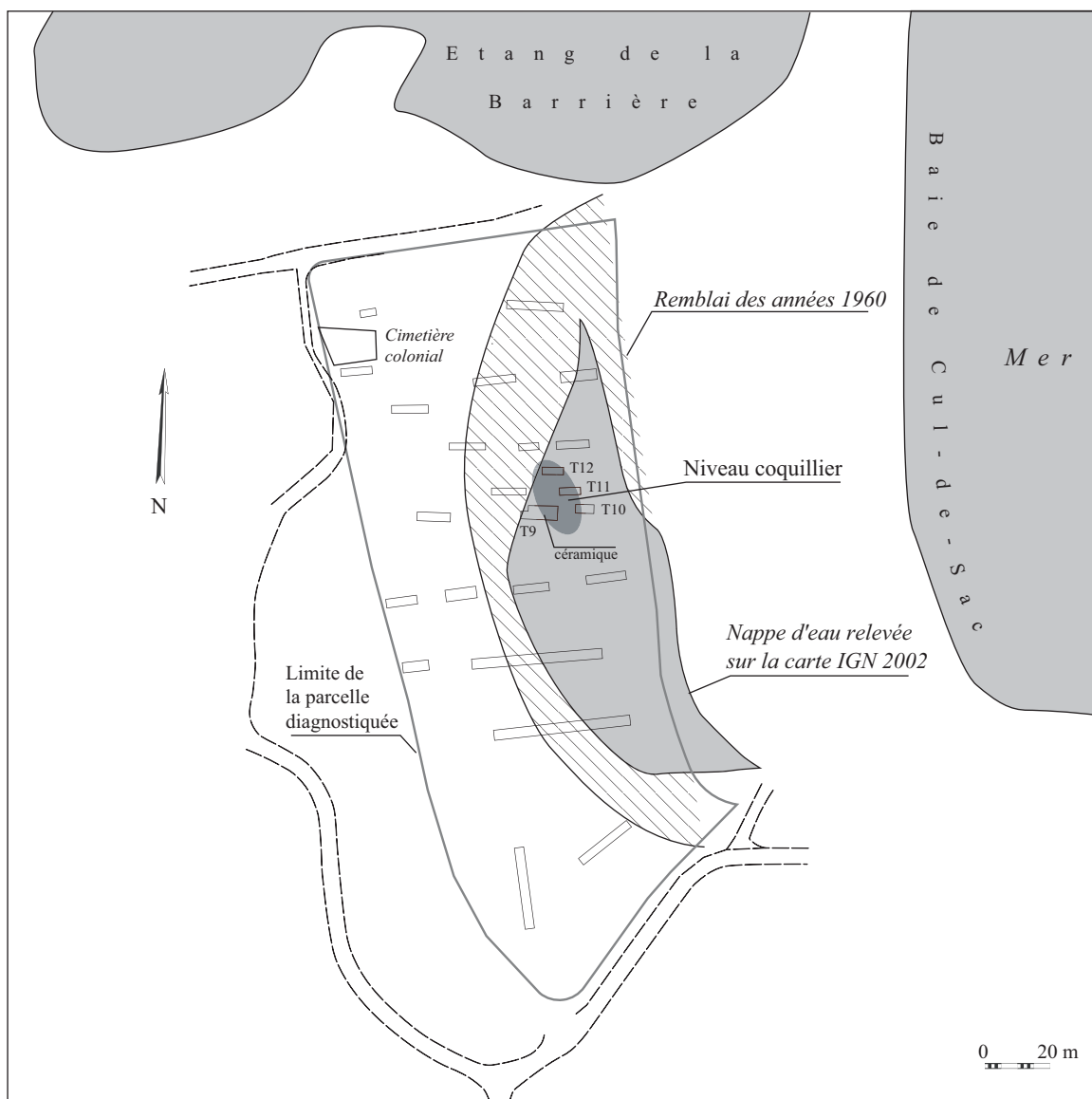


Figure 363 : Plan du site de Cul-de-Sac (D'après Martias 2006).

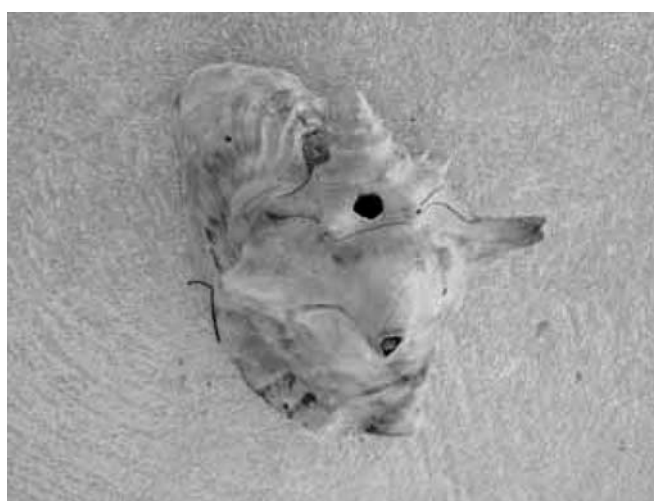


Figure 364 : Cul-de-Sac, *Strombus gigas* perforé (Martias 2006).

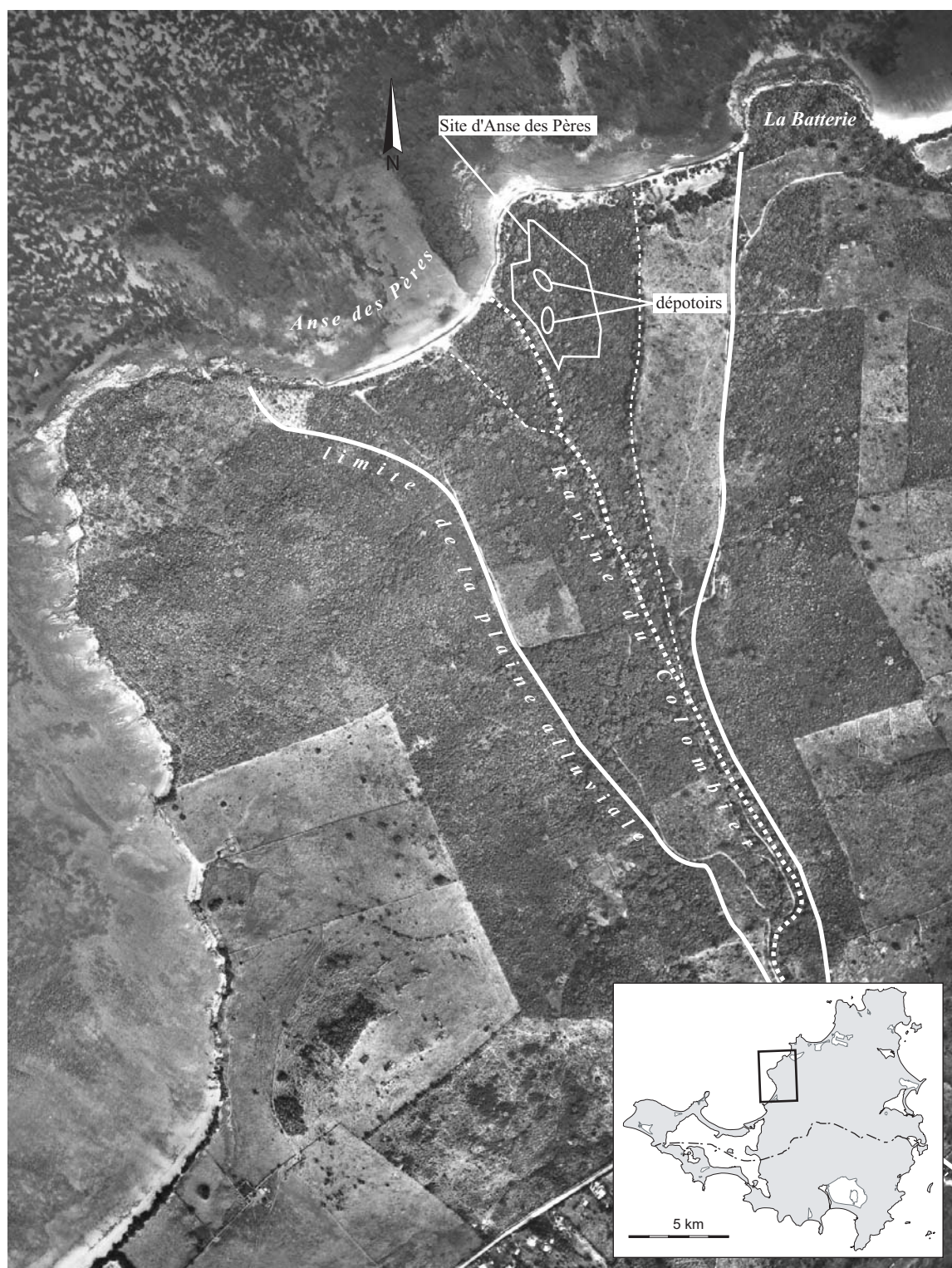


Figure 365 : Le site d'Anse des Pères dans la plaine alluviale de la ravine du Colombier (cliché IGN 1954).

Formes et décors	Anse des Pères	Hope Estate
décors divers géométriques	Hamburg 1999 p. 75, 7.2 : a, b, c, d	décor rare, fig. 247 : 13, fig. 271 : 6
décors de spirales	Hamburg 1999 p. 75, 7.2 : e, f	thème connu, fig. 279 : 11, fig. 305 : 6, fig. 307 : 1, fig. 315 : 4
décors de cercles tronqués et de ZIC	Hamburg 1999 p. 75, 7.2 : h, i, j, l	décor rare, fig. 322 : 2
décor de crose	Hamburg 1999 p. 75, 7.2 : k	thème rare, fig. 245 : 2, fig. 279 : 10, fig. 316 : 4, fig. 340.4
décor de spirale	Hamburg 1999 p. 75, 7.2 : m	thème connu, fig. 279 : 11, fig. 305 : 6, fig. 307 : 1, fig. 315 : 4
adorno	Hamburg 1999 p. 75, 7.2 : n et fig. 366.2 : b	inconnu
adornos	Hamburg 1999 p. 75, 7.2 : o, r	fig. 339, 14 : 1 à 5
préhension tabulaire	Hamburg 1999 p. 75, 7.2 : q	fig. 342 : 13
écuelle naviculaire à bord ourlé, incision interne	Hamburg 1999 p. 77, 7.4 : a	fig. 308 : 1, 314 : 2, fig. 324 : 2
écuelle naviculaire à bord ourlé, incision interne, bouton de suspension, pastille sur le bord	Hamburg 1999 p. 77, 7.4 : b	fig. 263 : 6
jatte évasée à bord droit	Hamburg 1999 p. 77, 7.4 : c	forme ubiquiste
écuelle à marli oblique et décor interne sur le thème du demi-cercle	Hamburg 1999 p. 77, 7.4 : d	fig. 317 : 2
bol à bord ourlé avec pastille	Hamburg 1999 p. 77, 7.4 : e	fig. 278 : 6
bol à bord droit et papule	Hamburg 1999 p. 77, 7.4 : f	forme inconnue, un possible fragment fig. 266 : 14
bol à méplat incliné	Hamburg 1999 p. 77, 7.4 : g	fig. 285 : 2, fig. 295 : 1
écuelle ou bol à marli oblique et incision	Hamburg 1999 p. 78, 7.5 : a	fig. 300 : 2
écuelle à bord ourlé et décor interne sur le thème des cercles tronqués	Hamburg 1999 p. 78, 7.5 : c	fig. 315 : 8
bol ourlé à décor engobé	Hamburg 1999 p. 78, 7.5 : e	fréquent pour les pots à ouverture large fig. 338.6 : 7 et 8
jatte à bord droit, préhension en languette décorée d'une pastille	Hamburg 1999 p. 78, 7.5 : f	préhension inconnue
réceptif caréné à bord ourlé	Hamburg 1999 p. 78, 7.5 : g	forme ubiquiste, fig. 337.4b : 14
pot à bord retrait	Hamburg 1999 p. 78, 7.5 : h	forme inconnue
jatte à bord ourlé et pastille	Hamburg 1999 p. 78, 7.5 : i	fig. 280 : 2
jatte carénée à bord droit	Hamburg 1999 p. 78, 7.5 : j	fig. 278 : 12 et 16
jatte à anses	Hamburg 1999 p. 79, 7.6 : a	fig. 337.4b : 5
jatte carénée à bord ourlé WOR	Hamburg 1999 p. 79, 7.6 : b	fragments connus
pot verseur à anses ? partie supérieure des anses fixée sur le bord	Hamburg 1999 p. 79, 7.6 : c	fig. 338.6 : 13, 14, partie supérieure des anses fixée sur le corps
pot ? à bord droit et à préhension en languette	Hamburg 1999 p. 80, 7.7 : a	forme inconnue
pot sphéroïde	Hamburg 1999 p. 80, 7.7 : b	fig. 321 : 2
décor de spirale	Hamburg 1999 p. 80, 7.7 : c	thème connu, fig. 279 : 11, fig. 305 : 6, fig. 307 : 1, fig. 315 : 4
pot caréné à ouverture large légèrement resserrée	Hamburg 1999 p. 80, 7.7 : d	forme inconnue
pot à encolure et décor géométrique incisé et engobé	Hamburg 1999 p. 80, 7.7 : e	forme plus large, fig. 338.6 : 15, décor de type fig. 340.3 : 12
décor de cercle et de spirale	Hamburg 1999 p. 80, 7.7 : f	décor inconnu
pot verseur à anses de type fig. 7.6 : c ? (Hamburg 1999)	Hamburg 1999 p. 80, 7.7 : f	fig. 338.6, partie supérieure des anses fixée sur le corps
fonds	Hamburg 1999 p. 82, 7.9	similaires
anse à tête anthropomorphe	Hamburg 1999 p. 82, 7.10 : a	décor inconnu
prévisions à volute et perforation	Hamburg 1999 p. 82, 7.10 : d, e	inconnue, fusion et évolution des types 311 : 2 et 342 : 12 ?
préhension carrée	Hamburg 1999 p. 82, 7.10 : f	préhension inconnue
colerette à pastilles	Hamburg 1999 p. 82, 7.10 : g	fig. 317 : 8
colerette à pastilles et à décor engobé, incisé et à plages de ZIC	fig. 366 : 3	bord et décor inconnu

Tableau 52 : Comparaison entre les productions céramiques des sites d'Anse des Pères et de Hope Estate (D. Bonnissent).





Figure 366 : Anse des Pères, céramique décorée (I. Dechanez).

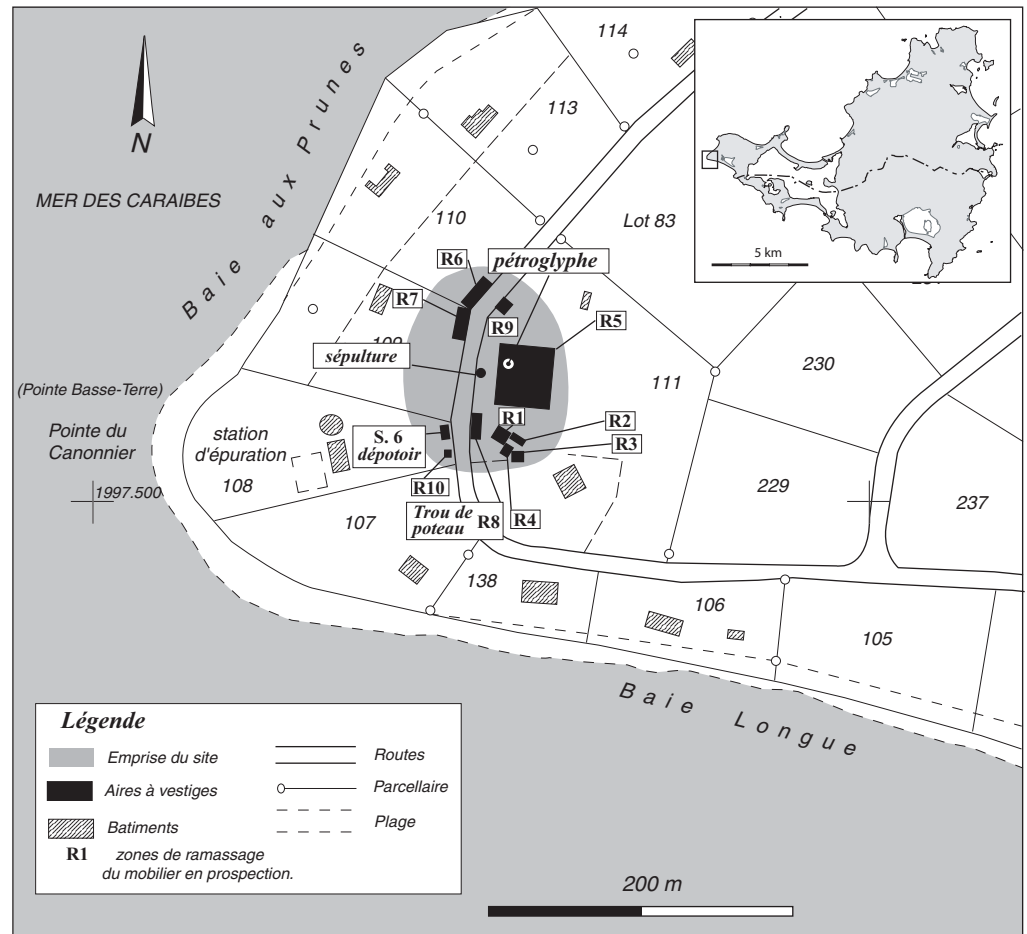


Figure 367 : Site de la Pointe du Canonier, fond cadastral (C. Stouvenot, I. Dechanez).

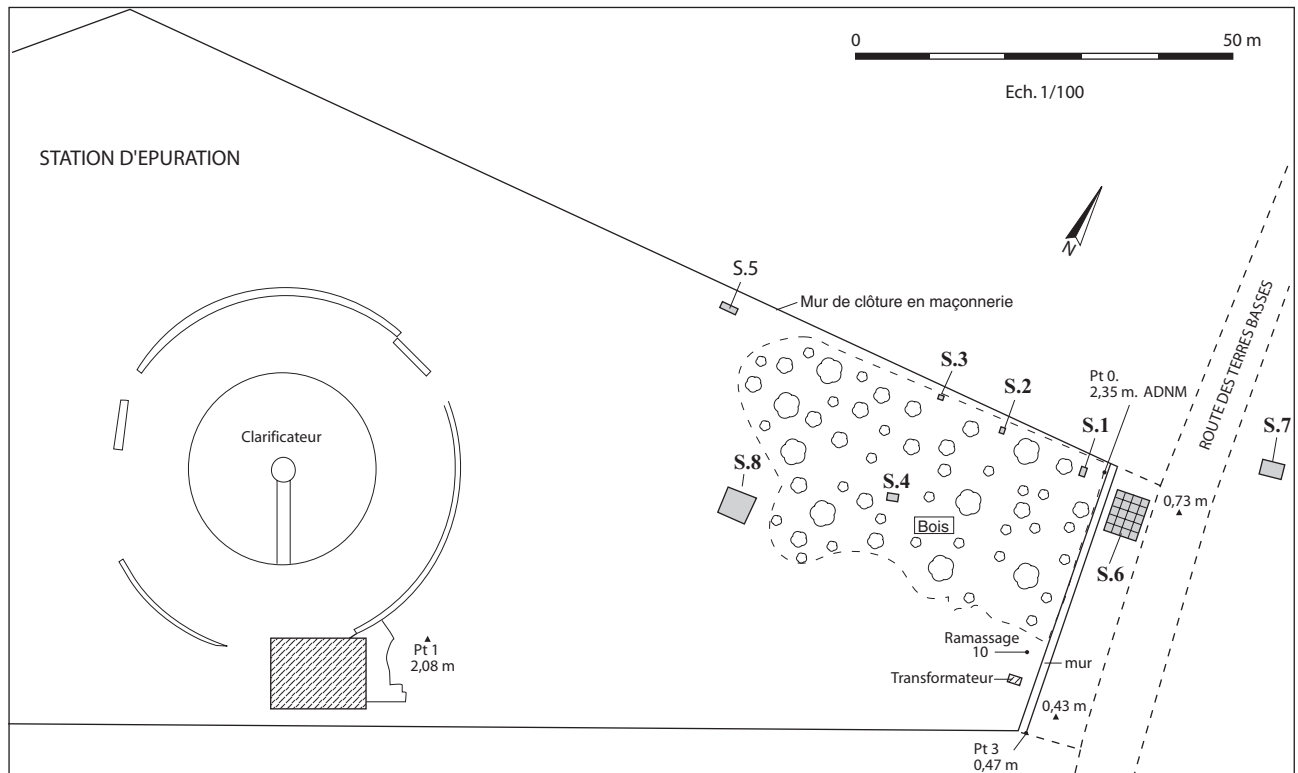


Figure 368 : Plan du Site de la Pointe du Canonier (D. Bonnissent, I. Dechanez).

n° ramassage	céramique	lithique	commentaire	autre
R1	2089	73	produits débités sur cherto-tuffite	
R2	1985	46	produits débités sur cherto-tuffite	
R3	5296	314	produits débités sur cherto-tuffite,	1 lame sur S. gigas
R4	2690	52	produits débités sur cherto-tuffite	
R5	160	6	1 fragment de hache sur cherto-tuffite	1 pétroglyphe
R6	25	53	produits débités sur cherto-tuffite	
R7	281	0		
R8	416	0		
R9	1540	108	1 hache sur cherto-tuffite,	1 lame sur S. gigas
R10	89	682	1 hache sur cherto-tuffite, 1 polissoir sur grès	
<b>Total</b>	<b>14571</b>	<b>1334</b>		

Tableau 53 : Pointe du Canonier, poids en g du mobilier collecté dans les zones de ramassage (D. Bonnissent).

US	coquille	corail	céramique	lithique	faune vert.	crustacés	Total
1001	567	16	338	5	0	0	926
1002	232	5	146	118	0	1	502
<b>sous-total</b>	<b>799</b>	<b>21</b>	<b>484</b>	<b>123</b>	<b>0</b>	<b>1</b>	<b>1428</b>
2001	44	0	0	0	0	0	44
2002	46	0	0	0	0	0	46
2003	96	220	150	0	0	0	466
<b>sous-total</b>	<b>186</b>	<b>220</b>	<b>150</b>	<b>0</b>	<b>0</b>	<b>0</b>	<b>556</b>
3001	101	58	111	325	0	0	595
3003	0	0	2	0	0	0	2
3002	12	0	27	0	0	0	39
<b>sous-total</b>	<b>113</b>	<b>58</b>	<b>140</b>	<b>325</b>	<b>0</b>	<b>0</b>	<b>636</b>
4001	35	0	0	0	0	0	35
4002	128	0	0	0	0	0	128
4003	178	0	30	0	0	0	208
<b>sous-total</b>	<b>341</b>	<b>0</b>	<b>30</b>	<b>0</b>	<b>0</b>	<b>0</b>	<b>371</b>
7003	330	0	157	199	0	0	686
<b>sous-total</b>	<b>330</b>	<b>0</b>	<b>157</b>	<b>199</b>	<b>0</b>	<b>0</b>	<b>686</b>
<b>Total</b>	<b>1769</b>	<b>299</b>	<b>961</b>	<b>647</b>	<b>0</b>	<b>1</b>	<b>3677</b>

Tableau 54 : Pointe du Canonier, poids en g du mobilier collecté dans les sondages de reconnaissance 1, 2, 3, 4, 7 (D. Bonnissent).

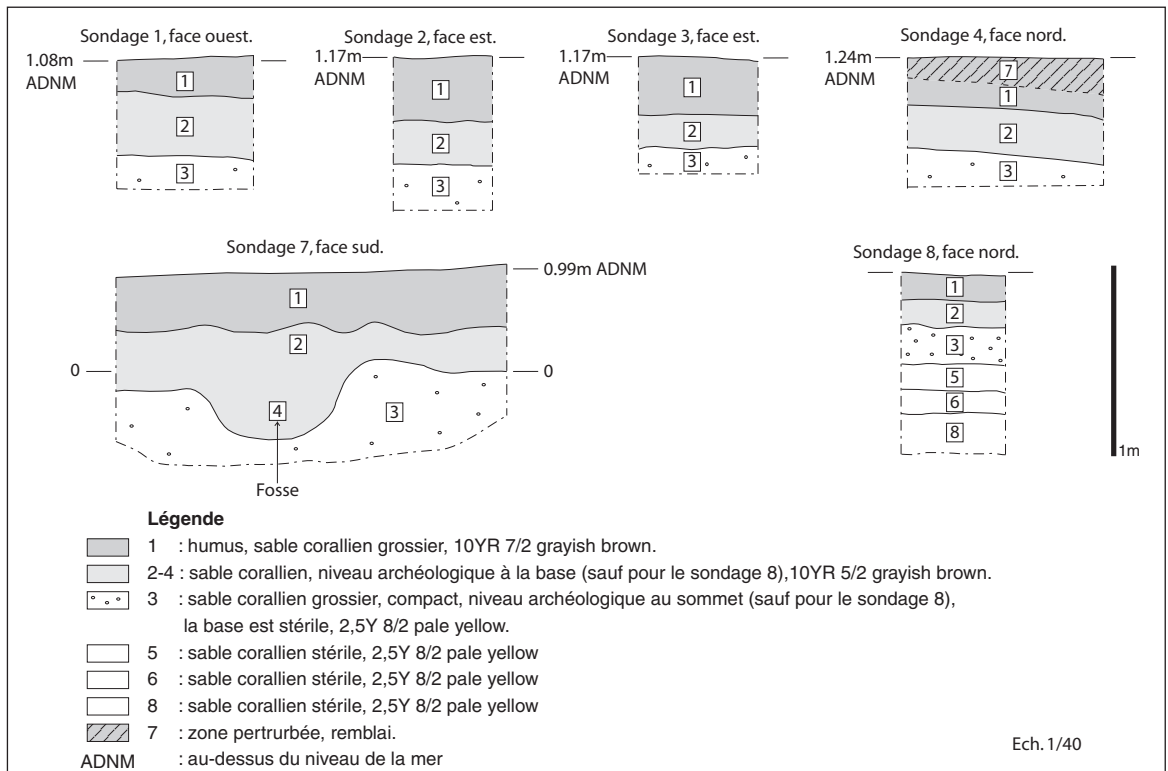


Figure 369 : Pointe du Canonier, séquences stratigraphiques des sondages de reconnaissance 1, 2, 3, 4, 7 et 8 (I. Dechanez).



Figure 370 : Pointe du Canonier, fosse de la séquence stratigraphique du sondage 7 (D. Bonnissent).

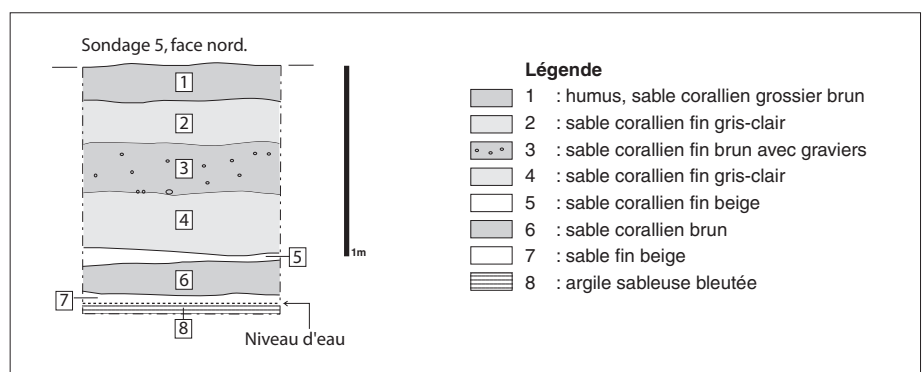
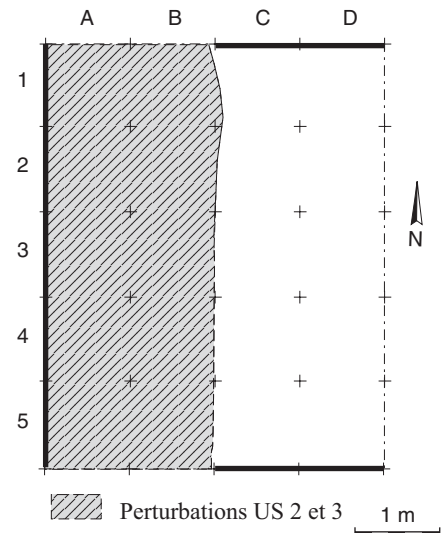


Figure 371 : Pointe du Canonier, séquence stratigraphique du sondage de reconnaissance 5 (I. Dechanez).



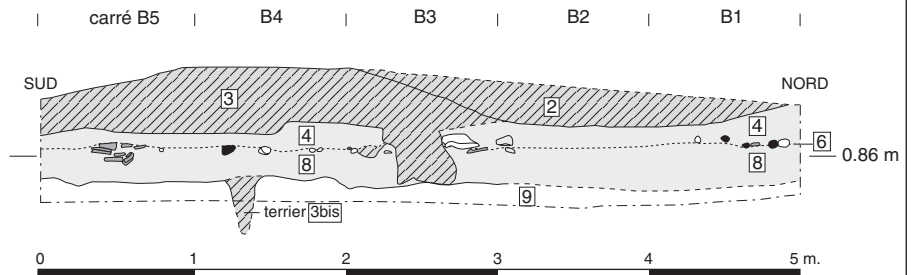
a. Le niveau dépotoir en cours de fouille (B. Delaître)



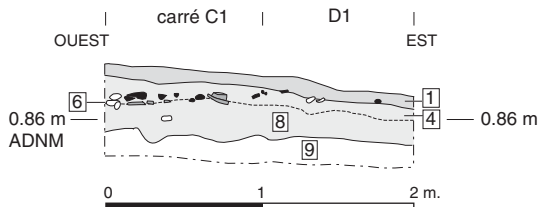
b. Plan du sondage 6



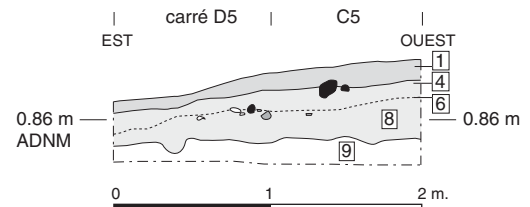
c. Céramique du carré C5 US 6



d. Stratigraphie ouest



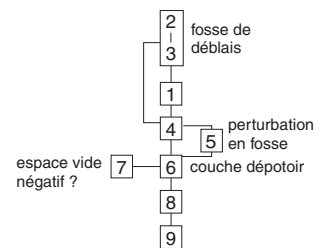
e. Stratigraphie nord



f. Stratigraphie sud

**Légende**

- 1 : humus, sable corallien grossier à matrice plus fine 2.5Y 6/1 gray
- 2-3-3bis : perturbations en fosse et terrier, remblais sableux gris à mobilier actuel
- 4 : sable corallien brun-gris 2.5Y 6/1 gray
- 5 : petite perturbation isolée dans C4-C5, sable corallien brun, non visible en coupe
- 7 : espace vide non visible en coupe dans D5, négatif ?
- 6 : niveau de mobilier précolombien, sable légèrement induré
- 8 : sable corallien fin à composante plus grossière, légèrement induré 2.5Y 7/1 gray
- 9 : sable corallien grossier, stérile, 2.5Y 8/2 pale yellow
- coquille
- céramique
- lithique



g. Diagramme chrono-stratigraphique

Figure 372 : Pointe du Canonnier, les investigations du sondage 6 (I. Dechanez, D. Bonnissent, B. Delaître).



US	m2	coquille	commentaires	faune v.	corail	c�ramique	lithique commentaires	charbon	crabe	Homo	Total
6000	HS	670	olive perfor�e, 2 <i>Strombus gigas</i> d�bit�s	0	0	1736	531	0	0	0	2937
sous-total		670		0	0	1736	531	0	0	0	2937
6001	A1	568		0	73	524	299	1	0	0	1465
6001	A2	196		0	0	313	6	0	0	0	515
6001	A3	1330		0	91	820	444	0	1	0	2686
6001	A4	500		1	5	659	104	0	0	0	1269
6001	A5	490		0	153	647	31	0	0	0	1321
6001	B5	16		0	0	0	6	0	0	0	22
6001	C1	28		0	0	0	0	0	0	0	28
6001	C2	111		0	0	35	69	0	0	0	215
6001	C3	134		1	80	134	205	0	0	0	554
6001	C4	338		0	5	242	120	0	0	0	705
6001	C5	595		0	22	500	260	0	0	0	1377
6001	D1	0		0	11	0	0	0	0	0	11
6001	D2	209		0	11	143	42	0	0	0	405
sous-total		4515		2	451	4017	1586	1	1	0	10573
6002	A5	0		0	0	152	0	0	0	0	152
sous-total		0		0	0	152	0	0	0	0	152
6003	A5	0		0	0	222	0	0	0	0	222
sous-total		0		0	0	222	0	0	0	0	222
6004	C1	740		4	6	535	110	0	0	0	1395
6004	C2	250		1	1	172	100	1	0	0	525
6004	C3	596		0	60	485	79	0	0	0	1220
6004	C4	169		1	8	57	4	0	0	0	239
6004	C5	396		0	16	248	123	0	0	0	783
6004	D1	300		3	10	264	135	1	0	0	713
6004	D2	820		0	106	361	192	0	0	0	1479
6004	D3	387		2	38	209	25	4	0	0	665
6004	D4	886	pendeloque ?	2	4	334	145	0	0	0	1371
6004	D5	454		0	8	610	3	0	0	0	1075
sous-total		4998		13	257	3275	916	6	0	0	9465
6004_5	C4	381		0	0	93	110	0	0	0	584
6004_5	C5	230		0	0	444	34	0	0	0	708
sous-total		611		0	0	537	144	11	0	0	1303
6005	C4	0		0	0	161	97	0	0	0	258
6005	C5	52		0	5	348	205	0	0	0	610
sous-total		52		0	5	509	302	21	0	0	889
6006	B3	1210		0	0	127	0	0	0	0	1337
6006	B4	2070		0	135	491	561	0	0	0	3257
6006	B5	190		0	0	1656	40	0	0	0	1886
6006	C1*	5614	"cuill�re" sur porcelaine	16	1258	6324	2 zemi, nodule d'ocre, percuteur sur galet, hache, �bauche de hache	1	0	68	18941
6006	C2*	5394	2 pr�lvements pour datation, <i>S. gigas</i>	20	1008	3636	2500 percuteur sur galet	1	0	23	12582
6006	C3	4909	outil tranchant sur <i>Strombus gigas</i>	1	451	2770	3285 3 �bauches de hache	2	0	0	11418
6006	C4	3460		1	255	4074	952 hache	1	0	0	8743
6006	C5	1110	"cuill�re" sur porcelaine	0	496	2930	990 2 haches	0	0	0	5526
6006	D1	5950	1 pr�lvement datation, <i>Strombus gigas</i>	1	611	2690	4114 2 fragments meules	0	0	0	13366
6006	D2	4888	1 pr�lvement datation, <i>Strombus gigas</i>	6	1246	1948	4582 1 fragment meule	1	0	0	12671
6006	D3	4945		12	2165	1284	4220 percuteur sur galet, �bauche de z�mi ?	1	0	0	12627
6006	D4	8010		14	1596	1520	800 percuteur, hache	3	0	0	11943
6006	D5	2530	outil sur <i>Strombus gigas</i> ?	1	304	1878	3903 2 haches, percuteur sur galet, fragment de meule	0	0	0	8616
sous-total		50280		72	9525	31328	31607	10	0	91	122913
6007	C5/D5	0		0	10	0	212	1	0	0	223
sous-total		0		0	10	0	212	1	0	0	223
6008	C1	80		1	0	2	0	4	0	0	87
6008	C2	182		1	1	84	41	1	0	0	310
6008	C3	161		2	4	119	47	1	0	0	334
6008	C4	135		1	0	88	217	1	0	0	442
6008	D1	74		0	20	30	20	0	0	0	144
6008	D2	31		1	2	75	11	2	0	0	122
6008	D3	35		2	21	322	268	4	0	0	652
6008	D4	118		0	7	84	254	0	0	0	463
sous-total		816		8	55	804	858	13	0	0	2554
TOTAL		61942		95	10303	42580	36156	63	1	91	151231

\*6006C1 : fragment de diaphyse, tibia.

█ : US remani es

\*6006C2 : fragment de diaphyse f morale

Tableau 55 : Pointe du Canonier, poids en g du mobilier collect  dans le sondage 6, refus de tamis 10 mm (D. Bonnissent).

US	m2	surface							NR	NB	ID			IND			Total				collage	g	g/NR
		ind	lis	peig	pei/bru	bru	b/poli	col			FO	FF	FI	FO	FF	FI	FO	FF	FI	NMI			
6000	HS	12	15	2	0	40	1	9	79	14	5	2	0	6	0	0	11	2	0	13	1	1736	22,0
<b>6000</b>	<b>total US</b>	<b>12</b>	<b>15</b>	<b>2</b>	<b>0</b>	<b>40</b>	<b>1</b>	<b>9</b>	<b>79</b>	<b>14</b>	<b>5</b>	<b>2</b>	<b>0</b>	<b>6</b>	<b>0</b>	<b>0</b>	<b>11</b>	<b>2</b>	<b>0</b>	<b>13</b>	<b>1</b>	<b>1736</b>	<b>22,0</b>
6001	A1	7	0	0	0	27	0	13	47	3	2	0	0	0	0	1	2	0	1	3	12	524	11,1
6001	A2	7	0	1	0	14	0	1	23	1	0	1	0	0	0	0	1	0	1	0	0	313	13,6
6001	A3	15	0	1	0	31	0	3	50	4	0	0	0	1	0	3	1	0	3	4	0	820	16,4
6001	A4	10	0	0	2	28	0	1	41	3	0	0	0	3	0	0	3	0	0	3	4	659	16,1
6001	A5	15	0	0	2	34	0	3	54	4	1	0	0	1	0	2	2	0	2	4	0	647	12,0
6001	C2	4	0	0	0	3	0	0	7	2	0	0	0	0	0	2	0	0	2	2	0	35	5,0
6001	C3	1	0	0	0	13	0	1	15	1	0	0	0	0	0	1	0	0	1	1	0	134	8,9
6001	C4	16	0	1	1	8	0	5	31	3	0	0	1	0	0	2	0	0	3	3	0	242	7,8
6001	C5	14	0	0	2	34	0	1	51	6	0	0	1	0	1	4	0	1	5	6	3	500	9,8
6001	D2	2	0	0	6	15	0	1	24	6	0	0	0	0	0	4	0	0	4	4	0	143	6,0
<b>6001</b>	<b>total US</b>	<b>91</b>	<b>0</b>	<b>3</b>	<b>13</b>	<b>207</b>	<b>0</b>	<b>29</b>	<b>343</b>	<b>33</b>	<b>3</b>	<b>1</b>	<b>2</b>	<b>5</b>	<b>1</b>	<b>19</b>	<b>8</b>	<b>2</b>	<b>21</b>	<b>31</b>	<b>19</b>	<b>4017</b>	<b>11,7</b>
6002	A5	4	0	0	0	7	0	0	11	2	0	0	1	1	0	0	1	0	1	2	3	152	13,8
<b>6002</b>	<b>total US</b>	<b>4</b>	<b>0</b>	<b>0</b>	<b>0</b>	<b>7</b>	<b>0</b>	<b>0</b>	<b>11</b>	<b>2</b>	<b>0</b>	<b>0</b>	<b>1</b>	<b>1</b>	<b>0</b>	<b>0</b>	<b>1</b>	<b>0</b>	<b>1</b>	<b>2</b>	<b>3</b>	<b>152</b>	<b>13,8</b>
6003	A5	0	1	3	0	7	0	1	12	3	1	0	0	0	0	2	1	0	2	3	0	222	18,5
<b>6003</b>	<b>total US</b>	<b>0</b>	<b>1</b>	<b>3</b>	<b>0</b>	<b>7</b>	<b>0</b>	<b>1</b>	<b>12</b>	<b>3</b>	<b>1</b>	<b>0</b>	<b>0</b>	<b>0</b>	<b>0</b>	<b>2</b>	<b>1</b>	<b>0</b>	<b>2</b>	<b>3</b>	<b>0</b>	<b>222</b>	<b>18,5</b>
6004	C1	24	4	1	2	13	0	2	46	2	0	0	1	1	0	0	1	0	1	2	1	535	11,6
6004	C2	4	2	0	1	2	1	1	11	1	0	0	0	0	0	1	0	0	1	1	0	172	15,6
6004	C3	19	1	0	3	13	0	2	38	10	1	0	0	4	0	3	5	0	3	8	0	485	12,8
6004	C4	1	2	0	0	2	0	1	6	0	0	0	0	0	0	0	0	0	0	0	0	57	9,5
6004	C5	3	7	0	0	17	0	2	29	5	0	0	0	0	1	3	0	1	3	4	1	248	8,6
6004	D1	15	14	0	0	11	0	3	43	1	0	0	0	0	0	1	0	0	1	1	2	264	6,1
6004	D2	5	11	2	0	11	0	2	31	1	0	0	0	0	0	1	0	0	1	1	4	361	11,6
6004	D3	0	17	0	0	7	0	0	24	1	0	0	0	0	0	1	0	0	1	1	8	209	8,7
6004	D4	18	9	0	0	17	0	0	44	2	0	0	0	1	0	2	1	0	2	3	2	334	7,6
6004	D5	16	23	0	1	16	0	5	61	3	1	0	0	0	0	2	1	0	2	3	8	610	10,0
<b>6004</b>	<b>total US</b>	<b>105</b>	<b>90</b>	<b>3</b>	<b>7</b>	<b>109</b>	<b>1</b>	<b>18</b>	<b>333</b>	<b>26</b>	<b>2</b>	<b>0</b>	<b>1</b>	<b>6</b>	<b>1</b>	<b>14</b>	<b>8</b>	<b>1</b>	<b>15</b>	<b>24</b>	<b>26</b>	<b>3275</b>	<b>9,8</b>
6004.5	C4	1	6	0	0	3	0	0	10	0	0	0	0	0	0	0	0	0	0	0	0	93	9,3
6004.5	C5	0	3	0	2	5	0	0	10	2	0	0	0	1	0	0	1	0	0	1	8	444	44,4
<b>6004,5</b>	<b>total US</b>	<b>1</b>	<b>9</b>	<b>0</b>	<b>2</b>	<b>8</b>	<b>0</b>	<b>0</b>	<b>20</b>	<b>2</b>	<b>0</b>	<b>0</b>	<b>0</b>	<b>1</b>	<b>0</b>	<b>0</b>	<b>1</b>	<b>0</b>	<b>0</b>	<b>1</b>	<b>8</b>	<b>537</b>	<b>26,9</b>
6005	C4	3	1	0	3	4	0	0	11	1	0	0	0	1	0	0	1	0	0	1	3	161	14,6
6005	C5	6	0	2	1	10	0	3	22	2	0	0	0	1	1	0	1	1	0	2	0	348	15,8
<b>6005</b>	<b>total US</b>	<b>9</b>	<b>1</b>	<b>2</b>	<b>4</b>	<b>14</b>	<b>0</b>	<b>3</b>	<b>33</b>	<b>3</b>	<b>0</b>	<b>0</b>	<b>0</b>	<b>2</b>	<b>1</b>	<b>0</b>	<b>2</b>	<b>1</b>	<b>0</b>	<b>3</b>	<b>3</b>	<b>509</b>	<b>15,4</b>
6006	B3	0	0	0	0	0	0	1	1	1	0	0	0	0	0	0	1	0	0	1	0	127	12,7
6006	B4	9	8	0	0	4	0	2	23	0	0	0	0	2	0	0	2	0	0	2	4	491	21,3
6006	B5	5	2	0	16	0	0	2	25	8	2	0	0	2	0	1	4	0	1	5	10	1656	66,2
6006	C1	35	43	13	27	100	1	5	224	42	0	4	1	10	0	7	10	4	8	22	12	6324	28,2
6006	C2	42	5	0	18	53	0	10	128	19	1	2	0	9	1	3	10	3	3	16	29	3636	28,4
6006	C3	14	40	0	4	38	0	7	103	20	1	0	0	10	1	2	11	1	2	14	11	2770	26,9
6006	C4	24	26	0	3	62	0	12	127	29	3	0	1	16	0	3	19	0	4	23	12	4074	32,1
6006	C5	1	6	0	11	41	1	4	64	18	1	0	0	3	1	2	4	1	2	7	3	2930	45,8
6006	D1	20	14	4	2	99	1	15	155	33	3	0	0	18	1	2	21	1	2	24	72	2690	17,4
6006	D2	23	28	0	5	48	0	6	110	15	0	0	1	7	0	3	7	0	4	11	45	1948	17,7
6006	D3	21	21	1	1	37	0	6	87	6	0	0	0	4	0	1	4	0	1	5	18	1284	14,8
6006	D4	13	33	0	1	25	0	8	80	3	0	0	0	1	1	1	1	1	1	3	15	1520	19,0
6006	D5	0	12	8	0	71	0	6	97	11	0	1	0	3	1	0	3	2	0	5	38	1878	19,4
<b>6006</b>	<b>total US</b>	<b>207</b>	<b>238</b>	<b>26</b>	<b>88</b>	<b>578</b>	<b>3</b>	<b>84</b>	<b>1224</b>	<b>205</b>	<b>12</b>	<b>7</b>	<b>3</b>	<b>85</b>	<b>6</b>	<b>25</b>	<b>97</b>	<b>13</b>	<b>28</b>	<b>138</b>	<b>269</b>	<b>31328</b>	<b>25,6</b>
6008	D1	2	1	0	0	3	0	0	6	0	0	0	0	0	0	0	0	0	0	0	0	2	2,0
6008	D2	7	0	0	0	2	0	0	9	0	0	0	0	0	0	0	0	0	0	0	0	84	8,4
6008	D3	0	7	0	0	8	0	2	17	0	0	0	0	0	0	0	0	0	0	0	1	119	9,2
6008	D4	11	0	0	0	0	3	1	15	1	0	1	0	0	0	0	0	1	0	1	0	88	11,0
6008	C1	1	0	0	0	0	0	0	1	0	0	0	0	0	0	0	0	0	0	0	0	30	5,0
6008	C2	5	2	0	0	0	0	3	10	1	1	0	0	0	0	0	1	0	0	1	0	75	8,3
6008	C3	4	5	1	0	1	0	2	13	1	0	0	0	1	0	0	1	0	0	1	0	322	18,9
6008	C4	4	0	0	0	3	0	1	8	1	0	0	0	1	0	0	1	0	0	1	0	84	5,6
<b>6008</b>	<b>total US</b>	<b>34</b>	<b>15</b>	<b>1</b>	<b>0</b>	<b>17</b>	<b>3</b>	<b>9</b>	<b>79</b>	<b>4</b>	<b>1</b>	<b>1</b>	<b>0</b>	<b>2</b>	<b>0</b>	<b>0</b>	<b>3</b>	<b>1</b>	<b>0</b>	<b>4</b>	<b>1</b>	<b>804</b>	<b>10,2</b>
<b>Total sondage</b>		<b>463</b>	<b>369</b>	<b>40</b>	<b>114</b>	<b>987</b>	<b>8</b>	<b>153</b>	<b>2134</b>	<b>292</b>	<b>24</b>	<b>11</b>	<b>7</b>	<b>108</b>	<b>9</b>	<b>60</b>	<b>132</b>	<b>20</b>	<b>67</b>	<b>219</b>	<b>330</b>	<b>42580</b>	<b>20,0</b>

Tableau 56 : Pointe du Canonier, quantification de la population de récipients du sondage 6 en nombre de restes et en g (D. Bonnissent).

US	surface							ID			IND			Total				g	g/NR		
	ind	lis	peig	pei\bru	bru	b/pol	col	NR	NB	FO	FF	FI	FO	FF	FI	FO	FF			FI	NMI
1001	4				8			12													
1001					1			1	1										1		
sous-total	4	0	0	0	9	0	0	13	1	0	0	0	0	0	1	0	0	0	1	338	26
1002	2							2													
1002	1				13			14													
sous-total	3	0	0	0	13	0	0	16	0	0	0	0	0	0	0	0	0	0	0	146	9,125
2003	1							1													
2003					3			3													
sous-total	1	0	0	0	3	0	0	4	0	0	0	0	0	0	0	0	0	0	0	150	37,5
3001	1				7			8													
sous-total	1	0	0	0	7	0	0	8	0	0	0	0	0	0	0	0	0	0	0	111	13,875
3002	2							2													
3002					1			1													
3002					1			1													
sous-total	2	0	0	2	0	0	0	4	0	0	0	0	0	0	0	0	0	0	0	27	6,75
3003					1			1													
sous-total	0	0	0	0	1	0	0	1	0	0	0	0	0	0	0	0	0	0	0	2	2
4003					1			1													
sous-total	0	0	0	0	1	0	0	1	0	0	0	0	0	0	0	0	0	0	0	30	30
7003					6		2	8													
sous-total	0	0	0	0	6	0	2	8	0	0	0	0	0	0	0	0	0	0	0	157	19,625
TOTAL	11	0	0	2	40	0	2	55	1	0	0	0	0	0	1	0	0	0	1	961	17,473

Tableau 57 : Pointe du Canonier, quantification de la population de récipients des sondages de reconnaissance 1, 2, 3, 4, 7 en nombre de restes et en g (D. Bonnissent).

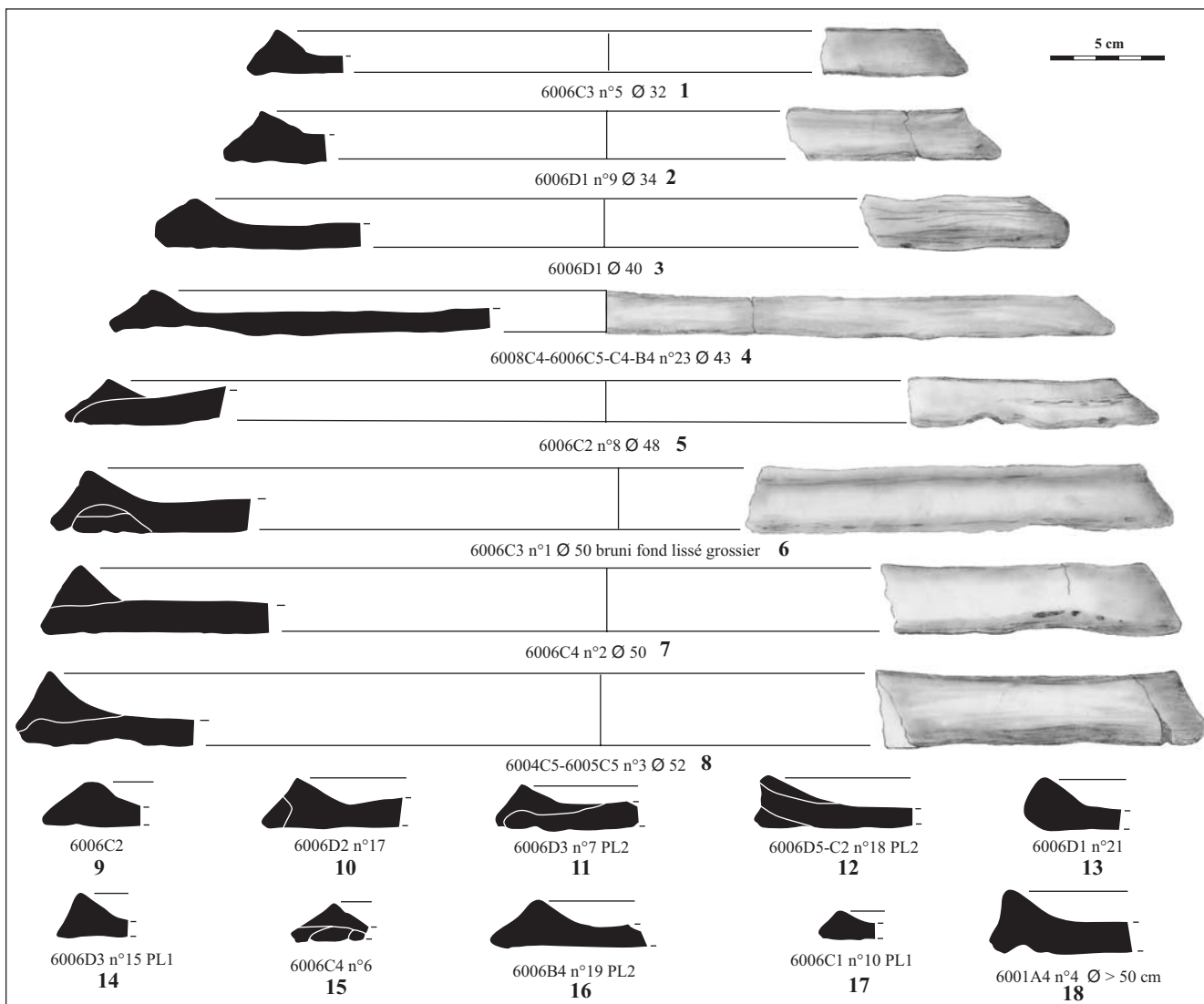


Figure 373 : Pointe du Canonier, les platines (D. Bonnissent).

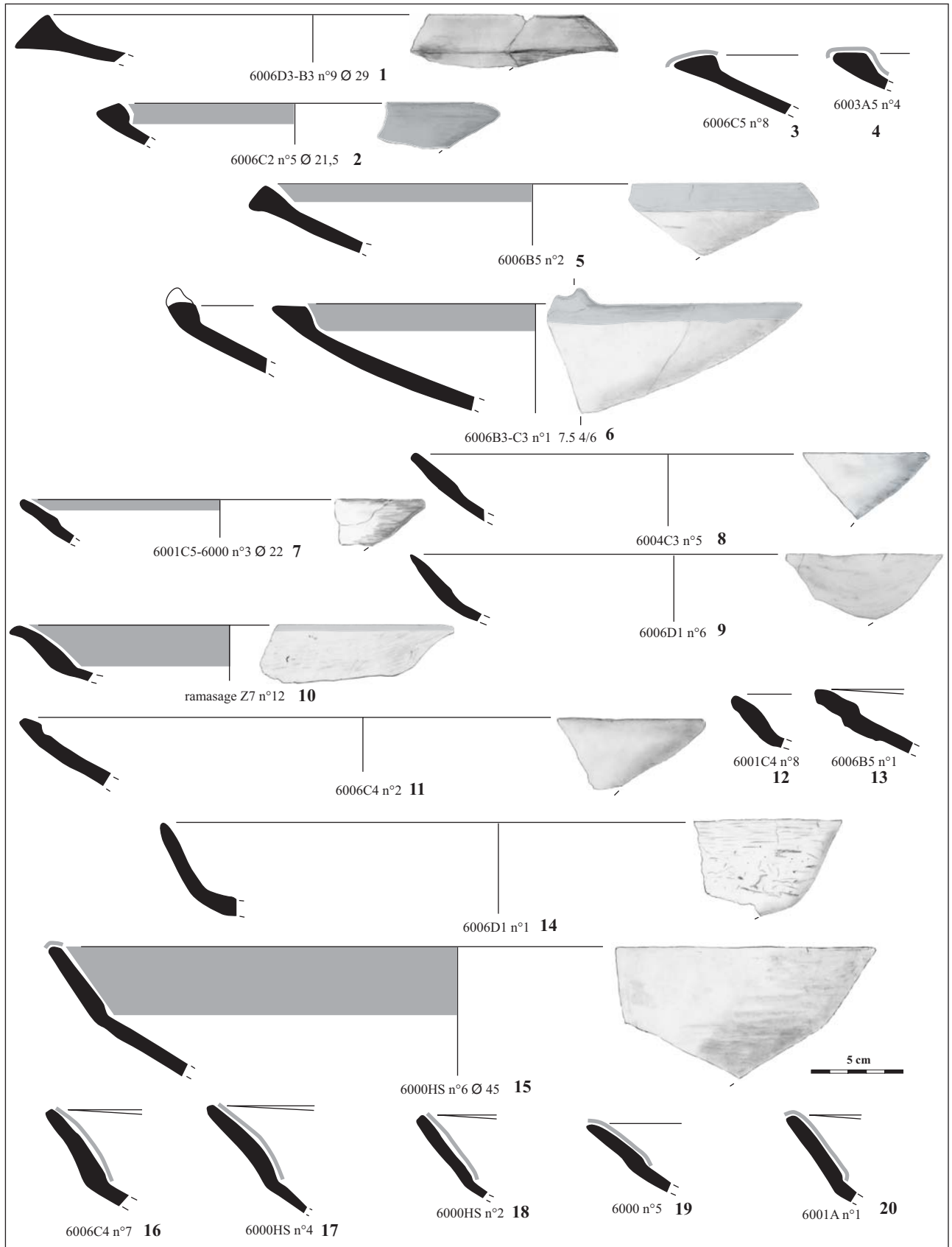


Figure 374 : Pointe du Canonier, 1-14 : assiettes, 15-20 : écuelles (D. Bonnissent).

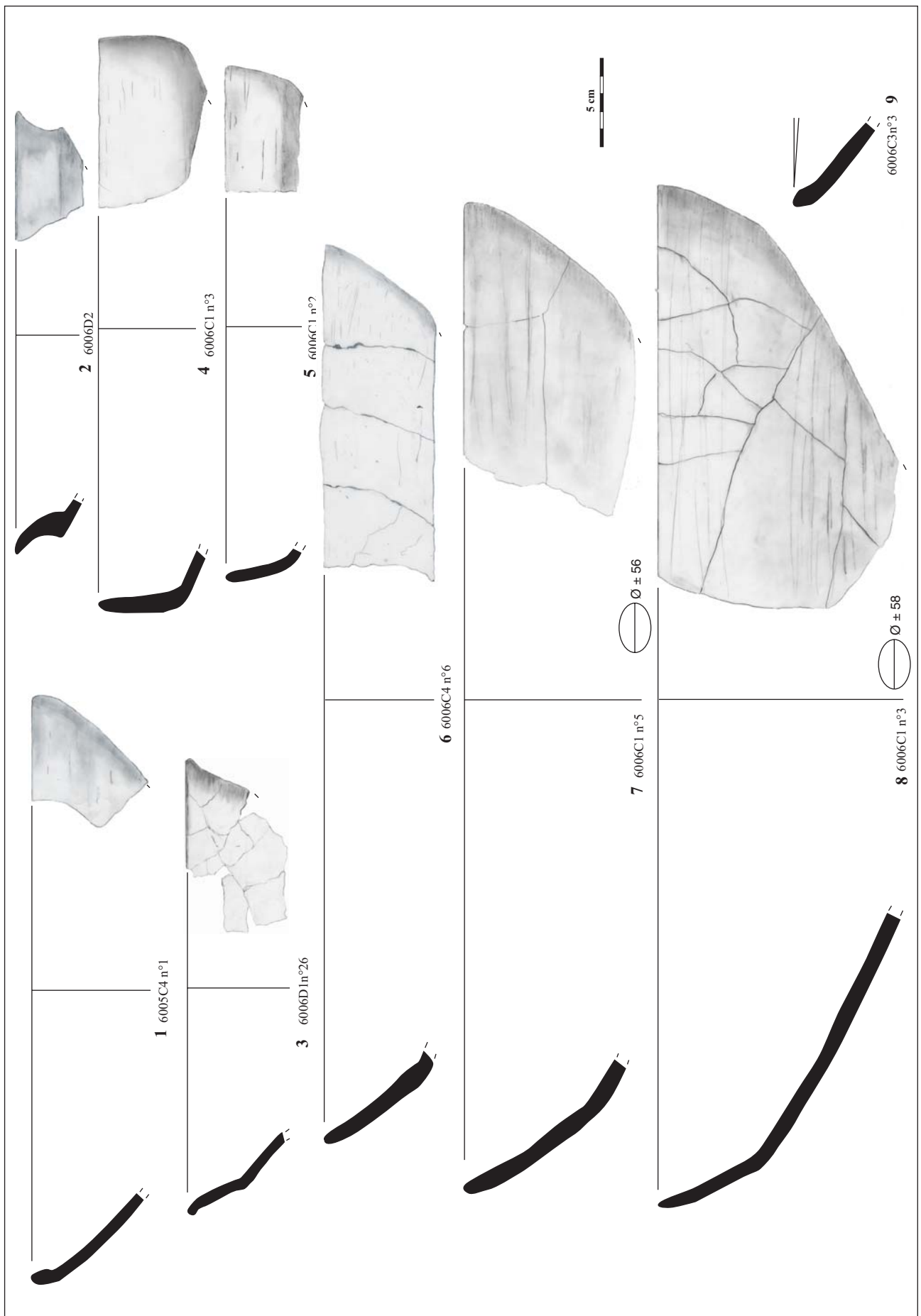


Figure 375 : Pointe du Canonnière, éculles (D. Bommissent).



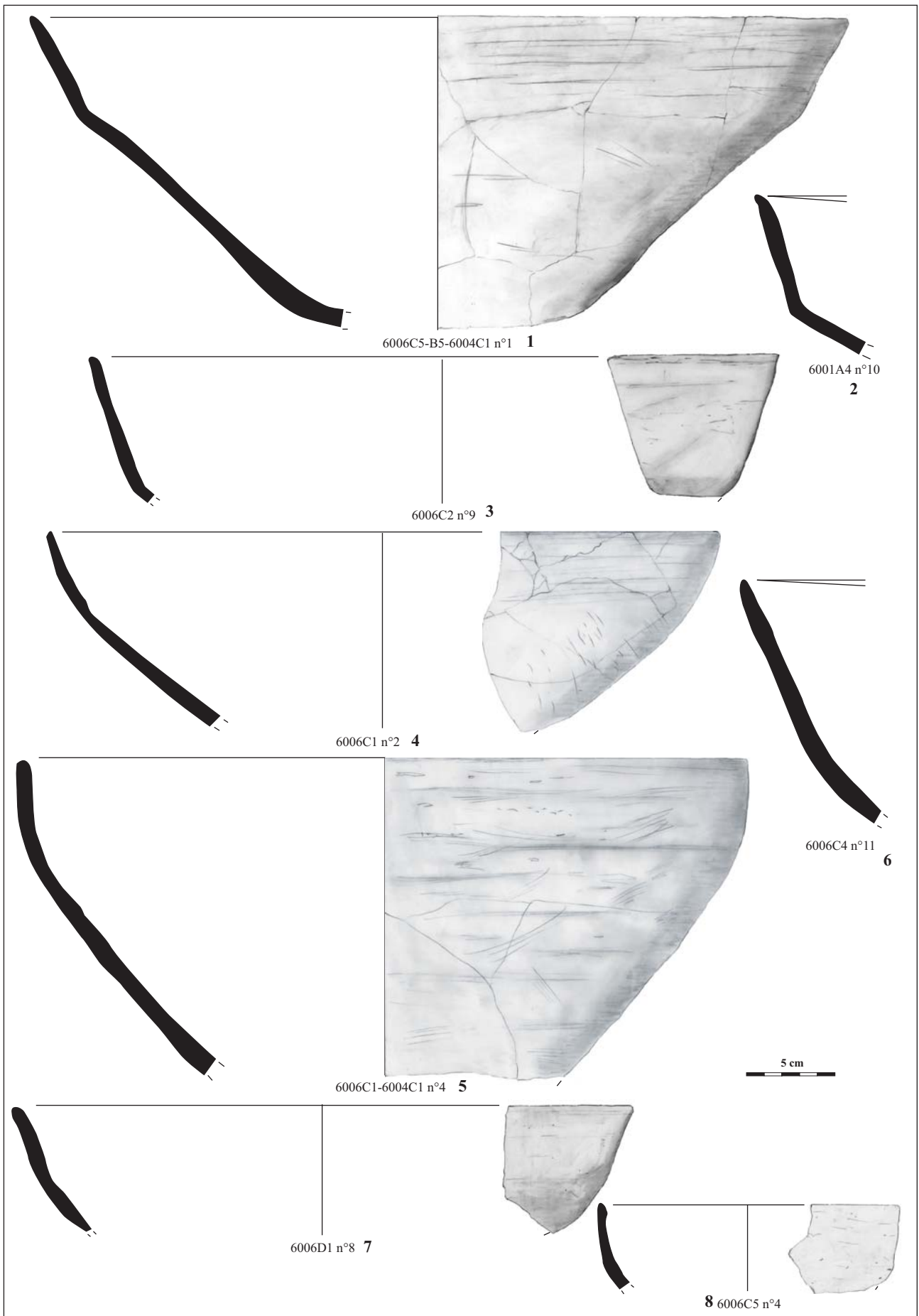


Figure 376 : Pointe du Canonier, les bols (D. Bonnissent).

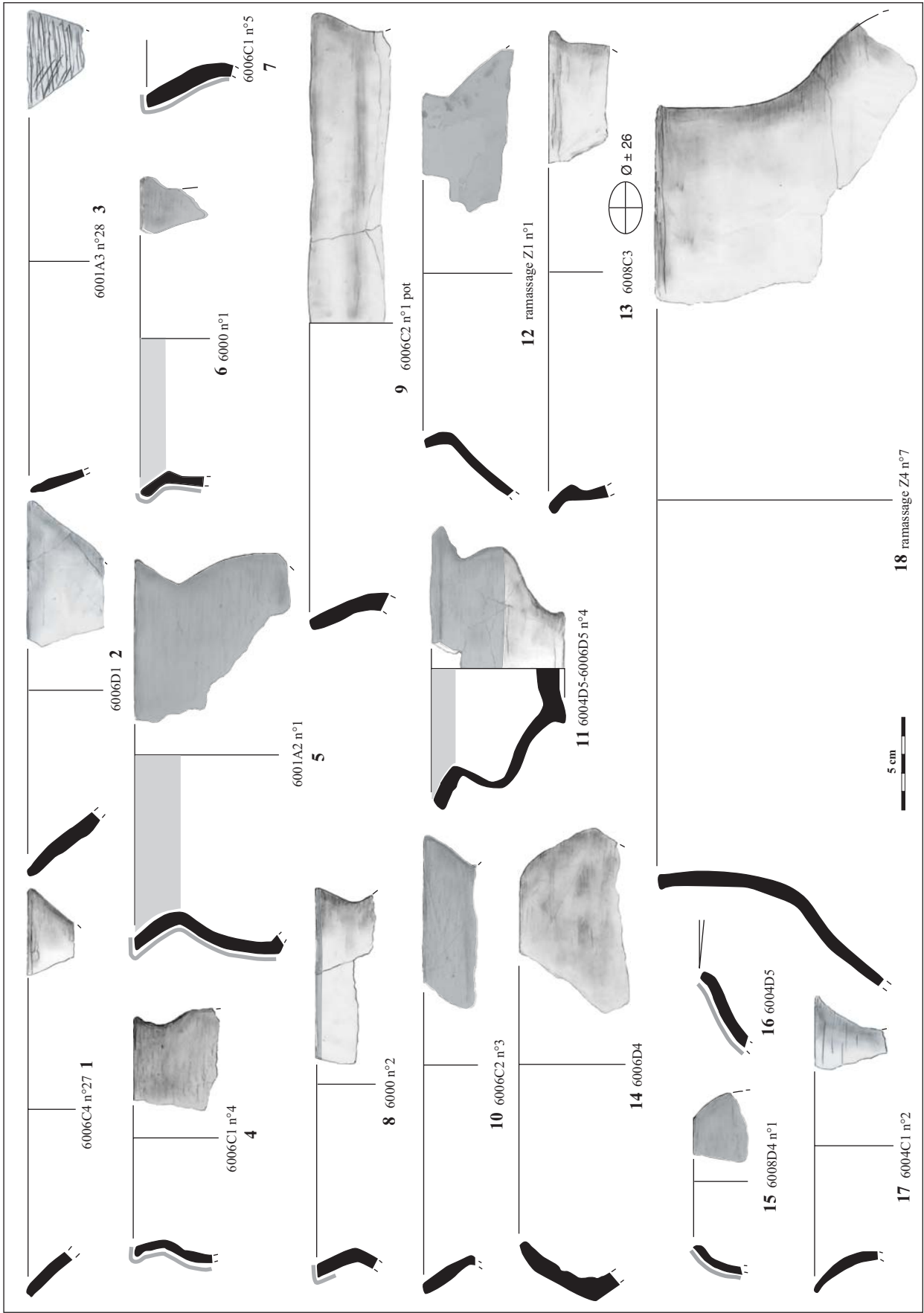


Figure 377 : Pointe du Canonnière, bols et pots (D. Bonnissent).

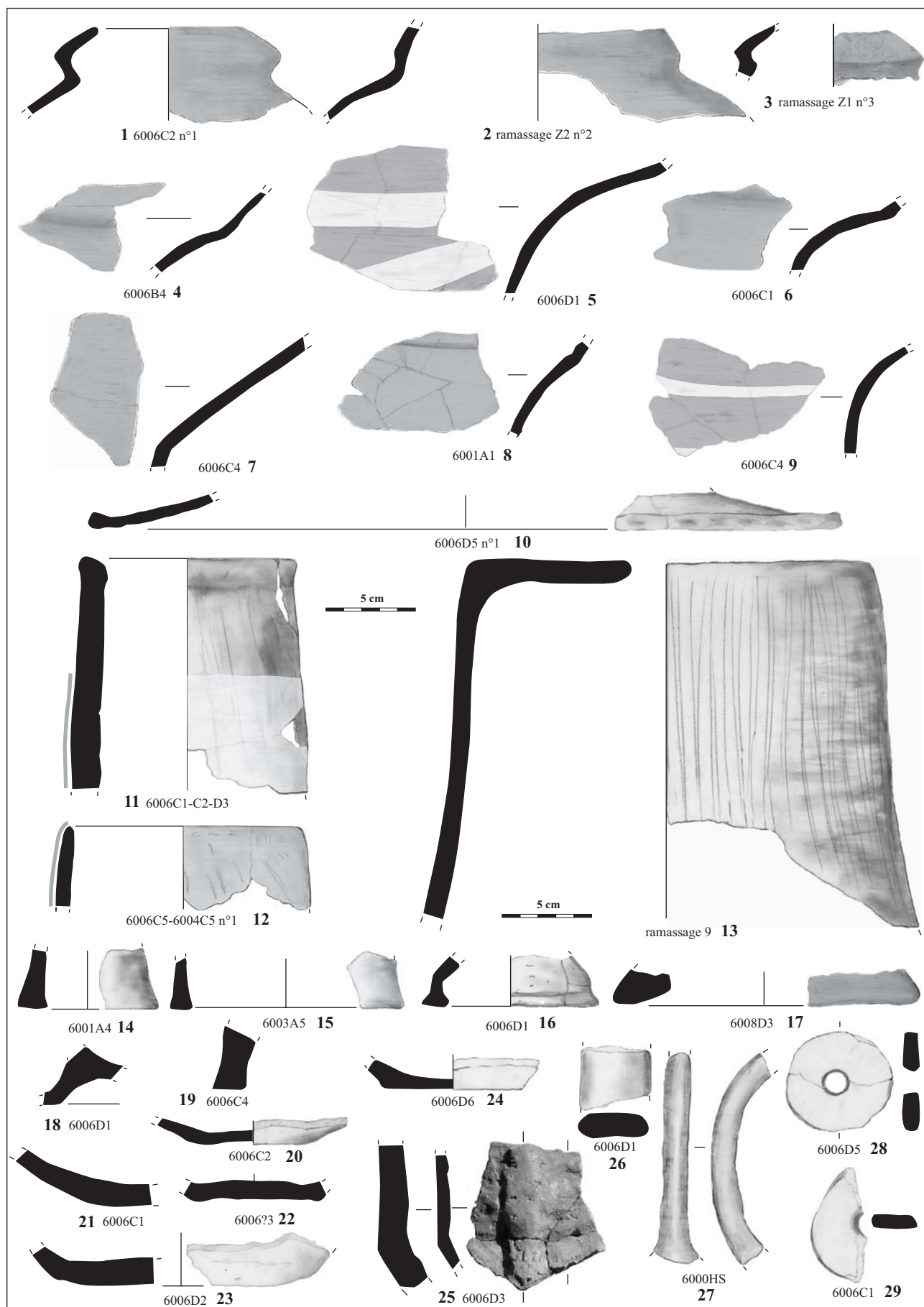


Figure 378 : Pointe du Canonier. 1-9 : bouteilles, 10 : couvercle, 11-13 : fumigateurs, 14-19 : bases, 20-24 : fonds, 25 : cordon, 26-27 : anses, 28-29 : tessons perforés (D. Bonnissent).

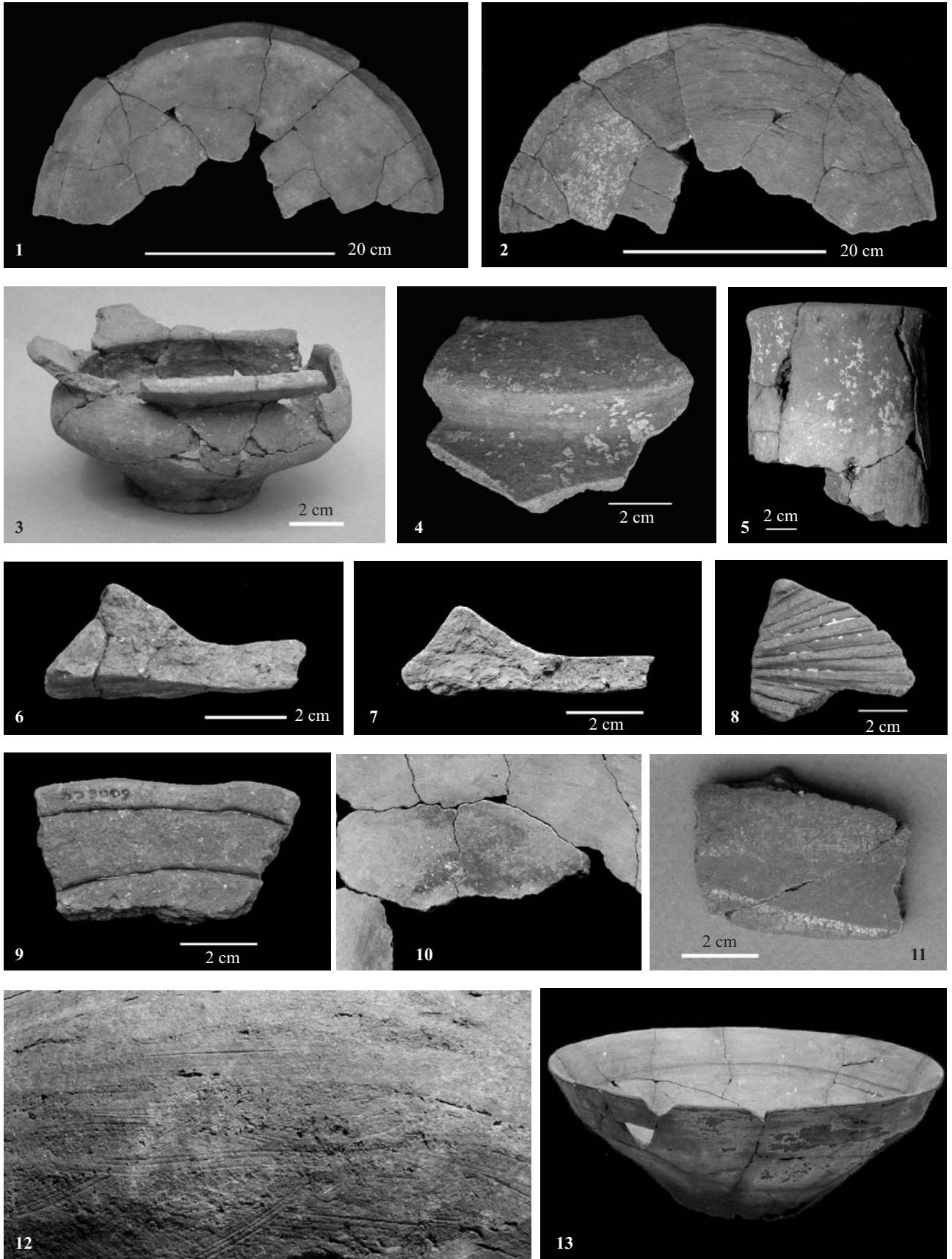


Figure 379 : Pointe du Canonier, éléments céramiques (I. Dechanez, D. Bonnissent).

	a	b	c	d
<b>B1</b> droit arrondi				
<b>B2</b> ourlé				
<b>B3</b> droit à méplat				
<b>B4</b> droit rentrant				
<b>B5</b> arrondi court				
<b>B6</b> arrondi plié				
<b>B7</b> sinueux rentrant				
<b>B8</b> méplat rentrant				
<b>B9</b> marli interne oblique				
<b>B10</b> platine				

Figure 380 : Pointe du Canonier, classification des bords de récipients par catégories (D. Bonnissent).

catégorie	NR décoré	NR non décoré	NR total	% NR
bord 1	7	157	164	56,2
bord 2	9	7	16	5,5
bord 3	14	12	26	8,9
bord 4	2	9	11	3,8
bord 5	1	0	1	0,3
bord 6	0	10	10	3,4
bord 7	1	0	1	0,3
bord 8	1	0	1	0,3
bord 9	12	8	20	6,8
bord 10	1	41	42	14,4
total	48	244	292	100

Tableau 58 : Pointe du Canonier, répartition des bords en NR par catégories (D. Bonnissent).

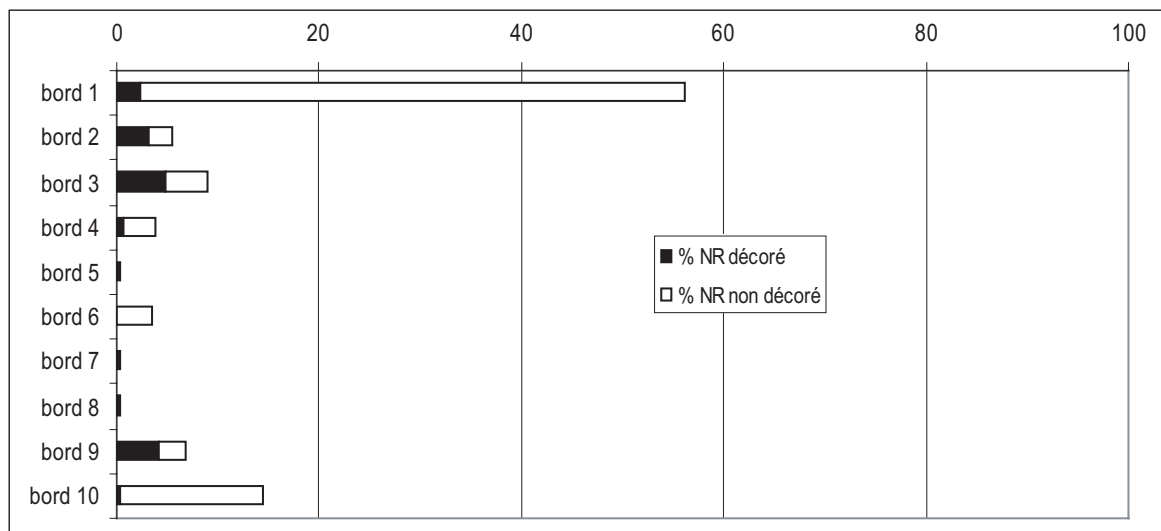


Figure 381 : Pointe du Canonier, répartition des bords par catégories, échantillon n = 292 (D. Bonnissent).



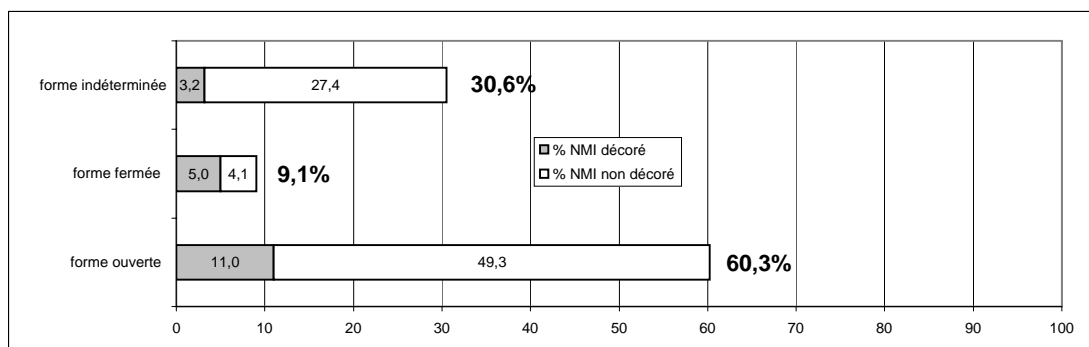


Figure 382 : Pointe du Canonier, répartition du NMI par catégories de formes, échantillon n = 219 (D. Bonnissent).

famille	NMI décoré	NMI non décoré	NMI total
platine	1	22	23
assiette	8	13	21
écuelle	12	9	21
bol	1	29	30
pot	16	17	33
bouteille	2	0	2
couvercle	0	1	1
fumigateur	2	0	2
tesson perforé	0	2	2
Total	42	93	135

Tableau 59 : Pointe du Canonier, répartition du NMI par familles de formes (D. Bonnissent).

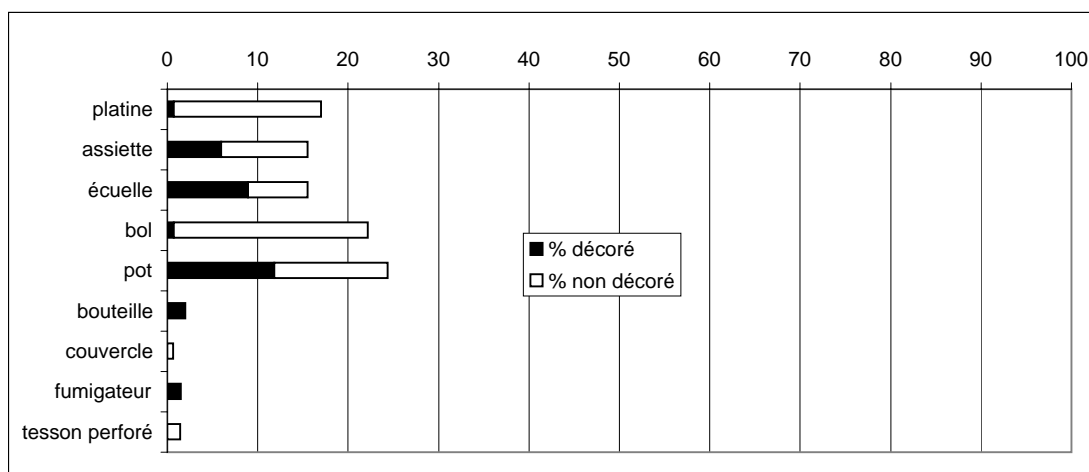


Figure 383 : Pointe du Canonier, répartition du NMI par familles de formes, échantillon n = 135 (D. Bonnissent).

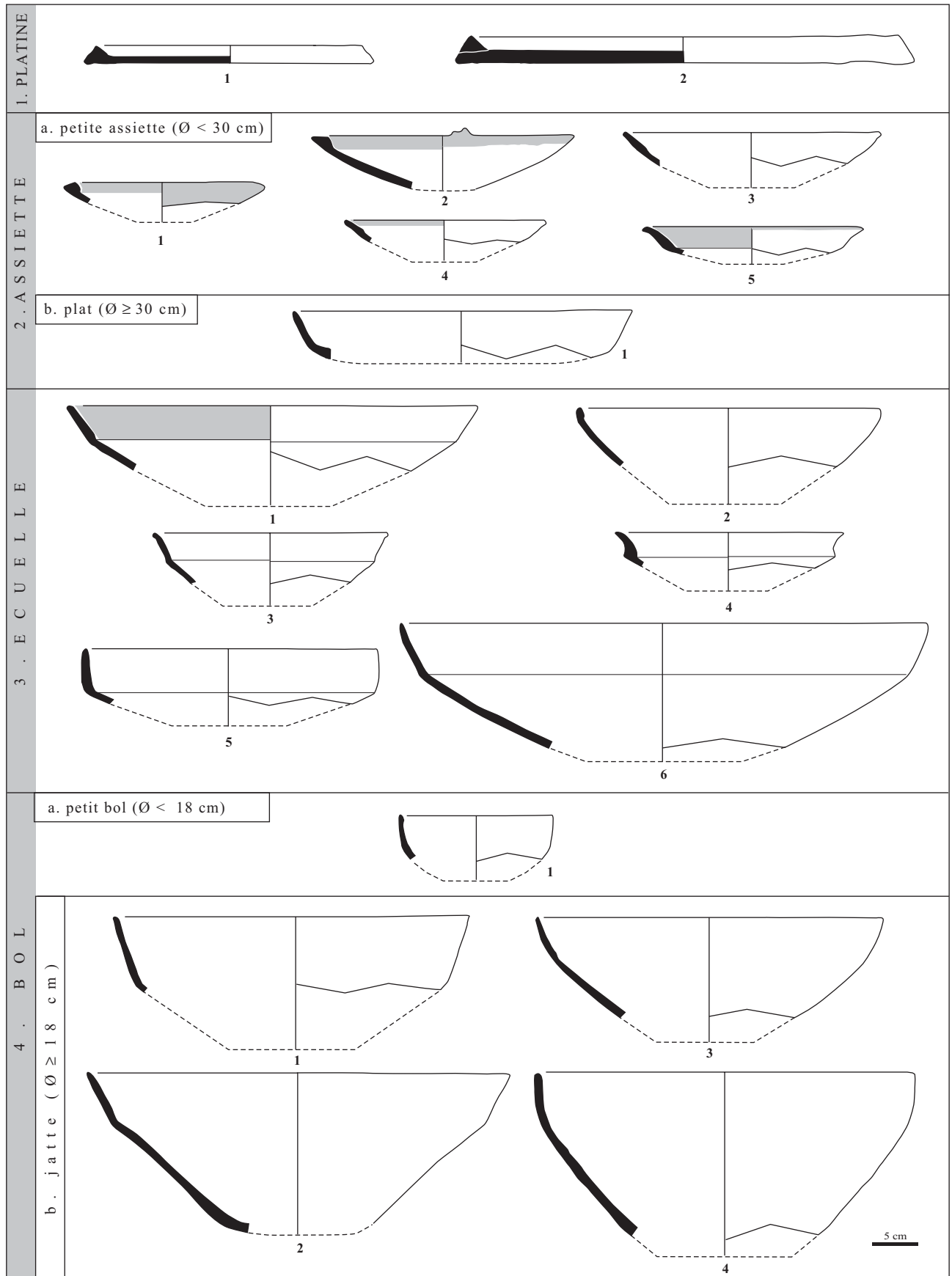


Figure 384 : Pointe du Canonnier, typologie du stade 1 du Néoindien récent (D. Bonnissent).

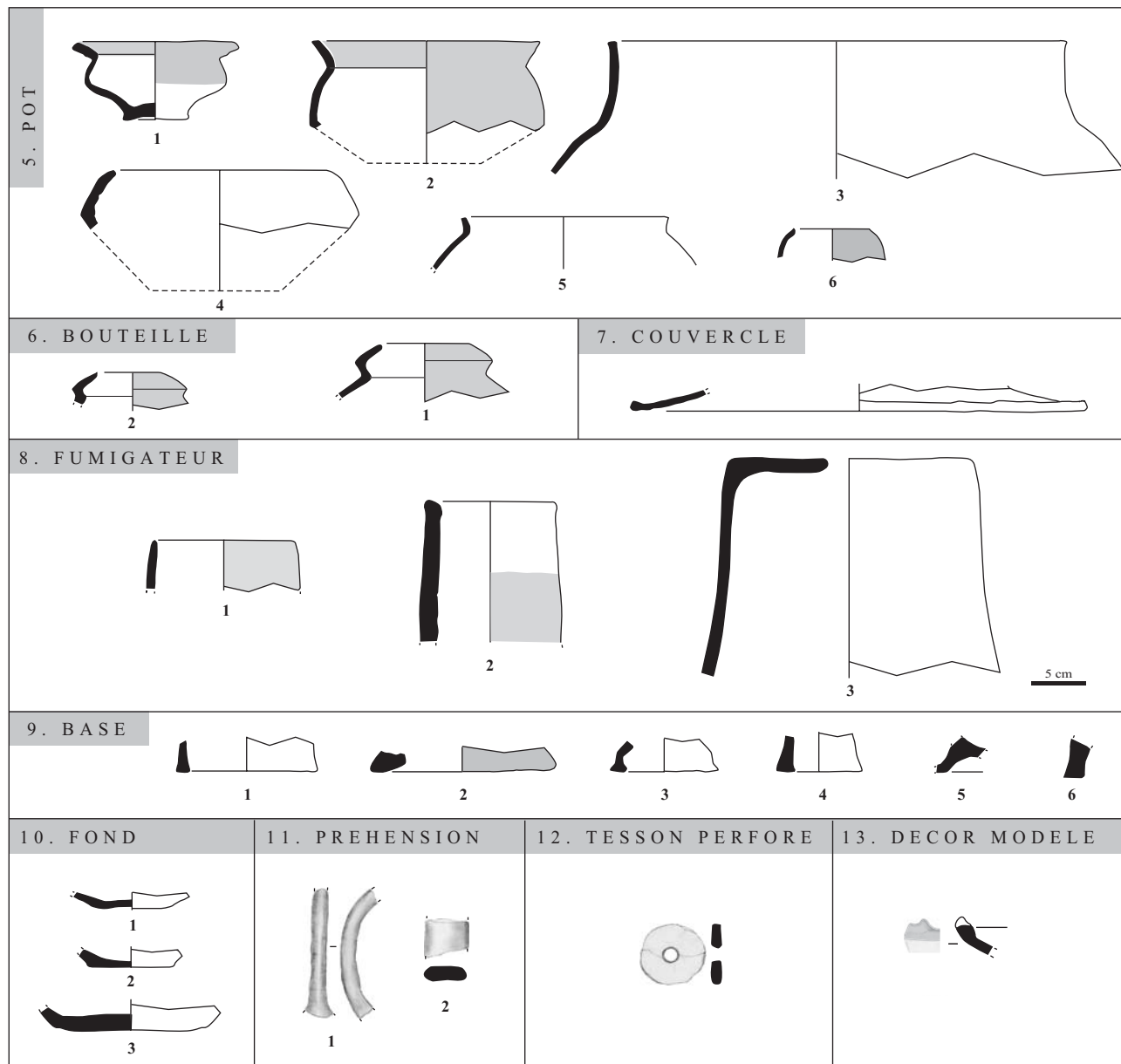


Figure 385 : Pointe du Canonier, typologie du stade 1 du Néoindien récent (D. Bonnissent).

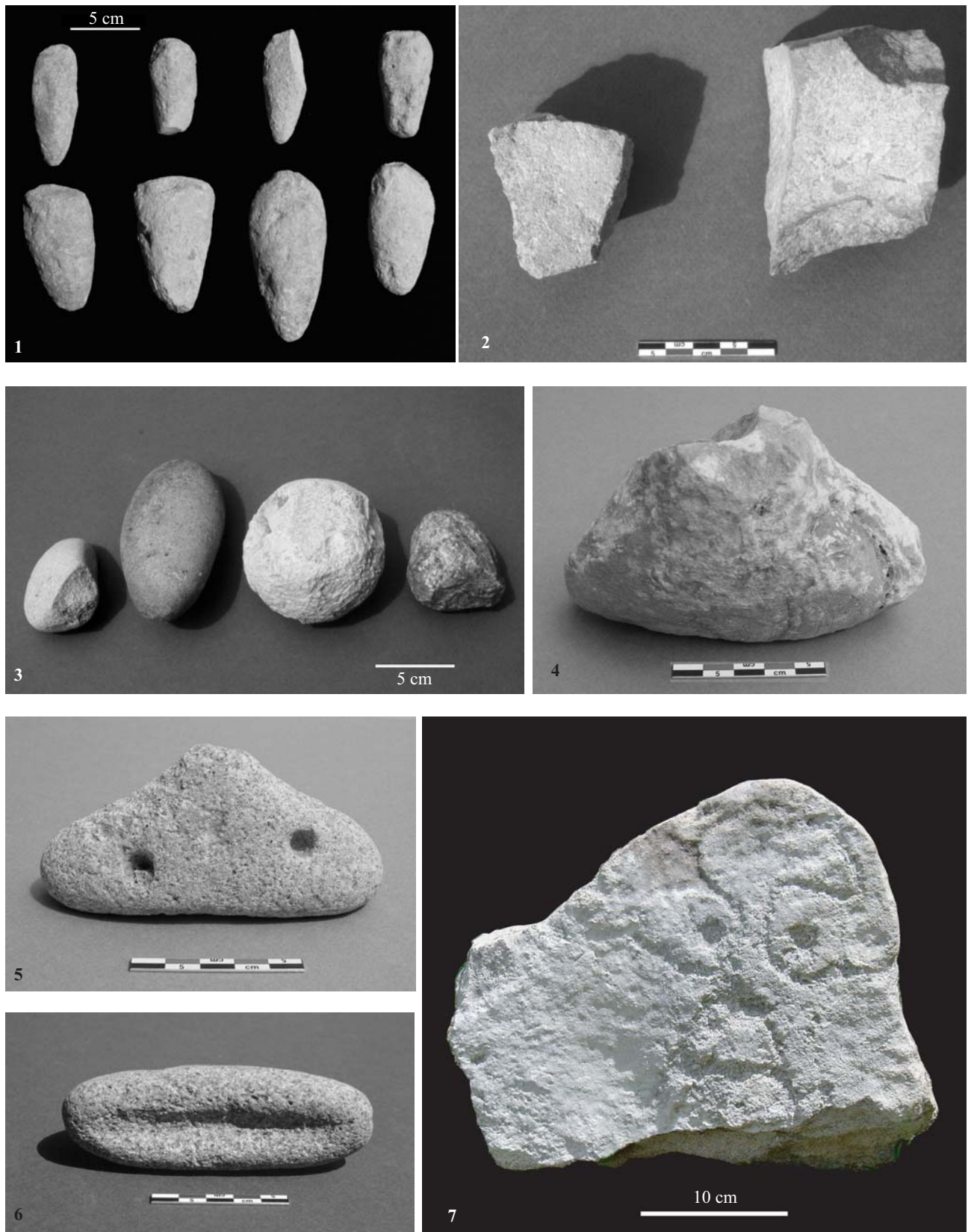


Figure 386 : Pointe du Canonier, productions lithiques du stade 1 du Néolithique récent. 1 : lames de haches sur cherto-tuffite, 2 : fragments de meule ou de polissoir sur grès, 3 : percuteur sur galets, 4 : zémi sur roche orangée indéterminée, 5-6 : zémi sur *beach rock*, 7 : pétroglyphe sur dalle de calcaire (I. Dechanez, D. Bonnissent).

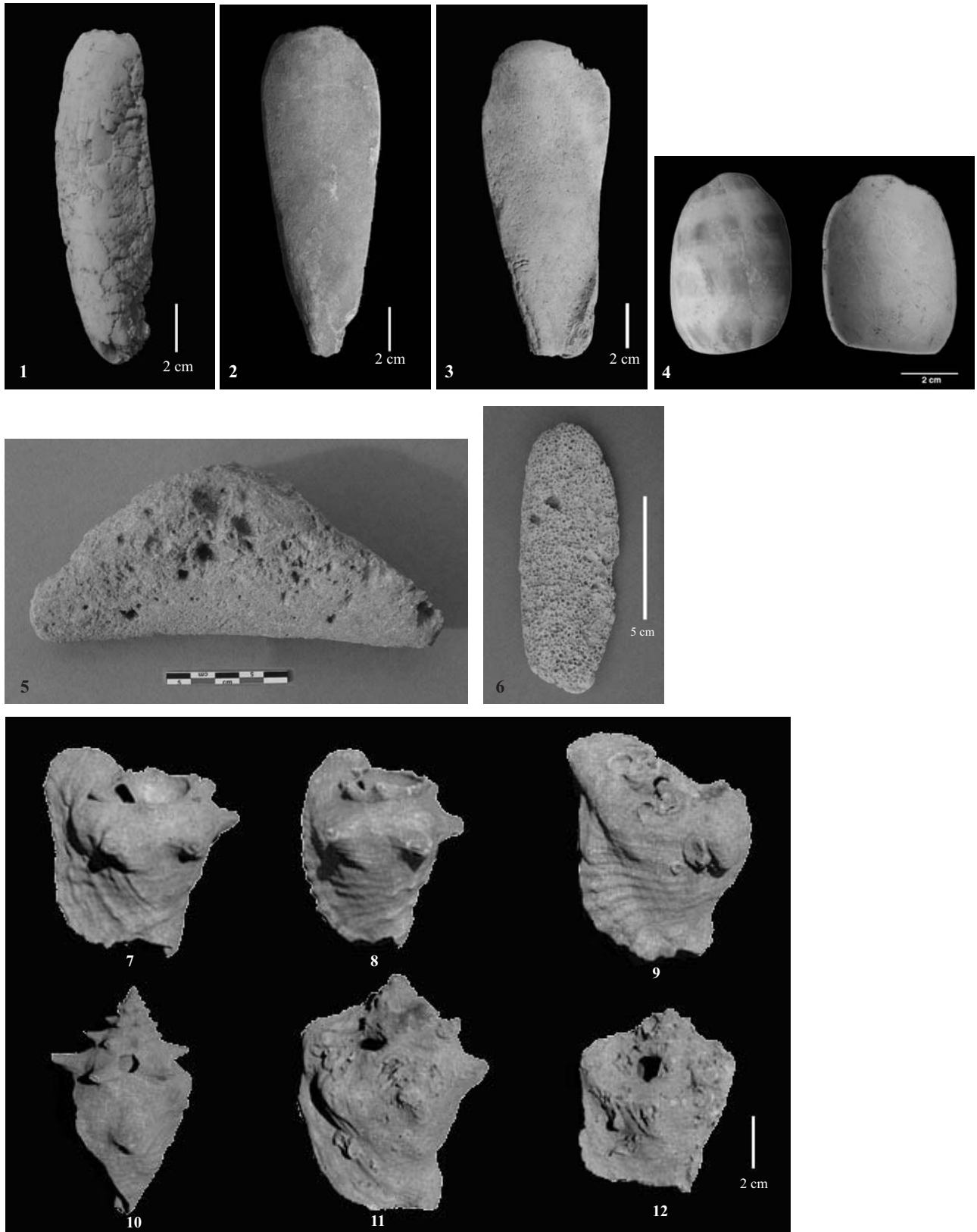


Figure 387 : Pointe du Canonier. 1-3 : lames sur *Strombus gigas*, 4 : "cuillère" sur porcelaine, 5-6 : outils sur corail, 7-9 : coquilles de *Strombus gigas* à l'apex fracturé, 9-12 : coquilles de *Strombus gigas* perforées (I. Dechanez, D. Bonnissent).



	m2	<i>Cittarium pica</i>	<i>Srombus gigas</i>	<i>Codakia orbicularis</i>	<i>Nerita sp.</i>	<i>Arca zebra</i>	<i>Bullimulus sp.</i>	Chitonidés	Coquille ind.	Faune vertébrée	Crustacés	Total
C3	1855	2515	98	41	0	44	23	310	17	18		4921
D5	1625	432	66	82	48	3	15	105	9			2385
Total	3480	2947	164	123	48	47	38	415	26	18		7306

Tableau 60 : Représentation en g des restes de faune des carrés C3 et D3 de l'unité 6 du sondage 6 (tris des refus de tamis de 10 mm et 5 mm) (D. Bonnissent).

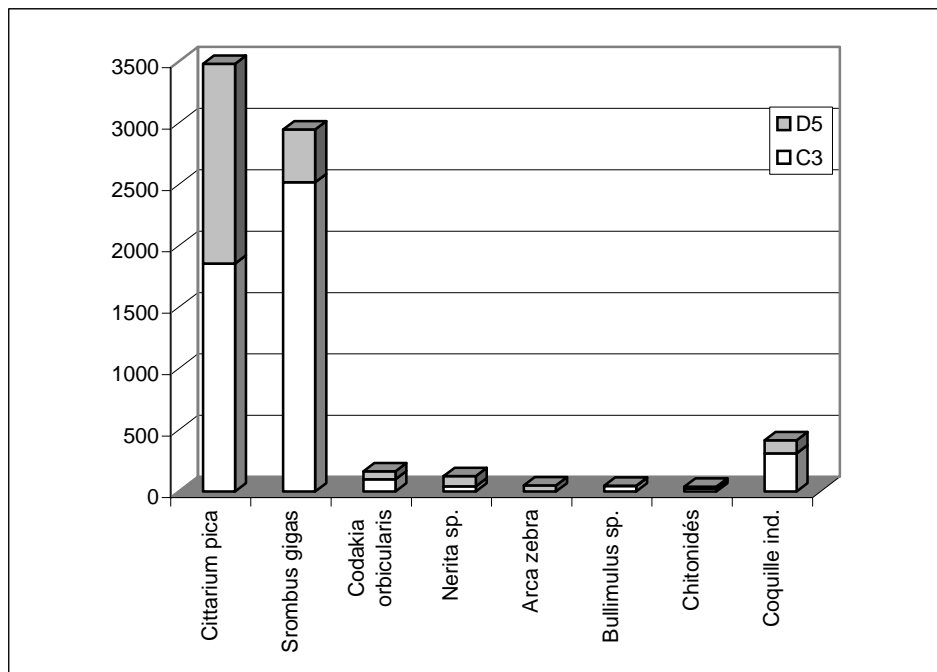
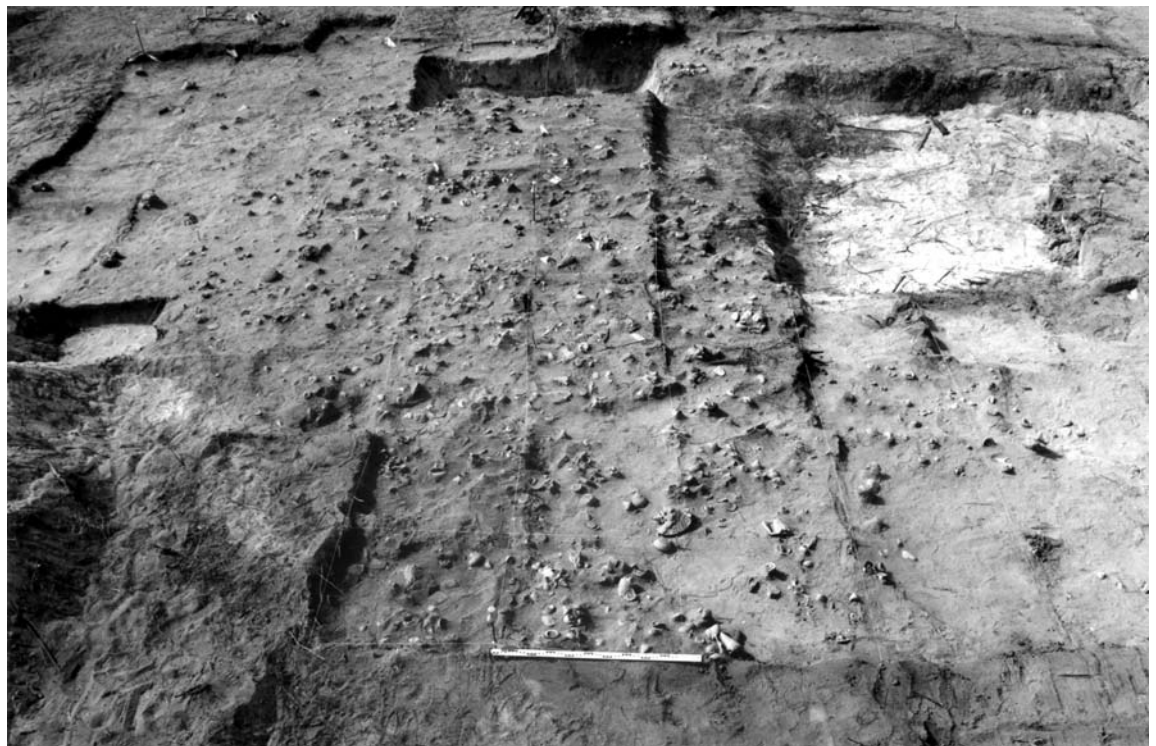
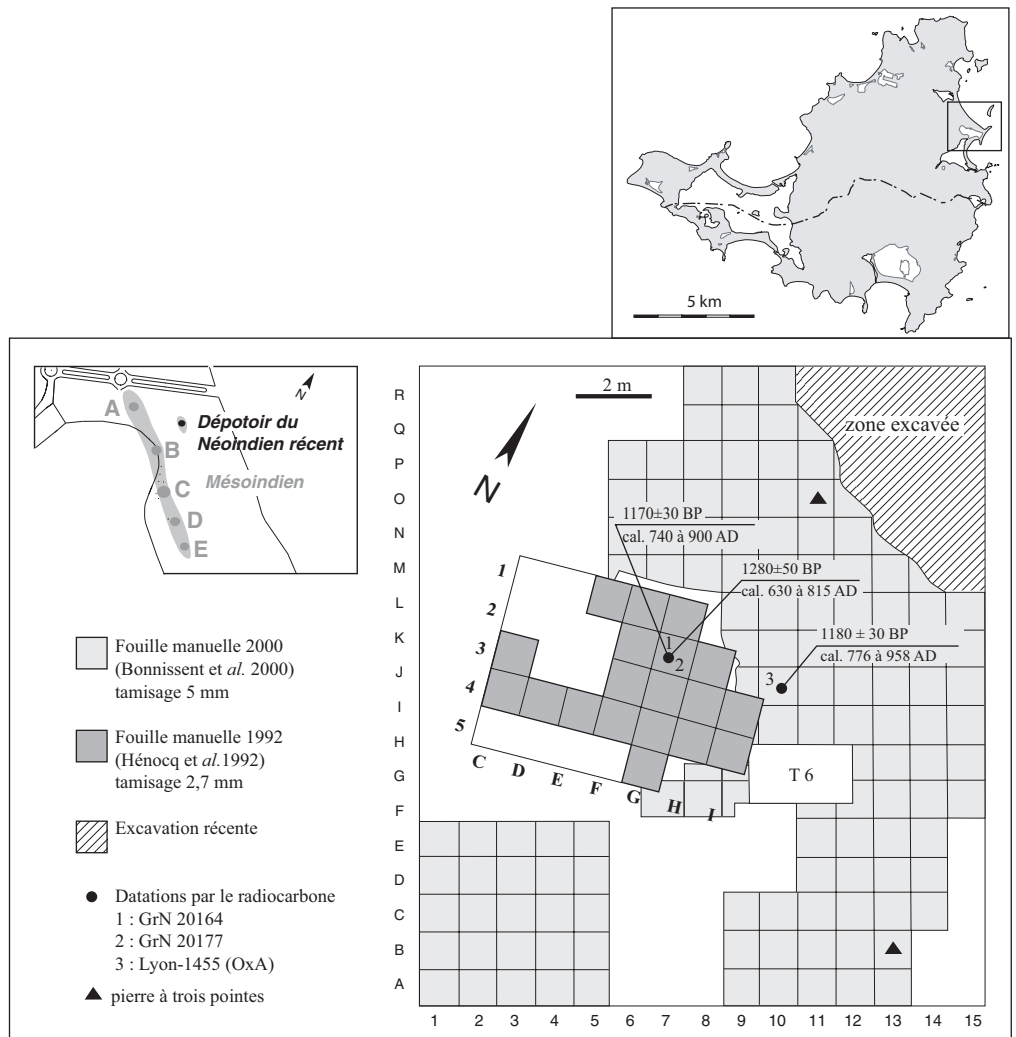


Figure 388 : Poids des restes de coquilles par espèces des carrés D5 et C3 de l'unité dépotoir 6 du sondage 6 (D. Bonnissent).



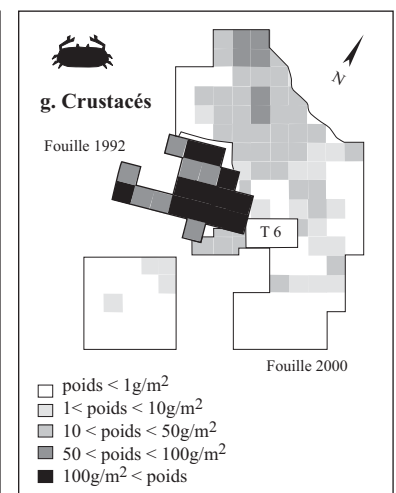
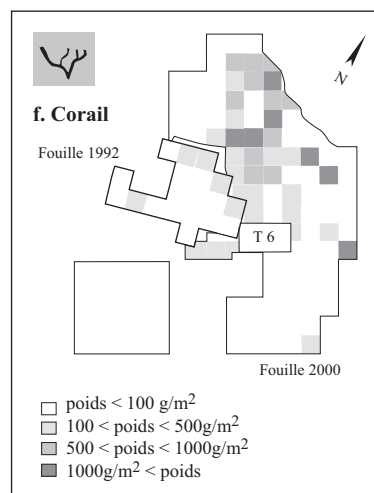
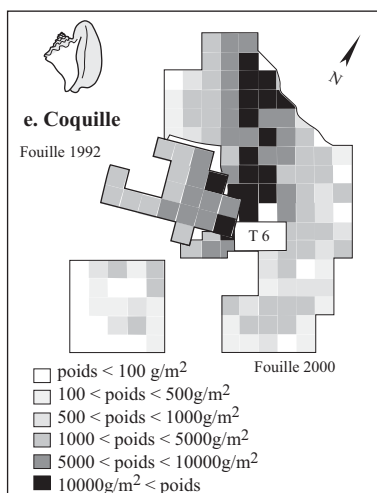
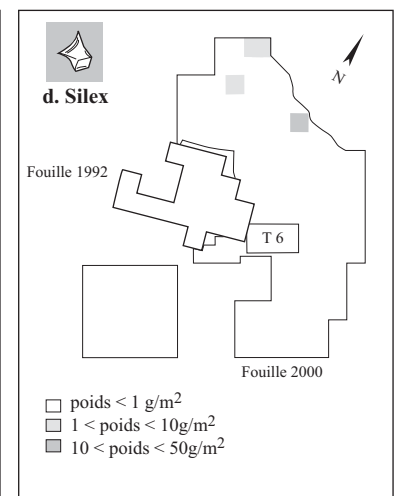
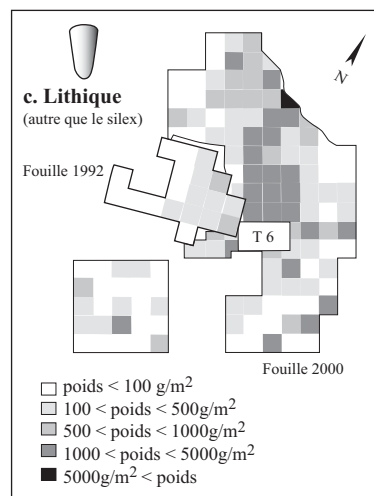
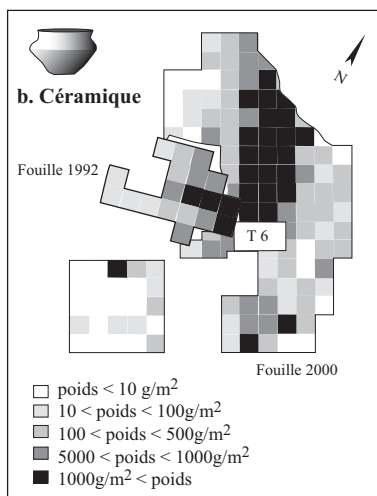
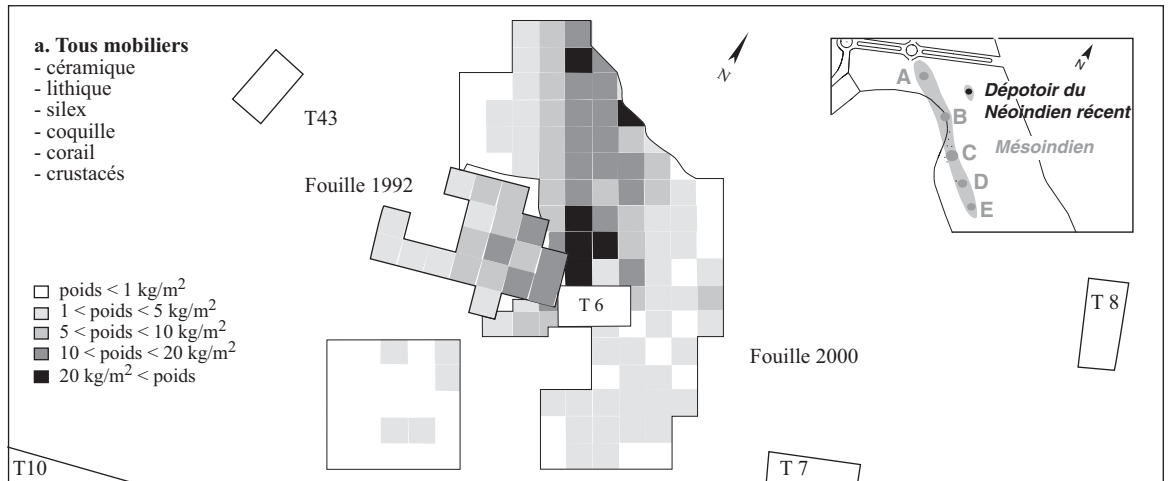


Figure 391 : Baie Orientale 2, dépotoir du stade 1 du Néolithique récent, cartes de répartition pondérale du mobilier par m<sup>2</sup> (T. Romon).

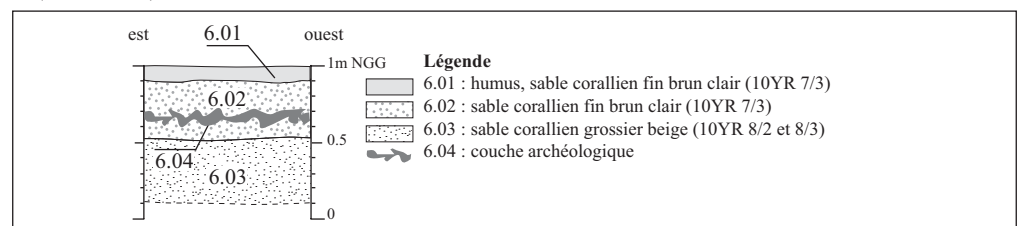


Figure 392 : Baie Orientale 2, log du dépotoir (D. Bonnissent).







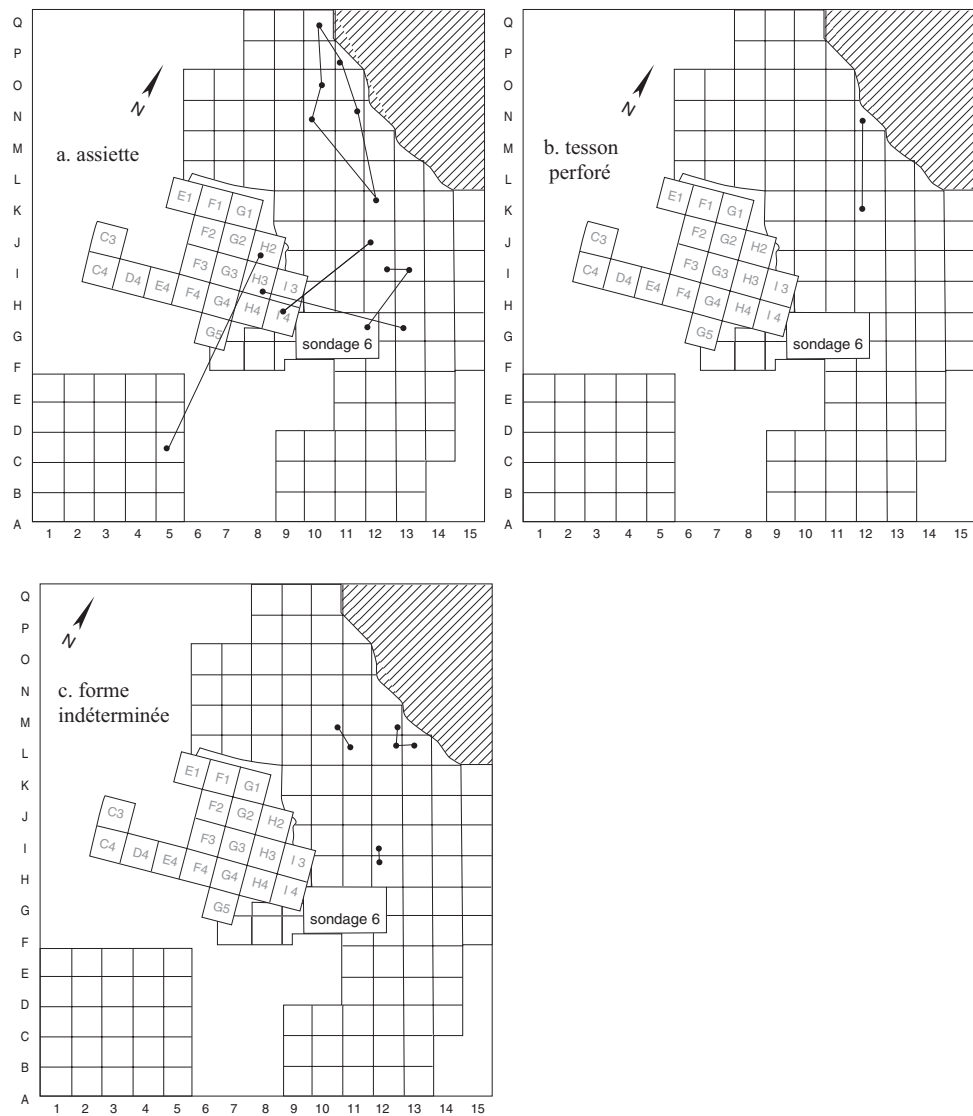


Figure 394 : Baie Orientale 2, répartition des remontages sur la céramique du dépotoir (D. Bonnissent).

catégorie	NR décoré	NR non décoré	NR total
Bord 1	4	197	201
Bord 2	0	16	16
Bord 3	1	37	38
Bord 4	0	4	4
Bord 5	0	1	1
Bord 6	0	2	2
Bord 7	1	2	3
Bord 8	2	0	2
Bord 9	6	1	7
Bord 10	0	47	47
Total	14	307	321

Tableau 62 : Baie Orientale 2, répartition des bords en NR par catégories (D. Bonnissent).

famille	NMI décoré	NMI non décoré	NMI total
platine	0	11	11
assiette	2	3	5
écuelle	1	11	12
bol	0	12	12
pot	2	20	22
bouteille	4	1	5
fumigateur	0	4	4
tesson perforé	0	8	8
Total	9	70	79

Tableau 63 : Baie Orientale 2, répartition du NMI par familles de formes (D. Bonnissent).

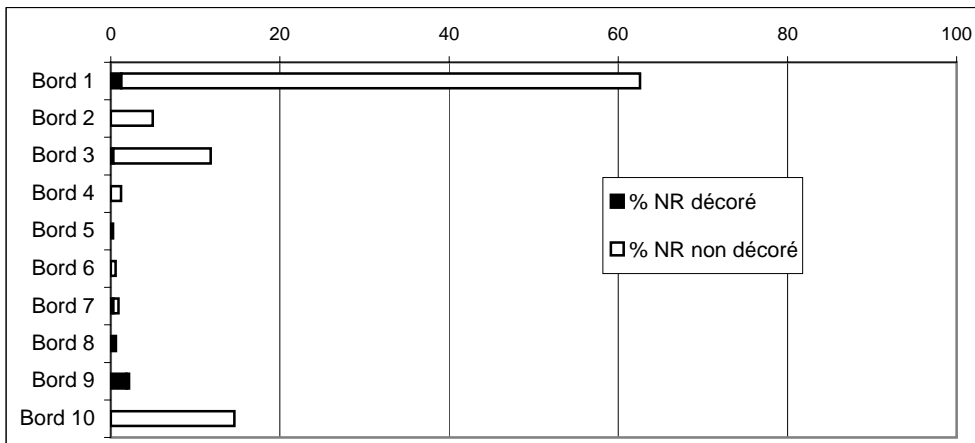


Figure 395 : Baie Orientale 2, répartition des bords par catégories, échantillon n = 321 (D. Bonnissent).

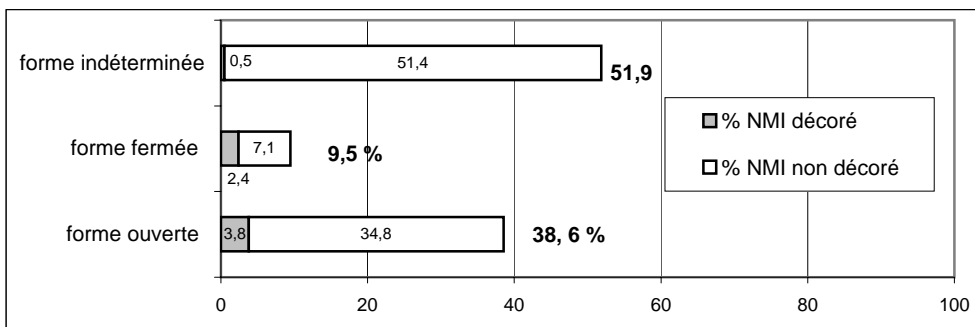


Figure 396 : Baie Orientale 2, répartition du NMI par catégories de formes, échantillon n = 210 (D. Bonnissent).

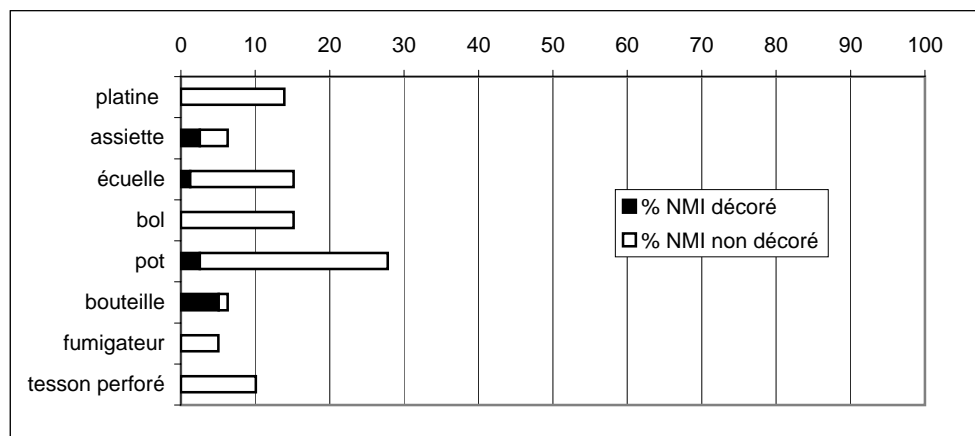


Figure 397 : Baie Orientale 2, répartition du NMI par familles de formes, échantillon n = 79 (D. Bonnissent).

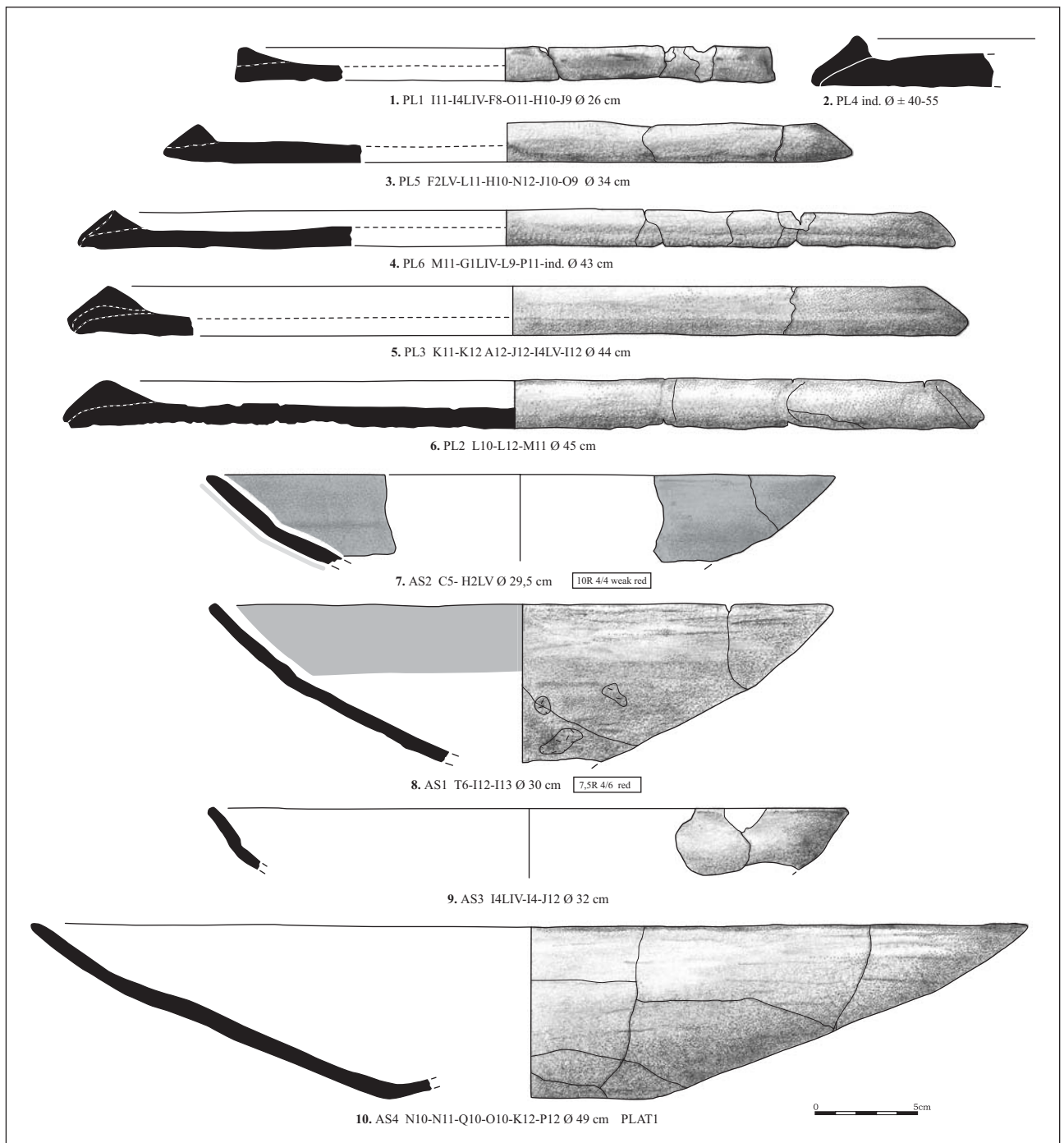


Figure 398 : Baie Orientale 2, platines et assiettes (D. Bonnissent, P. Galibert).

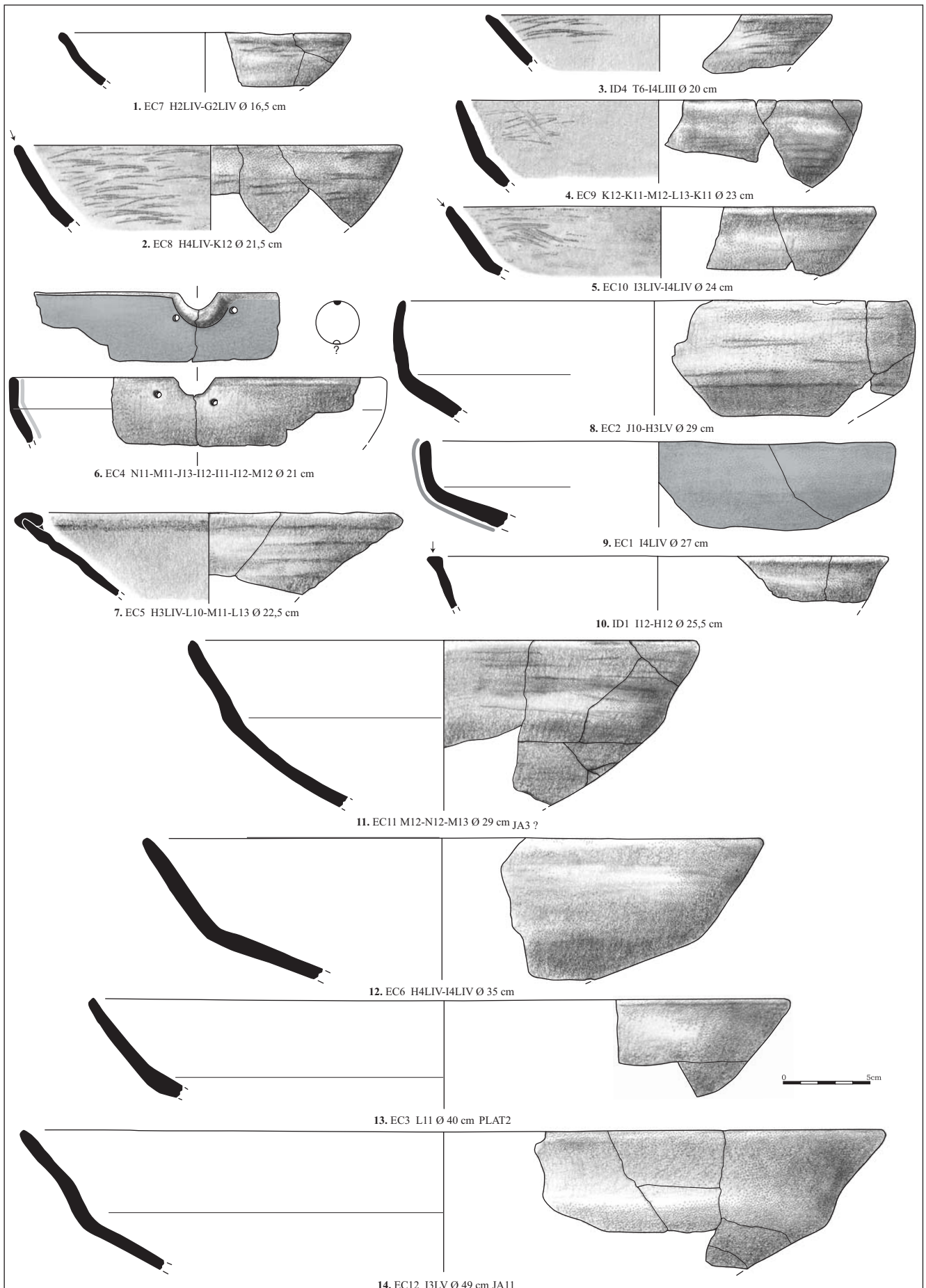


Figure 399 : Baie Orientale 2, les écuelles (D. Bonnissent, P. Galibert).

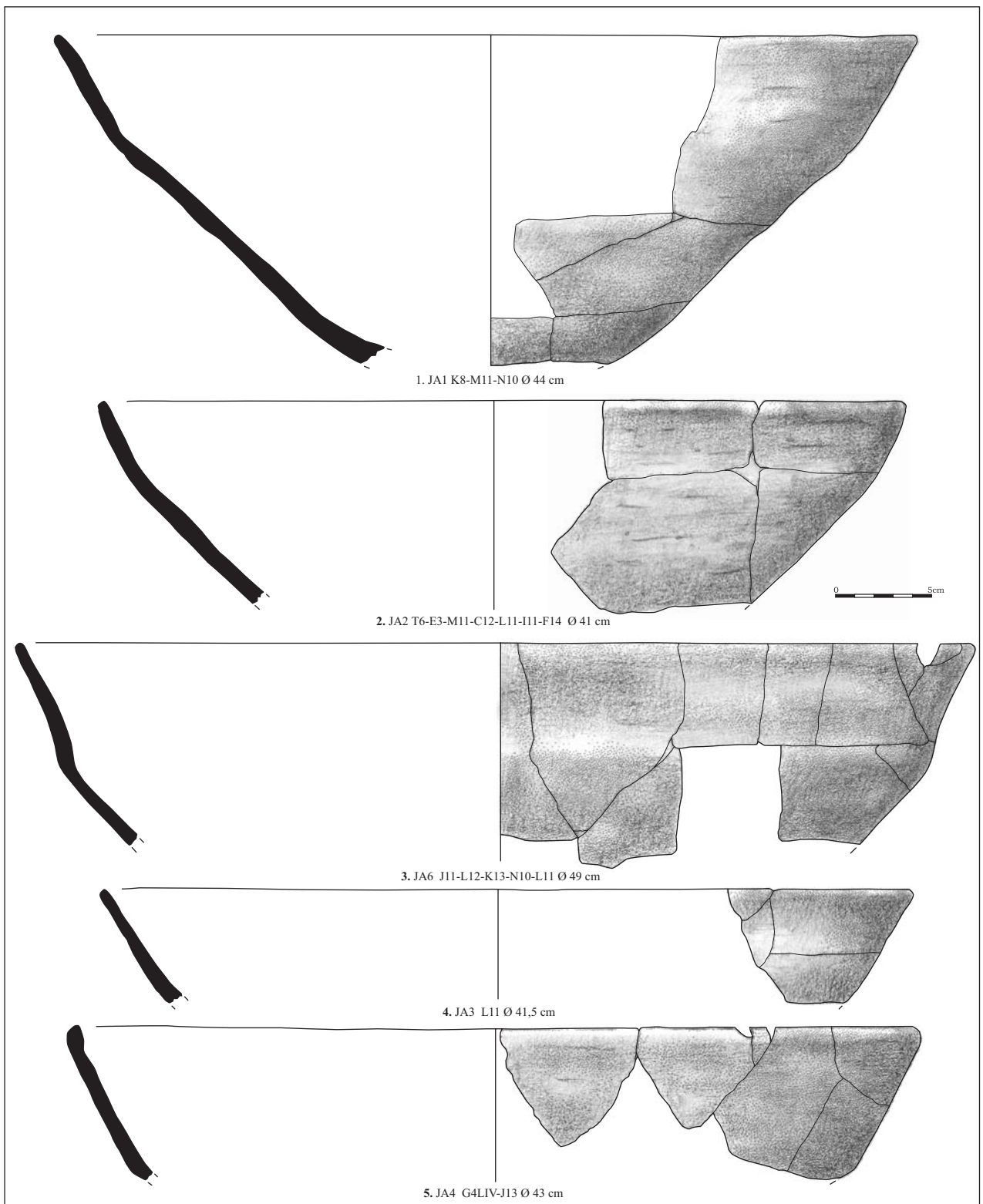


Figure 400 : Baie Orientale 2, les jattes (D. Bonnissent, P. Galibert).



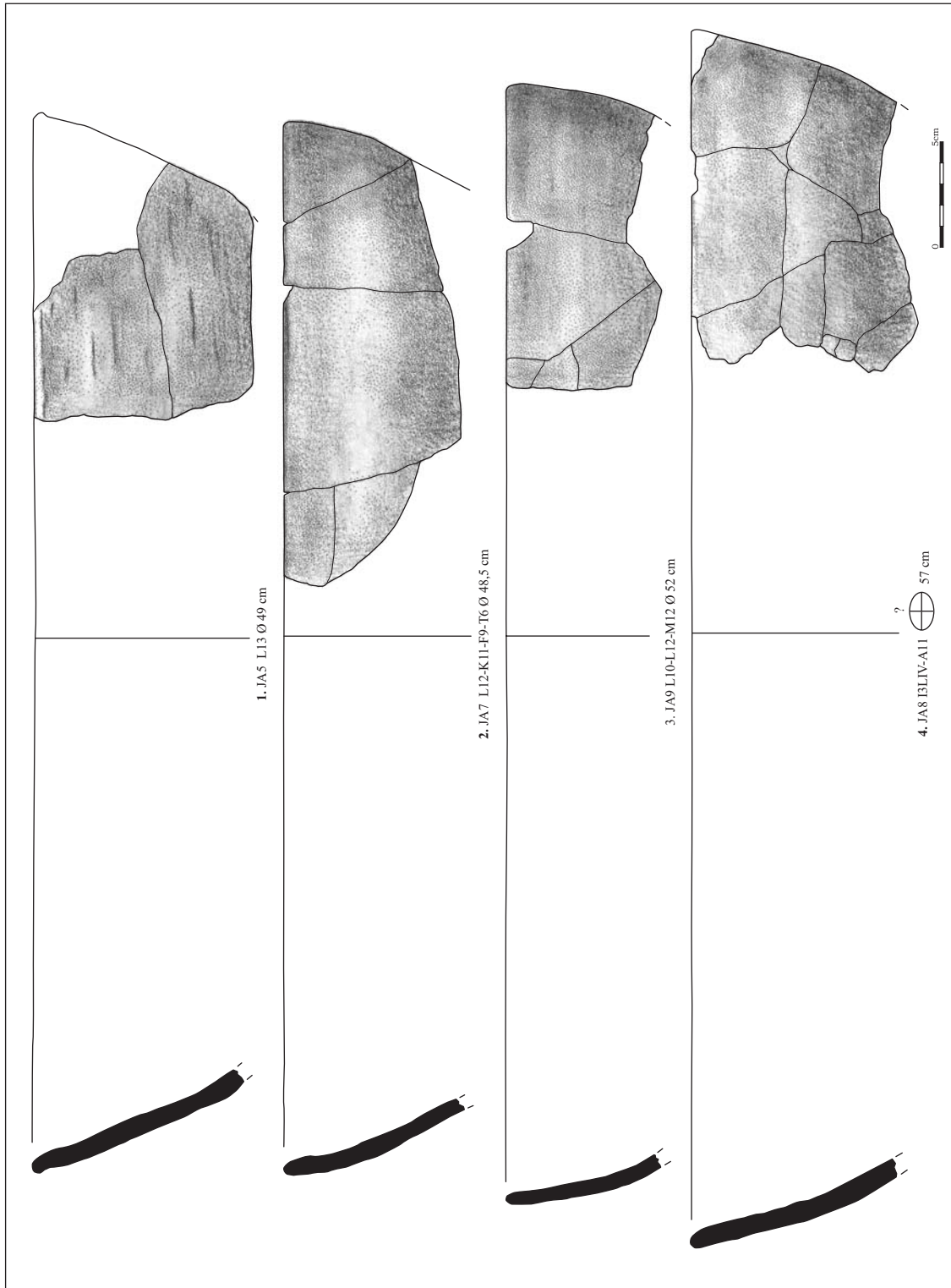


Figure 401 : Baie Orientale 2, les grandes jattes (D. Bonnissent, P. Galibert).

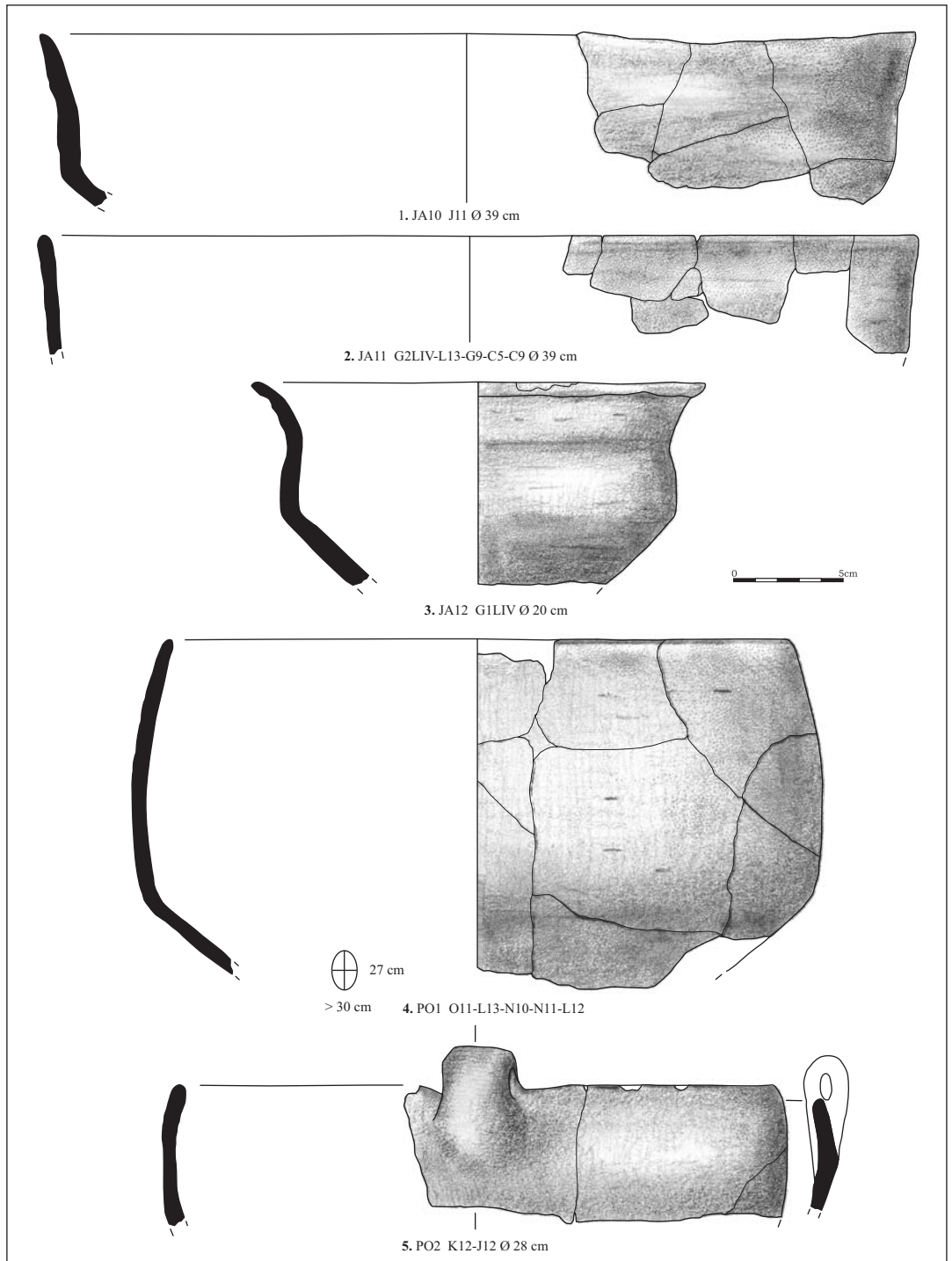


Figure 402 : Baie Orientale 2, les jattes atypiques 1 à 3, les pots 4 à 5 (D. Bonnissent, P. Galibert).

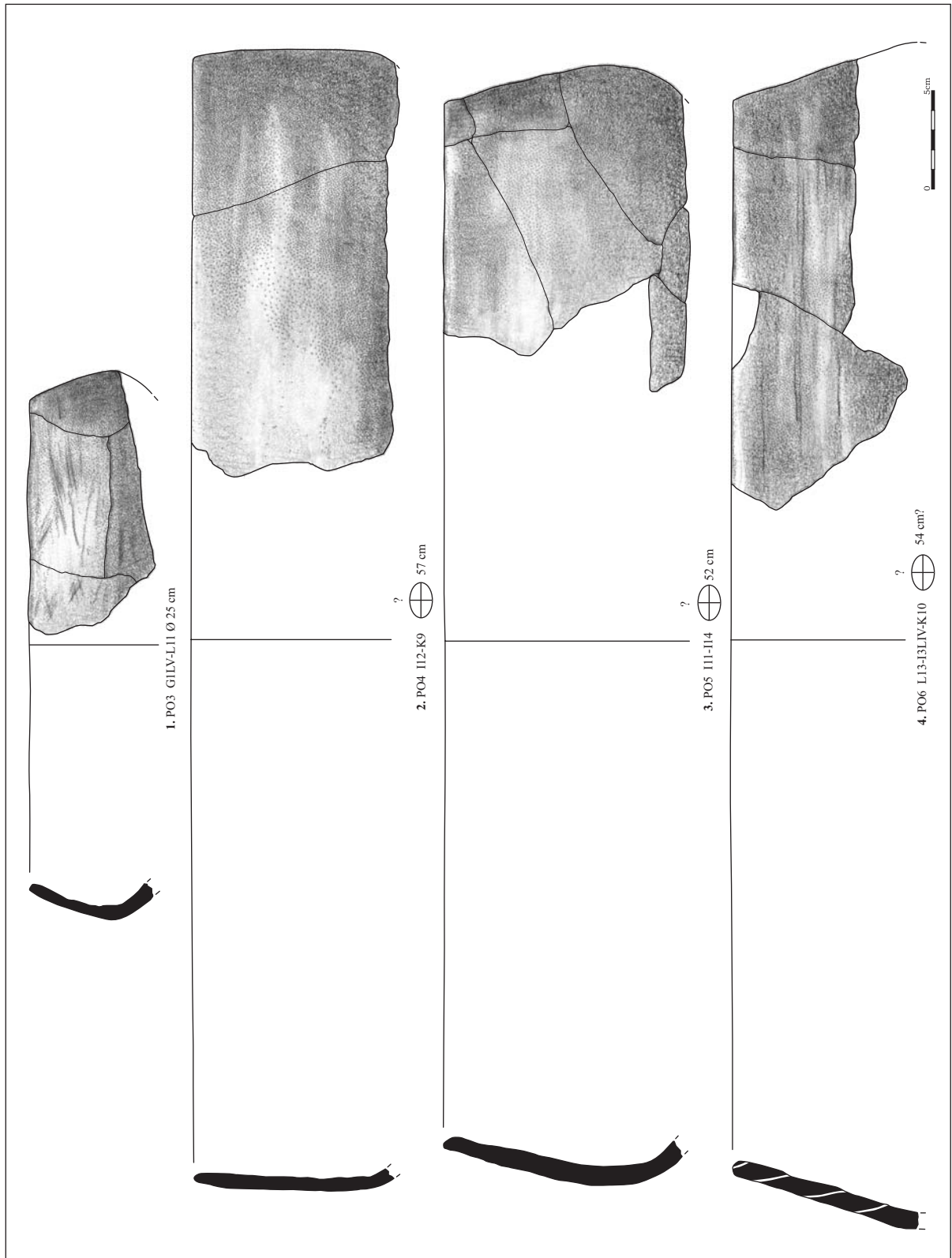


Figure 403 : Baie Orientale 2, les pots (D. Bonnissent, P. Galibert).

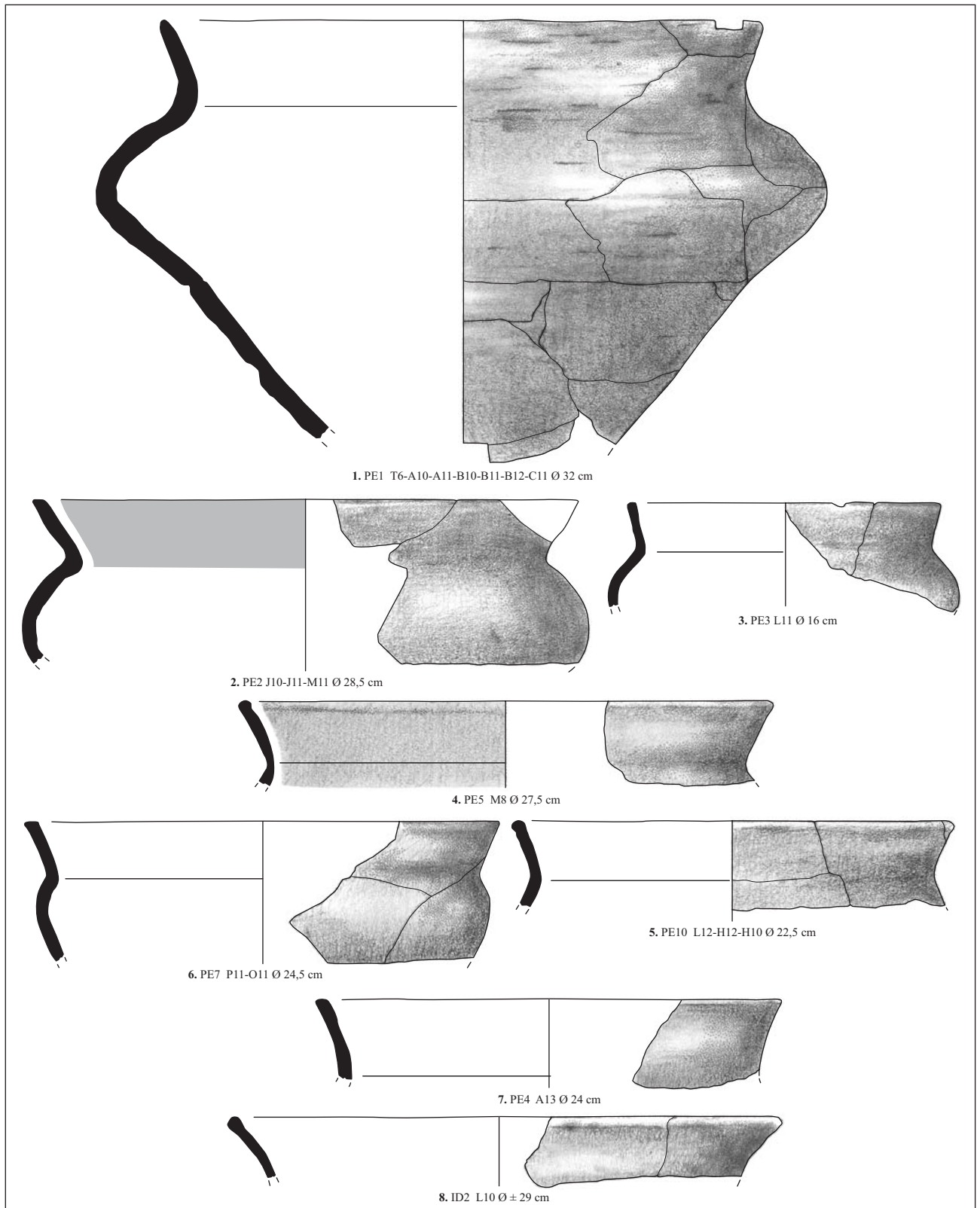


Figure 404 : Baie Orientale 2, les pots à encolure (D. Bonnissent, P. Galibert).

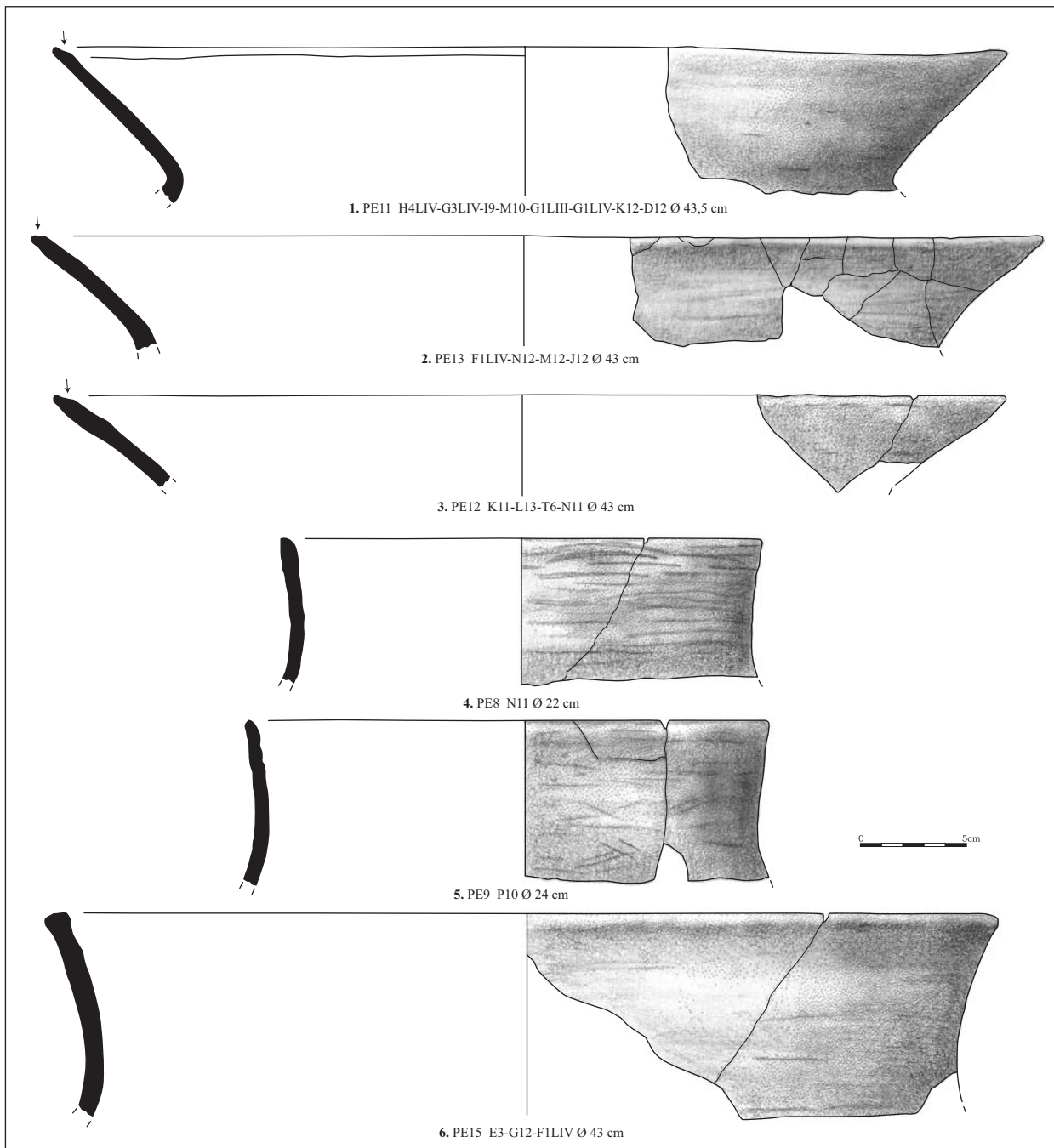


Figure 405 : Baie Orientale 2, les pots à encolure (D. Bonnissent, P. Galibert).



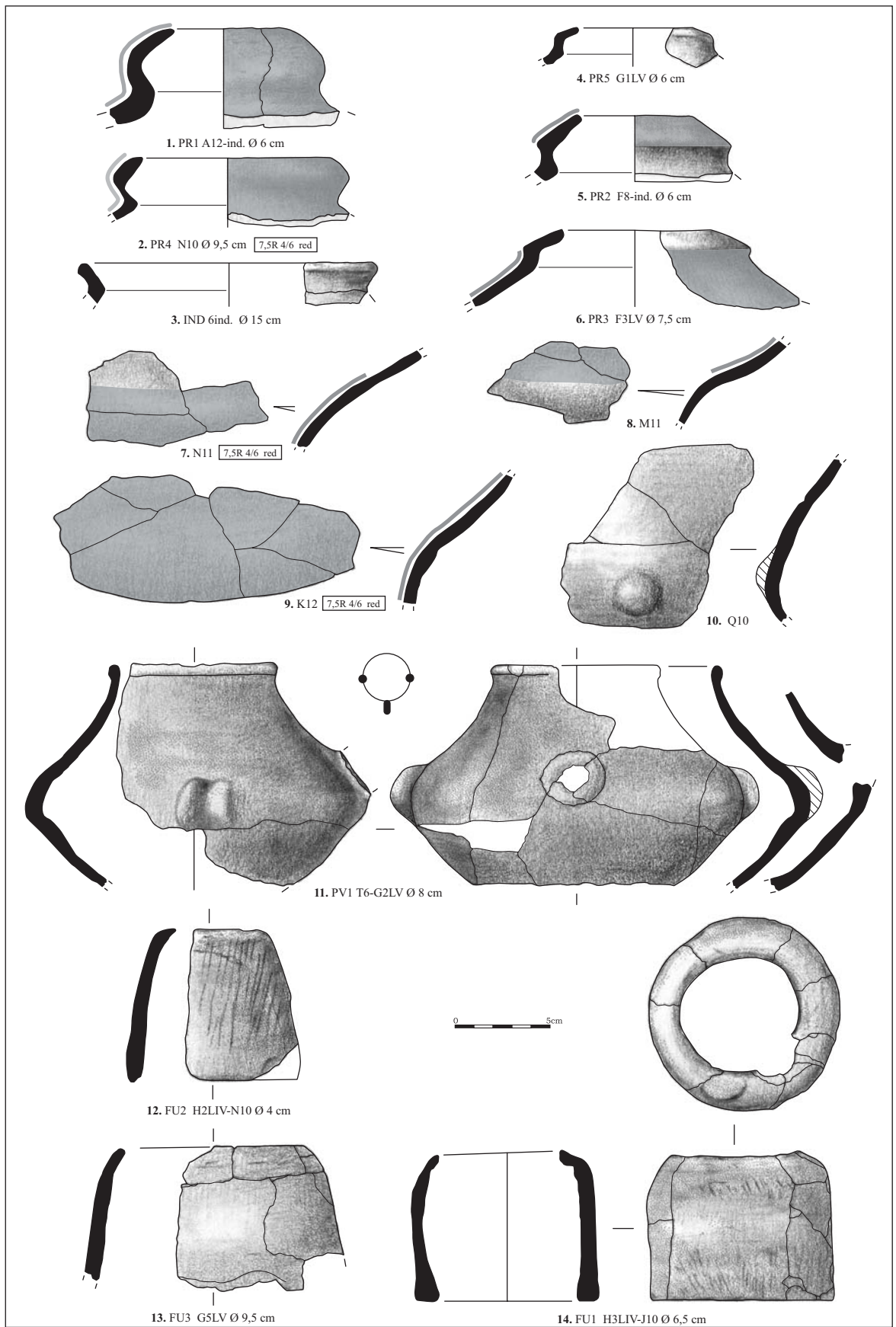


Figure 406 : Baie Orientale 2, les bouteilles, pot verseur et fumigateurs (D. Bonnissent, P. Galibert).



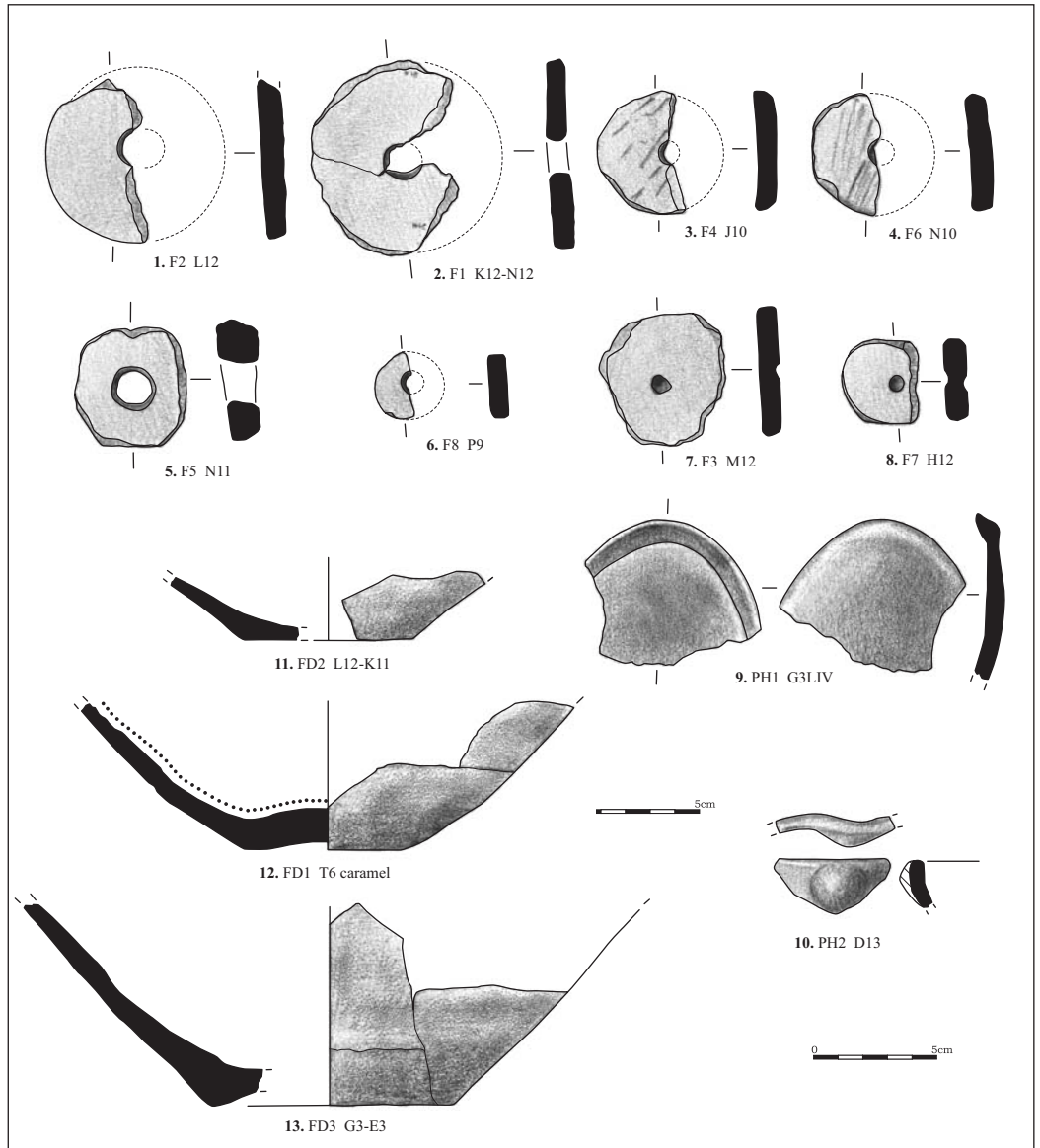


Figure 407 : Baie Orientale 2, tessons perforés, préhensions et fonds (D. Bonnissent, P. Galibert).

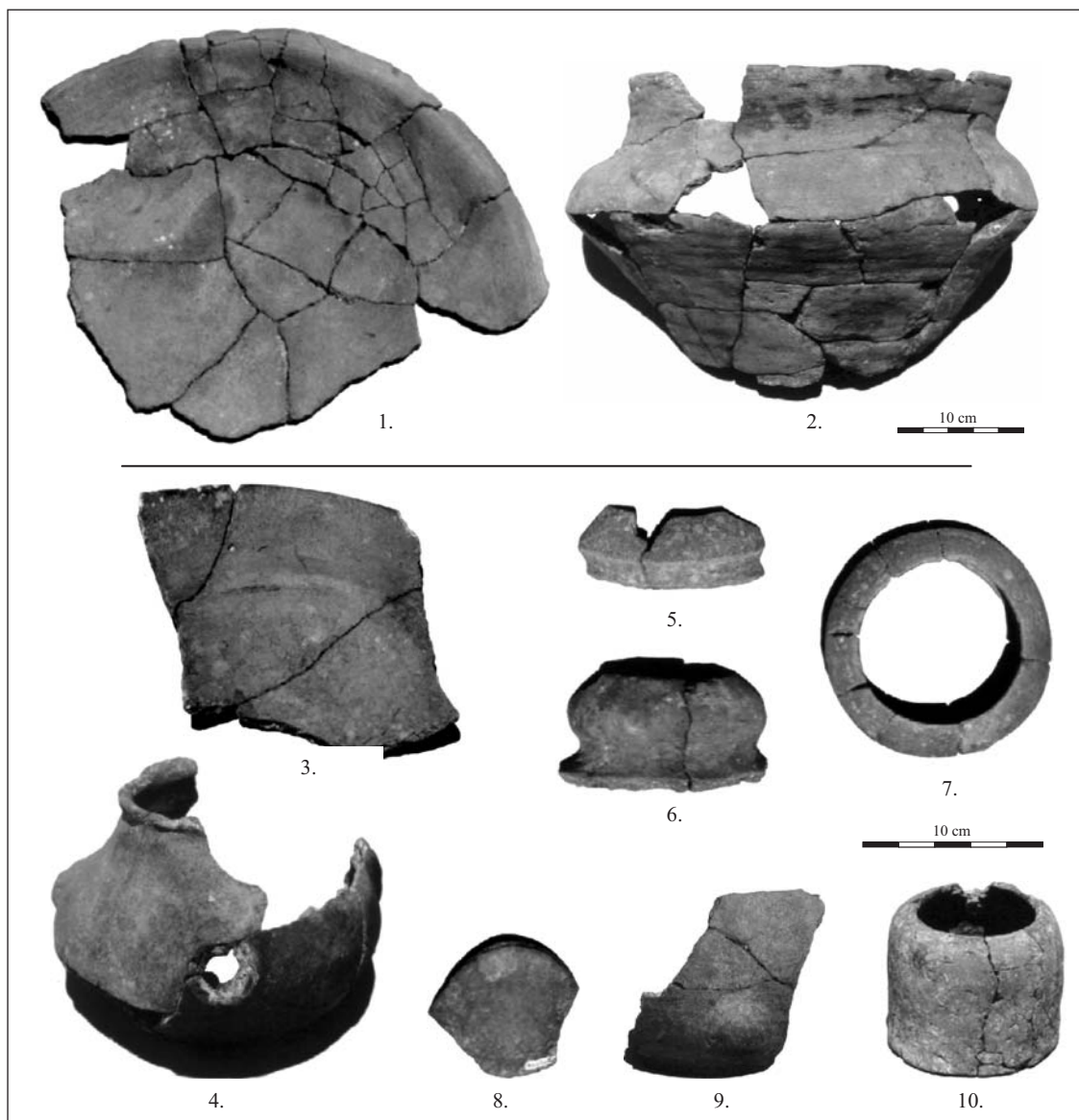


Figure 408 : Céramique du dépotoir de Baie Orientale 2. 1 : platine, 2 : pot à encolure, 3 : assiette à marli engobé, 4 : pot verseur, 5 à 7 : goulots de bouteilles, 8 : oreille, 9 : mamelon, 10 : fumigateur (D. Bonnissent).



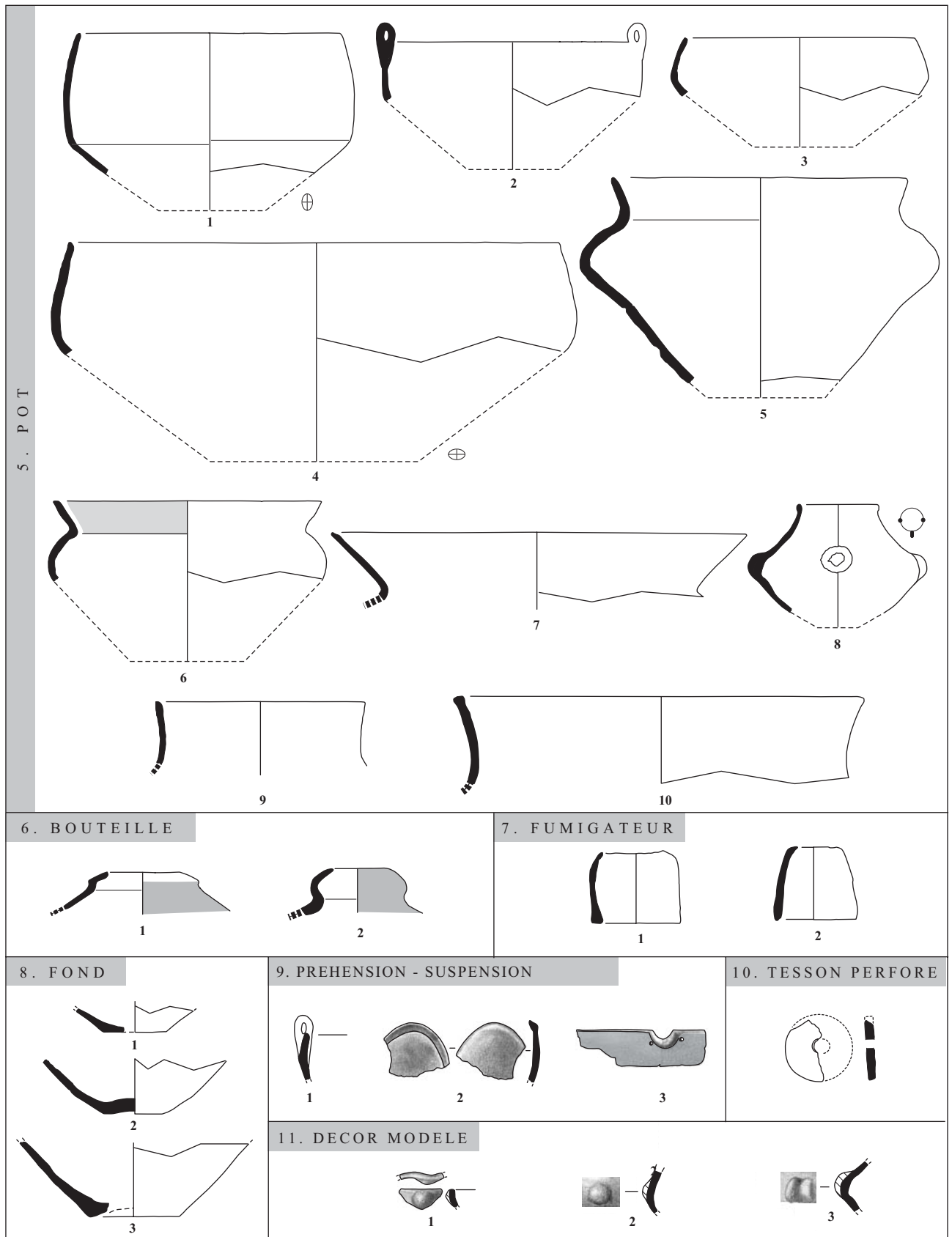


Figure 410 : Baie Orientale 2, typologie du stade 1 du Néoindien récent (D. Bonnissent).

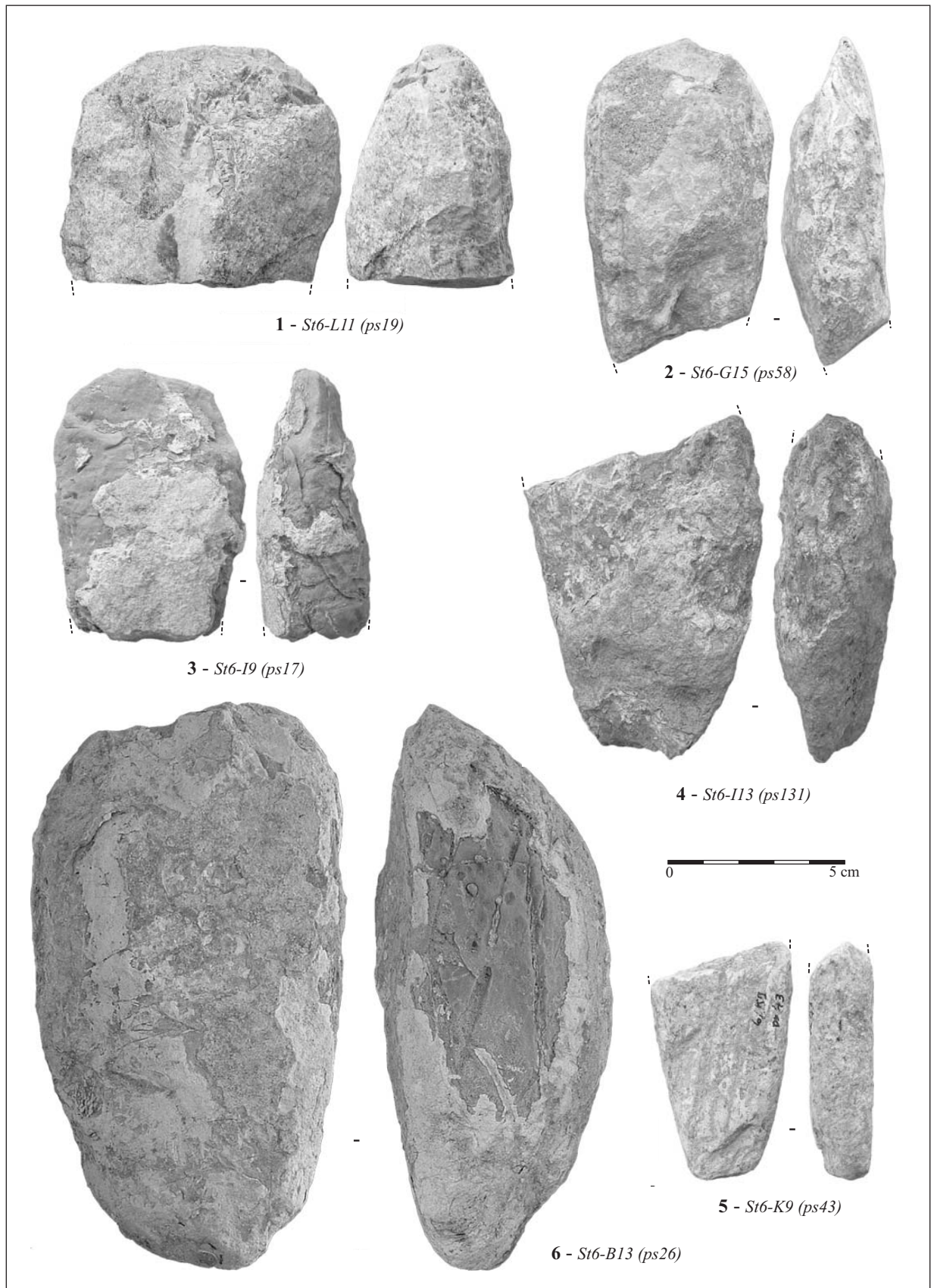


Figure 411 : Baie Orientale 2, fragments d'ébauches de haches en cherto-tuffite. 1-3 : tranchants, 4-5 : talons, 6 : pièce entière (P. Fouéré).



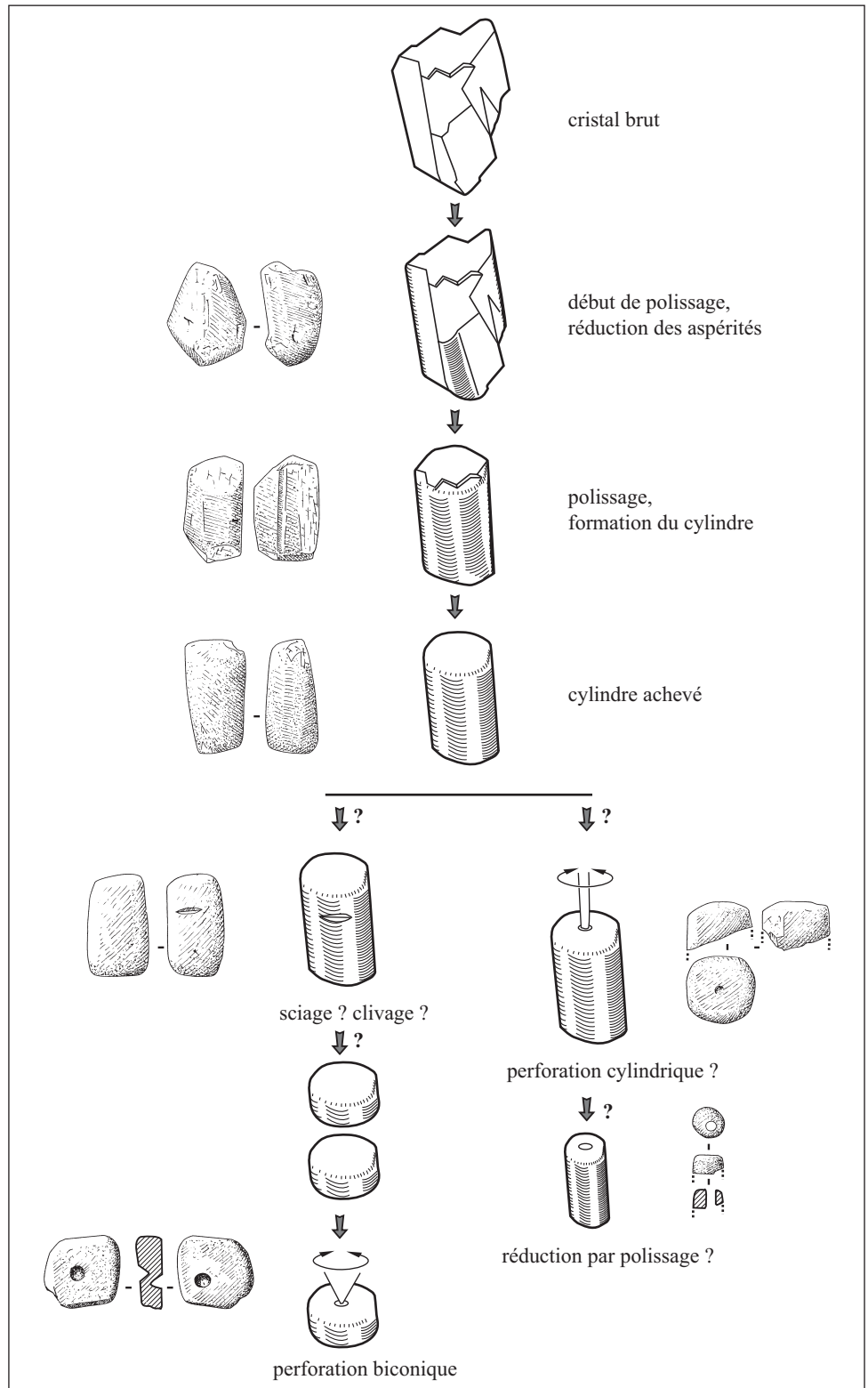


Figure 412 : Baie Orientale 2, séquences de fabrication des perles en calcite (P. Fouéré).

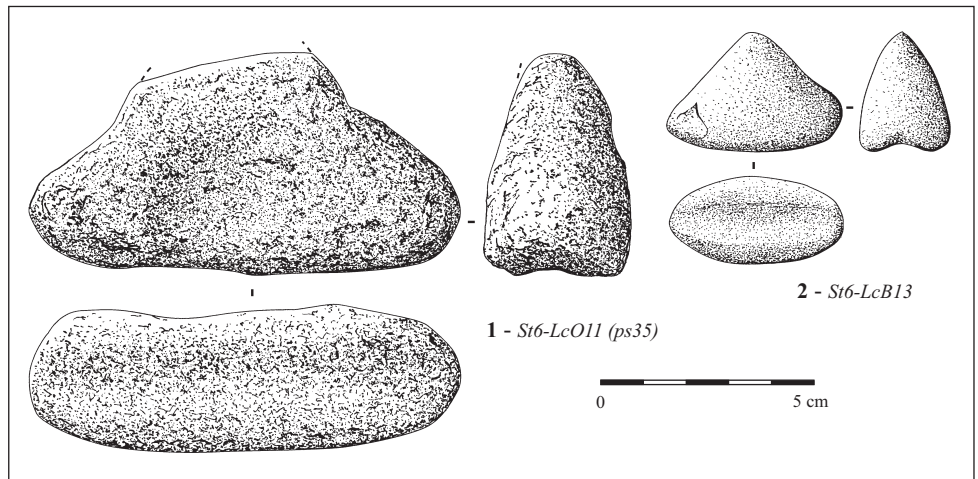


Figure 413 : Baie Orientale 2, 1 : zémi sur calcaire, 2 : zémi sur calcirudite (P. Fouéré).

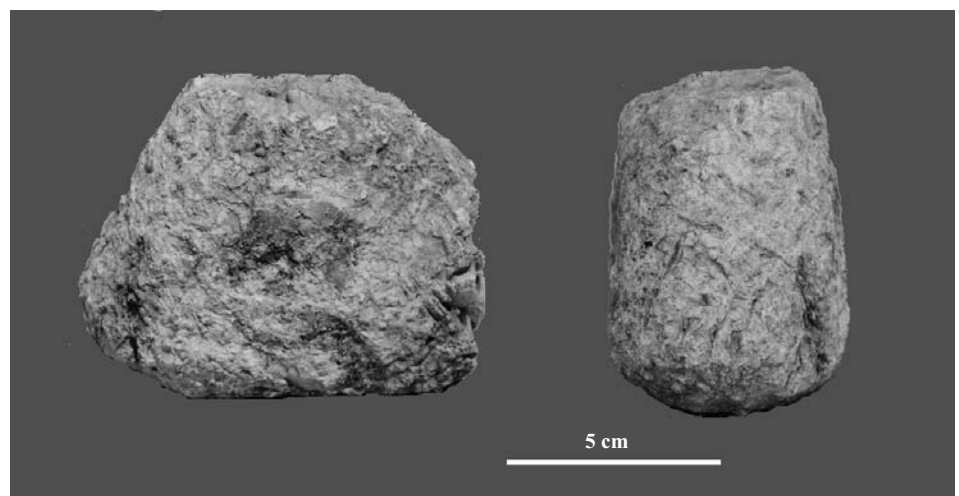


Figure 414 : Baie Orientale 2, zémi sur calcaire (D. Bonnissent).

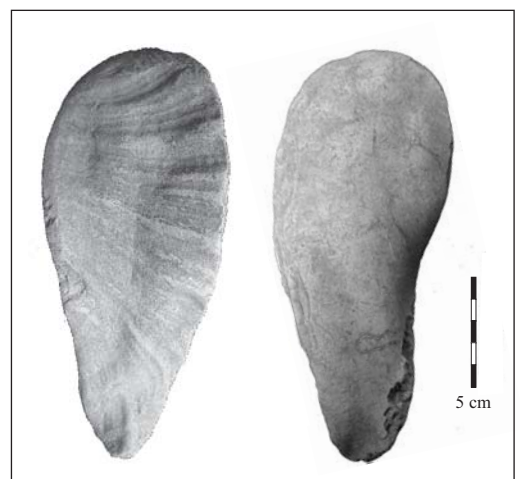


Figure 415 : Baie Orientale 2, lame sur *Strombus gigas* (N. Serrand).

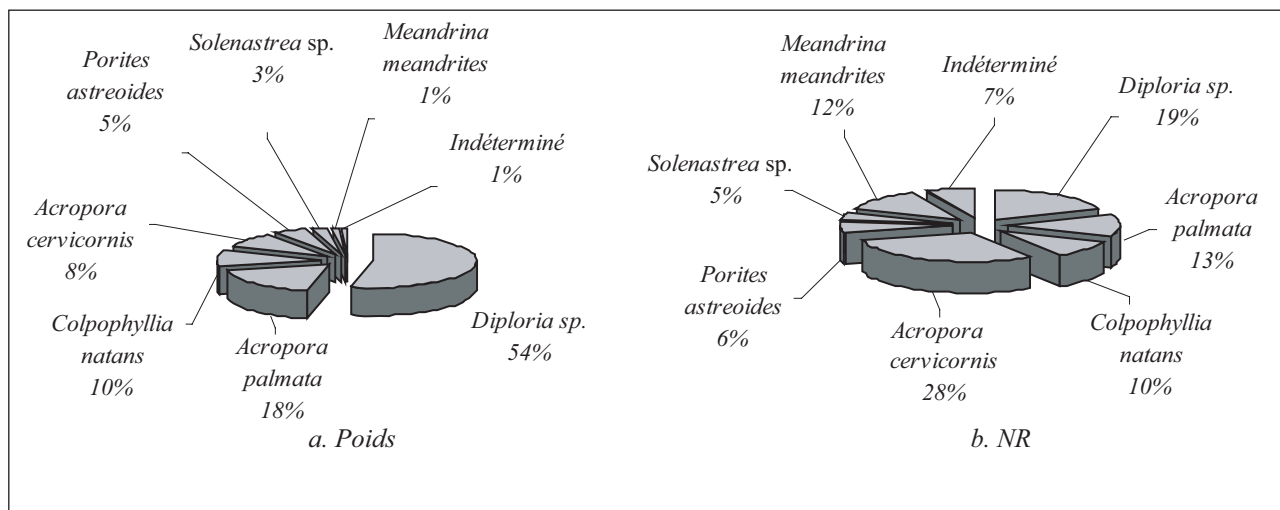


Figure 416 : Baie Orientale 2, représentation des coraux par espèces, en poids (a) et en NR (b) (D. Bonnissent).

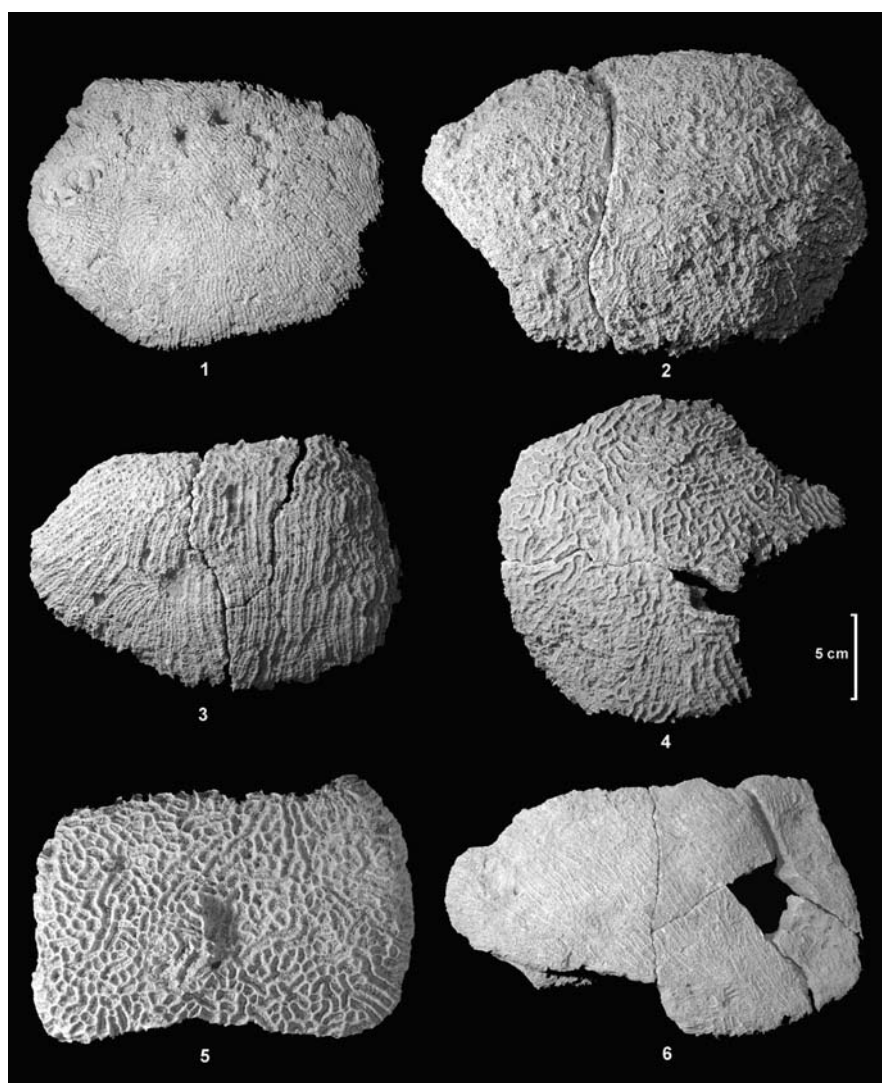


Figure 417 : Baie Orientale 2, blocs utilisés de *Diploria sp.* On distingue dans la partie centrale des blocs une petite surface érodée (D. Bonnissent).

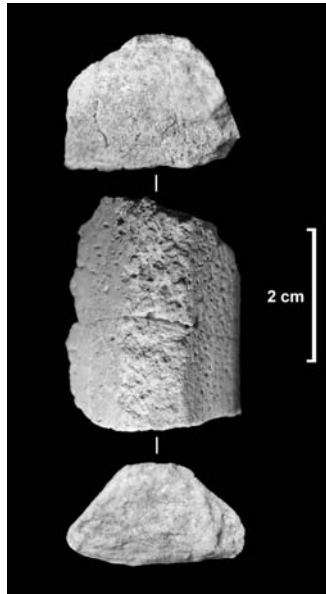


Figure 418 : Baie Orientale 2, élément façonné sur *Acropora palmata* (D. Bonnissent).



Figure 419 : Baie Orientale 2, branches modifiées d'*Acropora cervicornis* (D. Bonnissent).

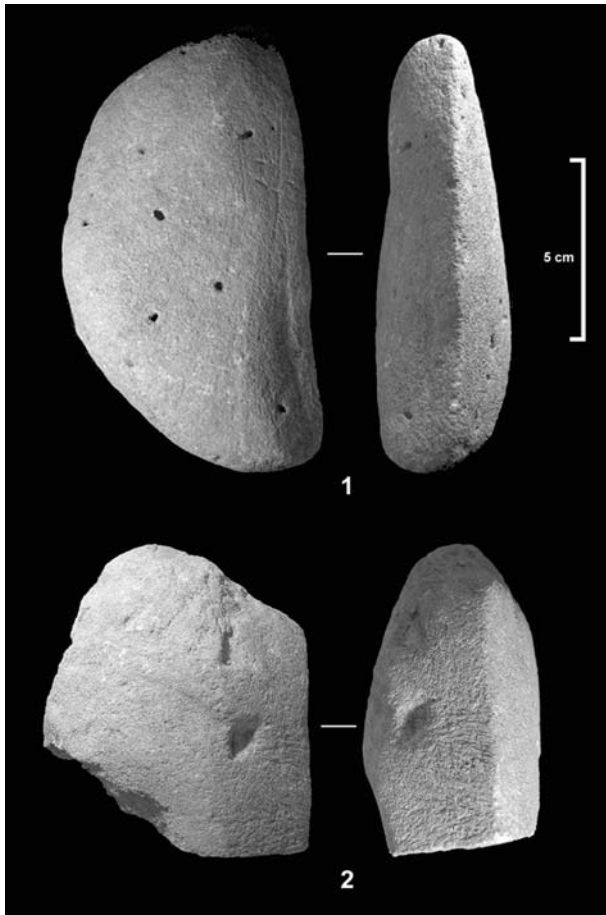


Figure 420 : Baie Orientale 2, outils sur *Porites astreoides* (D. Bonnissent).

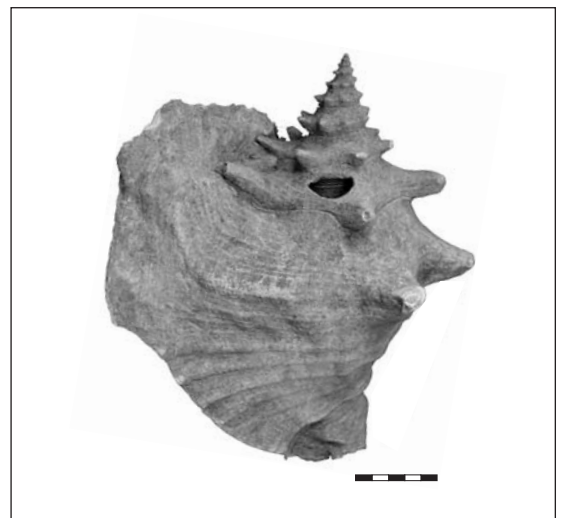


Figure 421 : *Strombus gigas* perforé (N. Serrand).



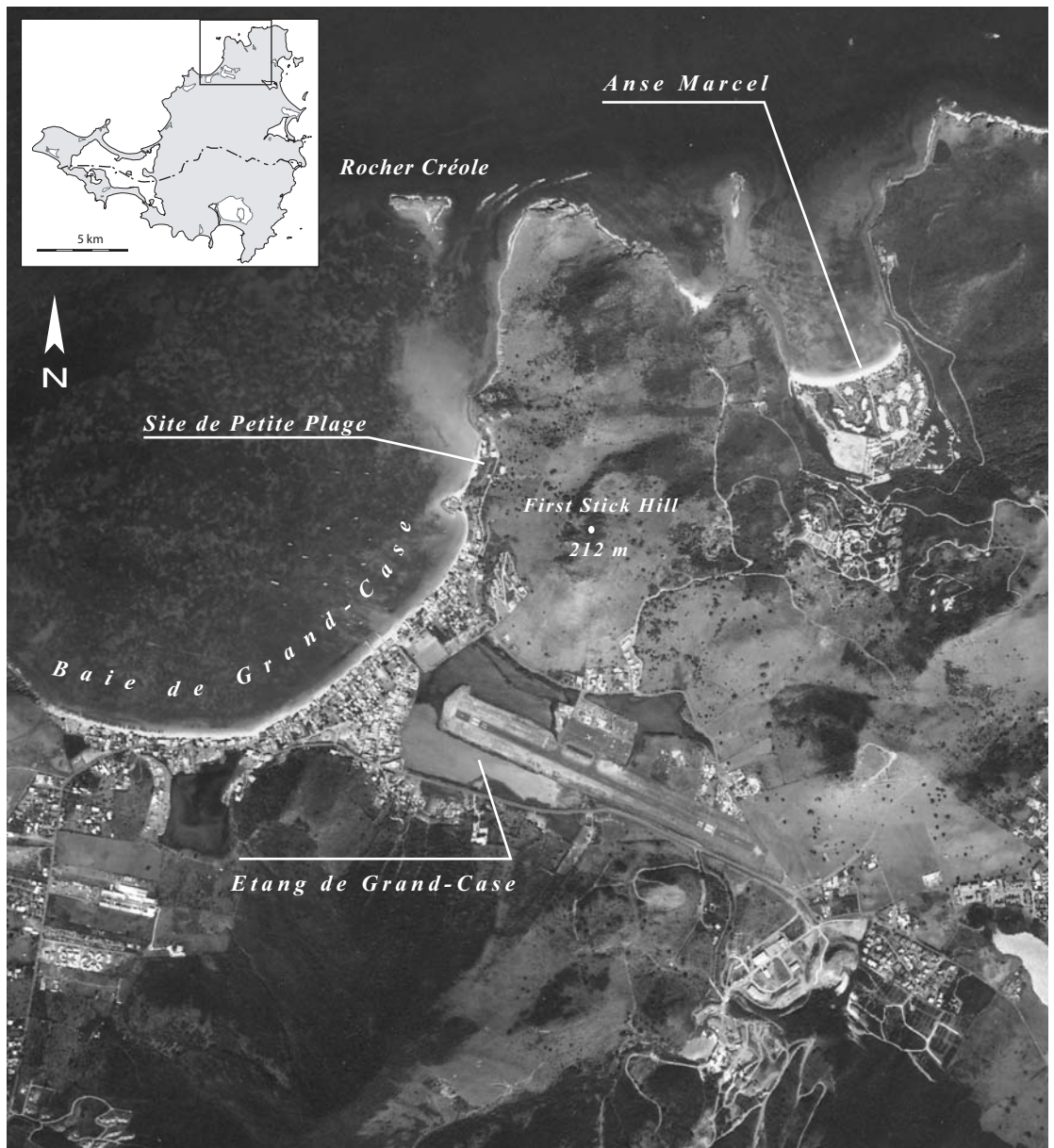


Figure 422 : La baie de Grand-Case et le site de Petite Plage (cliché IGN 2003).



Figure 423 : Le site de Petite Plage (D. Bonnissent).



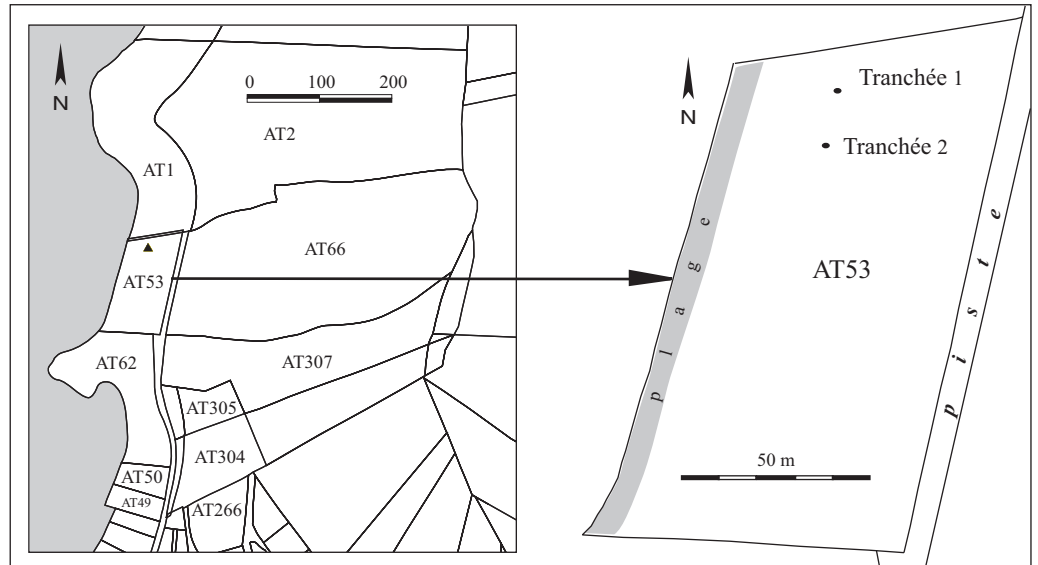


Figure 424 : Site de Petite Plage sur fond cadastral (D. Bonnissent).

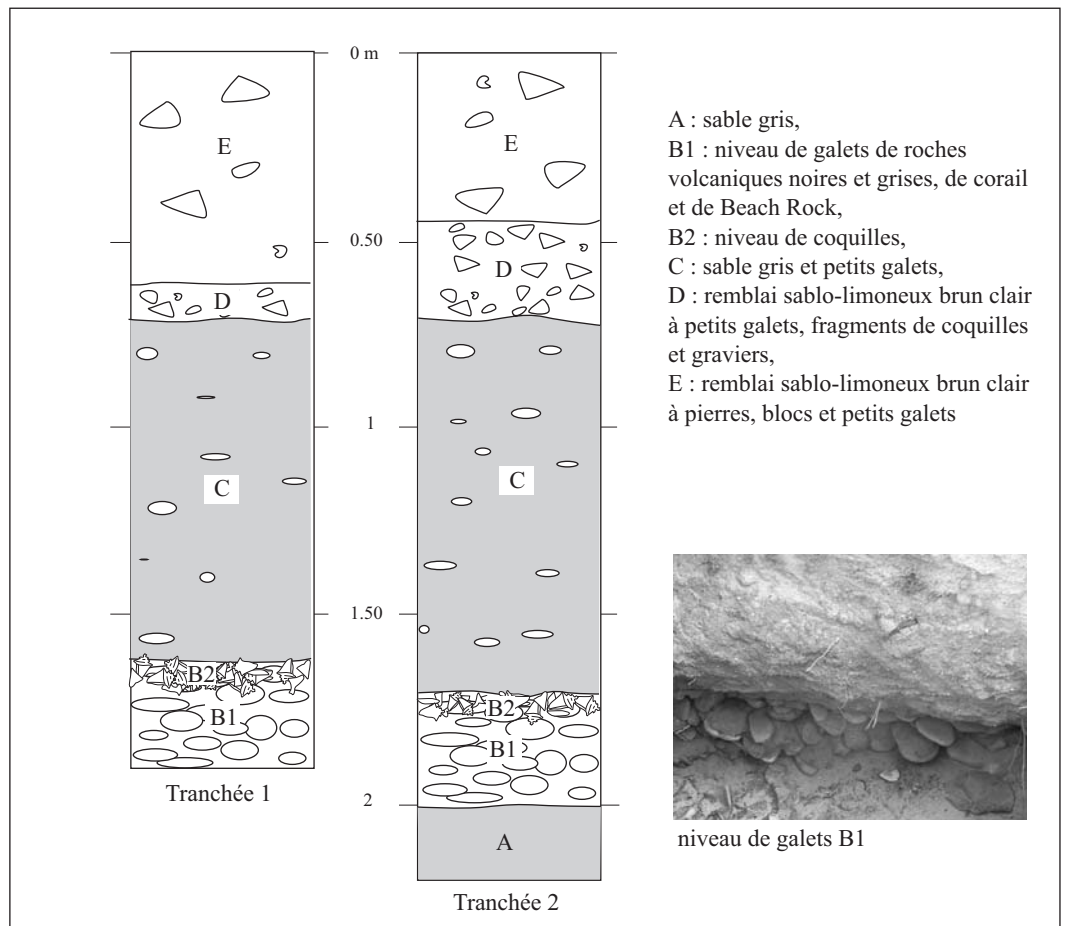
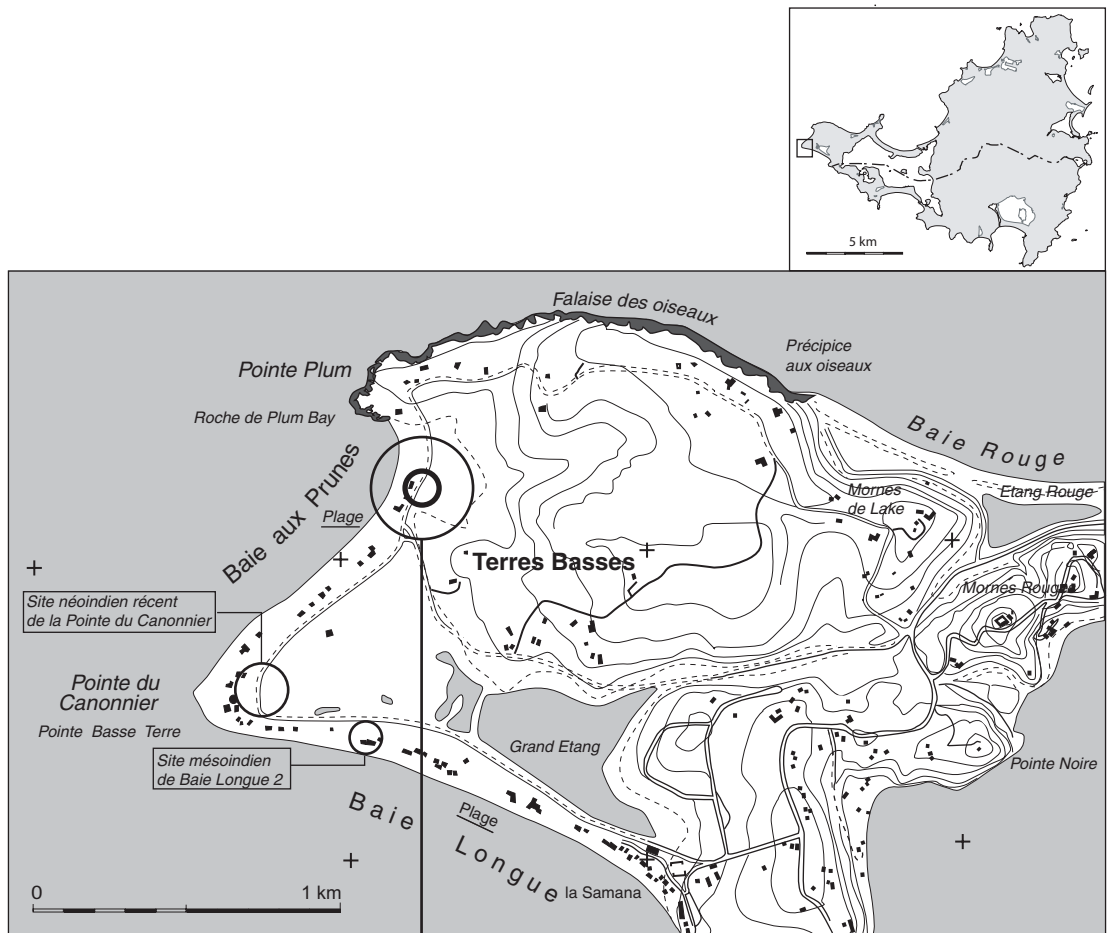
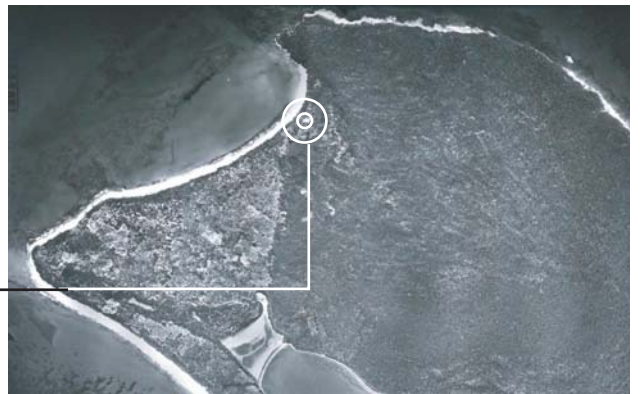


Figure 425 : Petite Plage, log des sondages 1 et 2 (D. Bonnissent).



D'après la carte IGN 1/25000e

Site néoindien récent de Baie aux Prunes



Cliché IGN 1954

Figure 426 : Baie aux Prunes, localisation du site (I. Dechanez, D. Bonnissent).

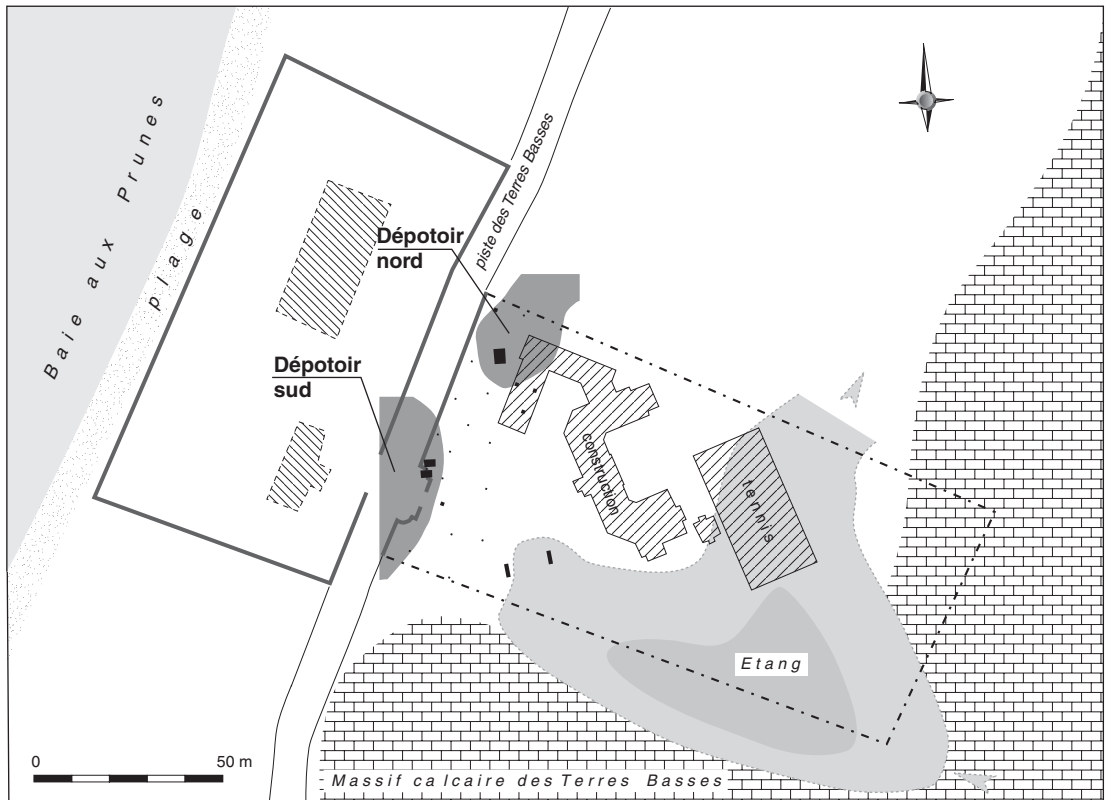


Figure 427 : Baie aux Prunes, plan du site (C. Stouvenot).

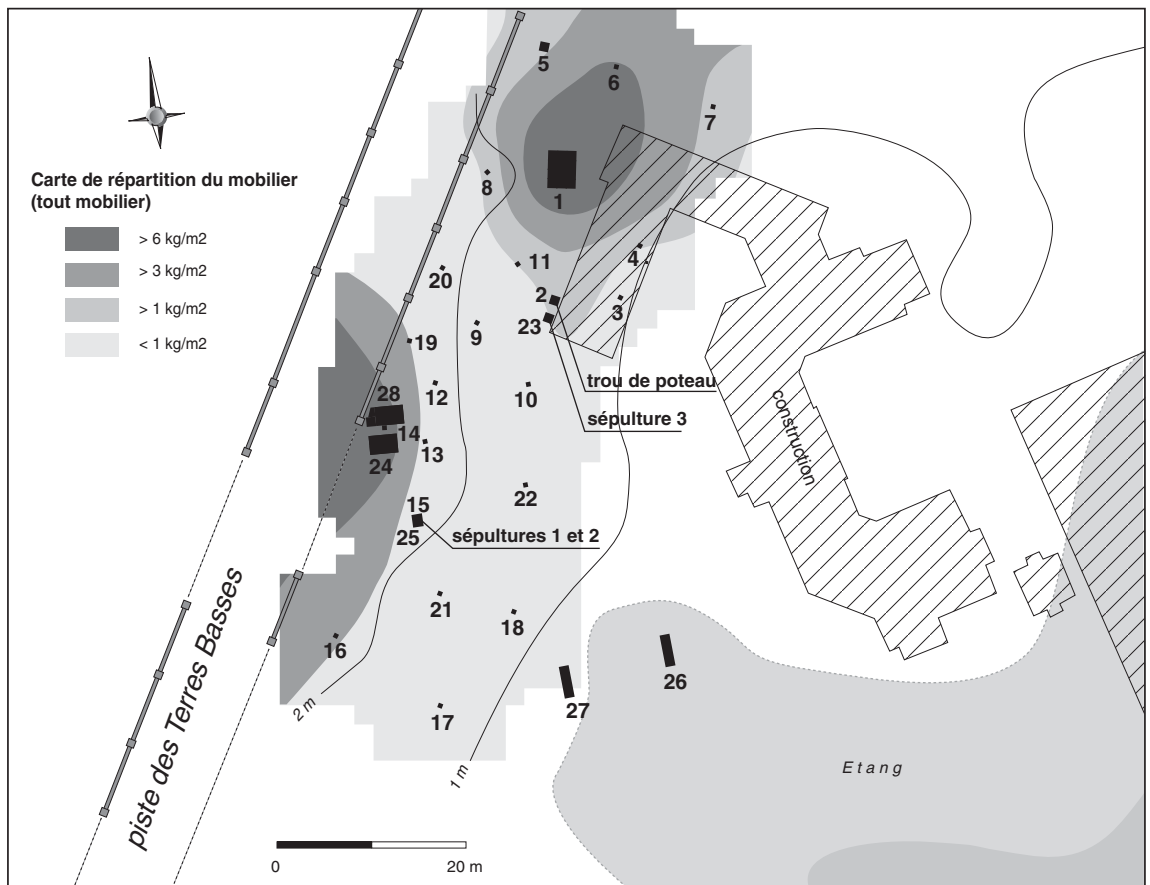
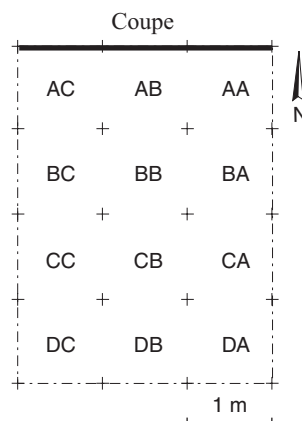


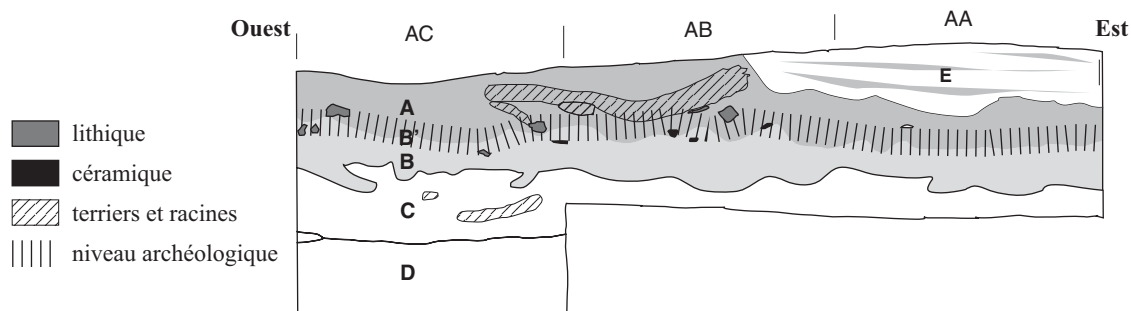
Figure 428 : Baie aux Prunes, carte de répartition pondérale du mobilier (C. Stouvenot).



a. Niveau dépotoir du sondage 1

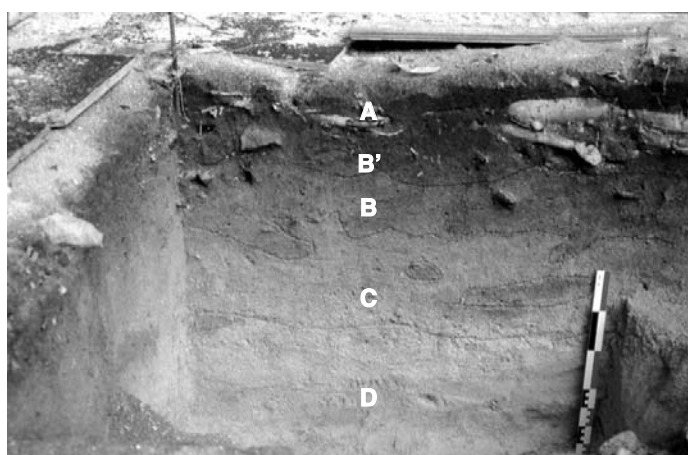


b. Plan du sondage 1



- A = (UD 101, 102, 103) : sable corallien induré et fin, humifère à abondantes racines, sol (10YR 3/2 very dark grayish brown)
- B' = (UD 104, 105) : niveau archéologique constitué de restes de faune et de productions matérielles, traces de bioturbations et racines
- B = (UD 107) : sable corallien fin et induré, présence de terriers, base du sol (10YR 5/2 grayish brown),
- C = (UD 108) : sable corallien grossier meuble et stérile, présence de bioturbations (10YR 7/3 very pale brown)
- D = (UD 109) : sable corallien grossier, meuble et stérile (2.5Y 8/3 pale yellow)
- E = (UD 106) : remblai récent lié aux travaux

c. Coupe Stratigraphique du sondage 1



d. Carré AC de la séquence Nord

Figure 429 : Baie aux Prunes, relevés et clichés du sondage 1 (D. Bonnissent).

sondage	céramique	lithique	corail	industrie coq.	coquilles	crustacés	faune V.	charbon	os humain	Total
1	51207	25473	6713	894	68441	159	1187	155	2	154231
2	3884	128	171		602	0	0	141	0	4926
3	16	68	0	0	237	0	0	3	0	324
4	274	72	19	0	3246	0	0	6	0	3617
5	812	250	31	0	1068	1	8	0	0	2170
6	1530	348	0	0	5824	0	8	0	0	7710
7	311	163	0	0	1490	1	1	1	0	1967
8	48	0	278	0	128	4	0	1	0	459
9	221	20	0	222	461	1	1	48	0	974
10	73	15	56	0	335	0	0	4	0	483
11	176	36	0	1	48	0	2	0	0	263
12	172	77	64	0	388	2	7	0	0	710
13	298	7	1008	0	386	4	7	2	0	1712
14	1134	136	82	0	322	4	20	1	0	1699
15	278	231	167	0	197	3	0	25	0	901
16	1000	596	0	0	3231	2	0	9	0	4838
17	584	14	0	0	245	0	0	12	0	855
18	215	0	0	0	101	3	0	2	0	321
19	287	2312	14	0	406	1	6	0	0	3026
20	36	15	0	0	138	0	0	5	0	194
21	541	2196	0	0	181	7	0	2	0	2927
22	30	0	1966	0	397	0	0	0	0	2393
23	201	0	0	0	126	0	0	0	170	497
24	44551	10759	2712	90	22015	167	497	171	59	81021
25	0	0	0	0	0	0	0	0	811	811
28	14260	8100	2410	118	18183	110	1045	34	3	44263
point 0	39264	0	0	0	0	0	0	0	0	39264
Total	161403	51016	15691	1325	128196	469	2789	622	1045	362556

Tableau 64 : Baie aux Prunes, répartition pondérale en g des mobiliers par sondages (C. Stouvenot).



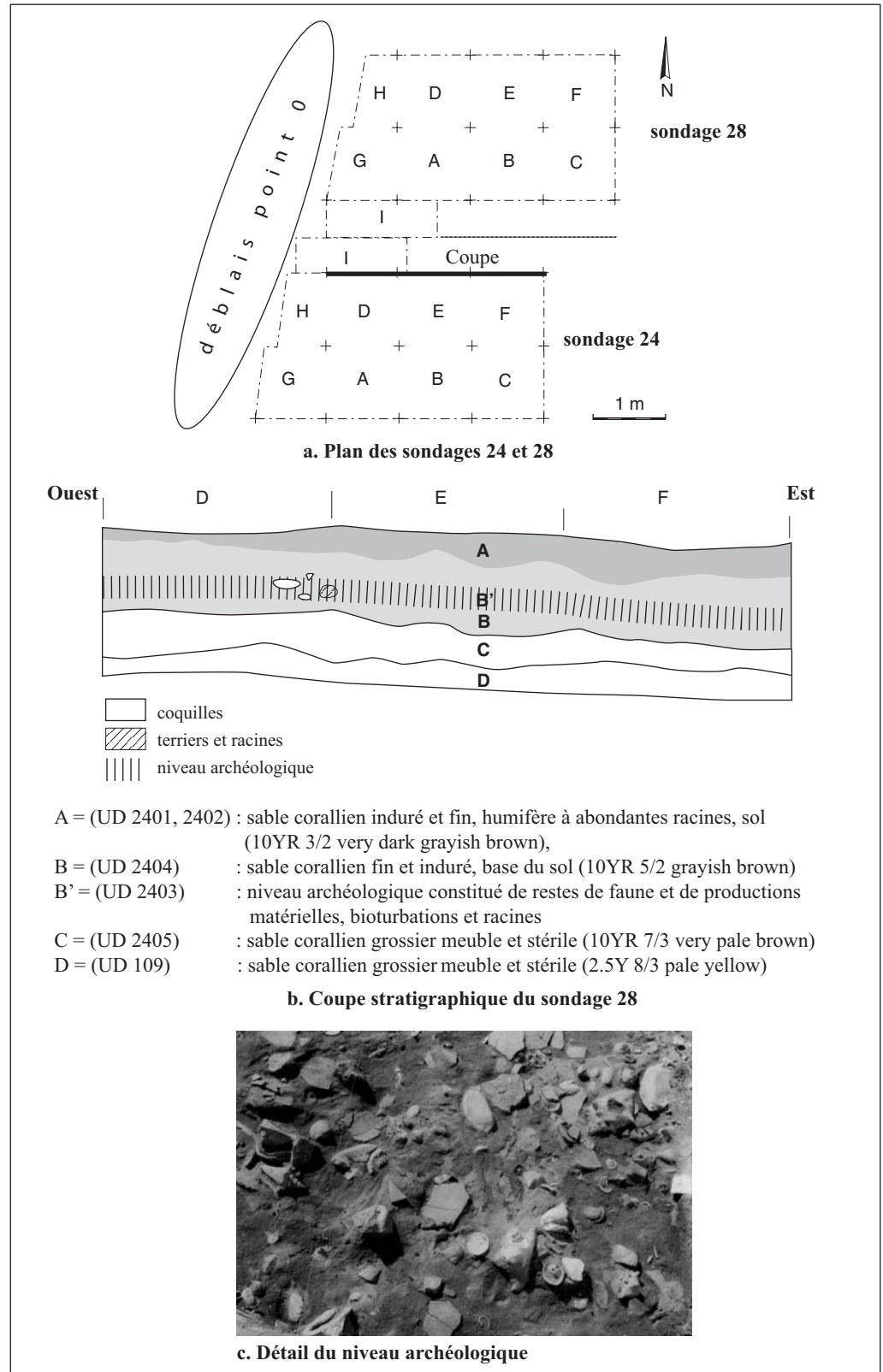


Figure 430 : Baie aux Prunes, relevés et cliché des sondages 24 et 28 (D. Bonnissent).



- 1 : Repérage du trou de poteau en coupe (le niveau de la nappe phréatique est visible)  
 2 : Ouverture du sondage 2, fouille de la fosse et apparition du poteau  
 3 : Vue supérieure de la fosse et du poteau  
 4 : Dégagement du poteau conservé dans sa fosse, la base repose dans l'eau

Figure 431 : Baie aux Prunes, clichés du trou de poteau du sondage 2 (D. Bonnissent).

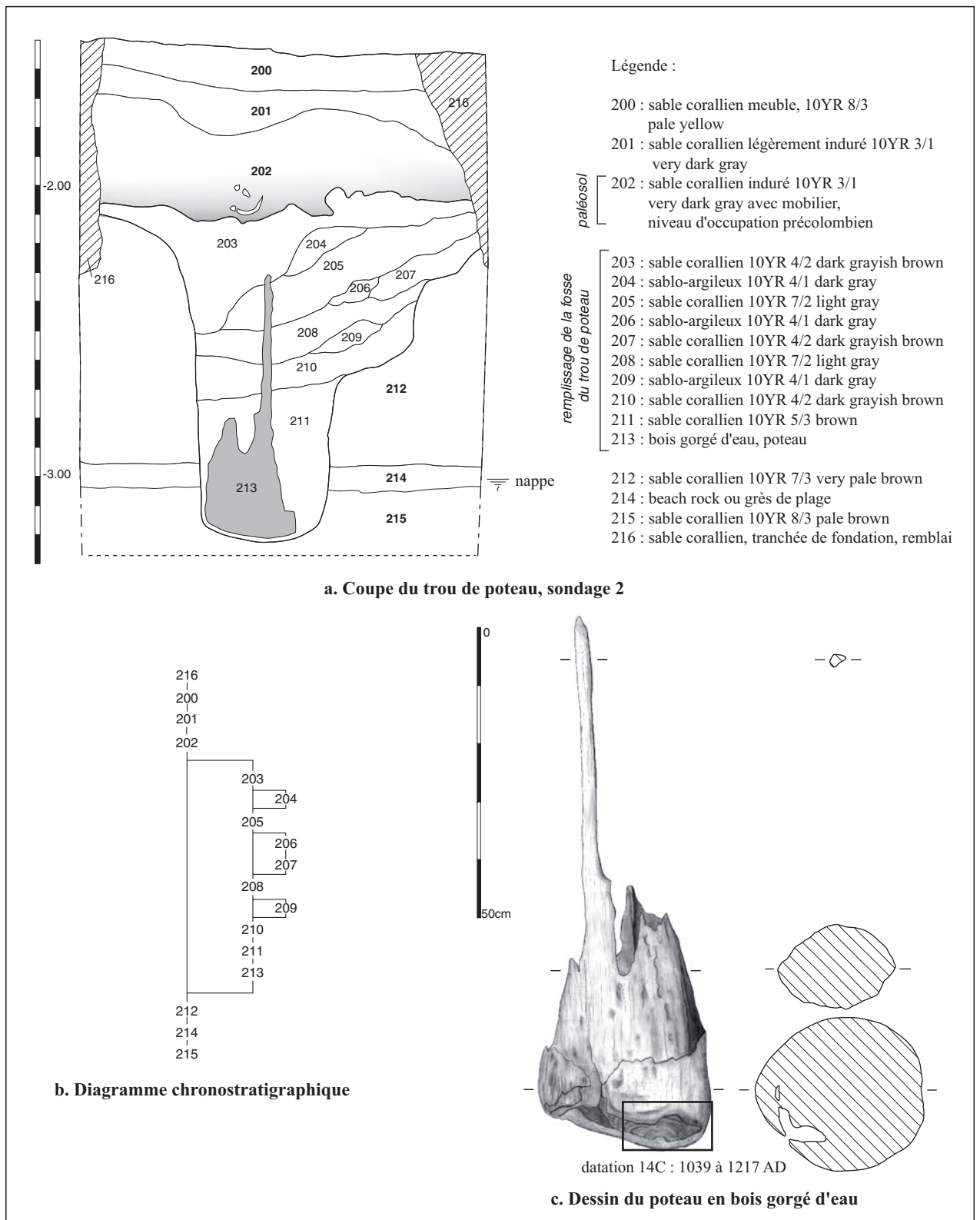


Figure 432 : Baie aux Prunes, relevés du trou de poteau du sondage 2 (D. Bonnissent).

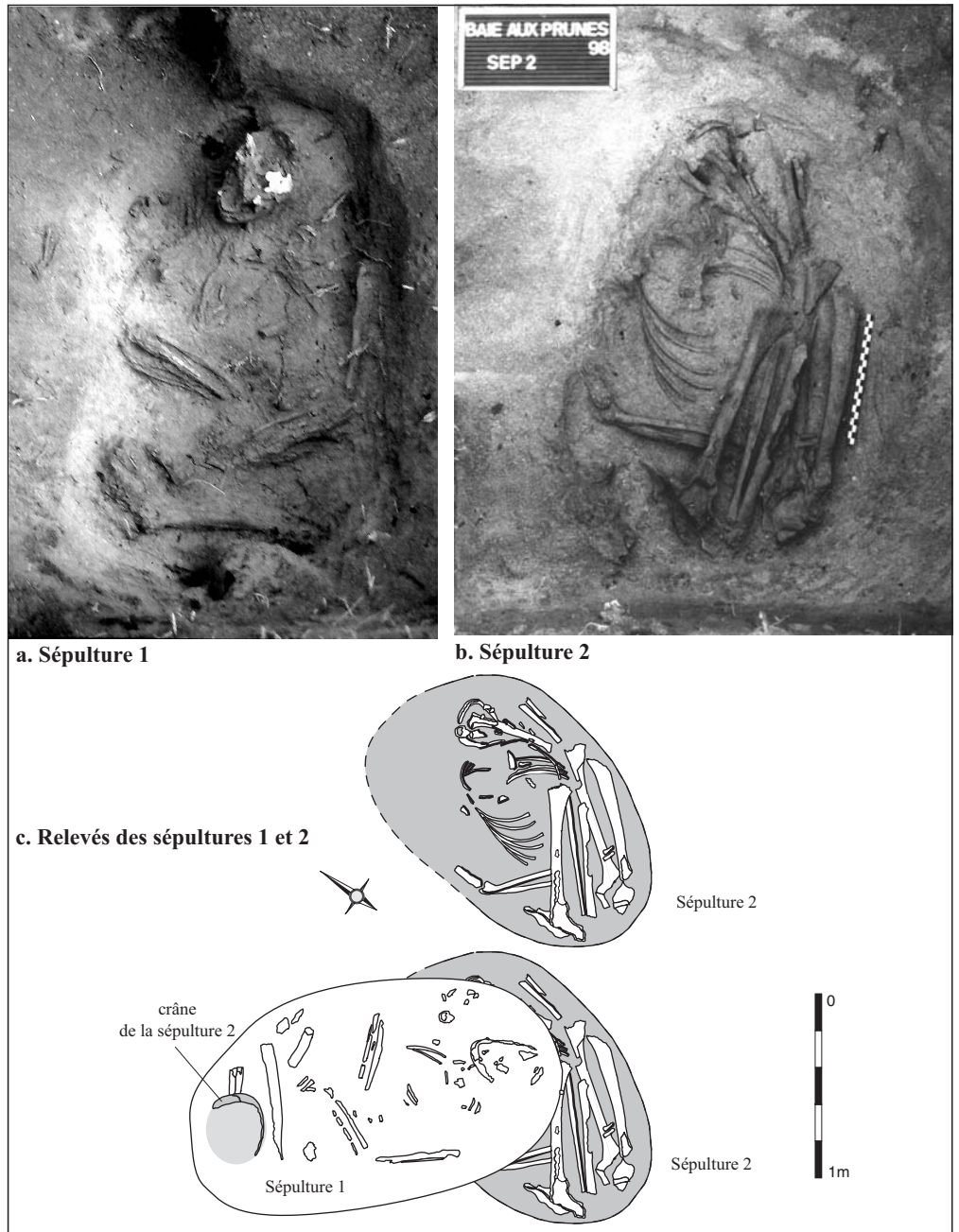


Figure 433 : Baie aux Prunes, sépultures 1 et 2 du sondage 15 (D. Bonnissent).



Figure 434 : Baie aux Prunes, sépulture 3 du sondage 23 (D. Bonnissent).

UD/m <sup>2</sup>	AA	AB	AC	AD	BA	BB	BC	BD	CA	CB	CC	CD	total g	total NR	g/NR
101	225	127	186	343	52	32	162	151	31	0	0	0	1309	117	11,2
102	246	250	219	166	230	228	218	80	51	291	314	387	2680	238	11,3
103	154	208	558	257	234	405	357	84	90	211	505	196	3259	352	9,3
104	1580	4160	2360	4920	3965	3520	3620	2965	6545	828	4735	983	40181	2575	15,6
105	522	542	0	0	754	277	0	0	855	234	0	0	3184	188	16,9
107	352	0	0	0	148	0	0	0	61	0	0	0	561	24	23,4
108	0	0	0	0	16	0	0	0	17	0	0	0	33	3	11
Total	3079	5287	3323	5686	5399	4462	4357	3280	7650	1564	5554	1566	51207	3497	14,6

Tableau 65 : Baie aux Prunes, poids moyen par tesson en g du sondage 1 (D. Bonnissent).

UD/m <sup>2</sup>	A	B	C	D	E	F	G	H	I	total g	total NR	g/NR
2401	104	332	612	38	68	67	0	0	0	1221	73	16,7
2402	158	28	25	182	225	110	0	0	0	728	76	9,6
2403	2795	1645	1100	6215	3440	3225	2640	5560	9010	35630	865	41,2
2404	1075	1080	537	1225	1670	1385	0	0	0	6972	272	25,6
Total	4132	3085	2274	7660	5403	4787	2640	5560	9010	44551	1286	34,6

Tableau 66 : Baie aux Prunes, poids moyen par tesson en g du sondage 24 (D. Bonnissent).

UD/m <sup>2</sup>	A	B	C	D	E	F	G	H	I	total g	total NR	g/NR
2802	200	186	147	120	74	314	0	0	0	1041	75	13,9
2803	4972	1429	633	3015	1117	540	27	36	1450,0	13219	712	18,6
Total	5172	1615	780	3135	1191	854	27	36	1450	14260	787	18,1

Tableau 67 : Baie aux Prunes, poids moyen par tesson en g du sondage 28 (D. Bonnissent).

UD/m <sup>2</sup>	total g	total NR	g/NR
PT0	39264	1933	20,3

Tableau 68 : Baie aux Prunes, poids moyen par tesson en g du point 0 (D. Bonnissent).



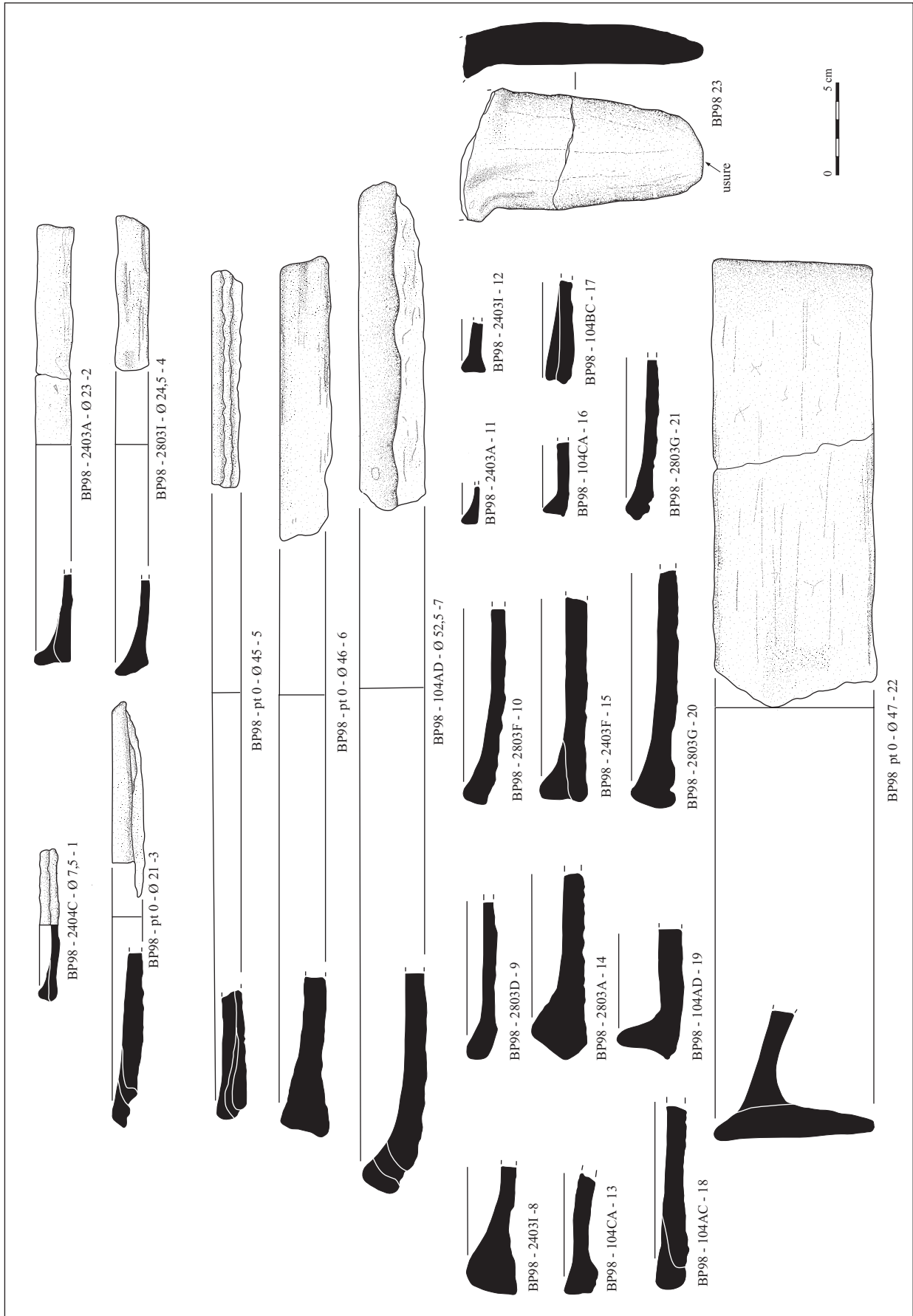


Figure 435 : Baie aux Prunes, les platines (D. Bonnissent, I. Dechanez).

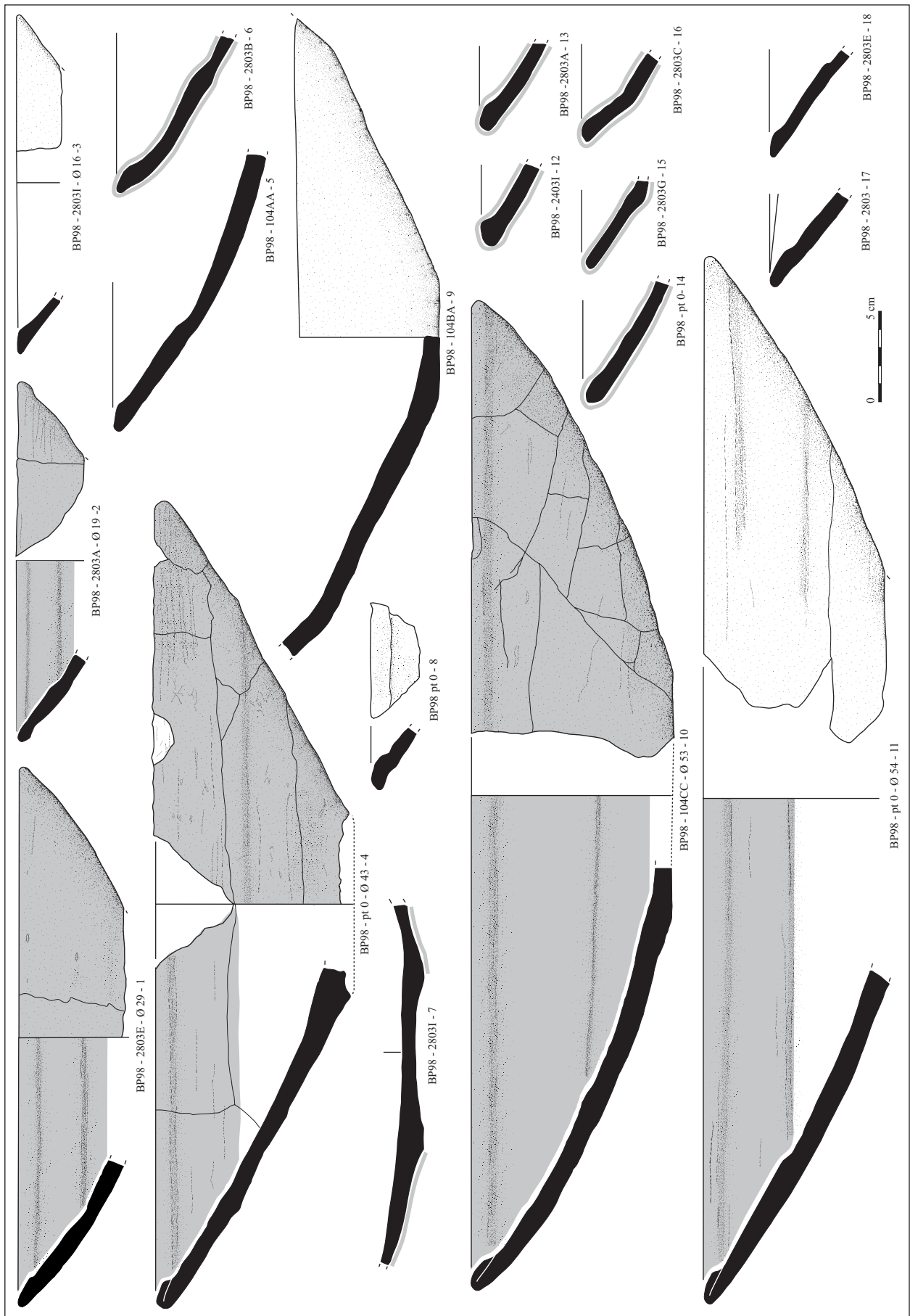


Figure 436 : Baie aux Prunes, les assiettes (D. Bonnissent, I. Dechanez).

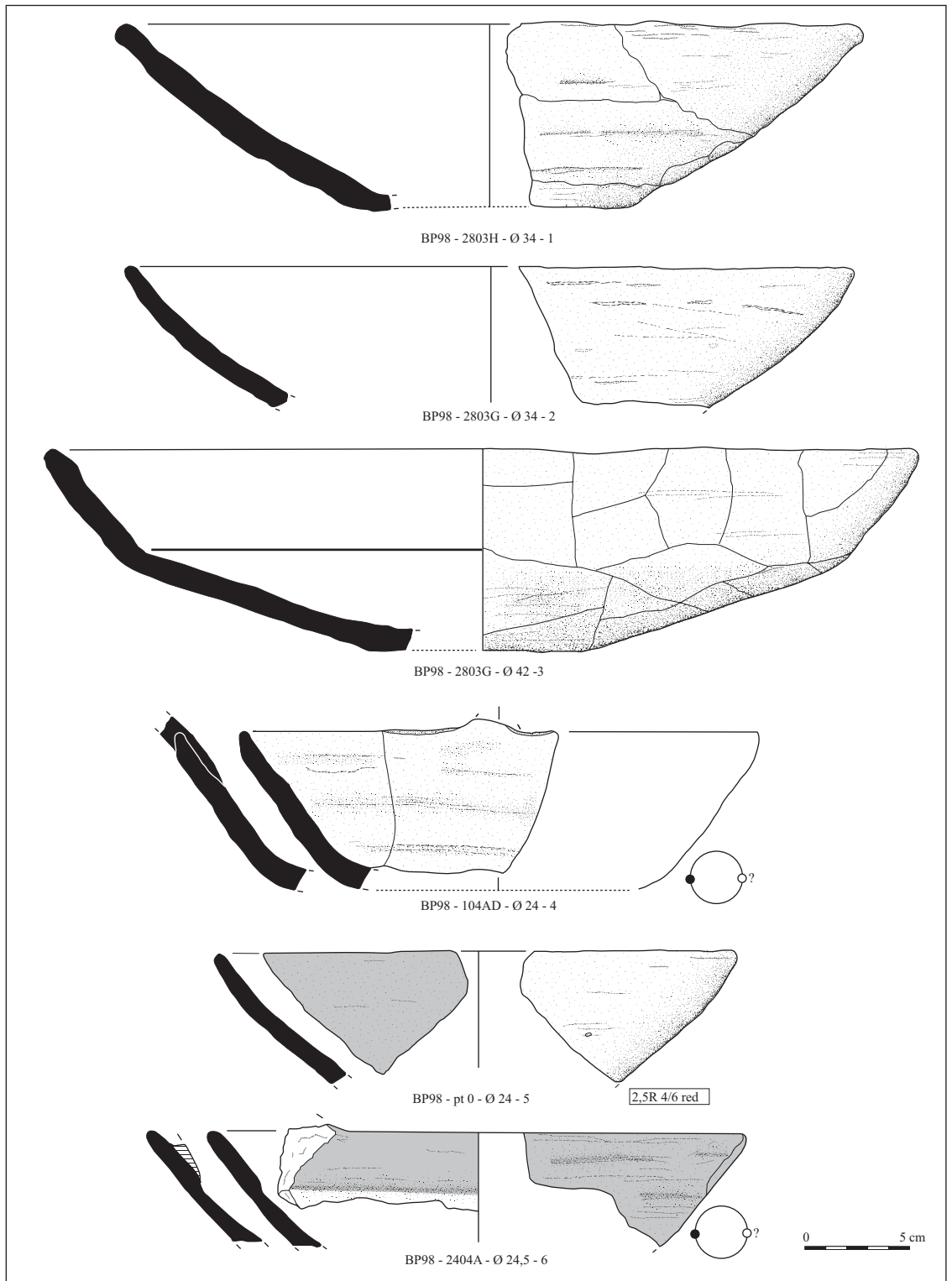


Figure 437 : Baie aux Prunes, 1-3 : assiettes, 4-6 : écuelles (D. Bonnissent, I. Dechanez).

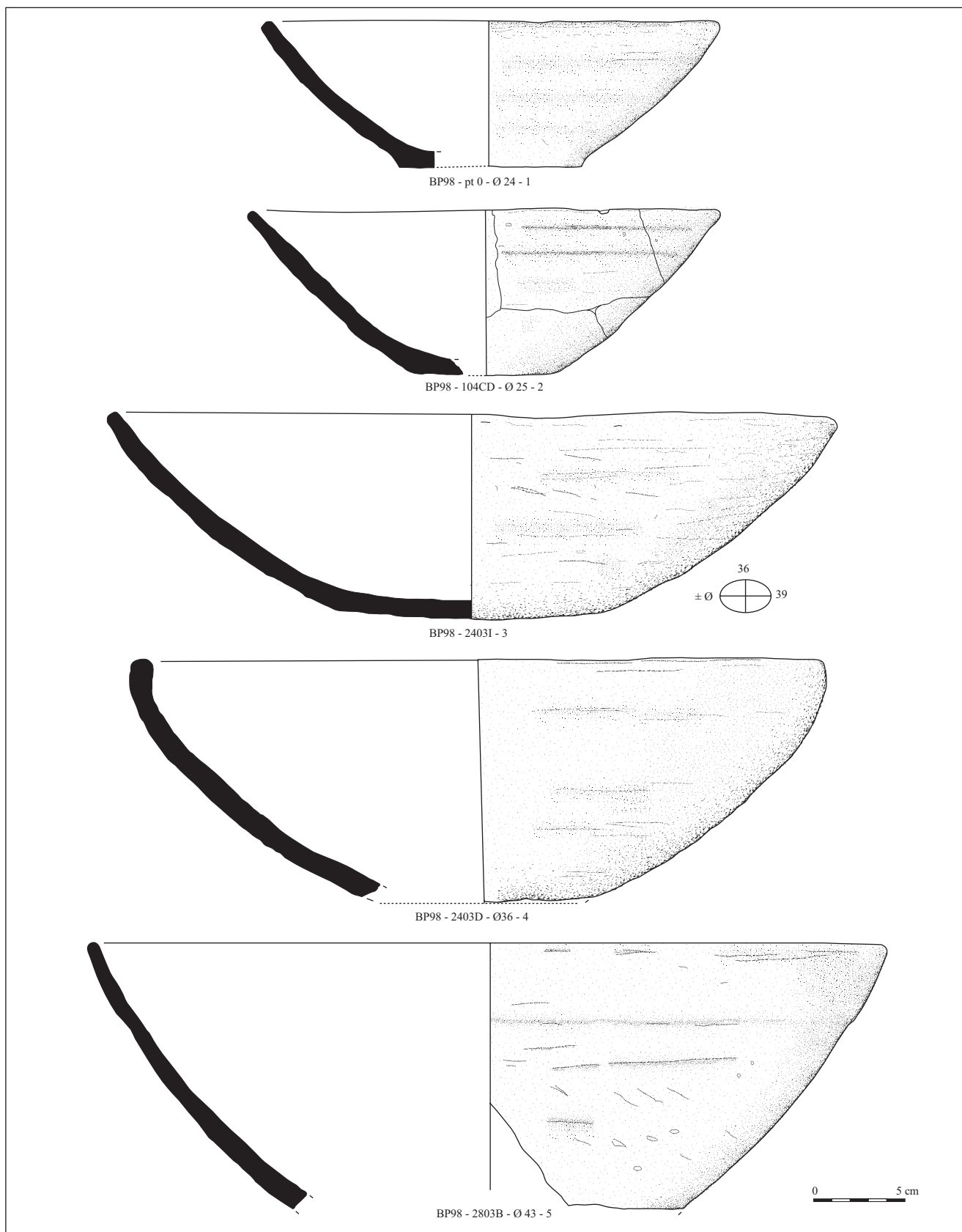


Figure 438 : Baie aux Prunes, les écuelles (D. Bonnissent, I. Dechanez).

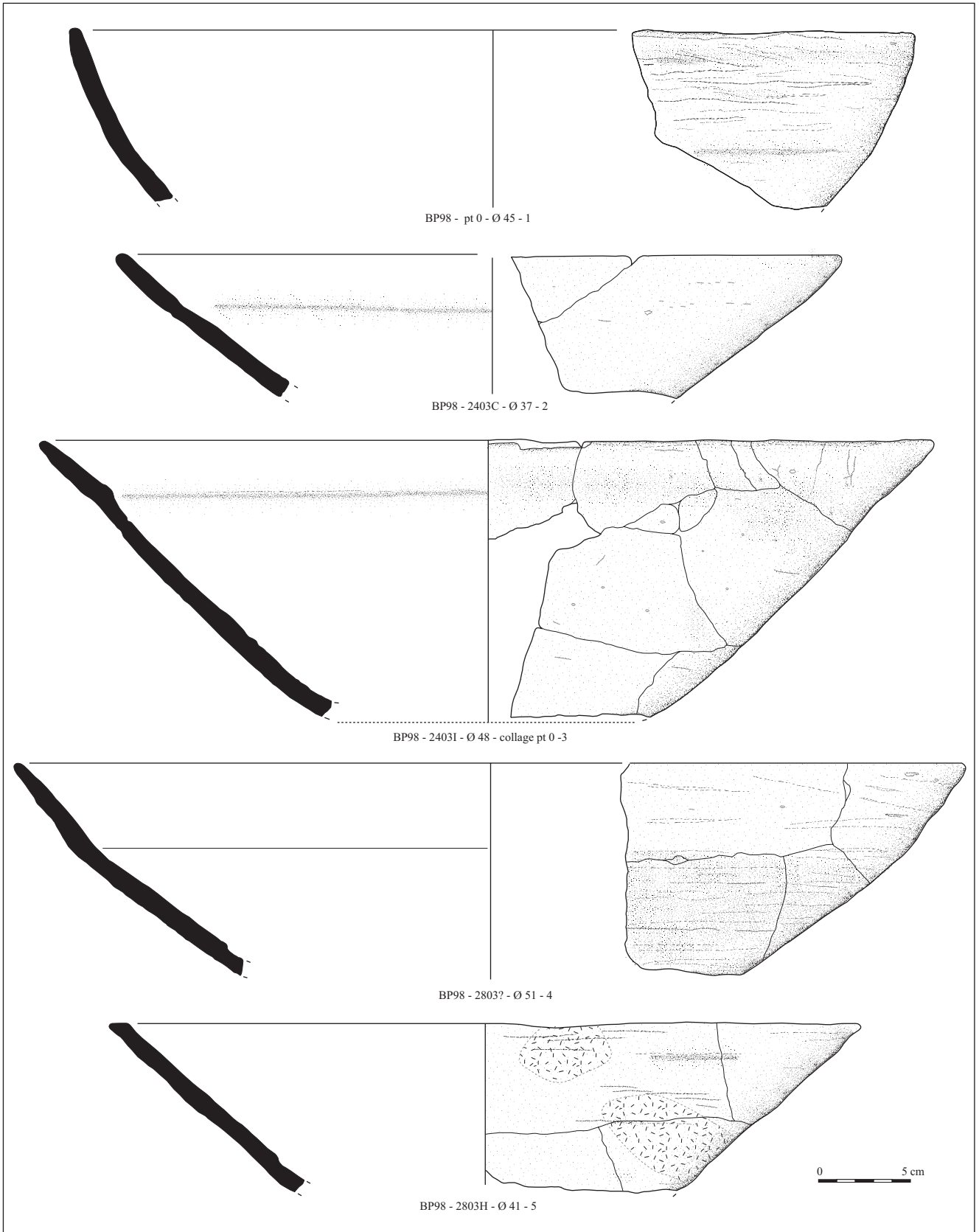


Figure 439 : Baie aux Prunes, les écuelles (D. Bonnissent, I. Dechanez).



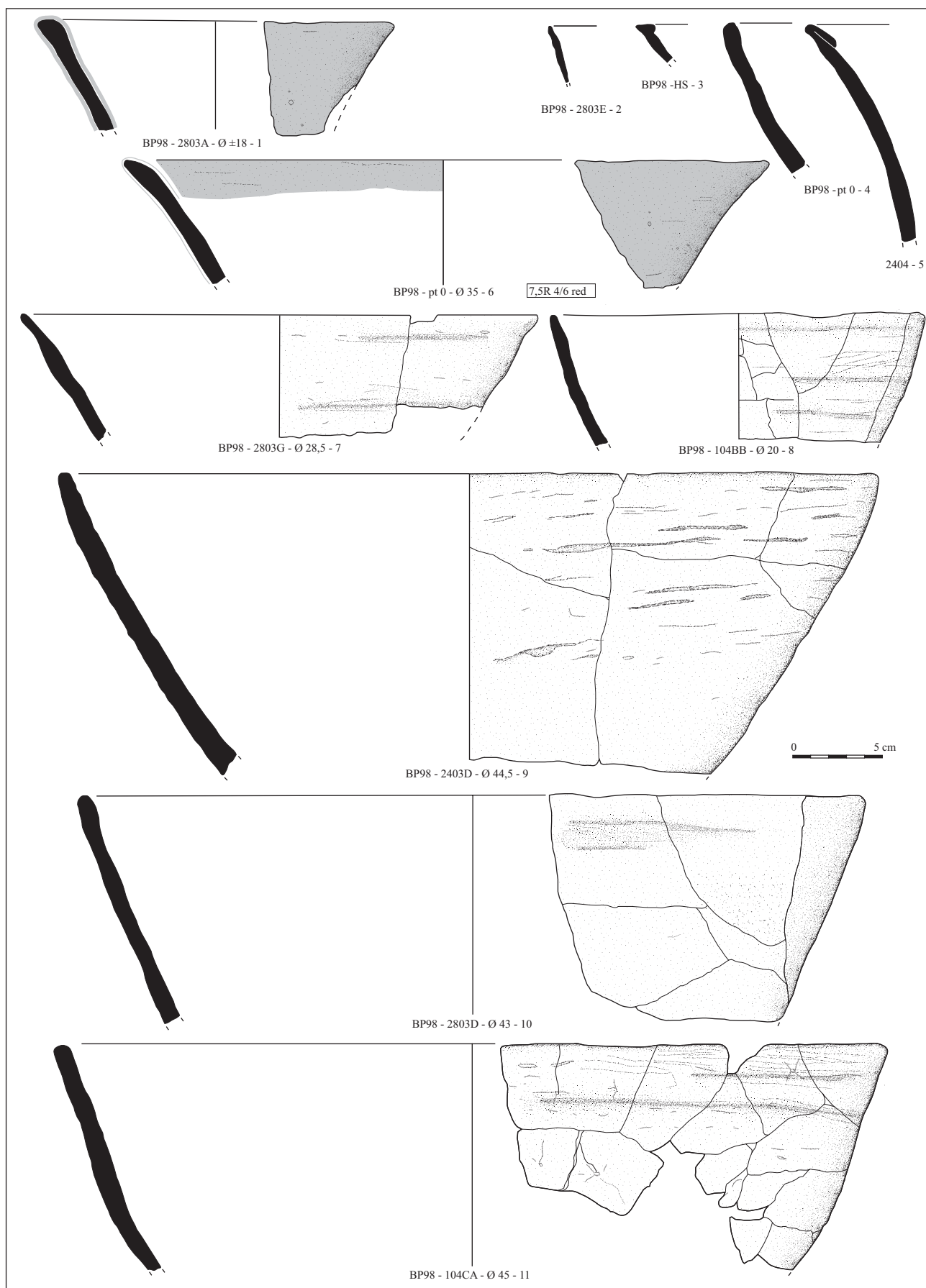


Figure 440 : Baie aux Prunes, les bols (D. Bonnissent, I. Dechanez).

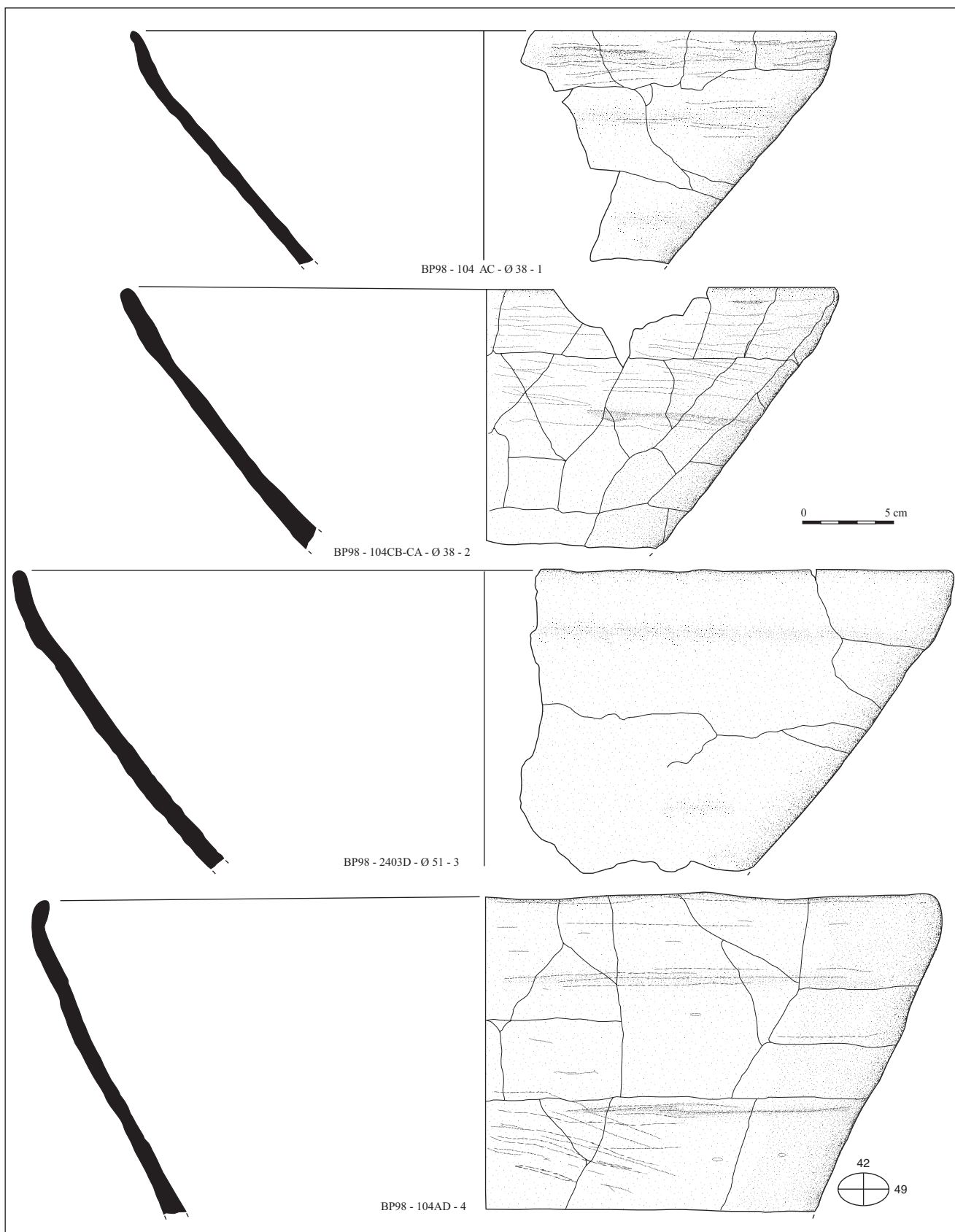


Figure 441 : Baie aux Prunes, les bols (D. Bonnissent, I. Dechanez).

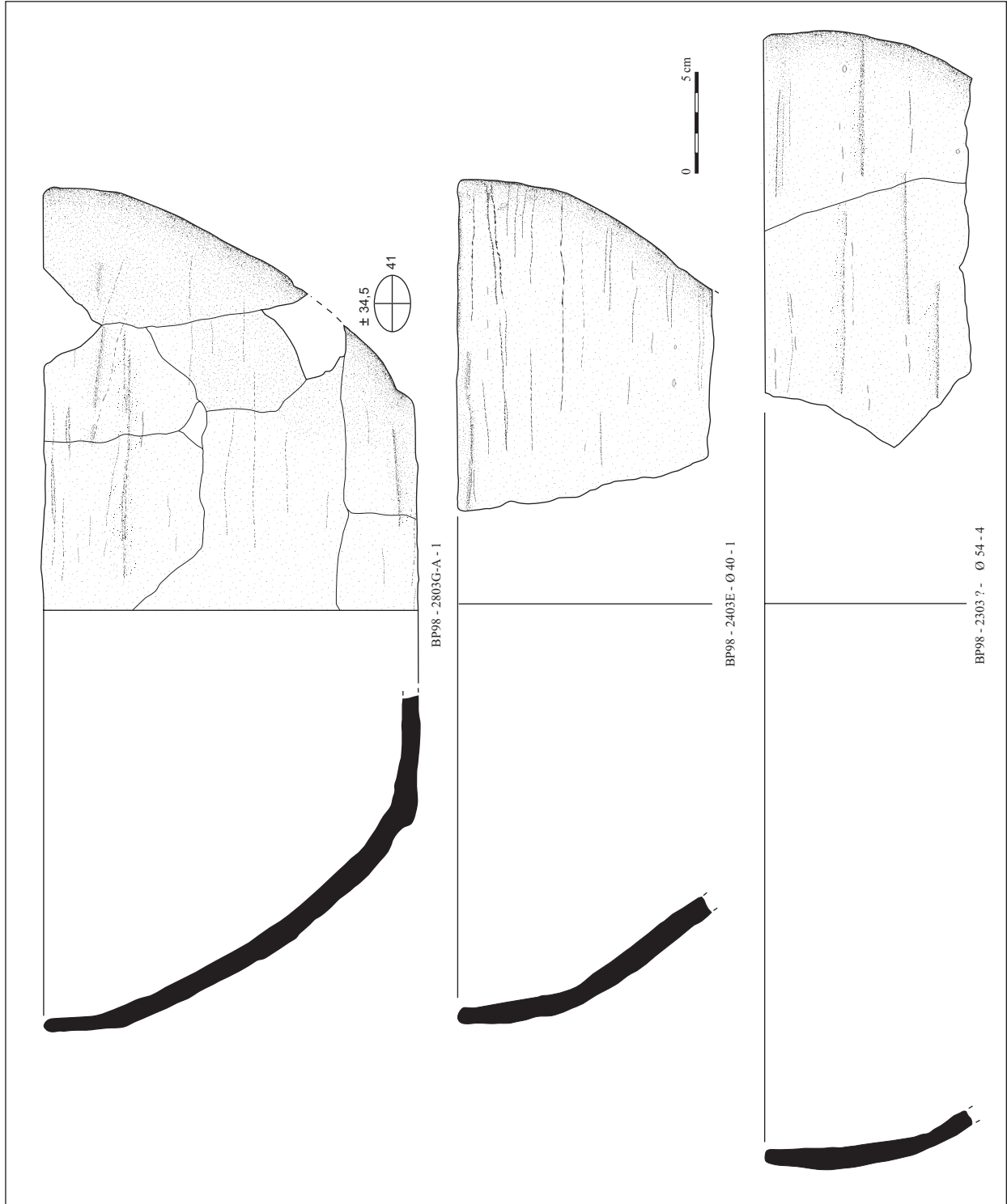


Figure 442 : Baie aux Prunes, les bols (D. Bonnissent, I. Dechanez).

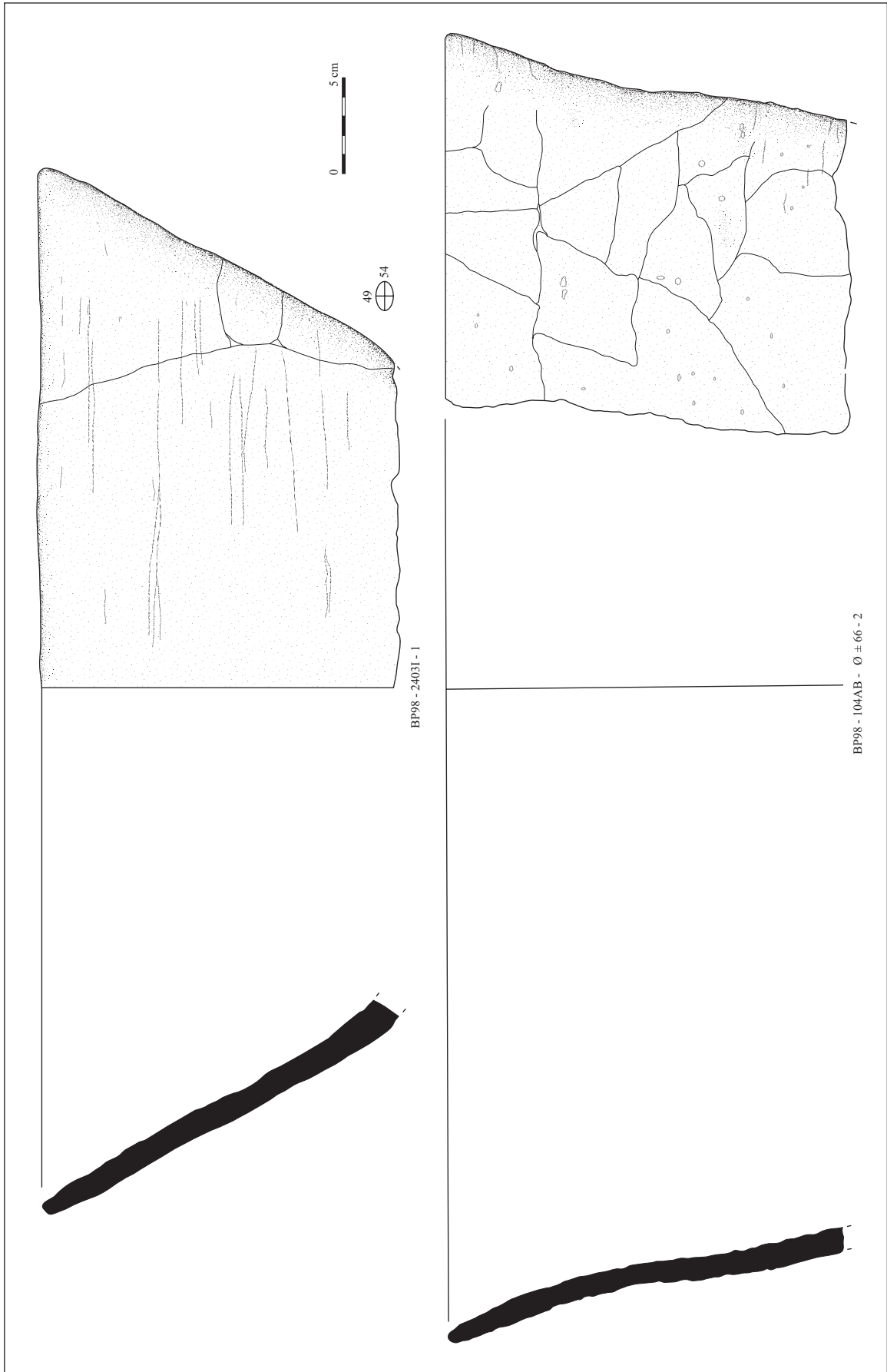


Figure 443 : Baie aux Prunes, les bols (D. Bonnissent, I. Dechanez).

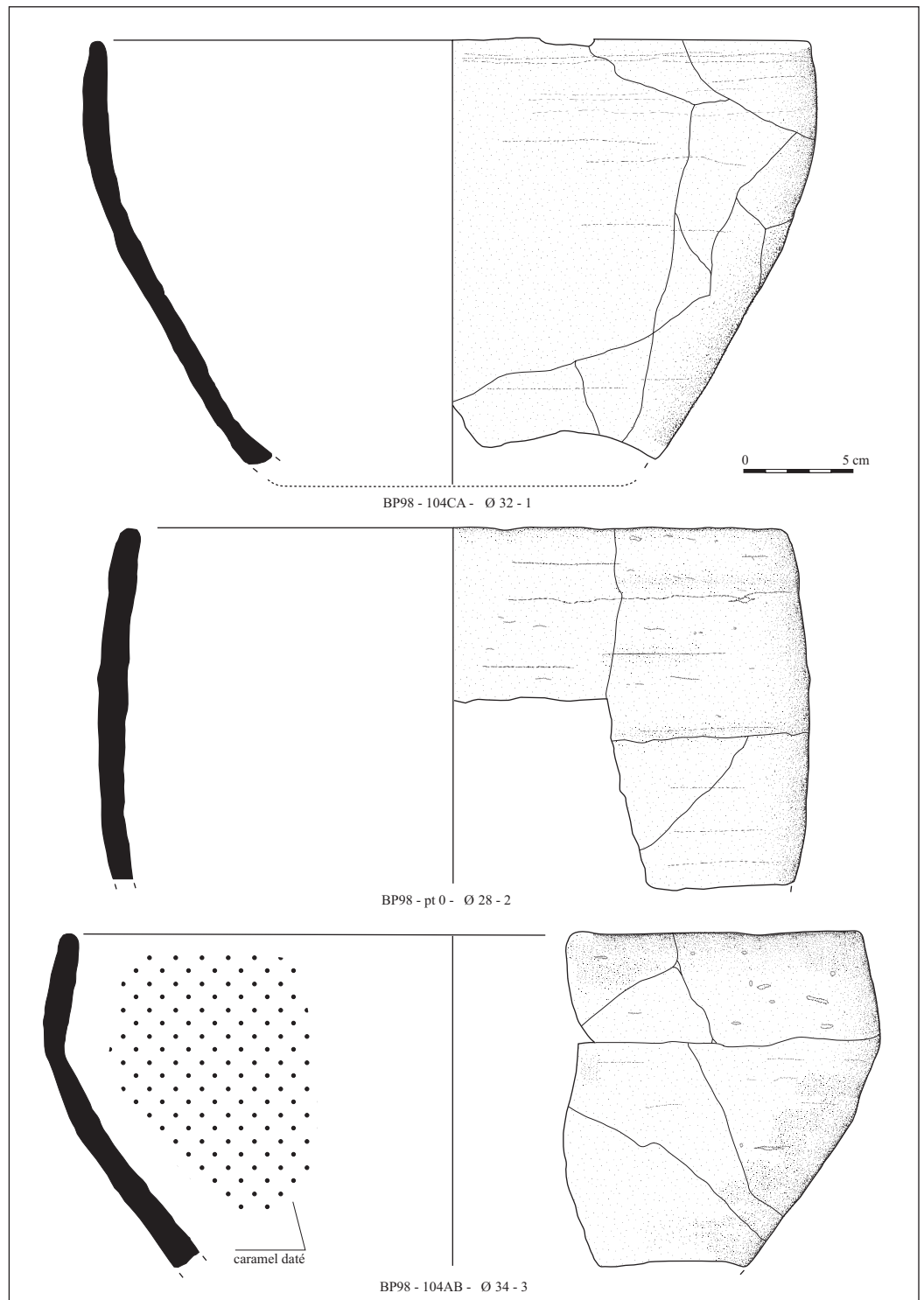


Figure 444 : Baie aux Prunes, 1 : jatte, 2-3 : pots (D. Bonnissent, I. Dechanez).



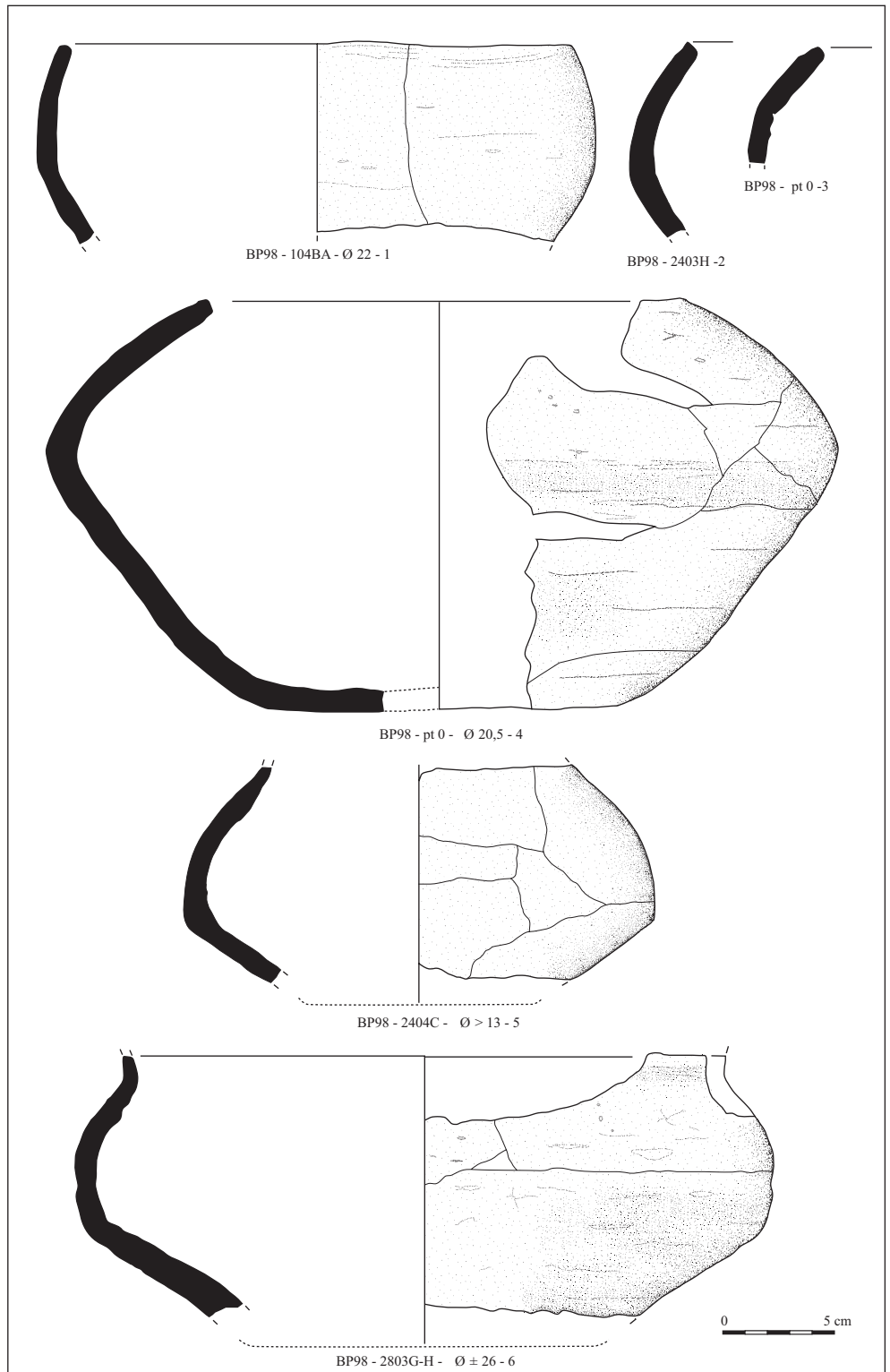


Figure 445 : Baie aux Prunes, les pots (D. Bonnissent, I. Dechanez).

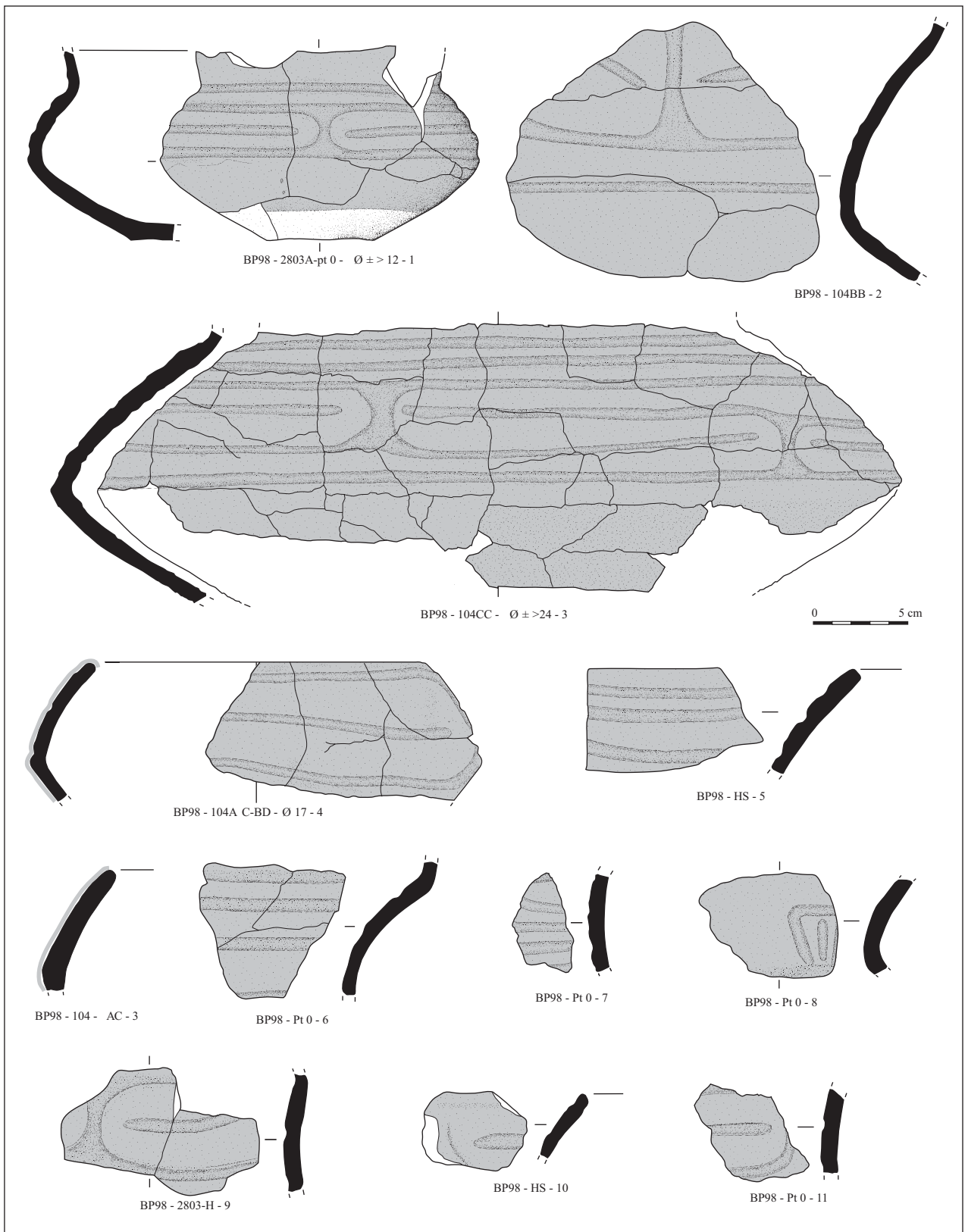


Figure 446 : Baie aux Prunes, les pots décorés (D. Bonnissent, I. Dechanez).

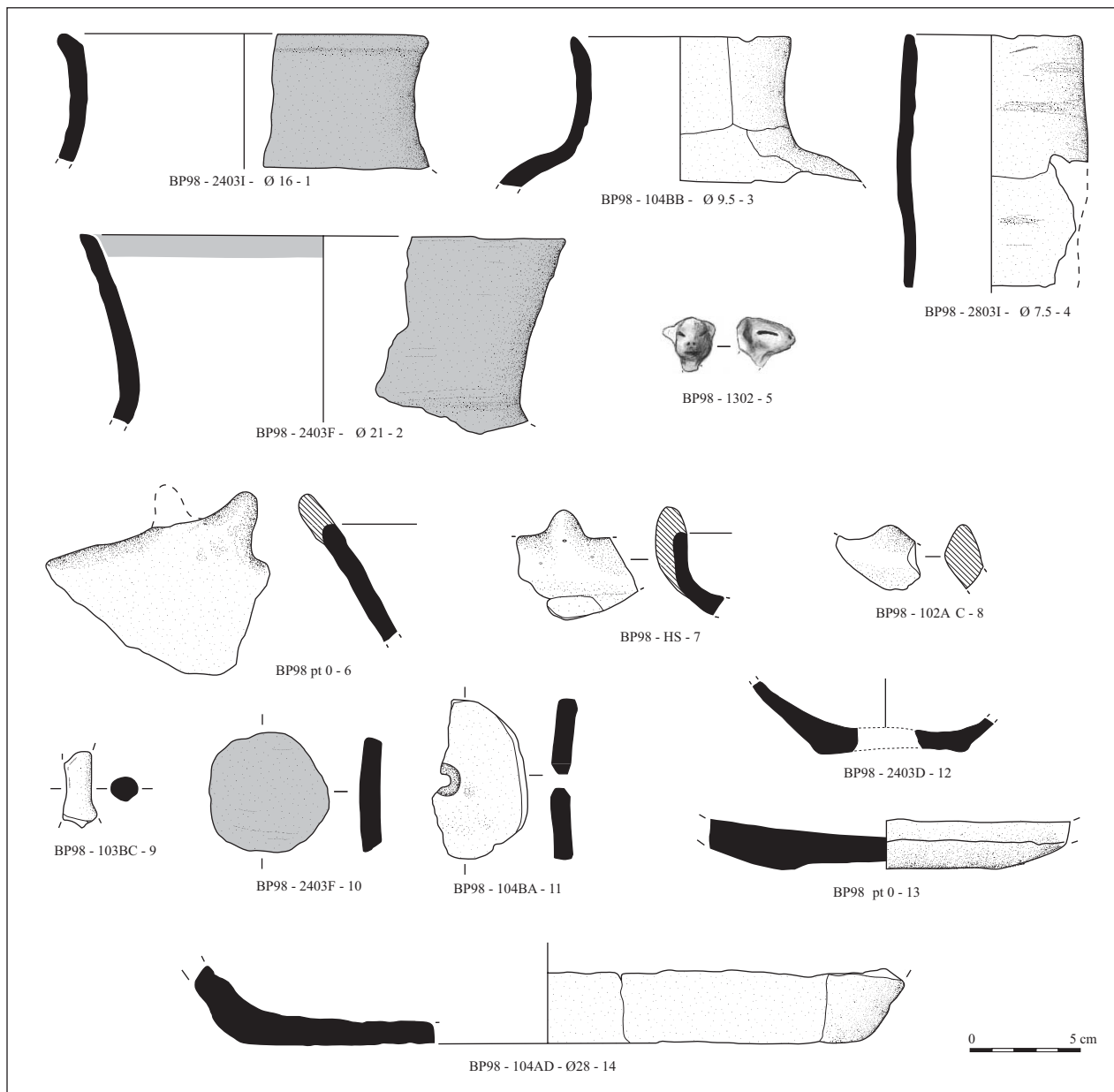


Figure 447 : Baie aux Prunes, 1-4: bouteilles, 5 : adorno, 6-8 : papules, 9 : anse, 10 : tesson découpé, 11 : tesson perforé, 12-14 : fonds (D. Bonnissent, I. Dechanez).

	a	b	c	d
<b>B1</b> renflé à l'intérieur (plié)				
<b>B2</b> marli				
<b>B3</b> renflé à l'intérieur avec marli				
<b>B4</b> droit à méplat				
<b>B5</b> bandeau caréné				
<b>B6</b> droit				
<b>B7</b> ourlé à l'intérieur				
<b>B8</b> platine apode				
<b>B9</b> platine à bandeau				

Figure 448 : Baie aux Prunes, classification des bords de récipients par catégories (D. Bonnissent).

catégorie	S1 NR D	S1 NR ND	S1 NR	S24 NR D	S24 NR ND	S24 NR	S28 NR D	S28 NR ND	S28 NR	total NR D	total NR ND	Total NR
Bord 1	11	3	14	0	2	2	0	2	2	11	7	18
Bord 2	0	2	2	3	11	14	2	0	2	5	13	18
Bord 3	9	4	13	3	1	4	7	0	7	19	5	24
Bord 4	0	10	10	7	15	22	0	2	2	7	27	34
Bord 5	0	0	0	0	16	16	0	10	10	0	26	26
Bord 6	13	213	226	6	96	102	0	81	81	19	390	409
Bord 7	0	0	0	1	0	1	2	1	3	3	1	4
Bord 8	0	17	17	0	18	18	0	14	14	0	49	49
Bord 9	0	0	0	0	0	0	0	0	0	0	0	0
Total	33	249	282	20	159	179	11	110	121	64	518	582

Tableau 69 : Baie aux Prunes, répartition des bords en NR par catégories pour les sondages 1, 24 et 28 (D. Bonnissent).

légende

S : sondage

NR : nombre de restes

D : décoré

ND : non décoré

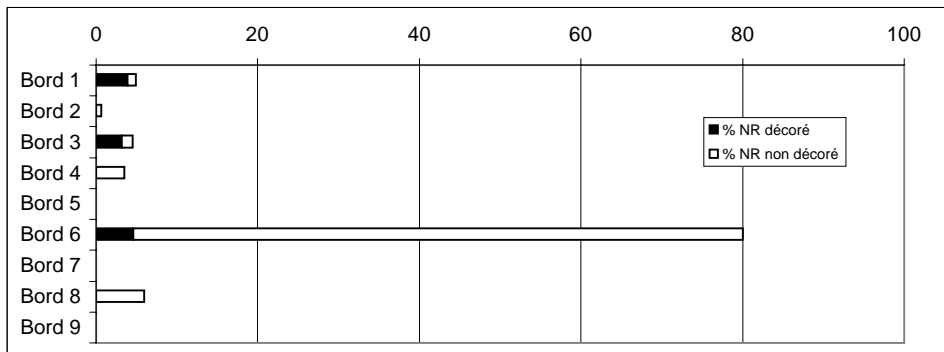


Figure 449 : Baie aux Prunes, répartition des bords par catégories du sondage 1, échantillon n = 282 (D. Bonnissent).

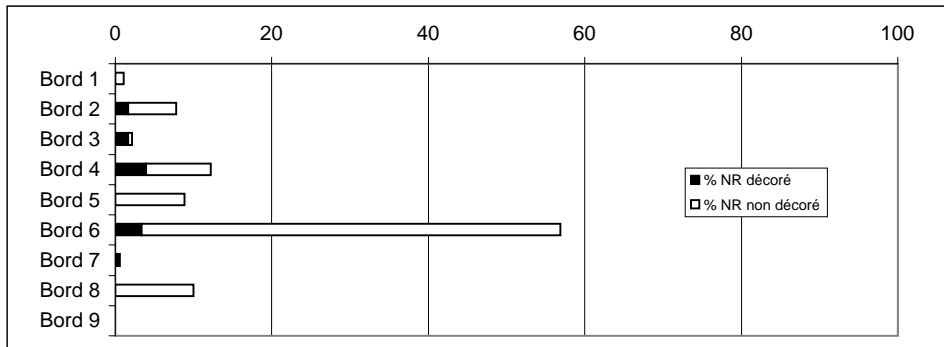


Figure 450 : Baie aux Prunes, répartition des bords par catégories du sondage 24, échantillon n = 179 (D. Bonnissent).

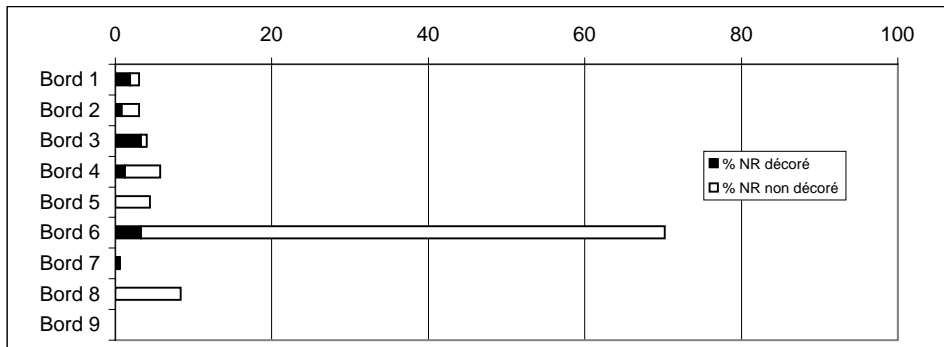


Figure 451 : Baie aux Prunes, répartition des bords par catégories du sondage 28, échantillon n = 121 (D. Bonnissent).

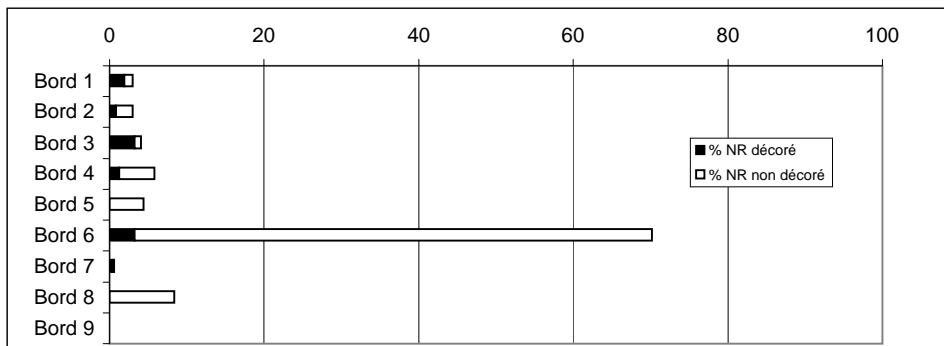


Figure 452 : Baie aux Prunes, répartition des bords par catégories pour les sondage 1, 24, 28, échantillon n = 582 (D. Bonnissent).

UD / m <sup>2</sup>	SURFACE							ID			IND			Total			NMI		
	ind	lis	lis/frot	lis/br	br/poli	col/poli	col/pol/can	NR	NB	FO	FF	FI	FO	FF	FI	FO		FF	FI
104 AA	28	0	0	49	37	4	0	118	14	0	0	1	2	1	5	2	1	6	9
104 AB	44	0	0	47	106	8	0	205	15	0	0	1	3	1	6	3	1	7	11
104 AC	50	1	0	20	159	8	6	244	31	1	1	2	4	0	11	5	1	13	19
104 AD	51	4	0	6	124	7	1	193	30	0	0	0	6	0	10	6	0	10	16
104 BA	73	1	0	71	137	19	1	302	28	0	1	1	2	1	10	2	2	11	15
104 BB	68	1	15	5	139	5	4	237	33	1	0	0	5	1	9	6	1	9	16
104 BC	46	4	0	171	6	18	0	245	27	3	0	0	3	0	11	6	0	11	17
104BD	33	0	0	66	0	15	6	120	13	5	1	0	0	0	2	5	1	2	8
104CA	84	4	0	284	0	11	2	385	37	2	0	0	6	1	10	8	1	10	19
104CB	41	0	0	85	0	0	0	126	10	0	0	0	1	0	3	1	0	3	4
104CC	48	3	0	164	0	29	51	295	25	0	1	0	2	0	12	2	1	12	15
104CD	36	0	0	58	6	5	0	105	19	0	0	0	5	0	9	5	0	9	14
Total	602	18	15	1026	714	129	71	2575	282	12	4	5	39	5	98	51	9	103	163

Tableau 70 : Baie aux Prunes, quantification de la population de récipients de l'unité dépotoir du sondage 1 (D. Bonnissent).

UD / m <sup>2</sup>	SURFACE							ID			IND			Total			NMI		
	ind	lis	lis/frot	lis/br	br/poli	col/poli	col/pol/can	NR	NB	FO	FF	FI	FO	FF	FI	FO		FF	FI
2401A	3	0	1	2	0	0	0	6	0	0	0	0	0	0	0	0	0	0	0
2401B	0	0	6	11	0	1	0	18	2	0	0	1	1	0	0	1	0	1	2
2401C	0	0	1	22	0	0	0	23	3	0	0	0	0	0	3	0	0	3	3
2401D	1	0	0	2	0	0	0	3	0	0	0	0	0	0	0	0	0	0	0
2401E	2	0	0	9	0	0	0	11	0	0	0	0	0	0	0	0	0	0	0
2401F	5	0	0	7	0	0	0	12	0	0	0	0	0	0	0	0	0	0	0
sous-total 2401	11	0	8	53	0	1	0	73	5	0	0	1	1	0	3	1	0	4	5
2402A	0	0	0	15	0	0	0	15	0	0	0	0	0	0	0	0	0	0	0
2402B	1	0	0	6	0	0	0	7	0	0	0	0	0	0	0	0	0	0	0
2402C	2	0	0	3	0	0	0	5	0	0	0	0	0	0	0	0	0	0	0
2402D	4	0	0	15	0	0	0	19	1	0	0	0	0	1	0	0	1	1	1
2402E	1	0	0	17	0	0	0	18	1	0	0	0	0	1	0	0	1	1	1
2402F	5	0	0	7	0	0	0	12	0	0	0	0	0	0	0	0	0	0	0
sous-total 2402	13	0	0	63	0	0	0	76	2	0	0	0	0	2	0	0	2	2	2
2403A	19	10	0	70	10	0	0	109	19	0	0	0	3	0	8	3	0	8	11
2403B	7	0	0	44	1	1	0	53	6	0	0	0	1	0	5	1	0	5	6
2403C	1	0	0	27	2	0	0	30	7	0	0	0	1	0	3	1	0	3	4
2403D	39	2	0	105	0	3	0	149	20	0	1	4	0	9	4	0	10	14	14
2403E	22	0	0	95	0	2	0	119	17	1	0	0	6	0	6	7	0	6	13
2403F	45	0	0	60	11	3	0	119	15	1	2	6	1	1	0	2	3	6	11
2403G	0	0	6	5	41	6	0	58	7	1	0	0	1	0	4	2	0	4	6
2403H	15	0	13	14	59	3	0	104	17	0	0	1	2	12	1	2	12	15	15
2403I	16	2	0	88	9	9	0	124	30	1	1	3	9	0	10	1	3	14	14
sous-total 2403	164	14	19	508	133	27	0	865	138	4	3	10	27	3	47	31	6	57	94
2404A	18	0	2	1	23	4	0	48	9	0	0	2	1	0	4	1	0	6	7
2404B	5	0	3	1	26	2	0	37	1	0	0	0	0	1	0	0	1	1	1
2404C	6	0	2	1	25	0	0	34	1	0	0	0	1	0	0	1	0	0	1
2404D	2	0	2	1	16	1	0	22	9	1	0	0	1	0	6	2	0	6	8
2404E	18	0	0	8	40	0	1	67	8	0	0	1	0	7	1	0	7	8	8
2404F	25	0	5	5	27	2	0	64	6	0	0	0	3	0	2	3	0	2	5
sous-total 2404	74	0	14	17	157	9	1	272	34	1	0	2	7	0	20	8	0	22	30
Total	262	14	41	641	290	37	1	1286	179	5	3	13	35	3	72	40	6	85	131

Tableau 71 : Baie aux Prunes, quantification de la population de récipients du sondage 24 (D. Bonnissent).

UD / m <sup>2</sup>	SURFACE							ID			IND			Total			NMI		
	ind	lis	lis/frot	lis/br	br/poli	col/poli	col/pol/can	NR	NB	FO	FF	FI	FO	FF	FI	FO		FF	FI
2802A	3	0	0	13	0	0	0	16	2	0	0	0	0	0	2	0	0	2	2
2802B	1	0	0	11	0	1	0	13	3	1	0	0	0	0	2	1	0	2	3
2802C	3	0	0	9	0	0	0	12	1	0	0	0	0	1	0	0	0	1	1
2802D	3	0	0	7	0	0	0	10	1	0	0	0	0	1	0	0	1	1	1
2802E	4	0	0	5	0	0	0	9	0	0	0	0	0	0	0	0	0	0	0
2802F	3	0	0	9	0	2	1	15	0	0	0	0	0	0	0	0	0	0	0
sous-total 2802	17	0	0	54	0	3	1	75	7	1	0	0	0	0	6	1	0	6	7
2803A	62	2	0	117	0	5	6	192	17	4	1	0	1	0	11	5	1	11	17
2803B	7	0	0	31	0	1	0	39	8	1	0	0	1	0	4	2	0	4	6
2803C	10	0	0	29	0	5	0	44	7	1	0	0	0	5	1	0	5	6	6
2803D	12	5	0	55	0	0	0	72	12	0	0	0	3	0	6	3	0	6	9
2803E	23	1	0	21	0	4	0	49	5	3	0	0	1	0	0	4	0	0	4
2803F	2	0	0	7	0	1	0	10	1	0	0	0	1	0	0	1	0	0	1
2803G	38	9	0	127	0	9	5	188	39	2	1	0	11	0	6	13	1	6	20
2803H	6	1	0	66	0	2	0	75	19	0	0	0	3	0	4	3	0	4	7
2803I	5	0	0	34	0	4	0	43	6	0	0	0	3	1	2	3	1	2	6
sous-total 2803	165	18	0	487	0	31	11	712	114	11	2	0	24	1	38	35	3	38	76
Total	182	18	0	541	0	34	12	787	121	12	2	0	24	1	44	36	3	44	83

Tableau 72 : Baie aux Prunes, quantification de la population de récipients des unités dépotoirs 2802 et 2803 du sondage 28 (D. Bonnissent).



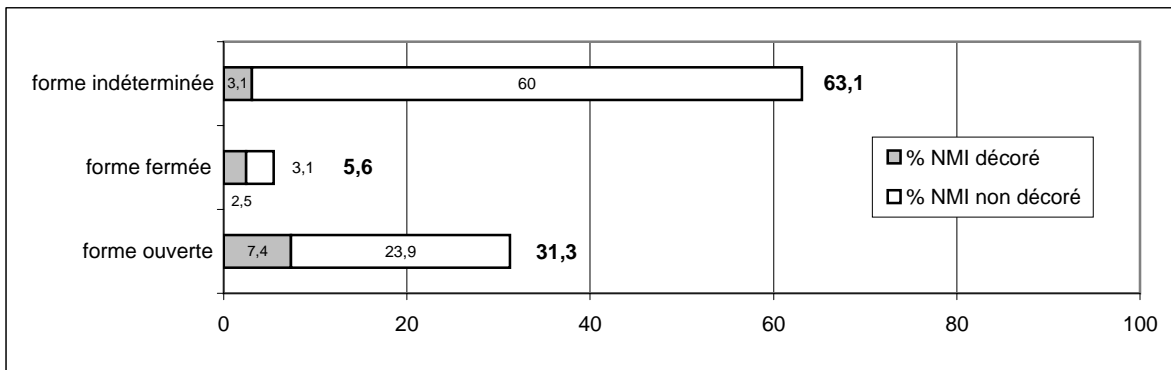


Figure 453 : Baie aux Prunes, répartition du NMI par catégories de formes pour le sondage 1, échantillon n = 163 (D. Bonnissent).

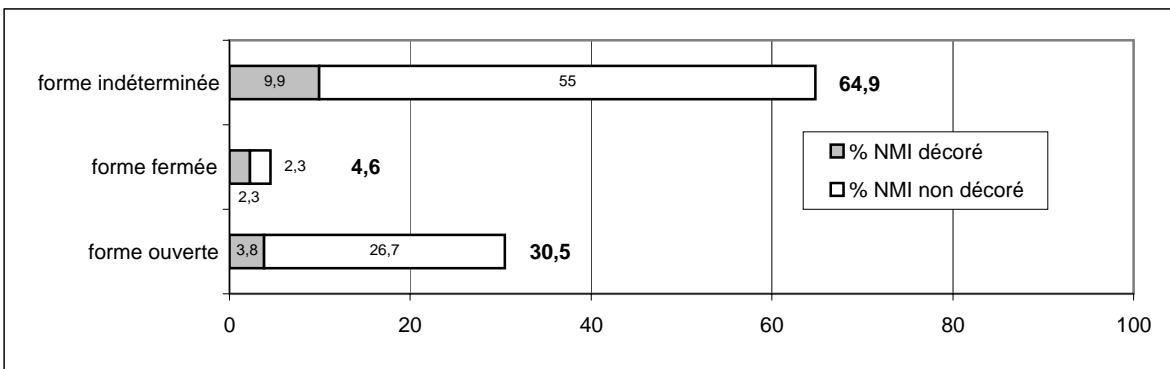


Figure 454 : Baie aux Prunes, répartition du NMI par catégories de formes pour le sondage 24, échantillon n = 131 (D. Bonnissent).

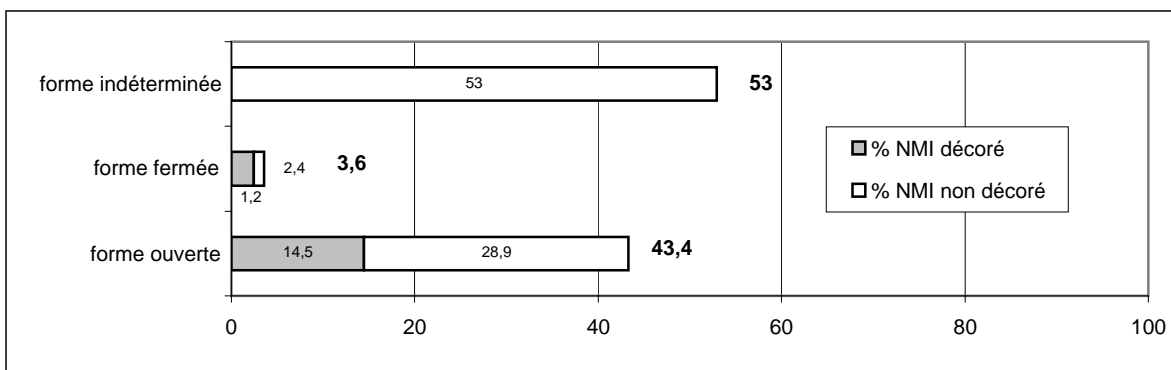


Figure 455 : Baie aux Prunes, répartition du NMI par catégories de formes pour le sondage 28, échantillon n = 131 (D. Bonnissent).

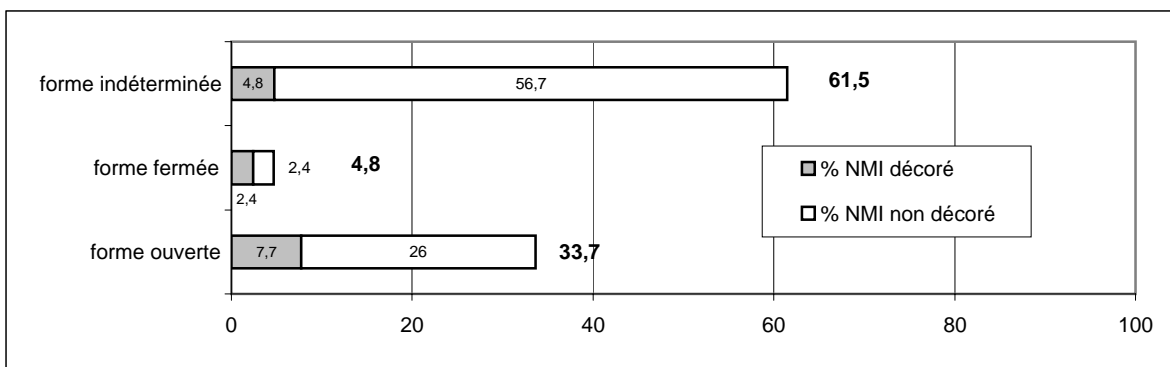


Figure 456 : Baie aux Prunes, répartition du NMI par catégories de formes pour les sondages 1, 24, 28, échantillon n = 377 (D. Bonnissent).

famille	NMI décoré			NMI non décoré			NMI total
	S1	S24	S28	S1	S24	S28	
platine	0	0	0	11	12	8	31
assiette	1	1	4	11	3	3	23
écuelle	1	1	2	2	2	4	12
bol	0	1	0	8	7	12	28
pot	3	2	2	3	1	0	11
bouteille	0	1	0	2	0	1	4
tesson utilisé	0	1	0	0	0	0	1
tesson perforé	0	0	0	1	0	0	1
total	5	7	8	38	25	28	111

Tableau 73 : Baie aux Prunes, répartition du NMI par familles de formes (D. Bonnissent).

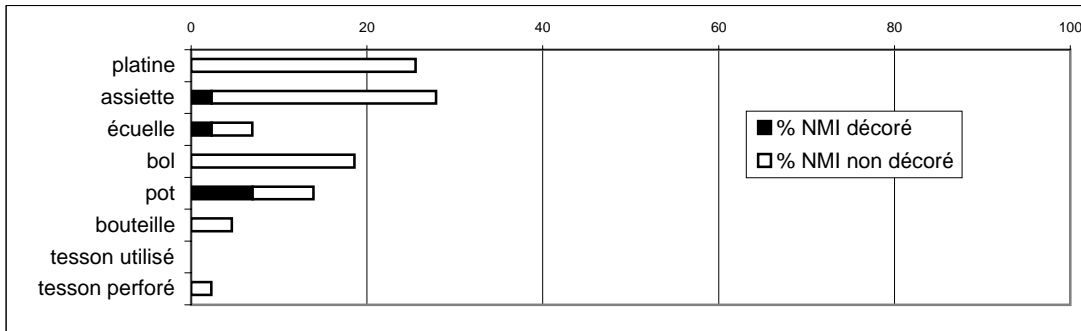


Figure 457 : Baie aux Prunes, répartition du NMI par familles de formes pour le sondage 1, échantillon n = 43 (D. Bonnissent).

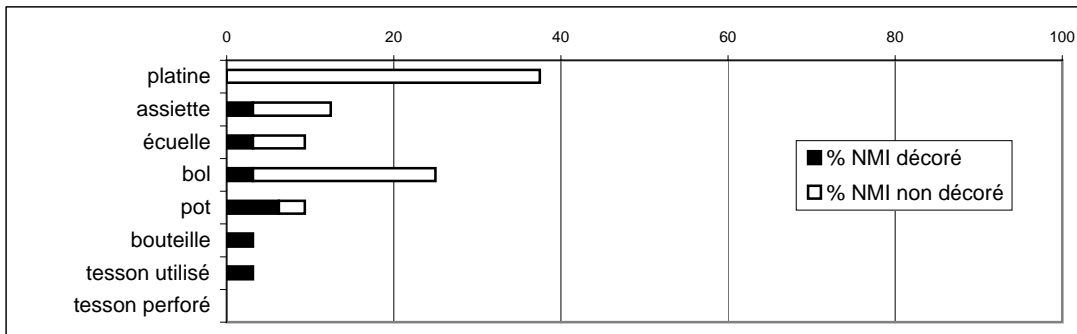


Figure 458 : Baie aux Prunes, répartition du NMI par familles de formes pour le sondage 24, échantillon n = 32 (D. Bonnissent).

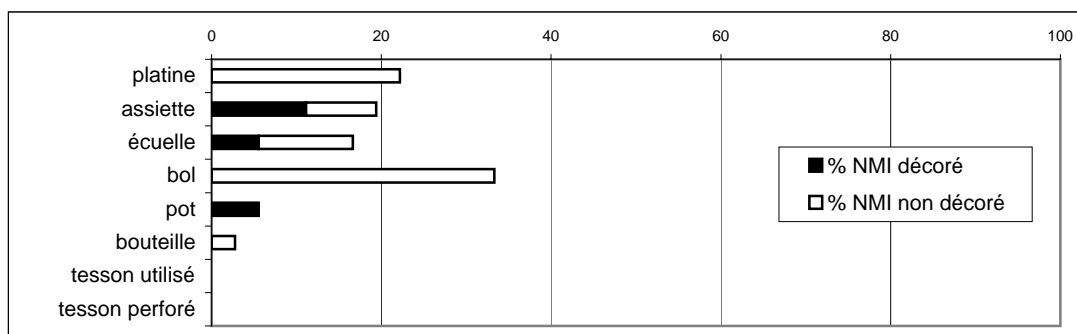


Figure 459 : Baie aux Prunes, répartition du NMI par familles de formes pour le sondage 28, échantillon n = 36 (D. Bonnissent).

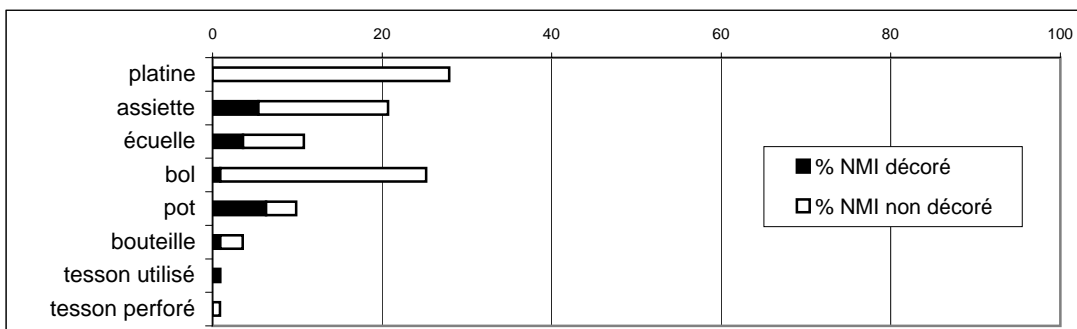


Figure 460 : Baie aux Prunes, répartition du NMI par familles de formes pour les sondages 1, 24 et 28 échantillon n = 111 (D. Bonnissent).

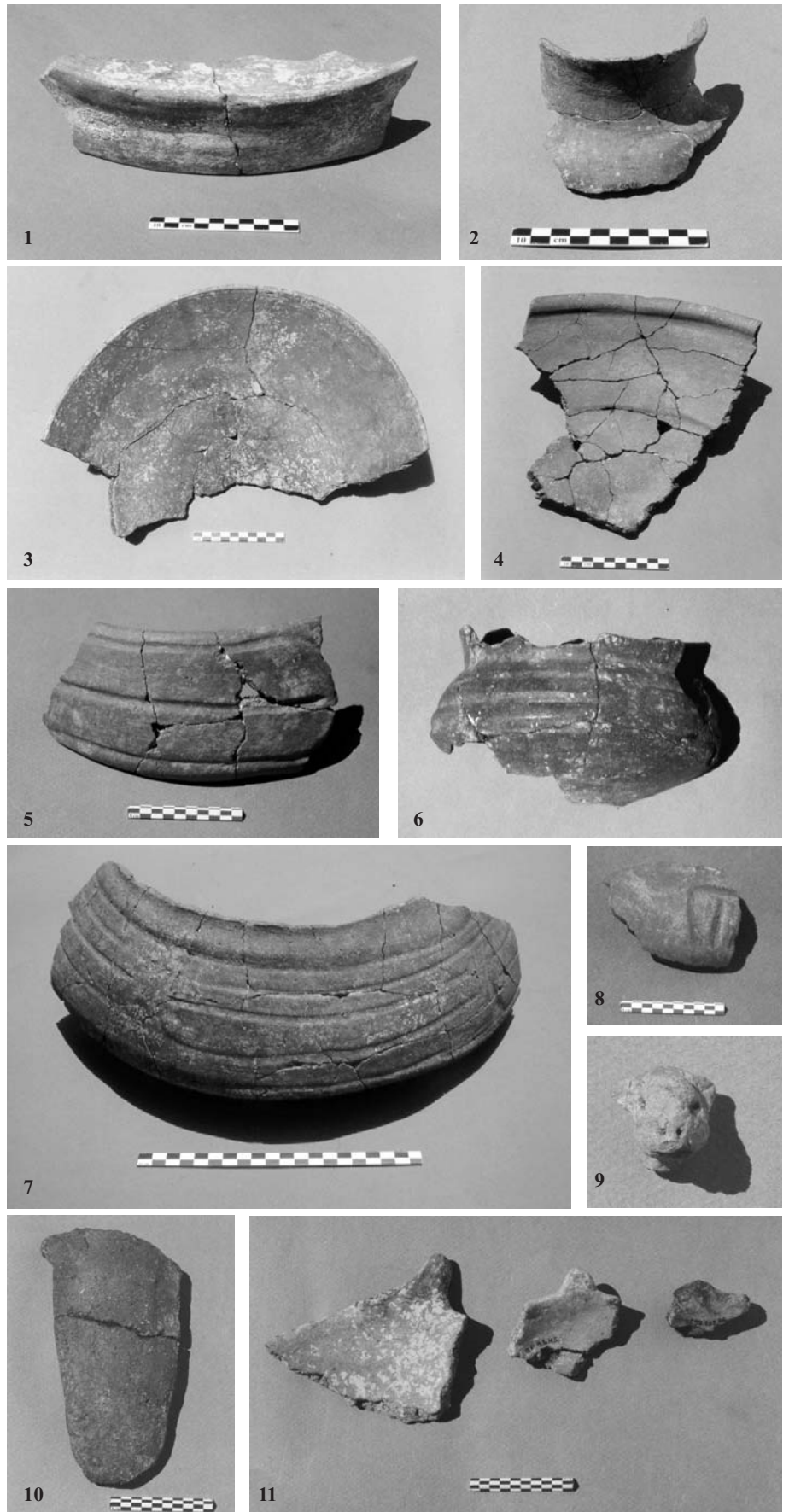


Figure 461 : Baie aux Prunes, 1 : platine à bandeau, 2 : bouteille, 3 : écuelle, 4 : assiette, 5 à 8 : pots à cannelures engobés en rouge, 9 : adorno zoomorphe à tête d'agouti, 10 : pied de platine, 11 : décors modelés (D. Bonnissent).

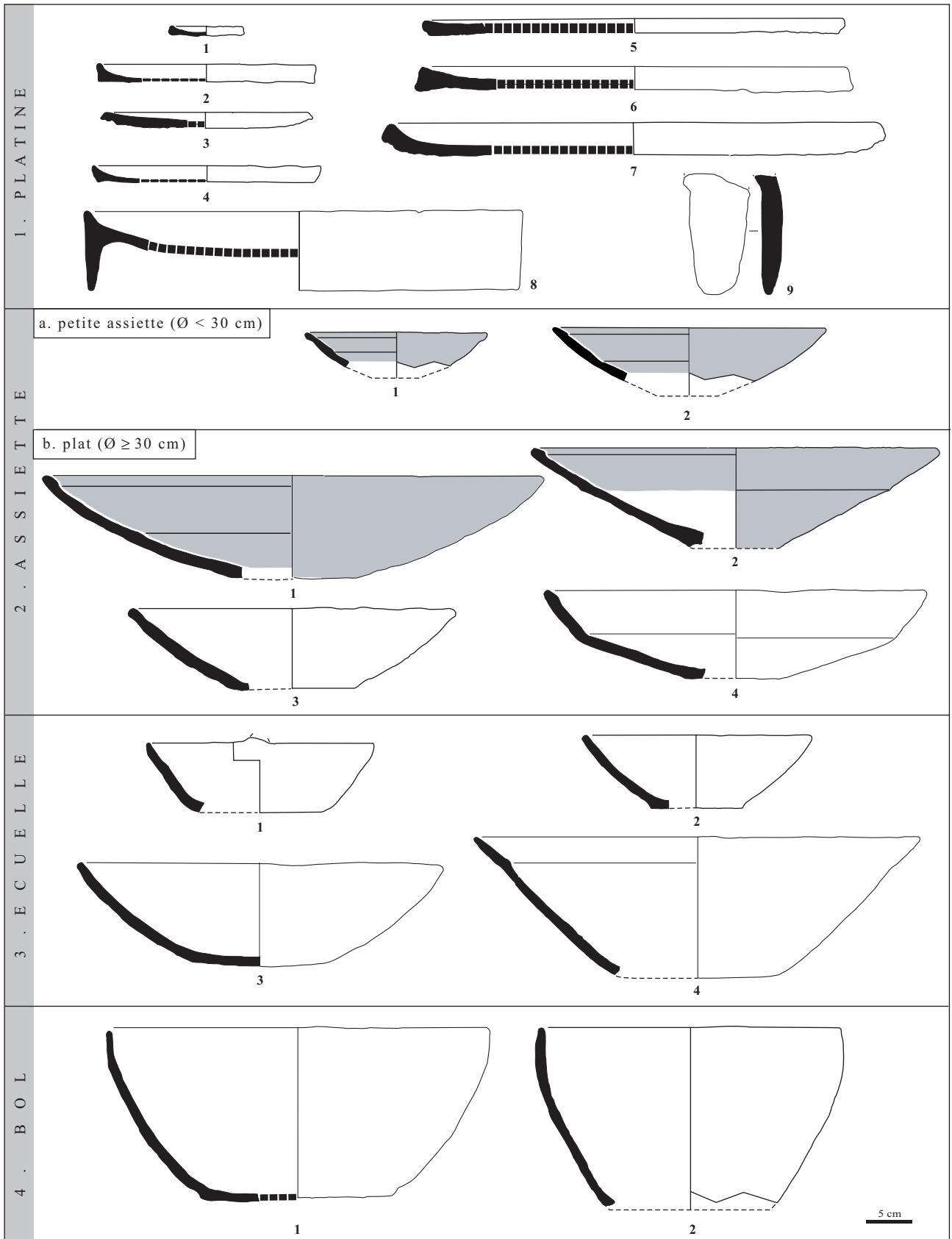


Figure 462 : Baie aux Prunes, typologie du stade 2 du Néolithique récent (D. Bonnissent).

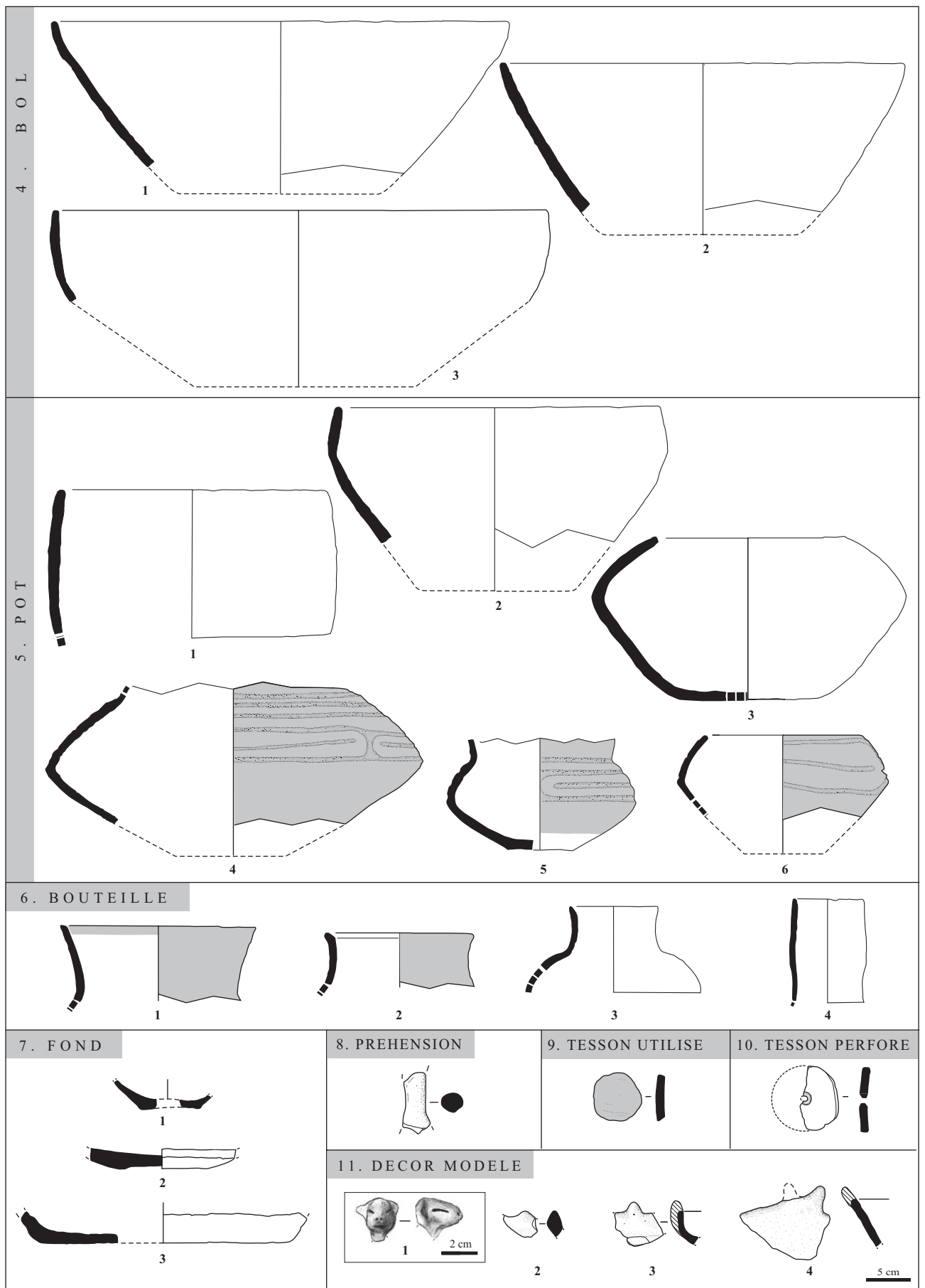


Figure 463 : Baie aux Prunes, typologie du stade 2 du Néoindien récent (D. Bonnissent).

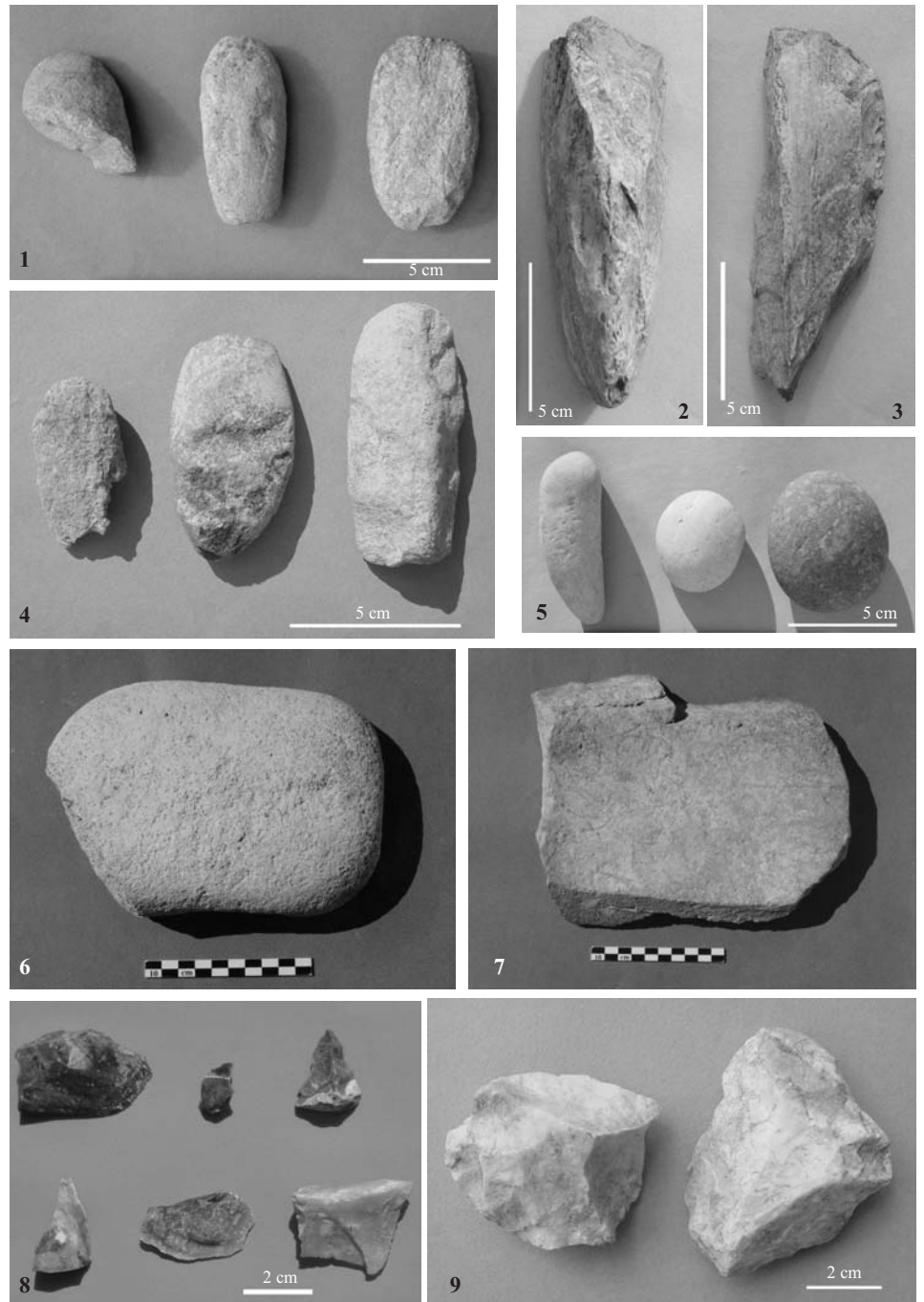


Figure 464 : Baie aux Prunes, productions lithiques du stade 2 du Néolithique récent. 1-4 : lames de haches et ébauches sur chert-tuffite, 5 : galets polis, 6 : molette sur beach rock, 7 : meule ou polissoir sur grès, 8 : silex, 9 : calcédoine (D. Bonnissent).

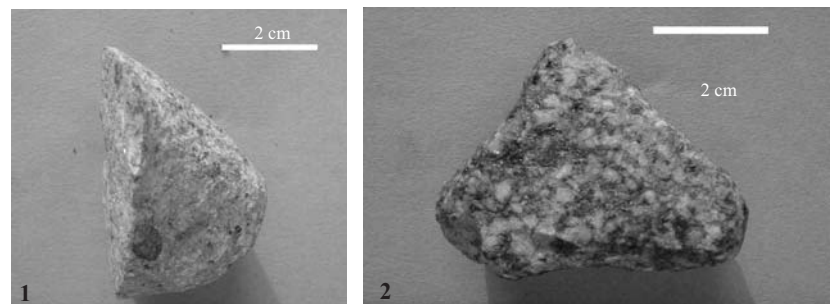


Figure 465 : Baie aux Prunes, zémis du stade 2 du Néolithique récent. 1 : calcaire, 2 : calcirudite (D. Bonnissent).



US	m2	support	traces technologiques	modifications	interprétation	L/H	larg.	ép.	g
2403	B	<i>Cassis</i> sp.	percussion, abrasion	extraction apex/columelle, perforations, façonnage d'une ouverture triangulaire	2 coquille évidée, élément destiné à la suspension	55	46	45	34
2404	F	<i>Cassis</i> sp.	percussion, abrasion	extraction columelle, façonnage d'une ouverture triangulaire	coquille évidée, réceptacle	60	49	47	40
903	-	<i>Cassis</i> sp.	percussion	perforations	coquille décorée à représentation anthropomorphe	104	84	72	222
104	BB	<i>Dentalium</i> sp.	non visibles	fragment de 6 mm de long et 2 mm de diamètre	perle d'enfilage ?	6	1	1	1
105	CA	<i>Strombus gigas</i>	percussion	débitage du labre	labre débité, matière première préparée	187	79	19	396
104	AB	<i>Strombus gigas</i>	percussion, abrasion	débitage du labre	talon, fragment d'outil indéterminé	89	56	17	146
104	BB	<i>Strombus costatus</i>	percussion	extraction du labre et d'une partie de la columelle	ébauche de coquille évidée, réceptacle	123	72	65	248
103	AC	<i>Strombus gigas</i>	percussion, abrasion	débitage du labre	lame, extrémité distale	65	52	17	90
103	CD	<i>Strombus gigas</i>	percussion	perforations	élément décoré	57	30	25	13
2803	G	<i>Cassis</i> sp.	élément mousse	lèvre extraite	barette, outil d'économie	117	17	12	44
104	BA	<i>Lima</i> sp.	percussion	perforation	valve droite perforée, pendeloque ?	47	24	2	2
HS	HS	<i>Strombus</i> sp.	percussion, abrasion	débitage d'un fragment de spire	indéterminé	33	40	3	16
103	BC	indéterminé	abrasion par rotation	trou d'enfilage	ébauche, perle plate	13	11	1	1
102	AB	<i>Strombus</i> sp. ou <i>Cassis</i> sp.	abrasion	extraction d'un fragment de coquille	plaquette semi-circulaire, élément d'incrustation	42	19	4	6
1101	-	indéterminé	percussion	extraction d'un fragment de coquille	plaquette sub-circulaire, ébauche de perle ou élément d'incrustation	22	21	2	1
105	CA	indéterminé	abrasion et rotation	extraction d'un fragment de coquille	plaquette sub-circulaire perforée, perle plate inachevée	12	12	1	1
103	BC	indéterminé	abrasion et rotation	extraction d'un fragment de coquille	plaquette sub-circulaire perforée, perle plate	5	5	2	1
24	E	<i>Oliva reticularis</i>	percussion	coquille perforée et extraction de l'apex et d'une partie de la columelle	coquille décorée, pendeloque ?	28	13	11	5
2401	A	<i>Oliva reticularis</i>	abrasion	lèvre abrasée formant une encoche	ébauche, pendeloque ?	29	13	11	5
2402	A	<i>Oliva reticularis</i>	abrasion	lèvre et une partie du corps de la coquille	outil ?	39	19	14	6
2803	G	<i>Oliva reticularis</i>	abrasion	lèvre et une partie du corps de la coquille	outil ?	40	22	13	8
2803	I	<i>Cassis</i> sp.	abrasion	extraction d'une partie du bord columellaire et abrasion partielle de la face externe	plaquette trapézoïdale, déchet de débitage, ébauche	99	58	9	59
2803	B	<i>Strombus gigas</i>	abrasion	extraction de deux épines	plaquette à 2 protubérances	33	18	15	7

Tableau 74 : Baie aux Prunes, industrie sur coquille (D. Bonnissent).

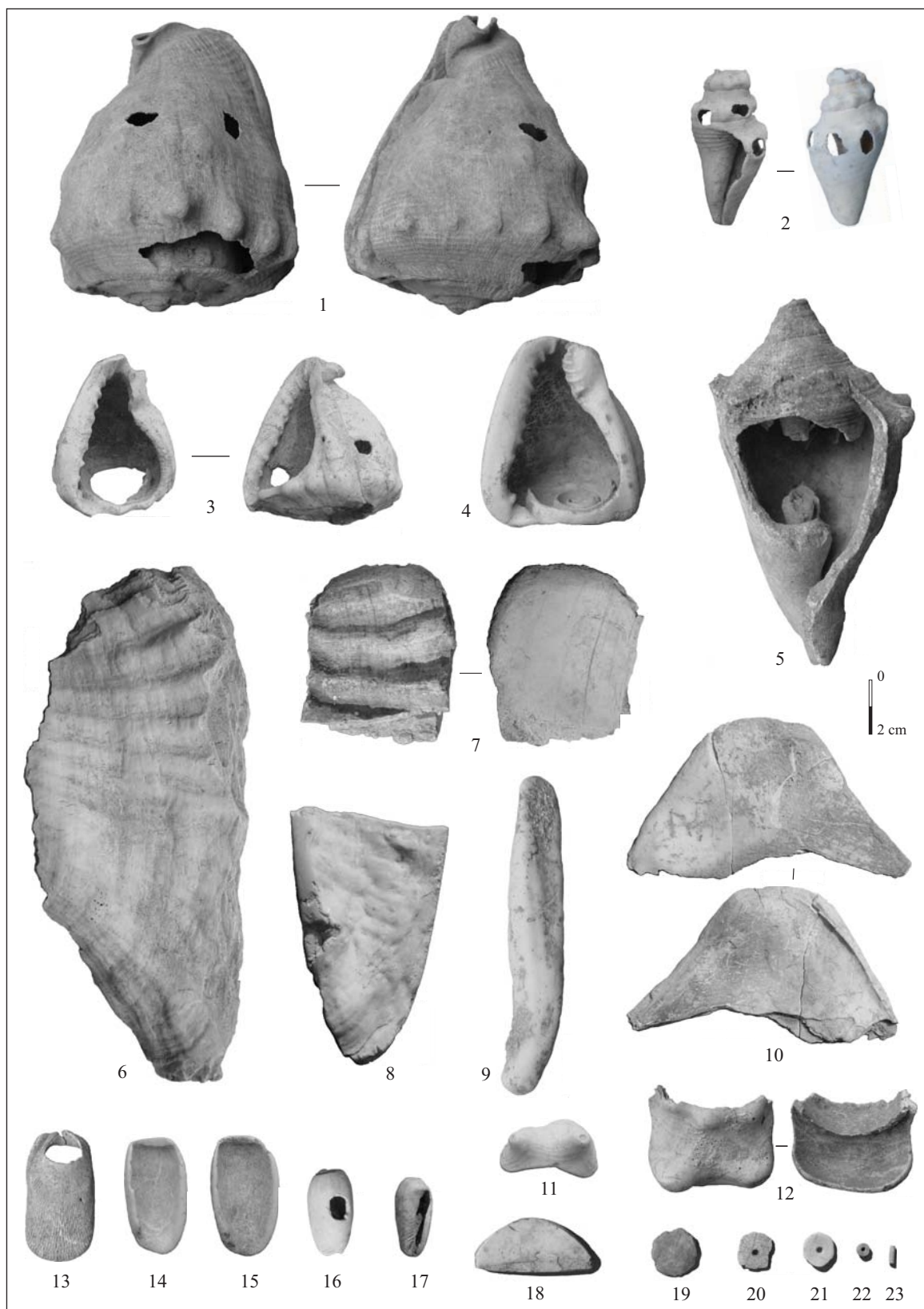


Figure 466 : Baie aux Prunes, industrie sur coquille (D. Bonnissent).

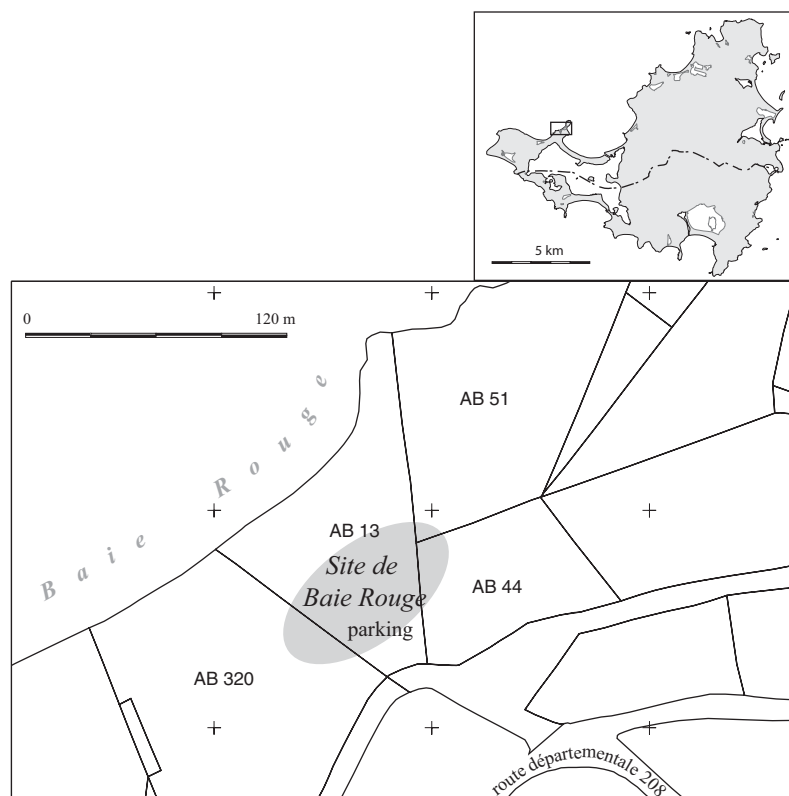


Figure 467 : Baie Rouge, relevé cadastral (d'après Stouvenot 2005).

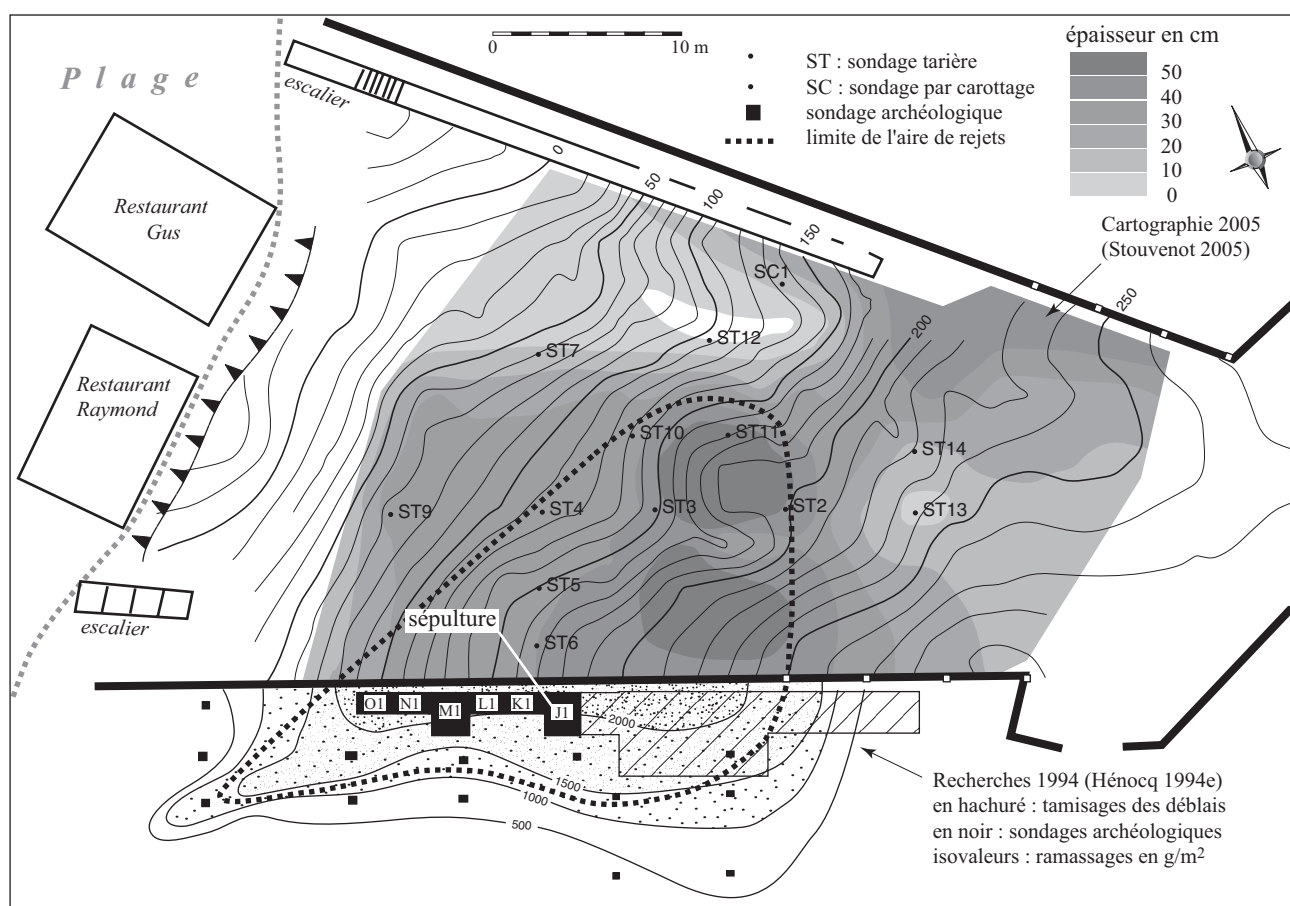


Figure 468 : Baie Rouge, plan du site (d'après Hénoq, Petit 1998, Stouvenot 2005).

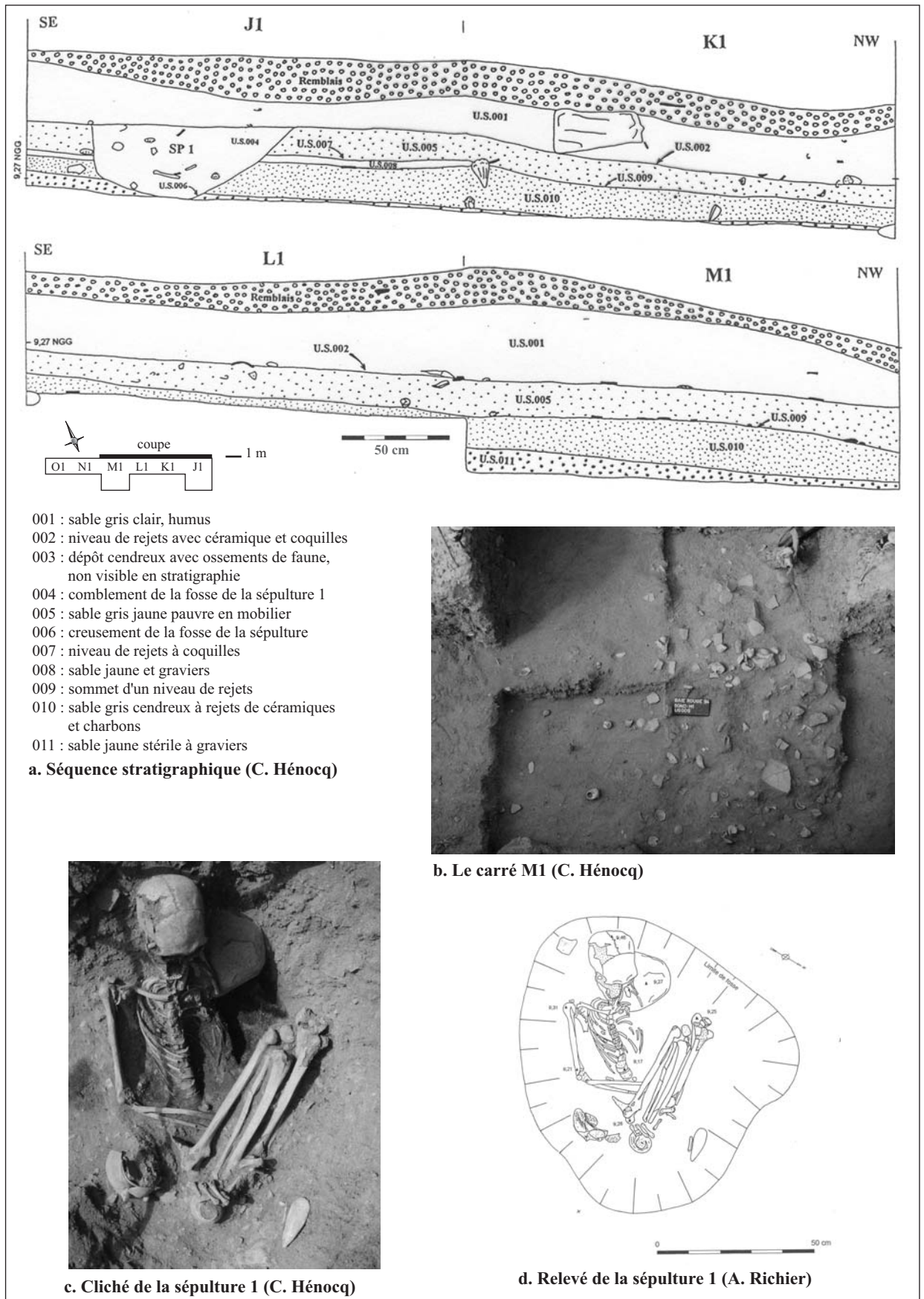


Figure 469 : Baie Rouge, la séquence stratigraphique et la sépulture 1 (C. Hénocq et A. Richier).

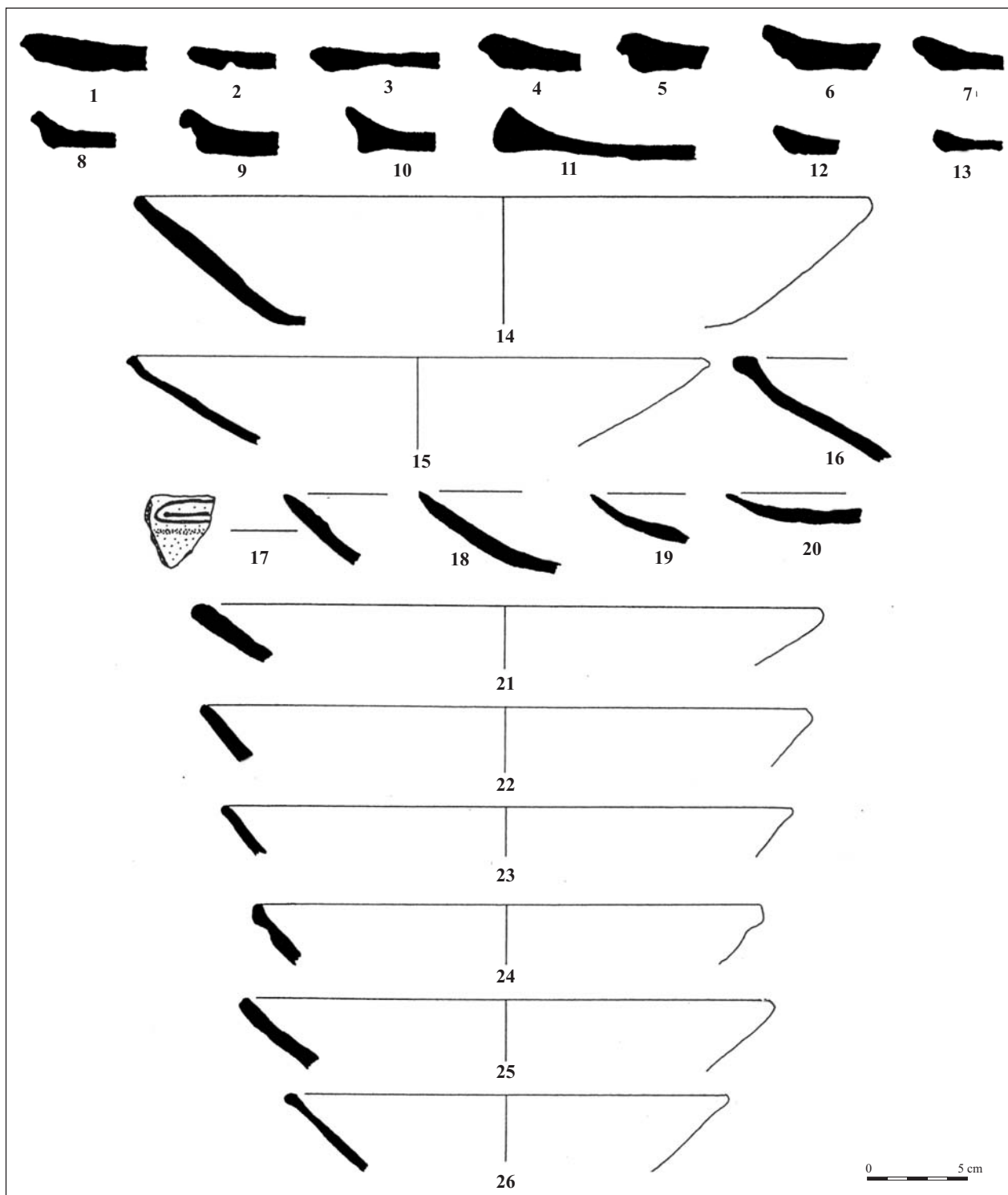


Figure 470 : Baie Rouge, 1-13 : les platines, 14-26 : les assiettes (C. Pécot).



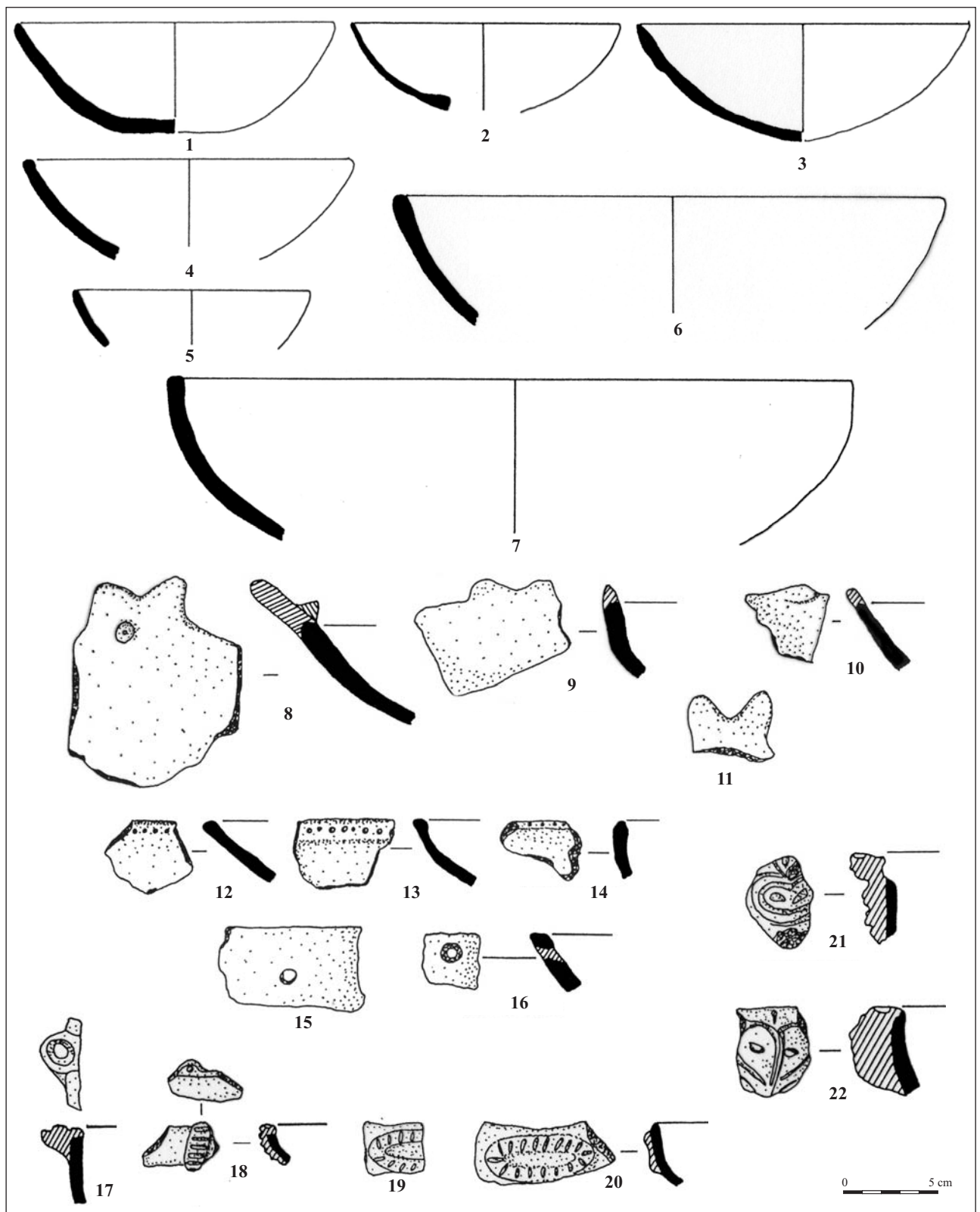


Figure 471 : Baie Rouge, 1-7 : écuelles, 8-11 : formes ouvertes à papules, 12-14 : formes ouvertes à décor de pointillés, 15-17 : formes ouvertes à trous de suspension, 18-20 : formes ouvertes à cordons incisés, 21-22 : formes ouvertes à modelage anthropomorphe (C. Pécot).



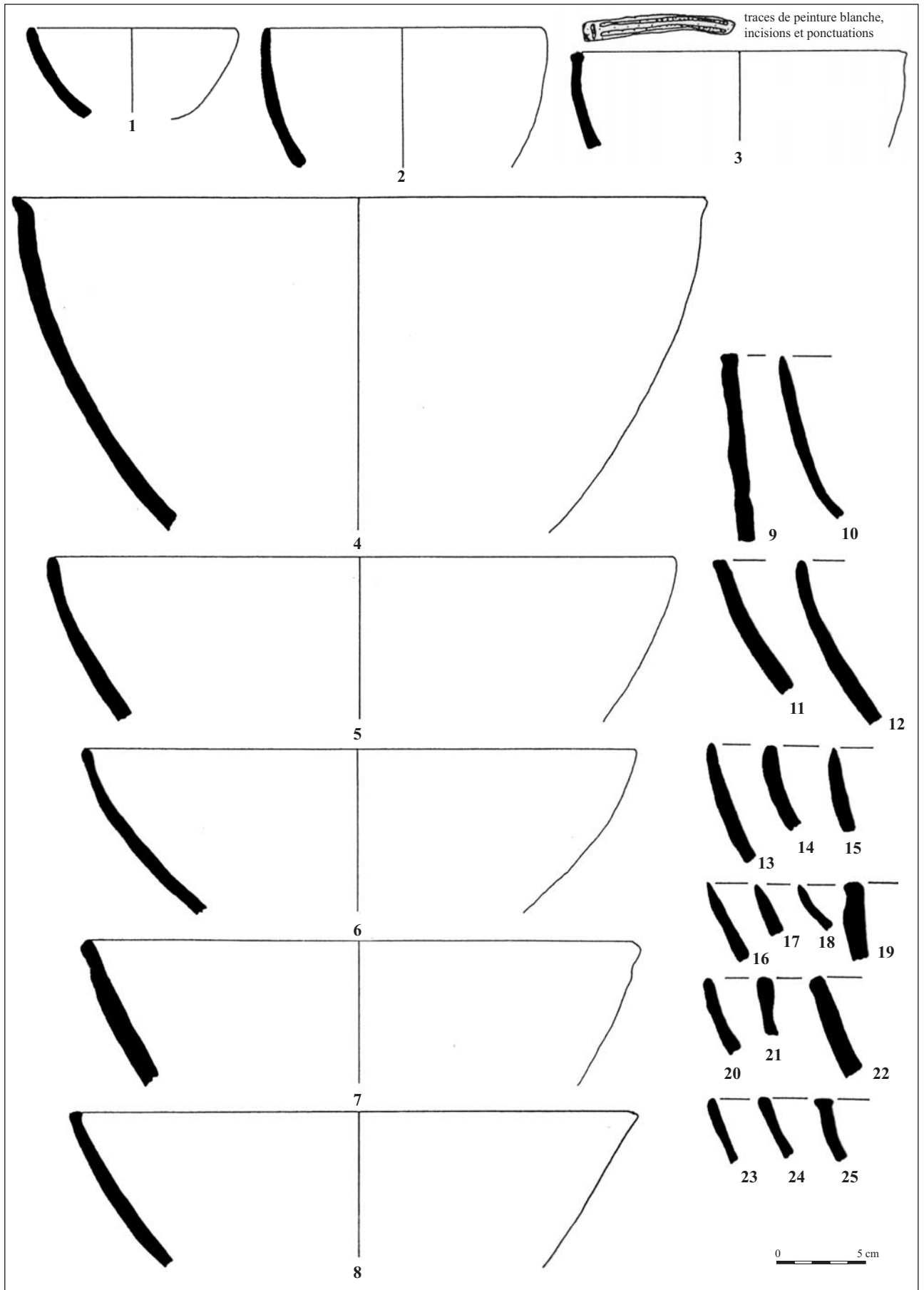


Figure 472 : Baie Rouge, les bols (C. Pécot).

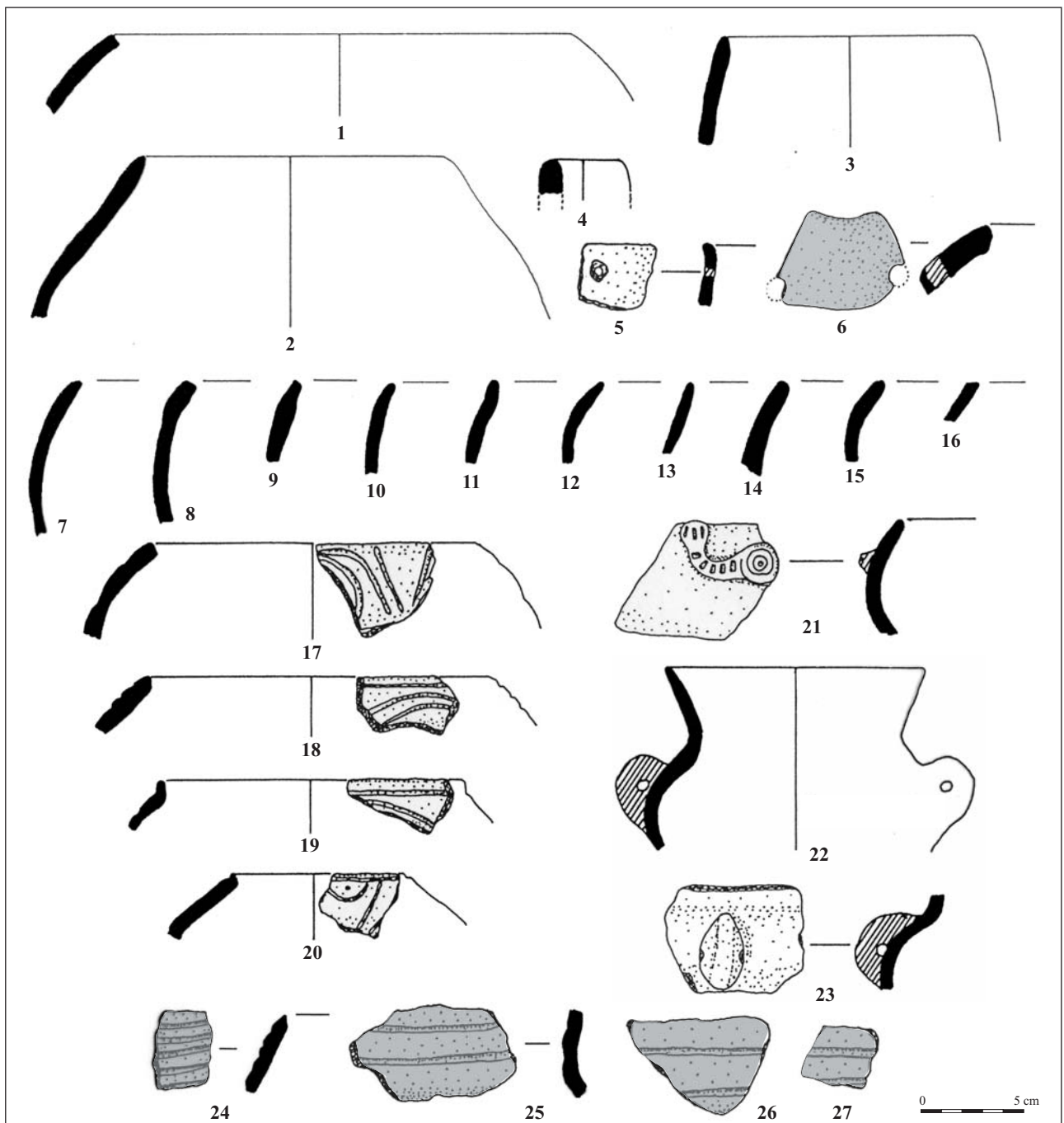


Figure 473 : Baie Rouge, 1-16 : pots, 17-20 : pots à cannelures, 21 : pot à modelage anthropomorphe, 22 : pot à encolure, 23 : bouton de suspension sur pot, 24-27 : fragments de panses à cannelures sur formes fermées (C. Pécot).

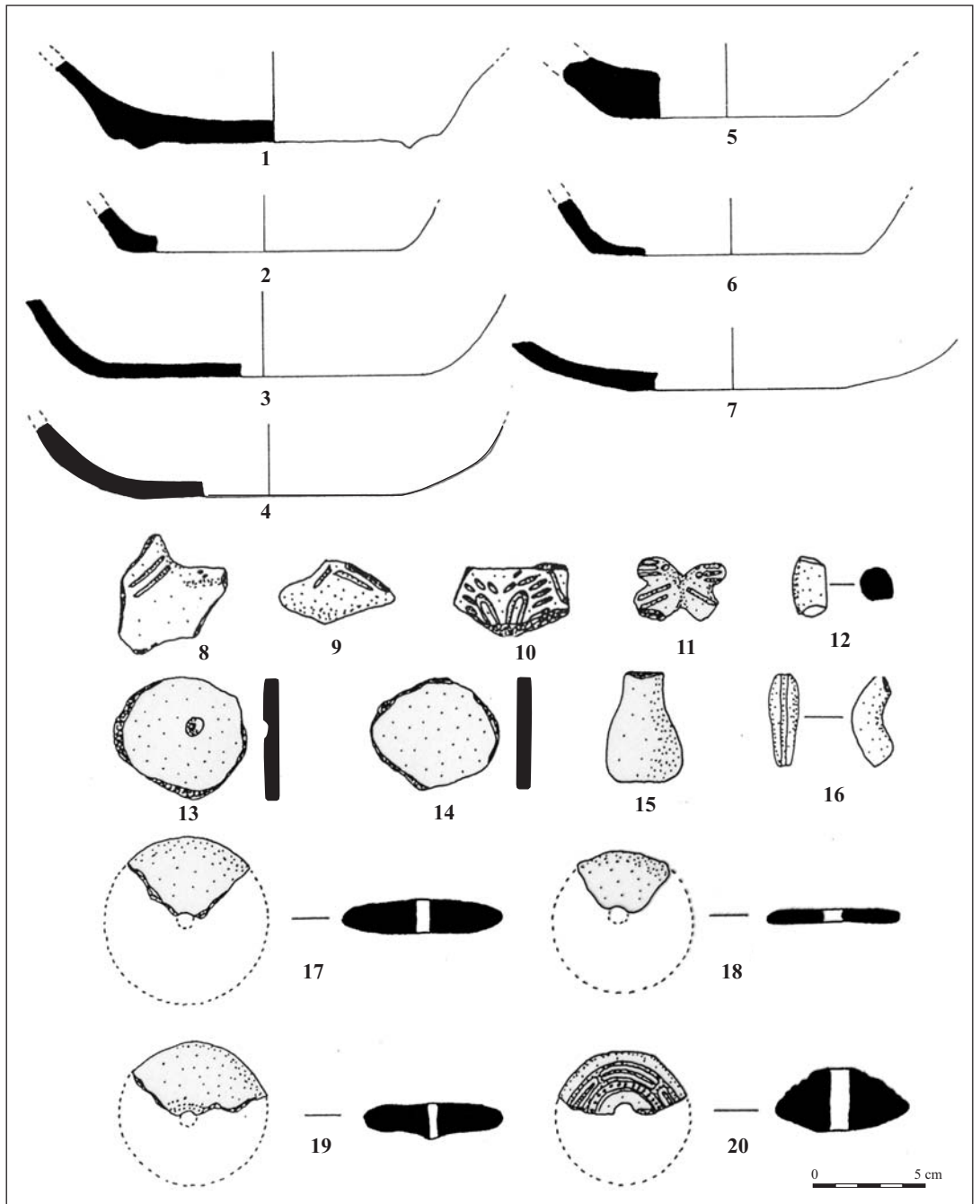


Figure 474 : Baie Rouge, 1-7 : fonds, 8-11 : éléments de décors incisés et modelés, 12 : fragment d'anse, 13 : tesson perforé, 14 : tesson utilisé, 15 : peson ou pied, 16 : anse, 17-20 : fusaoïles (C. Pécot).

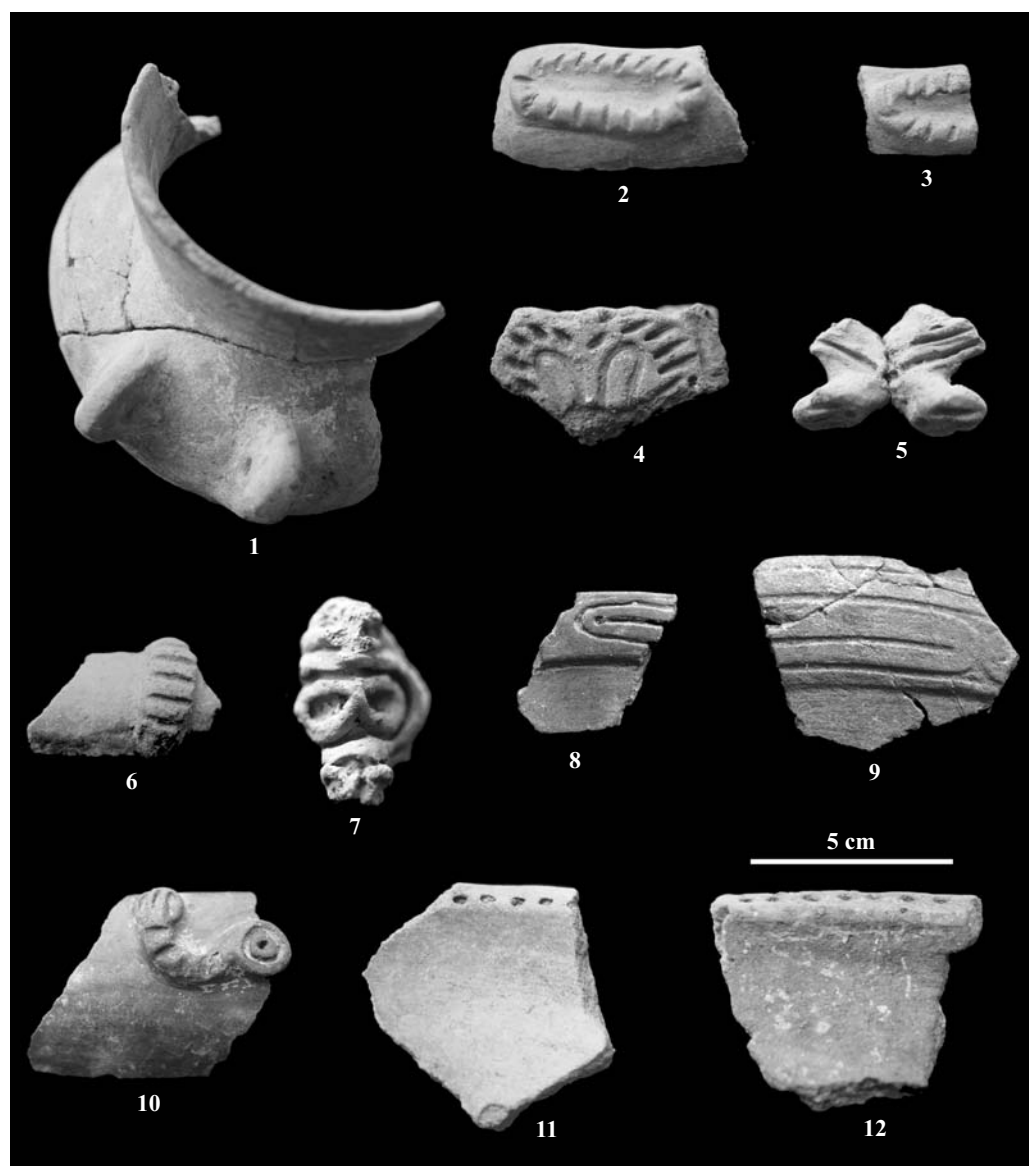


Figure 475 : Baie Rouge, éléments décorés en céramique (I. Dechanez).

mode décoratif	NR	% NR
engobe rouge	31	47,7
modelé / incisé	8	12,3
cannelures	7	11
modelage	5	7,7
incisions	4	6
engobe rouge et cannelures	4	6,2
ponctuations	4	6,2
cannelures, ponctuations	1	1,5
cannelures, ponctuations, peinture blanche	1	1,5
Total	65	100

Tableau 75 : Baie Rouge, modes décoratifs de la céramique (D. Bonnissent).

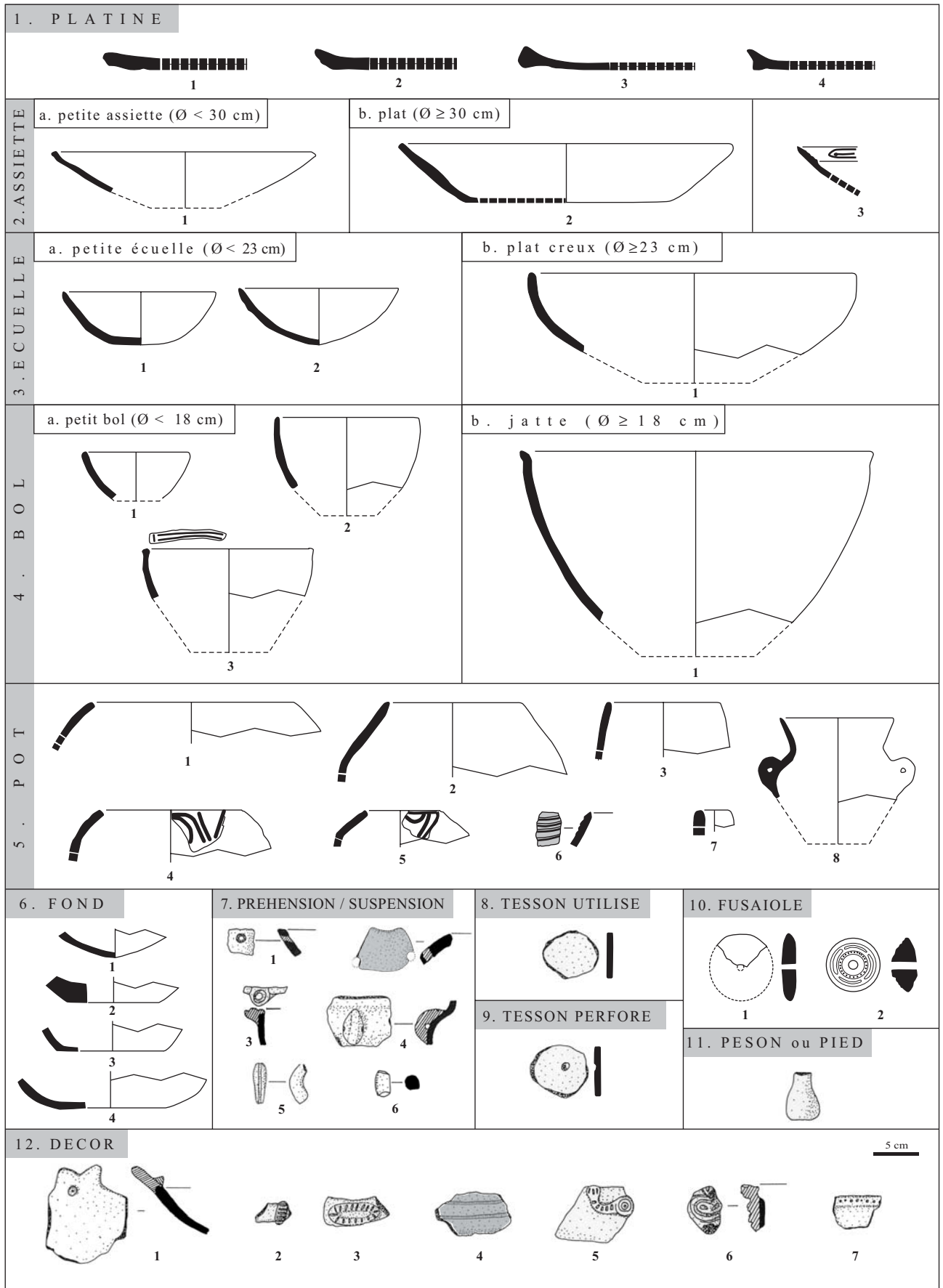


Figure 476 : Baie Rouge, typologie du stade 3 du Néoindien récent (D. Bonnissent).

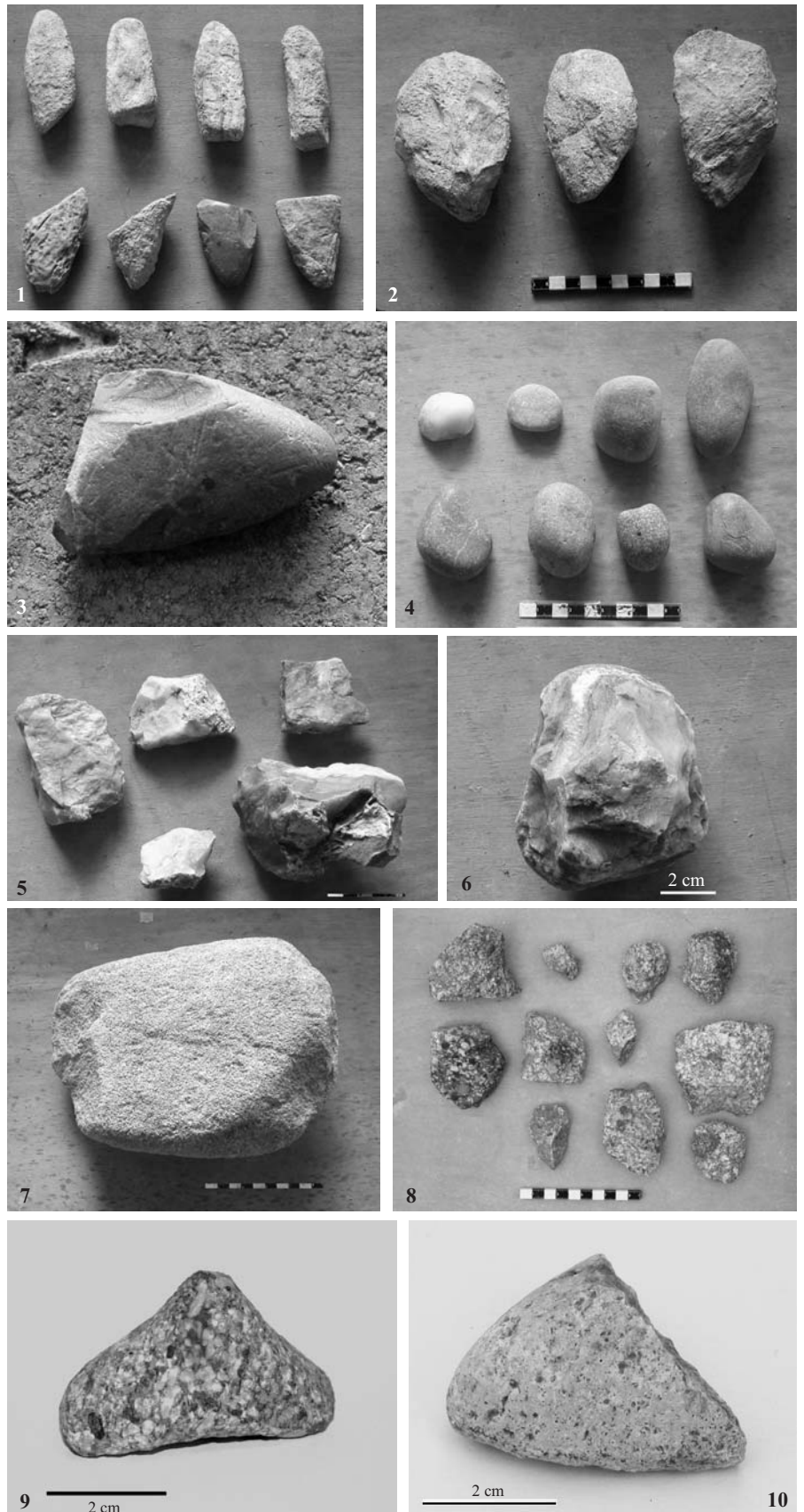
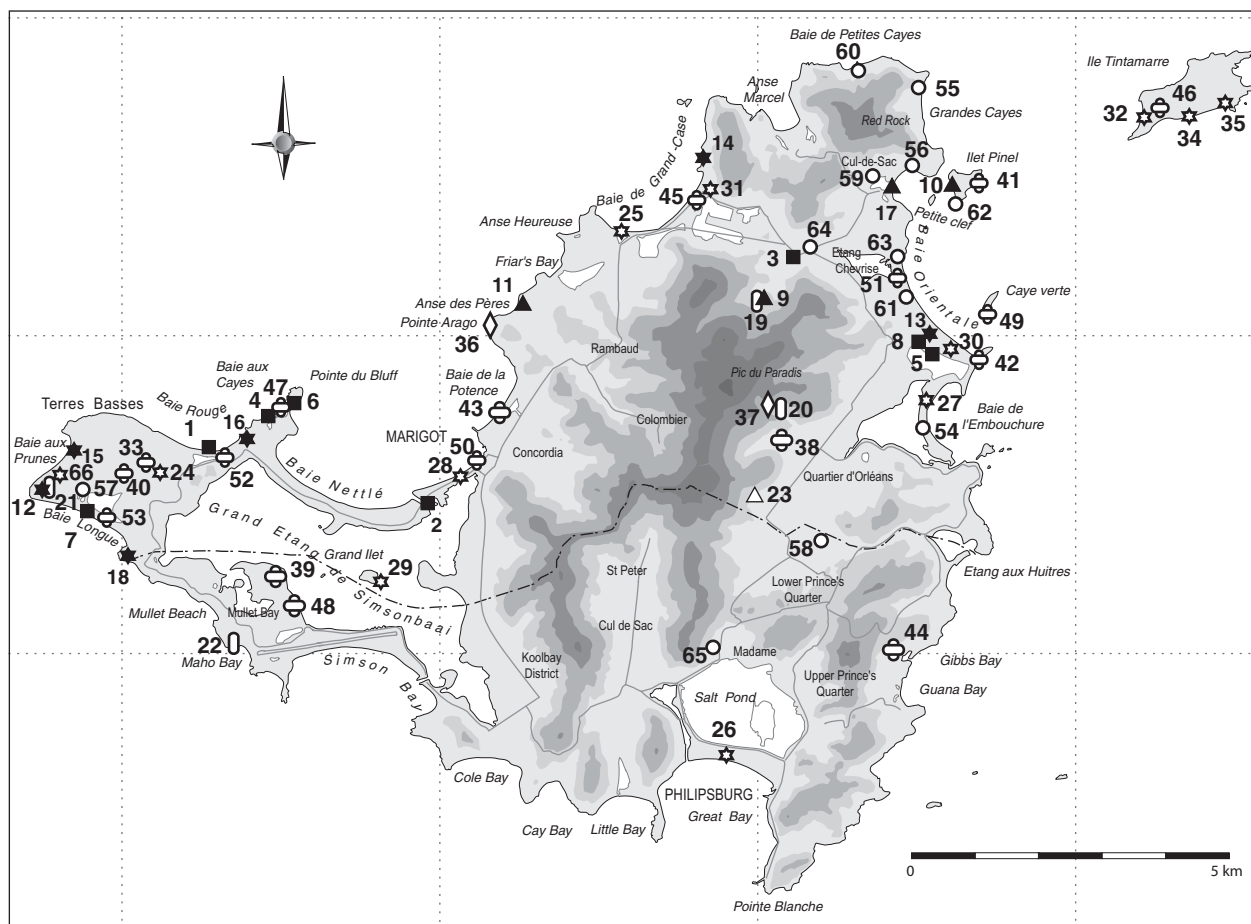


Figure 477 : Baie Rouge, productions lithiques du stade 3 du Néolithique récent.  
 1-3 : lames de haches sur chert-tuffite, 4 : galets polis, 5-6 : calcédoine et quartzite,  
 7 : meule ou polissoir sur *beach rock*, 8 : déchets de taille de calcirudite, 9 : zémi sur  
 calcirudite, 10 : zémi sur calcaire beige (clichés C. Stouvenot).





non daté	datation absolue	n
—	■	8 Mésoindien (3300 BC - 100 AD)
△	▲	5 Néoindien ancien (500 BC- 960 AD)
☆	★	19 Néoindien récent (740 AD - 1600 AD)
⊕	—	16 Néoindien indéterminé
○	—	12 indéterminé
◊	—	4 pétroglyphe
◇	—	2 gîte de matières premières lithiques

#### Listes des gisements précolombiens et principales références bibliographiques

- 1 : Etang Rouge 1, 2, 3 (Bonnissent 2003g, 2005b, Etrich 2004, Martias 2005)
- 2 : Pont de Sandy Ground 1 et 2 (Stouvenot, Hénocq 1999, Bonnissent ce volume)
- 3 : Norman Estate (Petit, Hénocq 1998, Knippenberg 1999d, Hénocq 2002)
- 4 : Trou David 1 et 2 ou Baie aux Cailles (Bonnissent, ce volume)
- 5 : Salines d'Orient (Stouvenot 2006)
- 6 : Pointe du Bluff (Stouvenot, Hénocq 1999, Bonnissent, ce volume)
- 7 : Baie Longue 2 (Bonnissent 2002a, 2003a)
- 8 : Baie Orientale 1 (Bonnissent *et al.* 2001, Bonnissent *et al.* 2006b)
- 9 : Hope Estate (Haviser 1991, Petit, Hénocq 1998, Hofman et Hoogland 1999, Bonnissent *et al.* 2002)
- 10 : Ilet Pinel Ouest (Bonnissent 2002b, 2003b)
- 11 : Anse des Pères (Knippenberg 1999e, Hamburg 1999)
- 12 : Pointe du Canonier (Bullen, Bullen 1966, Bonnissent 2002c, 2003c)
- 13 : Baie Orientale 2 (Hénocq 1992, Bonnissent 2006b)
- 14 : Petite Plage (Bonnissent, ce volume)
- 15 : Baie aux Prunes (Bonnissent 2005a, Bonnissent, Stouvenot 2005)
- 16 : Baie Rouge (Bullen, Bullen 1966, Hénocq 1998, Stouvenot, Hénocq 2005)
- 17 : Cul-de-Sac (Martias 2006)
- 18 : Cupecoy Bay (Bullen, Bullen 1966, 1974, Haviser 1987)
- 19 : Pétroglyphes de Hope Estate (Dubelaar 1995, Dechanez 2001)
- 20 : Pétroglyphe de Moho (Dubelaar 1995, Dechanez 2001)
- 21 : Pétroglyphe de Pointe du Canonier (Bonnissent 2002c, 2003c)
- 22 : Grotte ornée de Maho (Richardson 1986, Sypkens-Smit et Versteeg 1988)
- 23 : Grand Fond, Quartier d'Orléans (Carte archéologique DRAC Guadeloupe)
- 24 : Abri sous roche des Mornes de Lake (Bonnissent 2003e, Stouvenot *et al.* 2005)
- 25 : Cimetière de Grand-Case (Bonnissent 2002d, 2003d)
- 26 : Great Bay (Sypkens-Smit et Versteeg 1988, Haviser, 1988, 1995)

- 27 : Embouchure 1 Nord (Carte archéologique DRAC Guadeloupe)
- 28 : Cimetière de Marigot (Haviser 1988, Stouvenot et Hénocq 1999)
- 29 : Grand Ilet ou Great Key (Haviser 1995, Stouvenot, Hénocq 1999)
- 30 : Baie Orientale Sud (Carte archéologique DRAC Guadeloupe)
- 31 : Grand-Case Nord (Haviser 1995, Stouvenot, Hénocq 1999)
- 32 : Baie Blanche, Tintamarre (Carte archéologique DRAC Guadeloupe)
- 33 : Plateau des Mornes de Lake (Carte archéologique DRAC Guadeloupe)
- 34 : Tintamarre (Haviser 1995)
- 35 : Tintamarre Est (Stouvenot et Hénocq 1999)
- 36 : Pointe Arago (Stouvenot, Hénocq 1999, Stouvenot, Randrianassolo 2006b)
- 37 : Carrière de cherto-tuffite de Moho, Ravine Moho (Fouéré 2006)
- 38 : Quartier d'Orléans (Hénocq, Petit 1998, Hénocq 2002)
- 39 : Eagle Show (Haviser 1995)
- 40 : Lot 52, Terres Basses (Carte archéologique DRAC Guadeloupe)
- 41 : Pinel Est (Stouvenot, Hénocq 1999)
- 42 : Orient Bay Beach Club (Stouvenot, Hénocq 1999)
- 43 : Galisbay Sud, Baie de la Potence (Carte archéologique DRAC Guadeloupe)
- 44 : Gibbs Bay (Haviser 1995)
- 45 : Stade de Grand-Case (Carte archéologique DRAC Guadeloupe)
- 46 : Tintamarre centre Ouest (Carte archéologique DRAC Guadeloupe)
- 47 : Baie aux Cayes (Sypkens-Smit, Versteeg 1988, Stouvenot, Hénocq 1999)
- 48 : Flamingo Pond (Haviser 1995)
- 49 : Caye Verte (Carte archéologique DRAC Guadeloupe)
- 50 : Bureau de poste de Marigot (Haviser 1995, Stouvenot, Hénocq 1999)
- 51 : Baie Orientale Nord 1 (Carte archéologique DRAC Guadeloupe)
- 52 : Red Pond (Haviser 1995, Bonnissent *et al.* 2005)
- 53 : Baie Longue 1 (Stouvenot, Hénocq 1999)
- 54 : Indice Embouchure 1 (Carte archéologique DRAC Guadeloupe)
- 55 : Grandes Cayes (Haviser 1995, Stouvenot et Hénocq 1999)
- 56 : Cul-de-sac Nord (Carte archéologique DRAC Guadeloupe)
- 57 : Grand Etang (Haviser 1988, 1995)
- 58 : Bishop Hill (Sypkens-Smit, Versteeg 1988)
- 59 : Etang de la Barrière (Stouvenot, Hénocq 1999)
- 60 : Baie de Petites Cayes (Haviser 1995, Stouvenot, Hénocq 1999)
- 61 : Griselle (Haviser 1995)
- 62 : Pinel Sud (Carte archéologique DRAC Guadeloupe)
- 63 : Passe de Chevrisse (Carte archéologique DRAC Guadeloupe)
- 64 : Carrefour de Cul-de-Sac (Knippenberg 1999d)
- 65 : Phoebe Pond (Haviser 1995)
- 66 : Lot 83, Terres Basses (Bonnissent 2007a).

Figure 478 : Carte de répartition spatiale et chronologique des gisements précolombiens de l'île de Saint-Martin (D. Bonnissent).

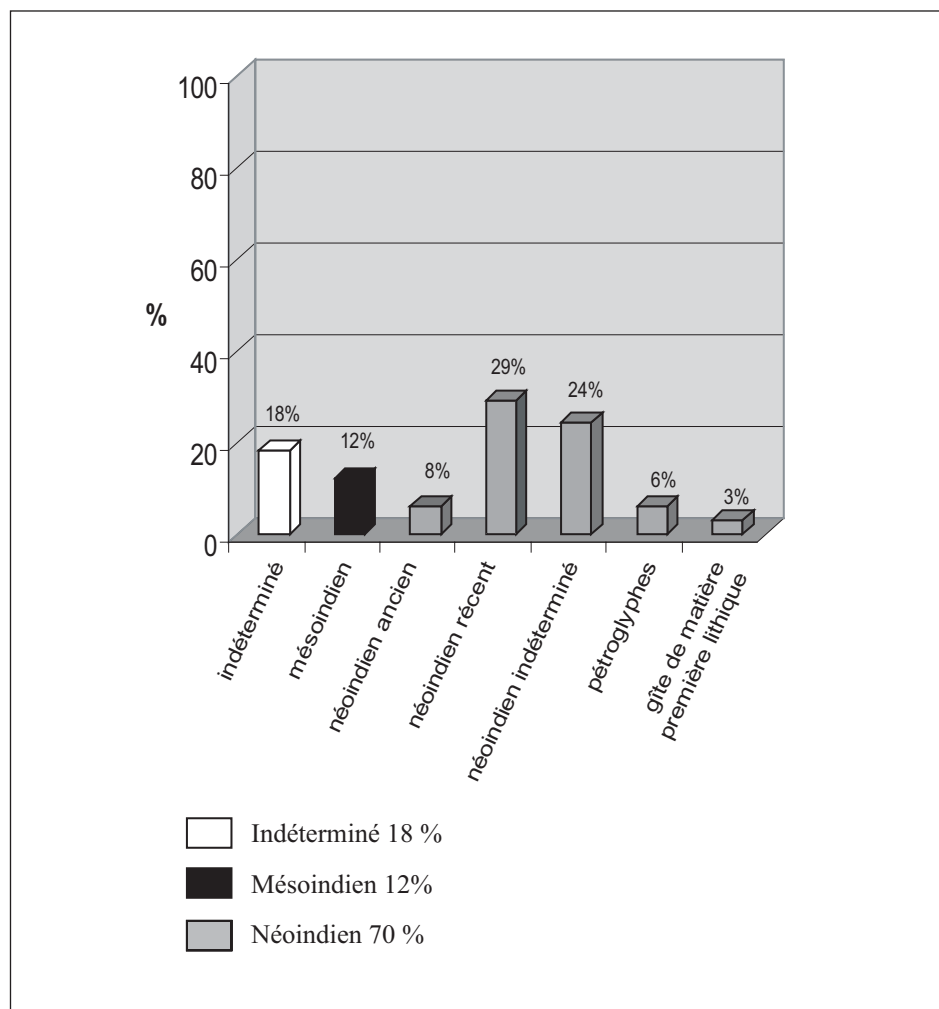


Figure 479 : Fréquence des gisements précolombiens par périodes, échantillon n = 66 (D. Bonnissent).

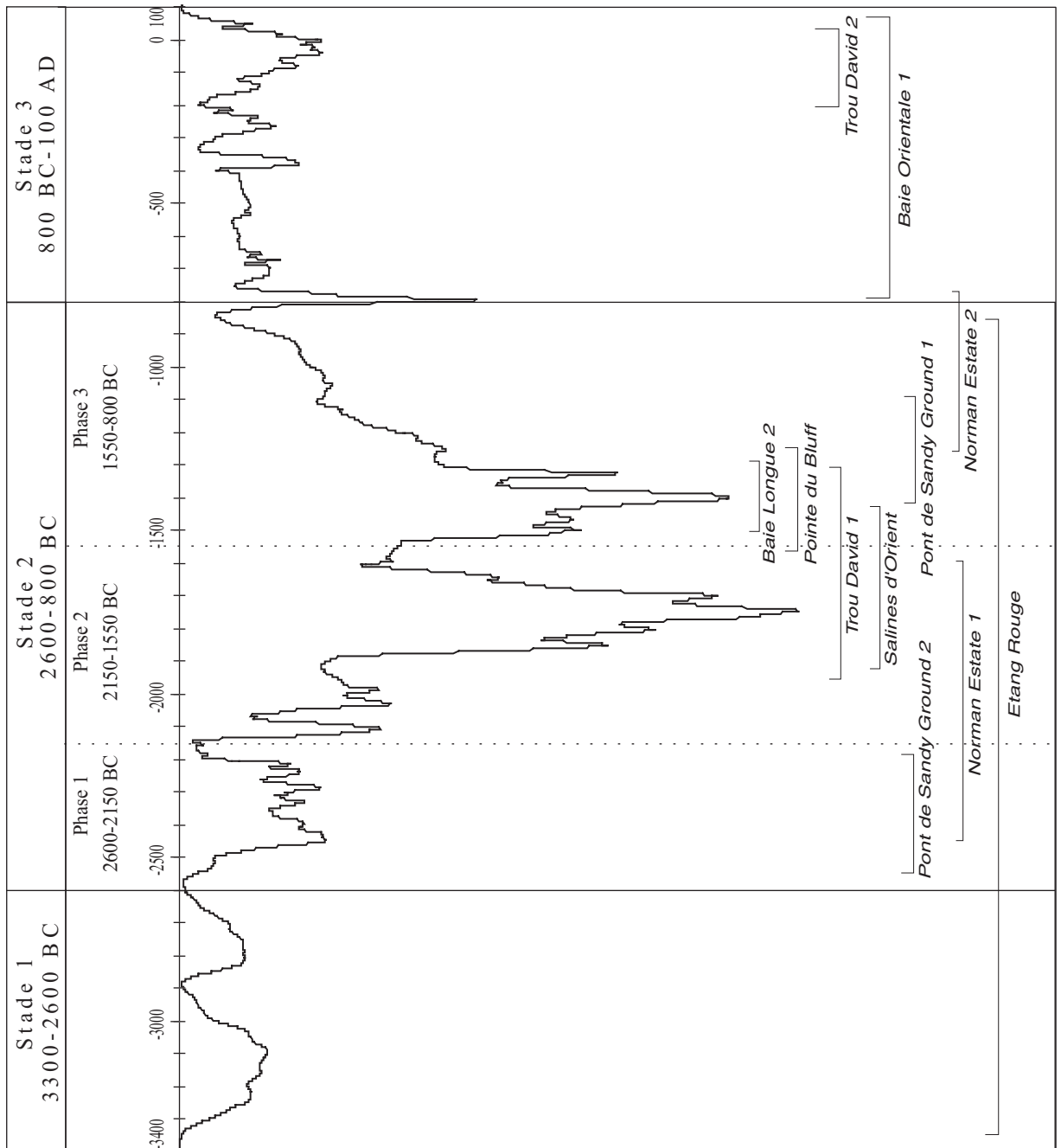


Figure 480 : Somme des probabilités des calibrations des dates (n = 41) de huit gisements mésoindiens de Saint-Martin, Calib Rev 5.01 (D. Bonnissent).

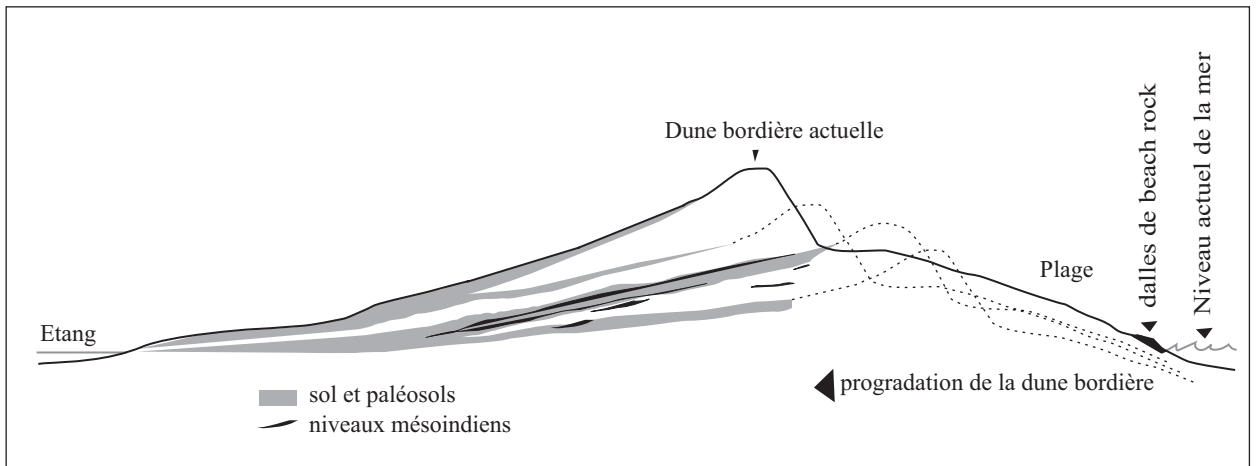


Figure 481 : Essai de restitution de l'évolution de la dune bordière d'après l'exemple d'Etang Rouge (D. Bonnissent).

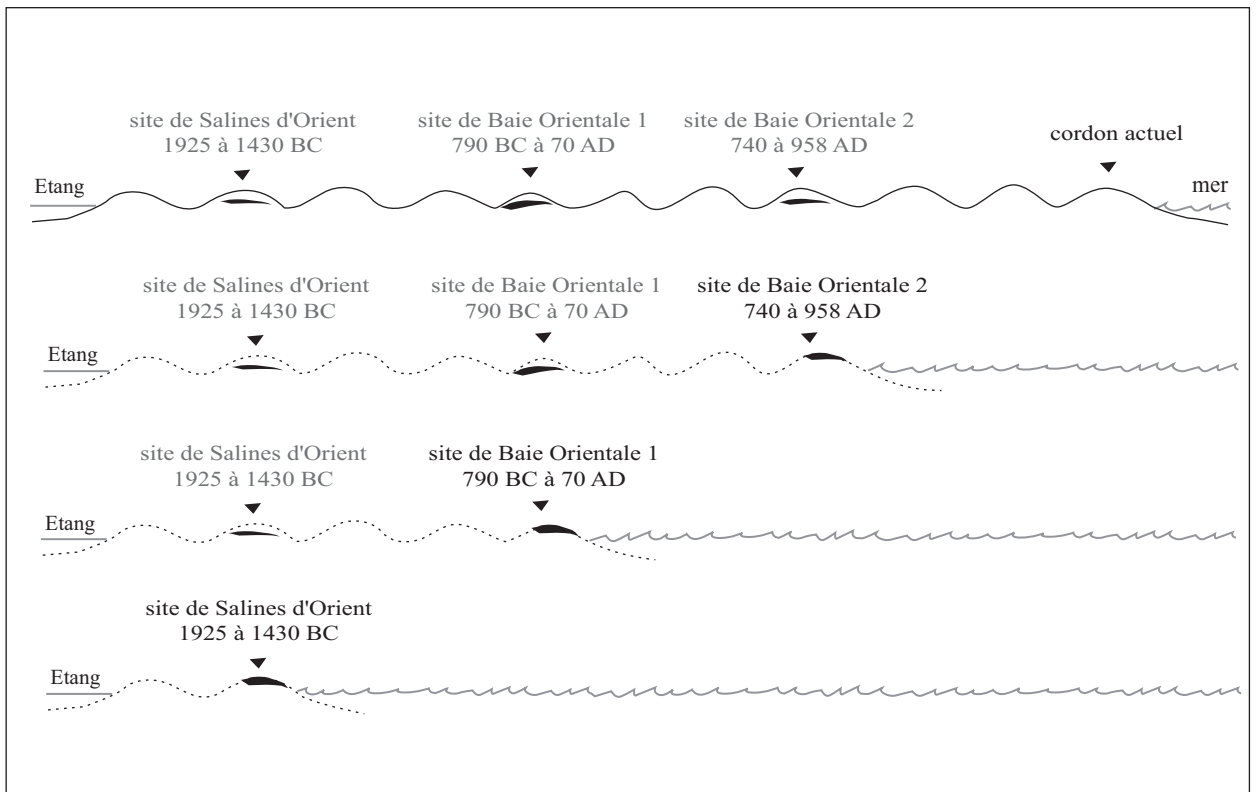


Figure 482 : Restitution de la formation du littoral en dunes successives, l'exemple de la Baie Orientale (D. Bonnissent).

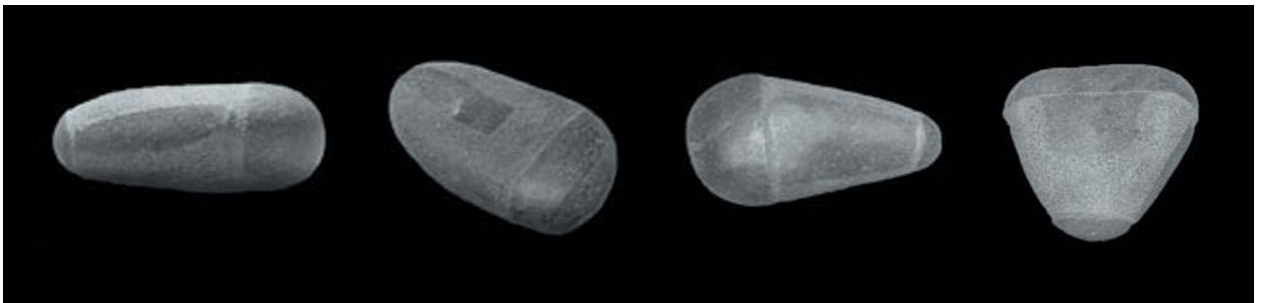


Figure 483 : Galets de l'abri du Château à Saint-Barthélemy, longueurs entre 12 et 15 cm (clichés M.A. Paulet-Locard).

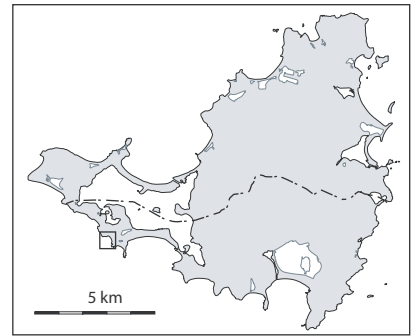


Figure 484 : Plage de Maho en octobre 2005 (D. Bonnissent).



Figure 485 : Plage de Maho en octobre 2006 (D. Bonnissent).

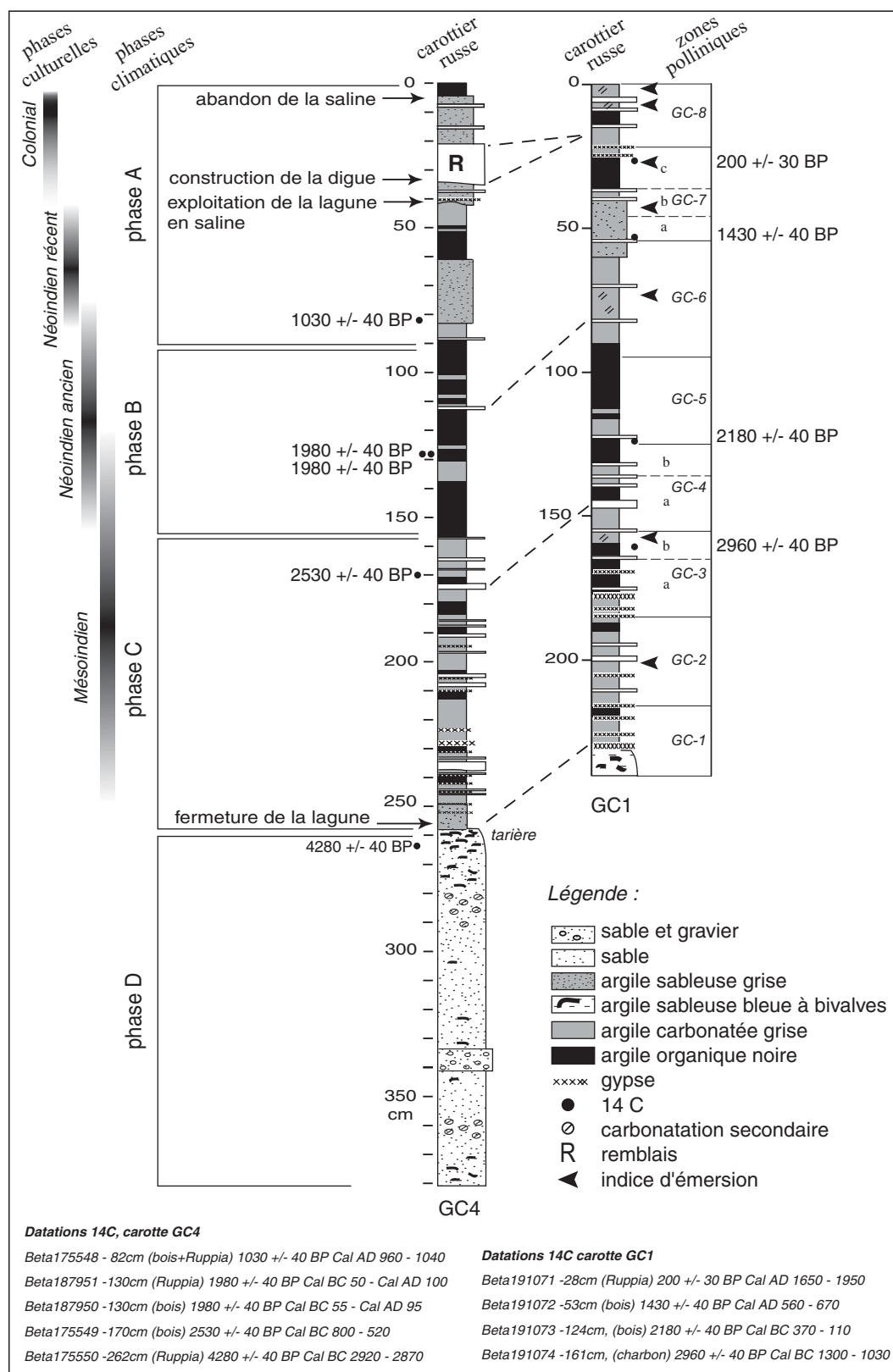


Figure 486 : Séquence sédimentaire de la lagune de Grand-Case (P. Bertran).



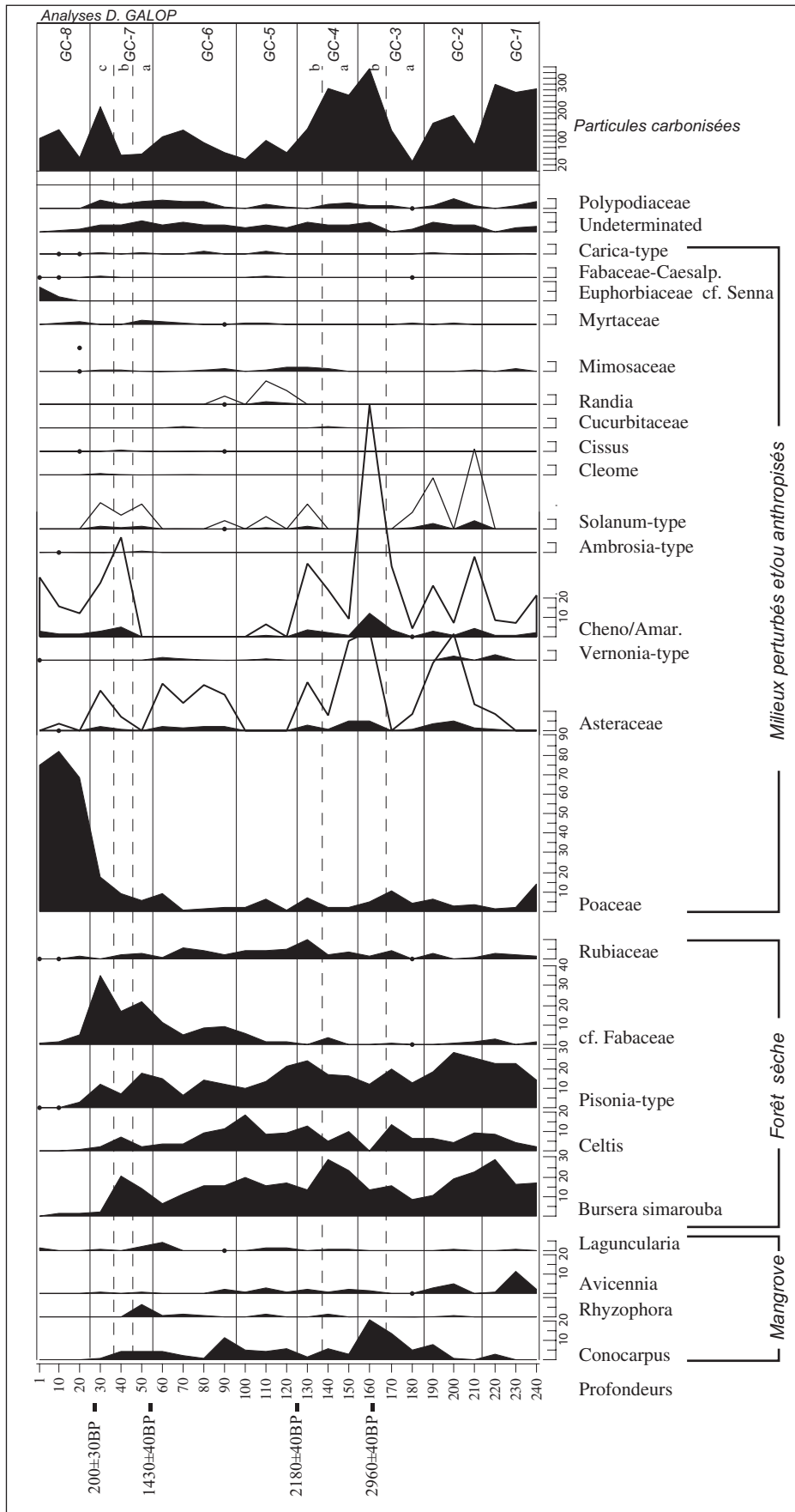


Figure 487 : Diagramme pollinique simplifié de la carotte GC1 de la lagune de Grand-Case (D. Galop).

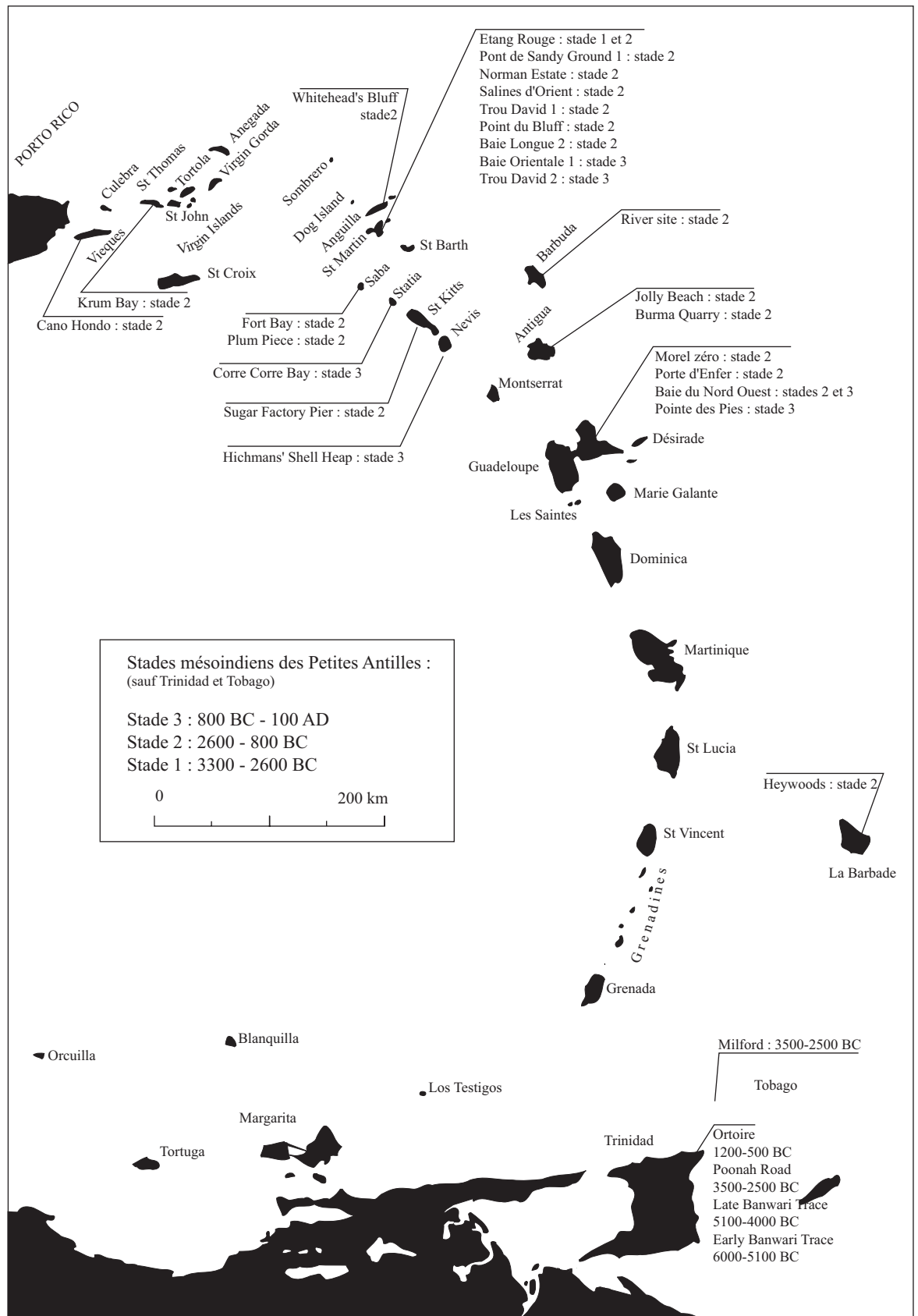


Figure 488 : Répartition des gisements mésoindiens attestés par des datations radiométriques dans les Petites Antilles (D. Bonnissent).

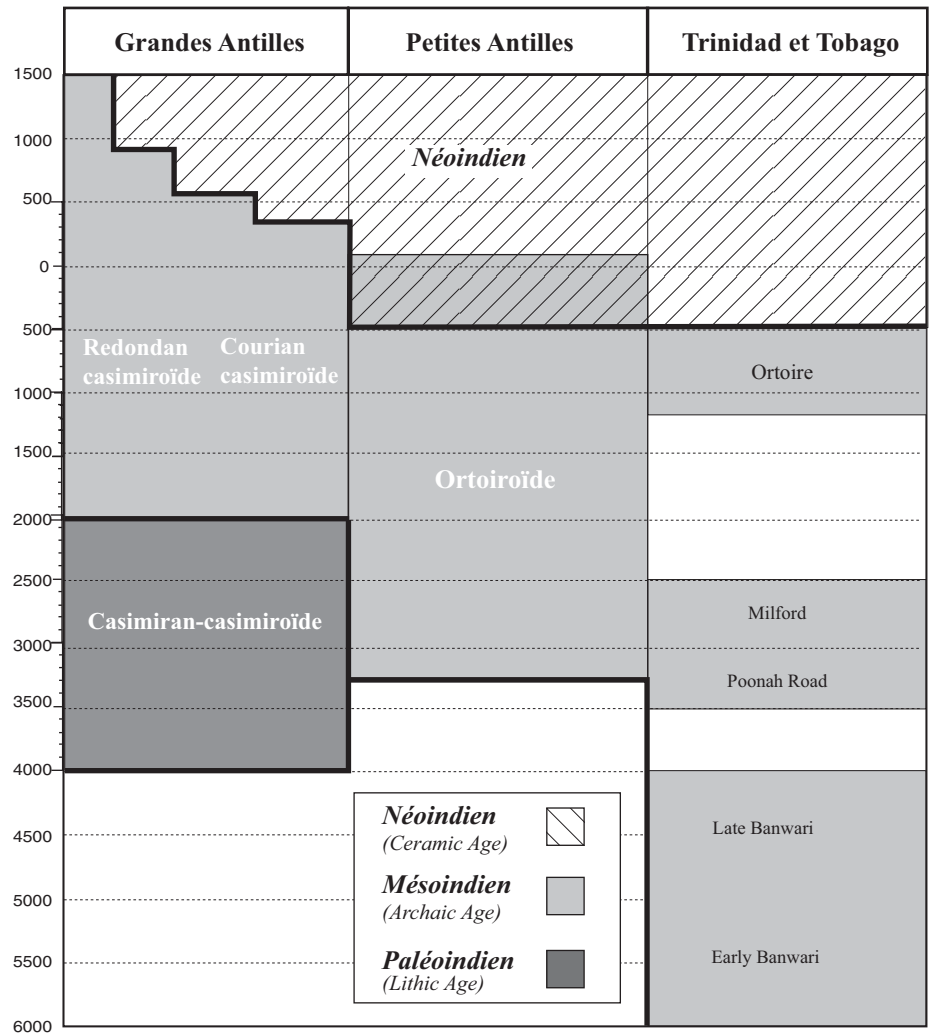


Figure 489 : Charte chronologique de la période précolombienne dans l'archipel des Antilles (D. Bonnissent).

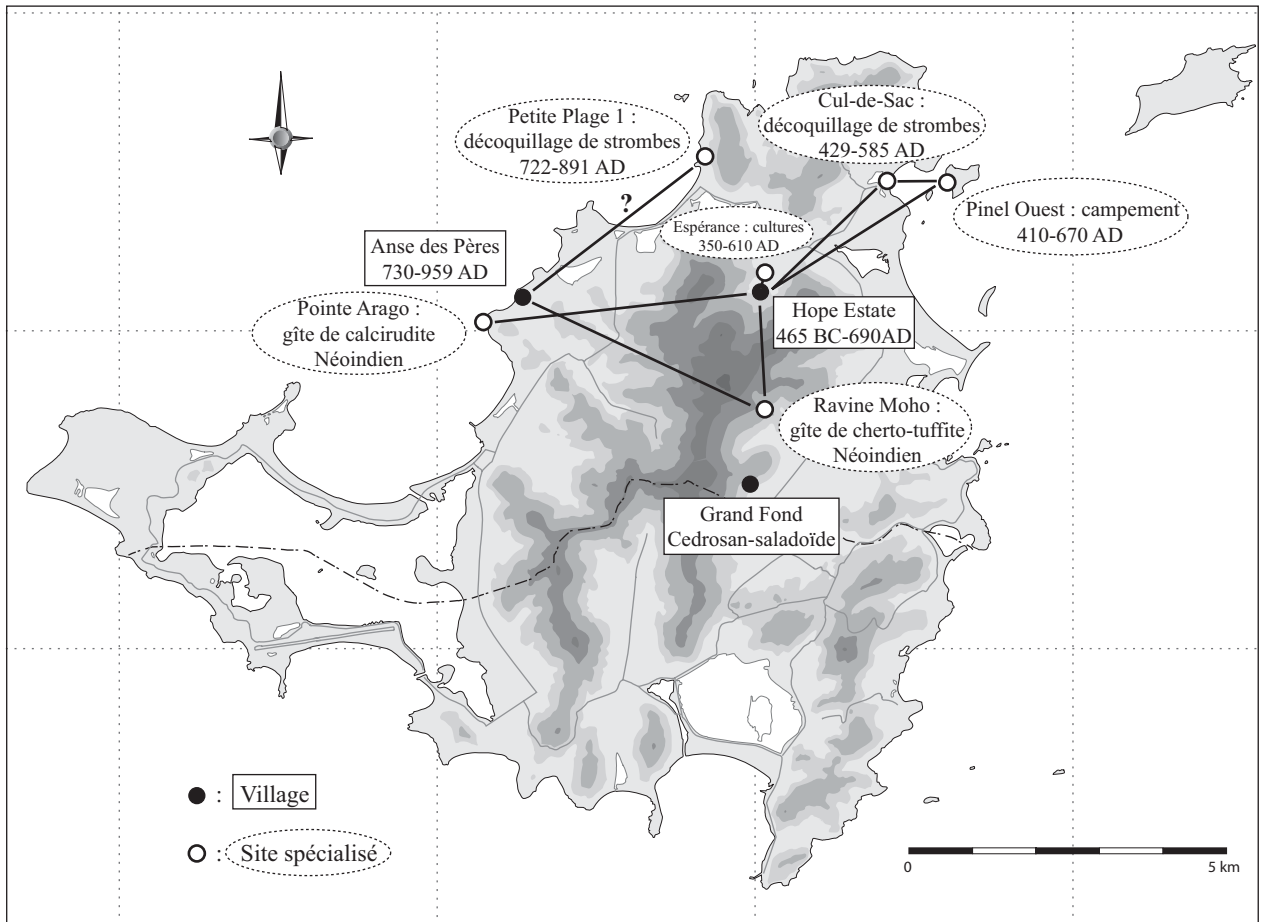


Figure 490 : Possibles relations spatio-fonctionnelles et chronologiques entre les sites du Néolithique ancien à Saint-Martin (D. Bonnissent).

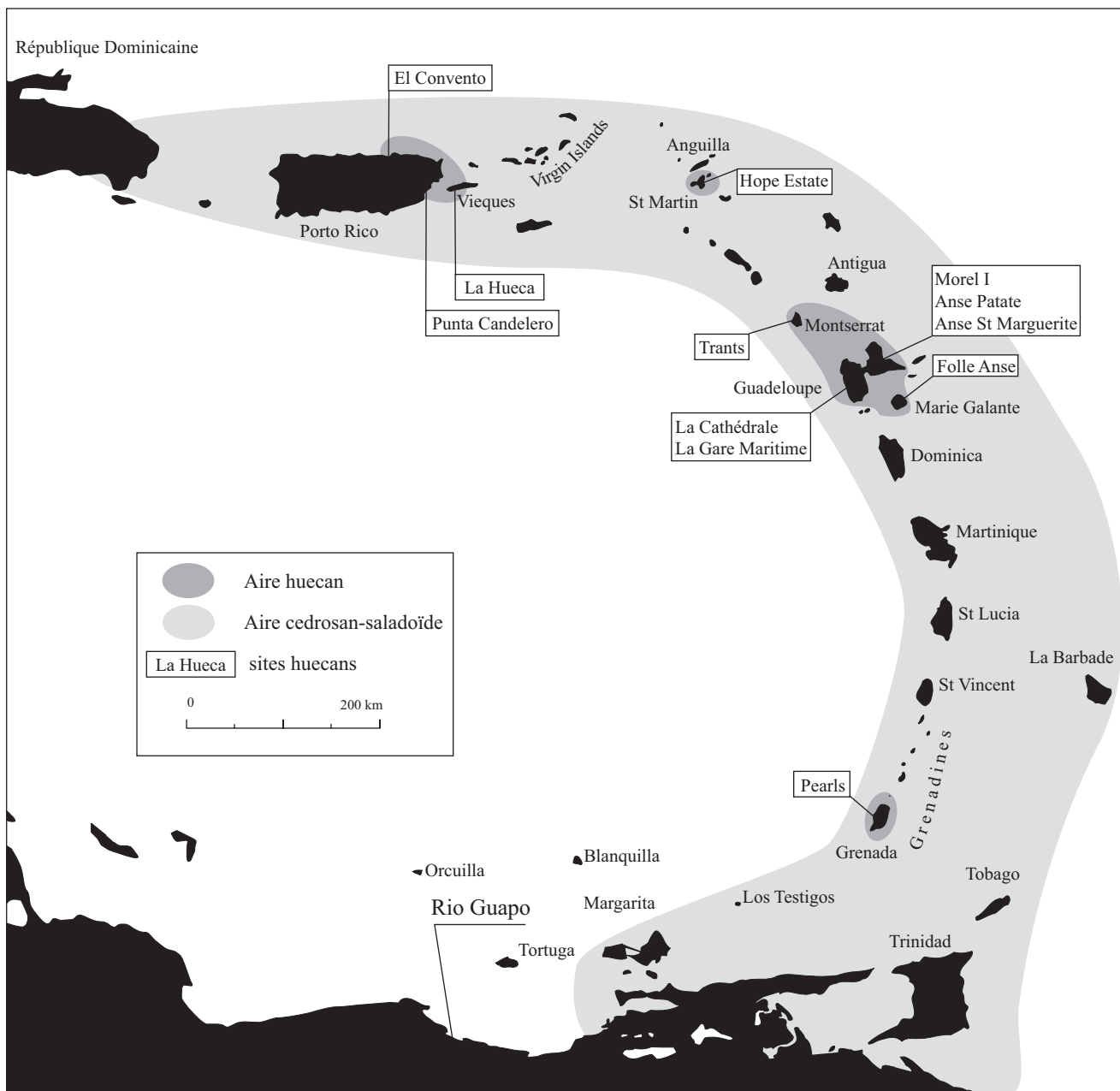


Figure 491 : Aires géoculturelles Huecan et Cedrosan-saladoïde (D. Bonnissent).

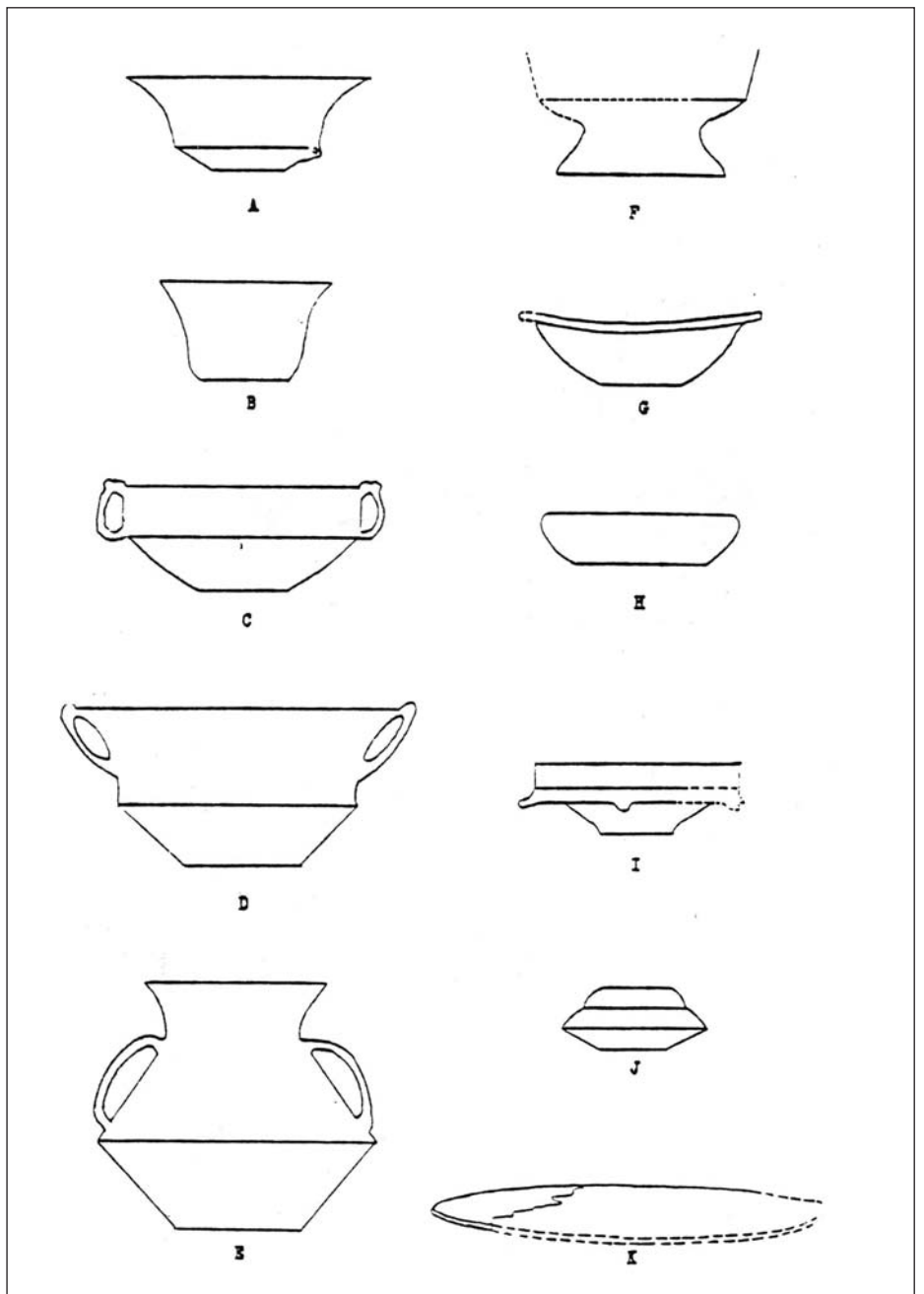


Figure 492 : Crab level vessel shapes (Rainey 1940).



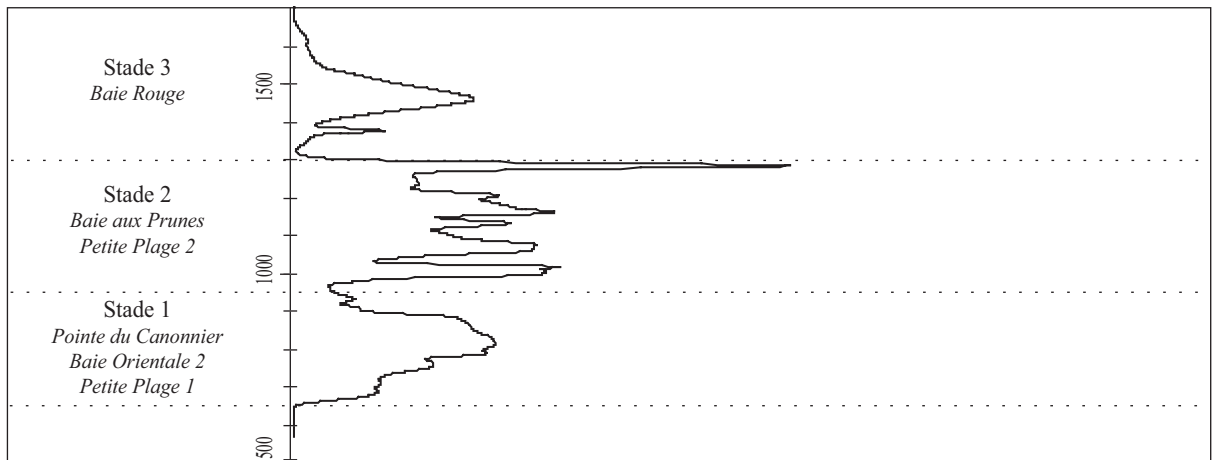


Figure 493 : Somme des probabilités des calibrations des datations des sites du Néolithique récent : Pointe du Canonnier, Baie Orientale 2, Petite Plage 1 et 2, Baie aux Prunes, Baie Rouge, n = 13, Calib Rev 5.01. (D. Bonnissent).

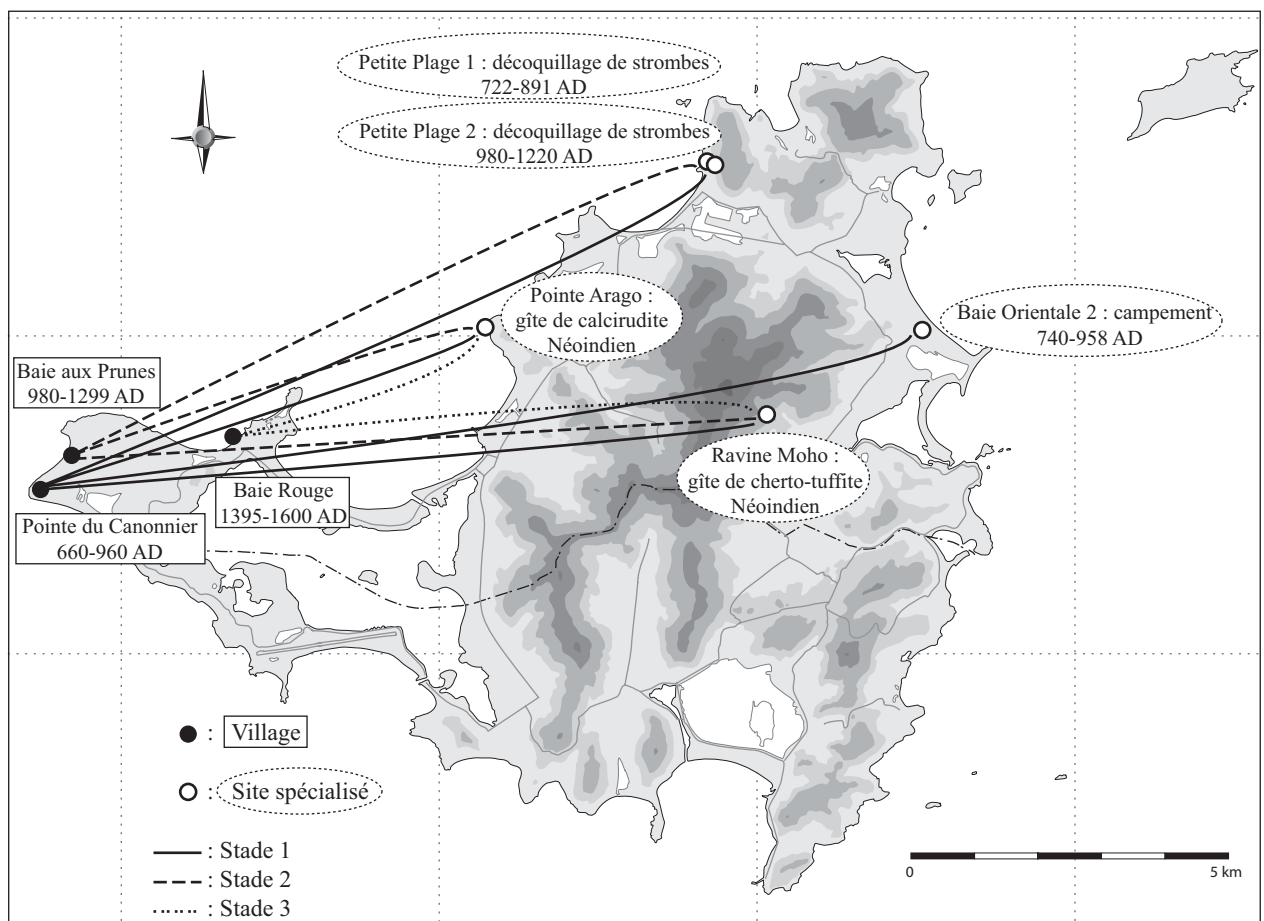


Figure 494 : Possibles relations spatio-fonctionnelles et chronologiques entre les sites du Néolithique récent à Saint-Martin (D. Bonnissent).

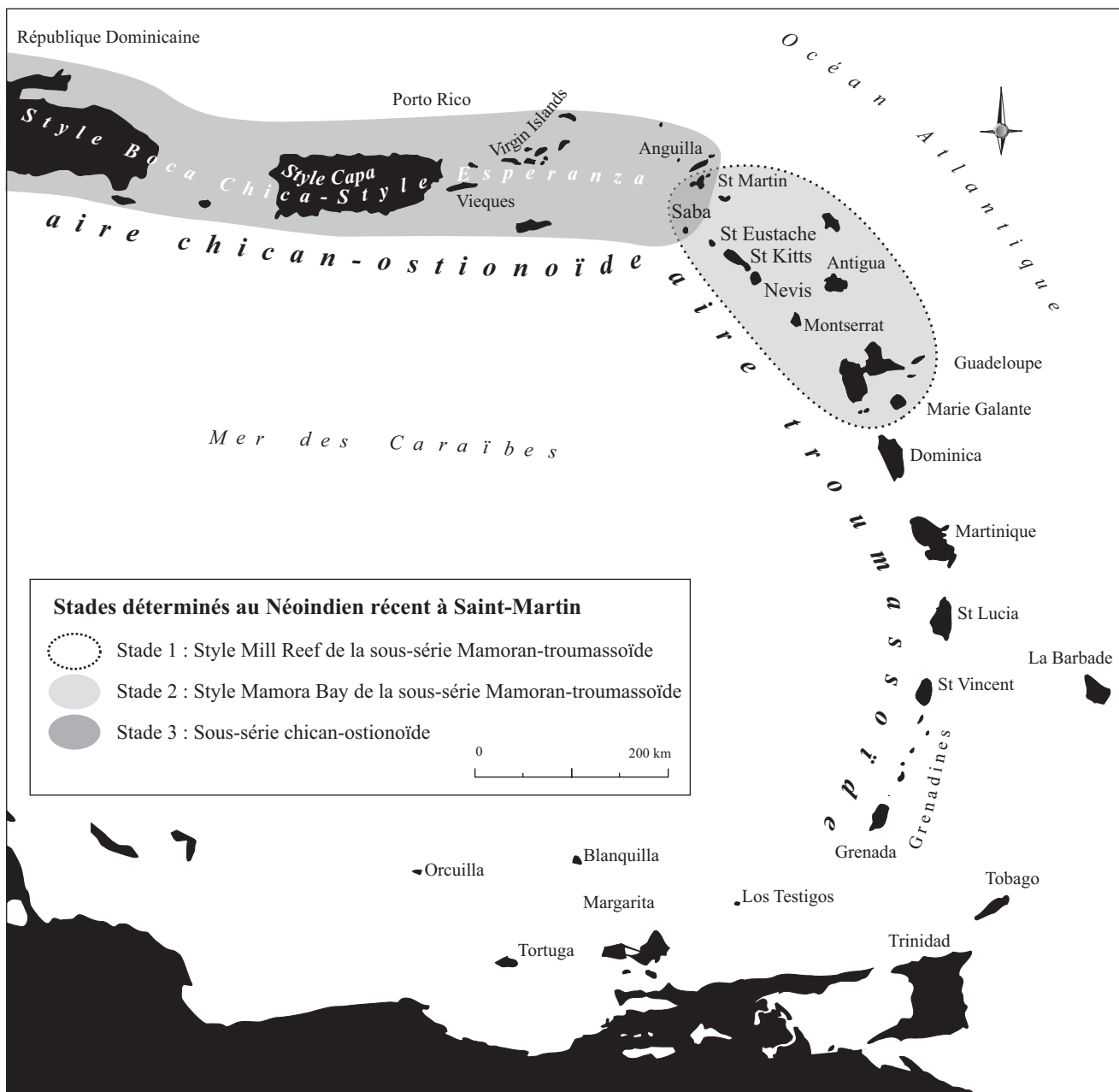
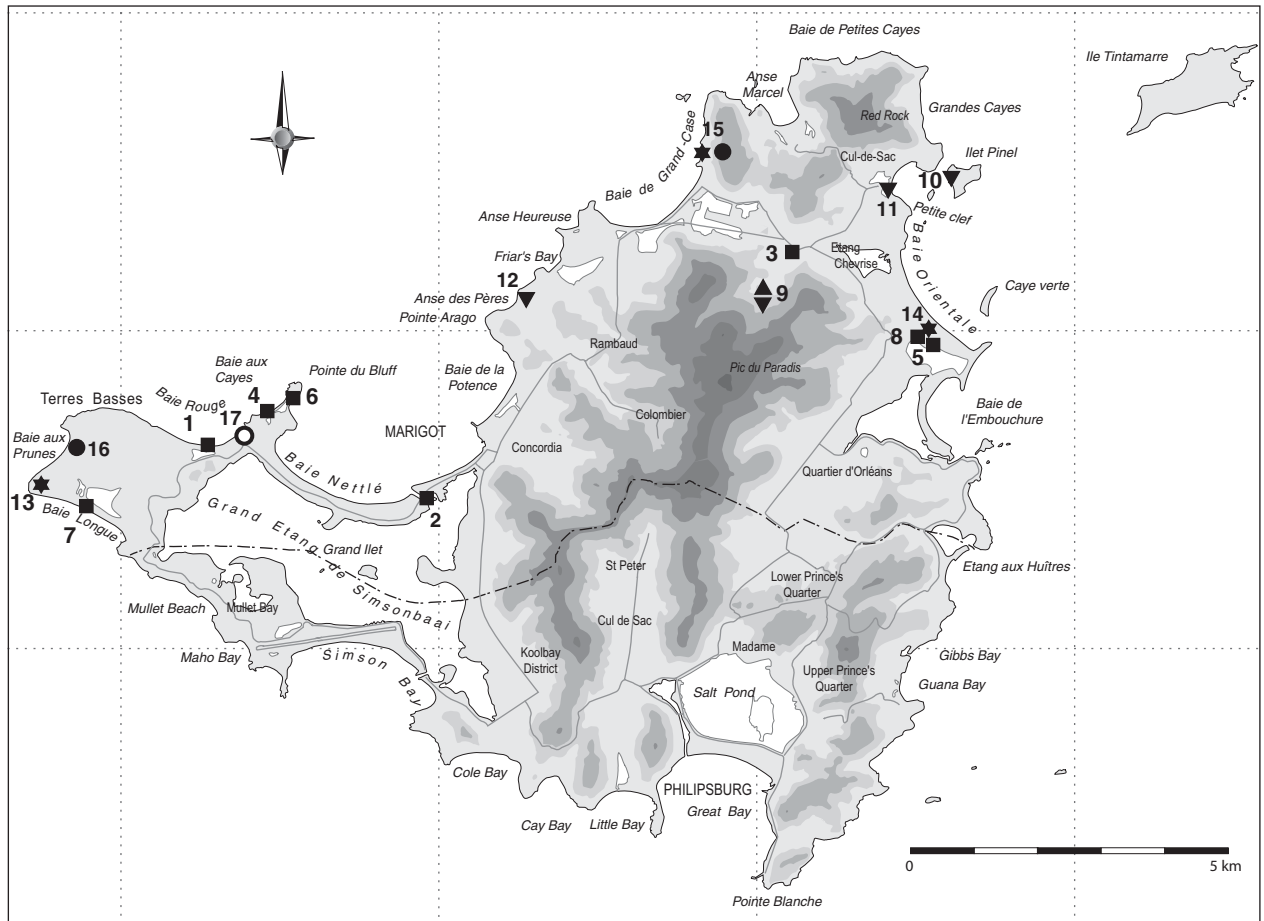


Figure 495 : Aires géoculturelles au Néolithique récent pour les Iles du Nord (D. Bonnissent).



MESOINDIEN

■ **Ortoiroïde (3300 BC - 100 AD)**

Stade 1 : 3300-2600 BC, stade 2 : 2600-800 BC, stade 3 : 800 BC-100 AD

- 1 : Etang Rouge 1 et 3 : stades 1 et 2
- 2 : Passe de Sandy Ground 1 et 2 : stade 2
- 3 : Norman Estate 1 et 2 : stade 2
- 4 : Trou David 1 et 2 : stades 2 et 3
- 5 : Salines d'Orient : stade 2
- 6 : Pointe du Bluff : stade 2
- 7 : Baie Longue 2 : stade 2
- 8 : Baie Orientale 1 : stade 3

NEOINDIEN ANCIEN

▲ **Huecan (400 - 200 BC)**

- 9 : Hope Estate

▼ **Cedrosan-saladoïde (100 BC - 960 AD)**

- 9 : Hope Estate
- 10 : Ilet Pinel Ouest
- 11 : Cul-de-Sac
- 12 : Anse des Pères

NEOINDIEN RECENT

★ **Style Mill Reef, Mamoran-troumassoïde stade 1 (660 - 960 AD)**

- 13 : Pointe du Canonier
- 14 : Baie Orientale 2
- 15 : Petite Plage 1

● **Style Mamora Bay, Mamoran-troumassoïde stade 2 (980-1300 AD)**

- 15 : Petite Plage 2
- 16 : Baie aux Prunes

○ **Style Esperanza, Chican-ostionoïde stade 3 (1395-1600 AD)**

- 17 : Baie Rouge

Figure 496 : Les 17 gisements précolombiens datés par le radiocarbone, exploités pour l'analyse chronologique de l'île de Saint-Martin (D. Bonnissent).

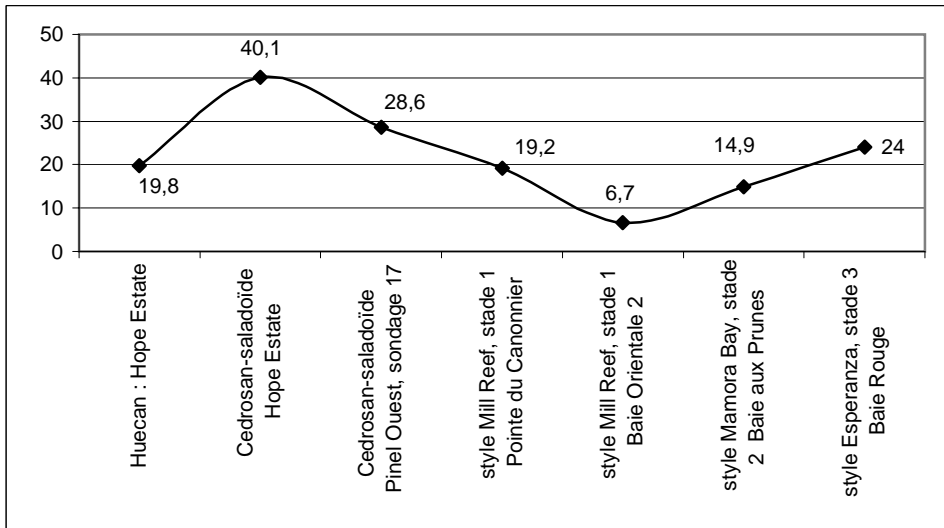


Figure 497 : Pourcentage du NMI décorés par site (D. Bonnissent).

(le site d'Anse des Pères n'a pas été intégré car les données ont été enregistrées différemment).

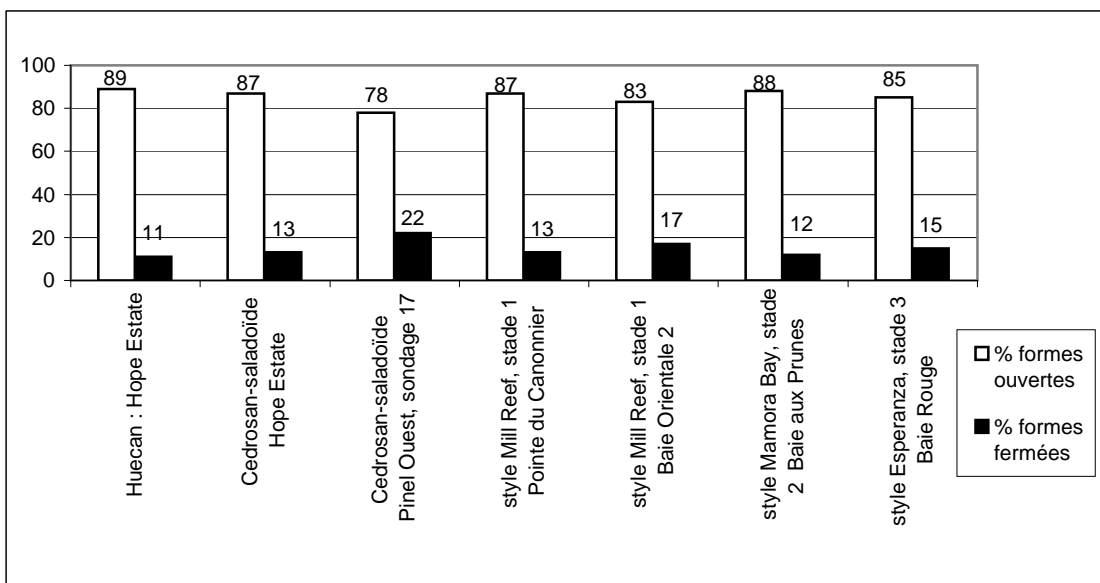


Figure 498 : Pourcentage du NMI de formes ouvertes et fermées par site (D. Bonnissent)

(le site d'Anse des Pères n'a pas été intégré car les données ont été enregistrées différemment).

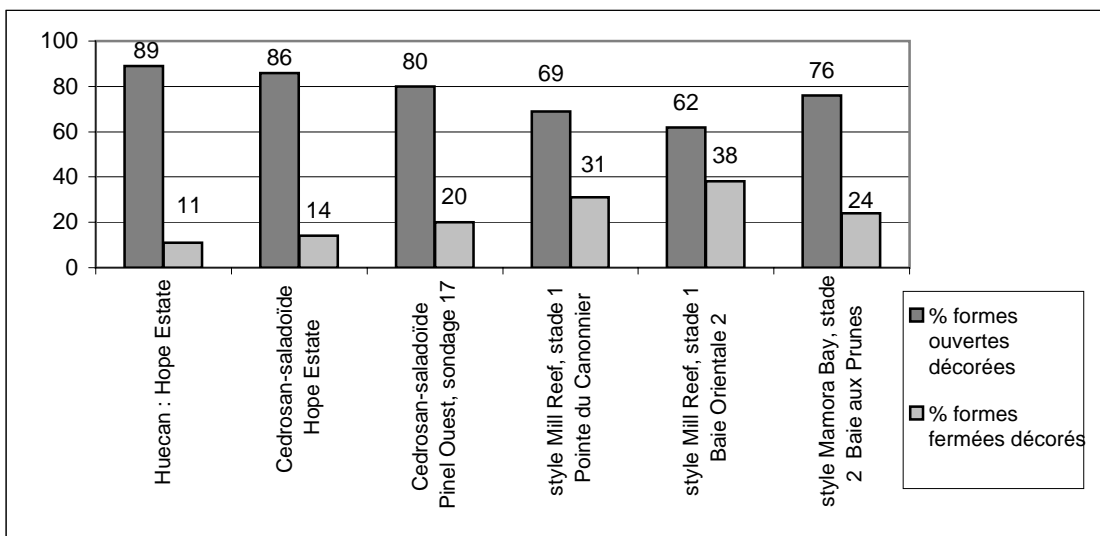


Figure 499 : Pourcentage du NMI de formes décorées, ouvertes et fermées par site (D. Bonnissent)

(les sites d'Anse des Pères et de Baie Rouge n'ont pas été intégrés car les données ont été enregistrées différemment).

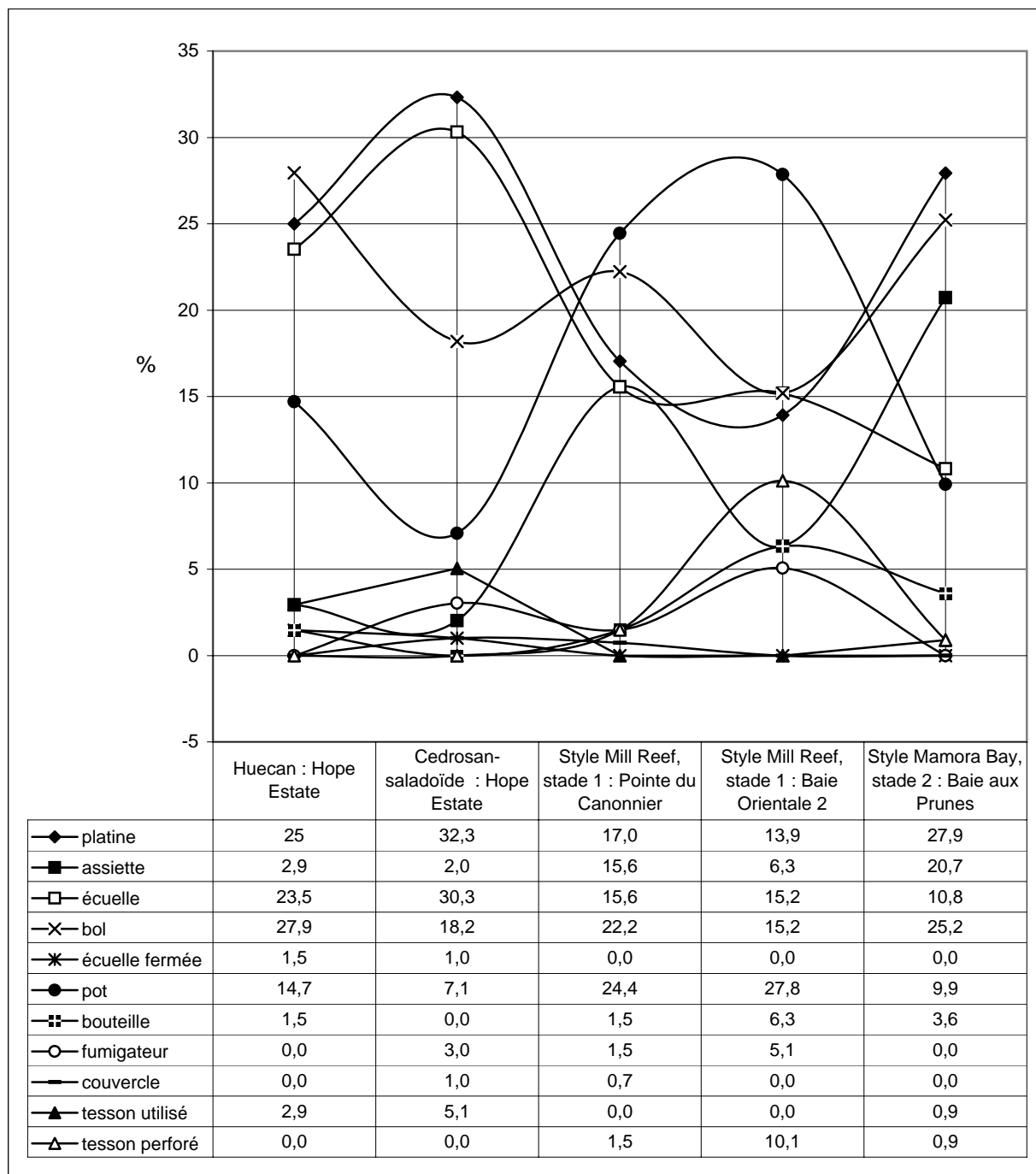


Figure 500 : Evolution de la représentation des familles de formes au Néolithique à Saint-Martin (D. Bonnissent).

(les sites d'Anse des Pères et de Baie Rouge n'ont pas été intégrés car les données ont été enregistrées différemment et celles du site de Pinel Ouest s'avèrent insuffisantes).





**ARCHEOLOGIE PRECOLOMBIENNE DE L'ILE DE SAINT-MARTIN, PETITES ANTILLES  
(3300 BC - 1600 AD)**

Les données archéologiques acquises par les investigations conduites sur 17 gisements précolombiens de l'île de Saint-Martin permettent de proposer la plus longue séquence chronologique du peuplement actuellement connue dans l'archipel des Petites Antilles. La séquence reposant sur 94 datations radiométriques est divisée en trois principales périodes, le Mésoindien (3300 BC - 100 AD), le Néoindien ancien (400 BC - 960 AD) et le Néoindien récent (740 - 1600 AD). L'analyse de la formation des gisements, des aménagements anthropiques, des économies de production dont la céramique, des moyens de subsistance et des modalités de l'occupation, permettent d'accéder, dans une perspective diachronique, à l'organisation des sociétés préhistoriques. Les changements culturels sont corrélés aux modifications paléoenvironnementales enregistrées sur l'île. Les aires d'influences venues des Grandes et des Petites Antilles permettent d'aborder les processus de migration et de peuplement.

**MOTS-CLEFS :** Petites Antilles, Saint-Martin, précolombien, archéologie, paléoenvironnements, migration, peuplement, Mésoindien, Néoindien, céramique.

---

**PRE-COLOMBIAN ARCHAEOLOGY ON THE ISLAND OF SAINT-MARTIN, LESSER ANTILLES  
(3300 BC - 1600 AD)**

The archaeological data gathered from the excavations carried out in 17 pre-Columbian sites on the island of Saint-Martin have enabled us to record the longest chronological sequence of settlement presently known in the archipelago of the Lesser Antilles. This sequence, based on 94 radiometric datings, is divided into three main periods, the Archaic Age (3300 BC - 100 AD), the Early Ceramic Age (400 BC - 960 AD) and the Late Ceramic Age (740 - 1600 AD). The analysis of the deposits, of the anthropic developments, of production economies among which pottery, of subsistence strategies and settlement methods, gives access to the organization of prehistoric societies from a diachronic perspective. Cultural changes are correlated with the palaeoenvironmental modifications taking place on the island. Influential areas from the Greater and Lesser Antilles reveal the process of migration and settlement.

**KEYWORDS:** Lesser Antilles, Saint-Martin, pre-Colombian, archaeology, paleoenvironments, migration, settlement, Archaic Age, Ceramic Age, pottery.

---

**Formation doctorale :** Espaces, Cultures, Sociétés.

---

**UMR 6636 du CNRS, LAMPEA**

Maison Méditerranéenne des Sciences de l'Homme,  
5, rue du Château de l'Horloge, BP 647,  
13094 Aix-en-Provence Cedex 2.